FORSCHUNGEN IN
EPHESOS XII/6

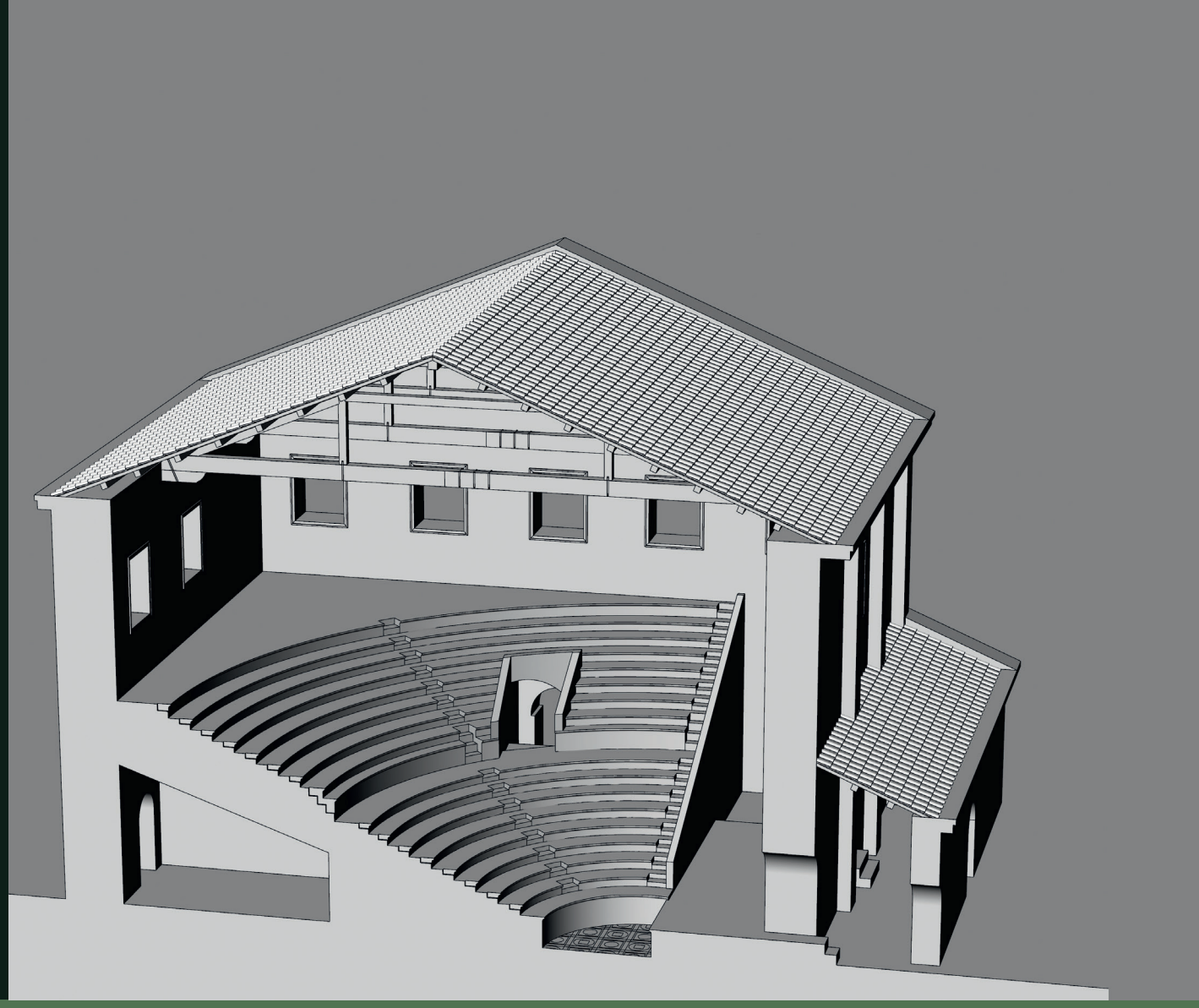

*Lilli Zabrana*

# DAS ODEION IM ARTEMISION VON EPHESOS

*Mit Beiträgen von*
*Maria Aurenhammer, Julia Dorner, Gerhard Forstenpointner, Walter Prochaska, Nicole Reitinger, Ursula Schachinger, Johanna Struber-İlhan, Hans Taeuber, Georg Töpfer und Gerald E. Weissengruber*

VERLAG DER
ÖSTERREICHISCHEN
AKADEMIE DER
WISSENSCHAFTEN

LILLI ZABRANA

# DAS ODEION IM ARTEMISION VON EPHESOS

# FORSCHUNGEN IN EPHESOS

Herausgegeben vom

ÖSTERREICHISCHEN ARCHÄOLOGISCHEN INSTITUT

der

ÖSTERREICHISCHEN AKADEMIE DER
WISSENSCHAFTEN IN WIEN

BAND XII/6

VERLAG DER
ÖSTERREICHISCHEN
AKADEMIE DER
WISSENSCHAFTEN

LILLI ZABRANA

# Das Odeion im Artemision von Ephesos

MIT BEITRÄGEN VON

MARIA AURENHAMMER, JULIA DORNER, GERHARD FORSTENPOINTNER,
WALTER PROCHASKA, NICOLE REITINGER, URSULA SCHACHINGER, JOHANNA STRUBER-İLHAN,
HANS TAEUBER, GEORG TÖPFER UND GERALD E. WEISSENGRUBER

VERLAG DER
ÖSTERREICHISCHEN
AKADEMIE DER
WISSENSCHAFTEN

Angenommen durch die Publikationskommission der philosophisch-historischen Klasse der ÖAW:
Michael Alram, Bert Fragner, Hermann Hunger, Sigrid Jalkotzy-Deger, Brigitte Mazohl, Franz Rainer,
Oliver Jens Schmitt, Peter Wiesinger und Waldemar Zacharasiewicz

Veröffentlicht mit Unterstützung des
Austrian Science Fund (FWF): PUB 491-G25

Open Access: Wo nicht anders festgehalten, ist diese Publikation lizenziert
unter der Creative Commons Lizenz Namensnennung 4.0
Open access: Except where otherwise noted, this work is licensed
under a Creative Commons Attribution 4.0 Unported License. To view a copy of this licence, visit
http://creativecommons.org/licenses/by/4.0/

Umschlagabbildung:
Odeion im Artemsion, 3-D-Rekonstruktion: Innenansicht, Querschnitt
(© ÖAW-ÖAI, I. Adenstedt, C. Landerl, L. Zabrana)

Umschlaggestaltung:
Büro Pani; Andrea Sulzgruber

Gestaltung der Tafeln:
Lilli Zabrana

Enthält u. a. :
Lilli Zabrana <Das Odeion im Artemision von Ephesos> Berlin, Technische Universität, Diss. <2014>

Bibliografische Information der Deutschen Bibliothek
Die Deutsche Bibliothek verzeichnet diese Publikation in der Deutschen Nationalbibliografie,
detaillierte bibliografische Daten sind im Internet über <http://dnb.ddb.de> abrufbar.

Diese Publikation wurde einem anonymen, internationalen Begutachtungsverfahren unterzogen.

This publication was subject to international and anonymous peer review.

Peer review is an essential part of the Austrian Academy of Sciences Press evaluation process.
Before any book can be accepted for publication, it is assessed by international specialists and ultimately
must be approved by the Austrian Academy of Sciences Publication Committee.

Die verwendete Papiersorte ist aus chlorfrei gebleichtem Zellstoff hergestellt,
frei von säurebildenden Bestandteilen und alterungsbeständig.

Bestimmte Rechte vorbehalten.
ISBN 978-3-7001-7868-2
Copyright © 2018 by
Österreichische Akademie der Wissenschaften, Wien
Redaktion und Lektorat: Barbara Beck-Brandt, Judith Kreuzer
Satz: Andrea Sulzgruber
Druck: Prime Rate Kft., Budapest
https://epub.oeaw.ac.at/7868-2
https://verlag.oeaw.ac.at

# INHALT

Vorwort der Grabungsleitung ..... 9
Vorwort der Verfasserin ..... 11

**I EINLEITUNG** *(Lilli Zabrana)*
I.1 Neue Forschungen im römischen Artemision: Aufgabenstellung und Methode ... 13
I.2 Das Artemision von Ephesos in römischer Zeit: schriftliche Überlieferung ..... 15
I.3 Rezeption und Reisebeschreibungen des Artemisions (16.–19. Jahrhundert) ..... 20

**II AUSGRABUNGS- UND FORSCHUNGSGESCHICHTE DES ARTEMISIONS** *(Lilli Zabrana)*
II.1 Die Wiederentdeckung durch John Turtle Wood (1863–1874) ..... 23
II.2 Der Beginn der österreichischen Forschungen durch Otto Benndorf (1895) ..... 30
II.3 Die Fortsetzung der britischen Forschungen durch David George Hogarth (1904–1905) ..... 33
II.4 Die Wiederaufnahme der österreichischen Forschungen im Artemision (1965–1994) ..... 34
II.4.1 Vorgeschichte bis 1965 ..... 34
II.4.2 Entdeckung des Altars durch Anton Bammer (1965) ..... 35
II.4.3 Arbeiten zur ›Via Sacra‹ durch Dieter Knibbe (1993) ..... 36

**III BAUBEFUND UND BAUBESCHREIBUNG** *(Lilli Zabrana)*
III.1 Topografische Lage ..... 39
III.2 Fundamentierung ..... 39
III.3 Substruktionen ..... 40
III.3.1 Kammer 1 ..... 41
III.3.2 Kammer 2 ..... 42
III.3.3 Kammer 3 ..... 42
III.3.4 Kammer 4 ..... 42
III.3.5 Kammer 5a und 5b ..... 43
III.3.6 Kammer 6 ..... 44
III.3.7 Kammer 7 ..... 45
III.3.8 Kammer 8 ..... 45
III.3.9 Kammer 9 ..... 46
III.4 Cavea ..... 47
III.5 Orchestra ..... 48
III.6 Bühne und Bühnengebäude ..... 48
III.7 Fassaden ..... 49
III.7.1 Nordfassade ..... 49
III.7.2 Westfassade ..... 51
III.7.3 Südfassade ..... 53

**IV MATERIAL UND TECHNIK** *(Lilli Zabrana)*
IV.1 Materialien ..... 55
IV.1.1 *opus caementicium* ..... 55
IV.1.2 Setz- und Fugenmörtel ..... 56
IV.1.3 Fassaden- und Wandverputz ..... 56
IV.1.4 Ziegel ..... 57
IV.1.5 Baumetalle ..... 57
IV.2 Bautechnik ..... 58
IV.2.1 Fundamentierung ..... 58
IV.2.2 Mauertechnik ..... 58
IV.2.3 Gewölbetechnik ..... 58
IV.2.4 Dübel-, Stemm- und Klammerlöcher ..... 59
IV.2.5 Hebevorrichtungen ..... 59

**V AUSSTATTUNG**
V.1 Böden ..... 61
V.1.1 *opus sectile*-Paviment der Orchestra *(Lilli Zabrana)* ..... 61
V.1.2 Provenienzanalysen von *opus sectile*-Pavimentproben der Orchestra *(Walter Prochaska)* ..... 62
V.2 Marmorne Wandverkleidung *(Lilli Zabrana)* ..... 67
V.3 Wandmalerei (*Lilli Zabrana*) ..... 68
V.4 Architekturglieder und Bauornamentik *(Lilli Zabrana)* ..... 68
V.4.1 Architekturglieder und Bauornamentik *in situ* am Gebäude ..... 69
V.4.2 Architekturglieder und Bauornamentik an der Oberfläche vor Beginn der aktuellen Forschungen ..... 69
V.4.3 Architekturglieder und Bauornamentik aus Grabungsbefunden am Gebäude ..... 72
V.5 Skulpturenfunde ..... 77
V.5.1 Skulpturen: Auswertung und Analyse *(Maria Aurenhammer)* ..... 77
V.5.2 Provenienzanalysen der Skulpturenfunde *(Walter Prochaska)* ..... 84

**VI ARCHÄOLOGISCHE FELDFORSCHUNG 2009–2011**
VI.1 Vorbemerkung *(Lilli Zabrana)* ..... 91
VI.2 Sondage 1/2010 *(Nicole Reitinger)* ..... 91
VI.3 Sondage 5/2010 *(Julia Dorner)* ..... 96
VI.4 Sondage 3/2010–1/2011 *(Julia Dorner)* ..... 98
VI.5 Sondage 2/2011 *(Lilli Zabrana)* ..... 100
VI.6 Sondage 3/2011 *(Lilli Zabrana)* ..... 104
VI.7 Sondage 4/2010–4/2011 *(Lilli Zabrana)* ..... 105

**VII FUNDMATERIAL**
VII.1 Keramik *(Johanna Struber-İlhan)* ..... 107
VII.1.1 Einleitung ..... 107
VII.1.2 Sondage 1/2010 ..... 107
VII.1.3 Sondage 5/2010 ..... 112
VII.1.4 Sondage 1/2011 ..... 116
VII.1.5 Sondage 2/2011 ..... 117
VII.1.6 Sondage 3/2011 ..... 121

VII.1.7 Sondage 4/2010 samt Erweiterung 4/2011 ..... 122
VII.1.8 Katalog ..... 124
VII.2 Glas *(Julia Dorner)* ..... 174
VII.2.1 Herstellungstechnik ..... 174
VII.2.2 Gefäßformen und Waren ..... 174
VII.2.3 Gestaltungsmerkmale ..... 174
VII.2.4 Glasfarben ..... 176
VII.2.5 Kontextuelle Auswertung ..... 177
VII.2.6 Katalog ..... 179
VII.3 Kleinfunde *(Julia Dorner)* ..... 181
VII.3.1 Kleinfunde aus Bein ..... 182
VII.3.2 Kleinfunde aus Blei ..... 182
VII.3.3 Kleinfunde aus Bronze ..... 183
VII.3.4 Kleinfunde aus Glas ..... 183
VII.3.5 Andere Materialien ..... 184
VII.3.6 Katalog ..... 184
VII.4 Inschriften *(Hans Taeuber)* ..... 184
VII.4.1 Staatliche Inschriften ..... 184
VII.4.2 Grabinschriften ..... 186
VII.4.3 Unbestimmte Fragmente ..... 188
VII.5 Numismatischer Befund *(Ursula Schachinger)* ..... 189
VII.5.1 Katalog der antiken und byzantinischen Fundmünzen ..... 189
VII.6 Archäozoologischer Befund *(Gerhard Forstenpointner – Gerald E. Weissengruber)* ..... 190
VII.6.1 Einleitung und Forschungsstand ..... 190
VII.6.2 Material, Methode und Hypothesen ..... 190
VII.6.3 Ergebnisse ..... 192

**VIII BAUPHASEN UND CHRONOLOGIE** *(Lilli Zabrana)*
VIII.1 Vorbemerkung ..... 203
VIII.2 Vornutzung ..... 203
VIII.3 Bauphase 1: Errichtung (2. Hälfte 1. Jh. n. Chr.) ..... 204
VIII.4 Bauphase 2: Umbaumaßnahmen (Mitte 2./Anfang 3. Jh. n. Chr.) ..... 204
VIII.5 Aufgabe des Gebäudes (5. Jh. n. Chr.) ..... 205
VIII.6 Zerstörungsphase: Marmorabbau (ab dem 6.–7. Jh. n. Chr.) ..... 205
VIII.7 Mittelbyzantinische Zeit (7.–11. Jh. n. Chr.) ..... 206
VIII.8 Nachnutzung in spätbyzantinischer Zeit und der Beylik-Periode (13.–Anfang 15. Jh. n. Chr.) ..... 206

**IX REKONSTRUKTION UND GEBÄUDETYPOLOGIE** *(Lilli Zabrana)*
IX.1 Rekonstruktion anhand des Baubefundes – Analogien und Vergleiche ..... 207
IX.1.1 Substruktionen ..... 207
IX.1.2 Cavea ..... 208
IX.1.3 Orchestra ..... 209
IX.1.4 Bühne und Bühnengebäude ..... 212
IX.1.5 Fassaden ..... 212
IX.1.6 Dachkonstruktion ..... 214
IX.2 Interpretation der Gebäudefunktion ..... 216

IX.3 Der Gebäudetypus des Odeions in Kleinasien ..... 217
IX.4 Odeia innerhalb von Temene ..... 223

**X FORSCHUNGSBEGLEITENDE SICHERUNGEN** *(Georg Töpfer – Lilli Zabrana)*
X.1 Erhaltungszustand ..... 225
X.2 Maßnahmen ..... 225
X.2.1 Maßnahmen 2009–2011 ..... 226
X.2.2 Geplante Maßnahmen ..... 226

**XI ZUSAMMENFASSUNG** (*Lilli Zabrana*) ..... 229
XI.1 Summary ..... 233
XI.2 Özet ..... 237

**HINWEISE UND VERZEICHNISSE**
Abgekürzt zitierte Literatur ..... 241
Verzeichnis der in Text und Katalogen verwendeten Abkürzungen ..... 251
Verzeichnis der Autorinnen und Autoren ..... 252
Planverfasserinnen und Planverfasser, Fotografinnen und Fotografen ..... 252
Abbildungsnachweis ..... 253

**TAFELN 1–105**

**PLÄNE 1–25**

# VORWORT DER GRABUNGSLEITUNG

Wie historische Fotografien eindrucksvoll belegen, bildeten die Ruinen des römischen Odeions im Artemision lange Zeit die einzige Landmarke innerhalb des heiligen Bezirks. Nicht zuletzt deswegen erstaunt es, dass Dokumentation und Erforschung des Bauwerks erst im frühen 21. Jahrhundert einsetzten – mehr als 150 Jahre nach der Lokalisierung des Heiligtums. Der Entscheidung, die Ruine auf Funktion und Chronologie hin zu untersuchen, war ein von Michael Kerschner eingeleiteter Paradigmenwechsel in der Artemision-Forschung vorausgegangen, das Heiligtum nicht ausschließlich auf den Tempel reduziert zu betrachten, sondern vielmehr das gesamte Temenos in den Fokus der wissenschaftlichen Auseinandersetzung zu stellen. Allein die Ausdehnung des Heiligtumsareals zu definieren, erforderte nicht nur eine intensive Nachuntersuchung der Grabungsdokumentation des 19. Jahrhunderts, sondern auch umfassende geoarchäologische und geophysikalische Analyseverfahren, da die antiken Straten unter 7 m hohen alluvialen Einschwemmungen begraben liegen. Umso wichtiger war es, Anknüpfungspunkte für die Bebauung des heiligen Bezirks zu finden und von diesen ausgehend das Areal zu untersuchen. Die weithin sichtbare Ruine, die als sog. Tribüne in die ältere Ephesosliteratur eingegangen war, bot beste Voraussetzungen, um mit gezielten Feldforschungen einerseits den Bau, andererseits dessen topografische Einbettung näher zu fassen und so entscheidende Hinweise auf die Gestaltung des Temenos zu gewinnen.

Lilli Zabrana ist es gelungen, ein Projekt zu entwickeln, das Bauforschung und Archäologie verknüpft und zudem wichtige denkmalpflegerische Akzente setzt. Durch gezielte Reinigungsmaßnahmen und punktuelle Sondagen war es möglich, die Architektur des Odeions zu rekonstruieren und dessen Nutzungsgeschichte nachzuzeichnen.

Dass nun bereits wenige Jahre nach dem Abschluss der Feldarbeiten eine Monografie zu den römischen Phasen des Gebäudes vorliegt, ist nicht zuletzt einem hervorragend kooperierenden Team aus Spezialistinnen und Spezialisten geschuldet, die mit ihren Beiträgen maßgeblich zum Gelingen der Publikation beigetragen haben. Ausgespart blieben die mittelalterlich-frühneuzeitlichen Nachnutzungsphasen des Gebäudes, deren separate Vorlage sich derzeit in Vorbereitung befindet. Mein Dank gilt auch dem hervorragend arbeitenden Redaktionsteam am Österreichischen Archäologischen Institut unter der Leitung von Barbara Beck-Brandt, dem Verlag der Österreichischen Akademie der Wissenschaften für die Aufnahme des Manuskripts in die Reihe »Forschungen in Ephesos« sowie dem Fonds zur Förderung der wissenschaftlichen Forschung für den Druckkostenzuschuss. Massive logistische Schwierigkeiten vor Ort konnten nur dank der Unterstützung der türkischen Behörden gemeistert werden. Namentlich seien die Generaldirektion für Altertümer in Ankara, die Direktion für religiöse Stiftungen in Izmir sowie das Efes Müzesi in Selçuk erwähnt. Trotzdem mussten die Arbeiten jäh unterbrochen werden, als der Grundbesitzer der umliegenden Obstplantagen ein Betreten des Areals nicht mehr gestattete. Die geplanten und dringend notwendigen Konservierungsarbeiten konnten dadurch bedauerlicherweise nicht mehr durchgeführt werden und die Sondagen mussten offen bleiben – heute schützt lediglich ein Zaun das einzige römische Denkmal im heiligen Bezirk der Artemis. Es ist zu wünschen, dass die vorliegende Publikation dazu anregt, dem Monument endlich jene Aufmerksamkeit zu schenken, die es verdient.

*Sabine Ladstätter*
*Wien, April 2018*

# VORWORT DER VERFASSERIN

Zu danken ist an erster Stelle Sabine Ladstätter, die als Direktorin des Österreichischen Archäologischen Instituts und Grabungsleiterin von Ephesos die Bearbeitung des Odeions im Artemision in das Forschungsprogramm aufgenommen hat, und der ich für die Einladung zur wissenschaftlichen Bearbeitung zu Dank verpflichtet bin. Die systematische wissenschaftliche Auseinandersetzung mit archäologischen Evidenzen römischer Zeit innerhalb des heiligen Bezirks der Artemis war bis dato ein Desiderat der ephesischen Forschungsgeschichte, das durch dieses Projekt in den Fokus gerückt wurde.

Die Bauaufnahme des Odeions sowie deren Analyse und Interpretation, welche den zentralen Bestandteil der vorliegenden Arbeit bildet, wurde als Promotion am Institut für Baugeschichte an der Technischen Universität Berlin vorgelegt und angenommen (Kap. I–IV sowie V.1–V.4 und VIII–XI). Dem Institutsvorstand und Erstbetreuer dieser Arbeit, Johannes Cramer, sei besonders für die unkomplizierte und effiziente Betreuung gedankt. Die Zweitbegutachtung der Arbeit erfolgte dankenswerterweise durch Sabine Ladstätter. Gedankt sei an dieser Stelle ebenso der Vorsitzenden des Promotionsausschusses, Dorothée Sack. Die vorliegende Publikation wurde schließlich mit der vollständigen Dokumentation aller vorgenommenen Untersuchungen und Auswertungen, die im Rahmen des Projekts durchgeführt wurden, ergänzt und vervollständigt (Kap. V.5, VI und VII).

Mein besonderer Dank gilt schließlich allen Projektmitarbeiterinnen und -mitarbeitern. Im Rahmen der Feldarbeiten ist die langjährige Mitarbeit von Birte Geißler und Julia Dorner hervorzuheben, die von regem Austausch und großer Anteilnahme am Projekt gekennzeichnet war. Katharina Rütten, Nicole Reitinger und Berker Kalfa haben in der Kampagne 2010 das Team verstärkt und wesentlich zum Erfolg dieser Feldkampagne beigetragen. Weiters sei Joachim Thaler und Aurélie Lüthi für ihre Unterstützung in den Jahren 2009 und 2011 gedankt. Franz Fichtinger verdanke ich die zeichnerische Aufnahme zahlreicher Architekturblöcke im Jahr 2009. Die nachfolgende Digitalisierung der Handzeichnungen übernahm zum großen Teil İhsan Yeneroğlu, dem ebenso gedankt sei. Ingrid Adenstedt zeichnet für die Erstellung des ersten 3-D-Modells verantwortlich; ihr danke ich für die geduldige Ausführung zahlreicher Änderungsvorschläge. Die Überarbeitung des 3-D-Modells sowie die Weiterentwicklung der Rekonstruktion verdanke ich Clemens Landerl. Vermessungstechnische Belange wurden in bewährter Weise von Christian Kurtze ausgeführt, dem ich für engagierte und sachkundige Diskussionen besonders danke. Georg Töpfer danke ich für seine unkomplizierte Hilfe bei der Planung der Konsolidierungsmaßnahmen und für sein Engagement, trotz zahlreicher Schwierigkeiten und Rückschläge, bei der Umsetzung vor Ort.

Für Hinweise, kritische Anmerkungen sowie weiterführende Kommentare danke ich außerdem Maria Aurenhammer, Gudrun Aydın-Styhler, William Aylward, Soner Bellibaş, Gerhard Forstenpointner, Paul Higgs, Michael Kerschner, Paul Kessener, François Kirbihler, Dietmar Kurapkat, Ralf Kreiner, Katharina Meinecke, Wolfgang Nesitka, Jan Nováček, Martin Penz, Georg Plattner, Walter Prochaska, Christoph Samitz, Roman Sauer, Ursula Schachinger, Kristina Scheelen-Nováček, Sırrı Seren, Thoralf Schröder, Johanna Struber-İlhan, Hans Taeuber, Esin Tekin, Alice Waldner, Gerald Weissengruber, Gilbert Wiplinger und Gudrun Wlach. Florian Jaksche gebührt besonderer Dank für eine erste redaktionelle Überarbeitung des gesamten Manuskripts.

*Lilli Zabrana*
*Wien, Mai 2018*

# I EINLEITUNG

## I.1 NEUE FORSCHUNGEN IM RÖMISCHEN ARTEMISION: AUFGABENSTELLUNG UND METHODE

Die systematische wissenschaftliche Auseinandersetzung mit archäologischen Evidenzen römischer Zeit innerhalb des heiligen Bezirks der Artemis ist bis dato als Desiderat der ephesischen Forschungsgeschichte zu bezeichnen[1]. Das einzig sichtbare aufgehende Mauerwerk eines römischen Gebäudes liegt etwa 180 m südwestlich des Tempels und wurde von Anton Bammer als ›Tribüne‹ angesprochen (s. Kap. II.4.2). Im Jahr 2009 wurde von Sabine Ladstätter ein Projekt zu der sog. Tribüne initiiert, das sich zunächst mit gebäudespezifischen Fragen zu Funktion, Datierung und Nutzungsgeschichte auseinandersetzte. Übergeordnet sollte der bisherige Forschungsschwerpunkt im Artemision, der sich bis zu diesem Zeitpunkt im Wesentlichen auf den Tempel selbst sowie im Besonderen auf die Frühzeit der zentralen Kultstätte beschränkt hatte, auch auf die römische Nutzungsphase und den gesamten heiligen Bezirk ausgedehnt werden. Über die grundlegende Bewertung des architektonischen Befunds hinaus galt es daher, das Gebäude einer kulturgeschichtlichen Analyse zu unterziehen, die seine architektonische und funktionale Verbindung zu dem umgebenden Temenos untersuchen sollte. Die bauforscherische Auswertung der aufgenommenen Befunde ermöglichte schon bald eine eindeutige Interpretation: Im Frühjahr 2011 konnte das untersuchte Gebäude aufgrund enger bautypologischer Vergleiche als Odeion identifiziert werden.

Um Plangrundlagen zu schaffen, wurde zunächst eine Bestandsaufnahme in Form eines verformungsgetreuen Aufmaßes im Maßstab 1 : 25 angefertigt (Plan 1. 2. 5–19). Punktuelle Sondagen gaben zusätzlich Aufschluss über grundrisstypologische Fragen und die Nutzungsgeschichte, die für das Artemision erstmals vollständig von römischen Schichten bis in das Mittelalter und die Neuzeit dokumentiert wurde (Plan 3. 4). In der vorliegenden Arbeit wurde das Augenmerk auf die Errichtungszeit des Gebäudes in der römischen Kaiserzeit und die Spätantike gelegt. Die Vorlage einer detaillierten Auswertung der späteren Nach- und Umnutzungsphasen ist für eine folgende Publikation geplant. Neben den laufenden archäologischen und bauforscherischen Arbeiten waren forschungsbegleitende Sicherungsmaßnahmen ein wesentlicher Bestandteil des Projekts (s. Kap. X).

Die Bauaufnahme sowie die archäologische Befunddokumentation wurden im Feld mithilfe einer Totalstation durchgeführt[2]. Der Grundriss (abs. H des Meterrisses: 8,16 m; Plan 1. 2) sowie die Schnittlinien (Plan 5) wurden tachymetrisch erfasst und als Grundlage für das ergänzende Handaufmaß (Aufnahmemaßstab 1 : 25) herangezogen. Boden- und Wandansichten, die flächig in einer Ebene lagen, wurden fotogrammetrisch aufgenommen und anschließend maßstabsgerecht entzerrt[3]. Das entzerrte Digitalfoto konnte als maßgenaue und maßstabsgetreue Grundlage für das anschließende Handaufmaß vor Ort verwendet werden. Sämtliche Daten der Bauforschung sowie der archäologischen Feldarbeit sind in CAD-Dateien zusammengefasst, welche mit den digitalisierten Handzeichnungen sukzessive vervollständigt wurden. In den einzelnen Dateien sind somit die Informationen der archäologischen Feldarbeit gleichermaßen abrufbar wie jene der Bauforschung. Das angestrebte Ziel einer kombinierten Analyse der bauforscherischen Ergebnisse mit

[1] Allein die römischen Befunde nordwestlich des Tempels wurden von Ulrike Muss kurz thematisiert: Muss 2005, 250–263; Muss 2007, 243–250; Kirbihler – Zabrana 2014, 101–113.

[2] Software TachyCAD, Fa. kubit GmbH.

[3] Software PhoToPlan, Fa. kubit GmbH.

dem archäologischen Befund inklusive des Fundmaterials war eine ganzheitliche Baudokumentation in den untersuchten Bereichen des Gebäudes.

Der sichtbare Teil des Gebäudes ist Eigentum der türkischen Vakıflar Genel Müdürlüğü (Generaldirektion der Stiftungen), deren Statuten neben weiteren Aufgaben den Schutz unbeweglicher Kulturgüter aus den Herrschaftsperioden der Seldschuken, der Beylik-Fürstentümer, der Osmanen sowie der türkischen Republik vorsehen. Da in der unmittelbaren Umgebung des Odeions zahlreiche seldschukische Türben, Hamams und Moscheen zu finden sind, wurde offenbar auch im Odeion eine seldschukische Ruine vermutet und dieses Areal somit der Stiftung übertragen. Glücklicherweise gestattete die Vakıflar Genel Müdürlüğü die wissenschaftliche Bearbeitung des Gebäudes, das sich mittlerweile als römisches Odeion erwiesen hat. Unbefriedigend allerdings bleibt die Tatsache, dass ein Großteil der Bühne, das gesamte Bühnengebäude sowie eventuell anschließende Strukturen nicht untersucht werden konnten, da die östliche Grundstücksgrenze direkt über der Bühne verläuft. Nachdem die Arbeiten am Gebäude seit dem Jahr 2012 aufgrund von Unstimmigkeiten mit dem Grundbesitzer der umgebenden Plantage zum vollständigen Erliegen kamen, sind unglücklicherweise weder geplante Sicherungsmaßnahmen (Kap. X.2.2) noch weiterführende Forschungsarbeiten am Gebäude möglich.

Festgehalten sei trotzdem, dass der Bau mitsamt seinen unter der Erde liegenden zugehörigen Strukturen innerhalb der großzügigen nationalen Schutzzone für archäologische Stätten liegt, die 1991 bestimmt wurde, diese de facto aber keinerlei tatsächliche Schutzfunktion für das untersuchte Gebäude zur Folge hat[4].

Die folgenden Teile der Einleitung beinhalten einen kurzen Überblick über quellenkundliche und epigrafische Informationen zu dem Heiligtum der Artemis in römischer Zeit. Anschließend wird die Antikenrezeption am Fallbeispiel des Artemisheiligtums thematisiert, die mit einem Schwerpunkt zu Reiseberichten des 16.–19. Jahrhunderts zur Ausgrabungs- und Forschungsgeschichte im Kapitel II führt. In diesem Kapitel wird der Wiederentdeckung des Tempels durch John Turtle Wood im Detail nachgegangen, gefolgt von den ersten österreichischen und anschließenden britischen Forschungen vor dem Ersten Weltkrieg. Die Wiederaufnahme der Arbeiten nach dem Zweiten Weltkrieg und die andauernden Feldarbeiten bis 1994 vervollständigen dieses Kapitel. Schwerpunkt von Kapitel III sind die aktuellen Arbeiten am Odeion seit dem Jahr 2009. Der Baubefund wird in Form einer detaillierten Baubeschreibung mit zugehörigem Planmaterial präsentiert. Kapitel IV setzt sich mit Material und Technik des Gebäudes auseinander, Kapitel V widmet sich der Ausstattung desselben. Eine detaillierte Besprechung der archäologischen Schichtbefunde (Kap. VI) sowie die Vorlage des geborgenen Fundmaterials (Kap. VII) schließen an. Kapitel VIII fasst schließlich die Bauphasen und die Chronologie, die anhand der Grabungsbefunde sowie der Auswertung des Fundmaterials erarbeitet wurde, zusammen. Kapitel IX widmet sich zunächst der Rekonstruktion auf Basis des Baubefundes und stellt Analogien und Vergleiche zusammen, um die anschließende Interpretation der Gebäudefunktion schlüssig darzulegen. Im Rahmen dieses Kapitels wurde besonderer Wert darauf gelegt, sich weiterführend mit dem Gebäudetypus des Odeions in Kleinasien zu beschäftigen sowie die Lokalisierung eines solchen innerhalb von Temene in größerem Zusammenhang zu betrachten. Abschließend werden in Kapitel X forschungsbegleitende Sicherungsmaßnahmen erläutert, die im Zuge der archäologischen Arbeiten ausgeführt wurden. Eine Zusammenfassung beschließt die vorliegende Arbeit (Kap. XI).

[4] Ephesos wurde vom Rat zur Erhaltung des Kultur- und Naturerbes des Landkreises Izmir durch das Dekret Nr. 2809 vom 4. April 1991 als archäologische Stätte eingetragen. Dieser Erlass erging in Übereinstimmung mit dem türkischen Gesetz zur Erhaltung des natürlichen und kulturellen Erbes (Gesetz 2863 vom 21. Juli 1984, geändert durch Gesetz Nr. 3386 und 5226 im Jahr 1987). Die Schutzzone wurde mit dem Dekret Nr. 491 vom 11. Februar 2010 erweitert.

## I.2 DAS ARTEMISION VON EPHESOS IN RÖMISCHER ZEIT: SCHRIFTLICHE ÜBERLIEFERUNG

Das Artemisheiligtum hatte in römischer Zeit eine eigene Verwaltung und Rechtsprechung[5] und war somit dem Prytanen von Ephesos keine Rechenschaft schuldig. Der autonome und autarke Wirtschaftskörper war in Form einer priesterlichen Hierarchie[6] strukturiert, deren Würdenträger die Amtsgeschäfte und Verwaltungsaufgaben übernahmen, während die Funktion der Artemispriesterin renommierten Frauen aus vermögenden Familien vorbehalten war[7]. Tempeldiener, sog. Hieroi, waren für die Sicherheit im Heiligtum sowie die Pflege und Instandhaltung desselben zuständig[8]. Das Heiligtum hatte ausgedehnte Grundbesitzungen im gesamten Kaystros-Tal[9], auf welchen etwa Wein[10] angebaut wurde. Darüber hinaus unterhielt das Artemision eine eigene Fisch-[11] Pferde-[12] und Hirschzucht[13], deren Betrieb teilweise von Pächtern[14] übernommen wurde. Salinen[15] im Kaystros-Delta scheinen gleichermaßen im Besitz des Tempels gewesen zu sein wie hochwertige Marmorsteinbrüche[16]. Ebenso wurde das Vorrecht des Tempels, wertvollen Weihrauch zu verkaufen, bereits in hellenistischer Zeit gewinnbringend verpachtet[17]. Schon Gustav Zimmermann verweist darauf, dass der Handel mit einheimischen Produkten damit großteils in Händen der Priesterschaft lag oder zumindest abhängig von dieser war[18]. Man muss davon ausgehen, dass sich aber vor allem aus dem regulären Kultbetrieb eines so großen Heiligtums, wie jenem der Artemis in Ephesos, diverse Einnahmequellen ergaben, vorwiegend durch Einhebung unterschiedlichster Tempelabgaben[19] und den Empfang von Bußzahlungen[20]. Häufig wurde das Heiligtum auch als Nachlassempfänger eingesetzt[21] und profitierte von privaten und öffentlichen Stiftungen[22]. Der Artemis wurden in römischer Zeit vor allem Speise-[23] und Trankopfer, Weihrauch und Spenden anderer Art dargebracht[24]. Mit Sicherheit gab es einen einträglichen Handel mit tierischen Schlachtopfern, deren Fleisch schließlich bei festlichen Kultmählern[25] verzehrt oder dem Heiligtum für die Armenspeisung überlassen wurde.

---

[5] Engelmann 1991, 294; Engelmann 2001, 34. Die Stadt Ephesos hatte trotz römischer Oberherrschaft eine Selbstverwaltung, wie es bei größeren Städten im Allgemeinen üblich war: CIL I 588.

[6] Von Autoren vor allem aus römischer Zeit wird für die Spätklassik das Oberhaupt der priesterlichen Hierarchie mehrfach als Megabyzos überliefert: Strab. 14, 641; Ach. Tat. 7, 12; Diog. Laert. 2, 51; Xen. an. 5, 3, 6; Plaut. Bacch. 312. s. auch Debord 1982, 53; Strelan 1996, 42. 77; LiDonnici 1999, 202. Für eine ausführliche kritische Analyse der schriftlichen Überlieferung zu den Megabyzoi s. Smith 1996, 323–335.

[7] Knibbe – İplikçioğlu 1984a, 42; Jessen 1905, 2758; Kirbihler 2013.

[8] Debord 1982, 95. 257.

[9] IvE 3503–3505. 3506–3512. 4202; Knibbe u. a. 1979, 139–148.

[10] IvE 4624; IvE 2076. Engelmann 1986, 107 f.

[11] Strab. 14, 1, 26; Keil 1930, 51–56 Anm. 36; Curtius 1870, 188–189; Debord 1982, 148.

[12] İçten – Engelmann 1995, 89 Nr. 2.

[13] Strab. 14, 1, 29.

[14] Syll³ 742, 34: εἰ δέ τινες ἔνεισον ἐν ταις ἱεραις μισθώσεσιν; Debord 1982, 158.

[15] Etym. m. ΔΑΙΤΙΣ; Debord 1982, 208 Anm. 208.

[16] Vitr. 10, 2, 11–15; Blümner 1884, 37–38.

[17] IvE 4102. Der Schrift nach gehört die Inschrift in frühhellenistische Zeit: Walser 2008, 253.

[18] Zimmermann 1874, 64.

[19] Broughton 1959, 871; Debord 1982, 235.

[20] IvE 27 Z. 403–408. 528–531; 3827 (Grabbuße).

[21] IvE 669. 678. 731. 3076–3078.

[22] IvE 27.

[23] In protogeometrischer Zeit sind auch Brandopfer von Ziegen und Schafen belegt. s. G. Forstenpointner, Das Artemision in der späten Bronzezeit und der frühen Eisenzeit, Tierreste, in: Muss 2008, 37. In archaischen Schichten wurden auffallend viele Reste von Ferkeln gefunden, wobei unklar bleibt, ob diese im Rahmen der Kultmähler verspeist wurden oder für Brandopfer Verwendung fanden. s. G. Forstenpointner, Demeter im Artemision?, in: Muss 2001, 49–70. Zusammenfassend: G. Forstenpointner – G. E. Weissengruber, Tierknochenfunde aus dem Artemision, in: Muss 2008, 157–165.

[24] Cramer, Anecd. Oxon. II 435; vgl. Jessen 1905, 2761.

[25] IvE 27 Z. 22–226; vgl. auch İplikçioğlu – Engelmann – Knibbe 1989, 175 Nr. 9 sowie Brief Nr. 64 des Apollonios von Tyana an das Artemision.

In der römischen Kaiserzeit wurde der Tempel als stabile und sichere Depositenbank geschätzt[26], deren Transaktionen internationale ökonomische Bedeutung zukam[27]. Aus den eigenen Einkünften vergab der Tempel aber auch Darlehen an öffentliche und private Instanzen, wobei dies meist hypothekarische Kredite waren[28]. Die Darlehen wurden allerdings nur aus eigenen Einnahmen und Erträgen ausgegeben, nicht aber aus den Einlagen finanziert, für deren sichere Aufbewahrung das Artemision berühmt war[29]. Das reiche Heiligtum übernahm zeitweise auch teure städtische Ämter wie die Prytanie[30] oder die Gymnasiarchie[31] und bezahlte etwa den laufenden Betrieb des Hafengymnasiums, um das städtische Budget zu entlasten. Innerhalb des Heiligtums wurde verwahrt, was langfristig vor Zerstörung geschützt werden sollte: Abgesehen von Weihgaben aus verschiedenen Epochen, die dem Temenos eine museale Funktion verliehen[32], wurden vor allem bedeutende schriftliche Dokumente im Tempelarchiv deponiert[33]. Gerichtliche Entscheidungen und öffentliche Beschlüsse[34] wurden im Tempelbezirk ebenso verwahrt wie die Originalschriften Heraklits[35]. Weiters ist inschriftlich belegt, dass der Primärsatz des ephesischen Normalgewichts im Heiligtum unter Verschluss gehalten wurde[36]. Zugänglich war das Temenos für alle, auch für Fremde[37]. Für verheiratete Frauen galt allerdings unter Androhung der Todesstrafe Zutrittsverbot zum Allerheiligsten, während Männer und Jungfrauen dieses betreten durften[38].

Das Artemisheiligtum besaß das Asylrecht[39] und bot Schutzsuchenden und Verfolgten Zuflucht in einem Bereich, der von dem übrigen Temenos durch eine Mauer abgetrennt war[40] und in unmittelbarer Umgebung des Tempels angenommen werden muss. Jeder Schutzbedürftige, unabhängig von Herkunft und sozialem Status, hatte die Möglichkeit, um Asyl anzusuchen, ausgenommen waren lediglich zum Tode Verurteilte[41]. Es wurden insolvente Schuldner auf der Flucht vor ihren Gläubigern aufgenommen[42], wie auch Sklaven, die ihren Besitzern zu entrinnen suchten. Letztere konnten in Besitz des Heiligtums übergehen und dort der Göttin dienen, wenn die Magistrate (ἄρχοντες) des Tempels das Streiturteil zu ihren Gunsten entschieden[43]. Für den

---

[26] Caes. civ. 3, 33; Plaut. Bacch. 312; Dion Chrys. Or. 31, 54–56; Xen. an. 5, 3, 6; Quellen zusammengefasst von R. C. Kukula, Literarische Zeugnisse über den Artemistempel von Ephesos, in: Benndorf 1906, 261–262; s. auch Engelmann 2001, 40. »Die Bank war berühmt für die Sicherheit, die sie ihren Kunden bot. Sie durfte säumige Schuldner pfänden, ohne dass diese Rechtsmittel einlegen konnten, die einen Aufschub der Zahlung bewirkt hätten. Dieses Privileg erhöhte die Sicherheit der Gelder, welche die Tempelbank ausgeliehen hatte.« Vgl. IvE 27 Z. 309–310; Knibbe u. a. 1993, 120; Walser 2008, 177.

[27] Aristeid., An die Städte über die Eintracht, 24; Jessen 1905, 2755; Rogers 2007, 141.

[28] Walser 2008, 177; Bogaert 1986, 20.

[29] Strab. 14, 1, 22; Dion Chrys. 31, 54–55; Walser 2008, 178.

[30] IvE 1078; Engelmann 2001, 35.

[31] IvE 1143; Engelmann 1998b, 305–311.

[32] Überlieferte Kunstwerke, aufgestellt innerhalb des Tempelbezirks, zusammengestellt von R. C. Kukula, Literarische Zeugnisse über den Artemistempel von Ephesos, in: Benndorf 1906, 250–252; s. auch Bürchner 1905, 66–68 sowie Zimmermann 1874, 76.

[33] Engelmann 2001, 41.

[34] IvE 4, Z. 21. Über hundert frühhellenistische Bürgerrechts- und Proxeniedekrete kommen aus dem Artemision, wie auch das ephesische Gesetz über die Schuldentilgung, die dort an einem bisher unbekannten Gebäude für die Öffentlichkeit sichtbar und zugänglich verewigt waren. Vgl. Walser 2008, 13. 29. 238–239.

[35] Diog. Laert. 9, 6.

[36] Brit. Mus. III Nr. 449, 4. Vergleichbar mit dem Tempel des Castor und Pollux auf dem Forum Romanum, der als Aufbewahrungsort für Normalmaß und -gewicht überliefert ist (CIL V, 8119.4; XI, 6726.2; XIII, 10030.13).

[37] Philostr. ep. 67.

[38] Ach. Tat. 7, 13, 3; Artem. Odeira 4, 4.

[39] Cic. Verr. 2, 1, 33. 85; Ach. Tat. 7, 13, 3; 8, 2, 2; Plut. mor. 828 D.

[40] IvE 1520. »Das Heiligtum der Artemis, soweit es sich innerhalb dieser Mauer befindet, ist frei von Misshandlung und Verfolgung. Wer dagegen verstößt, hat sich die Folgen selbst zuzuschreiben.«

[41] RE II 2 (1896) 1881–1886 s. v. Asylon (P. Stengel).

[42] Plut. mor. 828; Plut. De vitando aere alieno 31; Cic. Verr. 2, 1, 33; App. Mithr. 23; App. civ. 5, 4; Derlien 2003, 305.

[43] Ach. Tat. 7, 13, 3; Debord 1982, 81; Thür 2003, 34.

abgetrennten Asylbereich ist ein Verbot des Waffentragens überliefert[44]. Es ist davon auszugehen, dass es zahlreiche Unterbringungsmöglichkeiten für anerkannte Asylanten gegeben haben muss, ebenso wie für Priester, Tempeldiener und ständiges Kultpersonal. Ein neuer Inschriftenfund aus dem Jahr 2013 erwähnt etwa Severa, die heilige Flötenspielerin (αὐλήτρια/αὐλητρις) der Göttin, deren Grabpflege verschiedene Vereinigungen übernahmen, darunter die Artemisiastai und die »Flötenspielerinnen und Opferkreischerinnen in Ephesos«. Diese Inschrift belegt eine (wahrscheinlich) berufsmäßige Ausübung dieser Tätigkeiten, deren Verbindung mit dem Heiligtum der Artemis naheliegt[45].

Strabon berichtet von einer Erweiterung des Asylbereichs unter Alexander d. Gr. um ein Stadium[46]. Unter Marc Anton wird der geschützte Bereich weiter ausgedehnt und umfasst nun die gesamte Fläche des Heiligtums und reicht sogar bis ins städtische Gebiet[47]. Im Jahr 39 v. Chr. erwähnt eine Inschrift die Einrichtung einer Wache im Heiligtum der Artemis, wahrscheinlich als Reaktion auf einfallende parthische Truppen[48]. Augustus annulliert die Erweiterung Marc Antons und gibt dem Asyl seine älteren Grenzen zurück[49]. Ein weiteres Beispiel kaiserlicher Intervention in Angelegenheiten des Artemisions ist die Anweisung des Augustus an den Prokonsul Sex. Appuleius, die in das Jahr 23/22 v. Chr. datiert, die Pflasterung eines Teils des Prozessionsweges in Ephesos aus den Einkünften des Artemisions zu finanzieren[50]. Im Jahr 6/5 v. Chr. wird schließlich auf Anweisung von Augustus unter Prokonsul C. Asinius Gallus der Landbesitz des Artemisions neu vermessen, wie zahlreiche erhaltene Inschriftenprotokolle belegen, die Sex. Lartidius als verantwortlichen Projektleiter nennen[51]. Unter Kaiser Tiberius werden die griechisch-kleinasiatischen Tempelasylrechte vom römischen Senat einer Überprüfung unterzogen, die Tacitus detailliert überliefert und die in die Jahre 22/23 n. Chr. fällt[52]. Eine ephesische Gesandtschaft erreicht in Rom schließlich die Bestätigung des Asylrechts für das Artemision per Senatsbeschluss[53].

Das Asyl des ephesischen Artemisions war überregional anerkannt[54] und muss groß genug gewesen sein, um Flüchtigen andauernde Versorgung zu bieten, sodass diese in der Schutzzone langfristig wohnen konnten[55]. Die prominenteste Asylantin war wohl Arsinoe IV., die Schwester Kleopatras, die fünf Jahre im Asylbereich des Artemisions lebte, bevor sie dort im Jahr 41 v. Chr. ermordet wurde[56]. Martin Dreher verweist darauf, dass die Asylie in der römischen Kaiserzeit als verbliebener Überrest der früheren selbstständigen Polis für das städtische Selbstbewusstsein eine wichtige Wirkung hatte, um die formal gegebene Autonomie konkret fassen zu können[57].

In der römischen Kaiserzeit wird das Asyl im Artemision von Ephesos von verschiedenen Stimmen aber auch als rechtsfreier Raum kritisiert, in dem sich Verbrecher, Diebe und andere

---

[44] Cramer, Anecd. Oxon. II 435.

[45] Die Inschrift wurde auf einem Sarkophag bei der Damianosstoa geborgen und datiert grob in das 2./3. Jh. n. Chr. Den Hinweis auf eine späthellenistische pergamenische Inschrift (IvP II 255), die ebenso Flötenspielerinnen und »Opferkreischerinnen« als Berufsgruppen erwähnt, verdanke ich Christoph Samitz.

[46] Strab. 14, 1, 23.

[47] Caes. civ. 3, 105.

[48] IvE 1387.

[49] Strab. 14, 1, 23.

[50] IvE 459; Dräger 1993, 22 Anm. 2.

[51] Engelmann 1993, 279–282; IvE 1522–1524. 3501–3502. 3516. 4624; SEG 39, 1175; İçten – Engelmann 1998, 83 Nr. 1. Eventuell auch IvE 3513, s. Walser 2008, 223.

[52] Tac. ann. 3, 60–63; 4, 14, 1. Derlien 2003, 287–303.

[53] Derlien 2003, 303. Kurze Zeit später, im Jahr 26 n. Chr, verliert Ephesos allerdings den Kampf um das Recht, einen Kaisertempel zu errichten, an Smyrna.

[54] Tac. ann. 3, 60–61; Strab. 14, 641.

[55] Der Spartanerkönig Pleistoanax etwa soll nach Thukydides (5, 16) 19 Jahre im Asyl des Zeus Lykaios in Megalopolis gelebt haben. Pausanias verbrachte sogar seinen gesamten Lebensabend im Asyl der Athena Alea in Tegea: Xen. hell. 3, 5, 25; Plut. Lys. 28; Paus. 3, 5, 6 f.

[56] Ios. ant. Iud. 15, 89; Cass. Dio 48, 24; App. Civ. 5, 9 (34). Zur Widersprüchlichkeit der Quellenüberlieferung s. Fischer 2011, 189 Anm. 86.

[57] Dreher 1996, 93.

zwielichtige Gestalten sammeln[58]. Überliefert sind zudem Vorkommnisse über rechtswidrige Aneignung von Tempelland durch das Versetzen von Grenzsteinen[59]. Deshalb wurden die Besitzungen des Tempels unter Domitian und später noch einmal unter Trajan neu vermessen und nach Meinung von Michael Dräger auch bedeutend erweitert[60]. Ein Inschriftenfund in der Nähe von Metropolis datiert den Beginn der domitianischen Neuvermessung bereits in die Jahre 84/85 n. Chr. und belegt damit auch, dass Landgüter bei Metropolis östlich des Gallesion-Gebirges im Besitz des Artemisions waren[61]. Die Vermessung südlich gelegener Tempelgüter am Nordrand der Messogis wurde von dem Prokonsul P. Nonius Asprenas Caesius Cassianus auf Anordnung Domitians im Jahr 86 n. Chr. begonnen[62] und im folgenden Jahr von dem neuen Prokonsul C. Vettulenus Civica Cerialis beendet[63]. Die Aufnahme der nördlichen Tempelgüter am Südrand des Tmolos mit Larisa als ›heiliger Siedlung‹ wurde unter dem Prokonsul L. Mestrius Florus im Jahr 88 n. Chr. in Angriff genommen und ein Jahr später beendet[64].

Plinius und Strabon überliefern eine Kultstatue der Hekate des Künstlers Menestratus, die hinter dem Artemistempel aufgestellt gewesen sein soll[65]. Epigrafische Zeugnisse benennen zahlreiche andere Bauten innerhalb des Artemisions, wie etwa ein Gymnasion[66], ein Augusteum oder Sebasteion[67] sowie ein Hestiatorion, gestiftet von Titus Flavius Damianus für die Speisung von Obdachlosen und Armen zu Beginn des 3. Jahrhunderts n. Chr.[68]. Weitere epigrafische Hinweise auf kaiserzeitliche Bebauung innerhalb des Temenos geben ein dort gefundener monumentaler augusteischer Architrav mit Kaiserinschrift[69], die Erwähnung einer Stoa beim Tempel[70] sowie ein Verweis auf die Wiederherstellung eines Gebäudes im Artemision um 160 n. Chr.[71]. Eine Ehreninschrift der Zimmerleute des Tempels für P. Vedius Antoninus legt nahe, dass es für die Instandhaltung der zahlreichen Bauten innerhalb des Temenos eigene Handwerkergilden gab, die im ständigen Dienst des Artemisions standen[72]. Aufschluss über vorhandene Infrastruktur gibt zudem die Erwähnung einer Fernwasserleitung, über welche das Heiligtum seit dem 1. Jahrhundert n. Chr. Wasser aus dem Kaystros-Tal erhielt[73].

Zu Ehren der Göttin Artemis wurden alle vier Jahre heilige Spiele, Artemisia, ausgerichtet, die neben großen religiösen Festveranstaltungen auch musische und gymnische Kranzagone[74] beinhalteten und wahrscheinlich auch vom Artemision selbst finanziert wurden[75]. Die Inszenierung eindrucksvoller Zeremonien bot den Teilnehmern die Möglichkeit, die eigene Tradition bewusst zu erleben sowie die Stärke und Lebendigkeit des Kults um die Stadtgöttin nach außen zu demonstrieren[76]. Die Festlichkeiten waren nicht unerhebliche Einnahmequellen für Stadt und Heiligtum

[58] Apollonios von Tyana 4, 3, 3; Strab. 14, 1, 23; Plut., De vitando aere alieno 31; Debord 1982, 94.
[59] Debord 1982, 153.
[60] Dräger 1993, 166–168.
[61] Engelmann 1999, 143–146 Nr. 4.
[62] IvE 3506; Knibbe u. a. 1979, 139–148.
[63] IvE 3510; Knibbe u. a. 1979, 139–148.
[64] IvE 3508; Knibbe u. a. 1979, 139–148.
[65] Plin. nat. 36. 4, 20; Strab. 14, 641.
[66] IvE 938. 938a; Engelmann 2001, 43.
[67] IvE 412. 1522; Engelmann 1993, 279–289; Scherrer 1990, 87–101; Price 1984, 254 Kat. 28; Kirbihler – Zabrana 2014.
[68] Philostr. soph. 2, 23, 2; Suda s. v. Damianos.
[69] IvE 408; Knibbe 1972–1975, 10 Nr. 3. Auf den drei Fascien des ionischen Architravs befindet sich eine Kaiserinschrift, die das zugehörige Gebäude als Stiftung von Augustus und Lucius Caesar ausweist.
[70] IvE 1545, das Fragment wird in trajanische Zeit datiert.
[71] IvE 4327; J. Keil, Inschriften, in: Keil 1951, 275–295 Nr. 27.
[72] IvE 3075.
[73] IvE 3219. 4237; Knibbe – İplikçioğlu 1984b, 121; RE V 2 (1905) 2822 s. v. Ephesos (Bürchner); Heberdey 1898, 82.
[74] IvE 18. 24. 212. 1104. 1460; TAM II 587; IvE 1606, 12–14; Dion. Hal. ant. 4, 25; Paus. 4, 31, 6; Thuk. 3, 104; Lehner 2004, 143; RE II (1896) 1442 s. v. Artemisia (Stengel).
[75] Lehner 2004, 139.
[76] Engelmann 1998a, 106–107; Samitz 2015, 21–23.

und hatten daher neben sozialer und religiöser Bedeutung sicher auch wirtschaftliche Funktion[77]. Die Agone, mit internationalen Athleten und Künstlern besetzt, wurden im heiligen Monat der Artemis abgehalten, in dem allgemeiner Rechtsfriede *(iustitium)* und Feiertagsruhe galt[78]. Für die Artemisia konnten die gymnischen Disziplinen des Boxkampfes[79], des Pankrations[80], des Dolichos und Diaulos[81] sowie des Pentathlons[82] nachgewiesen werden. Für musische Agone, die traditionell auch szenische Darbietungen beinhalteten[83], finden sich als Belege die Siegesnennungen eines Enkomiendichters[84], eines Rhetors[85], eines Choraules[86], dreier Komödianten[87] sowie eines Kitharoden[88]. Helmut Engelmann geht von einer Ausrichtung des musischen Teils der Artemisia innerhalb des Heiligtums aus[89]. Das inschriftlich überlieferte Gymnasion im Artemision könnte ebenfalls mit den Artemisia in Verbindung gebracht werden, wird doch in einer der beiden Inschriften ein Gymnasiarch im Heiligtum der Artemis erwähnt, weshalb die Annahme naheliegt, dass die Erhaltung des Gymnasions im Artemision vom Heiligtum selbst finanziert wurde und das Gebäude auch bei den Artemisia als Veranstaltungsort Verwendung fand[90]. Die Stiftungsinschrift der Starteinrichtung einer Rennbahn durch eine Artemispriesterin namens Tryphosa, die am Ayasoluk gefunden und von Josef Keil mit dem Stadion in Zusammenhang gebracht wurde, könnte sich auch auf vergleichbare Anlagen innerhalb des Artemisions beziehen[91]. Als weiterer Hinweis für die Existenz eines Stadions im Artemision kann auch die Bemerkung Richard Chandlers verstanden werden, der in seinen »Travels of Asia Minor« aus dem Jahr 1775 erwähnt, dass das sog. Tor der Verfolgung zu einem großen Teil aus sekundär verwendeten Sitzstufen errichtet worden war, die seiner Meinung nach von einem Theater oder Stadion stammen könnten[92].

Der früheste Hinweis auf einen im Rahmen der Artemisia veranstalteten Agon ist das Edikt des Prokonsuls Paullus Fabius Persicus zu finanziellen Missständen in der Stadt und im Artemision von 44 oder 51 n. Chr.[93]. Der römische Erlass empfiehlt u. a., für die Musikfestspiele nicht mehr hochbezahlte Virtuosen (Hymnodioi) anzuwerben, sondern die Durchführung stattdessen

---

77 Engelmann 1998a, 107; Strelan 1996, 57–58; man denke etwa an den überlieferten Devotionalienhandel des Demetrius, Apg. 19, 24 f.; s. auch Künzl – Koeppel 2002, 70–73.

78 IvE 24, datiert um 163 n. Chr.; Engelmann 1998a, 107.

79 IvE 1605.

80 IvE 1615.

81 Moretti 1953, Nr. 76.

82 Knibbe u. a. 1993, 134 Nr. 31.

83 Detaillierte Informationen über Programmbestandteile eines musischen Agons gibt die kaiserzeitliche Inschrift des C. Iulius Demosthenes, welcher ein Fest für die lykische Stadt Oinoanda stiftete. Es sind neun aufeinanderfolgende Wettkämpfe in dieser Abfolge vorgesehen: Trompeter, Herolde, Verfasser von Prosaenkomien, Dichter, Oboisten mit Chor, Interpreten klassischer Komödien, Interpreten klassischer Tragödie, Sänger zur Kithara, Schlussausscheidung unter den Einzelsiegern. s. Wörrle 1988, 229.

84 IvE 1140a: Menodoros siegt bei den Artemisia als Enkomiendichter im Laufe des 3. Jhs. n. Chr.

85 IvE 4114; Keil 1932, 91–92 Nr. 14. Inschrift einer Statuenbasis des Rhetors Aurelius Athenaios.

86 Siegerinschrift aus Delphi: FdD 3, 4 (Paris 1976) Nr. 476. Datierung um 200 n. Chr. Den Hinweis auf diese Inschrift verdanke ich Christoph Samitz, dem ich dafür herzlich danke.

87 IvE 1606, ein Pais Komodos, Sieger bei den Artemisia; IvE 1467, der jugendliche Komödiant T. Fl. Sarpedon als Sieger bei den Artemisia erwähnt. Beide Inschriften wurden von J. T. Wood auf dem Gebiet des Artemisheiligtums gefunden. Didyma, Inschrift Nr. 183, Siegesinschrift des Bassus für einen errungenen Sieg als Komödiant bei den Artemisia, s. Rehm 1958, 146–147.

88 Eine Statuenbasis aus Iasos nennt den Kitharoden Phanias als Sieger bei den Großen Artemisia. s. Blümel 1985, 110 Nr. 110.

89 Engelmann 1998a, 102.

90 IvE 938. 938a; Engelmann 2001, 43.

91 IvE 1139; Keil 1915b, 283.

92 Chandler 1775, 141–142. »The castle is a large and barbarous edifice, the wall built with square towers. You ascend to it over heaps of stones intermixed with scraps of marble. An outwork, which secured the approach, consisted of two lateral walls from the body of the fortress, with a gateway. This faces the sea, and is supported on each side by a huge and awkward buttress, constructed chiefly with the seats of a theatre or stadium, many of them marked with Greek latters. Several fragments of inscriptions are inserted in it, or lie near.«

93 IvE 17–19, Vertreter der frühen Datierung 44 n. Chr.: Dörner 1935; Keil 1908, 101–110; Lehner 2004, 142. Spätere Datierung: Witulski 2007, 9 Anm. 4.

der städtischen Jugend (den Epheben) ohne Entlohnung zu überlassen, um so die städtischen Ausgaben zu senken.

Aufschluss über vorrömische Agone zu Ehren der Artemis finden sich in den Schriften des spätantiken Autors Macrobius[94]. Er zitiert einen hellenistischen Dichter namens Alexander Aetolus, der von einem Dichterwettstreit in Ephesos zu Ehren der Diana erzählt. Den Wettkampf konnte Timotheus von Milet, Sohn des Thersander, für sich entscheiden, der ein Preisgeld von 1 000 Goldstücken erhielt. Sollte sich diese Überlieferung tatsächlich auf den Artemistempel beziehen, wurde der Dichterwettstreit noch beim älteren Artemision abgehalten, da Timotheus Mitte des 5. Jahrhunderts v. Chr. geboren worden war und kurz vor der Geburt Alexanders d. Gr. und der verheerenden Brandzerstörung des älteren Tempels im Jahr 356 v. Chr. verstarb[95].

## I.3 REZEPTION UND REISEBESCHREIBUNGEN DES ARTEMISIONS (16.–19. JAHRHUNDERT)

Mit der Etablierung des Humanismus und dem dadurch erwachten Interesse an der Antike übte der berühmte Artemistempel von Ephesos eine besondere Faszination aus. Die Lage des Tempels war in Vergessenheit geraten, wodurch die Spekulationen über dessen legendäre Pracht und Herrlichkeit noch gefördert wurden. Die Überreste des Odeions im Artemision jedoch waren durch alle Jahrhunderte mehrere Meter oberhalb des Laufniveaus zu sehen, weshalb die Möglichkeit bestand, diese in frühen Planskizzen verzeichnet oder in Reisebeschreibungen erwähnt zu finden.

Bis in die Mitte des 17. Jahrhunderts, vor Beginn der intensiven Reisetätigkeit in den Orient, bildeten antike Autoren und Münzdarstellungen die einzige Informationsquelle für die Vorstellungen über das Artemision[96]. In zahlreichen antiken Quellen wurde das Bauwerk wegen seiner Berühmtheit, Größe und Schönheit genannt[97]. Das Artemision fand daher schon bald seinen Platz in den Auflistungen der antiken Weltwunder, als deren älteste jene des Antipatros aus Sidon vom Ende des 2. Jahrhunderts v. Chr. gilt[98].

Unterschiedliche antike Quellen geben Auskunft zu verschiedenen Aspekten der Gestaltung oder des Bauvorgangs, beschreiben aber auch das Temenos, aufgestellte Weihgeschenke sowie Besonderheiten der dort vollzogenen Rituale[99]. Christof Berns weist darauf hin, dass trotz dieser teils sehr detaillierten Schilderungen der Tempel als Weltwunder und architekturtheoretisches Leitmotiv in der Antikenrezeption vom 16. bis zum 18. Jahrhundert immer im Vordergrund blieb[100]. Die älteste nachantike Darstellung kann dem holländischen Maler Maarten van Heemskerck zugeschrieben werden, der den Tempel im Jahr 1572 nach seiner Vorstellung in Anlehnung an die von Leon Battista Alberti erbaute Basilika Santa Maria Novella darstellte[101].

In den ältesten Reiseberichten herrscht weitgehende Einigkeit über den Standort des Artemistempels und den ihn umgebenden heiligen Bezirk. Schon Jacob Spon und George Wheler, die den ersten europäischen Reisebericht mit ausführlicher Beschreibung von Ephesos im Jahr 1678 veröffentlichten, glaubten in den pittoresken Ruinen des Hafengymnasiums den »Tempel der Diana« zu erkennen[102]. Der französische Botaniker Joseph Pitton de Tournefort bereiste in den Jahren 1700–1702 im Auftrag des französischen Königs die Levante. Auf seiner Rückreise kam er durch Ephesos und ließ einen Plan zeichnen, der die Hafenthermen ebenso als »Ruines du

---

94 Macr. Sat. 5, 22, 5.
95 Hogarth 1908, 5.
96 Berns 2010, 39. Trell 1945 fasst alle Münzdarstellungen des Artemistempels zusammen.
97 Hdt. 2, 148; Aristoph. Nub. 599; Kall. H. 3, 249; Phil. 6; Liv. 1, 45; Strab. 16, 647; Mela 1, 88; Dion. Per. 200; Dion. Chrys. Or. 40. 162 R; Mart. epigr. De spect. 1, 3; Hyg. astr. fab 223; Apul. met. 11, 1; Paus. 4, 31, 8; 7, 5, 7; Anth. Pal. 9, 58.
98 Anth. Pal. 9, 58.
99 s. o. Kap. I.2.
100 Berns 2010, 40.
101 Schaber 1982, Abb. 36. Zur Geschichte der Rekonstruktionsversuche des Tempels selbst s. Schaber 1982, 24–48.
102 Spon – Wheler 1678, Planbeil.; Plan auch in Benndorf 1906, 8 Abb. 1. publiziert.

temple de Diane« bezeichnet[103]. Dieser Vermutung folgte auch Richard Pococke[104], der in den Jahren 1739/1740 Ephesos besuchte, wie auch viele andere Reisende im Laufe des 18. und 19. Jahrhunderts[105]. Vor allem das sumpfige Gebiet um das römische Hafenbecken erinnerte die Besucher an die Beschreibungen des Plinius und des Diogenes Laertius, die detailliert über die Probleme und Maßnahmen bei der Gründung des Fundaments im Marschland berichteten[106]. Aber auch andere Gebäude, wie etwa das erhaltene Stadiontor, wurden als Reste des Tempels interpretiert[107].

Im Jahr 1828 kritisiert der britische Kaplan Francis Vyvyan Jago Arundell aus Smyrna erstmals, dass die vermutete Lage des Tempels am Hafenbecken Unstimmigkeiten hinsichtlich der antik überlieferten Entfernung zur Stadt mit sich bringe[108]. Nur kurze Zeit später, im Jahr 1833, bemerken auch Joseph Michaud und Baptistin Poujoulat, dass viele ihrer Vorgänger das Hafengymnasium mit dem Artemistempel identifizierten, dabei aber vergaßen, dass das Hafengymnasium innerhalb der Stadt lag, die schriftliche Überlieferung das Heiligtum aber außerhalb derselben lokalisierte[109].

Nachdem der 24-jährige Heinrich Kiepert 1842 Ephesos bereist hatte, fertigte er ein Jahr später einen Plan von Ephesos an, der in der Dissertation seines Freundes Ernst Guhl im selben Jahr publiziert wurde. In diesem Plan wird der Tempel der Artemis zum ersten Mal nördlich außerhalb der Stadt in der Mitte der Kaystros-Ebene vermutet[110]. Die Lokalisierung von Kiepert bleibt jedoch nicht unwidersprochen und noch 1862 verteidigt Edward Falkener die Lage des Tempels südwestlich des römischen Hafenbeckens[111].

Besucher des Odeions im Artemision sind nicht überliefert, jedoch lässt der Fund einer 5-Kreuzermünze des Habsburgerkaisers Franz I./II., die in die Jahre 1792–1835 datiert und am Gebäude gefunden wurde[112], an Anton Ritter Prokesch von Osten als möglichen Besitzer denken, der Ephesos im April 1825 besuchte[113].

Es konnten also bisher weder Beschreibungen noch Planeinträge oder frühe Fotografien des Gebäudes aufgespürt werden, die vor der zweiten Hälfte des 19. Jahrhunderts datieren, als John Turtle Wood das Artemision wiederentdeckte (vgl. Kap. II.1). Grund dafür ist wahrscheinlich die bis in das 20. Jahrhundert gängige Annahme, dass die Ruine seldschukisch zu datieren sei, zumal in ihrer unmittelbaren Umgebung zahlreiche seldschukische Türben, Hamams und Moscheen zu finden sind.

*Lilli Zabrana*

---

103 Pitton de Tournefort 1717, 390.

104 Pococke 1745, 46.

105 z. B. Choiseul-Gouffier 1782, 310 f. Taf. 120; Dilettanti 1797, 30 Taf. 44; Laborde 1838, 91 Taf. 45; Wohlers-Scharf 1995, 47, erwähnt 17 Reisende, die bis zur Entdeckung des tatsächlichen Standorts durch J. T. Wood im Hafengymnasium den Artemistempel zu erkennen glaubten. Auflistung aller Reisender auch bei Foss 1979, 204, unterschiedliche Lokalisierungen auch bei Falkener 1862, 190–194 erwähnt.

106 Plinius berichtet, dass die Gründung der Fundamente durch eine Holzkohleschicht sowie aufgespannte Schafsfelle gesichert worden war, Plin. nat. 36, 21. Diogenes Laertius erwähnt die Holzkohleschicht gegen die Feuchtigkeit ebenfalls, Diog. Laert. 2, 103. Beides auch bei Hesychius Milesius fr. 34 rezipiert.

107 Le Brun 1714, Abb. 9.

108 Arundell 1828, 50–51 »Perhaps the most probable solution of the difficulty will be, that the entire remains of the temple are buried under the soil. […] The relative position of the temple with the Selinusian lakes would be in favour of a conjecture that it stood considerably lower down, and more towards the north-east than the spot usually assigned to it. This would agree better with the distance from the city, and its situation without the Magnesian Gate, which can never be imagined to be that, as Chandler supposes, next to Aiasaluk (Anm. d. Verf.: Tor der Verfolgung).«

109 Michaud – Poujoulat 1833, 291–292. Ähnliche Kritik auch von v. Schubert 1838, 301–302 geäußert.

110 Guhl 1843, Plan 2.

111 Falkener 1862, 209 Anm. 1.

112 M1/2009, Sondage 1/2009, SE 106, Fundort: auf Höhe der Fensteröffnung zu Kammer 6.

113 Bürchner 1905, 59. Ritter Prokesch von Osten zur Umgebung des Odeions: »Zwischen Aisoluk und dem Prion bilden hie und da Ruinen die Verbindung und brechen die Oede.«, Prokesch 1836, 98.

# II AUSGRABUNGS- UND FORSCHUNGSGESCHICHTE DES ARTEMISIONS

Die Ausführlichkeit der vorgelegten Forschungsgeschichte ist dem Umstand zu verdanken, dass zu Beginn des Projekts nur wenig über die frühesten Grabungen von John Turtle Wood innerhalb des Temenos bekannt war. Es wurde in der Regel darauf verwiesen, dass es, abgesehen von Woods summarischer Publikation »Discoveries of Ephesos«, keinerlei Dokumentation seiner Arbeiten gäbe. Durch Archivrecherchen im British Museum in London konnten allerdings zahlreiche aussagekräftige Informationen gewonnen werden. In den zeitnahen schriftlichen Berichten Woods an das British Museum[114] sind häufig Details zu finden, die in der Jahre später erschienenen Publikation nicht mehr erwähnt sind. Darüber hinaus konnte originales Plan- und Kartenmaterial[115] eingesehen werden, dessen Bedeutung nicht nur für die Forschungen im Artemision, sondern für den gesamten Großraum von Ephesos von unschätzbarem Wert ist.

Ziel der intensiven Beschäftigung mit der frühesten Forschungsgeschichte war die Lokalisierung von Strukturen, die Wood bereits innerhalb des Temenos z. T. freigelegt hatte. Fraglich war ebenso, ob Wood im Bereich des Odeions gegraben oder das Gebäude anderweitig als Orientierung für seine Arbeiten gedient hatte. Die nachfolgenden Tätigkeiten unter Otto Benndorf, David G. Hogarth und Anton Bammer werden ebenfalls ausführlich beschrieben, um den Fokus der Artemision-Forschungen zu verdeutlichen, die sich hauptsächlich mit dem Tempel sowie seiner unmittelbaren Umgebung beschäftigten.

## II.1 DIE WIEDERENTDECKUNG DURCH JOHN TURTLE WOOD (1863 – 1874)

John Turtle Wood (1821–1890) wurde am 13. Februar 1821 im Norden Londons in eine großbürgerliche Familie geboren[116]. Er erhielt Privatunterricht und entschloss sich früh zu einer Ausbildung zum Architekten, die er in Cambridge und Venedig absolvierte. Nachdem er im Jahr 1853 geheiratet hatte, arbeitete er als freier Architekt in London. Schließlich wurde Wood im Jahr 1858 als Architekt für die Errichtung der Bahnhöfe entlang der geplanten Eisenbahnstrecke Izmir – Denizli in der Türkei verpflichtet[117]. Seine Bemühungen, um eine Anstellung bei der »Ottoman Railway Company« erfolgten im Wissen, dass die antike Stadt Ephesos mit ihrem legendären Tempel der Artemis in unmittelbarer Nähe der geplanten Streckenführung lag.

Wood begann bereits im Jahr 1863, die sichtbaren Ruinen der Stadt zu begehen und aufzuzeichnen, um sich zu orientieren[118]. Auch war er auf der Suche nach konkreten Hinweisen auf die Lage des Tempels, die es lohnen würden, die Suche weiterzuverfolgen. Er investierte zunächst sein privates Vermögen, konnte aber schließlich das British Museum in London von seiner Unternehmung überzeugen, welches seine Grabungen schließlich subventionierte[119].

---

114 Ein Teil der Wood-Korrespondenz mit dem British Museum ist im Zentralarchiv des British Museum archiviert (Reports). Für die Einsichtnahme derselben danke ich Stephanie Clarke sehr herzlich. Weitere Dokumente, vor allem der Briefwechsel von Wood mit Sir Charles Newton, finden sich im Archiv des Greek and Roman Departement. Chiara Rovira sei für die Hilfe bei der Sichtung aller relevanten Dokumente ebenfalls gedankt.

115 Alle Originalpläne von J. T. Wood sind im Archive of Greek and Roman Departement des British Museums archiviert. Für die Möglichkeit zur Einsichtnahme bin ich Peter Higgs verpflichtet, dem ich sehr herzlich danke.

116 Ervine 1869, 376–384.

117 Ervine 1869, 380.

118 Wood 1877, vii.

119 Challis 2008, 119.

J. T. Wood machte von Anbeginn seiner Arbeiten in Ephesos an ausführliche Aufzeichnungen. Neben regelmäßigen »Reports« an John Winter Jones, den Principal Librarian des British Museum, legte er großformatige Messtischblätter aus Karton an, auf denen er die Ergebnisse seiner topografischen Vermessungen eintrug und im Laufe seiner voranschreitenden Arbeiten auch die aufgedeckten architektonischen Strukturen einzeichnete.

Die Freilegung des Großen Theaters 1866 brachte schließlich den entscheidenden Hinweis für die Lokalisierung des Artemisheiligtums: In der umfangreichen Stifterurkunde des C. Vibius Salutaris[120] an der Ostwand der südlichen Parodos des Theaters fand Wood eine detaillierte Beschreibung des Weges, den die gestiftete Prozession an genau festgesetzten Tagen vom Artemision in das Große Theater und zurück in den Tempel absolvieren sollte. Aus der Inschrift ging hervor, dass der Tempel außerhalb der Stadt zwischen dem Magnesischen und Koressischen Tor liegen musste.

Im Jahr 1868 konnte Wood das Magnesische Tor lokalisieren und zwei auf das Tor zuführende Straßen außerhalb der Stadt freilegen. Er vermutete bereits zu diesem Zeitpunkt, dass der Tempel nördlich des Magnesischen Tors liegen musste[121]. Am 12. Februar 1869 schreibt er in dem Bericht an das British Museum: »Of the two roads that meet at the Magnesian Gate, the one bearing towards Ayasolouk is evidently the most important, its average width is 24 feet (7,31 m), and the carriage ruts, which are 4 feet apart from centre to centre, are much more marked than in the road to Magnesia, in many places they are as much as 5 inches deep, the roadway being laid with very large stones about 9 inches thick.«[122].

Als er die Straße Richtung Ayasoluk mit Suchgräben weiterverfolgte, entdeckte Wood am Ostrand des Panayırdağ die bei Philostrat überlieferte Damianos-Stoa[123], welche die zunächst nichtgepflasterte heilige Straße überdeckt und nach Philostrat vom Magnesischen Tor zum Artemistempel geführt hatte[124]; die begleitende Verkehrsstraße verlief östlich der Stoa[125].

In einer Entfernung von 2 600 Fuß (792,5 m) vom Magnesischen Tor legte Wood im Februar 1869 den Unterbau eines griechischen Monuments frei, das sich unmittelbar östlich der Stoa befand[126]. Die Stoa wird hier an beiden Seiten von Gräbern flankiert, weshalb die Lage der Verkehrsstraße an dieser Stelle noch weiter östlich zu vermuten ist[127]. Pausanias berichtet, dass jenes Grab, das für den Heros Androklos errichtet worden war, noch zu seinen Lebzeiten an einem Weg sichtbar war, der aus dem Heiligtum (= Artemision) am Olympieion vorbei und zum Magnesischen Tor führte[128]. Aufgrund dieser Überlieferung und der bautechnischen Ausführung[129] bezeichnete Wood dieses Monument als Grab des Androklos[130]; seine Lage ist heute wieder in Vergessenheit geraten.

---

120 IvE 27.

121 W03, Bericht von J. T. Wood an das British Museum vom 31. 3. 1868, Central Archive, British Museum, London.

122 W59, Bericht von J. T. Wood an das British Museum vom 12. 2. 1869, Central Archive, British Museum, London. Wood 1877, 113–114.

123 Philostr. soph. 2, 23; Wood 1877, 117. 120.

124 Knibbe 1993, 17; Pietsch 1995, 456; Thür 1999, 163–172.

125 Wood, 1877, 120.

126 Wood 1877, 127.

127 Von Wood gefundene Sepulkralreliefs im British Museum: Smith 1892, Inv. 745. 754–756; vgl. auch Knibbe – Thür 1995, 47.

128 Paus. 7, 2, 9. Zur Lokalisierungsproblematik: Engelmann 1996, 131–133; Scherrer 1999, 137–144; Pietsch 1995, 456.

129 W59, Bericht von J. T. Wood an das British Museum vom 12. 2. 1869, Central Archive, British Museum, London. »… and in digging some cross trenches in that direction, […] I found the lower part of a fine Greek Monument which I immediately opened up all around, hoping it might prove to be a town of the walls surrounding the Temple, or some building which might afford some further clue to its site – it is an isolated building 43 feet square, 3 courses of fine masonry surmounting a plinth remain on the West side, and 2 courses on the other sides. The faces of the stones rounded, with hammer-dressed panels in rubbed margins with upright joints, no mortar, the courses 2 inches high, of stones, many of which are more than 7 feet long. The plinth is nearly 11 feet below the present surface, […], there is a doorway 4 feet wide an the East side.«

130 Wood 1877, 127.

Von der Straße am Fuße des Panayırdağ stieß Wood schließlich auf eine Abzweigung nach Osten, die 3 200 Fuß (975 m) vom Magnesischen Tor entfernt lag[131]. Wood hält fest, dass diese Straße mit 45 Fuß (13,7 m) um 10 Fuß (3 m) breiter sei als die zuvor freigelegte[132]. Darüber hinaus erwähnt er nördlich der Straße eine massive Mauer aus großformatigen Steinblöcken, die parallel zur Straße verlaufe und diese begleite[133]. Zu Beginn legte Wood noch die gesamte Straßenbreite frei, später verfolgte er die Straße mit punktuellen Suchgräben weiter nach Nordosten. Schließlich zog eine auffallende Baumgruppe seine Aufmerksamkeit auf sich, welche in der Straßenflucht lag[134] und von der erwähnten Abzweigung 2 000 Fuß (610 m) entfernt war. Hier beschloss er wiederum flächig abzutiefen und stieß am 1. Mai 1869 in einer Tiefe von 3,9 Fuß (1,14 m)[135] auf eine Mauerecke aus großen Marmorblöcken mit einer augusteischen Inschrift, die die Wiederherstellung der Peribolosmauer des Artemisions durch Augustus im Jahre 6/5 v. Chr. belegt[136] (Taf. 1, 2; 2, 1; 3, 1. 2). Zwei weitere Inschriften, die ebenfalls im Mauerverband gefunden wurden, geben Auskunft über die Neuvermessung von Wegen und Kanälen im Besitz des Artemistempels in denselben Jahren[137].

Es kann nicht mit eindeutiger Sicherheit festgestellt werden, ob es sich bei dieser Mauer tatsächlich um die Peribolosmauer handelte[138]. Von der Mauerecke existieren nur zwei Darstellungen, wobei keine der beiden tatsächlich eine maßgerechte Aufnahme wiedergibt. Zunächst veröffentlichte Wood selbst eine skizzenhafte Darstellung der Mauerecke mit summarischen Maßangaben, die auf eine erhaltene Gesamthöhe von mehr als 12,20 Fuß (3,70 m) schließen lassen (Taf. 3, 1)[139]. Die Ansicht zeigt die untersten Lagen aus großformatigen Blöcken, die eine Höhe von 2 Fuß (0,60 m) und eine Länge von mindestens 5 Fuß (1,5 m) haben. Aufgrund des treppenartigen Vorsprungs der untersten Lagen könnte es sich hierbei bereits um Blöcke aus dem Fundamentbereich handeln. Die oberen Lagen bestehen aus kleineren Blöcken, deren oberer Abschluss ein schmales Gesims bildet. Die Lage der gefundenen Inschriften ist symmetrisch angegeben. Eine Zweiphasigkeit der Mauer, wie sie Ernst Curtius konstatiert (s. u.), ist auf dieser Darstellung nicht zu erkennen.

Die zweite Darstellung, von Friedrich Adler und vorgelegt von Ernst Curtius in den Beiträgen zur kleinasiatischen Topografie, datiert in das Jahr 1871, zwei Jahre nach Freilegung der Mauerecke durch Wood (Taf. 3, 2). Die Mauer war zu diesem Zeitpunkt noch auf einer Länge von etwa

---

131 Die Entfernung ist auf einem der vorhandenen Messtischblätter eingetragen. Archive of the Greek and Roman Departement im British Museum.

132 Wood 1877, 129.

133 W60, Bericht von J. T. Wood an das British Museum vom 25. 2. 1869, Central Archive, British Museum, London. »My dear Sir, Since I last wrote, I have discovered a way leading from the main road around Mount Pion and bearing toward Ayasolouk on eastward, this road is bounded on the North side by a wall, which is of solid masonry of large stones in planes, which I have opened up.«

134 W69, Bericht von J. T. Wood an das British Museum vom 21. 6. 1869, Central Archive, British Museum, London. »As I stated in my last Report I found a road leading eastwards from the main road which I had traced from the Magnesian Gates and which I presumed might lead to the Temple of Diana – I therefore opened it up as far as I could, the boundary between two properties enabling me to do so for about 100 yards – beyond this distance I could not proceed, excepting by digging holes whereover the transverse boundaries occured, at the same time I found my ranging rods, which marked the direction of the road, approached within a few yards of some high trees, which I had often regarded with the suspicion that they marked the site of some important building and where I had therefore dug some holes, this is about 2000 feet from the main road around Mount ›Pion‹. […] The result was the discovery in this places of a substantial wall of large blocks of stone.«

135 Das Datum der Entdeckung am 1. Mai 1869 sowie die Tiefenmaßangabe von 3,9 Fuß findet sich auf der Originalskizze im Archive of Greek and Roman Departement des British Museums.

136 IvE 1522; zwei Exemplare der gleichlautenden Inschrift wurden in der Mauer verbaut gefunden. Lediglich die Zeilenbrechung ist etwas verschieden. Das Exemplar der Nordecke ist nach Berlin gekommen. Börker – Merkelbach 1980, 52; W69, Bericht von J. T. Wood an das British Museum vom 21. 6. 1869, Central Archive, British Museum, London.

137 IvE 1523–1524; Börker – Merkelbach 1980, 53.

138 U. Muss bezeichnet die Peribolosmauer Woods als spätantike Spolienmauer: Muss 2005, 250.

139 Wood 1877, 133.

10 m zu sehen[140]. Im Text bemerkt Curtius, dass die westliche Peribolosmauer jünger sei als die südliche, welche aus größeren Steinen gebaut sei. Die oberste Steinlage krage über den darunterliegenden vor und bilde also ein Gesims. Erwähnt wird mit Verweis auf die beigefügte Skizze, dass die Mauerecke durch Herausnehmen des Inschriftensteins, der nach England geschickt worden war, stark zerstört sei[141].

Durch die detaillierten Beobachtungen Curtius' liegt die Vermutung nahe, dass es sich bei der östlichen, offenbar älteren Mauer aus großformatigen Blöcken tatsächlich um eine Umfassungsmauer, möglicherweise jene des Temenos, handelte. Die westliche Mauer jedoch, die an die ältere angesetzt war und aus kleineren Blöcken bestand, könnte demnach als spätere Verkleinerung des heiligen Bezirks verstanden werden. Demnach wäre der heilige Bezirk in seiner ursprünglichen Ausdehnung nach Südwesten weit größer gewesen als von Wood angenommen.

Nachdem Wood die Mauerecke, die er als Peribolosmauer bezeichnete, entdeckt hatte, musste er die Arbeiten wegen großer Hitze Ende Juni 1869 einstellen[142]. Er setzte seine Arbeiten am 29. September desselben Jahres fort und legte zunächst die östliche Mauer aus großformatigen Blöcken auf einer Länge von 525 Fuß (160 m) nach Osten frei. Die westliche der beiden Mauern, jene von Curtius als die jüngere bezeichnete, verfolgte Wood auf einer Länge von 1 150 Fuß (350 m) nach Norden (Taf. 1, 2; 2, 1). An dieser Stelle knickte die Mauer wiederum nach Westen, weshalb er in diese Richtung die südwestliche Außenecke des Peribolos vermutete, welche er seinen Aufzeichnungen zufolge im November 1869 freilegen konnte[143]. Heute zeichnet sich der ungewöhnliche Mauerverlauf immer noch in der Wegführung am Friedhof der Gemeinde Selçuk ab. Die südwestlichste Mauerecke, die Wood mit Sicherheit freigelegt hatte, kann heute im Bereich des modernen Friedhofeingangs lokalisiert werden[144].

Während er die Peribolosmauer verfolgte, ließ Wood gleichzeitig innerhalb des Mauerwinkels Richtung Ayasoluk 12–15 Fuß (3,65–4,60 m) tiefe Suchlöcher in Kettenlinien graben. Im Report vom 5. November 1869 erwähnt er einen »boring apparatus«, eine Maschine für Bohrungen, die für Tiefen von über 15 Fuß (4,50 m) Verwendung fand[145]. Die Suchlöcher legte er in diagonalen Linien quer durch das Gebiet innerhalb der Peribolosmauer an und verzeichnete diese teilweise auch auf den Messtischblättern.

Durch eine Fußverletzung in seinen Arbeiten behindert, entschied Wood, die Weiterverfolgung der Peribolosmauer zugunsten der Suche innerhalb des umschlossenen Areals vorläufig aufzugeben[146]. Die bestehenden Grundstücksgrenzen dienten ihm hier als Unterteilung verschiedener Arbeitsbereiche, die er zur leichteren Unterscheidung nummerierte (Taf. 1, 2)[147]. Auf die Feldnummerierung, die auf den erwähnten Messtischblättern verzeichnet ist, bezog er sich auch in seinen Berichten an das British Museum. Er begann in unmittelbarer Nähe des Dorfs Ayasoluk mit seiner Suche. Im Feld Nr. 1 gegenüber der Karakol Yanı Camii und nördlich der modernen Straße von Selçuk nach Kuşadası stieß er in einer Tiefe von 20 Fuß (6 m) auf ein Marmorpflaster, anhand dessen er auf römische Gebäude in der Nähe der östlichen Begrenzung des heiligen Bezirks schloss.

---

140 Curtius 1872, 27–28.

141 Curtius 1872, Taf. 2.

142 W69, Bericht von J. T. Wood an das British Museum vom 21. 6. 1869, Central Archive, British Museum, London.

143 W80, Bericht von J. T. Wood an das British Museum vom 5. 11. 1869, Central Archive, British Museum, London.

144 Wood schreibt im Januar 1870, dass er die Peribolosmauer von der nordwestlichen Ecke (die südwestliche Ecke vom gesamten Temenos) auf einer Länge von 250 Fuß (76 m) weiter nach Norden freigelegt hat. W84, Bericht von J. T. Wood an das British Museum vom 4. 1. 1870, Central Archive, British Museum, London.

145 W80, Bericht von J. T. Wood an das British Museum vom 5. 11. 1869, Central Archive, British Museum, London. »I have thus a large area on which I am sinking trial holes, to the depth of about 15 feet in some places where the ground is most promising, in other places to the depth of about 12 feet, using the boring apparatus beyond this depth.«

146 W82, Bericht von J. T. Wood an das British Museum vom 3. 12. 1869, Central Archive, British Museum, London.

147 Auch im »Plan of the Ruins of Ephesus« in den »Discoveries of Ephesus« sind die damaligen Grundstücksgrenzen im Bereich des Artemisions durch Linien grob wiedergegeben.

Schließlich verlagerte er die Suche weiter nordwestlich in Richtung der İsa Bey Camii, wobei er Pflasterungen, Säulen und Mauern antraf und von Säulenhallen spricht, welche die nördliche Begrenzungsmauer des heiligen Bezirks gesäumt haben könnten[148]. Diesen Säulenhallen konnte Wood nach weiteren Arbeiten im Februar 1870 anschließende Räume nach Norden zuweisen, weshalb er die Gebäude schließlich als Priesterunterkünfte interpretierte, die mit ihrer Schauseite nach Süden orientiert gewesen wären (Feld Nr. 7. 9 Taf. 1, 2). In den Räumen und Korridoren dieser Gebäudegruppe fanden sich das bekannte Triton-Mosaik, das Wood später entfernen ließ und das sich heute im British Museum befindet, sowie weitere Bodenmosaike[149]. Die Gebäudegruppe setzt sich mit derselben Orientierung nach Westen fort und wurde von Wood 700 Fuß (213 m) bis zur vermeintlichen Westmauer des Peribolosbezirks verfolgt[150].

In einer Entfernung von 445 Fuß (135 m) südwärts der untersuchten Gebäudegruppe traf er in einer Tiefe von 19 Fuß (5,80 m) auf ein römisches Gebäude, das die gleiche Ausrichtung wie die ›Priesterunterkünfte‹ und einen dreistufigen Unterbau aufwies. Es ist auf zwei Messtischblättern östlich des Odeions verzeichnet und liegt im Bereich um das Hamam 7 (Taf. 1, 2; 7, 2). Wood hoffte zunächst, dass die Stufen bereits jene des Tempels wären, korrigierte sich aber bereits im nächsten Report vom 10. Februar 1870 an das British Museum: »In field No10 at a distance of 445 feet and parallel with the range of buildings [›Priesterunterkünfte‹, Anm. d. Verf.] I have found three marble steps with their return southwards. One of them was discovered last months and is mentioned in my last report as a white marble step 19 feet below ground. I then suppose that this might prove to be one of the ten steps on which the temple was raised, but since the discovery that there are only three, and that they return, marking an inner instead of an outer angle, I am of opinion that they belong to a porticus colonnade, forming a quadrangle, at the angle found, the marble base of a column remains in situ.«[151]. In diesem Gebäude fand sich eine lebensgroße weibliche Statue einer Kaiserin, die wegen ihrer Beschädigungen (»mutilated«) aber nicht geborgen wurde, sondern vor Ort in der Tiefe eines Suchlochs verblieb[152]. Ein Zusammengehörigkeit dieser Wood'schen Portikus mit dem Odeion ist in diesem Fall auszuschließen, da die Orientierung beider Bauten voneinander abweicht (Taf. 1, 2).

Ein weiteres Gebäude mit ebenfalls dreistufigem Unterbau kam zum Vorschein, als Wood noch weiter östlich Suchlöcher anlegte[153]. Hier fand er einen Augustuskopf, weswegen er das Gebäude ›Augusteum‹ nannte (Taf. 1, 2)[154]. Aus diesem barg Wood neben weiteren Statuenfragmenten eine große Anzahl an Inschriften[155], die vor allem Neopoioi[156] sowie zwei Artemispriesterinnen[157] erwähnen. Eine Statuengruppe des Germanicus, Drusus Minor und Tiberius ist durch

148 W84, Bericht von J. T. Wood an das British Museum vom 4. 1. 1870, Central Archive, British Museum, London.

149 Kirbihler – Zabrana 2014, 106 Abb. 4; Hinks 1933, Taf. 28; Wood 1877, 149. 172 Taf. 12. 14.

150 Wood 1877, 149: »I thus hit upon the front wall of some Roman buildings, which I traced for seven hundred feet in a straight line running eastward. I explored these buildings which I suppose were the dwellings of the priests, and in a number of cross trenches found some mosaic pavements. One of these represented a triton, with a dish of fruit, and crooked stick; an attendant dolphin carries his trident. This mosaic, which is well executed and remarkably rich in colour, is now safely lodged in the British Museum; but it was with great difficulty taken up from its original position, in which it had remained undisturbed for about eighteen centuries.« Die Entfernung des Mosaiks erfolgte erst in der nachfolgenden Saison im November 1870.

151 W88, Bericht von J. T. Wood an das British Museum vom 10. 2. 1870, Central Archive, British Museum, London.

152 Wood 1877, 152.

153 Wood 1877, 153. W88, Bericht von J. T. Wood an das British Museum vom 10. 2. 1870, Central Archive, British Museum, London.

154 W92, Bericht von J. T. Wood an das British Museum vom 12. 3. 1870, Central Archive, British Museum, London. »The building with steps in field 10 has been opened up with the next field (11) for the distance of 107 feet when the south-west angle was found also a head of Caesar Augustus and fragments of statues – these steps evidently belong to a quadrangle of a large Roman building. Fragments of inscription were also found here, insufficient at present from what building they belonged to.« Der Verbleib des Augustuskopfes bleibt ungewiss.

155 Wood 1877. Wood führt im Appendix »Inscriptions from the Augusteum« 13 Inschriften an, die innerhalb des Gebäudes gefunden worden waren.

156 IvE 1570. 1574. 1578A. 1578B. 1579. 1588. 1590A. 1590B; Börker – Merkelbach 1980, 80. 86–87. 94.

157 Wood 1877, Appendix »Inscriptions from the Augusteum« Nr. 7; IvE 992; Engelmann u. a. 1980a, 268.

eine Stifterinschrift der Neopoioi belegt, die in die Jahre 4–14 n. Chr. datiert werden kann[158]. Weiters wurden innerhalb des Gebäudes eine 85 cm hohe, sitzende Jupiterstatue[159], ein kleiner Altar mit der Darstellung eines bewaffneten Pan als Krieger[160] sowie eine Minervastatue ohne Kopf geborgen[161].

Durch die Orientierung der bisher gefundenen Gebäude und dem unverbauten Bereich dazwischen vermutete Wood den Tempel in Feld Nr. 5: »In Field No 5 the most important discoveries have been made. In one of the deep holes sunk here, large blocks of white marble have been found about 18 feet below ground, one of which is a fragment of Greek cornice of the Doric order, of fine workmanship, and appertaining probably to the lower order of the Interior of the Temple. […] It is this field No. 5 that, judging from present appearances, what remains of the Temple will be found, but I have not yet encountered any walling – the difficulties are increasing with the advance of the rainy season, in all the holes hitherto sunk in this field, water now stands at about 18 feet below the surface of the ground.«[162].

In den Feldern Nr. 9 und 14 nördlich der von ihm so benannten Priesterunterkünfte fand Wood in seinen zahlreich angelegten Suchlöchern eine große Bandbreite römischer Wohngebäude (Taf. 1, 2)[163]. Die Grundbesitzer bestanden allerdings Anfang Februar 1870 darauf, die Suchlöcher möglichst schnell wieder zu verfüllen, um die Aussaat nicht zu verzögern. Sogar eine Petition der Grundbesitzer wurde verfasst und an das Konsulat nach Smyrna geschickt, mit der erfolglosen Forderung, die Arbeiten einzustellen. Wood bemühte sich aber, den Anforderungen gerecht zu werden und verfüllte mehr als 100 der angelegten Löcher zeitaufwendig wieder mit Aushubmaterial[164].

Im Frühjahr 1870 hatte Wood in Feld Nr. 5 zum ersten Mal großformatige Architekturblöcke und große Mengen Marmorabschlag angetroffen, die auf die unmittelbare Nähe des Tempels schließen ließen[165]. Er begann die Wintersaison wieder am 3. Oktober des Jahres und ließ nun die Suchlöcher zu einem großen Schnitt erweitern. Um den Erdaushub schneller und einfacher aus den 20 Fuß (6 m) tiefen Schnitten bergen zu können, legte er eine Straße an[166]. Am 6. Februar 1871 schließlich wurde eine Säulentrommel mit zugehöriger Basis und Plinthe *in situ* freigelegt, womit die Wiederentdeckung des Tempels der Artemis gefeiert werden konnte[167]. Im Report vom 11. Februar 1871 an das British Museum ist Wood sichtlich erleichtert, endlich die Erwartungen erfüllen zu können: »I hope the announcement that the discovery of the Temple of Artemis at Ephesos has now been made beyond a doubt, will give the Trustees the same satisfaction that it has given myself after the number of years during which the search has been continued.«[168]. In den »Discoveries of Ephesos« nennt er den letzten Tag des Jahres 1869 als Tag der Entdeckung des Tempels, an welchem er zuerst auf die Marmorpflasterung des Tempels gestoßen sei und diese

---

158 Wood 1877, Appendix »Inscriptions from the Augusteum« Nr. 11; IvE 257; ergänzend zu IvE 257 s. auch FiE 2 (Wien 1912) 106–107 Nr. 18 sowie FiE 3 (Wien 1923) 119 Nr. 31; Hicks 1874, IBM 566; laut Börker – Merkelbach 1979, 53 ist nur noch der Abklatsch im British Museum erhalten, der Stein aber nicht mehr auffindbar.

159 Smith 1900, 191 Inv. 1263.

160 Smith 1900, 192–193 Inv. 1270; Abb. s. Wood 1877, 153.

161 Wood 1877, 153. Weder der namensgebende Augustuskopf noch die kopflose Minervastatue konnten in den Inventaren des British Museum oder des Archäologischen Museums Istanbul ausfindig gemacht werden.

162 W88, Bericht von J. T. Wood an das British Museum vom 10. 2. 1870, Central Archive, British Museum, London.

163 W92, Bericht von J. T. Wood an das British Museum vom 12. 3. 1870, Central Archive, British Museum, London.

164 W92, Bericht von J. T. Wood an das British Museum vom 12. 3. 1870, Central Archive, British Museum, London.

165 Vor Beendigung der Frühjahrssaison 1870 ist Wood überzeugt, den Tempel gefunden zu haben, kann dies aber mit keinerlei *in situ*-Befunden untermauern: »I had actually discovered the Temple itself, although the evidence was not sufficient to prove the fact quite satisfactory.«; Wood 1877, 166.

166 W103, Bericht von J. T. Wood an das British Museum vom 3. 12. 1870, Central Archive, British Museum, London. Abtransport des Erdmaterials über großflächige Rampen auch in einer Darstellung mit dem Titel »Excavations at Ephesus on the Site of the Temple of Diana« in The Illustrated London News, 22. März 1873, 281.

167 Wood 1877, 166.

168 W108, Bericht von J. T. Wood an das British Museum vom 11. 2. 1871, Central Archive, British Museum, London.

auch als solche erkannt habe[169]. Dieses Auffindungsdatum wiederspricht den datierten Berichten an das British Museum, aus denen hervorgeht, dass Wood erst ein Jahr später, am 6. Februar 1871, dem Komitee des British Museum die Wiederentdeckung des Tempels verkünden konnte[170]. Die spätere Angabe des Silvestertages 1869 als Tag der Entdeckung, kann daher getrost als dichterische Wahrheit gelten[171].

Im März 1871 konnte John Turtle Wood die Grundstücke, die von der Lage des Tempels berührt wurden, im Namen des British Museum ankaufen, um ungestört von landwirtschaftlichen Interessen arbeiten zu können[172]. Im Februar 1872 hatte er bereits eine Fläche von 485 × 280 Fuß (148 × 85,5 m) bis auf eine Tiefe von 22 Fuß (6,7 m) freigelegt und beschäftigte zu diesem Zeitpunkt 130 Mann[173]. Die fieberhafte Suche nach repräsentativer Tempelarchitektur und qualitativer Plastik, eingefordert vom British Museum als Geldgeber und umgesetzt vom pflichteifrigen Wood, hinterließ teils wüste Zerstörungen durch Sprengungen. Einige archaische Skulpturenfragmente waren in späteren massiven Pfeilern verbaut, die in spätantiker/frühbyzantinischer Zeit an die Längsmauern des Sekos angesetzt worden waren[174]. Anton Bammer rekonstruierte acht Pfeiler an jeder Längswand mit Maßen von etwa 3 × 4,40 m – das aufgehende Mauerwerk dieser Pfeiler war bereits von Wood auf der Suche nach Skulpturen gesprengt worden[175]. Die Ansprache dieser Strukturen als frühchristliche Kirche erfolgte bereits durch Wood, fand jedoch auch von Anton Bammer und Eugenio Russo Unterstützung[176].

Ende November 1873 stieß Wood auf der Südseite des Tempels auf eine Portikus, deren Entfernung vom Tempel er in seiner Publikation mit 30,10 Fuß (9,40 m) von der untersten Stufe des Tempels angibt[177]. Die Portikus habe eine Tiefe von 25,2 Fuß (7,67 m) und umgebe den Tempel auf mindestens drei Seiten (Taf. 1, 2). Noch weiter südlich, 70 Fuß (21 m) vom Tempel entfernt, legte er eine Gebäudefront mit dorischem Gebälk und Säulenstellung frei, die in den summarischen Überblicksplänen nicht eingezeichnet wurde (Taf. 1, 2)[178]. Im Frühjahr 1874 stellte Wood aus mangelnden finanziellen Mitteln seine Arbeiten am Tempel der Artemis ein und kehrte nach England zurück[179]. Drei Jahre später erschien seine breitenwirksame Erzählung mit dem Titel »Discoveries of Ephesos«, die das wissenschaftliche Fachpublikum enttäuschte.

Kritik an einer ausstehenden wissenschaftlichen Publikation der Befunde wurde bereits im Jahr 1883 von dem britischen Architekten James Fergusson geäußert: »He [Wood, Anm. d. Verf.] has published a restoration, which, to say the least of it, is open to criticism, but he has not pub-

169 Wood 1877, 155. Wood gibt an, dass seine Arbeiter nach der Entdeckung zum Bleiben überredet werden mussten, da Silvester der letzte Tag des Fastenmonats Ramadan gewesen sei und die Arbeiter die kommenden drei Tage das Ende der Fastenzeit mit dem Zuckerfest feiern wollten. Der Beginn des Zuckerfestes fiel im Jahr 1870 allerdings auf den 4. Januar.

170 W108, Bericht von J. T. Wood an das British Museum vom 11. 2. 1871, Central Archive, British Museum, London.

171 Auf seiner Vortragsreise in die Vereinigten Staaten im Jahr 1875 spricht Wood noch wahrheitsgetreu vom Augusteum mit umgebender Pflasterung, das ihm die unmittelbare Nähe zum Tempel anzeigt hätte. Auch wird der Silvestertag 1869 nicht explizit als Tag der Wiederentdeckung hervorgehoben: The New York Times, 25. April 1875, Discoveries at Ephesus.

172 Wood 1877, 178–180; Benndorf 1906, 206 Abb. 156; Plan des Grabungsgebiets mit Kennzeichnung des britischen sowie des später angekauften österreichischen Terrains von Carl Humann.

173 W137, Bericht von J. T. Wood an das British Museum vom 16. 2. 1872, Central Archive, British Museum, London.

174 Wood 1877, 259 f.; Bammer 1993, 167–168 Abb. 26.

175 Hogarth 1908, 11. Der Gebrauch von Schießpulver oder Dynamit für Sprengungen im Zuge einer Ausgrabung war zu jener Zeit nichts Ungewöhnliches. Hogarth selbst führte im Zuge seiner Grabungen in der Diktäischen Höhle in Psychro auf Kreta noch im Jahr 1901 einige Dynamitsprengungen durch: Lock 1990, 188.

176 Bammer 1999, 86–88; Russo 2001, 265–278. Russo legte 18 frühchristlich/byzantinische Architekturfragmente vor, die laut Bammer aus dem Tempelbereich geborgen worden waren, in das 6. Jh. n. Chr. datieren und eine kirchenspezifische Nutzung nahelegen (Fragmente eines Ambos, Schrankenplatten mit Kreuz). Es muss allerdings betont werden, dass keines dieser Architekturstücke *in situ* aufgefunden wurde.

177 Wood 1877, 247–250.

178 Wood 1877, 250. Auf einem der Originalpläne Woods im Archive of Greek and Roman Departement des British Museum ist die Lage der ergrabenen Gebäudefront exakt eingezeichnet.

179 Ervine 1869, 383.

lished the data on which it is founded, nor has he given a separate plan of the results of his excavations. We consequently never knew what he found in situ, or what he inferred from the remains which he actually discovered.«[180].

Abgesehen vom Tempel selbst und dem Odeion sind heute keine der von Wood beschriebenen Strukturen mehr zu sehen. Trotz allem wird deutlich, dass es in unmittelbarer Umgebung des Tempels in römischer Zeit eine dichte Bebauung unterschiedlichster Gebäude gegeben hat. Es scheint, dass südlich des Tempels eher offizielle öffentliche Bauten[181] zu finden waren, während die nördlich und nordöstlich des Tempels gefundene Wohnarchitektur[182] an Priesterunterkünfte, Quartiere des Kultpersonals wie auch Obdach für Asylanten denken lässt.

Das weithin sichtbare Gebäude des Odeions, die ehemalige sog. Tribüne, erwähnt John Turtle Wood weder im Text seines Buches noch in seinen brieflichen Berichten an das British Museum, verzeichnet es aber in seinen Messtischblättern (Taf. 1, 2) und dem »Plan of the Ruins of Ephesos« in den »Discoveries at Ephesus« (Taf. 1, 1). Direkte Hinweise auf Freilegungen von J. T. Wood am Gebäude selbst konnten in den Archivmaterialien bisher nicht gefunden werden. Feldarbeiten im Jahr 2009 lieferten allerdings Anhaltspunkte, dass er sehr wohl auch Sondierungen am Gebäude vorgenommen hatte: Das Nordprofil von Sondage 1/2009, die an der Westfassade südlich vor dem mittelalterlichen Durchbruch zu Kammer 5a angelegt wurde, zeigt einen 1,5 m breiten und 3 m tiefen Schacht direkt an der Westfassade, der mit vermischtem Erd- und Fundmaterial wiederverfüllt worden war. In den obersten Schichten dieses Schachts wurde die Gehäusezarge einer Taschenuhr gefunden, die in die 1860er bis 1880er Jahre datiert werden kann (**Kat. KF 3** Taf. 93. 94)[183]. Da wir aus den Briefen wissen, dass Wood seine Gräben und Schächte jeweils am Ende der Saison verfüllen musste, um die landwirtschaftliche Nutzung der Flächen nicht zu beeinträchtigen, können wir den Befund mit an Sicherheit grenzender Wahrscheinlichkeit als Wood'schen Suchschacht identifizieren. Eine nichtdatierte Handskizze von Wood im Briefwechsel an Sir Charles Newton verzeichnet diesen Schacht neben zahlreichen anderen Suchlöchern und bestätigt diese Vermutung zusätzlich.

Die älteste Erwähnung, die sich im Besonderen mit dem Odeion im Artemision auseinandersetzt, findet sich bei Friedrich Adler im Jahre 1872: »Das mit C bezeichnete Gebäude haben wir leider nicht gesehen. Nach güthiger Mittheilung des Herrn Weber (Smyrna) soll dasselbe aus römischer Zeit stammen: ›Nur die Westseite 45 m lang ist noch erhalten; 5 m tief steht dasselbe in der Erde, 3 m ragt es daraus hervor.‹«[184] (Taf. 3, 3). Ernst Curtius bringt den Bau schließlich als Erster mit dem inschriftlich überlieferten Augusteum in Verbindung[185].

## II.2 DER BEGINN DER ÖSTERREICHISCHEN FORSCHUNGEN DURCH OTTO BENNDORF (1895)

Friedrich August Otto Benndorf, der am 13. September 1838 im thüringischen Greiz geboren worden war, studierte zunächst Theologie in Erlangen, wandte sich dann aber dem Studium der

---

180 Fergusson 1883, 1.

181 Das Odeion (ehem. Tribüne), das Wood'sche Augusteum sowie eine Portikus östlich der Tribüne und das Gebäude mit dorischem Gebälk und Säulenstellung südlich des Tempels.

182 Gebäude in Feldern 7, 9 und 14 von Wood als »Domestic Roman buildings« bezeichnet. Die Gebäude mit auffallend hochwertiger Ausstattung bezeichnet er als Priesterunterkunft (Triton-Mosaik).

183 Vgl. hier Kap. VII.3.5. Für die zeitliche Einordnung der Taschenuhrzarge danke ich Astrid Fialka-Herics und ihren Kolleginnen und Kollegen von der Abteilung für Armband- und Taschenuhren des Dorotheums in Wien sehr herzlich. Da die Gehäusezarge keinen Remontoir-Aufzug aufweist, ist anzunehmen, dass sie um 1860/1880 erzeugt wurde.

184 F. Adler, Erläuterungen zum Stadtplane von Ephesos, in: Curtius 1872, 37–38.

185 IvE 1522; Curtius 1872, 29–30: »Octavian hat mancherlei Reformen in Ephesos gemacht, welche ungleich wichtiger waren als die neue Umhegung des Tempelraumes, deren urkundliches Zeugnis uns vorliegt. Die wichtigste derselben war ohne Zweifel die Erweiterung des alten Gottesdienstes durch das Sebasteion (dessen Überreste vielleicht in der Ruine C zu erkennen sind).«

Kunstgeschichte in Bonn zu. 1868 habilitierte er sich in Göttingen und wurde 1869 auf einen neugeschaffenen Lehrstuhl für Klassische Archäologie nach Zürich berufen[186]. Nachdem er 1872 an die Prager Universität gekommen war und fünf Jahre blieb, führte ihn sein Weg 1877 an die Universität Wien.

Den Beginn österreichischer Forschungen in Kleinasien bildeten mehrere Forschungsreisen, die auf die Initiative Otto Benndorfs zurückgehen[187]. Er war es auch, der im Jahr 1893 dem k. & k. Ministerium für Cultus und Unterricht den Beginn österreichischer Ausgrabungen in Ephesos vorschlug. Er empfahl Carl Humann, den Ausgräber von Pergamon und Kleinasienkenner, für die Erstellung eines technischen Gutachtens, das bereits im darauffolgenden Jahr vorlag[188].

Im Jahr 1895 konnte Benndorf mit den Feldarbeiten in Ephesos beginnen; zu dieser Zeit hatte er noch die Universitätsprofessur in Wien inne. Erst im Jahr 1898 wurde das Österreichische Archäologische Institut nach internationalem Vorbild gegründet.

Nachdem die staatliche Finanzierung der Grabung seitens des Ministeriums nicht zustande gekommen war, erklärte sich Karl Mautner Ritter von Markhof als privater Unterstützer bereit, eine zweimonatige Voruntersuchung zu finanzieren, deren Ziel es war, das Potenzial des Artemistempels hinsichtlich der Gewinnung außergewöhnlicher Befunde und Funde festzustellen[189].

Benndorf beschreibt die Situation, die er im Artemision vorfand, folgendermaßen: »Die traurig zusammengeschwundenen Überbleibsel des Artemisions liegen in einer oblongen Grube, die sich 170 m lang, 100 m breit, in dem flachen Felde aufthut. Es sind bunt starrende Marmorwerkstücke von kolossalem Maße aus den Zeiten des Kroisos, Alexanders des Großen und der mittelalterlichen Epoche, über denen seit 25 Jahren Bäume wieder aufgewachsen sind und niedere Vegetation wuchernd sich ausbreitet. Die Ränder der Gruben bilden hohe Schutthügel, die von den englischen Ausgrabungen herrühren. […] Was zutage liegt, lässt auch Kundige ratlos.«[190].

Benndorf kritisiert die unsystematische und unwissenschaftliche Arbeitsweise John Turtle Woods scharf. Er bemängelt nicht nur dessen fehlende Vorbildung für eine Klärung der komplexen Befunde, sondern auch die fehlerhafte und deshalb wertlose Dokumentation[191]. Benndorf konnte sich von Woods Arbeitsweise auch im Rahmen einer persönlichen Begegnung im Jahr 1867 selbst ein Bild machen: »Auf einem Weg fanden wir eine lateinische Inschrift, die wir abschrieben. Als wir damit beschäftigt waren, kam ein langer Engländer mit einem Diener, der uns darüber in heftigem Englisch anfuhr, er hätte sie ausgegraben, er könne das nicht erlauben. Wir waren darüber wie begreiflich sehr betroffen. Ich sagte Kekulé, der die Abschrift in sein Notizbuch machte, er möchte sofort das Blatt herausreißen und ihm geben. Das kam dem Herrn denn doch zu nobel vor, er schien sich etwas darüber zu schämen, und bat nun sehr artig, wir sollten nur bis zu Ende zu schreiben. Und als wir ans Theater kamen, wo er seine Hauptausgrabungen angestellt hat, führte er uns selbst herum. Es ist ein gewisser Herr Wood, der hier auf Spekulation ausgräbt. Das britische Museum bezahlt ihm die Ausgrabungskosten, und wenn er schöne Sachen findet, so bekommt er ein gutes Honorar. Daraus erklärt sich das tumultuarische Verfahren, das er anwendet. Einen Plan aufnehmen, daran denkt er nicht. Alles wird von seinem Platz entfernt, die Skulpturen und Inschriften werden abgesägt. Das ist ein moderner Vandalismus.«[192]. Benndorf, zeitgenössischer Pionier der wissenschaftlichen archäologischen Forschung, äußerte die genannten Kritikpunkte zu Recht. Festgehalten werden sollte aber dennoch, dass Benndorf keine Kenntnis der gesamten Wood'schen Dokumentation hatte und sich lediglich auf die »Discoveries in Ephesus« beziehen

---

186 G. Wlach, Otto Benndorf, in: Kandler – Wlach 1998, 99.

187 Etwa die Expeditionen nach Lykien und Karien in den Jahren 1881, 1882 und 1892 sowie in den Jahren 1884 und 1885 nach Pamphylien und Pisidien: Wiplinger – Wlach 1995, 8–10.

188 G. Wiplinger, Ephesos, in: Kandler – Wlach 1998, 189; Wohlers-Scharf 1995, 71. 314.

189 Benndorf 1898, 55; Wiplinger – Wlach 1995, 16; Wohlers-Scharf 1995, 75.

190 Benndorf 1898, 58.

191 Benndorf 1898, 58.

192 O. Benndorf, Reise nach Griechenland, September 1867–19. Jänner 1868, Ser. nov. 3699, pag. 39r–40v, Österreichische Nationalbibliothek, Sammlung von Handschriften und alten Drucken. Für den Hinweis und die Zurverfügungstellung der Transkription danke ich Hubert Szemethy sehr herzlich.

konnte. Die vorhandenen großformatigen Messtischblätter zeigen, dass Wood, der im Rahmen seiner Ausbildung zum Architekten sehr wohl vermessungstechnische Grundlagenkenntnisse erworben hatte, die Lage wesentlicher Strukturen durchaus exakt eingemessen hat. Dennoch gibt es zahlreiche unklare Befundbeschreibungen und verwirrende Darstellungen, die den zeitlichen und finanziellen Druck eines auf sich allein gestellten, unerfahrenen Privatmannes während der Suche nach dem Tempel widerspiegeln.

Otto Benndorf konnte schließlich Carl Humann für die Arbeiten vor Ort gewinnen und erwarb jene Grundstücke, die im Westen und im Norden an das englische Grabungsareal angrenzten (Taf. 2, 2)[193]. Die Suche nach repräsentativer Tempelarchitektur sowie dem Altar mit der überlieferten Skulpturenausstattung des Praxiteles stand im Mittelpunkt der Arbeiten[194].

Die Suche nach dem Altar fokussierte auf das westliche der beiden Grundstücke, in dem zwei abgetreppte, trichterförmige Sondagen angelegt wurden, durch welche die Tempelachse mittig hindurchlief. Die östliche (22 × 13 m) dieser Sondagen war direkt an der Grenze zum britischen Territorium gelegen, die westliche (22,3 × 15,5 m) in einem Abstand von 20 m weiter im Osten. Im westlichen Schnitt waren weder bauliche Strukturen noch erwähnenswerte Funde zutage gekommen. Das Erdmaterial war auch in der östlichen Sondage nach Benndorf »Alluvium bis in die letzte Tiefe aus wechselnden Lehm- und Sand- oder Geröllschichten bestehend ohne jede Beimischung von Tonstücken oder sonstigen kleinen Kulturabfällen.«[195]. Allerdings fanden sich in einer Tiefe von 3 m Hausgrundrisse sowie eine massive Quermauer aus Spolien, die in Ost-West-Richtung durch den Schnitt verlief[196]. Auf gleichem Niveau wurde ein Brunnen freigelegt, der mit einem großen Stein bedeckt war. Es bleibt unklar, in welche Zeit diese Reste zu datieren sind. In einer Tiefe von 7 m kamen reichlich Marmorsplitter zum Vorschein und in der Nordhälfte der Grube darunter schließlich ein Pflaster aus großen, polygonalen Marmorsteinen (6 × 7 m)[197]. Über dem Marmorpflaster fand sich stellenweise Mörtel, weshalb Carl Humann schloss, dass dieses Pflaster als Unterlage für die Marmorplatten diente, die den in unmittelbarer Nähe liegenden Altar umgeben hatten. Den Altar auf der Westseite zu vermuten, lag einerseits durch den im Westen nachgewiesenen Zugang nahe, andererseits durch vergleichbare Befunde, die Humann einige Jahre zuvor am Artemistempel im nahe gelegenen Magnesia am Mäander aufgedeckt hatte[198]. Auch dort war der Altar westlich des Eingangs dem Tempel vorgelagert. Den Altar, der erst 70 Jahre später von Anton Bammer freigelegt werden konnte, verfehlten Benndorf und Humann um nur etwa 5 m. Er befand sich, wie schon von beiden vermutet worden war, exakt unter den mächtigen Aushubhaufen John Turtle Woods[199].

Die beiden Schnitte im nördlichen der beiden angekauften Grundstücke waren 6 m breite Gräben, wovon der westliche 26 m Länge aufwies, der östliche nur 12 m (Taf. 2, 2). Humann erwartete analog zu Magnesia, verstürzte Tempelarchitektur freizulegen und war über die Reste von Mauern, Stufen und Wasserleitungen enttäuscht[200]. Benndorf erwähnt am Nordende des west-

---

193 Benndorf 1906, 206 Abb. 156; Plan des Grabungsgebiets mit Kennzeichnung des britischen sowie des später angekauften österreichischen Terrains von Carl Humann.

194 Benndorf 1898, 58; Benndorf 1906, 207; Schulte 1971, 156: C. Humann am 16. 5. 1895 an Kern (329 ChA); Strab. 14, 1, 23.

195 Benndorf 1906, 208.

196 Die massive Mauer ist auf den vorhandenen Glasplatten des Schnitts sehr gut zu erkennen (s. Benndorf 1906, Abb. 157. 158). Die Maße sind nicht eindeutig ablesbar, jedoch muss die Breite 1,5–2 m betragen haben. Die Mauer reichte außerdem mehrere Meter in die Tiefe. Die Spolien, die aus jener Mauer stammen, sind in Benndorf 1906, 209–212 vorgelegt.

197 Benndorf 1906, Abb. 159. 161.

198 Benndorf 1906, 207; Benndorf 1898, 58.

199 Benndorf 1898, 59; Schulte 1971, 156: C. Humann am 17. 5. 1895 an Kekulé (330 D).

200 Benndorf 1906, Abb. 160; Schulte 1971, 157: C. Humann am 21. 10. 1895 an Kern und Hiller (332 ChA): »Wir begannen in Ephesos am Tempel natürlich, hart an dem Englischen Besitz. An der Nordseite zogen wir, analog Magnesia, 2 Gräben quer zum Tempel von 20 Mtr Länge und erreichten nach 6–7 Mtr Ausschachtung den Boden, ohne irgendetwas zu finden als faule Mauerreste. Kein Stück Marmor!«

lichen Grabens eine fundamentierte, große, quadratische Marmorplatte in 6 m Tiefe sowie mittelalterliche Mauern, die parallel zum Tempel verliefen. Auf dem Tempelniveau stieß er ebenso auf zwei Wasserleitungen aus Tonrohren[201].

Die Enttäuschung über das Ausbleiben der erwarteten Erfolge war vor allem bei Otto Benndorf groß[202]. Als unmittelbare Konsequenz dieser Ergebnisse wurden die Arbeiten am Artemision sofort eingestellt und noch im selben Jahr wurde im hellenistisch-römischen Siedlungsbereich der Stadt Ephesos am Fuße des Bülbüldağ mit Grabungen in den Verulanushallen begonnen.

Otto Benndorf erwähnt das Odeion im Artemision nur im Zusammenhang mit der Feststellung, dass Wood vermutet hätte, in der »formlosen Ruine« in der Nähe des Artemisions ein Sebasteion für Augustus und Roma vor sich zu haben[203]. Aus den Briefen Woods an das Kuratorium des British Museum sowie seinen Messtischblättern geht aber zweifellos hervor, dass Woods Augusteum östlich des Odeions zur Gänze unter der Erdoberfläche lag (s. Kap. II.1). Benndorf erliegt daher der missverständlichen Beschreibung in den »Discoveries of Ephesus«, in der die Arbeitsfelder ohne Nummerierung und ohne Plan leicht durcheinanderzubringen sind. Davor hatte allerdings schon Ernst Curtius vermutet, das inschriftlich überlieferte Augusteum in dem einzigen oberflächig sichtbaren römischen Gebäude des heiligen Bezirks zu erkennen[204].

## II.3 DIE FORTSETZUNG DER BRITISCHEN FORSCHUNGEN DURCH DAVID GEORGE HOGARTH (1904 – 1905)

David George Hogarth war zum Zeitpunkt, als er vom British Museum für die Nachuntersuchungen am Tempel der Artemis in Ephesos engagiert wurde, in akademischen Kreisen vor allem wegen seines erworbenen Erfahrungsschatzes in Anatolien, Ägypten, Griechenland und Syrien bekannt. Nach seiner theoretischen Ausbildung in Oxford erlernte er die Feldarbeit der jungen archäologischen Disziplin bei zeitgenössischen Autoritäten wie Flinders Petrie und Arthur Evans[205]. Mit nur 35 Jahren wurde er 1897 Direktor der Britischen Schule in Athen und blieb für drei Jahre.

Während David G. Hogarth nun mit dem Architekten Arthur E. Henderson im außerstädtischen Artemisheiligtum im Herbst 1904 sowie im Frühjahr 1905 arbeitete, waren die Österreicher unter der Leitung von Otto Benndorf im Zentrum der hellenistisch-römischen Stadt mit der Freilegung von Celsusbibliothek, Kuretenstraße, Neronischer Halle und Marienkirche beschäftigt[206].

Auf der Grundlage von Woods Arbeiten konnte Hogarth unter dem Tempel des 6. Jahrhunderts v. Chr. drei Vorgängerbauten nachweisen. Das vorrangige Ziel der 1908 erschienenen Publikation war, eine fundierte Bauaufnahme der Tempelreste als Grundlage für eine gesicherte Rekonstruktion vorzulegen. Die für damalige Verhältnisse äußerst sorgfältig ausgeführte Publikation geht allerdings nur peripher auf die vorgefundene Stratigrafie ein[207]. Auch findet sich kein

---

201 Benndorf 1906, 213.

202 Humann sah die Möglichkeit eines unbefriedigenden Ergebnisses der Grabungen im Artemision schon vor Beginn der Arbeiten. Schulte 1971, 15: C. Humann am 16. 5. 1895 an Kern (329 ChA): »Von der Agora (heute als Verulanushallen bezeichnet, Anm. der Verf.) erwarte ich eigentlich noch mehr als vom Tempel; doch das gilt für Ketzerei […].« s. auch Wiplinger – Wlach 1995, 18.

203 Benndorf 1906, 93: »An der heiligsten Stätte, die überhaupt Ephesos bieten konnte, innerhalb des Asyls, erhob sich das ursprünglich der Roma und dem Augustus, später den Kaisern überhaupt geweihte, gewiß repräsentativ ausgestattete Sebasteion, dessen Unterbau noch jetzt, wie Wood glaubte, als formlose Ruine in der Nähe des Artemistempels steht.«

204 IvE 1522; Curtius 1872, 29–30: »Octavian hat mancherlei Reformen in Ephesos gemacht, welche ungleich wichtiger waren als die neue Umhegung des Tempelraumes, deren urkundliches Zeugnis uns vorliegt. Die wichtigste derselben war ohne Zweifel die Erweiterung des alten Gottesdienstes durch das Sebasteion (dessen Überreste vielleicht in der Ruine C zu erkennen sind).«; auch von Zimmermann 1874, 41. 157 übernommen; zur Lokalisierungsproblematik der Augustea von Ephesos s. auch Engelmann 1993 und Scherrer 1990.

205 Lock 1990, 175–176.

206 Wiplinger – Wlach 1995, 14.

207 Die methodische Grundlage zur Stratigrafie war schon 1904 von Flinders Petrie vorgelegt worden: Petrie 1904; Hogarth vermerkt am 18. Oktober 1904 in seinem Tagebuch, dass er dieses Buch als Grabungslektüre während

Plan, der im Tempelbereich sowie in unmittelbarer Umgebung jene Bereiche kartiert, die von Hogarth freigelegt oder abgetieft wurden.

Den Aushub ließ Hogarth vor allem auf die Südseite transportieren, wo auf dem britischen Grundstück noch genügend freier Platz war und auch Wood schon Erdmaterial deponiert hatte. Hogarth betont, dass so viel Platz wie möglich frei gelassen wurde, um eine zukünftige Untersuchung des heiligen Bezirks nicht zu erschweren[208]. Eine Übereinkunft mit Otto Benndorf erlaubte es Hogarth außerdem, die österreichischen Schnitte aus dem Jahr 1895 mit Erdmaterial zu verfüllen.

Hogarth fand zahlreiche hellenistische Architekturblöcke an der Nordseite des Tempels in unmittelbarer Nähe einer Reihe wahrscheinlich mittelalterlicher Öfen. In diesen waren die Marmorblöcke zu Kalk gebrannt worden, der als Baumaterial für die Herstellung von Mörtel in großen Mengen benötigt wurde. Die Kalkbrennöfen befanden sich auf einem höheren Niveau als die unterste Stufe des hellenistischen Podiums, bedeckten sie aber teilweise, weshalb das Podium auf dieser Seite besser erhalten ist als an den anderen Seiten[209].

Aus D. G. Hogarths Text[210] sowie aus Fotos[211] geht hervor, dass er neben den zentralen Arbeiten am Tempel auch südlich davon Suchgräben anlegte, wobei das Ausmaß dieser Arbeiten und deren genaue Lokalisierung unklar bleiben.

## II.4 DIE WIEDERAUFNAHME DER ÖSTERREICHISCHEN FORSCHUNGEN IM ARTEMISION (1965–1994)

### II.4.1 VORGESCHICHTE BIS 1965

Die Ausgrabungen in Ephesos fanden vor dem Ersten Weltkrieg von 1895–1913 jährlich statt, mit Ausnahme der Jahre 1908–1911, in denen die Grabungsgenehmigung wegen Konflikten über die Ausfuhr von Funden verweigert wurde[212].

Während des Ersten Weltkriegs erschien 1915 der erste ›Ephesos-Führer‹, herausgegeben von Josef Keil. Zu dem Temenos des Artemisions schreibt Keil: »Von den vielen Gebäuden innerhalb des weiten, mit dem Asylrecht ausgestatteten Bezirkes des Artemisions, unter welchen sich auch ein Kaiserheiligtum, ein Gymnasium und das mit der unbeschreiblichen Pracht neu entdeckter phrygischer Marmorsorten ausgestattete größte Speisehaus der Welt – eine Stiftung des reichen Sophisten Damianus – befand, ragt heute nur ein einziges im Westsüdwesten des Tempels über den Boden empor. Die traurig zerstörte Ruine erlaubt keinen Schluß auf die einstige Ausgestaltung und die Zweckbestimmung dieses Bauwerkes (kleines Theater?).«[213]. Letztere Vermutung bezieht sich auf das Odeion und ist die älteste publizierte Interpretation der Gebäudefunktion. Eine Vorstellung davon, in welchem Zustand Josef Keil das Gebäude vorfand, vermittelt ein Foto aus dem Jahr 1927 (Taf. 4, 2)[214].

In der Zwischenkriegszeit konnten die österreichischen Forschungen erst 1926 wieder aufgenommen und fortan bis in das Jahr 1935 weitergeführt werden[215].

---

der laufenden Arbeiten in Ephesos las.

208 Hogarth 1908, 22.

209 Hogarth 1908, 30.

210 Hogarth 1908, 47–51.

211 Foto der Hogarth-Grabung mit Anonymer Türbe im Artemision samt einer Reihe langrechteckiger Suchschnitte, BM excavations, Henderson's photographs, Box 12 R, X-23. Archive of Greek and Roman Departement, British Museum, London. Vgl. G. Parrer, Der archäologische Befund, in: Ladstätter 2015, 26–28.

212 Wohlers-Scharf 1995, 101. 1907 war das neue türkische Antikengesetz in Kraft getreten, das die Ausfuhr von Antiken explizit verbot.

213 Keil 1915a, 52–53.

214 ÖAI Inv. II 0148. Die Aufnahme wurde gemacht, um die weithin sichtbaren Schuttmassen, die bei der Freilegung des Siebenschläfer-Coemeteriums am Berghang angehäuft wurden, zu verdeutlichen. s. Keil 1929, 9 Abb. 1.

215 Wiplinger – Wlach 1995, 42.

Das British Museum zog in den 1930er Jahren in Betracht, das angekaufte Tempelgrundstück an die noch junge türkische Republik zurückzuerstatten und beauftragte Sir John Forsdyke, den damaligen Kurator der Griechisch-Römischen Sammlung, ein Gutachten hinsichtlich dieser Absicht zu erstellen. Forsdyke betont, dass sich die Grabungen von Wood und Hogarth ausschließlich auf den Tempel konzentriert hatten, aus dem übrigen Bereich des heiligen Bezirks aber durchaus wichtige Ergebnisse zu erwarten seien. Weiters empfiehlt er dem British Museum die Überschreibung des Grundstücks an die British School of Archaeology in Athen, falls kein Interesse bestehe, die Forschungen weiterzuführen[216]. Schließlich schlägt Forsdyke, Humfry Pyne, den Direktor der Britischen Schule in Athen, als Fachmann für eine Begehung vor Ort vor. Dieser besucht Ephesos am 26. Juni 1934 und kommt zu folgendem Schluss: »In my opinion the unexcavated area should be excavated, as it must include part of the temenos of the successive temples, and could scarcely fail to produce important material.«[217].

Im Jahr 1935 wurde das Grundstück jedoch von der türkischen Regierung Flüchtlingen zugeteilt, die sich nach dem Bevölkerungsaustausch am Ayasoluk angesiedelt hatten, und war somit durch Enteignung in türkischen Staatsbesitz übergegangen[218].

## II.4.2 ENTDECKUNG DES ALTARS DURCH ANTON BAMMER (1965)

Nach dem Zweiten Weltkrieg wurden die Grabungen in Ephesos erstmals 1954 unter der Leitung von Franz Miltner wieder aufgenommen. Nach dessen überraschendem Tod übernahm Fritz Eichler die Grabungsleitung und initiierte im Jahr 1965 die erneute Suche nach dem Altar im Artemision, die er dem Architekten Anton Bammer anvertraute[219]. Aufgrund der Enteignung sämtlicher Grundstücke ausländischer Institutionen war es nach dem Zweiten Weltkrieg möglich geworden, eine Grabungserlaubnis für das Tempelgrundstück zu beantragen, das sich nun im türkischen Staatsbesitz befand[220]. Der Altar konnte tatsächlich noch im selben Jahr unter den Aushubhügeln John Turtle Woods lokalisiert werden. Es wurde bis in das Jahr 1994, insgesamt 29 Jahre, alljährlich im Artemision gearbeitet, wobei der Forschungsschwerpunkt neben dem Altar auf der zentralen Kultstätte in ihren verschiedenen Ausprägungen lag.

Anton Bammer war es, der die letzten sichtbaren Substruktionen eines römischen Gebäudes innerhalb des Temenos als ›Tribüne‹ für den Beginn der Prozession vom Artemision nach Ephesos bezeichnete – wegen seiner einem kleinen Theater oder einem Stufenbau ähnlichen ansteigenden Form[221]. Er brachte das Gebäude aufgrund der von ihm vermuteten Freitreppe mit flankierenden Podien schließlich auch mit den großen Altarbauten in Verbindung und vermutete sogar einen Zusammenhang mit dem Partherfries, dessen bauliche Zugehörigkeit bis heute unklar ist[222]. Bammer konnte in den Substruktionen nur zwei Kammern (Kammer 1 und 5) der insgesamt neun rechteckigen Kammern ausmachen, da das Gebäude zum damaligen Zeitpunkt stark überwachsen war und die Zugänge zu den Kammern teilweise von Erdmaterial bedeckt waren[223]. Er beschreibt das Gebäude als großes Podium mit einer Freitreppe nach Osten und vermutet aufgrund zweier an der Oberfläche gefundener Kapitelle eine rahmende Säulenarchitektur an der Nord-, West- und

---

216 Bericht von J. Forsdyke an die Direktion des British Museum vom 8. 11. 1933 und 28. 11. 1933, Central Archive, British Museum, London.

217 Bericht von H. G. G. Pyne an die Direktion des British Museum vom 15. 9. 1934, Central Archive, British Museum, London.

218 Minutes of Standing Committee, 9. 3. 1935. »Mr. Forsdyke observed that there was no point in handling back the site to the Turkish Government, since they had already taken it; nor did it seem worthwhile to raise the questions of legal ownership or compensation. The matter might be kept in mind as a point to the credit of the Trustees, in case of any concession being asked for in the future. The Trustees decided to take no action.«

219 Wiplinger – Wlach 1995, 93; Wohlers-Scharf 1995, 138. 167.

220 Bammer 1984, 26.

221 Bammer 2004, 12.

222 Bammer 2004, 11; Bammer 2007, 99–100.

223 A. Bammer erwähnt an der Nordseite noch eine Kammer, die er aber aufgrund des starken Bewuchses nicht begehen könne (Bammer 2004, 12).

Südseite des Gebäudes[224]. Die Kapitelle (**Kat. A 3** und **A 4**) fanden sich auch noch im Jahr 2009 an der Oberfläche des Odeions mit zahlreichen anderen Spolien über das gesamte Areal verteilt, wobei der Großteil der Blöcke im Bereich der Cavea lag (s. Kap. V.4.2). Die Zugehörigkeit der an der Oberfläche gefundenen Blöcke zu dem Odeion ist zwar nicht auszuschließen, aber zumindest in Zweifel zu ziehen. Wahrscheinlich ist vielmehr, dass die Spolien, die auf den Feldern rund um das Gebäude verstreut lagen, im Zuge der Plantagenpflanzungen, die zwischen 1966 und 1977 erfolgten[225], auf dem Odeion deponiert worden waren (Taf. 26).

In einer Entfernung von etwa 30 m nördlich des Altars wurden im Jahr 1989 von Anton Bammer und Ulrike Muss späthellenistisch-frühkaiserzeitliche Strukturen freigelegt, wobei die Funktion dieser Gebäude im Einzelnen aufgrund des kleinen Ausschnitts nicht eindeutig geklärt werden konnte (Taf. 1, 2; 7, 2)[226]. Ein Rechteckbau (9 × 11,5 m) mit marmornen Orthostatensockel datiert laut Muss in das 1. Jahrhundert n. Chr. Die absolute Höhe des erhaltenen Fundaments beträgt 2,80–2,90 m[227]. Ein Podiumsbau, etwa auf gleicher erhaltener Höhe westlich davon, ist aus Bruchsteinen errichtet und wird zwischen das Ende des 1. und der Mitte des 2. Jahrhunderts n. Chr. datiert. Der Podiumsbau überdeckt schließlich einen späthellenistischen Bau, der von Ulrike Muss als Stufenbau bezeichnet wird[228].

### II.4.3 ARBEITEN ZUR ›VIA SACRA‹ DURCH DIETER KNIBBE (1993)

Seit dem Jahr 1991 beschäftigte sich der Althistoriker und Epigrafiker Dieter Knibbe mit der Erkundung der Prozessionsstraße und Ringnekropole rund um den Panayırdağ, einschließlich der von Titus Flavius Damianus an der Wende vom 2. zum 3. Jahrhundert n. Chr. errichteten Stoen, die durch ihre Überdachung einen größeren Komfort bei der Abhaltung der Prozessionen gewährleisten sollten. Das dreijährige Forschungsprojekt mit dem Arbeitstitel »Via Sacra Ephesiaca« wurde bis in das Jahr 1993 fortgeführt und beinhaltete geophysikalische Untersuchungen[229] im Bereich des vermuteten Verlaufs der Prozessionsstraße sowie punktuelle Grabungen[230]. Die archäologischen Sondagen sollten über den Nutzungszeitrahmen der heiligen Straße, den Verlauf sowie die diversen Ausbauphasen Auskunft geben.

Es konnte festgestellt werden, dass die verlandete Tiefebene am Fuße des Panayırdağ stark hochwassergefährdet war, da sich in relativ kurzen Intervallen immer wieder neue, höhere Wege- und Straßenniveaus finden[231]. Offenbar nahmen diese Hochwasser am Ende des 2. Jahrhunderts n. Chr. in ihrer Häufigkeit und Stärke soweit zu, dass die Errichtung eines gut fundamentierten Weges für die Durchführung der Prozessionen notwendig geworden war. Bereits zu Beginn des 2. Jahrhunderts war ein Teil der heiligen Straße mit einer Stoa versehen worden, gestiftet von Tiberius Claudius Secundus[232]. Die Lage der Stoa des Secundus ist nicht bekannt, führte aber wahrscheinlich vom Heiligtum Richtung Stadt und ist somit ein möglicher Vorgängerbau der Damianos-Stoa.

Die von zahlreichen Gräbern und Grabhäusern gesäumte Prozessionsstraße am Fuße des Panayırdağ wurde über weite Strecken von einer Verkehrsstraße begleitet, die John Turtle Wood[233]

---

224 Bammer 2005, 18; Bammer 2007, 96–97 Abb. 11.

225 Auf den Luftbildern des Jahres 1966 sind keinerlei Plantagen im gesamten Bereich um das Odeion zu erkennen, während im Jahr 1977 bereits die gesamte Fläche rund um das Gebäude bepflanzt ist.

226 Muss 2005, 249–263; s. auch Kirbihler – Zabrana 2014, 109–111 Abb. 3. 6. 7–9.

227 Die abs. H der Peristasis des hellenistischen Artemistempels liegt bei 2,17 m.

228 Im Zerstörungsschutt des Stufenbaus fand sich ein überlebensgroßer, wahrscheinlich behelmter Statuenkopf, für den U. Muss eine Interpretation als Athena oder Dea Roma in Betracht zieht (Muss 2008, 252–255).

229 Hruška u. a. 1995.

230 Knibbe 1993; Knibbe – Thür 1995; Thür 1999, Abb. 4.

231 Knibbe – Thür 1995, 12.

232 IvE 1545; Knibbe – Thür 1995, 12.

233 Wood 1877, 120.

und später Dieter Knibbe[234] punktuell freilegen konnten. Aufgrund der voranschreitenden Verlandung und der damit verbundenen Verlagerung des Siedlungszentrums dürfte sich die Trassenführung des Prozessionsweges im Laufe der Zeit mehrmals verändert haben. Die ältesten Straßenhorizonte in den Grabungen Knibbes datieren jedenfalls nicht vor Anfang des 1. Jahrhunderts n. Chr.[235].

Knibbe untersuchte drei Bereiche, an denen Pfeilerreste der Stoa an der Oberfläche sichtbar waren, wodurch eine Rekonstruktion derselben erarbeitet werden konnte[236]. Georadarmessungen ergaben weiters, dass jener Teilbereich der weitläufigen *via tecta*, die an der Nordseite des Panayırdağ ergraben wurde (A III, 1992/93), geradlinig bis zum Temenos des Artemisions reichte[237]. Der Übergang zu dem Tempelbezirk wird durch markante Änderungen im Charakter der Radargramme sichtbar, die auf ausgedehnte, mehrphasige Gebäudestrukturen schließen lassen[238]. Heute wird diese Stelle durch jene Feldwegkreuzung nachgezeichnet, welche die moderne Zufahrt zum Odeion bildet.

Schließlich wurden auch die sichtbaren Überreste des Odeions vom 26. 4. bis zum 3. 5. 1992 gereinigt und begutachtet: »[…] der nach Westen zu gelegene Bau, der eine auf zwei waagrechten Tonnen und einer mittleren schrägen Tonne aufruhende, nach Osten schauende Tribüne in der Form eines kleinen Theaters zu sein scheint, die man auf Grund ihrer soliden Ausführung aus vorbehauenen Steinen in die ›gute‹, nicht zu späte Kaiserzeit datieren wird. Der Bau war mit Marmor verkleidet, von dem allerdings nahezu nichts mehr erhalten ist; denkbar wäre, dass die Funktion dieser Tribüne die eines kleinen Kulttheaters war, dessen ›Bühne‹ der davorgelegene Platz bildete; denkbar wäre ferner, dass diese Tribüne den Honoratioren des Tempels und der Stadt reserviert war, die von hier aus zusahen, wenn sich die Volksmenge zu einer Prozession sammelte und den Auszug der Göttin erwartete, der wohl mit feierlichen Kulthandlungen verbunden war.«[239].

*Lilli Zabrana*

---

234 W. Pietsch – E. Trinkl, Der Grabungsbericht der Kampagnen 1992/93, in: Knibbe – Thür 1995, 23–26; Überblickskarte zu Grabungen aus den Jahren 1991–1994 s. Thür 1999, 167–168. 196. Abb. 4.

235 Thür 1999, 168.

236 Thür 1999.

237 Hruška u. a. 1995, 16; Knibbe 2002, 210. D. Knibbe gibt die Entfernung vom Artemision mit 140 m an, Hruška u. a. im Jahr 1995 mit 210 m. Die Unstimmigkeiten sind wahrscheinlich durch die ungenaue Platzierung des Tempelareals auf dem Planmaterial zustande gekommen, welche das Tempelgebäude und den Altar zu einem Rechteck zusammenfasst und als Artemision bezeichnet.

238 Die Radargramme sind zusammen mit der Auswertung in Hruška u. a. 1995 vorgelegt. Durch die Weiterentwicklung geophysikalischer Methoden müsste diese Datenanalyse mit heutiger Technik überprüft werden. Einschränkendes Moment ist hier die flächige landwirtschaftliche Nutzung, die diese Untersuchungen erschweren.

239 Knibbe 1993, 19–20.

# III BAUBEFUND UND BAUBESCHREIBUNG

## III.1 TOPOGRAFISCHE LAGE

Das Odeion befindet sich 175 m südwestlich des Artemistempels[240], eine Entfernung, die dem Längenmaß eines griechischen Stadions (600 Fuß) entspricht (Taf. 7, 2). Aufgrund dieser Lage ist davon auszugehen, dass das Odeion innerhalb des heiligen Bezirks lag, der den Artemistempel großflächig umgab. Für die römische Zeit überliefert Strabon einen Asylbereich innerhalb des Temenos, dessen Ausmaße er mit einem Stadion angibt, wobei eine Mauer diesen vom übrigen, weitaus größeren Temenos abtrennte[241].

Aufgrund der unterschiedlichen Gebäudestrukturen, die John Turtle Wood freigelegt hat, ist der abgeschlossene Asylbereich wohl nördlich des Tempels zu vermuten, während südlich des Tempels offizielle öffentliche Bauten wie das Odeion zu finden sind (vgl. Kap. II.1).

Auch die Ausrichtung des Gebäudes, das sich an jener des Tempels orientiert und lediglich eine geringe Abweichung von 7° in südlicher Richtung aufweist, spricht für einen Bezug zum Tempel und der ihn umgebenden Infrastruktur. Die Westfassade bildet die Gebäuderückseite, die Cavea ist nach Osten orientiert und blickt auf ein Bühnengebäude. Durch die Geschlossenheit des überdachten Gebäudes war der Tempel von der Cavea aus nicht zu sehen, weshalb sich keine direkten Blickbezüge herstellen lassen. Die Orientierung des Odeions ist daher durch bestehende ältere Gebäude und Straßenverläufe in unmittelbarer Umgebung des Tempels zu erklären, die in der Auswertung der geophysikalischen Geoprospektion bereits teilweise sichtbar gemacht werden konnten (Taf. 12, 1).

Heute liegt das Gebäude zu mehr als der Hälfte verschüttet inmitten intensiv landwirtschaftlich genutzter Flächen, unmittelbar an der modernen Straße von Selçuk nach Kuşadası, gegenüber dem Friedhof der Gemeinde Selçuk. Die Überreste des erhaltenen Gebäudes (max. 12 m hoch) ragen etwa 5 m über das moderne Laufniveau (± 7 m abs. H) hinaus.

## III.2 FUNDAMENTIERUNG

Die Fundamente des Odeions wurden in drei Sondagen teilweise freigelegt (Sondage 1/2010, 5/2010, 4/2010–2011)[242]. Neben der bautechnischen Untersuchung der Fundamente sollte vor allem datierendes Fundmaterial aus dem Fundamentbereich geborgen werden, um eine chronologische Einordnung der Errichtungszeit zu ermöglichen.

Innerhalb von Kammer 9 im Bereich von Sondage 4/2010–2011 liegt das bauzeitliche Bodenniveau auf einer abs. H von 3,75 m und ist anhand der Reste eines Mörtelestrichs mit Abdrücken der abgenommenen Marmorplatten leicht zu erkennen (Taf. 49, 2). Unterhalb des Fußbodenestrichs mitsamt seinem groben Unterbau wurde auf der gesamten Fläche (1,40 × 1,20 m) eine Verfüllung aus Schotter und gerundeten Steinen freigelegt (D 5–25 cm, max. 40 cm), woraus kein

---

[240] Die Entfernung wurde von der Südwestecke der Tempelkrepis bis zur sichtbaren Nordostecke des Odeions gemessen.

[241] Strab. 14, 1, 23. Strabon spricht explizit von der Asylie und meint die ummauerte Einfriedung des Asylbezirks und nicht die Grenze des gesamten Temenos; Bammer 2004, 11, unterscheidet nicht zwischen dem Asylbereich und dem übrigen heiligen Bezirk. Inschriftliche Überlieferung (s. Kap. I.2) und infrastrukturelle Vergleiche mit anderen großen Heiligtümern belegen allerdings eine strenge Trennung der beiden Bereiche.

[242] Sondage 1/2010: Schwelle: 3,52 m abs. H; tiefstes gemessenes Niv. 2,66 m abs. H; Sondage 5/2010: bauzeitliches Laufniveau durch Gang zwischen 5a und 5b: 3,47 m abs. H; tiefstes gemessenes Niv. 2,43 m abs. H; Sondage 4/2010–2011: bauzeitliches Fußbodenniveau 3,75 m; tiefstes gemessenes Niv. 3,14 m abs. H; zum Vergleich: Orchestraboden Sondage 2/2011: 3,22 m abs. H.

diagnostisches Fundmaterial geborgen werden konnte. Es handelt sich hierbei wohl um eine massive Hinterfüllung der Fundamente. Es zeigt sich, dass die Fundamente in Kammer 9 im Zuge der Errichtung teilweise frei dagelegen haben müssen, da die Westmauer auch unter Fußbodenniveau einen breiten, horizontalen Fugenstrich aufweist, der sich im aufgehenden Mauerwerk nur punktuell erhalten hat. Der Fugenstrich im Fundamentbereich sowie die flächige Hinterfüllung des Fundaments lassen auf eine großdimensionierte Baugrube schließen, deren frei bleibende Flächen nach Aufmauerung der Fundamentmauern mit Steinen verfüllt wurden.

In Sondage 1/2010 und 5/2010 konnte bis zu 1 m unter die Bauhorizonte abgetieft werden (Taf. 45, 3. 4; 47). Die Stratifikation unter den gut erkennbaren Bauhorizonten[243] aus Marmorsplitt und Ziegelschrot ist aufgrund der einheitlichen Datierung des keramischen Fundmaterials gleichermaßen mit dem Bauvorgang in Zusammenhang zu bringen und kann daher ebenso als Hinterfüllung der teilweise frei liegenden Fundamente erklärt werden, wie es auch für Sondage 4/2010–2011 wahrscheinlich ist.

Das Erscheinungsbild des Fundaments in Sondage 5/2010 zeigt eine unregelmäßige Oberfläche ohne Fugenstrich. Zu erwähnen bleibt, dass das Fundmaterial in Sondage 5/2010 einen großen Anteil an keramischen Altstücken aufweist, die archaisch/klassisch und hellenistisch datieren[244]. Aufgrund der hohen Anzahl an keramischen Altstücken handelt es sich hierbei wahrscheinlich um umgelagertes Material aus tiefer gelegenen Schichten, das beim Ausheben der Baugrube erneut Verwendung als Verfüllung fand. In Sondage 1/2010 datieren die untersten Schichten bereits in die Zeit vor der Errichtung des Odeions[245], weshalb davon auszugehen ist, dass der unterste Fundamentbereich an den Außenfassaden in umgebendes Erdmaterial angesetzt wurde.

In Sondage 1/2010 nimmt den größten Teil des ergrabenen Fundamentbereichs der massive Schwellenblock (H 0,58 m; L 1,50 m; OK 3,52 m abs. H) ein, der in der zurückspringenden Fassadenflucht unterhalb der Blendbögen liegt. Unterhalb des Schwellenblocks springt das Fundament wiederum 50 cm bis zur eigentlichen Fassadenflucht vor (OK des Fundamentvorsprungs 2,84 m abs. H) (Taf. 45, 3–4)[246].

Die Grabungen in den Fundamentbereichen zeigen, dass die Fundamente an den Gebäudeaußenseiten in anstehendes Material angesetzt, im Gebäudeinneren hingegen durch das Aufbringen von massiven Stein- und Erdschüttungen verstärkt und hinterfüllt wurden. Die Ergebnisse der Grabungsarbeiten sprechen daher für das Ausheben einer großflächigen Baugrube, wobei sich darüber hinaus ein partieller Bodenaustausch nachweisen lässt (Sondage 4/2010–2011), der die Standsicherheit des Gebäudes erhöhen sollte. Ohne Zweifel wurde die Gründung des Gebäudes aufgrund des schlechten Baugrundes mit größtmöglicher Sorgfalt durchgeführt. Obwohl die Meeresbucht, an der das Heiligtum ursprünglich angelegt worden war, zur Errichtungszeit des Odeions schon lange verlandet war, spielten bei der Vorbereitung der Baufläche der Untergrund aus alluvialen Sedimenten wie auch die Überflutungsgefährdung durch die nahen Flussläufe des Selinus und Marnas[247] zweifelsohne eine wichtige Rolle.

## III.3 SUBSTRUKTIONEN

Der gesamte heute sichtbare Teil des Gebäudes wird von den Substruktionen der darüberliegenden Cavea gebildet und verfügt über einen rechteckigen Grundriss mit den Maßen 39,60 × 23,70 m (Plan 1). An seiner Süd-, West- und Nordseite verfügt der Bau über neun tonnengewölbte Kammern, von denen derzeit sechs zugänglich sind. Die Kammern der Substruktionen sind nicht symmetrisch angeordnet, da sich auf der Nordseite kleinere Kammern in Nord-Süd-Ausrichtung

[243] Bauhorizont Sondage 1/2010: 3,26–3,00 m abs. H; Sondage 5/2010: 2,97–2,92 m abs. H.
[244] Die älteren Fragmente werden im Detail gesondert vorgelegt.
[245] Späthellenistisch/augusteisch.
[246] Es wurde in Sondage 1/2010 bis auf eine abs. H von 2,78 m abgetieft.
[247] Brückner u. a. 2008, 25. 30. Aktualisierte Ergebnisse in Kerschner 2015, 199–201.

finden, im Süden aber eine einzige Kammer über die gesamte Schmalseite reicht. Die Gewölbe der Kammern weisen teilweise ein Gefälle auf, wenn dies die darüberliegende Cavea erforderte.

Das Mauerwerk der Substruktionen besteht durchwegs aus *opus caementicium*, das mit lagerechten Bruchsteinen *(opus vittatum)* verkleidet ist (s. Kap. IV.1; IV.2). Die westliche Außenmauer verfügt über eine Mauerstärke von 1,50–1,60 m. Im nördlichsten Abschnitt der westlichen Außenmauer (im Bereich von Kammer 6) beträgt die Mauerbreite schließlich sogar 2 m. Auch die südliche Außenmauer ist rund 2 m breit. Die nördliche Außenmauer hingegen hat mit 1,35 m eine etwas geringere Mauerstärke, welche der Breite der Innenmauern entspricht.

Die Nummerierung der Kammern erfolgt ausgehend von der größten Kammer an der Südseite des Gebäudes im Uhrzeigersinn.

### III.3.1 KAMMER 1

Kammer 1 reicht über die gesamte südliche Schmalseite des Gebäudes mit einer Länge von 18,50 m bei einer sich von West nach Ost verringernden Breite von 4,37–4,00 m, weshalb der Grundriss von leicht konischer Form ist. Die Kammer ist bis auf ein Niveau von 6,50–7,50 abs. H mit Erdmaterial und Schutt verfüllt, durch die verbleibende Höhe von 2,15–2,80 m bis zum Gewölbescheitel aber leicht zugänglich. Das Gewölbe weist keine Neigung auf und verläuft über seine gesamte Länge waagrecht bei einer Stichhöhe von 2,16 m (Taf. 8, 1; Plan 7).

Die Nordwand der Kammer weist 16 unterschiedlich große Rüstlöcher in zwei verschiedenen Höhen auf (Plan 7). Die Unterkante der kleineren Rüstlocher liegt auf 7,16 m abs. H, während sich die der darüberliegenden größeren auf einer abs. H von 8 m befindet. Die 10 größeren Rüstlöcher messen etwa 40 × 40–60 cm und liegen in unregelmäßigen Abständen (1,80–2,30 m) etwas oberhalb der Kämpferlinie. Die Lehrgerüste wurden somit bereits in den frei errichteten Gewölbeansatz gesetzt. Die 6 kleineren Rüstlöcher (20–30 × 30 cm) liegen ebenfalls in unregelmäßigen Abständen (1,63–2,71 m) und korrespondieren nicht mit den darüberliegenden größeren Rüstlöchern, weshalb diese wohl dem vertikalen Baugerüst zugerechnet werden können. Alle Rüstlöcher der Nordwand von Kammer 1 haben gegenständige Rüstlöcher an der Südwand.

Kammer 1 weist vor allem an ihrer Südwand massive Schäden auf, die auf zweierlei Ursachen zurückgeführt werden können (Plan 6). Zum einen zeigt das Tonnengewölbe in seinem Scheitel eine starke Verformung in Form eines spitzbogenartigen Grates, das auf eine bereits bauzeitliche statische Überbelastung des Gewölbes schließen lässt (Plan 18, 1). Die Disposition des Grundrisses zeigt deutlich, dass die Schubkräfte aller nach Norden anschließenden Gewölbe an der Südfassade gebündelt werden, die eine vollflächige Verformung aufweist und auf Kämpferhöhe nach außen zu kippen droht (Plan 1).

Die zweite massive Schädigung der Bausubstanz ist den mittelalterlichen Durchbrüchen zuzurechnen, die bis zu 2 m Durchmesser aufweisen und die statisch vorbelastete Südmauer zusätzlich schwächen (Plan 16)[248].

Von der westlichen Schildwand in Kammer 1 sind große Teile der vorgesetzten Mauerschale verbrochen (Plan 18, 1). Die Schäden reichen tief in das *opus caementicium* hinein, punktuell ist sogar die gesamte Mauertiefe von 1,60 m ausgebrochen. Durch diese Öffnungen wurde Erdmaterial von außen in die Kammer eingeschwemmt.

Die östliche Schildwand existiert nicht mehr, kann jedoch aufgrund deutlicher Ausrissspuren an der Südwand gut lokalisiert werden.

Unklar bleibt vorerst die bauzeitliche Erschließung von Kammer 1. In der westlichen Schildwand befindet sich keine Öffnung, da die Bogenstirn der Zugänge in der benachbarten Kammer 2

[248] Die mittelalterlichen Nutzungsphasen können durch Fundmaterial aus ungestörter Stratifikation an der Westfassade in das 14.–15. Jh. n. Chr. datiert werden. Da einige angesetzte mittelalterliche Mauern an der Westfassade auf eine relativ kleinteilige Nutzung schließen lassen, werden die vier vorhandenen Durchbrüche mit entsprechenden Zwischenwänden im Inneren wohl vier getrennt begehbare Einheiten gebildet haben. Die beiden westlichsten Durchbrüche wurden zu einem nicht näher bestimmbaren Zeitpunkt mit Bruchsteinen und Ziegeln verschlossen.

bereits auf 7,25 m abs. H sichtbar ist, dies aber an der Westfassade im Bereich von Kammer 1 eindeutig nicht der Fall ist. Auch die Symmetrie der Westfassade legt in Analogie zu Kammer 6 nahe, keinen Zugang zu Kammer 1 im Westen zu suchen (Plan 17). Die mittelalterlichen Durchbrüche liegen bei den übrigen Kammern immer direkt über den bauzeitlichen Zugängen, wohl auch bedingt durch die dortigen Fensteröffnungen, die einfach vergrößert wurden, um die verschütteten Kammern auf höherem Niveau nutzen zu können. Es bleibt unklar, ob einer der Durchbrüche in der Südfassade zu einem darunterliegenden Zugang gehört oder dieser in der nicht mehr vorhandenen östlichen Schildwand zu suchen ist. Einen direkten Aufgang in die Cavea, symmetrisch zu dem Treppenaufgang in Kammer 2 an der Nordseite des Gebäudes, kann es nicht gegeben haben. Die durchgängige Nordwand von Kammer 1 wie auch die geschlossene Cavea in Sondage 3/2011 widerlegen diese Hypothese deutlich. Eine Verbindung von Kammer 1 mit der nördlich anschließenden Kammer 2 ist nicht zu erkennen, kann aber auch nicht ausgeschlossen werden. Somit bleiben die Erschließung der Kammer selbst sowie deren Anbindung an gebäudeinterne Wegenetze vorerst unklar.

### III.3.2 KAMMER 2

Kammer 2 liegt nördlich von Kammer 1 und ist zur Gänze mit Schutt verfüllt (Plan 1. 8). Die Größe bleibt unklar, jedoch ist aufgrund der symmetrischen Anforderungen der Cavea von den gleichen Maßen wie bei Kammer 5 auszugehen. Die Gebäudeoberseite im Bereich über Kammer 2 lässt darauf schließen, dass das Gewölbe von Kammer 2 intakt ist, wobei die Kammer dann ausschließlich durch den bauzeitlichen Zugang sowie durch die darüberliegende Fensteröffnung mit eingeschwemmtem Erdmaterial verfüllt worden sein kann.

Die Erschließung von Kammer 2 ist an der Westfassade deutlich ablesbar (Plan 17, s. auch Kap. III.7.2). Der rundbogenförmige Abschluss des bauzeitliche Zugangs ist auf einer abs. H von 7,25 m bereits zu sehen und in diesem Fall nicht durch einen späteren Durchbruch beschädigt, womit die ursprüngliche Bogengestaltung erschlossen werden kann (Taf. 18). Die darüberliegende, außerordentlich gut erhaltene Licht- und Luftöffnung (95 × 50 cm) wurde an der Sohlbank um 60 cm nach unten erweitert, allerdings zu einem späteren Zeitpunkt wiederum zugesetzt. Die Öffnung weist insgesamt eine Höhe von nicht mehr als 1,16 m bei einer Breite von 50 cm auf, weshalb aufgrund der Unzugänglichkeit keine mittelalterliche Nachnutzung der Kammer in Frage kommt.

### III.3.3 KAMMER 3

Kammer 3 ist wie Kammer 2 ebenfalls zur Gänze verschüttet (Plan 9). Ein trichterförmiger Einbruch im Bereich über Kammer 2 auf der Oberseite des Gebäudes zeigt jedoch deutlich, dass das Gewölbe dieser Kammer eingestürzt ist und mit eingeschwemmtem Erdmaterial der Oberfläche verfüllt wurde (Taf. 9, 1; 11, 1; Plan 2). An der Westfassade findet sich ein mittelalterlicher Durchbruch, der analog zu Kammer 4 und 5 auf einen darunterliegenden bauzeitlichen Zugang schließen lässt (Taf. 16, 1. 2; Plan 17; s. auch Kap. III.7.2). Die Seitenwangen des mittelalterlichen Durchbruchs wurden mit neuen Türlaibungen aus Ziegel und Bruchsteinen in Lehmmörtel begradigt und spiegeln die Nutzung der Kammern auf höherem Niveau wider.

Die Maße von Kammer 3 und 4 ergeben sich aus den Vorgaben der darüberliegenden Cavea, weshalb in der Rekonstruktion die Breitenmaße der Kammern an der Westfassade übernommen werden konnten, die Längenmaße jedoch um 1,50 m auf 7,50 m verkürzt werden müssen.

### III.3.4 KAMMER 4

Kammer 4 ist ebenso wie Kammer 2 und 3 hoch verschüttet, jedoch nicht unzugänglich (Plan 10). Das Tonnengewölbe weist mittig einen Einbruch auf, der an der Gebäudeoberseite als trichterförmige Vertiefung erkennbar ist (Taf. 9, 1; 11, 1; Plan 2). Durch den Durchbruch wurde Erdmaterial

von oben in die Kammer eingeschwemmt. Die Kammertiefe beträgt aufgrund der mittels Distomat gemessenen Distanz mindestens 6,73 m. Analog mit Kammer 3 wurde auch in Kammer 4 ein Längenmaß von 7,50 m rekonstruiert. Eine verkürzte Länge ergibt sich ebenso durch die nachgewiesene Existenz der benachbarten Kammer 5b, die, angepasst an die darüberliegende *ima cavea*, schräg platziert ist und einen konischen Querschnitt hat (Plan 1). Um die statisch notwendige Zwischenmauerbreite zu erreichen, muss Kammer 4 in jedem Fall kürzer sein als Kammer 5a. Die Breite von Kammer 4 lässt sich durch die westliche Schildwand, die in einem kleinen Bereich knapp bis unter Kämpferhöhe frei liegt, mit 4,80 m eindeutig ermitteln.

Das Gewölbe weist ein West-Ost-Gefälle mit einer Neigung von 19° auf und an der westlichen Schildwand eine Stichhöhe von 2,28 m. Die Erschließung von Kammer 4 ist an der Westfassade ebenso deutlich ablesbar wie bei Kammer 2 (Taf. 14, 2; Plan 17). Der rundbogenförmige Abschluss des bauzeitliche Zugangs ist auf einer abs. H von 7,25 m sichtbar, die einzelnen Bruchsteine sind allerdings aufgrund des deplatzierten Schlusssteins deutlich verschoben. Die Fensteröffnung darüber ist gut zu erkennen, die Sohlbank und das darunterliegende Mauerwerk wurden aber bis auf den Bogenrücken des verschütteten Zugangs entfernt, wodurch ein schmaler Zugang zu der dahinterliegenden Kammer entstand. Der bauzeitliche Zugang zu Kammer 4 liegt nicht mittig in der westlichen Schildwand, jedoch symmetrisch zwischen den der Westfassade vorgelagerten Pilastern (Plan 17. 18; s. Kap. III.7.2).

## III.3.5 KAMMER 5A UND 5B

### III.3.5.1 Kammer 5a

Kammer 5a, nördlich von Kammer 4, misst 9 × 4,50 m und ist durch ihren 2 m breiten Durchbruch in der westlichen Schildwand leicht zu begehen (Taf. 14, 3; Plan 1. 11. 12. 17). Das intakte Tonnengewölbe weist ein West-Ost-Gefälle mit einer Neigung von 15° auf, hat jedoch in seinem Scheitel eine leicht konkave Verformung, die um 10 cm von der idealen Scheitellinie abweicht. Diese Gewölbedeformation ist wie bei Kammer 1 mit Sicherheit im Zuge der Aushärtung der *opus caementicium*-Massen entstanden, nachdem das Lehrgerüst entfernt worden war und sich der Gewölbescheitel aufgrund der Auflast etwas gesenkt hatte. Die Stichhöhe des Tonnengewölbes beträgt 2,21 m.

Kammer 5a ist etwa zu zwei Drittel mit Schutt verfüllt, wobei die mittelalterlichen Schichten bei etwa 4,50 m abs. H einsetzen und bis auf das heutige Laufniveau von 5,50 m reichen (Sondage 5/2010, Taf. 47). Außerhalb, vor Kammer 5a, liegt das moderne Nutzungsniveau auf rund 7 m abs. H, weshalb man heute in die Kammer hinabsteigen muss. Kammer 5a verfügt über fünf Gerüstlöcher, die vergleichbar zu Kammer 1 in zwei unterschiedlichen Höhen angeordnet sind und auch unterschiedliche Größen aufweisen. Die drei größeren, etwas oberhalb der Kämpferlinie sitzenden Rüstlöcher sind in einem Abstand von 2,50 m angeordnet, die beiden kleineren liegen versetzt in einem Abstand von 3,60 m. Die fünf Rüstlöcher sind auf einer Länge von 5 m verteilt, die übrigen 4 m Mauerfläche weisen kein Rüstloch auf.

Der obere Abschluss des Kammerzugangs ist auf der Innenseite der westlichen Schildwand zu erkennen (Plan 18, 1). Vergleichbar mit Kammer 4 liegt der bauzeitliche Zugang nicht mittig in der Schildwand, jedoch symmetrisch zwischen den vorgelagerten Pilastern der Westfassade (s. Kap. III.7.2).

Kammer 5a weist als einzige Reste einiger Putzschichten auf, wobei eine bauzeitliche Datierung nicht gesichert ist. Der Dünnschliff einer Mörtelprobe aus der nördlichen Hälfte des Tonnengewölbes zeigt einen grob sortierten Unterputz sowie darüberliegenden Feinputz aus Kalkmörtel mit Marmorsand (P2/2009, Taf. 19, 6)[249].

[249] Die Dünnschliffanalysen der Mörtelproben wurden am Institut für Archäometrie der Universität für angewandte Kunst Wien von Roman Sauer im Mai 2011 durchgeführt.

Im Jahr 2010 wurde im Bereich vor der östlichen Schildwand eine 1,70 m breite Sondage angelegt, die zum Ziel hatte, das bauzeitliche Fußbodenniveau zu ermitteln sowie den Zeitpunkt der Aufgabe und die Nachnutzungsphasen anhand keramischen Fundmaterials zu bestimmen (Sondage 5/2010, Taf. 47; Plan 3. 11. 12. 18, 2). Schon nach den ersten Reinigungsarbeiten wurde der obere Abschluss eines Durchgangs an der Südwand entdeckt, wobei zunächst die Orientierung des dahinterliegenden Gangs unklar blieb (Plan 11; Taf. 47). Bereits bald zeigte sich, dass der Gang nicht nach Süden zu Kammer 4, sondern schräg nach Südosten führt und einen Durchmesser von lediglich 77 cm aufweist. Der Gang ist von einer schmalen Tonne mit einer Stichhöhe von 59 cm überwölbt. Von der südlichen Längswand der Kammer weicht die Orientierung des Gangs um 45° nach Süden ab. Seine Gesamthöhe konnte mit 1,83 m ermittelt werden, gemessen vom bauzeitlichen Bodenniveau. Aufgrund der Gangführung wurde auch die östliche Schildwand von Kammer 5a im Bereich des Zugangs abgeschrägt ausgeführt.

Auf Fußbodenhöhe des Gangs (3,47 m abs. H) fand sich innerhalb von Kammer 5a kein entsprechendes Bodenniveau, da dieses für den Einbau einer Latrine entfernt worden war, welche im Rahmen einer Neuausstattung des Odeions erfolgte (Kap. VI.3; Taf. 47)[250]. Die Sohle des umlaufenden Latrinenkanals, die mit Ziegelplatten (59 × 38 × 2,5 cm) ausgelegt war, befindet sich auf einer abs. H von 3,38 m. Das zugehörige Bodenniveau liegt auf 4 m abs. H und bestand aus einem Estrich mit einem Unterbau aus Kies und grobem Schotter. Von der Konstruktion der Latrinensitze über dem Kanal sind insgesamt sechs Balkenlöcher sichtbar, deren Unterkante auf einer übereinstimmenden Höhe von 4,50 m liegt (Plan 11. 12. 18, 2). Für die Balkenlöcher wurden einzelne Steine aus dem Originalverband des Mauerwerks herausgebrochen. In den Kanal mündet eine Tonrohrleitung, die als Frischwasserzuleitung interpretiert werden kann und eine Durchspülung des Kanals gewährleistete. Im Zuge der Umbaumaßnahmen, die mit dem Einbau der Latrine in Verbindung gebracht werden können, wurde der schmale Gang in der Südostecke zugemauert und die Maueroberflächen im Bereich des Kanals wurden mit hydraulischem Mörtel verputzt.

#### III.3.5.2 Kammer 5b

Der 1,90 m lange Gang von Kammer 5a mündet schließlich in Kammer 5b, die beinahe zur Gänze mit Schutt verfüllt ist (Plan 1. 10. 11). Die Orientierung der Kammer wurde anhand von Winkelmessungen bestimmt. Die Abweichung der östlichen Schildwand von Kammer 5a zur westlichen Schildwand in Kammer 5b beträgt 20°. Da die Kämpferhöhe von Kammer 5b nicht freiliegt, ist die exakte Kammerbreite nicht zu bestimmen, beträgt aber in etwa 4 m. Klar zu erkennen ist, dass sich die Kammer konisch in Richtung Orchestra verjüngt. Die nördliche Wand von Kammer 5b liegt nicht im rechten Winkel zur westlichen Schildwand, sondern in einem Winkel von etwa 80°, wodurch sich die konische Grundform ergibt. Das Tonnengewölbe weist ein Gefälle auf, wobei die Neigung aufgrund der hohen Verschüttung nicht exakt bestimmt werden kann.

### III.3.6 KAMMER 6

Kammer 6 liegt in der Nordwestecke des Gebäudes und ist im Unterschied zu den anderen Kammern entlang der Westfassade Nord-Süd orientiert (Plan 1. 13. 14. 18, 1). Die Kammer ist ebenso wie Kammer 1 und 5a gut begehbar und misst 6,20 × 3,80 m. Ihr Gewölbe weist eine geringe Neigung von 4° auf, die jedoch auch auf Setzungen im Zuge des Aushärtungsprozesses zurückgeführt werden konnte.

An der West- und Ostwand der Kammer befinden sich jeweils sechs korrespondierende Rüstlöcher, die ebenso wie in Kammer 1 und 5a auf zwei verschiedenen Höhen angeordnet sind. Die Stichhöhe des Gewölbes beträgt im Norden 2,10 m, im Süden nur 1,64 m, weshalb das Gewölbe

[250] Der keramischen Auswertung zufolge wurde die Latrine Ende des 2./Anfang des 3. Jhs. n. Chr. eingebaut; vgl. Kap. VII.1.3.

gegen Süden abflacht. Der bauzeitliche Zugang zu Kammer 6 ist fast exakt mittig in der nördlichen Schildwand positioniert (Plan 14). Der obere Abschluss des Bruchsteinbogens liegt frei und ist zur Gänze erhalten (Taf. 8, 2). Direkt über diesem setzt der mittelalterliche Durchbruch ein, der stellenweise bis zur Gewölbeschale hinaufreicht, bei einer maximalen Breite von 1,70 m.

### III.3.7 KAMMER 7

Kammer 7 liegt östlich von Kammer 6 und entspricht dieser in Größe und Ausrichtung (Plan 1. 13. 14. 18, 2). Die Kammer hat mit 6,20 m die gleiche Länge wie Kammer 6, bei einer etwas geringeren Breite von 3,40 m. Im Unterschied zu Kammer 6 hat Kammer 7 ein Tonnengewölbe mit Nord-Süd-Gefälle und einer Neigung von 15°. Vergleichbar Kammer 5a verfügt das Gewölbe über eine leicht konkave Deformation, die auf Setzungen während des Aushärtungsprozesses zurückzuführen sind.

In den Langseiten von Kammer 7 finden sich fünf korrespondierende Rüstlöcher, die wie bei Kammer 1, 5a und 6 auf zwei verschiedenen Höhen angeordnet sind (Plan 18, 2).

Der Zugang zu Kammer 7 liegt in der nördlichen Schildwand und ist leicht aus der Mittelachse nach Westen verschoben. An der Nordfassade liegt der Zugang genau mittig zwischen den vorspringenden Pilastern der Blendbögen (Plan 15). Die Position des Zugangs kann exakt bestimmt werden, da einige Bruchsteine des Bogenabschlusses frei liegen (Taf. 8, 3). Der Bogen selbst ist im Scheitelpunkt auf der gesamten Länge eingebrochen. Der darüberliegende mittelalterliche Durchbruch misst etwa 2 × 2 m. Im Bereich oberhalb dieses Ausbruchs bis direkt unter den Gewölbescheitel unterscheiden eine deutliche Baufuge sowie ein rötlicher, ziegelsplitthaltiger Mörtel das Mauerwerk von der bauzeitlichen Konstruktion. Im Bereich direkt unter dem Gewölbescheitel wurden die Bruchsteine in Form eines kleinen Entlastungsbogens mit einem Durchmesser von etwa 1 m gesetzt (Plan 14). Es bleibt unklar, ob diese Reparaturarbeiten im Anschluss an den Durchbruch notwendig geworden waren oder die Schildwand erst zu einem späteren Zeitpunkt gesichert werden musste.

Kammer 7 hat einen weiteren Durchbruch in ihrer östlichen Längswand, der nur 1,75 m hoch und knapp 1 m breit ist. Der schmale Durchgang führt in die benachbarte Kammer 8 (Plan 18, 2).

### III.3.8 KAMMER 8

Kammer 8 entspricht in ihrer Länge (6,20 m) und Orientierung wiederum Kammer 6 und 7 (Plan 1. 13. 14. 19, 1). Die Breite ist mit 3,20 etwas geringer als jene von Kammer 7. Das Gewölbe ist großteils zerstört, nur noch eine schmale Brücke der Tonne ist erhalten (Taf. 9). Südlich davon wurde das Gewölbe durch Feigenbäume zerstört, deren Wurzeln das Gussmauerwerk gesprengt und zum Einsturz gebracht haben. Nördlich der erhaltenen Gewölbebrücke war die Tonne offenbar schon viel früher eingestürzt, zumal kein Versturzmaterial in den rezenten Erdschichten angetroffen wurde.

Vor Beginn der Arbeiten im Jahr 2009 war die Kammer bis unter den Gewölbescheitel mit Erd- und Schuttmaterial verfüllt. Im Zuge der Reinigungsarbeiten an der Nordfassade wurden rezent akkumuliertes Erdmaterial sowie Bewuchs an der Bruchsteinfassade entfernt, um dieselbe sichern zu können. Diese Arbeiten wurden schließlich von der Fassade auf Kammer 8 ausgedehnt, wobei die 1,70 m hohe, eingeschwemmte Schutt- und Erdschicht keine erkennbare Stratifizierung zeigte. Zusätzlich war das Erdmaterial von dem Wurzelwerk eines darüberliegenden Feigenbaums durchsetzt, welches große Teile des Gewölbes durchdrungen und zerstört hatte. Der Wurzelstock, der beinahe die gesamte Kammerbreite einnahm, wurde in einem langwierigen Vorgang freigelegt und zur Gänze entfernt. Nach der Entfernung des tief reichenden Bewuchses und der eingeschwemmten fundleeren Schichten war das Laufniveau innerhalb der Kammer bei etwa 7,60 m abs. H.

Die intakte Westwand der Kammer zeigt sechs Rüstlöcher auf zwei unterschiedlichen Höhen, vergleichbar jenen in den übrigen Kammern (Plan 19, 1). Die großteils zerstörte Ostwand, die nur

noch bis zu einer abs. H von 5,25 m erhalten ist, zeigt nur noch ein entsprechendes Rüstloch, da der Gewölbeansatz zum größten Teil fehlt. Das Gewölbe scheint im Wesentlichen keine Neigung aufgewiesen zu haben.

Der Kammerzugang in der nördlichen Schildwand ist durch Sondage 1/2010 belegt, in welcher derselbe von seinem oberen Abschluss bis zur Schwelle freigelegt wurde (Kap. VI.2; Abb. 14 Taf. 45, 1. 2; Plan 15. 19, 1). Die Scheitelhöhe des Abschlussbogens beträgt insgesamt 3,68 m, die Trittfläche des Schwellsteins liegt bei 3,52 m abs. H und entspricht somit dem ergrabenen bauzeitlichen Bodenniveau in Sondage 5/2010 (Gang zwischen Kammer 5a und 5b: 3,47 m abs. H; Kap. VI.3).

Gegen Ende der Feldarbeiten des Jahres 2009 wurde die südliche Schildwand der Kammer freigelegt, welche auf einer Länge von 1,20 m mit der südlichen Schildwand der benachbarten Kammer 7 fluchtet, dann aber abbricht. Im Jahr 2010 konnte an dieser Stelle schließlich ein Treppenaufgang freigelegt werden, der von dem Zugang zu Kammer 8 (Sondage 1/2010) bis auf den umlaufenden Gang in der Cavea führt (Kap. VI.4, Sondage 3/2010, Taf. 9, 2; 10, 1; Plan 1. 3. 19, 1). Die Treppe nimmt die gesamte Kammerbreite ein, verschmälerte sich aber am südlichen Kammerende durch die 1,20 m breite südliche Schildwand von Kammer 8 (Plan 13). Zwischen Kammer 8 und dem umlaufenden Gang in der Cavea ist die Treppe 2 m breit, wobei die westliche Wangenmauer in diesem Teilbereich nicht mit den Langseiten der Kammer fluchtet, sondern um 6° nach Osten abweicht (Plan 1). Diese Abweichung wurde durch verzogene Austrittsstufen notwendig, die sich an der Krümmung der Cavea orientieren. Von der Treppe hat sich eine einzige Stufe *in situ* erhalten, weshalb auch die Stufenhöhen und -tiefen rekonstruiert werden können (Taf. 10, 1–3): Die Treppenstufe weist eine Höhe von 23–24,5 cm auf und besteht aus drei Marmorblöcken mit unterschiedlichen Längen (80 cm, 56 cm und 70 cm). Die Tritttiefe ist durch die geglättete Oberfläche zu erschließen und beträgt 28–29 cm.

### III.3.9 KAMMER 9

Kammer 9 wurde erst im Zuge der Reinigungsarbeiten an der Nordfassade im Jahr 2009 sichtbar, da der Gewölbescheitel der Kammer um 1,40 m tiefer liegt als jener der benachbarten Kammer 8 und daher vollständig mit Erdreich bedeckt war (Taf. 9, 1). In der folgenden Grabungssaison wurde eine Sondage im vermuteten Bereich von Kammer 9 angelegt (Sondage 4/2010), die im Jahr 2011 erweitert wurde (Sondage 4/2011, Plan 3; Kap. VI.7). Auf einer Fläche von 1 × 0,80 m konnte in Sondage 4/2010–2011 ein markantes Bodenniveau (SE 843, abs. H 3,75–3,80 m) freigelegt werden, das mit den bauzeitlichen Bodenniveaus in den anderen Sondagen annähernd übereinstimmt (Taf. 49, 2)[251].

Das erhaltene Gewölbe von Kammer 9 setzt erst 4 m entfernt von der Innenseite der Nordfassade an und ließ nach der Entfernung des eingeschwemmten Erdmaterials im Zuge der Grabungsarbeiten von Sondage 4/2010–2011 ein Nord-Süd-Gefälle mit einer Neigung von 21° erkennen (Plan 19, 2). Die Ausmaße des überwölbten Kammerbereichs bleiben vorläufig ungewiss, da die südliche Schildwand noch verschüttet ist. Das erhaltene Gewölbe hat einen Abschluss in Form eines Bogens aus gesetzten Bruchsteinen, weshalb der Bereich nördlich davon offenbar nicht von derselben Tonne gedeckt war (Taf. 49, 1; Plan 13). In welcher Form dieses 4 × 3,3 m große Foyer unmittelbar hinter dem großzügigen Zugang an der Nordfassade gedeckt war, bleibt unklar. Vermutlich überwölbte eine quergelagerte, höhere Tonne ohne Neigung diesen Eingangsbereich, der zusätzlich von außen durch das Oberlicht des Bogens mit ausreichend Tageslicht versorgt wurde (s. Nordfassade Kap. III.7.1). Dem Foyer kam somit auch eine Verteilerfunktion in das östlich gelegene Bühnengebäude zu. Ein direkter Zugang zur Orchestra über Kammer 9 ist aufgrund der ergrabenen Befunde in Sondage 1/2011 sowie 2/2011 unwahrscheinlich (Kap. VI.4 und 5; Plan 19, 2).

---

[251] Absolute Höhen der nachgewiesenen bauzeitlichen Bodenniveaus in anderen Sondagen: Sondage 1/2010: Laufniveau Schwelle: 3,52 m abs. H; Sondage 5/2010: bauzeitliches Laufniveau durch Gang zwischen 5a und 5b: 3,47 m abs. H; zum Vergleich: Orchestraboden Sondage 2/2011: 3,22 m abs. H.

Die Zwischenwand zu Kammer 8 bricht nicht auf Höhe des Gewölbeabschlusses ab, sondern läuft bis zur Nordfassade durch, ist jedoch bis auf eine abs. H von 5,25 m ausgerissen (Plan 19, 2). Diese Zwischenwand wurde in Sondage 4/2011 z. T. freigelegt und konnte auf einer Länge von 2 m Richtung Norden nachgewiesen werden (Plan 1).

Der Zugang zu Kammer 9 erfolgt von Norden. Im Unterschied zu den übrigen Zugängen befand sich hier aber ein monumentaler Bogendurchgang an der Nordfassade, dessen Durchmesser beinahe die gesamte Kammerbreite einnahm (Taf. 13, 2; Plan 14. 15). Der Bogenanfänger ist noch erhalten und lässt nach seinem Zuschnitt darauf schließen, dass der Bogen in den Mauerverbund eingebunden war (Kap. V.4.1, **Kat. A 1** Taf. 27). Zwei massive Blöcke unter dem Bogenanfänger wurden zunächst als Kämpferblöcke verstanden. Die Blöcke sind in ihrer Lage etwas gekippt und verschoben, ihre ursprüngliche Position lässt sich aber gut rekonstruieren. Es zeigt sich schließlich, dass den Hauptzugang an der Nordfassade möglicherweise ein horizontaler, frei liegender Architrav (rekonstruierte L 3 m, H 66 cm) mit darüberliegendem, offenem Rundbogen bildete (Details und Vergleiche s. Kap. III.7.1; Kap. IX.1.5.1).

## III.4 CAVEA

Ein horizontaler umlaufender Gang mit einer Breite von 1,25 m teilt den Zuschauerraum in zwei Hälften, von denen die untere als *ima cavea* bezeichnet wird und die höher liegende als *summa cavea* (Plan 1. 2). Der gesamte halbrunde Zuschauerraum ruht auf Gewölbesubstruktionen, die im Bereich der *ima cavea* aus radial angeordneten, konisch angelegten Kammern bestehen, unterhalb der *summa cavea* aber aus rechteckigen Kammern in unterschiedlicher Größe und mit angepassten Gefälleneigungen der Tonnengewölbe.

Die Marmordeckplatten sind im Bereich der *summa cavea* zur Gänze systematisch entfernt, teilweise wurde das *opus caementicium* abgearbeitet, um dieses an spätere Nutzungen anzupassen (Taf. 9, 2). Nur im obersten Bereich sitzen die mittelalterlichen Mauern direkt auf dem Gussmauerwerk auf, weiter östlich bedeckte schon Erdmaterial die Cavea, deren Marmorausstattung in früheren Phasen entfernt worden war (Kap. VI.4, Sondage 3/2010–1/2011)[252].

Im Bereich von Sondage 3/2011 wurden die Abdrücke der Antrittsstufen einer der vermutlich drei Radialtreppen freigelegt, die in einem Winkel von 45° zur Gebäudeachse liegt (Kap. VI.6; Taf. 11, 3). Rekonstruiert man eine korrespondierende Treppe in der nördlichen Gebäudehälfte und geht man weiters von einer Treppe in der Mittelachse aus, wird der gesamte Zuschauerraum von drei radial angeordneten Treppen in vier *cunei* unterteilt (Plan 2). In Sondage 1/2011 konnten Abdrücke einer weiteren Treppe freigelegt werden, die parallel zur Bühne verläuft und die Cavea nach Osten abschließt (Taf. 9, 2; Plan 2. 3). Es erschließt sich eine entsprechende Treppe in der südlichen Gebäudehälfte, weshalb sechs Radialtreppen für die Verteilung der Zuschauer in der Cavea rekonstruiert werden können. Der Anschluss der Sitzstufen an die Radialtreppen wurde mit seitlichen Wangensteinen verkleidet, wovon sich in Sondage 3/2011 deutliche Abdrücke erhalten haben[253].

In der nördlichen Gebäudehälfte wurde in Sondage 3/2010 auf Höhe des umlaufenden Gangs ein Vomitorium freigelegt, das mit dem Bogeneingang von Kammer 8 an der Nordfassade durch eine Treppe verbunden war (Taf. 10, 1; Plan 1. 19, 1). Die Treppe, von der man auf das Diazoma hinaustrat, weist einen der Cavea entsprechend verzogenen Austritt auf, an den auch die südliche Wangenmauer angepasst wurde.

Der Befund legt nahe, dass das Diazoma zur *summa cavea* mit einer hohen Brüstungsmauer begrenzt war (vgl. Kap. IX.1.2). Unterhalb des umlaufenden Gangs, der auf einer abs. H von 7,20–7,30 m liegt, ist der Erhaltungszustand der Sitzstufen sukzessive besser (Taf. 9, 2). Zunächst

[252] Wahrscheinlich im 6. Jh. n. Chr.

[253] Der Aufbau der marmornen Verkleidungsplatten der Radialtreppen entspricht der Konstruktion, die von Gudrun Styhler-Aydın im Großen Theater von Ephesos beschrieben wurde (Styhler 2010, 181–189 Abb. 1); s. auch u. S. 105 mit Anm. 366 und S. 208 mit Anm. 498.

sind die Abdrücke der Marmordeckplatten sichtbar, welche schließlich teilweise sogar *in situ* erhalten sind (ab einer abs. H von 5,82 m). Eine der Deckplatten mit den Maßen 80,5 × 14 cm hat eine intakte vorkragende Hohlkehle, welche mit den erhaltenen Treppenstoßplatten (22 × 8 cm) eine schematische Rekonstruktion der Cavea erlaubt (Taf. 10, 3). Die Höhe der Sitzstufen betrug daher insgesamt 36 cm, die Tiefe bis zur Stoßfläche 70 cm. Eintiefungen für das Abstellen der Füße sind nicht vorhanden. Die Steigung der Vorderkanten der Stufen in der *ima cavea* liegt auf einer Linie, die 30° beträgt. Der Übergang von Diazoma zu *summa cavea* wird durch eine etwa 1,30 m hohe Brüstung geformt, die eine Tiefe von 43 cm aufweist.

Die mittelalterliche Überbauung liegt in Sondage 3/2010 und 3/2011 (Taf. 11) direkt auf dem *opus caementicium* der Substruktionen auf. Weiter östlich war der Gebäudeunterbau zu dieser Zeit bereits mit Erdmaterial bedeckt. Der Abbau der Marmorverkleidung muss dem Fundmaterial nach zu schließen spätestens in der Spätantike begonnen haben und wurde in mehreren Phasen bis in das Mittelalter fortgesetzt (Kap. 4 und 6; Kap. VIII).

## III.5 ORCHESTRA

Die Grabungsbefunde aus Sondage 1/2011, 2/2011 und 3/2011 legen nahe, dass die Orchestra halbkreisförmig angelegt ist (Taf. 9, 2; 11; 48, 1. 2; Plan 2. 3). In Sondage 1/2011 konnten Abdrücke einer Radialtreppe freigelegt werden, deren östlicher Abschluss mit der Bühnenvorderkante fluchtet und deshalb vermutlich die Cavea nach Osten begrenzt (Taf. 9, 2: Plan 1. 2). Die Orchestra selbst wurde im Osten von einer erhöhten Bühne gerahmt (Taf. 23, 1. 2; 48, 1. 2). Im Bereich von Sondage 2/2011 konnte ein 2 × 1,20 m großer Teilbereich der Orchestra freigelegt werden, deren Bodenniveau auf 3,20 m abs. H liegt (Kap. VI.5; Taf. 21). Die exakten Maße der halbkreisförmigen Orchestra sowie die Gestaltung des Übergangs zur Cavea müssen allerdings zum jetzigen Zeitpunkt offenbleiben.

Die Orchestra war mit einem geometrischen *opus sectile*-Paviment ausgelegt, welches ein Raster aus quadratischer Felderrahmung mit eingeschriebenen Kreisen zeigt (Taf. 21; s. Kap. V.1.1; XI.1.3.1). Die Quadratfelder haben eine Seitenlänge von 83 cm und sind durch 18 cm breite Marmorbänder abgesetzt, deren Kreuzungspunkte sich durch grüne Schieferplatten abheben. In den beiden freigelegten Musterfeldern sind den Quadraten jeweils rote und schwarze konzentrische Kreislinien eingeschrieben, die im nördlichen Feld eine eingeschriebene quadratische Platte einfassen, während im südlichen Feld eine kreisförmige Scheibe den Mittelpunkt bildet.

Die dünn geschnittenen *opus sectile*-Plättchen einer Mustertafel wurden in eine Kalkbettung gesetzt. Der Raster der Quadratfelder war schon im Unterbau berücksichtigt und bestand aus strahlenförmig gelegten Steinen innerhalb der Musterfelder. Die Dicke der Mustersteine beträgt 0,5–1 cm. Der marmorne Bodenbelag blieb erhalten, weil er aufgrund einer Brandzerstörung und der nachfolgenden Aufgabe des Gebäudes, die sich in homogenen Erdschichten abzeichnet, nicht mehr sichtbar war, als der systematische Abbau der Bühnendeckplatten vorgenommen wurde. Analogien und Vergleiche zeigen, dass *opus sectile*-Beläge in den Odeia Kleinasiens bereits im 1. Jahrhundert n. Chr. in unterschiedlichster Ausprägung geläufig waren (s. Kap. IX.1.3.2).

## III.6 BÜHNE UND BÜHNENGEBÄUDE

Unmittelbar an die Orchestra schließt gegen Osten die erhöhte Bühne an, die von Sondage 2/2011 teilweise angeschnitten werden konnte (Abb. 19. 20 Taf. 23, 1. 2; 48, 1. 2). An der 80 cm hohen Bühnenfront ist die originale Marmorverkleidung noch teilweise vorhanden und besteht aus einem 14–16 cm hohen Sockel, der in der Farbigkeit den breiten Marmorbändern des *opus sectile* entspricht und durchgehend erhalten ist. Darüber lässt sich durch drei erhaltene Marmorplatten sowie den Abdrücken der entfernten Platten das Muster der Bühnenfront teilweise erschließen (Taf. 23, 1. 2). Es handelt sich dabei um quadratische Felder mit einer Seitenlänge von 30 cm, die durch 9 cm breite, vertikale Marmorbänder abgesetzt waren. Die Quadrate wurden mit etwa 8 cm breiten, diagonal gesetzten Marmorstreifen gefüllt und jeweils spiegelverkehrt zueinander

angeordnet. Darüber verlief wahrscheinlich ein Marmorgesims als horizontaler Abschluss. An zwei Stellen sind die Eisenhalterungen der Verkleidung noch erhalten. Die Bühnenfront weist im freigelegten Bereich keinerlei Nischen oder Rücksprünge auf, wie sie bei vergleichbaren Bauten oft zu finden sind.

Aufgrund der bestehenden Grundstücksgrenze konnte die Bühnenoberseite, die in diesem Bereich nur noch aus *opus caementicium* besteht, lediglich bis zu einer Tiefe von 0,80 m freigelegt werden. Die marmornen Deckplatten des Bodens, die darüber zu rekonstruieren sind, wurden systematisch abgebaut.

Direkt auf der Bühne fand sich ein großformatiger Gebälkblock (**Kat. A 12** Taf. 34), der zu dem weiter im Osten liegenden Bühnengebäude gehört. Der Gebälkblock hat eine Länge von 88 cm bei einer Höhe von 49 cm. Der Block wurde bis zu einer Tiefe von 78,5 cm freigelegt, die Gesamttiefe blieb aber aufgrund seiner Position im Südprofil von Sondage 2/2011 vorläufig unklar. Die starke Profilierung an der Vorderseite weist keine ausgearbeitete Ornamentik auf, allerdings sind die profilierten, teilweise geschrägten Flächen sorgfältig mit dem Flachmeisel bearbeitet.

Ein weiterer Marmorblock und ein Säulenfragment direkt vor der Bühne auf dem Niveau der Bühnenoberkante (4,07 m abs. H) bestätigen die Zugehörigkeit dieser Blöcke zu dem Bühnengebäude. Die Bauteile finden sich in jenen Schichten, die den Einsturz der Skene widerspiegeln und aus Marmorabschlag sowie großen Mengen an Ziegel- und Mörtelschutt bestehen (Kap. VI.5). Da der Gebälkblock (**Kat. A 12**) direkt auf dem *opus caementicium* der Bühne zu liegen kam, muss es vor dem Einsturz des Bühnengebäudes schon eine Beraubungsphase gegeben haben, der die Marmordeckplatten der Bühne zum Opfer gefallen waren. Auch die Marmorblöcke selbst weisen Abarbeitungsspuren auf, die auf einen systematischen Abbau der Marmorausstattung noch vor dem Einsturz des Bühnengebäudes schließen lassen[254].

In den angesprochenen Schuttschichten fanden sich neben Bauteilen auch zwei Fragmente der Skulpturenausstattung der Skene, darunter das Fragment einer Hand (**S 3**, Kap. V.5.1.3) sowie ein überlebensgroßes Ellbogenfragment mit Gewandfalten (**S 1**, Kap. V.5.1.3). Weitere fünf Skulpturenfragmente befanden sich in der Zerstörungsschicht direkt über dem *opus sectile*-Boden der Orchestra[255].

Das Bühnengebäude konnte bei geophysikalischen Untersuchungen, die im Mai 2010 von der Zentralanstalt für Meteorologie und Geodynamik unter der Leitung von Sırrı Seren durchgeführt wurden, nachgewiesen werden (Taf. 12, 1). Die sichtbaren Strukturen lassen darauf schließen, dass die Gesamttiefe von Proskenion und Skene etwa 10 m beanspruchte, wovon die Bühnentiefe ca. 4 m ausmachte. In der Verlängerung von Kammer 1 nach Osten ist im Georadar deutlich ein langrechteckiges anschließendes Gebäude zu erkennen, möglicherweise der Flügel eines Peristyls oder einer Peristylhalle[256].

## III.7 FASSADEN

### III.7.1 NORDFASSADE

Zu Beginn der Arbeiten im Jahr 2009 war die gesamte Nordfassade (Plan 15) mit Erd- und Schuttmaterial bedeckt. Im Zuge der ersten Reinigungskampagne wurde die Fassade schrittweise freigelegt (Taf. 12, 2; 13, 1). Das durch Verfallsprozesse rezent akkumulierte Erdmaterial war stark mit Bruchsteinen durchsetzt, die sich aus dem Verband der Nordfassade gelöst hatten.

Der oberirdisch sichtbare Bereich der Nordfassade umfasst eine Länge von 21,12 m bei einer maximal erhaltenen Gebäudehöhe von 8,15 m, gemessen vom bauzeitlichen Nutzungsniveau,

254 Nach Auswertung des keramischen Fundmaterials ist der Einsturz der Skene etwa in das 6. Jh. n. Chr. zu datieren.
255 s. Kap. VI.5 sowie Kap. V.5.2.3: Katalog **S 2**. **S 4**. **S 5**. **S 6**. **S 7**.
256 Ein Peristylhof in Kombination mit offenen und geschlossenen Theaterbauten ist eine beliebte Variante: Pompeji: Odeion und Theater; Korinth: Odeion; Athen: Odeion des Herodes Atticus; Turin: Theater; Meridà: Theater.

das in Sondage 1/2010 auf einer abs. H von 3,52 m nachgewiesen werden konnte (Kap. VI.2, Schwellen-OK des Zugangs zu Kammer 8, Abb. 14. 15; Taf. 45, 3–4).

Die Nordfassade des Odeions im Artemision hat eine Blendbogengliederung, von der alle Kämpferblöcke *in situ* erhalten sind (Plan 15). Jeweils ein Blendbogen überspannt die dahinterliegende Kammer der Substruktionen (Kammer 6–9) und springt 65 cm aus der Fassadenflucht vor (Taf. 13, 2). Die Gliederung durch Blendbögen ist durch vorhandene Bogenansätze vor Kammer 6 gesichert. Abgesehen von den massiven Kämpferblöcken (Taf. 20, 2. 3) sind die vorspringenden Bogenauflager sowie die Blendflächen innerhalb der Bögen, wie die übrigen Fassadenflächen, mit Mauerwerk aus *opus vittatum* versehen. In jenen Bereichen, in denen die Außenschale verbrochen ist, ist der *opus caementicium*-Kern sichtbar, der lageweise über Schalmauern und Lehrgerüste aufgebracht wurde (Taf. 17, 3; s. Kap. IV.2.2).

Die drei Blendbögen an der Nordfassade weisen zwar aller Wahrscheinlichkeit nach die gleiche Bogenstichhöhe (1,975 m) auf, verfügen aber nachweislich über unterschiedliche Spannweiten (Taf. 13, 2). Von West nach Ost verringern sich die Spannweiten jeweils um 93 cm. Die geringere Spannweite des Bogens vor Kammer 8 steht im Gegensatz zu einem größeren Zugangsbogen zu dieser Kammer. Die Bögen der Zugänge zu Kammer 6 und 7, die durch die Sichtbarkeit derselben im Inneren der Kammern exakt bestimmbar sind, weisen übereinstimmende Stichhöhen (0,71 m) und Spannweiten (1,65 m) auf. Der Zugangsbogen zu Kammer 8 jedoch, deren Osthälfte in Sondage 1/2010 zur Gänze freigelegt werden konnte, hat eine größere Spannweite (2,19 m) und Stichhöhe (1,10 m) (Abb. 14).

An der Nordostecke laufen die Blendbögen an einen keilförmig zugeschnittenen Block eines großzügig dimensionierten Bogenansatzes an, der auf einen betonten Hauptzugang deutet (**Kat. A 1** Taf. 27). Zunächst wurde von der naheliegenden Annahme ausgegangen, dass es sich hierbei um einen offenen Bogendurchgang handelt, der einen der Hauptzugänge zu dem Gebäude darstellt. Der Bogenblock ist samt seinem darunterliegenden Auflager aus seiner ursprünglichen Position gekippt und verrückt, weshalb im Zuge der Rekonstruktion der ursprünglichen Versatzposition eine zweite Variante möglich scheint. Der vermeintliche Kämpferblock könnte ebenso einen waagrechten Sturz in Form eines Architravs gebildet haben, da seine Innenseite eine Bruchfläche aufweist. Vor allem die Rückseiten des Blocks sowie des darunterliegenden Auflagerblocks unterstützen die vermutete Rekonstruktion (Taf. 27, 2). Die Rückseite des Bogenblocks hat eine 29 cm breite, fein gespitzte Fläche an der Schmalseite, welche die Rundung des sichtbaren Bogens auf der Rauminnenseite angibt. Der darunterliegende Block weist allerdings keine korrespondierende Bearbeitung auf, weshalb ein Sturz mit darüberliegendem Bogen wahrscheinlich ist. Gegen diese Annahme spricht, dass die Bearbeitung des vermuteten Sturzes auf gesamter Länge gleich grob ist und der fein gespitzten Fläche des darüberliegenden Blocks entgegensteht.

Die erhaltene Laibungsfläche des Bogenblocks ist fein bearbeitet, weshalb ein offener Bogen über dem angenommenen frei liegenden Architrav wahrscheinlich ist. Durch den darüberliegenden Bogen entlastet, ist die rekonstruierte Spannweite von 3 m[257] mit einem monolithen Architrav gut zu überbrücken; vorstellbar ist aber auch eine Steinschnittausführung in Form eines scheitrechten Bogens (Taf. 13, 2).

An der Nordfassade ist ein horizontaler Abschluss des Untergeschosses durch *in situ* erhaltene Kalksteinblöcke an der Nordwestecke zu erschließen (Taf. 15, 1). Die 35–45 cm starken Kalksteinblöcke befinden sich auf einer abs. H von 10,64 m und bildeten ein horizontales Gurtgesims auf allen drei erhaltenen Fassaden des Gebäudes. Die Kalksteinblöcke sind an der Westfassade z. T. *in situ* erhalten, acht davon fanden sich zusätzlich auch in Versturzlage entlang der Nordfassade (Taf. 25)[258].

[257] Die rekonstruierte Spannweite ergibt sich aus dem Radius des erhaltenen Bogenblocks.

[258] Acht Kalksteinplatten fanden sich an der Nordfassade, Taf. 25 (E-TR 24. E-TR 2. E-TR 26. E-TR 34. E-TR 35. E-TR 36. E-TR 38. E-TR 48).

Hinweise zur Gestaltung des darüberliegenden Stockwerks gibt es keine. Vermutlich lag unterhalb des hölzernen Dachstuhls ein umlaufendes Fensterband, das die Belichtung und Belüftung der Cavea gewährleistete (s. Kap. IX.1.5.1).

### III.7.2 WESTFASSADE

Die Westfassade (Plan 17) war vor Projektbeginn von der Südwestecke bis vor den Durchbruch von Kammer 5a zur Gänze mit Erdmaterial bedeckt (Taf. 14, 1. 2). Im Zuge der Freilegung im Jahr 2010 (Sondage 2/2010) wurde deutlich, dass die Blendbogengliederung der Nordfassade auf der Westfassade keine Fortsetzung fand. Das lagerhafte Bruchsteinmauerwerk *(opus vittatum)*, das den *opus caementicium*-Kern verdeckt, ist so hoch erhalten, dass die Ansätze der Blendbögen bereits zu sehen gewesen sein müssten, sollte es sie gegeben haben (Taf. 17, 1. 2). Nachdem aber an der gesamten Fassade an keiner Stelle Bogenansätze erkennbar sind, kann man sie als Gliederungsmotiv ausschließen. Vielmehr finden sich in regelmäßigen Abständen vertikale Ausrissspuren einbindenden Mauerwerks, das auf eine Anordnung von vorspringenden Pilastern schließen lässt. Die vermutete Disposition konnte in Sondage 1/2009 nachgewiesen werden, in welcher ein intakter Pilaster (B 1 m) auf einer abs. H von 5,44 m zum Vorschein kam, der mit den darüberliegenden vertikalen Ausrissspuren korrespondierte (Taf. 15, 2). Die Westfassade war somit durch sieben, jeweils 1 m breite Pilaster gegliedert, die in mehr oder weniger regelmäßigem Abstand von 4,80–5,10 m um 0,50 m aus der Fassadenflucht vorsprangen (Plan 17).

Hinweis darauf, dass die Pilastergliederung geschossübergreifend angelegt war, gibt einer jener massiven Kalksteinblöcke, der Teil des umlaufenden Gurtgesimses war, welches das ebenerdige Geschoss vom Obergeschoss trennte[259]. Die Kalksteinplatten sind in der nördlichen Fassadenhälfte auf eine Länge von fast 10 m *in situ* erhalten. Eine dieser Platten reicht nicht bis zur vertikalen Fassadenflucht, sondern springt um 55 cm zurück (Taf. 15, 3). Dieser Rücksprung korrespondiert exakt mit darunterliegenden Ausrissspuren eines Pilasters, weshalb davon auszugehen ist, dass die Pilaster auf der Westfassade geschossübergreifend angeordnet waren. Die Gestaltung der Westfassade mit einer starken Vertikalgliederung durch geschossübergreifende Pilaster legt eine Dachrekonstruktion aus Dreiecksbindern nahe, wobei die Dreiecksverbände die Cavea im rechten Winkel zur Bühnenfront überquerten. Die Anordnung der Pilaster, die als verstärkte Auflager der Dreiecksverbände die Dachlast in den Grund ableitete, hatte somit eine wesentliche statische Funktion (Kap. IX.1.6).

Insgesamt wurden 13 Kalksteinblöcke im Bereich von Sondage 2/2010 entlang der Westfassade sichergestellt, die das Untergeschoss von dem darüberliegenden, wahrscheinlich durchfensterten Obergeschoss horizontal trennten (Taf. 25. 33)[260]. Da die ansichtige Fläche der Blöcke nicht wesentlich aus der Fassadenflucht vorspringt, wurde dieses Gliederungselement als umlaufendes Gurtgesims bezeichnet. Nur zwei der zugehörigen Blöcke weisen Wolfslöcher auf, wohl wegen ihrer größeren Dimensionierung als die übrigen Platten (Taf. 20, 1; E-TR 33. E-TR 55)[261]. Die Versturzlage dieser beiden Blöcke im Bereich vor Kammer 3 und 4 spricht gegen eine Interpretation als Eckblöcke.

Bauzeitliche Zugänge sind in der Westfassade zu den dahinterliegenden Kammern 2, 4 und 5a nachweisbar (Plan 17. 18, 1). Kammer 6 wurde von Norden erschlossen, weshalb das nördlichste Feld zwischen den rahmenden Pilastern keine Öffnung aufwies. Symmetrisch dazu hatte auch Kammer 1 keinen Zugang in ihrer westlichen Schildwand und wird wohl ebenso von Süden oder Osten erschlossen worden sein.

---

[259] Noch wurde kein eindeutiger Hinweis dafür gefunden, dass das *opus vittatum*-Mauerwerk verputzt war, wovon aber ausgegangen werden kann. Eine flächig verputzte Fassade hebt auch das umlaufende Gurtband optisch hervor.

[260] E-TR 17. E-TR 18. E-TR 29. E-TR 30. E-TR 31. E-TR 32. E-TR 33. E-TR 41. E-TR 42. E-TR 43. E-TR 46. E-TR 52. E-TR 55.

[261] E-TR 33: 156 × 130 × 31 cm; E-TR 55: 122 × 85 × 39 cm.

Drei der vier Zugänge zu den Kammern sind in ihrer Position und ihren Maßen aufgrund ihrer teilweisen Freilegung exakt zu lokalisieren. Der rundbogenförmige Abschluss des Zugangs von Kammer 2 ist an der Westfassade deutlich zu erkennen und zur Gänze unbeschädigt erhalten. Ebenfalls bereits an der Westfassade sichtbar ist der Abschlussbogen zu Kammer 4, der allerdings stärkere Deformierungen aufweist. Der Bogenansatz des Zugangs zu Kammer 5a ist auf der westlichen Schildwand im Kammerinneren zu erkennen. Analog den nachweisbaren Zugangslösungen kann für Kammer 3 eine ebensolche erschlossen werden. Die abschließenden Rundbögen der Zugangsöffnungen entsprechen einander auf der Westfassade und haben eine Spannweite von 1,66–1,74 m bei einer Stichhöhe von 3,14–3,30 m. Alle Öffnungen liegen mittig in den Fassadenfeldern, die von den Pilastern gerahmt werden.

An der Westfassade sind im Fall von Kammer 2 und 4 auch Fensteröffnungen über den Zugängen belegbar, die daher auch für die anderen beiden Kammern, deren Zugänge an der Westseite liegen, rekonstruiert werden können. In beiden Fällen sind der Fenstersturz sowie die gesamte Laibung erhalten, nur die Sohlbank wurde in der mittelalterlichen Nutzungsphase jeweils durchbrochen und nach unten vergrößert. Die vergrößerte Fensteröffnung von Kammer 4 (H 1,53 m) wurde nun als schmaler Zugang zu dem bereits verschütteten Innenraum genutzt, welcher auf erhöhtem Niveau erneut Verwendung fand. Für die vergrößerte Fensteröffnung von Kammer 2 ist die Nutzung als Zugang unwahrscheinlich, da die Gesamthöhe mit nur 1,17 m zu gering scheint, um dauerhaft als Zugang genutzt worden zu sein (Taf. 18). An der Westfassade liegen die erhaltenen Fensterstürze augenscheinlich nicht auf gleicher Höhe – möglicherweise wurden diese Unterschiede durch marmorne Fensterlaibungen ausgeglichen (Plan 17; besonders Kammer 2 und 4). Für die Kammern 3 und 5 kann man von korrespondierenden Licht- und Luftöffnungen über den Zugängen ausgehen, wobei ihre Position durch die mittelalterlichen Durchbrüche verunklärt und nicht mehr exakt zu bestimmen ist.

Die Fassade zeigt an mehreren Stellen Ausbesserungen und Reparaturen, die nach dem Ausriss der Pilaster und den vergrößerten Durchbrüchen im Bereich der Fensteröffnungen vorgenommen wurden. Es handelt sich dabei offenbar um Sicherungsmaßnahmen, die nach der Beschädigung des Mauerwerks punktuell notwendig geworden waren und daher im Zusammenhang mit der mittelalterlichen Nachnutzung des Gebäudes gesehen werden müssen (Plan 17, 1). Die Ausbesserungen aus Bruchstein und Ziegel finden sich in den Ausrissen der beiden Pilaster zwischen Kammer 2 und 4. Der Durchbruch im Fensterbereich von Kammer 3 wurde durch Aufmauerung einer Türlaibung gesichert (Taf. 16, 1. 2). Abgesehen von diesen Sicherungsarbeiten zeigt die Westfassade an zwei Stellen Reparaturen im Bereich von Pfeilerausrissen, deren Unterkanten miteinander korrespondieren (Pfeilerausriss zwischen Kammer 2 und 3 sowie zwischen 3 und 4). Alle Ausbesserungsarbeiten sind in die mittelalterliche Nachnutzungsperiode zu datieren und heben sich durch die Verwendung gebrannter Ziegel deutlich von der bauzeitlichen Bautechnik ab.

### III.7.3 SÜDFASSADE

Der oberirdisch sichtbare Bereich der Südfassade (Plan 16) umfasst eine Länge von 24,18 m bei einer maximalen Höhe von 5,17 m (Taf. 16, 3. 4). Geht man von einem bauzeitlichen Nutzungsniveau von 3,52 m aus, das in Sondage 1/2010 an der Nordfassade nachgewiesen wurde, ergibt sich eine erhaltene Gebäudehöhe von insgesamt 8,40 m.

Die Südfassade war zu Arbeitsbeginn im Jahr 2009 im Gegensatz zu der Nord- und Westfassade bereits zur Gänze zu sehen und nicht von Erdmaterial bedeckt. Dieses war offenbar schon früher systematisch entfernt worden, um die Plantagenfläche, die das Gebäude derzeit umgibt, größtmöglich auszudehnen. Die gepflanzten Bäume reichen hier bis auf einen Abstand von 5,40 m an das Gebäude heran. Im Zuge der Anlage der Plantage wurden wahrscheinlich auch die Kalksteinblöcke, die den horizontalen Abschluss des Untergeschosses bildeten, entfernt oder verschleppt. Im Gegensatz zu der Nord- und Westfassade fand sich kein einziger dieser Blöcke mehr vor der Südfassade (Taf. 25). Die Möglichkeit einer vollkommen anderen Gestaltung der

Südfassade ohne umlaufendes Gurtband ist unwahrscheinlich, darf jedoch nicht gänzlich außer Acht gelassen werden. Geophysikalische Untersuchungen im Jahr 2010 zeigten, dass es im Bereich vor der Südfassade bereits 1 m unter heutigem Laufniveau bis in Fundamenttiefe Gebäudevorsprünge von maximal 2,60 m gibt, die möglicherweise als gestufter Unterbau zu interpretieren sind (Taf. 12, 1)[262]. Zieht man die statisch ungünstige Anordnung der Substruktionskammern im Süden in Betracht, wäre eine bauliche Stabilisierung, die den Schub der West-Ost orientierten Kammern nach Süden ableitet, eine äußerst sinnvolle Maßnahme. Folgt man dieser Überlegung, ist auch eine Fassadengestaltung im unteren, heute nicht sichtbaren Bereich denkbar, die sich von der Nord- und Westfassade wesentlich unterscheidet. Ob es sich um eine ursprünglich geplante Anordnung oder durch spätere Bauschäden nachträglich notwendig gewordene Stützkonstruktion handelt, kann zum jetzigen Zeitpunkt nicht bestimmt werden.

Die Südfassade weist in ihrem heute sichtbaren Bereich ebenso wie die Westfassade keine Blendbogengliederung auf. Das lagerhafte Bruchsteinmauerwerk *(opus vittatum)*, das den *opus caementicium*-Kern verdeckt, ist zwar nicht in gleicher Höhe wie an der Westfassade erhalten, aber hoch genug, um ausgeführte Ansätze der Blendbögen ersichtlich zu machen, wenn es diese gegeben hätte. An der Südfassade sind daher, vergleichbar der Westfassade, in regelmäßigen Abständen vorspringende Pilaster zu rekonstruieren. Die Pilaster sind hier ebenso zur Gänze ausgerissen und zeichnen sich nur als Negativ im Mauerwerk ab. Die Abstände zwischen den vorspringenden Pilastern nehmen Richtung Osten mehr oder weniger sukzessive ab, korrespondieren aber nicht mit den Auflagern der Blendbögen an der Nordfassade (Plan 1. 2)[263].

In den zwei äußersten Feldern befand sich mit Sicherheit kein Zugang, da in diesen Feldern die äußere Mauerschale so hoch erhalten ist, dass die Abschlussbögen der Zugänge zu erkennen sein müssten. Unklar bleibt, ob die Südfassade einen oder mehrere Zugänge zu der dahinterliegenden Kammer hatte. In jenen Bereichen, in denen die ansichtige äußere Mauerschale erhalten ist, zeigen sich keine rundbogigen Abschlüsse wie auf der Westfassade. Größtenteils sind jedoch eventuell vorhandene Zugänge an der Südfassade aufgrund der mittelalterlichen Durchbrüche zwischen den Pilastern auf rezentem Laufniveau nicht auszumachen. Um zu klären, ob sich an der Südfassade Zugänge zu Kammer 1 befanden, könnten punktuell wohl Sondagen angelegt werden, wovon aufgrund der statisch bedenklichen Situation vorerst aber abgesehen werden musste. Einen weiteren Hinweis auf einen Zugang im Bereich der Südfassade liefert das östliche Mauerhaupt der südlichen Außenmauer, das an der Südfassade eine abschließende Mauervorlage hat (Taf. 16, 3; Plan 1). Die östliche Schmalseite der Außenmauer ist abgeschrägt und zeigt ein 30 cm breites Auflager. Hier könnte ein Zugang rekonstruiert werden, der ehemals direkt auf die Bühne und in das anschließende Bühnengebäude führte. Die exakte Gestaltung der Südostecke muss jedoch vorläufig weiterhin offenbleiben.

Der schlechte Erhaltungszustand der Südfassade ist einerseits durch die vier mittelalterlichen Durchbrüche bedingt, welche größere Durchmesser als jene an Nord- und Westfassade aufweisen. Andererseits waren an der Südfassade offenbar schon während der Bauzeit Schäden aufgetreten, da der ungünstige Kräfteverlauf der parallel angeordneten, benachbarten Gewölbe die Schubkraft gebündelt auf die Südfassade leitete, wodurch diese nach außen gedrückt wurde. Darüber hinaus war die Südfassade nicht von Erdmaterial bedeckt, weshalb Verwitterungsschäden weiter fortgeschritten sind als an den beiden anderen Fassaden (s. Kap. X.2; Taf. 104. 105).

*Lilli Zabrana*

[262] Es kann nicht mit eindeutiger Sicherheit festgestellt werden, ob die Vorsprünge tatsächlich zum Gebäude selbst gehören oder erst später an das Gebäude angesetzt wurden.

[263] Die Abstände betragen von West nach Ost: 3,60 m; 3,40 m; 3,50 m; 2,88 m; 3,22 m.

# IV MATERIAL UND TECHNIK

## IV.1 MATERIALIEN

### IV.1.1 *OPUS CAEMENTICIUM*

Der gesamte Gebäudekern mit seinen tief reichenden Fundamenten besteht aus massivem *opus caementicium*, das seine Form durch eine Mauerschale aus lagerecht gesetzten Bruchsteinen erhielt.

Die Zusammensetzung des Mörtelanteils im *opus caementicium* entspricht in etwa jener des Setzmörtels (Kalk : Sand 40 : 60 %), wobei die Korngrößen variieren (Taf. 19, 1–4). Als Grobzuschlag wurden Bruchsteine mit Durchmessern von 10–60 cm verwendet. Grabungen in den Fundamentbereichen zeigen, dass die Fundamente an den Gebäudeaußenseiten in anstehendes Material angesetzt, hingegen im Gebäudeinneren durch das Aufbringen massiver Stein- und Erdschüttungen verstärkt und hinterfüllt wurden. Die Ergebnisse der Grabungsarbeiten sprechen weiters für das Ausheben einer flächigen Baugrube, wobei sich darüber hinaus ein partieller Bodenaustausch nachweisen lässt, der die Standsicherheit des Gebäudes erhöhen sollte (Kap. III.2).

Die Fundamente sowie das aufgehende Mauerwerk waren zuerst mit Außenschalen aus lagerechtem Bruchsteinmauerwerk aufgezogen worden, wonach der entstehende Zwischenraum schließlich mit *opus caementicium* lageweise verfüllt wurde. Auf jede angetrocknete Lage wurden zunächst Bruchsteine mit unterschiedlichen Durchmessern aufgelegt, bevor die nächste Mörtellage die Bruchsteine ummantelte[264]. Um die Standfestigkeit der Konstruktion zu erhöhen, wurden die Außenschalen der Mauern jeweils in horizontalen Abschnitten gesetzt und hinterfüllt. Sobald dieser Abschnitt genügend ausgehärtet war, konnte weiter erhöht werden[265]. Diesen Bauvorgang kann man deutlich an den Schichten des Gussmauerwerks an der Nord-, West und Südfassade ablesen (Taf. 17, 3; 18). Die Außenschalen fungieren somit als Schalgerüst und erlauben ein schnelles und effizientes Aufbringen des Gussmauerwerks[266]. Zusätzlich musste die Schalung nach Aushärten des *opus caementicium* nicht entfernt werden, womit die moderne Bezeichnung einer ›verlorenen Schalung‹ zutreffend ist[267].

Die Außenmauern im Substruktionsbereich weisen eine große Mauerbreite auf, welche die Last der Dachkonstruktion aufnehmen musste (Plan 1. 22). Die südliche und westliche Außenmauer verfügen über Mauerstärken von 2–2,10 m, im nördlichsten Abschnitt der westlichen Außenmauer (im Bereich von Kammer 6) beträgt die Mauerbreite schließlich sogar 2,80 m. Die nördliche Außenmauer hat eine Mauerstärke von 1,35–1,50 m. Die Breite der Innenmauern beträgt durchschnittlich etwa 1,35 m. Die Dachlast der Dreiecksbinder, die das Gebäude in Ost-West-Richtung überspannten, wurde auf das Bühnengebäude und die westliche Außenmauer abgeleitet, wodurch sich die Mauerstärke und die Mauervorlagen in diesem Bereich erklären lassen

---

264 Wright 2005, 184. 200. Wright bemerkt ebenso, dass der Grobzuschlag bei der Herstellung von *opus caementicium* separat aufgebracht wurde; zur lageweisen Aufbringung des *opus caementicium* s. auch Adam 1994, 76–79; Lamprecht 1993, 86; Rakob 1983, 365.

265 Wright 200–201. Wright beschreibt konvexe Verformungen der Schalungsmauern bei zu schnellem Aufziehen der hinterfüllten Konstruktion.

266 Lamprecht 1991, 137 verweist darauf, dass in diesem Fall der tragende Teil der Mauerkern ist, während die Schale nur stützende Funktion hat und deshalb im Englischen treffend »facing« genannt wird.

267 Wright 2005, 187. »The purpose of the stone or brick facing was to establish and confine the volume of the walling so the core of aggregate and mortar could be placed very quickly and efficiently – and also be confined and retained in position while the material was setting into a solid mass. In a word, the facing of Roman Concrete walls acted as ›lost shuttering‹.«; s. auch Adam 1994, 76; Lindley 1976, 73.

(Taf. 98, 2; Kap. IX.1.6). An der südlichen Außenmauer fand die starke Mauerbreite ebenfalls Verwendung, um den statischen Problemen, die bereits im Zuge der Errichtung von Kammer 1 deutlich wurden, entgegenzuwirken.

Nachdem die vertikalen Mauerabschnitte fertiggestellt waren, wurden die hölzernen Lehrgerüste der unterschiedlich stark geneigten Tonnengewölbe eingestellt. Abdrücke der Schalungsbretter der Lehren haben sich am deutlichsten in Kammer 5a und 6 erhalten. Während das Lehrgerüst die Last des noch zähflüssigen Gussmauerwerks aufnahm, hatten die hölzernen Schalungsbretter auf den Lehren noch weitere Funktionen: Die Holzbretter nahmen zunächst die Feuchtigkeit des aufgetragenen Materials auf und verhinderten eine zu schnelle Verdunstung und Abtrocknung der Oberfläche, wodurch beim Aushärtungsprozess die Rissbildung minimiert werden konnte[268].

### IV.1.2 SETZ- UND FUGENMÖRTEL

Setzmörtel fand beim Aufmauern der Mauerschalen Verwendung und weist von seiner Zusammensetzung vergleichbare Bestandteile wie der Mörtelanteil des *opus caementicium* auf. Dünnschliffanalysen[269] zeigen in allen Proben eine übereinstimmende Zusammensetzung (Taf. 19, 1–4). Das Verhältnis Kalk zu Sand beträgt etwa 40 : 60 %. Der Sand zeigt lokaltypische Verunreinigungen wie Feldspat und Glimmerschiefer sowie vereinzelt Ziegelschrot. Die Korngrößen des zugeschlagenen Sandes variieren stark bei einem Durchmesser von 1–20 mm. Der Setzmörtel ist sorgfältig angemischt und weist nur vereinzelt Kalkspatzen auf. Hinweise auf organische Magerungszusätze sind in den analysierten Proben nicht nachzuweisen. Als Zuschlagsstoffe ausgesprochen selten sind Ziegelsplitt oder Keramikfragmente zu finden, die im Einzelfall eher eine Verunreinigung des angemischten Mörtels zu sein scheinen als eine systematische Magerung.

Der Fugenmörtel der Fassade ist größtenteils abgewittert und nur in geringen Resten erhalten. Dünnschliffproben für die Bestimmung der Zusammensetzung kommen aus Bereichen, die erst im Zuge von Grabungsarbeiten wieder freigelegt wurden und somit vor rezenter Verwitterung geschützt waren. Die Zusammensetzung des Fugenmörtels ist nach den Analysen jenem des Setzmörtels sehr ähnlich. Es scheint jedoch, dass das Mischungsverhältnis von Kalk zu Sand hier ausgewogener ist und beinahe 50 : 50 % beträgt. Die Korngrößen des zugeschlagenen Sandes sind wie beim Setzmörtel inhomogen.

Ein Fugenstrich, der sich vor allem in Bereichen erhalten hat, die später nicht überputzt wurden (z. B. Fundamentbereich Sondage 4/2010–4/2011, Kap. VI.7), ist nur punktuell erhalten.

### IV.1.3 FASSADEN- UND WANDVERPUTZ

An allen Fassaden des Gebäudes gibt es Fein- und Grobputzreste, die sich aber in keinem Fall zweifelsfrei der Errichtungszeit zuordnen lassen. Trotz der scheinbar dekorativen Wirkung der Fassaden aus regelhaftem Bruchsteinmauerwerk muss man davon ausgehen, dass die Fassaden des Odeions verputzt waren, wie es auch bei anderen Gebäuden mit vergleichbarer Mauertechnik nachgewiesen werden konnte[270]. Für eine Marmorverkleidung gibt es an den Fassaden keinerlei Hinweise.

Im Inneren der Kammern konnte bislang kein eindeutiger Anhaltspunkt für einen erhaltenen bauzeitlichen Wandverputz gesichert werden. Im Bereich von Sondage 5/2010 in Kammer 5a, die einen späteren Latrineneinbau zutage brachte, wurde das Mauerwerk im Bereich des umlaufenden Kanals mit einem hydraulischen Ziegelputz aus Ziegelschrot und -mehl an den Wänden

---

[268] Lancaster 2009, 27.

[269] Durchführung und Analyse: 2011 von Roman Sauer, Institut für Archäometrie, Universität für angewandte Kunst Wien; 2013 von Lisa Peloschek (ehem. ÖAI).

[270] Wright 2005, 206.

versehen (Kap. IV.1.3; Taf. 47; Plan 11. 12. 18, 2)[271]. In der Gewölbetonne derselben Kammer fanden sich Putzreste, deren Dünnschliffanalyse einen grob sortierten Unterputz mit einem darüberliegenden Feinputz aus Kalkmörtel mit Marmorsand zeigen (Taf. 19, 6; P2/2009). Einen vergleichbaren Aufbau und ähnliche Zusammensetzung weisen Wandputzproben auf, die eindeutig im Zusammenhang mit den mittelalterlichen Umbauphasen stehen und an den Außenfassaden angebracht waren (Taf. 19, 5; P4/2009).

### IV.1.4 ZIEGEL

Am gesamten bauzeitlichen Mauerwerk ist kein Ziegel sichtbar verbaut. Mörtelanalysen ergaben, dass selbst die übliche Beimengung von Keramik- oder Ziegelfragmenten offenbar nicht systematisch erfolgte, sondern aufgrund des seltenen Auftretens vielmehr mit Verunreinigungen beim Herstellungsprozess in Zusammenhang gebracht werden kann.

Die Bauhorizonte, die in zwei Sondagen (1/2010. 5/2010, Kap. VI.2 und 3) nachgewiesen werden konnten, bestehen jedoch zu einem großen Teil aus Ziegelschrot, der im Zuge der Errichtung offenbar doch Verwendung fand. Ob die Eindeckung der Dachkonstruktion mit gebrannten Ziegeln erfolgte, muss derzeit offenbleiben. Der Zerstörungsschutt, der direkt auf dem *opus sectile*-Paviment der Orchestra zu liegen kam (SE 1040), besteht allerdings vorwiegend aus Dachziegelfragmenten, die mit einem ziegelgedeckten Dach in Verbindung gebracht werden können (s. Kap. VI.5). Aufgrund des kleinteiligen Erhaltungszustands der Dachziegelfragmente können jedoch keine Aussagen über die Größe und Gestalt einzelner Ziegel getroffen werden[272]. Infolge der überraschenden Einstellung aller Feldarbeiten im Jahr 2012 konnte die geplante Erweiterung der Sondage in der Orchestra nicht vorgenommen werden, weshalb die Dokumentation aussagekräftiger Dachziegelfragmente vorläufig ein Desiderat bleibt.

### IV.1.5 BAUMETALLE

Am Gebäude selbst sind nur geringe Reste der tatsächlich im Zuge des Errichtungsvorgangs eingesetzten Baumetalle erhalten. Eisennägel und Bleiverguss bilden zwar eine häufige Fundgattung, allerdings stammen diese in den meisten Fällen aus umgelagerten Schichten, sodass in der Regel nicht festzustellen ist, ob diese dem ursprünglichen Bauvorgang zuzuordnen sind.

Die Eisenstifte der Marmorverkleidung an der Bühnenfront sind die einzigen Baumetalle, die im ursprünglichen Befundkontext dokumentiert werden konnten (Taf. 23, 1). Aufgrund der bereits erfolgten Beschädigung der Eisenstifte durch den systematischen Abbau der Marmorplatten sowie der starken Korrosion der Haken sind diese nur in Teilen erhalten. Am Bau des flavischen Hafengymnasiums waren es im Gegensatz zum Odeion im Artemision sogar Bronzestifte, die die polychromen Marmorwandplatten des sog. Marmorsaals auf einer Stuckunterlage festhielten[273].

---

[271] Der Einbau der Latrine kann anhand des Fundmaterials an das Ende des 2./Anfang des 3. Jhs. n. Chr. gesetzt werden. Die geplante Probenentnahme und Dünnschliffanalyse des hydraulischen Putzes konnte aufgrund der überraschenden Einstellung aller Feldarbeiten im Jahr 2012 nicht mehr durchgeführt werden.

[272] Die kleinteilige Erhaltung der Dachziegelfragmente im ergrabenen Bereich könnte mit der nachgewiesenen Beraubung der Marmorausstattung in Zusammenhang gebracht werden. Für einen systematischen Abbau der Marmorausstattung musste zunächst der massive Ziegelversturz des Daches geräumt werden, welcher sicher ebenso recycelt wurde (etwa für die Herstellung von Ziegelsplitt und Ziegelmehl als Mörtelzuschlag).

[273] Benndorf 1898, 64–65.

## IV.2 BAUTECHNIK

### IV.2.1 FUNDAMENTIERUNG

Die freigelegten Fundamentbereiche zeigen, dass die Fundamente an den Gebäudeaußenseiten in anstehendes Material gesetzt wurden. Im Gebäudeinneren hingegen wurde eine flächige Baugrube ausgehoben, in der die Fundamente schließlich durch die Einbringung massiver Stein- und Erdschüttungen verstärkt und hinterfüllt wurden (s. Kap. III.2). Zweifellos wurde die Gründung des Gebäudes wegen des schlechten Baugrunds mit größtmöglicher Sorgfalt durchgeführt. Obwohl die Meeresbucht, an der das Heiligtum ursprünglich gegründet worden war, in der Errichtungszeit des Odeions schon lange verlandet war, spielte die Vorbereitung seiner Fundamentierung auf dem Untergrund aus alluvialen Sedimenten wie auch die Überflutungsgefährdung durch die nahen Flussläufe des Selinus und Marnas[274] eine wichtige Rolle.

### IV.2.2 MAUERTECHNIK

Wie bereits mehrfach beschrieben, bestehen die vertikalen Mauerkonstruktionen aus einem *opus caementicium*-Kern (s. auch Kap. IV.1.1) mit einer Schalungsmauer aus lagerechtem Bruchsteinmauerwerk, das auch als *opus vittatum*[275] bezeichnet werden kann. Diese Mauertechnik ist im römischen Ephesos wie in ganz Kleinasien häufig nachweisbar und mehrfach an gut datierten Bauten zu belegen[276]. Im 1. Jahrhundert n. Chr. haben in Ephesos beispielsweise die Substruktionen des Domitianstempels[277] sowie das aufgehende Mauerwerk des Hafengymnasiums vergleichbare Mauerkonstruktionen, wenn auch in beiden Fällen die Lagen gleichmäßiger scheinen und die Mauersteine langrechteckiger sind, wie es ein Jahrhundert später bei großen öffentlichen Gebäuden wie dem Vediusgymnasium noch deutlicher zu sehen ist.

Allen vergleichbaren Mauerverbänden ist gemein, dass ein wesentlicher Nachteil aller Verkleidungstechniken des *opus caementicium* im Fehlen von Binderelementen besteht, wie schon Vitruv bemerkt[278]. Im Fall des Odeions im Artemision ist diese Problematik vor allem an der Westfassade deutlich zu erkennen, deren *opus vittatum*-Schale sich von der *opus caementicium*-Hinterfüllung gelöst hat und eine konvexe Wölbung nach außen zeigt (Taf. 18).

Die Zugangsöffnungen zu den Substruktionskammern sind mit einem Abschluss aus Bruchsteinen in Form eines Rundbogens versehen. Die Bruchsteinbögen liegen auf großformatigen Auflagerblöcken, die im Kontrast zur kleinteiligen Fassade stehen, durch den anzunehmenden Verputz jedoch wahrscheinlich nicht zu sehen waren. Groß dimensionierte Blöcke wurden daneben auch als Kämpferblöcke für die Blendbögen an der Nordfassade (Taf. 20, 2–5) für die Verstärkung der nordwestlichen und südwestlichen Außenecken des Gebäudes (Taf. 15, 1; Plan 15) sowie für das umlaufende Gurtgesims der Fassaden (s. Kap. II.7.2; Kap. V.4.1; Taf. 14, 3; 15, 1) verwendet.

### IV.2.3 GEWÖLBETECHNIK

Nachdem die vertikalen Kammermauern aufgemauert und hinterfüllt worden waren, mussten verschalte Lehrgerüste für die unterschiedlich geneigten Tonnen errichtet werden. Die Kammern haben alle gegenständige Rüstlöcher, welche etwas oberhalb der Kämpferlinie sitzen. Somit wurden die Lehrgerüste in einen bereits frei errichteten Gewölbeansatz gesetzt. Die Schildwände weisen

---

274 Brückner u. a. 2008, 25. 30. Aktualisierte Ergebnisse in Kerschner 2015, 199–201.

275 Vgl. Adam 1994, 267–277.

276 Lindley, 1976, 127. 170. In der Literatur wird diese Mauertechnik auch »petit appareil« genannt, ein Terminus für die charakteristische Bautechnik Galliens, die auch für die anderen Provinzen Anwendung fand.

277 s. auch Waelkens 1987, 96.

278 Rakob 1983, 368; Vitr. 2, 8,7.

keine Rüstlöcher für die Aufnahme eines Rüstbalkens als Auflager der Viertelkreislehren auf, weshalb von einer Schalung aus Halbkreislehren auszugehen ist. Abdrücke der Schalungsbretter sind am deutlichsten in den Kammern 5a und 6 zu erkennen.

Kammer 1 weist eine Besonderheit hinsichtlich der technischen Ausführung des Gewölbes auf: Hier waren unbearbeitete Bruchsteine radial auf den Schalungsbrettern angeordnet, bevor das *opus caementicium*-Gemisch aufgebracht wurde (Taf. 8, 1)[279]. In den übrigen Kammern gibt es keine innere Gewölbeschale aus Bruchsteinen, die *opus caementicium*-Masse formt die Tonne des Gewölbes (Taf. 8, 3).

### IV.2.4 DÜBEL-, STEMM- UND KLAMMERLÖCHER

Marmorblöcke in ihrer ursprünglichen Versatzposition konnten vor allem im Bereich der Cavea in Form marmorner Sitzstufen freigelegt werden (Taf. 9, 2; 10, 4. 5). Die ansichtigen Oberflächen sind fein geglättet, jene Bereiche, die von einem darüberliegenden Block verdeckt waren, grob gespitzt. In der grob gespitzten Fläche finden sich auch einige Stemmlöcher, die allesamt sehr flach (1–2 cm) sind, bei einer Breite von 7–9 cm.

Stemmlöcher, die auf ein Stemmeisen mit ähnlichen Maßen hinweisen, finden sich am Gebälkblock, der vermutlich zu dem Bühnengebäude gehört und in Versturzlage auf der Bühne aufgedeckt wurde (**Kat. A 12** Taf. 34). Der Block weist neben zwei Stemmlöchern auch ein Klammer- und ein Wolfsloch auf. Die Vertiefung (2 cm) für einen der Klammerfortsätze liegt 8,5 cm von der Stoßfläche des Blocks entfernt, weshalb auf eine Klammergesamtlänge von 17 cm bei einer Breite von 5 cm geschlossen werden kann.

Es gibt nur einen Eisendübel *in situ*, der mitsamt dem zugehörigen Bleiverguss erhalten geblieben ist. Dieser findet sich auf der Oberseite des Blocks **A 42** (80 × 80 × 49 cm), welcher umgelagert in Sondage 4/2010–11 freigelegt wurde, wahrscheinlich aber dem Gebäude zugeordnet werden kann (**Kat. A 42** Taf. 41, 6. 7). Dieser Block zeigt ebenfalls ein Klammerloch, das 8,5 cm von der Stoßfläche des Blocks sitzt und darauf schließen lässt, dass Eisenklammern mit einer Länge von 17 cm Standard am gesamten Gebäude waren.

### IV.2.5 HEBEVORRICHTUNGEN

Als Hebevorrichtung großformatiger Blöcke ist der Wolf durch seinen Negativabdruck in Form von Wolfslöchern am Gebäude nachweisbar (Taf. 20). Drei Blöcke mit Wolfslöchern an ihren Auflagern sind in ihrer ursprünglichen Position erhalten geblieben: der Bogenblock an der Nordfassade sowie die beiden Kämpferblöcke der Blendbögen zwischen den Kammern 6, 7 und 8. Weitere Wolfslöcher finden sich an zwei Kalksteinblöcken des umlaufenden Gurtgesimses, welches das Untergeschoss horizontal abschloss (**Kat. A 11** Taf. 33)[280]. Beide Blöcke wurden vor Kammer 3 auf den mittelalterlichen Schichten gefunden (Taf. 25). Aus den Grabungsbefunden ist weiters jener Gebälkblock mit Wolfsloch zu erwähnen (**Kat. A 12** Taf. 34), von dessen Zugehörigkeit zu dem Bühnengebäude ausgegangen werden kann.

Der Marmorblock mit **Kat. A 42** (Taf. 41, 6. 7), der ebenso ein Wolfsloch aufweist, wurde als umgelagerter Block in Sondage 4/2011 gefunden und lag in Schichten, die in spätantik/byzantinische Zeit datieren (SE 828. 831. 848). Der Block war aber mit großer Wahrscheinlichkeit am Odeion selbst verbaut.

Die dokumentierten Wolfslöcher sind in ihrer Form allesamt ähnlich (Taf. 20, 1). Die beiden Längsseiten sind nur leicht ausgestellt (etwa 1 cm), mit einem U-förmig ausgeführten Quer-

[279] Lindley 1976, 74 erwähnt, dass die radiale Anordnung von Bruchsteinen über dem Lehrgerüst in der Regel üblicher war als die direkte Aufbringung der Mörtel-Bruchstein-Masse auf das hölzerne Schalgerüst. Gleiche Konstruktion im neronischen Stadium: Heberdey 1912/1913, 180–181.

[280] E-TR 55 ist der zweite Block mit Wolfsloch.

schnitt. Zwei verschiedene auftretende Wolfslochgrößen (11–12 und 14–16 cm) scheinen auf die Verwendung zweier unterschiedlich großer Wolfseisen hinzuweisen[281].

Generell entwickeln sich Wolfslöcher von schmalen, engen Ausnehmungen mit einer Schrägfläche im Hellenismus zu weiteren, trapezoiden Formen in römischer Zeit, die eine einfachere und schnellere Ausarbeitung und Handhabung förderten[282]. Die Wolfslöcher des Odeions im Artemision haben Ähnlichkeit mit jenen der Celsusbibliothek, deren Schmalseiten sich allerdings stärker nach oben verjüngen (bis zu 3 cm) und die insgesamt bereits eine ausgeprägte trapezoide Grundform besitzen[283]. Die Schmalseiten der ausgearbeiteten Hebelöcher waren die Kontaktflächen, an denen die Kraftübertragung vom Wolfseisen auf den Block stattfand, welche deshalb sorgfältig gearbeitet sein mussten. Sind die Seitenflächen nur grob zugespitzt, wie es beim Odeion bei allen Wolfslöchern der Fall ist, kann man davon ausgehen, dass die Kraftübertragung durch zusätzliche Hilfsmittel sichergestellt war (Bleiverguss, Bleistreifen, Sand)[284]. Bleireste, wie sie an der Celsusbibliothek nachgewiesen werden konnten, wurden in Wolfslöchern am Odeion bisher nicht gefunden.

Die Schmalseiten des Wolfslochs waren zunächst prinzipiell parallel zueinander ausgerichtet und entwickelten sich erst im Laufe der Zeit zur trapezoiden Form, welche die Arretierung des Wolfseisens sowie die Kraftübertragung optimierte. Die Wolfslöcher des Odeions gleichen im Längsschnitt noch jenen des augusteischen Südtors der Agora, wo die Schmalseiten nur leicht ausgestellt sind und die trapezoide Form noch nicht stark ausgeprägt ist. Der Querschnitt zeigt aber bereits eine ausladende U-Form, wie er beispielsweise bei der 114–125 n. Chr. errichteten Celsusbibliothek zu finden ist[285]. Somit fügt sich das Odeion in die Entwicklungsreihe der Wolfslöcher ein, die das Gebäude nachaugusteisch sowie vortrajanisch einordnet. Bei aller gebotenen Vorsicht, Wolfslöcher als Datierungskriterium heranzuziehen, unterstützt die Auswertung jedenfalls auch die Datierung durch das keramische Fundmaterial[286].

*Lilli Zabrana*

---

[281] Alle Wolfslöcher an der Nordfassade sowie E-TR 33, 74 und 83 haben eine Längenmaß von 14–16 cm, E-TR 12 und 82 nur 11–12 cm.

[282] Lindley 1976, 180; Aylward 2009, 313. Aylward bezieht sich in dieser Schlussfolgerung auf untersuchte Gebäude in Pergamon. Huebers ephesische Vergleiche lassen jedoch ähnlich Schlüsse zu, welche durch die Befunde am Odeion unterstützt werden: Hueber 1989, 222 Abb. 3. 4.

[283] Hueber 1989, 222 Abb. 3.

[284] Aylward 2009, 320; Hueber 1989, 222–223.

[285] Hueber 1989, Abb. 3. 4.

[286] Vgl. Kap. VIII.

# V AUSSTATTUNG

## V.1 BÖDEN

Ein erhaltener Bodenbelag konnte bisher nur in der Orchestra dokumentiert werden (*opus sectile*-Paviment, s. Kap. V.1.1). In Kammer 9 wurde ein Unterboden aus Estrich (SE 843) auf einer Fläche von 1 × 0,85 m freigelegt (Taf. 49, 2; Sondage 4/2010–4/2011, Kap. VI.7). Die Marmorplatten, die den Boden einst bedeckten, sind nur aus ihren Abdrücken zu erschließen. In Kammer 5a wurde ebenfalls das bauzeitliche Bodenniveau erreicht, welches aber in seiner ursprünglichen Ausführung wegen des Einbaus einer späteren Latrine nicht erhalten ist (Taf. 47; Sondage 5/2010, Kap. VI.3).

### V.1.1 *OPUS SECTILE*-PAVIMENT DER ORCHESTRA

Der einzig erhaltene Bodenbelag fand sich im Bereich der Orchestra auf einer abs. H von 3,22 m (Taf. 21; 34, 3; 48; Sondage 2/2011, Kap. VI.5). Der Boden der Orchestra ist mit *opus sectile* ausgelegt, das eine quadratische Felderrahmung mit eingeschriebenen Kreisen zeigt.

Die Unterkonstruktion des Bodens lässt darauf schließen, dass die Auflagerfläche jedes Quadratfelds gesondert vorbereitet wurde. Flache Steine sind strahlenförmig angeordnet und sorgfältig im Mörtelbett verlegt. Darüber liegt eine nur wenige Millimeter starke Bettungsschicht aus Kalk, die zur besseren Haftung bei der Verlegung vermutlich mit organischen Bindemitteln versetzt worden war, wie es bei Plinius[287] überliefert ist und auch bei Feldarbeiten andernorts bereits nachgewiesen werden konnte[288].

Die quadratische Felderrahmung (Taf. 21) besteht aus hellgrauem, wahrscheinlich lokalem Marmor, der zu rechteckigen Platten mit den Maßen 83 × 16,5–18 cm geschnitten wurde. Das Marmorband, das unmittelbar an die Bühnenunterkante anschließt und die Sockelplatten begleitet, ist um 1,5 cm breiter als die senkrechten Rahmenglieder. Die Kreuzungspunkte der Felderrahmung sind von weißem Marmor ausgespart und wurden durch grüne Schieferquadrate des lokal anstehenden Serizitphyllits akzentuiert. Die 83 × 83 cm großen Quadratfelder sind mit einem feingliedrigen geometrischen Pavimentbelag aus verschiedenen Buntmarmoren ausgelegt. Die Felderrahmung wird im freigelegten nördlichen Feld innerhalb des Quadrats durch verschiedenfarbige, 1 cm breite Rahmen eingefasst (Taf. 21, 4). Der äußerste der drei Rahmen besteht aus Rosso Antico, dessen Provenienz aus dem nahe gelegenen Iasos durch Marmoranalysen nachgewiesen werden konnte (s. Kap. V.1.2). Der mittlere Rahmen wird durch strahlend weißen Marmor gebildet, möglicherweise aus Aphrodisias. Den innersten Rahmen bildet ein schwarzer Marmor, dessen Herkunft wahrscheinlich lokal ephesisch ist (s. Kap. V.1.2). In diese Rahmen war ein Kreis eingeschrieben, der sich in der Bettungsschicht abzeichnet, leider aber nicht mehr erhalten ist. Auch das innerhalb des Kreises eingeschriebene Quadrat ist nur noch aus dem Abdruck im Kalkbett zu erschließen. Zwei Pavonazzetto-Plattenfragmente des zentralen Quadrats finden sich noch *in situ.* Die Zwickel zwischen Kreis und umgebender dreifarbiger Rahmung wurde mit angepassten Platten aus kleinasiatischer Breccia Corallina versehen, deren Erscheinungsbild hier durch einen altrosa Grundton mit vielen hellen bzw. weißen Einschlüssen charakterisiert ist.

Das südliche Quadrat hat wie das nördliche ebenfalls einen feingliedrigen dreiteiligen Rahmen aus Rosso Antico, aphrodisischem und schwarzem Marmor (Taf. 21, 3). Das Zentrum des Quadrats bildet eine Kreisscheibe aus gelbem Marmor, die wiederum von verschiedenfarbigen Rahmen umschlossen wird, wovon nur ein Rosso Antico-Fragment erhalten ist. Die Provenienz

[287] Plin. nat. 36, 58.

[288] Ibrahim u. a. 1976, 252. In Kenchrai bei Korinth wurde die Kalkbettung aus Marmormehl mit Pinienharz versetzt.

der gelben Marmore konnte durch Analysen bestimmt werden, welche aus den Steinbrüchen Ganakgöltepe und Yoncaköy bei Ephesos stammen (s. Kap. V.1.2).

Abgesehen von den genannten Marmorsorten *in situ* stammen zahlreiche *opus sectile*-Plättchen aus Verde Antico, Porphyro Rosso, Porphyro Verde, Graeco Scritto, Alabaster, Serpentin und Mergel sowie aus verschiedenen Weißmarmoren aus den Grabungsbefunden (Taf. 22)[289]. Nicht alle müssen zwangsläufig zu dem *opus sectile*-Belag der Orchestra gehört haben, die Zugehörigkeit zu dem Gebäude scheint jedoch aufgrund des Fundorts (Zerstörungsschichten oberhalb des Bodens der Orchestra) für den Großteil wahrscheinlich. Geht man von einer Zugehörigkeit zu dem Orchestrapaviment aus, belegen lanzettförmige Blättchen eine kleinteilige Variation der ergrabenen Quaderfelder.

Analogien und Vergleiche zeigen, dass die Kunstfertigkeit, *opus sectile* zu verlegen, mehrfach für Ephesos belegt ist (Kap. IX.1.3). Auch in den Odeia Kleinasiens war eine *opus sectile*-Ausstattung bereits im 1. Jahrhundert n. Chr. in unterschiedlichster Ausprägung geläufig (Kap. IX.1.3.2). Stilistische Vergleiche in und außerhalb von Ephesos legen jedoch nahe, die *opus sectile*-Ausstattung der Orchestra mit einer zweiten Bauphase am Ende des 2./Anfang des 3. Jahrhunderts n. Chr. in Verbindung zu bringen, die sich in den Grabungsbefunden nachweisen lässt.

*Lilli Zabrana*

## V.1.2 PROVENIENZANALYSEN VON *OPUS SECTILE*-PAVIMENTPROBEN DER ORCHESTRA

### Die untersuchten Proben

Einer näheren Untersuchung und Analyse unterzogen wurden jene Buntmarmorfragmente, die dem *opus sectile* der Orchestra zuzurechnen sind, mit dem Ziel, die unterschiedlichen Marmorsorten zu typisieren und ihre Herkunft zu bestimmen. Eine detaillierte Beschreibung der Untersuchungsmethode ist ausführlich im Kapitel V.5.2 nachzulesen.

Bei den vorliegenden Marmorproben können rote Marmore vom Typ Rosso Antico, schwarze Marmore, unterschiedliche Typen gelber Marmore und weiße Marmore unterschieden werden.

#### *Die weißen Marmore – Plattenfragmente*

Von den zahlreichen Plattenfragmenten wurden acht Stichproben von Weißmarmoren ausgewählt und auf ihre Provenienz untersucht. Die Anzahl der Proben ist natürlich bei Weitem zu gering, um einen quantitativen repräsentativen Überblick über die verwendeten Weißmarmore zu bekommen. Wie nachstehend ausgeführt wird, ist aber trotz der geringen Probenzahl bereits eine beachtliche Variabilität der verwendeten Marmore zu erkennen.

*Die analytischen Ergebnisse*: Die gemessenen $\delta^{18}O$- und $\delta^{13}C$-Werte der untersuchten Proben zeigen eine sehr starke Streuung, die auf die Vielzahl verwendeter Marmortypen zurückzuführen ist. Wegen der starken Streuung der Werte und der Überlagerung der Isotopenfelder wird auf eine gesonderte Darstellung und Diskussion der Isotopendaten verzichtet. Durch die Kombination verschiedener analytischer Methoden und eine multivariate statistische Auswertung der Daten (Abb. 1) lassen sich die Proben jedoch relativ sicher der jeweiligen Herkunft zuordnen.

*Herkunft:* Die untersuchten Weißmarmore stammen aus sehr unterschiedlichen Gebieten. Vier Proben sind den dolomitischen Marmoren aus Thasos zuzuordnen, jeweils eine Probe kommt aus Aphrodisias, Dokimeion und Thasos (Kalzitmarmor). Bei einer Probe handelt es sich um lokalen ephesischen Marmor (Ephesos II). Möglicherweise sind diese kleinen Marmorplatten Nebenpro-

[289] Die Marmorsortenzuweisung wurde von Walter Prochaska, Montanuniversität Leoben, durchgeführt, dem dafür herzlich gedankt sei.

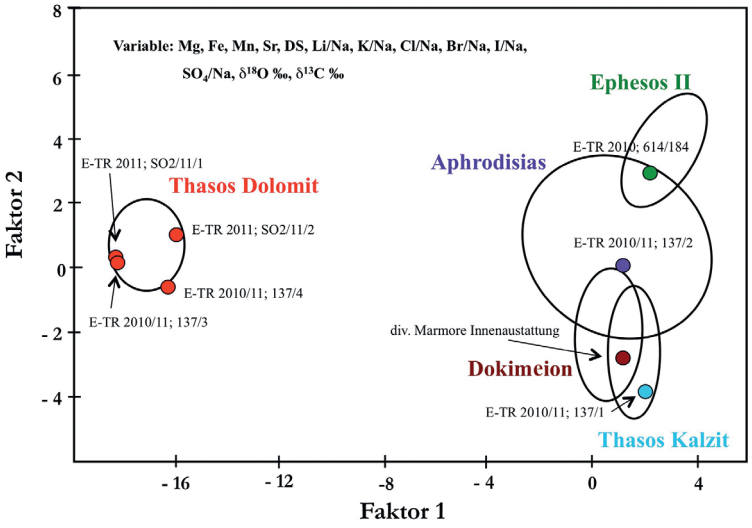


Abb. 1
Multivariate Analyse der Weißmarmore und ihre Zuordnung zu den jeweiligen Herkunftsgebieten

dukte einer größeren Marmorverarbeitung in Ephesos, die neben den lokalen Marmoren auch eine Reihe asiatischer Marmore verarbeitete, die über Ephesos exportiert wurden.

*Die roten Marmore – Rosso Antico (rote kristalline Marmore generell)*

Bei den untersuchten roten Marmoren handelt es sich um ›echte‹ Marmore im petrografischen Sinn, d. h., es sind metamorphe, rekristallisierte Karbonatgesteine und nicht unmetamorphe Kalksteine, die in der Steinmetzindustrie ebenfalls als Marmor bezeichnet werden, wenn sie polierfähig sind. Der typische Rosso Antico ist ein mittelkörniger Marmor mit charakteristischen silikatischen Beimengungen und weist eine Korngröße von 1–2 mm auf.

Derzeit sind drei Lokalitäten der antiken Welt bekannt, wo rote Marmore vom Typ Rosso Antico abgebaut wurden. Die klassischen Lagerstätten befinden sich im Süden der Peloponnes, wo dieser Marmor in mehreren Steinbrüchen abgebaut wurde. Zwei weitere Regionen befinden sich in Kleinasien, in Iasos und in der Gegend von Milas.

Der kleinasiatische rote Marmor ist durch einen erheblichen Anteil (5–20 %) von silikatischen Beimengungen wie Mn-reicher Epidot (Piemontit), Quarz, Glimmer und opaken Mineralen gekennzeichnet. Die chemische Analyse zeigt generell sehr hohe Fe- und Mn-Gehalte. Die Diskriminierung der drei oben genannten Herkunftsregionen kann sehr gut mit der isotopischen Zusammensetzung durchgeführt werden. Da die zusätzliche Verwendung der chemischen Zusammensetzung und der Fluidanalyse nicht zwischen den Herkunftsgebieten unterscheidet, werden in der Folge nur die stabilen Isotope ($\delta^{18}O$ und $\delta^{13}C$) zur Provenienzanalyse herangezogen. Von den Marmoren des Typs Rosso Antico gibt es in der Literatur detaillierte Beschreibungen[290]. Da die hier untersuchten Proben petrografisch in allen Details mit den klassischen Rosso Antico-Marmoren übereinstimmen, wird hier auf eine detaillierte Beschreibung verzichtet.

*Die analytischen Ergebnisse*: Die gemessenen $\delta^{18}O$- und $\delta^{13}C$-Werte der untersuchten Proben zeigen nur eine geringe Variationsbreite und liegen im Bereich von –2,5 –1 ‰ bzw. 2,1 –2,6 ‰. Wie im Isotopendiagramm in Abbildung 2 zu sehen ist, gibt es nur eine geringfügige Überlagerung der Felder der isotopischen Zusammensetzung der drei möglichen Herkunftsbereiche für Rosso Antico, was, wie oben erwähnt, für eine sichere Zuweisung zu einem entsprechenden Herkunftsbereich völlig ausreichend ist. Die untersuchten Proben fallen weitgehend in das Feld der roten Marmore von Iasos.

290 Gordini – Lazzarini – Pallante 2002, 199–206.

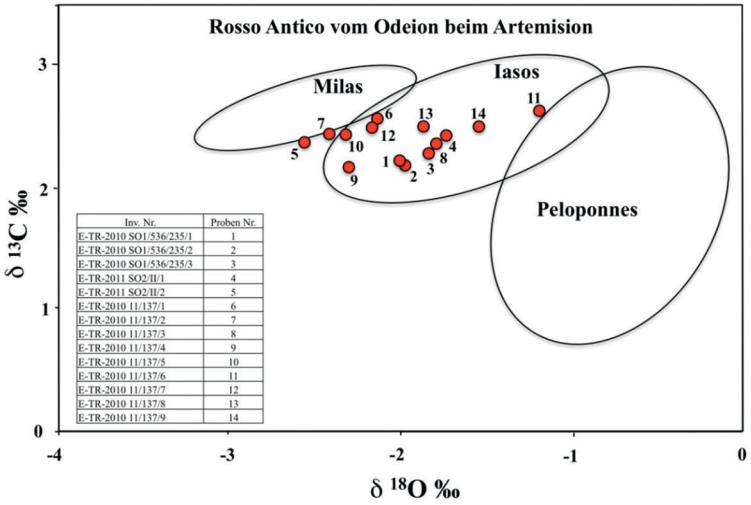


Abb. 2
Isotopendiagramm der untersuchten Proben mit den Feldern der isotopischen Zusammensetzung der möglichen Herkunftsgebiete des Marmors vom Typ ›Rosso Antico‹. Bei den Ellipsen handelt es sich um statistische Ellipsen, die 90 % der jeweiligen Probenpopulation der in Betracht gezogenen Herkunftsgebiete einschließen

*Herkunft*: Die untersuchten roten Marmore konnten den Steinbrüchen von Iasos in Kleinasien zugewiesen werden. Aufgrund der homogenen Zusammensetzung dürften alle Proben von einem Steinbruch dieser Region stammen. Nur bei zwei Proben besteht die Möglichkeit einer Herkunft aus Milas, ebenfalls in Kleinasien.

*Die schwarzen Marmore*

Bei den fünf untersuchten Proben von schwarzem Marmor handelt es sich um Fragmente dünner *opus sectile*-Plättchen. Der makroskopische Eindruck ist der von feinkörnigen, sehr homogenen schwarzen Marmoren. Die polierten Flächen sind sehr einheitlich homogen, und nur an den Bruchstellen sind eine gewisse Feinkörnigkeit und ein körniges Gefüge zu erkennen. Zum Vergleich mit diesen untersuchten Proben wurden die analytischen Charakteristika der schwarzen Marmore im Bereich von Ephesos herangezogen. Weiters wurden auch die Marmore von Lesbos bei der Auswertung berücksichtigt, da diese in der ephesischen Architektur häufig vorkommen. Allerdings scheint alleine die Tatsache, dass die lesbischen Marmore im petrografischen Sinn Kalksteine sind, diese Möglichkeit für die gegenständlichen schwarzen Marmore auszuschließen. In der statistischen Auswertung wurden als Vergleich die ephesischen schwarzen Marmore von Belevi (›Belevi Black‹) und die Marmore vom Panayırdağ herangezogen und zudem, wie oben erwähnt, die Marmore von Lesbos.

*Petrografische Beschreibung*: Bei den untersuchten schwarzen Marmoren handelt es sich um Marmor im petrografischen Sinn. Die maximale Korngröße beträgt ca. 0,5 mm, es handelt sich also um feinkörnige Marmore. Unter dem Mikroskop zeigt sich ein sehr reiner Marmor, der kaum silikatische Verunreinigungen aufweist. Das organische Pigment, das dem Gestein die schwarze Farbe verleiht, ist relativ gleichmäßig im Gestein verteilt. Es ist z. T. an den Korngrenzen angereichert, aber es tritt auch als Einschlüsse in den Kalzitkristallen auf (Abb. 3).

*Die analytischen Ergebnisse*: Die Werte für $\delta^{18}O$ und $\delta^{13}C$ der fünf untersuchten Proben weisen eine äußerst geringe Variationsbreite auf, wie im Isotopendiagramm in Abbildung 4 zu sehen ist. Die isotopische Zusammensetzung der Vergleichsproben überlappt allerdings sehr stark, sodass eine sichere Zuordnung auf dieser Basis nicht möglich ist.

Bezieht man die anderen analytischen Parameter in die Berechnung mit ein, wird der Streubereich der fünf Proben etwas größer und sie kommen weitgehend im Feld der Marmore vom Panayırdağ zu liegen.

Die Ergebnisse der multivariaten statistischen Auswertung und die zum Vergleich herangezogenen Vorkommen von schwarzen Marmoren aus der Region von Ephesos und von Lesbos sind in der grafischen Darstellung in Abbildung 5 zu sehen.

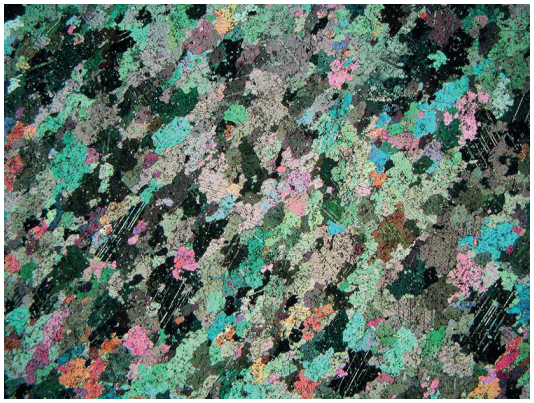

Abb. 3
Mikrofoto von Probe E-TR 2011; 233/1. Es handelt sich um einen schwarzen, feinkörnigen Marmor mit leichter Schieferung. Das organische Pigment ist gleichmäßig verteilt (Bildlänge 7 mm)

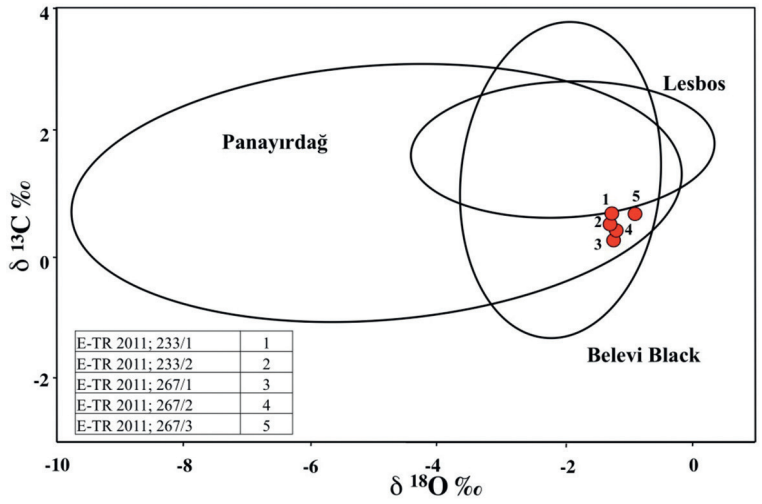


Abb. 4
Isotopendiagramm der fünf untersuchten Proben im Vergleich zu Vorkommen von schwarzen Marmoren aus der Region von Ephesos und von Lesbos

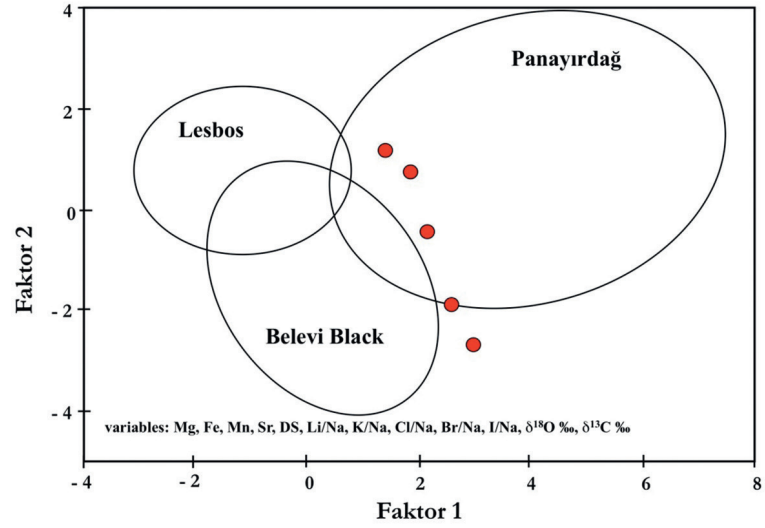


Abb. 5
Korrelation der beiden wichtigsten multivariaten Koordinaten der statistischen Analyse. Eine eindeutige Zuordnung der schwarzen Marmore ist nicht möglich, allerdings liegt eine ephesische Herkunft (Panayırdağ oder Belevi) nahe

*Herkunft*: Die untersuchten schwarzen Marmore lassen sich nicht eindeutig zuordnen. Die enge Streuung der isotopischen Zusammensetzung lässt eine Herkunft aus einem einzigen Steinbruch vermuten. Die ephesischen schwarzen Marmore, besonders vom Panayırdağ, streuen sehr stark in ihrer Zusammensetzung, was eine Zuordnung erschwert. Eine ephesische Herkunft der untersuchten schwarzen Marmore ist zu vermuten, lesbische Marmore können mit Sicherheit ausgeschlossen werden.

*Die gelben Marmore*

Unter den Plattenfragmenten, die bei den Grabungen am Odeion im Artemision geborgen wurden, fanden sich auch zahlreiche gelbe Marmore. Die Untersuchungen sollten nun zeigen, ob es sich dabei um eine einzige Marmorart handelt oder um verschiedene Marmore unterschiedlicher Herkunft.

Im Allgemeinen wird antiker gelber Marmor pauschal als Giallo Antico bezeichnet. Seine wohl größten und bekanntesten antiken Lagerstätten befinden sich in Chemtou/Tunesien. Es handelt sich um einen feinkörnigen, homogenen Kalkstein mit blassgelben, gelben und rötlich gelben Varietäten.

In den letzten Jahren wurde in der Region von Ephesos unmittelbar an der Küste bei der Ortschaft Yoncaköy ein kleiner Steinbruch von gelbem Marmor mit antiken Abbauspuren gefunden. Es ist durchaus möglich, dass in dem sehr schwer zugänglichen und äußerst dicht bewachsenen Gebiet weitere antike Steinbrüche dieses Marmortyps zu lokalisieren sind. Weiters treten im Bereich von Ephesos mergelige Kalke auf, die auch in moderner Zeit abgebaut werden (Çanakgöltepe). Diese plattigen Gesteine weisen im polierten Zustand unterschiedlich gelbliche Farbtöne auf. Ein weiteres Vorkommen von gelblichen bis rötlichen Marmoren (Travertin) tritt in der Nähe von Magnesia am Mäander auf, und Artefakte aus diesem Material sind nicht selten in der antiken Stadt Magnesia zu sehen.

Für die Untersuchungen der gelben Marmore vom Odeion werden als Referenzmarmore daher die beiden ephesischen Marmortypen, die Travertine von Magnesia und die klassischen Giallo Antico-Marmore von Chemtou in Tunesien in Betracht gezogen.

Abb. 6 Das Mikrofoto eines gelben ephesischen Marmors zeigt ein grobkörniges Verwachsungsgefüge von spätigen Kalzitkristallen in einer feinkörnigen Matrix mit Eisenhydroxiden (x-Polarisatoren, Bildlänge 7 mm)

Abb. 7 Polierte Anschliffe von zwei unterschiedlichen gelben Marmoren vom Odeion. Links ist ein gelber ephesischer Marmor vom Typ Yoncaköy (s. auch Abb. 6) zu sehen; beim rechten Fragment handelt es sich um einen Mergel vom Çanakgöltepe

*Petrografische Beschreibung*: Wie oben erwähnt, sind die klassischen Giallo Antico-Marmore feinkörnige Kalksteine, die gelegentlich größere authigene Feldspatkristalle aufweisen. Der ephesische gelbe Marmor von Yoncaköy ist relativ grobkörnig und durch ein drusiges Gefüge charakterisiert. In diesen Hohlräumen sind meist sekundäre weiße Kalzitkristalle zu finden. Es handelt

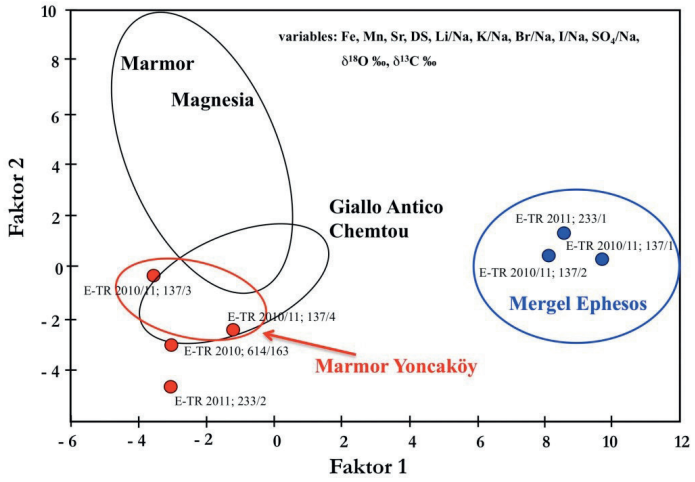


Abb. 8
Korrelation der beiden wichtigsten multivariaten Koordinaten der statistischen Analyse der gelben Marmore. Die gelben Marmore sind ausschließlich lokaler Provenienz

sich um eine hydrothermale Brekzie mit grobspätigen Kalziten als Komponenten und einer feinkörnigen Matrix mit Eisenhydroxiden, die dem Gestein die gelbe Farbe verleihen. In Abbildung 6 ist ein Mikrofoto einer der untersuchten Gelbmarmorproben (ETR 2010; 614/163) zu sehen.

*Analytische Ergebnisse*: Die chemische und isotopische Zusammensetzung der ephesischen gelben Marmore ist sehr heterogen. So treten sowohl bei den grobkörnigen Marmoren von Yoncaköy als auch bei dem feinkörnigen Mergel von Çanakgöltepe sehr unterschiedlich hohe Mg-Gehalte auf, und es sind auch dolomitische Varietäten zu finden. Es wird hier in der Folge der besseren Übersicht halber nur die multivariate Auswertung der Ergebnisse gezeigt (Abb. 8).

*Herkunft*: Die feinkörnigen, dünnplattigen gelben Marmore (D ca. 3 mm) sind ephesische Mergel von Çanakgöltepe. Das Erscheinungsbild dieser Mergel ist im polierten Zustand dem der klassischen Giallo Antico-Marmore aus Tunesien sehr ähnlich, sie können aber analytisch sehr gut unterschieden werden (Abb. 8).

Vier Proben von grobkörnigem gelben Marmor (dickere Plättchen von ca. 7 mm Stärke) sind entsprechend ihrer petrografischen Eigenschaften und auch aufgrund ihrer chemischen Parameter eindeutig den lokalen Marmoren aus der Gegend von Yoncaköy zuzuordnen.

Zusammenfassend kann gesagt werden, dass die Provenienz der untersuchten Weißmarmore eine breite Streuung aufweist, die von Thasos über Dokimeion und Aphrodisias bis zu lokal ephesischer Herkunft reicht. Möglicherweise sind die kleinformatigen Marmorplatten der Innenausstattung Nebenprodukte einer größeren Marmorverarbeitung in Ephesos, die neben den lokalen Marmoren auch eine Reihe asiatischer Marmore verwertete, welche über den Hafenstandort Ephesos exportiert wurden. Die roten Marmore vom Typ Rosso Antico stammen aus dem nahe gelegenen Iasos, die schwarzen Marmore sind mit Vorbehalt wahrscheinlich lokal-ephesischer Herkunft, wie auch die Gelbmarmore, deren Provenienz aus der Region mit der Bestimmung der Steinbrüche in Çanakgöltepe und Yoncaköy gesichert ist. Die untersuchten Buntmarmore zeigen jedenfalls, dass neben Importprodukten von einer umfassenden Verwertung und Verarbeitung speziell lokaler Vorkommen ausgegangen werden kann, die wahrscheinlich in weit größerem Rahmen üblich war als bisher angenommen.

*Walter Prochaska*

## V.2 MARMORNE WANDVERKLEIDUNG

An den Fassaden gibt es für eine Marmorverkleidung keinerlei Hinweise. Verankerungslöcher für Metallklammern und Metallreste der Klammern konnten nur an der Bühnenfront (Taf. 23, 1; Kap. III.6) freigelegt werden.

Zahlreiche Fragmente von profilierten Platten, Rundstabprofilen und verschiedenen Zonenabschlussprofilen (Taf. 37, 3–6: Fuß- und Konsolenprofile A 26–33) aus allen Grabungsschnitten zeigen jedoch, dass es im Gebäudeinneren eine großzügige Marmorausstattung gegeben haben muss.

## V.3 WANDMALEREI

In Sondage 5/2010 am östlichen Ende von Kammer 5a (Taf. 47) konnten aus Schichten unter dem Bauhorizont, die als Hinterfüllung des Fundaments dienten, einige Wandmalereifragmente geborgen werden (Taf. 23, 3–5, Kap. VI.3)[291]. Den größten Teil der Fragmente bilden gelbgrundige Stücke, die um einige rotgrundige Fragmente ergänzt werden. Vereinzelt kommen auch weißgrundige Fragmente mit roten und gelben Streifen vor. Da diese Wandmalereifragmente aus Füllschichten des Fundaments stammen, müssen diese einem anderen Gebäude zugeordnet werden, das sich entweder als Vorgängerbau an derselben Stelle befand oder jedenfalls in unmittelbarer Nähe zum Bauplatz des Odeions lokalisiert werden muss.

Weiters fanden sich in Sondage 2/2011 (s. Kap. VI.5) zahlreiche Wandmalereifragmente, die aus den Zerstörungsschichten direkt über dem Boden der Orchestra geborgen wurden (Taf. 24)[292]. Es handelt sich dabei fast ausschließlich um weißgrundige Fragmente, häufig mit breiten roten Streifen; es kommen jedoch auch gelbe und schwarze Streifen vor, und vereinzelte Fragmente mit grünen Details lassen auf Blattmotive schließen. Einige Fragmente zeigen eine mehrphasige Wandmalereiausstattung mit mindestens zwei übereinanderliegenden Farbschichten samt zugehörigem Unterputz. Bei der Bergung eines Fragments löste sich die jüngere Malschicht samt zugehöriger Feinputzschicht, wodurch die darunterliegende Farbschicht sichtbar wurde, die ein handgemaltes schwarzes Epsilon auf weißem Grund zeigt (Taf. 24, 3).

Die Befundsituation legt die Vermutung nahe, dass es sich bei den Wandmalereifragmenten aus Sondage 2/2011 um Reste der Ausstattung des Bühnengebäudes handelt. Die Mehrphasigkeit der Wandmalerei belegt mindestens zwei Ausstattungsphasen.

*Lilli Zabrana*

## V.4 ARCHITEKTURGLIEDER UND BAUORNAMENTIK

Die dokumentierten Architekturglieder und Bauornamentikfragmente sind zum derzeitigen Stand der Forschung nicht nach ihrer Zugehörigkeit zu dem Gebäude einzuteilen, da keine Bauornamentik und nur ein aussagekräftiger Architekturblock in ursprünglicher Versatzposition freigelegt oder dokumentiert werden konnte. Allerdings fanden sich insgesamt 16 Architekturglieder verteilt an der Gebäudeoberfläche auf heutigem Laufniveau. Eine Zugehörigkeit einiger dieser Bauteile zum Odeion ist einstweilen nicht auszuschließen, jedoch nicht mit Sicherheit zu belegen. Aufgrund dessen wurde vorläufig eine Zuordnung nach dem Fundort vorgenommen (*in situ* am Gebäude, an der Gebäudeoberfläche oder aus Grabungsbefunden). Die einzigen schlüssigen Hinweise auf das Baudekor des Gebäudes selbst geben derzeit die Katalognummern **A 20** – **A 25**, welche nach Ausführung und Material zusammengehörig zu sein scheinen und zur Gänze aus dem Gebäudeinneren und hier aus dem ergrabenen Bereich unmittelbar vor dem Bühnengebäude stammen, weshalb eine Zughörigkeit zur *scaenae frons* anzunehmen ist. Ist dies tatsächlich der Fall, sind diese Fragmente wohl der zweiten Ausstattungsphase in der zweiten Hälfte des 2. Jahrhunderts n. Chr. zuzurechnen (vgl. Kap. VIII.4). Ein großformatiger Gebälkblock, der aufgrund seiner Fundlage auf der Bühne in Sondage 2/2011 zum Bühnengebäude gehörte, zeigt zwar eine sorgfältig ausgeführte Profilierung an der Vorderseite, aber keine ausgearbeitete Ornamentik (**Kat. A 12** Taf. 34).

[291] Die Wandmalereifragmente stammen aus den Schichten SE 735–737.
[292] Die Wandmalereifragmente stammen aus den Schichten SE 1038–1040.

## V.4.1 ARCHITEKTURGLIEDER *IN SITU* AM GEBÄUDE

Im Zuge der Arbeiten am Gebäude in den Jahren 2009–2011 konnte keine Bauornamentik in ihrer ursprünglichen Versatzposition freigelegt oder dokumentiert werden. An Architekturgliedern sind einzig der nachfolgende Bogenanfänger des Hauptzugangs an der Nordfassade sowie die 10 großformatigen Kalksteinblöcke an der Westfassade in ihrer ursprünglichen Position erhalten, die ein umlaufendes Gurtgesims bildeten und die horizontale Trennung des Unter- und Obergeschosses vornahmen. 21 weitere Kalksteinblöcke dieses umlaufenden Gurtgesimses wurden entlang der West- und Nordfassade in den obersten Grabungsschichten in Versturzlage gefunden (Taf. 25, Kap. III.7.1; III.7.2 und V.4.3; vgl. **Kat. A 11** Taf. 33)[293].

**Kat. A 1** **Taf. 27 Plan 14. 15. 19, 2**
Bogenanfänger des Hauptzugangs an der Nordostecke zu Kammer 9
Material: Kalkstein
Maße: L 131 cm, B 107 cm, H 91 cm
Erh.: An der fassadenseitigen Ansicht ist die gesamte Fläche verbrochen. Der Bogenblock ist samt seinem darunterliegenden Auflager aus seiner ursprünglichen Position leicht verkippt und verrückt.
Bearbeitung: Die Innenseite des Blocks in Kammer 9 hat eine 29 cm breite, fein gepickte Fläche an der Schmalseite, welche die Rundung des sichtbaren Bogens auf der Rauminnenseite angibt. Die übrige Fläche der Rückseite ist grob gespitzt. Die erhaltene Laibungsfläche des Bogenblocks ist sorgfältig mit dem Zahneisen bearbeitet. Die Auflagerfläche für den darüberliegenden Bogenblock ist grob gepickt und weist neben Stemmlöchern auch ein Wolfsloch auf. Eine grob bearbeitete Erhöhung (33 × 9 cm) auf der oberen Auflagefläche deutet darauf hin, dass der darüberliegende Block nicht auf der gesamten Fläche auflag.

## V.4.2 ARCHITEKTURGLIEDER UND BAUORNAMENTIK AN DER OBERFLÄCHE VOR BEGINN DER AKTUELLEN FORSCHUNGEN

Zu Beginn der Arbeiten fanden sich insgesamt 16 Architekturglieder sichtbar an der Oberfläche, wobei mit einer einzigen Ausnahme[294] alle diese Blöcke im Bereich der Cavea lagen (Taf. 26). Von diesen wird in diesem Rahmen eine Auswahl von 8 Blöcken vorgelegt[295]. Zwei weitere Architekturglieder, die sich auf dem nahe gelegenen Hamam 7 fanden, wurden ebenfalls in den Katalog aufgenommen (**Kat. A 5**. **A 6**). Alle Blöcke weisen Spuren schwerer Beschädigung auf, die wahrscheinlich auf rezente Umlagerungsvorgänge zurückzuführen sind. Wenig abgewitterte Schleifspuren, zahlreiche Absplitterungen und Bruchflächen bis hin zu Zahnspuren von Baggerschaufeln oder anderen landwirtschaftlichen Gerätschaften deuten auf rezente Schädigungen. Historische Fotografien aus der Zeit der ersten österreichischen Forschungen im Artemision zeigen, dass zahlreiche Architekturglieder weiträumig um das Odeion verstreut an der Oberfläche lagen[296]. Im Zuge der landwirtschaftlichen Erschließung zwischen 1966 und 1977 wurden diese Blöcke in den Bereich der Odeionruine geschleppt und zum größten Teil auf der schrägen Fläche der mit Erdmaterial überdeckten Cavea gelagert[297]. Eine eindeutige Zuweisung der Blöcke zu Einzelmonumenten konnte nur in Einzelfällen erfolgen (**Kat. A 10**). Gleichfalls ist eine Zugehörigkeit einiger Bauteile zu dem Odeion vorläufig nicht auszuschließen, jedoch ebenso wenig mit Sicherheit zu belegen. Häufige Umarbeitungen der folgenden Marmorblöcke legen sekundäre Nutzungen in byzantinischer und mittelalterlicher Zeit nahe.

---

293 Die Blöcke wurden im Jahr 2010 in das umzäunte Freilichtdepot nordöstlich des Artemistempels verbracht. Der sichtbare Bereich des Odeions besaß zu diesem Zeitpunkt noch keine Einzäunung, welche erst im Oktober 2011 errichtet wurde.

294 **Kat. A 1**, Säulentrommel an der Südwestecke.

295 Für die Unterstützung bei der Katalogauswahl der vorgelegten Blöcke sowie deren Datierung in Kap. V.4.2 und V.4.3 bedanke ich mich herzlich bei Georg Plattner.

296 s. ÖAI-Fotoarchiv: A-W-OAI-N_II_0397.jpg.

297 Eine Luftbildaufnahme aus dem Jahr 1966 zeigt um das Odeion eine landwirtschaftlich komplett ungenutzte Fläche, während auf einer Vergleichsaufnahme aus dem Jahr 1977 bereits dichte Pflanzreihen im selben Bereich zu sehen sind.

**Kat. A 2** **Taf. 28**
Inv. E-TR 1
Säulentrommel, zweiphasig
AO: vor der Westfassade am Gebäude
FO: Oberfläche Südwestecke, auf rezentem Laufniveau (s. Taf. 25)
Material: Marmor
Maße: H 90 cm, oberer Dm 78 cm, unterer Dm 79 cm
Bearbeitung: Der ursprünglich glatte Säulenschaft mit einem Durchmesser von 78–79 cm wurde später zur Hälfte abgearbeitet. Die umgearbeitete Säulenhälfte ergibt eine Halbsäule mit 26 cm Durchmesser und 27 cm Breite. Der Halbsäulenschaft wird durch 11, jeweils 4,5 cm breite Kanneluren gegliedert, die von 2 cm breiten, dazwischenliegenden Stegen getrennt sind. Die Kanneluren selbst sind nur 5 mm tief und schließen am unteren Ende halbkreisförmig ab. Ober- und Unterlager der Säulentrommel sind beide mit Anathyrosis versehen, ebenso finden sich an beiden Flächen Dübellöcher, die jedoch unterschiedlich groß sind. Das Dübelloch am Auflager ist im Zuge der Umarbeitung vergrößert worden und misst 21 × 10 cm, im Gegensatz zu dem Dübelloch am Unterlager, das die ursprüngliche Größe besitzt (14,5 × 11 cm). Die Anathyrosis von Ober- und Unterlager sowie die Dübellöcher zeigen, dass die Säulentrommel in ihrer ersten Phase mit darüber- und darunterliegenden Säulentrommeln versetzt war. In der zweiten Nutzungsphase lag das Unterlager auf einer Säulenbasis auf, wie die halbkreisförmigen Enden der Kanneluren sowie das verbreiterte Dübelloch, das nur am Auflager umgearbeitet wurde, belegen.
Erh.: Die Säulentrommel wurde in ihrer zweiten Nutzungsphase an die Verwendung als Halbsäule angepasst, weshalb im Bereich des Übergangs zum glatten breiteren Säulenschaft horizontale und vertikale Abarbeitungen und daraus resultierende Folgeschäden (Rissbildungen) zu konstatieren sind. Drei parallele Schäden an den Kanneluren sind wahrscheinlich mit rezenten Transportschäden in Verbindung zu bringen.

**Kat. A 3** **Taf. 29, 1–3**
Inv. E-TR 2
Blattkelchkapitell
AO: Freiluftdepot Artemision, südöstlich des Tempels
FO: Oberfläche, Bereich *ima cavea* (s. Taf. 25)
Material: Marmor
Maße: unterer Dm 43 cm, H 53 cm, Deckplatte 77 × 77 × 12,7 cm.
Erh.: Das Kapitell ist an seiner Unterkante gekappt, weshalb die ursprüngliche Kapitellhöhe nicht mehr erhalten ist. Die Auflagerfläche der Deckplatte weist eine Reihe stark abgewitterter Vertiefungen auf, die wahrscheinlich mit der sekundären Nutzung des Kapitells in Zusammenhang stehen.
Dat.: 1. Hälfte 1. Jh. n. Chr.

**Kat. A 4** **Taf. 29, 4–6**
Inv. E-TR 3
Korinthisches Kapitell
AO: Freiluftdepot Artemision, südöstlich des Tempels
FO: Oberfläche, Bereich *ima cavea* (s. Taf. 25)
Material: Marmor
Maße: unterer Dm 43 cm, H 53 cm, Deckplatte 77 × 77 × 12,7 cm
Bearbeitung: Für eine sekundäre Nutzung wurde das Kapitell mittig durchbohrt (Dm 14,5 cm). An seinem oberen Ende verbreitert sich die mittige Ausnehmung auf 33,4 cm. Im unteren Bereich wurde das Kapitell auf einen kreisförmigen Steg verjüngt. Zwei weitere Kapitelle (**Kat. A 5**. **A 13**) sowie ein Säulenpostament (**Kat. A 6**) und ein Säulenfragment (**Kat. A 14**) mit vergleichbaren Umarbeitungen lassen auf dieselbe sekundäre Nutzung schließen. Die Formen der Abarbeitung und der Durchmesser der mittigen Bohrung legen eine Verwendung als Bestandteil einer steinernen Druckrohrleitung nahe[298].
Erh.: Das Kapitell wurde in seiner sekundären Nutzungsphase umgearbeitet, wodurch die ursprüngliche Gestaltung großteils nicht mehr erschlossen werden kann. Nur die Helices des korinthischen Kapitells sind z. T. erhalten.
Dat.: frühe Kaiserzeit

**Kat. A 5** **Taf. 30, 1–3**
Inv. E-TR 52
Korinthisches Kapitell
AO: Freiluftdepot Artemision, südöstlich des Tempels
FO: Oberfläche Südwestecke Hamam 7
Material: Marmor
Maße: unterer Dm 31 cm, oberer Dm 61–62 cm, H 50 cm
Bearbeitung: Für eine sekundäre Nutzung wurde das Kapitell mittig durchbohrt. An seinem oberen Ende verbreitert sich die mittige Ausnehmung. Im unteren Bereich wurde das Kapitell auf einen kreisförmigen Steg verjüngt. Zwei weitere Kapitelle (**Kat. A 4**. **A 13**) und ein Säulenfragment (**Kat. A 14**) mit vergleichbaren Umarbeitungen lassen auf dieselbe sekundäre Nutzung schließen. Die Formen der Abarbeitung und der Durchmesser der mittigen Bohrung legen eine Verwendung als Bestandteil einer steinernen Druckrohrleitung nahe (vgl. Anm. 298).
Erh.: Das Kapitell wurde in seiner sekundären Nutzungsphase umgearbeitet, wodurch die ursprüngliche Gestaltung nur teilweise erhalten ist. Von dem Kapitell sind nur der Kranz der Hochblätter sowie Caulis und Hüllkelch erhalten.
Dat.: 2. Jh. n. Chr.

[298] Für die Interpretation von **Kat. A 4**, **A 5**, **A 12** und **A 13** als Bestandteil einer steinernen Druckrohrleitung danke ich Gilbert Wiplinger, Ralf Kreiner und Paul Kessener sehr herzlich. Letzterem verdanke ich den Hinweis auf 78 vergleichbare umgearbeitete Spolien vom Ayasoluk, die Teil einer byzantinischen Druckrohrleitung waren und im Freiluftdepot nördlich der Johannesbasilika verwahrt sind. s. auch Benndorf 1906, 68; Forchheimer 1923, 250–251.

**Kat. A 6** **Taf. 30, 4–6**
Inv. E-TR 53
Säulenpostament
AO: Freiluftdepot Artemision, südöstlich des Tempels
FO: Oberfläche Südwestecke Hamam 7
Material: Marmor
Maße: L 54 cm, B 54 cm, H 30 cm
Bearbeitung: Das Postament verfügt über einen 22 cm hohen Sockel mit darüberliegendem angearbeitetem Säulenfuß (5–7 cm). Das Säulenpostament wurde für eine sekundäre Nutzung mittig ausgehöhlt. Die trichterförmige Aushöhlung misst am oberen Abschluss 16 cm und weitet sich konisch bis zu 43 cm auf. Die Oberfläche zeigt Bearbeitungsspuren eines Zahneisens.
Erh.: Die ursprüngliche Auflagerfläche des Säulenpostaments zeigt starke Abnutzungserscheinungen. Die restlichen Oberflächen sind in gutem Erhaltungszustand.

**Kat. A 7** **Taf. 32**
Inv. E-TR 4
Türsturz
AO: östlich der Cavea an der Grundstücksgrenze
FO: Oberfläche, Bereich *ima cavea* (s. Taf. 25)
Material: Marmor
Maße: L 194 cm, H 57,5 cm, T 79 cm
Bearbeitung: Der Türsturz weist an den sichtbaren Flächen eine sorgfältige Bearbeitung auf, mit einer erhaltenen Ecke einer Dreifachrahmung auf der Vorderseite. Die Unteransicht des Türsturzes wurde mit dem Zahneisen bearbeitet und nahm in einer Vertiefung von 10 cm das obere Ende der eingesetzten Türpfanne auf. Zwei weitere Löcher an der Unteransicht können vielleicht mit einem Verschlussmechanismus in Verbindung gebracht werden. Das Auflager besitzt zwei Dübellöcher, ein Wolfs- sowie ein Stemmloch.
Erh.: Der gesamte Block ist stark beschädigt. Großflächige, abgewitterte Brüche und rezente Transportschäden sowie starke Abwitterung trugen dazu bei, dass der Türsturz zunächst schwer als solcher zu identifizieren ist. Die Rahmung wie auch die Vertiefung für die Aufnahme der Türpfanne lassen jedoch keinen Zweifel offen.

**Kat. A 8** **Taf. 31, 7**
Inv. E-TR 5
Triglyphe eines dorischen Frieses
AO: Steindepot Kammer 6 im Gebäude
FO: Oberfläche, Bereich *summa cavea*, oberhalb von Kammer 1 (s. Taf. 25)
Material: Marmor
Maße: L 64 cm, H 39 cm, T 24 cm
Bearbeitung: Die ansichtigen Flächen sind mit dem Zahneisen bearbeitet und anschließend geglättet. Die Stoß- und Auflagerflächen waren grob gespitzt. Das Auflager besitzt ein 3 cm tiefes Klammerloch mit 1 cm tiefer zugehöriger Bettung.
Erh.: Der Triglyphenblock weist, abgesehen von abgeschlagenen Kanten, relativ wenige Beschädigungen auf.

**Kat. A 9** **Taf. 31, 6**
Inv. E-TR 13
Säule
AO: Freiluftdepot Artemision, südöstlich des Tempels
FO: Oberfläche, Bereich *ima cavea* (s. Taf. 25)
Material: Marmor
Maße: L 119, oberer Dm 37 cm, unterer Dm 40 cm
Bearbeitung: Die Säule hat eine mit Zahneisen geglättete Oberfläche, Ober- und Unterlager sind fein zugespitzt. Das Oberlager weist eine Ausnehmung mit den Maßen 23,5 × 17,5 × 8,5 cm auf. In der vertikalen Fläche der Ausnehmung befindet sich ein 4,7 × 5,8 cm großes Dübelloch. Unterhalb verläuft über die gesamte Länge der Säule eine 1,3 cm breite und 1,7 cm tiefe Nut, die von der Ausnehmung abgesetzt ist.
Erh.: Die Kanten des Ober- und Unterlagers sind verbrochen.

**Kat. A 10** **Taf. 38, 1–3**
Inv. E-TR 11
Architravfragment Marienkirche
AO: GHD
FO: Oberfläche, Bereich Orchestra (s. Taf. 25)
Material: Marmor
Maße: 69 × 58 cm, abgeschrägte Kante 10 cm
Bearbeitung: Aufgrund zweier beinahe identischer Blöcke konnte dieses Fragment als Teil des Architravs der Marienkirche identifiziert werden[299]. Die Unterseite ist mit einem rechteckigen Mittelfeld und einer eingeschriebenen, mehrbändig gefassten Raute dekoriert, die an den Enden der Längsachse je zwei Kreise formt. Das Füllmotiv der Raute besteht aus einem zentralen Kreis, der mit zwei seitlichen, etwas kleineren verbunden ist. Im mittleren Kreis ist eine sechsblättrige Rosette mit spitz zulaufenden Blütenblättern dargestellt. Der erhaltene seitliche Kreis ist mit einer kleineren sechsblättrigen Rosette gefüllt. Zwei der vier erhaltenen seitlichen Kreise sind mit Schaufelraddekor sowie einer achtblättrigen Rosette geschmückt, aus ihnen entspringen Palmetten, welche die Zwickel ausfüllen. Auf der schrägen Frontseite sind abwechselnd große und kleine, miteinander verknotete Kreise angebracht, die mit sechsblättrigen, spitz zulaufenden Blütenblättern gefüllt sind. Das Auflager ist mit schräg verlaufenden parallelen Linien grob abgearbeitet. Unterhalb des rechteckigen Mittelfelds findet sich einseitig der Rest einer Inschrift (**Kat. I 4**, Kap. VII.4.2), die ursprünglich Teil einer älteren Grabinschrift war. Bei den entsprechenden Architravblöcken der Marienkirche wurde von A. Degaspari bereits festgestellt, dass größtenteils Spolien verwendet worden waren, die aufgrund der z. T. noch sichtbaren Girlanden als Teile älterer Sarkophage interpretiert werden können[300]. Die Grabinschrift deutet darauf hin, dass auch dieser Block ursprünglich Teil eines Sarkophags war, der als Spolie sekundär in der Marienkirche verbaut wurde.

[299] Vgl. Degasperi 2013, 90–91. Taf 40. 45 Kat. 131. 139 Mk f.
[300] Vgl. Degaspari 2013, 58.

Die zunächst naheliegende Erwägung einer Anpassung an das fragmentarisch erhaltene Architravfragment mit Kat. 139 Mk f ist aufgrund der eindeutigen Ausrichtung der Blöcke anhand der abgeschrägten, dekorierten Frontseiten auszuschließen. In beiden Fällen handelt es sich um den rechten Teil eines Architravblocks, weshalb zu den bisher 11 bekannten Architraven der mittelbyzantinischen Templonanlage im Presbyterion der Marienkirche ein weiterer hinzuzufügen ist, wodurch zwei zusätzliche Interkolumnien rekonstruiert werden können[301]. Auch die Rückseiten weisen eine unterschiedliche Bearbeitung auf, die jedoch auch als Folge einer sekundären Abarbeitung ihre Erklärung finden könnte.
Dat.: 10.–11. Jh. n. Chr.

## V.4.3 ARCHITEKTURGLIEDER UND BAUORNAMENTIK AUS GRABUNGSBEFUNDEN AM GEBÄUDE

**Kat. A 11** **Taf. 33**
Inv. E-TR 33
Kalksteinblock des umlaufenden Gurtgesimses
Material: Kalkstein
Maße: L 154 cm, T 129 cm, H 35 cm
FO: Westfassade, eingebettet in SE 400, z. T. vor Grabungsbeginn oberflächig sichtbar (s. Taf. 25).
AO: vor der Westfassade am Gebäude
Bearbeitung: Die ansichtige Fläche des Blocks (154 × 35 cm) ist grob zugespitzt. Auf dem Auflager befindet sich ein 14 × 12 × 5 cm großes Wolfsloch (Taf. 20, 1).
Erh.: An Architekturgliedern sind an der Westfassade 10 großformatige Kalksteinblöcke in ihrer ursprünglichen Versatzposition erhalten, die ein umlaufendes Gurtgesims bilden und die horizontale Trennung des Unter- und Obergeschosses vornehmen. 21 weitere Kalksteinblöcke dieses umlaufenden Gurtbandes wurden entlang der West- und Nordfassade an der Oberfläche oder in den obersten Grabungsschichten in Versturzlage gefunden (s. Kap. III.7.1.2; V.4.1)[302]. Alle Blöcke haben nur eine einheitliche Höhe von grob 27–43 cm. Die Breiten (90–132 cm) und Tiefen (70–101 cm) variieren zwischen 30 und 40 cm. Möglicherweise wurden die Höhenunterschiede der ansichtigen Flächen mit Verputz und Mörtel ausgeglichen. Exemplarisch wird hier einer dieser Kalksteinblöcke vorgelegt, dessen Maße im Vergleich mit den anderen Blöcken außergewöhnlich groß sind. Der Kalksteinblock E-TR 33 ist nicht zur Gänze erhalten, der hintere Abschluss ist zur Gänze verbrochen.

**Kat. A 12** **Taf. 34**
Inv. E-TR 82
Gebälkblock, Kranzgesims
AO: Sondage 2/2011, *in situ*
FO: Sondage 2/2011, Oberkante SE 1034, Bühne (s. Taf. 25)
Material: Marmor
Maße: L 88 cm, B 78,5 cm (nicht zur Gänze sichtbar), H 49 cm
Bearbeitung: Der Gebälkblock ist wahrscheinlich Teil des Kranzgesimses des Bühnengebäudes und hat an seiner ansichtigen Vorderseite keine Ornamentik, die eine genauere Datierung zulassen würde. Die 3–6 cm messenden flachen Profilierungen geben dem Block ein schlichtes Aussehen. Die Oberflächen der Vorderseite sind großteils mit dem Zahneisen bearbeitet. Die Ränder der flachen Profilierungen weisen z. T. einen 2 cm breiten Streifen auf, der mit dem Flacheisen zugerichtet ist. Die Oberseite verfügt über ein Wolfsloch (T = 7 cm), zwei Stemmlöcher (T = 2 cm) und ein Klammerloch (T = 4 cm). Ein 28 cm breiter Streifen an der Vorderkante des Oberlagers ist im Vergleich mit der übrigen, gespitzten Oberfläche etwas sorgfältiger mit dem Zahneisen geglättet und mit einer geradlinigen Kante eindeutig abgegrenzt. Im hintersten sichtbaren Bereich des erwähnten Streifens setzt eine Erhöhung um 1 cm ein, die eine noch feinere Glättung aufweist.
Erh.: Die Vorderseite des Blocks zeigt grobe Meißelspuren, die auf eine systematische Zerstörung deuten. Der Block ist mit seiner Schmalseite auf der Bühnenoberseite platziert, die zu diesem Zeitpunkt bereits keine Bodenplatten mehr hatte, weshalb das Kranzgesims direkt auf dem *opus caementicium* der Bühne aufliegt. Die Schichten, die **Kat. A 12** sowie die Bühne selbst bedecken (SE 1029 = 1033. 1032. 1031), datieren in das 6./7. Jh. n. Chr., die darunterliegenden Schichten in das 5./6. Jh. n. Chr. (SE 1035. 1038. 1039. 1040. 1041). Der systematische Abbau der Marmorausstattung kann daher in etwa in das 6. Jh. n. Chr. datiert werden.

**Kat. A 13** **Taf. 31, 4–5**
Inv. E-TR 73
Korinthisches Kapitell
AO: Freiluftdepot Artemision, südöstlich des Tempels
FO: Sondage 4/2010, aus Bruchsteinmauer SE 602 (undatiert, da kein zugehöriges Nutzungsniveau erhalten) zwischen Kammer 8 und 9 (s. Taf. 25).
Material: Marmor
Maße: oberer Dm 47 cm, unterer Dm 27 cm, H 35 cm
Bearbeitung: Für eine sekundäre Nutzung wurde das Kapitell mittig durchbohrt (Dm 17,6 cm). An seinem oberen Ende verbreitert sich die mittige Ausnehmung auf 23,25 cm. Im unteren Bereich wurde das Kapitell auf einen kreisförmigen Steg verjüngt. Zwei weitere Kapitelle (**Kat. A 4**. **A 5**) mit entsprechenden Umarbeitungen lassen auf dieselbe sekundäre Nutzung schließen. Die Formen der Abarbeitung und der Durchmesser der mittigen Bohrung legen eine Verwendung als Bestandteil einer steinernen Druckrohrleitung nahe. Eine mittige Bohrung mit vergleichbarem Durchmesser hat auch ein weiteres Säulenfragment (**Kat. A 14**) (vgl. Anm. 298).

[301] Vgl. Degasperi 2013, 53–62.

[302] Die Blöcke wurden im Jahr 2010 in das umzäunte Freilichtdepot nordöstlich des Artemistempels verbracht. Der sichtbare Bereich des Odeions hatte zu diesem Zeitpunkt noch keine Einzäunung, welche erst im Oktober 2011 errichtet wurde.

Erh.: Das Kapitell wurde in seiner sekundären Nutzungsphase umgearbeitet, wodurch die ursprüngliche Gestaltung teilweise nicht mehr erhalten ist. Von allen Kranz- und Hochblättern sind die Blattspitzen verbrochen. Caulis samt Hüllkelch und einzelne Helices sind gut erkennbar, jedoch ebenso stark zerstört.
Dat.: 2.–3. Jh. n. Chr.

**Kat. A 14** **Taf. 31, 1–3**
Inv. E-TR 23
Säulenfragment mit Bohrung
AO: GHD
FO: Oberflächenreinigung Südostecke (s. Taf. 25)
Material: Marmor
Maße: D 44 cm, H 33 cm
Bearbeitung: Die Säule war in ihrer ursprünglichen Gestaltung an ihrer Oberfläche geglättet. Für eine sekundäre Nutzung wurde das Säulenfragment durchbohrt (Dm 15 cm). Im oberen Bereich erweitert sich die Bohrung auf 24 cm. Drei weitere Kapitelle (**Kat. A 4**. **A 5**. **A 13**) mit entsprechenden Umarbeitungen lassen auf dieselbe sekundäre Nutzung schließen. Die Formen der Abarbeitung und der Durchmesser der mittigen Bohrung legen eine Verwendung als steinerne Druckrohrleitung nahe. (vgl. Anm. 298).
Erh.: Das Säulenfragment hat auf allen Seiten Bruchflächen. Der ursprüngliche Durchmesser wie auch die Oberflächengestaltung sind jedoch rekonstruierbar. Durch die sekundäre Nutzung wurde das Fragment stark verändert.

**Kat. A 15** **Taf. 35, 1–2**
Inv. E-TR 28
Palmettenfries
AO: GHD
FO: Reinigung Südfassade (s. Taf. 25)
Material: Marmor
Maße L 28 cm, B 15 cm, T 22 cm
Bearbeitung: Der Palmettenfries weist z. T. Bohrungen auf. Der darunterliegende Eierstab ist tief eingeschnitten, wodurch sich ein starker Kontrast ergibt. Bei diesem Fragment handelt es sich möglicherweise um ein Kopfprofil eines Architravs, dessen Astragal unterhalb des Eierstabes nicht mehr erhalten ist. Das Auflager hat eine 4 cm tiefe, geglättete Fläche mit einer Reihe von Stemmlöchern. Die dahinterliegende Fläche liegt um wenige Millimeter tiefer und ist grob zugespitzt.
Erh.: Die Kanten des gesamten Blocks sind bestoßen. Abgesehen von der ansichtigen Fläche und dem Auflager sind die Seitenflächen und das Unterlager verbrochen.
Dat.: 1. Jh. n. Chr.

**Kat. A 16** **Taf. 35, 3–6**
Inv. E-TR 51
Eierstabfragment
AO: GHD
FO: Sondage 2/2010, Abschnitt 1, SE 400 (s. Taf. 25)
Material: Marmor
Maße: L 21 cm, H 20 cm, T 24 cm
Bearbeitung: Die ansichtige Fläche des Eierstabs und des Astragals sind fein geglättet und poliert. Rote Farbreste sind als Hintergrundfarbe des Astragals erhalten. Die rechte seitliche Stoßfläche zeigt eine Oberflächenbearbeitung mit dem Zahneisen. Aufgrund der Proportionen ist das Fragment eventuell zum spätklassischen Artemision gehörig.
Erh.: Die originalen Oberflächen sind nur auf der linken Seite des Fragments erhalten, die rechte Seite ist stark verbrochen.
Dat.: spätklassisch

**Kat. A 17** **Taf. 36, 1**
Inv. E-TR 76
Bauornamentikfragment
AO: Steindepot Kammer 6 im Gebäude
FO: Sondage 2/2011, als Spolie in der mittelalterlichen Mauer SE 1004 verbaut (s. Taf. 25)
Material: Marmor
Maße: L 17,8 cm, H 21 cm, T 24 cm
Bearbeitung: Das erhaltene Fragment zeigt die Spitzen eines Akanthusblattes, die sich im oberen Bereich an eine Hohlkehle anpassen. Die Blattfinger sind sorgfältig geglättet und tief eingeschnitten. Die sorgfältig umgeschlagene Öse deutet in das 1. Jh. n. Chr.
Erh.: Die Originaloberfläche ist nur auf der Vorderseite erhalten. Alle übrigen Seiten sind verbrochen.
Dat.: 1. Jh. n. Chr.

**Kat. A 18** **Taf. 36, 2**
Inv. E-TR 67
Fragment eines Eckpilasterkapitells
AO: GHD
FO: Sondage 4/2010, östliche Erweiterung, SE 618 (s. Taf. 25)
Material: Marmor
Maße: L 15 cm, B 14 cm, H 15 cm
Bearbeitung: Die Ansprache als Fragment eines Pilasterkapitells erfolgt aufgrund der Tatsache, dass die Kranzblätter des Akanthus aus einer gerade gearbeiteten Kante entspringen und über Eck geführt sind. Die erhaltenen Finger sind tief hinterschnitten, in der Ausführung allerdings von einem zweiten Eckpilasterkapitell (**Kat. A 19**) zu unterscheiden. Auf dem Auflager ist ein einseitiger Randschlag erhalten.
Dat.: 1. Hälfte 2. Jh. n. Chr.

**Kat. A 19** **Taf. 36, 3**
Inv. E-TR 90
Fragment eines Eckpilasterkapitells (?)
AO: GHD
FO: Sondage 1/2011, SE 911 (s. Taf. 25)
Material: Marmor
Maße: L 18 cm, H 14,5 cm, T 10 cm
Bearbeitung: Die erhaltenen Finger des Akanthusblattes sind sehr tief eingeschnitten und haben scharfkantige Blattspitzen. Die Oberfläche ist mit dem Flacheisen sorgfältig geglättet. Falls das Bauornamentikfragment zu dem Gebäude gehörte, muss es aufgrund seiner Aus-

führung einer der bereits mehrfach vermuteten späteren Ausstattungsphasen zugerechnet werden. Die Ansprache als Fragment eines Pilasterkapitells erfolgt aufgrund der Tatsache, dass die Kranzblätter des Akanthus aus einer gerade gearbeiteten Kante entspringen und über Eck geführt sind. Eine kleine Fläche des Unterlagers ist erhalten und zeigt eine sorgfältige Glättung.
Erh.: Das relativ kleine Fragment ist stark verbrochen.
Dat.: Ende 1./Anfang 2. Jh. n. Chr.

Die Katalognummern **A 20**–**A 25** scheinen nach Ausführung und Material zusammengehörig zu sein. Aufgrund der Anzahl an stilistisch vergleichbaren Fragmenten, die zur Gänze aus dem Gebäudeinneren aus dem Bereich unmittelbar vor dem Bühnengebäude stammen, ist eine Zughörigkeit zur *scaenae frons* anzunehmen. Ist dies tatsächlich der Fall, sind diese Fragmente wohl der zweiten Ausstattungsphase in der zweiten Hälfte des 2. Jahrhunderts n. Chr. zuzurechnen.

**Kat. A 20** **Taf. 36, 4**
Inv. E-TR 68
Eierstabfragment
AO: GHD
FO: Sondage 4/2010, östliche Erweiterung, SE 619 (s. Taf. 25)
Material: Marmor
Maße: L 15 cm, B 15 cm, H 3,8 cm
Bearbeitung und Erh.: Die Eier wie auch der darunter ansetzende Astragal sind tief hinterschnitten. Die wuchtigen Formen sind mit den Fragmenten **Kat. A 19** und **A 25** zu vergleichen, die allerdings im Gegensatz zu **A 20** aus dem Cavea-Bereich (Sondage 1/2011 und 2/2011) geborgen wurden. Gehört das Bauornamentikfragment tatsächlich zur Gebäudeausstattung, kann es wohl einer Ausstattungsphase im 2. Jh. n. Chr. zugerechnet werden.
Dat.: 2. Hälfte 2. Jh. n. Chr.

**Kat. A 21**–**A 25** wurden aus derselben Schicht geborgen, die in das 6./7. Jh. n. Chr. datiert und daher die Annahme nahelegt, dass die Fragmente zur Bühnenfront gehörten und zu dieser Zeit systematisch abgebaut wurden.

**Kat. A 21** **Taf. 36, 5**
Inv. E-TR 81
Türkonsolenfragment
AO: GHD
FO: Sondage 2/2011, SE 1031 (s. Taf. 25)
Material: Marmor
Maße: B 20 cm, H 30 cm, T 14 cm
Bearbeitung: Das Fragment ist wahrscheinlich als Teil einer Türkonsole anzusprechen, könnte aber eventuell auch das Fragment einer Eckvolute eines Kompositkapitells oder einer S-Volutenplatte sein. Die wuchtigen Formen sind mit den Fragmenten **Kat. A 19**–**A 25** zu vergleichen.
Erh.: Es ist nur noch eine Hälfte der Volute mit dem Ansatz einer Zwickelpalmette erhalten. Die Volutenstege sind verbrochen.
Dat.: 2. Hälfte 2. Jh. n. Chr.

**Kat. A 22** **Taf. 36, 6**
Inv. E-TR 79
Anthemionfragment
AO: GHD
FO: Sondage 2/2011, SE 1031 (Taf. 25)
Material: Marmor
Maße: L 20 cm, H 15 cm, T 8 cm
Bearbeitung: Die erhaltenen Ansätze der Palmettenfinger des Anthemionfragments sind sehr tief eingeschnitten. Die Oberfläche ist sorgfältig geglättet.
Erh.: Das Fragment ist stark beschädigt. Die ansichtigen Oberflächen sind nur zu einem kleinen Teil erhalten. Ein Anthemionfragment, das starke Ähnlichkeit mit **Kat. A 22** aufweist, ist in der Siğla Türbesi in Selçuk verbaut[303].
Dat.: 2. Hälfte 2. Jh. n. Chr.

**Kat. A 23** **Taf. 36, 7**
Inv. E-TR 103
Anthemionfragment
AO: GHD
FO: Sondage 2/2011, SE 1031 (Taf. 25)
Material: Marmor
Maße: L 16 cm, H 8,5 cm, T 8,5 cm
Bearbeitung: Das erhaltene Fragment ist mit **Kat. A 22** zu vergleichen. Die erhaltenen Ansätze der Palmettenfinger des Anthemionfragments sind sehr tief eingeschnitten. Die Oberfläche ist sorgfältig geglättet.
Erh.: Das Marmorfragment ist stark beschädigt und war offenbar höheren Temperaturen ausgesetzt. Das Material ist an seiner Außenseite sehr brüchig und weist starke Sprünge auf. Auch Rußschwärzungen sind an dem Fragment festzustellen.
Dat.: 2. Hälfte 2. Jh. n. Chr.

**Kat. A 24** **Taf. 37, 1**
Inv. E-TR 104
Anthemioneckfragment
AO: GHD
FO: Sondage 2/2011, SE 1031 (Taf. 25)
Material: Marmor
Maße: B 10,5 cm, H 8,5 cm, T 11 cm
Bearbeitung: Die erhaltenen Ansätze der Palmettenfinger sind wie bei **Kat. A 20** und **A 21** tief eingeschnitten. Die Oberflächen sind sorgfältig geglättet.

[303] Bellibaş u. a. 2013, 280. 302 Abb. 6.

Erh.: Nur die Ansätze jeweils dreier Palmettenfinger auf jeder Seite sind erhalten. Die restlichen Seiten sind Bruchflächen.
Dat.: 2. Hälfte 2. Jh. n. Chr.

**Kat. A 25** **Taf. 37, 2**
Inv. E-TR 106
Ranken- oder Palmettenfragment mit Caulis
AO: GHD
FO: Sondage 2/2011, SE 1031 (Taf. 25)
Material: Marmor
Maße: B 24 cm, H 15 cm, T 17 cm
Bearbeitung: Das Fragment zeigt wuchtige, tief hinterschnittene Palmetten oder Rankenfinger, aus denen ein Caulis entspringt. Material und Ausführung entsprechen den Fragmenten **A 19**–**A 25**.
Erh.: Das Fragment ist stark verbrochen. Die sorgfältig geglättete Originaloberfläche ist nur an dem tief liegenden Reliefhintergrund erhalten. Hinweise darauf, dass das Fragment hohen Temperaturen ausgesetzt war, geben Brandspuren sowie die teilweise brüchige Oberfläche.
Dat.: 2. Hälfte 2. Jh. n. Chr.

**Kat. A 26–33** **Taf. 37, 3–6**
Inv. E-TR 56–62. E-TR 89
Exemplarische Zusammenstellung diverser Kopf- und Fußprofile
AO: Steindepot Kammer 6 im Gebäude
FO: Feldarbeiten 2009–2011
Material: Marmor
Maße: L 5–8 cm, B 5–15 cm, H 5–10 cm
Bearbeitung: Die reiche Auswahl an vorhandenen Kopf- und Fußprofilen belegt eine großzügige Marmorausstattung des Gebäudes, auch wenn bis auf die Bühnenfront keinerlei Marmorverkleidung *in situ* freigelegt werden konnte. Die Profilleisten haben eine sorgfältig geglättete Oberfläche. Die Rückseiten der Kopfprofile weisen einen abgesetzten Streifen an ihrer oberen Kante auf.
Erh.: Einige Kanten der Leistenfragmente sind bestoßen, das Profil ist aber durchwegs sehr gut erhalten. Die Fragmente messen in der Breite meist nur 5–15 cm.

**Kat. A 34** **Taf. 38, 4–5**
Inv. E-TR 49
Ornamentiertes Fragment
AO: GHD
FO: Sondage 1/2010, SE 224 (s. Taf. 25)
Material: Marmor
Maße: L 21 cm, B 11 cm, H 13 cm
Bearbeitung und Erh.: Das Fragment entspricht dem Architravfragment aus der Marienkirche (**Kat. A 10**) in Dekor und Ausführung. Das Fragment könnte Teil des zentralen Kreismotivs mit anschließenden kleineren Kreisen sein. Auch die schräg verlaufenden parallelen Meißelspuren auf der Rückseite finden im weiter oben genannten Architravblock ihre Entsprechung. Alle Seitenflächen des Fragments sind verbrochen.

**Kat. A 35** **Taf. 39, 1**
Inv. E-TR 44
Ornamentiertes Fragment
AO: GHD
FO: Reinigung der Nordfassade, im Bereich vor Kammer 6 (s. Taf. 25)
Material: Marmor
Maße: L 22 cm, B 15 cm, H 13 cm
Bearbeitung und Erh.: Das Fragment kann aufgrund seiner Gestaltung wahrscheinlich mit den Stücken **Kat. A 10** und **A 34** in Zusammenhang gebracht werden. Das gefüllte Kreismotiv findet sich beispielsweise auf der ansichtigen schmalen Längsseite des Architravblocks der Marienkirche. Aufgrund einer abgesetzten Kante im unteren Bereich kommt allerdings eher eine Verwendung als Pfeilerkopf oder dergleichen infrage. Abgesehen vom geglätteten Auflager und einer Schmalseite sind alle übrigen Flächen des Fragments verbrochen.

**Kat. A 36** **Taf. 39, 2–4**
Inv. E-TR 21
Pfeilerfragment
AO: GHD
FO: Reinigung Nordfassade (s. Taf. 25)
Material: Marmor
Maße: L 13 cm, B 13 cm, T 13 cm
Bearbeitung: Die Vorderseite des Fragments ist mit einem senkrechten Band gestaltet, das mit vierblättrigen, spitz zulaufenden Blattmotiven dekoriert ist, welche durch kleine Kreise voneinander abgesetzt sind. Die Rückseite ist mit fünffachem Rundstabdekor versehen, von dem vier erhalten sind. Die Seitenflächen sind mit Zahneisen geglättet.
Erh.: Das Pfeilerfragment ist nur 13 cm hoch erhalten und weist an Ober- und Unterseite Bruchflächen auf.

**Kat. A 37** **Taf. 39, 5–8**
Inv. E-TR 37
Pilasterkapitell
AO: GHD
FO: Reinigung Kammer 1 (s. Taf. 25)
Material: Marmor
Maße: L 27 cm, H 17,5 cm, T 14 cm
Bearbeitung: Die Profilierung der Seitenflächen ist sorgfältig geglättet und poliert. Da auch das Auflager eine geglättete Oberfläche hat, ist dieses Pilasterkapitell womöglich als Bestandteil einer Brüstung oder Schrankenkonstruktion anzusprechen. Das Unterlager weist eine ovale Vertiefung, die als Auflagerfläche der darunterliegenden Säule dient, auf. Möglicherweise war diese sekundär umgearbeitet worden, da nur eine Hälfte der ovalen Vertiefung vorhanden ist, obwohl der Ansatz eines Kapitellblattes auf der Vorderseite erhalten ist. Die Rückseite hat eine grob zugespitzte Oberfläche, die mit dem Auflager korrespondiert, weshalb diese womöglich ebenfalls sekundär überarbeitet wurde.
Erh.: Die stark beschädigte Vorderseite zeigt nur noch den Ansatz eines Kapitellblattes sowie die groben Umrisse der Voluten.

**Kat. A 38** **Taf. 40, 1–3**
Inv. E-TR 69
Marmorblock
AO: Freiluftdepot Artemision, südöstlich des Tempels
FO: Sondage 3/2010, als Spolie in einer mittelalterlichen Mauer verbaut (SE 531), die auf die westliche Treppenwange in Kammer 8 gesetzt wurde (Taf. 25)
Material: Marmor
Maße: L 109 cm, B 50 cm, H 31 cm
Bearbeitung: Der Block ist an zwei Seiten mit Zahneisen geglättet. Die Rückseite und eine der Längsseiten sind mit einem Spitzeisen grob gepickt. Die beiden Schmalseiten sind verbrochen. Der Block hat keinerlei Klammer- oder Dübellöcher.
Erh.: Bis auf die verbrochenen Schmalseiten ist der Block in gutem Zustand erhalten.

**Kat. A 39** **Taf. 40, 4–6**
Inv. E-TR 70
Marmorblock
AO: Freiluftdepot Artemision, südöstlich des Tempels
FO: Sondage 3/2010, als Spolie in einer mittelalterlichen Mauer verbaut (SE 534), die direkt auf die einzige erhaltene Stufe der Treppe in Kammer 8 gesetzt wurde (Taf. 25)
Material: Marmor
Maße: L 68 cm, B 37 cm, H 29–31 cm
Bearbeitung und Erh.: Der Block ist an seiner schmalen Längsseite sorgfältig mit Zahneisen bearbeitet und geglättet. Eine Breitseite ist in der einen Hälfte grob gepickt und in der anderen Hälfte mit Zahneisen feiner bearbeitet. Die übrigen Flächen sind verbrochen. Der Block hat keinerlei Klammer- oder Dübellöcher.

**Kat. A 40** **Taf. 41, 1–3**
Inv. E-TR 71
Wangenstein (?)
AO: Freiluftdepot Artemision, südöstlich des Tempels
FO: Sondage 3/2010, als Spolie in einer mittelalterlichen Mauer verbaut (SE 534), die direkt auf die einzige erhaltene Stufe der Treppe in Kammer 8 gesetzt wurde (Taf. 25)
Material: Marmor
Maße: L 118 cm, B 56 cm, H 17 cm.
Bearbeitung und Erh.: Die Oberfläche dieses Blocks ist an seiner länglichen Schmalseite fein geglättet und zeigt eine Ritzmarke in Form eines griechischen Alphas, wodurch die Aufstellungsposition des Blocks ablesbar ist. Der plattenartige Block hat eine geschwungene Ausnehmung an einer seiner Ecken. Im Zuge einer späteren Umarbeitung scheinen große Flächen überarbeitet worden zu sein. Der Block zeigt keine sichtbaren Klammer- oder Dübellöcher. Aufgrund der Aufstellung auf seiner länglichen Schmalseite sowie der geschwungenen Ausnehmung könnte es sich ursprünglich um einen Wangenstein der Treppe in Kammer 8 gehandelt haben, wofür auch der Fundort spräche.

**Kat. A 41** **Taf. 41, 4–5**
Inv. E-TR 72 = 102
Marmorplatte
AO: Freiluftdepot Artemision, südöstlich des Tempels
FO: Sondage 3/2010, direkt nördlich der einzig erhaltenen Stufe der Treppe in Kammer 8 (Taf. 25)
Material: Marmor
Maße: L 136 cm, B 40 cm, H 28 cm
Bearbeitung und Erh.: Die Platte ist sekundär abgearbeitet. An keiner Seite ist die originale Oberfläche erhalten.

**Kat. A 42** **Taf. 41, 6– 7**
Inv. E-TR 74
Marmorblock
AO: *in situ* Sondage 4/2011
FO: Sondage 4/2011, UK SE 826, OK SE 827/829/848 (Taf. 25)
Material: Marmor
Maße: L 81 cm, B 89 cm, H 49 cm
Bearbeitung: Die erhaltenen Stoß- und Seitenflächen sind grob zugespitzt. Das Auflager zeigt großteils die Bearbeitungsspuren eines Spitzmeißels, die jedoch etwas sorgfältiger gearbeitet sind als jene an den Seitenflächen. Entlang zweier Vorderkanten des Auflagers sind die Oberflächen im rechten Winkel zueinander feiner gearbeitet. Der Übergang verläuft fließend und ist nicht an einer Linie festzumachen. Das Auflager hat ein Wolfsloch (13 × 4 × 9 cm), ein Dübelloch (8 × 10 cm) mit Resten eines Eisendübels in Bleiverguss sowie ein Klammerloch (T 5 cm). Die Beschaffenheit des Unterlagers ist unklar, weil die Fundlage des Blocks nicht verändert wurde.
Erh.: Der Block ist an zwei seiner vier Seitenflächen komplett verbrochen, weshalb die ursprünglichen Maße offenbleiben müssen. Die Kanten der übrigen Flächen sind ebenso allesamt bestoßen. Die Fundsituation lässt keinen Schluss auf die ursprüngliche Versatzposition des Blocks zu. Es ist jedoch mit einiger Sicherheit davon auszugehen, dass der Block am Odeion im Artemision verbaut war.

*Lilli Zabrana*

# V.5 SKULPTURENFUNDE

## V.5.1 SKULPTUREN: AUSWERTUNG UND ANALYSE

### V.5.1.1 Zur Skulpturenausstattung der scaenae frons

Aus der Sondage 2/2011, die vor der Bühne angelegt wurde und die Bühne auch schneidet (vgl. Plan 1–4), stammt eine Reihe von Skulpturenfragmenten aus Importmarmor, die wohl der Ausstattung der *scaenae frons* zugerechnet werden können[304]. Hier sind in erster Linie die Fragmente einer überlebensgroßen Porträtstatue, eines Himationträgers, aus aphrodisischem Marmor zu nennen (**S 1**–**5** Taf. 42, 1–8), bei der es sich um das Standbild eines Stifters handeln könnte. Das größte Fragment stammt von der Oberkante der Schicht SE 1038, die ihrem keramischen Fundmaterial nach in das 5./6. Jahrhundert n. Chr. datiert werden kann (vgl. Abb. 20)[305]. Dieses Bruchstück **S 1** (Taf. 42, 1. 2) umfasst den rechten Oberarm mit dem Ellbogen, den Großteil der rechten Brust und den entsprechenden Teil des Rückens. Der Oberarm war angelegt, der Ansatz des Unterarms leicht angehoben. Der Unterarm war offenbar angesetzt (in der Bruchfläche der Armbeuge sitzt der Rest eines Eisenstifts). Breite Falten des Chitons mit feinen Kanten ziehen schräg über den Oberarm und senkrecht sowie (an der rechten Bruchkante) schräg über die Brust. An der Schnittstelle zwischen der Innenseite der Armbeuge und der rechten Flanke läuft der Chiton in einem kleinen, horizontalen Fältchen aus[306]. Darunter setzt eine breite horizontale Faltenbahn des Mantelbausches an, welche oberhalb von einer schmäleren horizontalen Falte begleitet wird. Der Mantelbausch zieht sich in seinem weiteren Verlauf schräg über den Rücken hoch zur linken Schulter. Der Rücken und die Rückseite des Oberarms sind von flacheren, schematischer ausgeführten schrägen Falten überzogen; unterhalb des Nackens bilden sich bogenförmige Falten. Die Oberfläche des Fragments ist an der Vorderseite geglättet, an der Rückseite rauer belassen. Eine ähnlich großzügige Aufteilung der breiten Chitonfalten vor der rechten Brust findet sich an der später als ›Demos‹ wiederverwendeten Himationstatue vom Bouleuterion in Aphrodisias aus dem späteren 2. Jahrhundert n Chr.[307]. Der Gewandstil mit den feinen Faltenkanten an der Vorderseite tritt an aphrodisischen Statuen der Mitte und des späteren 2. Jahrhunderts n. Chr. auf[308]. Damit gehört die ephesische Statue zur Ausstattung der zweiten Phase des Odeions[309].

Zu diesem großen Fragment gehören aufgrund von Material, Format und Ausführung (Bildhauerarbeit, Glättung der Oberfläche) vier weitere kleinere Fragmente: das Fußfragment **S 2**, das Handfragment **S 3** (vgl. dazu weiter unten), das Gewandfragment **S 4** und das Fragment **S 5**. Drei dieser Fragmente (**S 2**. **S 4**. **S 5**) stammen aus der Zerstörungsschicht SE 1040 direkt über dem *opus sectile*-Paviment der Orchestra (vgl. Abb. 20. 21)[310], die nach Auswertung des keramischen Fundmaterials in das 5./6. Jahrhundert n. Chr. datiert werden kann. Fragment **S 3** stammt aus Schicht SE 1031, welche sich im Laufe des 6./7. Jahrhunderts n. Chr. formiert hat. Es bleibt festzuhalten, dass die zusammengehörigen Fragmente zwar aus demselben Bereich, aber aus unterschiedlichen Schichten geborgen wurden.

Das Fragment eines überlebensgroßen, wohl rechten Fußes, **S 2** (Taf. 42, 3–5)[311], trägt eine zur Tracht des Himations passende Sandale. Es umfasst den untersten Teil des Unterschenkels, einen Teil der Ferse und der Innenseite des Fußes sowie einen kleinen Rest vom Ansatz des Ristes. An

---

304 Zu den Marmoranalysen s. W. Prochaska in Kap. V.5.2.

305 Vgl. hier Kap. VI.5.

306 Vgl. die Falten des Chitonärmels an den aphrodisischen Himationstatuen: Smith u. a. 2006, 162–166 Kat. 44. 45 Taf. 34. 35–37; 179–180 Kat. 51 Taf. 46.

307 Smith u. a. 2006, 162–164 Kat. 44 Taf. 34.

308 Statuen vom Bouleuterion: Smith u. a. 2006, 162–166 Kat. 44. 45 Taf. 34–37.

309 Vgl. hier Kap. VIII.4.

310 Vgl. hier Kap. VI.5.

311 Die Außenseite des Unterschenkels ist stärker gerundet, an der Bruchkante lädt die Innenseite des Unterschenkels stärker aus. Die rauere Bearbeitung breitet sich allerdings an der Außenseite stärker aus als an der Innenseite.

diesem Rest haben sich der obere Rand des Sandalenleders sowie der Knoten der Schnürung der Sandale mit einem herabhängenden Band erhalten. Unter diesem Band setzt eine nach vorn gerichtete Lederkante an, die wohl Teil der *lingula* ist. Auch an der Ferse und an der Innenseite des Fußes wird der obere Rand des Leders sichtbar; die Sandale bedeckte also jedenfalls die Ferse zur Gänze. Der auf der *lingula* liegende Knoten der Schnürung und die vom Seitenleder ausgesparten Fußknöchel weisen diese Sandale als Vertreter des Sandalentypus 3 aus; diese Sandalentypen wurden anlässlich der Publikation der aphrodisischen Himationstatuen zusammengestellt[312].

Auch bei dem Fragment einer Hand, **S 3** (Taf. 42, 6), an dem sich die Reste von vier Fingern erhalten haben, ist die Marmorprovenienz Aphrodisias laut Walter Prochaska aufgrund der vorliegenden Analysen am wahrscheinlichsten; das Fragment wird also wohl auch zu dieser Statue gehört haben. Alle Finger sind leicht abgebogen, der äußerste erhaltene Finger rechts ist im obersten Glied eingerollt, was an der Bruchlinie sichtbar ist. Ein Finger, der zweite von links, liegt tiefer als die anderen. Es handelt sich wohl um die rechte Hand: in diesem Fall wäre der mit Nagel erhaltene Finger ganz links der Zeigefinger, der stark abgebogene Finger ganz rechts wäre der kleine Finger, der Daumen fehlt. Da die Unterseite der Finger keine Bruchfläche aufweist, sondern bearbeitet ist, lag die Hand nicht am Körper auf, sondern hing wohl frei herab[313].

Material und Faltenwiedergabe des Fragments **S 4** (Taf. 42, 7) sprechen für die Zugehörigkeit zu der Porträtstatue. Das Fragment umfasst einen Gewandstreifen mit einer breiten Faltenbahn rechts, welche eine gewellte Oberfläche aufweist und an ihrem rechten erhaltenen Ende eine hochgezogene Unterkante. Unter dieser Kante und am linken Bruchrand des Fragments setzen weitere Falten an.

Außerdem gehörte zu dieser Statue ein kleines Fragment mit gewölbter, glatt polierter Oberfläche, **S 5** (Taf. 42, 8); an einer Bruchkante setzt eine weitere leicht gewölbte Fläche an, die Kante zwischen den beiden Flächen ist nicht klar abgesetzt. Unklar ist die Position dieses Fragments im Verband der Statue, jedenfalls ist es aufgrund der Politur an der Vorderseite anzuordnen. Infrage kommen Positionen im Bereich des Gewandes oder im Bereich einer frei liegenden Körperpartie (Hals mit Gewandansatz, Unterarm, Unterschenkel [?]).

Bei zwei Fragmenten aus der Zerstörungsschicht konnte als Marmor Lychnites aus Paros bestimmt werden. Es handelt sich um das Gliedmaßenfragment **S 6** (Taf. 42, 9) und ein kleines Fragment **S 7** (Taf. 43, 1), das möglicherweise einen Flügel darstellt. Letzterer ist eine qualitätvolle Arbeit. Beide Ansichten des Flügels sind gleichermaßen gut ausgearbeitet. Die gewölbte Außenkante des Flügels ist durch eine Rille geteilt; möglicherweise haben wir hier ein geschlossenes Flügelpaar vor uns. Die Innenkante ist glatt und wird an den Flügelseiten von einer sich nach oben zu verjüngenden Leiste begleitet. An der Stelle, an der sich diese Leiste verbreitert, hat sich ein Ansatzrest erhalten, der wohl zu dem Körper gehört, mit dem der Flügel verbunden war. Der Großteil der in Form von schmalen Bändern dargestellten Federn führt in einem Bogen aufwärts, nach Art der Sichelflügel; die gebogene, lineare Kontur ist nicht durchbrochen. An einer der beiden Flügelseiten haben sich am unteren Bruchrand Reste von schmalen, abwärts gerichteten Federn erhalten. Sichelflügel haben eine lange Tradition in der Darstellung geflügelter Wesen und sind charakteristisch für theriomorphe Mischwesen wie Sirenen, Sphingen, Greifen etc.[314]. Angesichts des fragmentarischen Zustands des Objekts lässt sich nicht mehr eruieren, zu welcher Figur dieses Flügelpaar gehörte und welche Funktion dieses Flügelwesen hatte (Attribut einer Gottheit, Teil eines Akroters [?]). Deswegen wird hier auch von einem Datierungsversuch

[312] Smith u. a. 2006, 153–154 Typus 3 mit Abb. 2 (C. Hallett).

[313] Vgl. die aphrodisischen Statuen Smith u. a. 2006, 164–166. 179–180 Kat. 45. 51 Taf. 35. 37. 46–47.

[314] Zu den Sichelflügeln vgl. z. B. Hofstetter 1990, 38. 87. 298; Cain 1985, 33 anhand von Löwengreifen als Stützfiguren an den Basen römischer Marmorkandelaber. Sirenen: Hofstetter 1997, 1096 Nr. 28. 30. 31 mit Beispielen für Sirenen mit emporgerichteten Flügelfedern in der hellenistisch-frühkaiserzeitlichen Kleinkunst; Sphinx: z. B. Demisch 1977, 76–116 mit zahlreichen Beispielen.

abgesehen. Aufgrund der sorgfältigen Bearbeitung könnte es aber sein, dass das Fragment noch zu der Errichtungsphase des Odeions in der zweiten Hälfte des 1. Jahrhunderts n. Chr. gehörte[315].

### V.5.1.2 Skulpturen von anderen Fundorten im Bereich des Odeions

Es folgen Fragmente aus einem Schnitt über den Zuschauerraum 1/2011, aus den Sondagen im Norden und Westen der Fassade und schließlich Streufunde. So gut wie alle sind aufgrund ihrer (teilweise nicht geklärten) Funktion, ihres Fundorts oder wegen ihrer geringen Größe nicht der Ausstattung des Odeions zuzuweisen.

Die Fragmente **S 8** und **S 9** stammen aus der Sondage 1/2011, dem Nordostbereich des Zuschauerraumes sowie dem Areal nördlich davon. Das kleine Büstenfragment **S 8** (Taf. 43, 2) aus ephesischem Marmor wurde im Bereich des Zuschauerraumes gefunden. Gemäß dem Faltenverlauf könnte es sich um das Fragment einer Paludamentbüste handeln[316]. Zumindest für das römische Theater ist die Aufstellung von Porträtbüsten, wenn auch selten, bezeugt; die temporäre Aufstellung von Büsten des Kaisers und der kaiserlichen Familienmitglieder ist literarisch und inschriftlich überliefert[317]. Es ist jedoch nicht gesichert, dass die Büste aus der Sondage 1/2011 tatsächlich im Odeion aufgestellt war.

Aus dem gleichen Areal stammt mit **S 9** ein kleines Objekt aus aphrodisischem Marmor (Taf. 43, 3); es handelt sich entweder um ein Plinthenfragment mit Skulpturenrest oder den Fuß eines Säulchens. Es kann wegen seiner geringen Größe nicht zur Ausstattung des Odeions gehört haben. Gleiches gilt für ein sehr kleines Faltenbündel (**S 10**) aus der Sondage 1/2010.

Das interessanteste Denkmal aus der Sondage 1/2009 an der westlichen Fassade ist das leider sehr schlecht erhaltene, leicht konkav gewölbte Fragment des Reliefs **S 11** aus aphrodisischem Marmor, welches aus mittelalterlichem Fundkontext stammt (Taf. 43, 4). Das Fragment weist mit maximal 4 cm nur geringe Tiefe auf. Die Vorderseite ist sehr glatt poliert.

Die Darstellung führt in den militärischen Bereich. Das Relief zeigt rechts eine frontal stehende Figur in kurzem Gewand, das oberhalb der Knie endet; das linke Bein ist das Spielbein. Eine leichte Erhöhung an der Vorderseite des rechten Unterschenkels zeigt an, dass die Figur möglicherweise Stiefel trug. Links neben dem rechten Unterschenkel der Figur befindet sich ein fast vollständig zerstörter, stark vorspringender Reliefrest, möglicherweise einen Teil der militärischen Ausrüstung darstellend; originale Oberfläche ist nur an der (vom Betrachter aus) linken, gewölbten Seite erhalten. Die kurzen Bohrgänge rechts unter dem Reliefrest sind wohl (wie zwischen den Beinen der Figur rechts) direkt in den Reliefgrund gesetzt, d. h., diese Partie direkt am unteren Bruch gehörte nicht mehr zu dem stark zerstörten Reliefrest. Über diesem Reliefrest, parallel zu dem rechten Oberschenkel der Figur und direkt am Reliefgrund, erhebt sich ein schmaler, stabartiger, an seinem oberen, abgebrochenen Ende leicht nach links gebogener Reliefrest, möglicherweise der Rest einer Beinschiene. Nahe der linken Bruchkante des Reliefs befindet sich der Rest eines Tropaions, dessen bekleideter Teil leicht nach rechts gedreht ist. Die Tunika ist in Hüfthöhe gegürtet: unter der Gürtung fallen parallele, senkrechte Falten herab, darüber ziehen schräge und senkrechte Falten in Richtung Gürtung. V-förmige Falten waren offenbar um den Halsausschnitt angeordnet. Der linke Ärmel ›verschwindet‹ im Reliefgrund. Hinter dem abgebrochenen Oberteil der Tunika erhebt sich dicht am Reliefgrund der Träger des Tropaions, der ebenfalls oben abgebrochen ist. Oberhalb der linken Schulter des Tropaions ist an der linken Seite des Tropaionträgers ein bogenförmiger Ansatz zu sehen; möglicherweise der Rest eines weiteren Ausrüstungsteils. Von der (vom Betrachter aus) linken Bruchkante des Reliefs sowie

---

315 Zu dieser Phase hier Kap. VIII.3.

316 Vgl. z. B. Büsten des Commodus und des Alexander Severus, Fittschen – Zanker 1994, 81–83 Nr. 74 Taf. 87 und 123 Nr. 103 Taf. 126 sowie die Büste eines antoninischen Privatbildnisses, Fittschen – Zanker – Cain 2010, 111 Nr. 108 Taf. 134.

317 Pekáry 1985, 47; Fuchs 1987, 176. 185.

vom Nahbereich dieser Kante ausgehend, führen Gebilde, die wie zwei Füßchen oder Pfoten aussehen, in Richtung der Rückseite des Tropaions. Der untere Fuß/die untere Pfote wächst direkt aus dem Reliefgrund und ist durch Kerben gegliedert; oberhalb führt parallel dazu ein ähnliches Gebilde in Stegform auf die Rückseite des Tropaions zu, wo es abgebrochen endet.

Das Motiv der kurz geschürzten kriegerischen Figur in Stiefeln und das Tropaion erinnern an den Dekor von Brustpanzern – Tropaia sind ein gängiges Motiv auf Brustpanzern[318]. Bei der Figur im kurzen Gewand könnte es sich um Dea Roma oder Virtus in der Tunika oder um einen Kaiser im Panzer mit Pteryges handeln; beide treten auf Brustpanzern als Mittelfigur auf[319]. Zwei der Torsi von Panzerstatuen mit Dea Roma/Virtus als zentraler Figur werden in flavische Zeit datiert[320]. An zwei hadrianischen Panzerstatuen und einem Fragment wird die zentrale Figur (Dea Roma/Virtus) von Victorien bekränzt[321]. Dabei lässt sich das zentrale Motiv der von Victorien bekrönten Roma/Virtus an den zuletzt genannten Statuen von einem Bildprogramm auf Panzerstatuen Hadrians ableiten, die als Mittelfigur Athena zeigen[322]. Die unterschiedlich datierte, zuletzt von Pavlina Karanastasi auch Hadrian zugewiesene Statue aus Stobi stellt den Kaiser zwischen Victorien dar[323]. Das Relieffragment aus Ephesos zeigt jedoch ein eigenständiges Motiv, das die zentrale Figur mit militärischem (?) Attribut an ihrer rechten Seite und einem Tropaion links wiedergibt. Nimmt man an der linken Seite der Mittelfigur ein weiteres Tropaion an, so könnte man den Aufbau des Dekors mit zwei flavischen Panzerstatuen im Vatikan und in London vergleichen, die Tropaia zuseiten einer Victoria mit Füllhorn und Palmzweig wiedergeben[324].

Was die Funktion dieses leicht gewölbten, auch an der Rückseite glatten Fragments betrifft, so kommt zuerst eine Panzerbüste in den Sinn, auch wenn mir derartige Darstellungen auf Panzerbüsten nicht bekannt sind[325]. Denkbar wäre auch ein mit dem Relief dekorierter Rüstungsteil (Schild[?]) oder ein Teil eines Tropaions. Hinsichtlich der Datierung könnte die sehr glatte Politur auf die hohe Kaiserzeit verweisen[326].

Schließlich sollen zwei Streufunde aus ephesischem Marmor besprochen werden, die aufgrund ihrer Funktion nichts mit dem Odeion zu tun haben. Das schlecht erhaltene Fragment eines Totenmahlreliefs (**S 12** Taf. 43, 5) ist ein Oberflächenfund von der Reinigung der Südfassade. Erhalten hat sich der rechte Teil des an den drei Kanten von Leisten gerahmten Reliefs; die Reliefhöhe ist gering. Der Gelagerte ruht mit frontal ausgerichtetem Kopf und Oberkörper auf einer Matratze (?) auf der hohen, verhängten Kline. Er ist wohl bärtig dargestellt, das perückenartige Haupthaar ist durch schräge Kerben gegliedert. An dem stark zerstörten Gesicht sind die Details kaum noch auszunehmen. Oberkörper und Arme sind nackt. Das Himation bedeckt den Unterkörper; möglicherweise lag ein Mantelbausch über linker Schulter und linkem Oberarm. Der linke Arm ist gesenkt und stützte sich auf ein Kissen, in der erhobenen Rechten hält der Gelagerte

318 Vgl. Stemmer 1978, 155–157 und Tabelle zwischen S. 152 und 153.

319 Vgl. Stemmer 1978, 159 und Tab.

320 Torso aus Salamis: Stemmer 1978, Kat. III 7 Taf. 19, 2–4 (Dea Roma zwischen Fackelträgerinnen); Torso aus Karthago: Stemmer 1978, Kat. III 20 Taf. 24; Laube 2006, 210 Anm. 1936 (Dea Roma/Virtus zwischen Kybele und Stierführerin).

321 Statue aus Knossos: Stemmer 1978, Kat. IV 1 Taf. 27; Karanastasi 2012/2013, 333–334. 336–337. 339. 363 Kat. 14 Taf. 7, 4–6 mit weiterer Lit. (Dea Roma zwischen Victorien); Statue aus Tyros: Stemmer 1978, Kat. X 1 Taf. 74, 1; Karanastasi 2012/2013, 333. 337. 365 Kat. 21 Taf. 8, 2 mit weiterer Lit. (Victorien bekränzen Dea Roma); Fragment aus Prusias ad Hypium: Stemmer 1978, Kat. IV 15 Taf. 32, 2; Karanastasi 2012/2013, 333. 337. 364 Kat. 18 mit weiterer Lit.; vgl. auch Gergel 2004, 387–392.

322 Vgl. zuletzt Karanastasi 2012/2013, 332–334.

323 Stemmer 1978, Kat. VIII 9a Taf. 71, 1; Laube 2006, 222 Taf. 81, 3; Karanastasi 2012/2013, 333 Anm. 54; 353 Anm. 181.

324 Stemmer 1978, Kat. V 9 Taf. 37; Cadario 2004, 341–345 Taf. 43, 1–3. 6–8.

325 Zu dem Typus der Panzerbüste im 1. Jh. n. Chr. zuletzt Wolsfeld 2014, 185. 197. 201–202; zu dem Spektrum der Panzerbüsten vgl. auch z. B. Fittschen – Zanker 1994, passim.

326 Smith u. a. 2006, 32.

ein Rhyton, das die obere Leiste überschneidet; das Rhyton ist ein Heroenattribut[327]. Über der unteren Leiste, neben der Bruchkante links, erhebt sich ein gebogener Reliefrest eines Beiwerks. Im Vergleich mit den bereits veröffentlichten ephesischen Totenmahlreliefs ist dieses Fragment von bescheidener Qualität, wie die unorganische Wiedergabe des rechten Armes zeigt[328]. In der Rahmung durch einfache Leisten und in dem flachen Relief lässt sich das Fragment mit einem der Reliefs aus der Wohneinheit 4 des Hanghauses 2 vergleichen; auf beiden Reliefs ragen die Hauptfiguren bis an die obere Leiste[329]. Laut Ernst Pfuhl und Hans Möbius (1979) findet sich das Rhyton fast nur auf hellenistischen Reliefs[330]. Aufgrund des schlechten Erhaltungszustands und der bescheidenen Qualität lässt sich das ephesische Fragment schwer datieren[331].

Das Fragment der Ostothek (**S 13** Taf. 43, 6), ein weiterer Streufund von der Reinigung der Nordfassade, umfasst den oberen Teil des Bukephalions mit den Ansätzen der Girlande[332]. Die Rille an der oberen Kante und der ›Streifen‹ oberhalb des Bukephalions, der wie der Reliefgrund keine Bearbeitung mit dem Zahneisen aufweist, sind offenbar Spuren einer sekundären Bearbeitung. Der Stierschädel weist kurze, gebogene Hörner und seitlich abstehende, kleine Ohren auf. Zwischen diesen ist das Fell in vier Reihen von kurzen, leicht gebogenen Locken angegeben. Die Girlande ist über dem Kopf von einer Tänie umwunden, die sich in einer senkrechten Partie möglicherweise auch unter dem rechten Ohr zeigt. An den Mittelteil der Girlande über dem Schädel schließen an beiden Seiten Efeublätter (?) und darunter wohl Eichenblätter an. Darunter liegen runde Objekte, deren Oberfläche kurze, verstreute Meißelkerben aufweisen; das Objekt neben dem rechten Ohr zeigt zwei horizontale ›Streifen‹ unter der mit dem Meißel bearbeiteten Rundung. Eventuell handelt es sich um Eicheln. An einer der ephesischen Ostotheken aus den Grabungen J. T. Woods ist in der Mitte der Girlande zweifelsfrei eine Eichel dargestellt, deren Schale ebenfalls von Meißelspuren ›gesprenkelt‹ ist[333].

Unter den bereits bekannten wie auch veröffentlichten ephesischen Ostotheken weisen zwei die Windung der Tänie um die Girlande über dem Stierschädel auf: eine Ostothek für Freigelassene der *familia* des C. Ofillius Proculus aus dem 1. Jahrhundert v. Chr.[334] und eine Ostothek für Anassa Apolloniou, ein Altfund aus den Wood-Grabungen, deren Inschrift Hans Taeuber in das 1. Jahrhundert n. Chr. datiert[335]. Die Form der Hörner und der Ohren des Schädels auf dem neuen Ostothekenfragment lässt sich mit dem Schädel auf der Ostothek der Anassa vergleichen, entfernt auch die Lockenform des Fells. Deshalb sei auch für das neue Fragment eine Datierung in die Frühphase der ephesischen Ostotheken vorgeschlagen.

Außerdem wurde bei der Reinigung an der Südostecke der nichtskulpierte Kasten einer Ostothek (**S 14** Taf. 44) gefunden.

---

327 Rhyton auf Totenmahlreliefs: Pfuhl – Möbius 1979, 367 mit Anm. 170; Fabricius 1999, u. a. 69 mit Anm. 90; 90. 121–122.

328 Totenmahlreliefs aus der Wohneinheit 4 des Hanghauses 2: Rathmayr 2005, 223. 227 S 2–4 Taf. 138. 145; nördlich des C. Laecanius Bassus-Nymphäums sekundär verwendetes Relief: Fleischer 1972–1975, 432–433 Abb. 12; Fleischer 1974, 161–162; weitere ephesische Totenmahlreliefs: Fleischer 1974, 157–158 Nr. 251; Pfuhl – Möbius 1979, Nr. 1513 ohne Abb.; Nr. 1793 Taf. 259 (Bildfeldstele); Oberleitner u. a. 1978, 112 Nr. 155 Abb. 91.

329 Selçuk, Efes Müzesi 1592; Rathmayr 2005, 227 S 2 Taf. 138, 1.

330 Pfuhl – Möbius 1979, 367.

331 Für die steife Haltung des Gelagerten vgl. etwa ein Relief aus Kos: Pfuhl – Möbius 1979, Nr. 1515 Taf. 218 (1. Jh. n. Chr.).

332 Zu diesem Fragment verdanke ich Hinweise Margarete Heinz, Salzburg, und Hans Taeuber, Wien.

333 Ostotheke des Pannychos, der Pithane und der Tochter Pithane; vgl. Wood 1877, 126; Smith 1900, Nr. 1275; IvE 1632; Walker 1985, 20 Abb. 10; 55; Büyükkolancı – Thomas – Engelmann 2010, 93.

334 Büyükkolancı – Thomas – Engelmann 2010, 87 Nr. 1; 92.

335 Freundliche Mitteilung Hans Taeuber. Erwähnungen der Ostothek (ohne Abb.): Wood 1877, 125–126; Smith 1900, Nr. 1247; IvE 1622; Walker 1985, 55; Büyükkolancı – Thomas – Engelmann 2010, 93; Foto British Museum.

## V.5.1.3 Skulpturenfunde: Katalog

### *V.5.1.3.1 Skulpturenausstattung der* scaenae frons

**S 1** **Taf. 42, 1–2**
Oberkörper- und Armfragment eines überlebensgroßen Himationträgers
2. Hälfte des 2. Jhs. n. Chr.
Inv. E-TR 86
AO: GHD
FO: Sondage 2/2011, SE 1035, auf OK SE 1038; 2011
Marmorprovenienz: Aphrodisias
H 53,5 cm, B 33 cm, T 32,5 cm
Erh. r. Oberarm (außer Schulter) mit Ellbogen sowie großer Teil der r. Brusthälfte und größerer Teil des Rückens. An der OS und rechts schräge Bruchflächen. Mörtelspuren, Wurzelfasern, stellenweise bräunlich verfärbt.
Rest von Eisenstift steckt im Bruch des r. Oberarms. Oberfläche an VS geglättet; RS rauer belassen.
Fundkontext: 5.–6. Jh. n. Chr.

**S 2** **Taf. 42, 3–5**
Fragment eines überlebensgroßen rechten Fußes in Sandale, von der Statue des Himationträgers S 1
Inv. E-TR 94
AO: GHD
FO: Sondage 2/2011, SE 1040, Zerstörungsschicht; 2011
Marmorprovenienz: Aphrodisias
H 13 cm, T 17 cm, Dm des Unterschenkels 10,5 cm
Erh. unterster Teil des Unterschenkels, Teil der Ferse, Teil der Innenseite und kleines Frgt. des Ristes. Bruchstelle an der VS des Unterschenkels, die sich bis zur Innenseite zieht. Oberfläche stark von Wurzelfasern überzogen.
An VS des Unterschenkels und am Rist Oberfläche geglättet; an der RS des Unterschenkels und an der Ferse rauer belassen (Zahneisenarbeit).
Fundkontext: 5.–6. Jh. n. Chr.

**S 3** **Taf. 42, 6**
Fragment einer etwas überlebensgroßen rechten Hand, von der Statue des Himationträgers S 1
Inv. E-TR 84
AO: GHD
FO: Sondage 2/2011, SE 1031; 2011
Marmorprovenienz: Aphrodisias, vgl. dazu Kap. V.5.2
L 7 cm, B 9,8 cm, Dm max. 3 cm
Erh. die Vorderglieder und teilweise die Gelenke von 4 Fingern: erster erh. Finger mit Nagel (wohl Zeigefinger); die restlichen Finger sind oben und unten abgebrochen. Der ganz rechts erh. Finger (wohl kleiner Finger) rollt sich im oberen Glied ein (an der Bruchlinie sichtbar). Der Daumen fehlt. Wurzelfasern, z. T. hellbraune Patina. Innenseite summarisch und gröber bearbeitet.
Fundkontext: 6.–7. Jh. n. Chr.

**S 4** **Taf. 42, 7**
Faltenfragment, von der Statue des Himationträgers S 1
Inv. E-TR 95
AO: GHD
FO: Sondage 2/2011, SE 1040, Zerstörungsschicht; 2011
Marmorprovenienz: Aphrodisias
H 7,3 cm, B 17,7 cm, T 10,5 cm
Allseits abgebrochen. Wurzelfasern.
Oberfläche geglättet.
Fundkontext: 5.–6. Jh. n. Chr.

**S 5** **Taf. 42, 8**
Fragment von der Statue des Himationträgers S 1
Inv. E-TR 92
AO: GHD
FO: Sondage 2/2011, SE 1040, Zerstörungsschicht; 2011
Marmorprovenienz: Aphrodisias
H 11 cm, B 10,5 cm, T 6 cm (am Bruch gemessen): Maße anhand der Position des Fragments auf der Abb.
Rundum abgebrochen. Wurzelfasern.
Oberfläche glatt poliert.
Fundkontext: 5.–6. Jh. n. Chr.

**S 6** **Taf. 42, 9**
Gliedmaßenfragment
Inv. E-TR 93
AO: GHD
FO: Sondage 2/2011, SE 1040, Zerstörungsschicht; 2011
Marmorprovenienz: Lychnites/Paros
H 20 cm, Dm max. 12 cm
Oben und unten abgeschlagen. Zahlreiche Wurzelfasern.
Oberfläche geglättet.
Fundkontext: 5.–6. Jh. n. Chr.

**S 7** **Taf. 43, 1**
Fragment von Flügelpaar (?)
Inv. E-TR 91
AO: GHD
FO: Sondage 2/2011, SE 1040, Zerstörungsschicht; 2011
Marmorprovenienz: Lychnites/Paros
H 17 cm, B 11 cm, B der Außenkante der Flügel 7 cm, B der Innenkante 4 cm
Flügel oben und unten abgebrochen, Außenkante teilweise ausgebrochen; Bestoßungen. An der Innenkante Ansatzrest des Körpers der zugehörigen Figur(?). Oberfläche stark von Wurzelfasern überzogen.
Fundkontext: 5.–6. Jh. n. Chr.

### *V.5.1.3.2 Skulpturen von anderen Fundorten im Bereich des Odeions*

**S 8** **Taf. 43, 2**
Büstenfragment
Inv. E-TR 88
AO: GHD
FO: Sondage 1/2011 Erweiterung Süd, SE 911; 2011
Marmorprovenienz: Ephesos II
H 10,5 cm, B 13,8 cm
Rundum abgebrochen außer an US. Vier Falten erh.
US glatt.
Fundkontext: mittelalterlich

**S 9** **Taf. 43, 3**
Plinthenfragment oder Fuß eines Säulchens
Inv. E-TR 87
AO: GHD
FO: Sondage 1/2011, SE 911; 2011
Marmorprovenienz: Aphrodisias
H 10,5 cm, Sockel-H 6,5 cm, T 13,8 cm, Dm erh. 7,5 cm
Erh. Randfragment von etwa kreisrunder Plinthe mit Skulpturenrest oder Fragment des Fußes eines Säulchens. Allseits abgebrochen außer an US. Kanten bestoßen. Wurzelfasern.
Oberfläche mäßig geglättet. An der US Randschlag (B 2 cm); im Inneren leicht erhabenes Feld mit dicht gesetzter Zahneisenarbeit.
Fundkontext: mittelalterlich

**S 10** **ohne Abb.**
Kleines Faltenfragment
AO: GHD
FO: Sondage 1/2010, SE 251; 2010
Marmorprovenienz: Ephesos I
H 7,5 cm, B max. 3,5 cm
Oben, unten und an einer Seite (der RS [?]) abgebrochen.
Gelbbräunliche Patina.
An der Oberfläche Raspelarbeit.
Fundkontext: 6.–7. Jh. n. Chr.

**S 11** **Taf. 43, 4**
Relieffragment
AO: GHD; FundNr. 13/09
FO: Sondage 1/2009, SE 106; 2009
Marmorprovenienz: Aphrodisias
H 13,5 cm, H des Reliefs max. 10 cm, B 19,3 cm, T 3,7–4 cm, Relief-H max. 3 cm
Oben, unten und an den Seiten abgebrochen. Relief zum Großteil stark beschädigt.
Reliefgrund und Relief sehr glatt poliert. RS glatt, rauer belassen. An der VS einzelne kurze Bohrgänge (z. B. zwischen den Beinen der r. Figur) und Bohrlöcher.
Fundkontext: mittelalterlich, 14.–15. Jh. n. Chr., rezent umgelagert

**S 12** **Taf. 43, 5**
Fragment von Totenmahlrelief, hellenistisch (?)
AO: GHD; FundNr. 88/09
FO: Oberflächenreinigung vor Südfassade; 2009
Marmorprovenienz: Ephesos II
H 29 cm, B 16 cm, T max. 9,5 cm, Relief-H max. 5 cm, Leisten: H der oberen Leiste 2,5–3 cm; H der Leiste an der r. Kante etwa 2,7 cm (fast zur Gänze abgebrochen); H der unteren Leiste 4,5 cm
Erh. r. Ende des Reliefs. Leisten und Reliefoberfläche sowie RS beschädigt und bestoßen. Oberfläche bräunlich verfärbt.
Kanten, US und RS leicht bossiert.

**S 13** **Taf. 43, 6**
Fragment von Ostothek, 1. Jh. n. Chr. (?)
AO: GHD; FundNr. 119/09
FO: Reinigung vor Nordfassade; 2009
Marmorprovenienz: Ephesos I
H 14,5 cm, B 21,5 cm, T 6,5 cm, Relief-H 1,5 cm
Frgt. mit Rest von Bukephalion und Girlande. Stück der OS und der RS erh., sonst rundum abgebrochen. OK (horizontale Rille) und Streifen an der VS unter der OK sekundär bearbeitet. Relief bestoßen. Oberfläche bräunlich verfärbt.
Zahneisen am Reliefgrund. RS: grobe vertikale, parallele Meißelkerblinien.

**S 14** **Taf. 44**
Ostothek
AO: GHD; FundNr. E-TR 39
FO: Reinigung Südostecke (Taf. 25)
Marmor
L 55 cm, B 45 cm, H 35 cm
Die Ostothek wurde auf eine Schmalseite verkippt aufgefunden. Der Deckel war nicht mehr an Ort und Stelle. Die Auflagerfläche des Deckels ist zur Hälfte verbrochen. Ein Materialriss, der bei der Auffindung bereits quer durch den Urnenkasten verlief, führte im Zuge der Bergung im Jahr 2009 zum Bruch in zwei Teile.
Die Außenseiten der Ostothek sowie die erhaltene Auflagerfläche des Deckels sind mit Zahneisen bearbeitet. Als Verankerung des Deckels sind an den Schmalseiten der Auflagerfläche zwei Einsatzlöcher angebracht, die 5 und 3 cm tief sind. Der Kastenboden, der 35 × 27 cm groß ist, wurde mit dem Spitzmeißel grob bearbeitet. Die vier Standfüße sind durch eine Hohlkehle vom restlichen Kasten abgesetzt.

*Maria Aurenhammer*

## V.5.2 PROVENIENZANALYSEN DER SKULPTURENFUNDE

### V.5.2.1 Die untersuchten Proben

Im Zuge der gegenständlichen Untersuchungen konnten 13 Fragmente beprobt werden, die offensichtlich z. T. zu der skulpturalen Ausstattung des Odeions gehörten. Es handelt sich bei diesen Proben ausschließlich um Weißmarmore, die keine mit freiem Auge festzustellende Charakteristika erkennen ließen, welche eine Zuordnung zu einer bestimmten Herkunft erlauben würden. Die untersuchten Marmorproben sind fein- bis mittelkörnig und generell von sehr guter Qualität.

Die Inventarnummern der untersuchten Artefakte und die analytischen Ergebnisse sind in Tabelle 1 wiedergegeben.

Die Proben waren generell sehr klein, was naturgemäß ein Problem darstellt, da hier oft die notwendige Homogenität nicht in befriedigendem Maß gegeben ist. Vor der Analyse wurden die Proben einer umfangreichen Reinigung unterzogen, wodurch die Oberflächenkontaminationen weitgehend beseitigt werden konnten.

### V.5.2.2 Die Untersuchungsmethoden

Für die Untersuchungen zur Herkunft der Marmore wurde eine Kombination verschiedener analytischer Methoden angewendet. Für den Vergleich der ermittelten analytischen Daten der jeweiligen Proben wurde in den letzten Jahren eine Datenbank der Steinbruchproben von Marmorlagerstätten aus der gesamten antiken Welt aufgebaut[336]. Alle Untersuchungen einschließlich der Isotopenanalysen wurden am Department Angewandte Geowissenschaften und Geophysik der Montanuniversität Leoben vorgenommen. Von ausgewählten Proben jeder Probengruppe wurden zur petrografischen Charakterisierung mikroskopische Untersuchungen mithilfe des Polarisationsmikroskops durchgeführt.

Die Analyse der stabilen Isotope von Kohlenstoff und Sauerstoff ist die Standardmethode bei der Provenienzuntersuchung antiker Marmore. Für die Analyse der Zusammensetzung der stabilen Isotope von Kohlen- und Sauerstoff wurde ein ThermoFisher DELTA V Massenspektrometer (ThermoFisher, Bremen, Germany) verwendet mit einer Online-Verbindung zu einer ThermoFisher GasBench II und einem CTC Combi-Pal-Probengeber (oder Aufschlusseinheit). Für den Aufschluss der fein gemahlenen Proben (ca. 0,2 mg) wurde $H_3PO_4$ conc. in einer He-gefluteten Atmosphäre bei einer Temperatur von 70° C verwendet. Die Ergebnisse werden relativ zum PDB-Standard in der üblichen δ-Angabe ($\delta^{13}C$ und $\delta^{18}O$) wiedergegeben. Die Langzeitpräzision beträgt 0,06 ‰ für Sauerstoff und 0,05 ‰ für Kohlenstoff.

Das fein gemahlene Probenpulver wurde einer chemischen Analyse unterzogen. Gemessen werden die Gehalte an Mg, Sr, Mn, Fe und Zn, weil diese Elemente an die Karbonatphase gebunden und im Kristallgitter eingebaut sind und daher deutlich geringere Schwankungen aufweisen als solche Elemente, die an Spurenminerale gebunden sind und infolgedessen üblicherweise inhomogen im Gestein verteilt vorkommen.

Weiters wurde zusätzlich zu den konventionellen analytischen Methoden die Analyse der Flüssigkeitseinschlüsse der Marmore für ihre Charakterisierung verwendet. Hier werden die sog. Flüssigkeitseinschlüsse – das sind mikroskopisch kleine, mit Gas und Flüssigkeit gefüllte Hohlräume in den Kristallen, die in allen Marmoren vorkommen – mechanisch extrahiert und mittels Ionenchromatografie auf ihre chemischen Bestandteile untersucht. Diese Methode wird seit einigen Jahren in der Lagerstättenkunde zur Untersuchung mineralisierender Erzlösungen routinemäßig herangezogen[337] und wurde, wie schon in den letzten Jahren, hier mit geringen Adaptionen für die Charakterisierung und Bestimmung der Provenienz von Marmoren verwendet[338].

---

[336] Unsere Datenbank umfasst derzeit mehr als 2 500 Steinbruchproben mit den entsprechenden isotopischen und chemischen Daten.

[337] z. B. Prochaska 1999, 175–183.

[338] Eine ausführliche Schilderung der Methode und ein Anwendungsbeispiel bei der Provenienzanalyse der Marmore des Mausoleums von Belevi s. Prochaska – Grillo – Ruggendorfer 2007.

### V.5.2.3 Die analytischen Ergebnisse

*Petrografische Beschreibung*: Da die Größe der zur Verfügung stehenden Proben nicht in jedem Fall für die Herstellung eines mikroskopischen Präparats ausreichte, wird in der Folge eine zusammenfassende petrografische Charakterisierung der einzelnen Probengruppen gegeben.

Ein Mikrofoto der Probe **S 6** ist in Abbildung 9 wiedergegeben. Es handelt sich um einen feinkörnigen, homöoblastischen Marmor mit einer gut rekristallisierten Textur von Kalzitkristallen. Dieses Gefüge ist für parische Lychnites charakteristisch. Dieser Marmor ist sehr rein, es sind keine Nebengemengteile zu sehen.

Die meisten (6 Proben) der untersuchten Skulpturenfragmente stammen aus den Steinbrüchen bei und in Aphrodisias (»city quarries«). Diese sehr hochwertigen Marmore sind mittelkörnig und sehr weiß mit einem typischen Mikrogefüge von heteroblastischen, verzahnten Kalzitkristallen. Als Beispiel ist in Abbildung 10 ein Mikrofoto der Probe **S 5** angeführt.

Zwei der untersuchten Proben sind aus Ephesos-II-Marmor, wobei hauptsächlich die Steinbrüche von Kuşini und Belevi für die Herkunft in Frage kommen. Diese Marmore zeichnen sich durch ein ausgesprochenes ›Mörtelgefüge‹ infolge starker tektonischer Beanspruchung aus. Wie in Abbildung 11 zu sehen ist, treten große, deformierte Kalzitkristalle in einem kleinkörnigen Kalzitkornpflaster auf.

*Analytische Ergebnisse*: Für die Untersuchung der Herkunft der Marmore der Skulpturen werden die beiden wichtigsten ephesischen Marmore (Ephesos I und Ephesos II) und die Marmore von Prokonnesos als mittelkörnige Beispiele herangezogen. Weiters wurden die parischen Lychnites und die Marmore von Aphrodisias bei den Berechnungen berücksichtigt, da es sich hier um sehr wichtige Skulpturmarmore handelt, die in Ephesos bereits mehrfach nachgewiesen

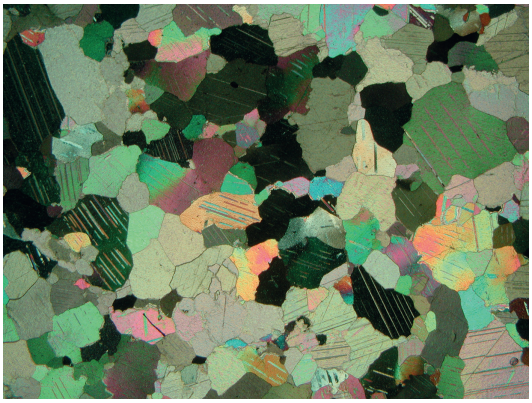

Abb. 9 Mikrofoto der Probe S 6 mit einem für die parischen Lychnites typischen Gefüge (x-Polarisatoren, Bildlänge 7 mm)

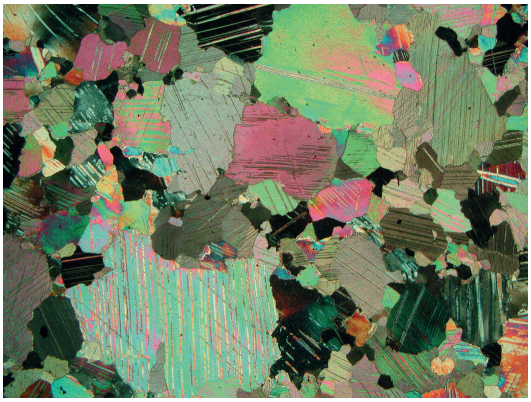

Abb. 10 Mikrofoto der Probe S 5 mit einem für aphrodisische Marmore typischen Gefüge mit verzahnten Korngrenzen (x-Polarisatoren, Bildlänge 7 mm)

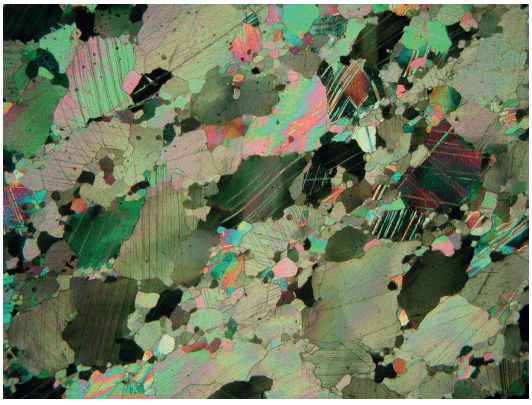

Abb. 11 Das Mikrofoto der Probe S 12 zeigt das Gefüge eines typischen ›Ephesos II‹-Marmors mit angedeuteter Schieferung und einer ungleichkörnigen Textur (x-Polarisatoren, Bildlänge 7 mm)

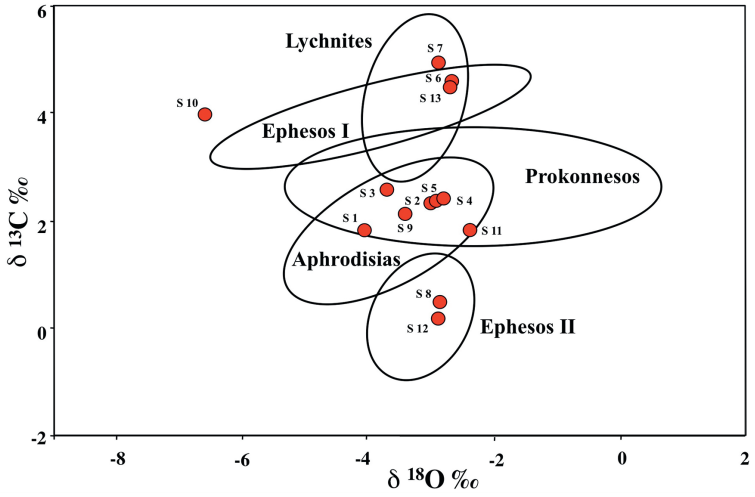


Abb. 12 Isotopendiagramm der Marmore der untersuchten Skulpturen und der wichtigsten Isotopenfelder für qualitativ hochwertige Weißmarmore

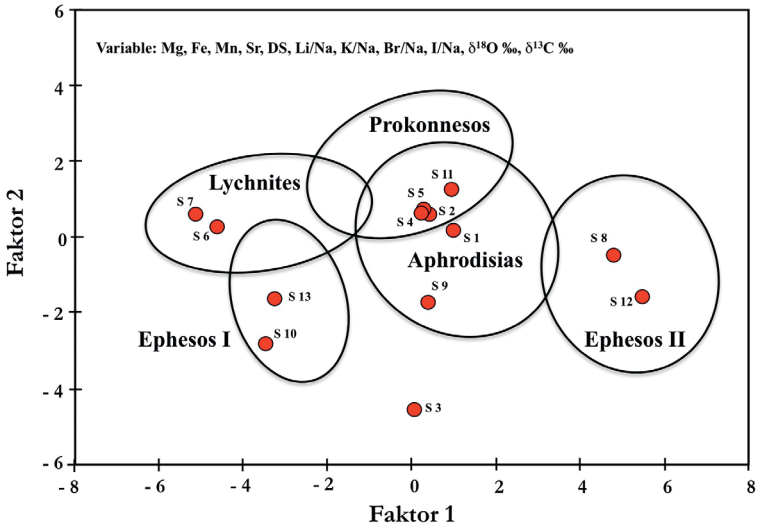


Abb. 13 Bivariates Diagramm der beiden wichtigsten Faktoren der multivariaten Analyse der Marmore der untersuchten Skulpturen und ihre Zuordnung zu den jeweiligen Herkunftsgebieten

wurden[339]. Die feinkörnigen Marmore aus Dokimeion/Afyon wurden nicht einbezogen, da deren isotopische und chemische Zusammensetzung so gelagert ist, dass sie für die gegenständlichen Marmore a priori nicht in Frage kommen.

Die isotopische Zusammensetzung der untersuchten Skulpturenfragmente ist in Abbildung 12 wiedergegeben.

Es besteht eine unterschiedlich starke Überlappung der Isotopenfelder, und eine sichere Zuordnung der einzelnen Proben allein auf Basis der Isotopenzusammensetzung ist nur bedingt möglich. Deshalb wurden zur Auswertung mittels multivariater statistischer Analyse (Diskriminationsanalyse) weitere analytische Parameter neben den Isotopendaten verwendet. Die daraus resultierenden Ergebnisse sind grafisch in Abbildung 13 dargestellt. Die Proben können durch die

339 W. Prochaska (unpubl.).

Kombination der angewandten Analysen mit großen Wahrscheinlichkeitswerten ihren jeweiligen Herkunftsgebieten zugeordnet werden.

Die errechneten Wahrscheinlichkeitswerte sind in Tabelle 1 wiedergegeben.

Die *relative Wahrscheinlichkeit* bezeichnet die Wahrscheinlichkeit der Zuordnung einer Probe zu einem Vorkommen innerhalb der für die statistische Auswertung in Betracht gezogenen Marmorvorkommen (in diesem Fall fünf Vorkommen: vier dokimeische Steinbruchbereiche und Prokonnesos). Bei der zweiten Wahl sind die relativen Wahrscheinlichkeiten natürlich geringer als bei der ersten Wahl. Die Summe der relativen Wahrscheinlichkeiten aller betrachteten Vorkommen muss 100 % ergeben.

Die *absolute Wahrscheinlichkeit* bezeichnet die Wahrscheinlichkeit, mit der die Probe einer bestimmten Gruppe zugehörig ist. Im gegenständlichen Fall sind das die ausgewählten Marmore Ephesos I und II, Aphrodisias, Prokonnesos und die parischen Lychnites. Die absolute Wahrscheinlichkeit ist ein distanzabhängiger Parameter. In einem 2-dimensionalen Diagramm können die multivariaten Probencluster dargestellt werden und die jeweiligen Probengruppen werden durch Wahrscheinlichkeitsellipsen definiert (Abb. 13). Hier wurden 90 %-Ellipsen gewählt, der Schwellenwert für Proben am Rand der Ellipse ist 10 %. Das Zentrum der Wahrscheinlichkeitsellipse ist 100 %, je weiter vom Zentrum die Probe liegt, umso geringer ist der Wert. Eine Probe im Zentrum weist in allen Parametern eine für diese Gruppe durchschnittliche Zusammensetzung auf.

Die *Distanz* ist die Entfernung vom Ellipsenmittelpunkt. Je größer diese Distanz vom Mittelpunkt einer Population, umso geringer ist die absolute Wahrscheinlichkeit der Zugehörigkeit der Probe zu der betrachteten Probengruppe.

Tabelle 1 Die Provenienz der Marmore der untersuchten Skulpturen und die errechneten statistischen Parameter. Die zur Berechnung herangezogenen Variablen sind DS, Mg, Fe, Mn, Sr, Li/Na, K/Na, Cl/Na, I/Na, Br/Na, SO4/Na, $\delta^{18}O$, $\delta^{13}C$

| Probe | Distanz | absolute Wahrscheinlichkeit | relaltive Wahrscheinlichkeit | Herkunft | relative Wahrscheinlichkeit | Herkunft |
|---|---|---|---|---|---|---|
| | 1. Wahl | | | | 2. Wahl | |
| S 1 | 0,19 | 99,6 | 98,0 | Aphrodisias | 2,0 | Prokonnesos |
| S 2 | 2,63 | 62,2 | 84,6 | Aphrodisias | 15,3 | Prokonnesos |
| S 3 | 17,95 | 0,01 | 93,4 | Ephesos I | 6,6 | Aphrodisias |
| S 4 | 2,23 | 69,4 | 75,3 | Aphrodisias | 24,6 | Prokonnesos |
| S 5 | 1,66 | 79,8 | 83,9 | Aphrodisias | 16,1 | Prokonnesos |
| S 6 | 5,49 | 24,0 | 98,1 | Lychnites | 1,9 | Ephesos I |
| S 7 | 5,55 | 23,6 | 99,7 | Lychnites | 0,3 | Ephesos I |
| S 8 | 0,84 | 93,3 | 100 | Ephesos II | – | – |
| S 9 | 11,43 | 2,2 | 45,7 | Aphrodisias | 41,5 | Ephesos II |
| S 10 | 5,48 | 24,1 | 97,7 | Ephesos I | 0,2 | Lychnites |
| S 11 | 1,94 | 74,7 | 95,1 | Aphrodisias | 4,9 | Prokonnesos |
| S 12 | 3,76 | 44,0 | 100 | Ephesos II | – | – |
| S 13 | 7,29 | 12,1 | 99,9 | Ephesos I | 0,1 | Lychnites |

*Herkunft*: Die untersuchten Proben sind unterschiedlicher Herkunft. Drei Proben der untersuchten Skulpturen konnten den Marmoren Ephesos I zugeordnet werden und zwei weitere den Ephesos-II-Marmoren. Bei zwei Proben handelt es sich um parische Lychnites und sechs Proben sind aus aphrodisischen Marmoren. Marmore aus Prokonnesos konnten bei den Skulpturen nicht nachgewiesen werden.

Wie gezeigt, kam bei der Herstellung der Skulpturen eine Reihe unterschiedlicher Marmore zur Anwendung. Der überragenden Bedeutung von Aphrodisias als Zentrum der Bildhauerei ist es wohl zuzuschreiben, dass die Marmore der meisten Skulpturen aus Aphrodisias stammen. Parische Lychnites wurden für zwei Skulpturen verwendet. Dieser im Hellenismus und in republikanischer Zeit wichtigste Skulpturmarmor hatte in Bezug auf Verwendung und Bedeutung im 2. Jahrhundert n. Chr. wohl schon seinen Höhepunkt hinter sich und wurde von Carrara-Marmoren und von den Marmoren von Göktepe bei Aphrodisias abgelöst. Die Verwendung von lokalen Marmoren (Ephesos I und II) bei zwei Skulpturen belegt auch eine gewisse lokale Produktion in Ephesos. Eine Probe (**S 3**) wird mit einem sehr geringen Wahrscheinlichkeitswert den Ephesos-I-Marmoren zugeordnet. Die Isotope stimmen besser mit Aphrodisias überein, sodass diese Zuordnung bevorzugt wird. Möglicherweise ist der schlechte Zustand der Probe dafür verantwortlich, dass der Chemismus der Probe durch Verwitterung/Kontamination nicht mehr die ursprünglichen Verhältnisse widerspiegelt.

Es liegt jedenfalls keine einheitliche Skulpturenausstattung für das Odeion in dem Sinn vor, dass ein spezieller Marmor aus einer einzigen Werkstatt verwendet worden wäre. Es ist auch aufgrund der unterschiedlichen verwendeten Marmore eine größere zeitliche Spanne für die Herstellung der Skulpturen denkbar. Der einzige ›Importmarmor‹, der nicht kleinasiatischer Provenienz ist, ist der parische Lychnites, der bei zwei Skulpturen zu finden ist. Hier ist sehr gut möglich, dass es sich um ältere Fabrikate handelt. Mit der Verwendung ephesischer Marmore ist wohl eine ephesische Produktion von Skulpturen in römischer Zeit belegt.

Tabelle 2 Die Ergebnisse der chemischen Analysen und der Isotopenanalysen; Mg wird als $MgCO_3$ wiedergegeben (in %), die Angaben für Fe, Mn und Sr sind in ppm angeführt. Die Ergebnisse der Analyse der Einschlussfluide wurden auf Na normiert. Die Isotopenanalysen sind in der üblichen ∂-Angabe (in ‰s, normiert auf PDB) wiedergegeben.

| | DS | $MgCO_3$ | Fe ppm | Mn ppm | Sr ppm | Li/Na | Cl/Na | K/Na | Br/Na | I/Na | $SO_4$/Na | $\delta^{18}O_{(PDB)}$ | $\delta^{13}C_{(PDB)}$ |
|---|---|---|---|---|---|---|---|---|---|---|---|---|---|
| **Platten weiß** | | | | | | | | | | | | | |
| E-TR 2010/11; 137/1 | 3925 | 1,62 | 67 | 17 | 227 | 1,669 | 1542 | 230 | 6,9 | 159,4 | 675,7 | –0,03 | 3,39 |
| E-TR 2010/11; 137/2 | 880 | 0,72 | 55 | 14 | 115 | 2,751 | 1435 | 598 | 4,1 | 20,8 | 714,9 | –3,32 | 2,15 |
| div. Marmore, Innenaustattung | 4524 | 1,05 | 629 | 300 | 125 | 4,210 | 2833 | 299 | 9,2 | 23,7 | 443,3 | –3,23 | 1,97 |
| E-TR 2010; 614/184 | 1218 | 0,74 | 240 | 66 | 343 | 1,379 | 1720 | 778 | 7,0 | 21,3 | 804,6 | –4,67 | 0,00 |
| E-TR 2010/11; 137/3 | 1764 | 44,72 | 550 | 29 | 42 | 3,693 | 1305 | 968 | 3,2 | 3,7 | 735,7 | –4,18 | 3,60 |
| E-TR 2010/11; 137/4 | 1655 | 42,90 | 219 | 32 | 35 | 1,819 | 1048 | 352 | 6,0 | 4,8 | 1022,8 | –2,16 | 3,87 |
| E-TR 2011; SO2/11/1 | 1709 | 43,99 | 565 | 23 | 33 | 4,915 | 1071 | 1356 | 7,2 | 3,6 | 864,7 | –4,27 | 3,65 |
| E-TR 2011; SO2/11/2 | 4113 | 41,28 | 160 | 21 | 37 | 0,871 | 1310 | 223 | 4,0 | 4,8 | 646,6 | –4,81 | 3,30 |
| **Platten schwarz** | | | | | | | | | | | | | |
| E-TR 2011; 233/1 | 7993 | 5,58 | 150 | 10 | 417 | 0,247 | 342 | 188 | 6,6 | 4,6 | 2852,3 | –1,26 | 0,66 |
| E-TR 2011; 233/2 | 6821 | 7,26 | 156 | 10 | 391 | 0,157 | 351 | 219 | 5,2 | 17,3 | 4553,4 | –1,28 | 0,46 |
| E-TR 2011; 267/1 | 4665 | 10,64 | 141 | 12 | 369 | 0,119 | 423 | 216 | 4,8 | 5,2 | 4431,8 | –1,24 | 0,24 |
| E-TR 2011; 267/2 | 4817 | 15,97 | 123 | 10 | 305 | 0,230 | 421 | 233 | 4,9 | 6,7 | 1581,7 | –1,22 | 0,41 |
| E-TR 2011; 267/3 | 4301 | 17,14 | 120 | 10 | 292 | 0,237 | 436 | 251 | 4,8 | 11,8 | 2864,1 | –0,88 | 0,66 |
| **Gelber Marmor** | | | | | | | | | | | | | |
| E-TR 2010/11; 137/1 | 14668 | 1,70 | 1306 | 137 | 602 | 0,865 | 683 | 7047 | 4,9 | 8,2 | 1843,4 | –8,37 | 4,36 |
| E-TR 2010/11; 137/2 | 24300 | 1,63 | 1565 | 157 | 535 | 0,482 | 249 | 6826 | 2,6 | 4,7 | 995,9 | –8,26 | 4,43 |
| E-TR 2011; 233/1 | 12204 | 1,24 | 1342 | 170 | 440 | 1,034 | 726 | 11652 | 7,3 | 7,8 | 1704,1 | –9,69 | 4,72 |
| E-TR 2011; 233/2 | 4389 | 43,13 | 1637 | 79 | 73 | 7,082 | 1651 | 686 | 10,2 | 2,0 | 367,8 | –8,47 | 4,18 |
| E-TR 2010; 614/163 | 2525 | 44,36 | 1706 | 103 | 113 | 5,148 | 1696 | 649 | 9,6 | 1,8 | 572,2 | –8,61 | 4,91 |
| E-TR 2010/11; 137/4 | 3431 | 44,24 | 1932 | 103 | 70 | 3,128 | 2098 | 984 | 7,6 | 1,8 | 1009,3 | –6,23 | –0,97 |
| E-TR 2010/11; 137/3 | 8611 | 0,47 | 882 | 64 | 50 | 0,270 | 1508 | 1172 | 1,3 | 2,1 | 499,8 | –8,31 | 3,77 |

| | DS | $MgCO_3$ | Fe ppm | Mn ppm | Sr ppm | Li/Na | Cl/Na | K/Na | Br/Na | I/Na | $SO_4$/Na | $\delta^{18}O_{(PDB)}$ | $\delta^{13}C_{(PDB)}$ |
|---|---|---|---|---|---|---|---|---|---|---|---|---|---|
| **Skulpturen** | | | | | | | | | | | | | |
| S 1 | 8038 | 1,20 | 28 | 15 | 96 | 0,757 | 2083 | 118 | 2,3 | 2,0 | 165,3 | –4,06 | 1,84 |
| S 2 | 2498 | 0,96 | 60 | 13 | 137 | 0,581 | 1996 | 414 | 3,3 | 2,5 | 406,7 | –3,00 | 2,33 |
| S 3 | 9424 | 1,02 | 231 | 63 | 153 | 1,107 | 2329 | 147 | 6,0 | 3,5 | 147,6 | –3,71 | 2,61 |
| S 4 | 4515 | 1,04 | 60 | 12 | 126 | 0,902 | 2232 | 281 | 3,2 | 2,8 | 324,6 | –2,82 | 2,42 |
| S 5 | 6980 | 1,41 | 60 | 13 | 132 | 0,549 | 2163 | 227 | 1,8 | 2,1 | 199,9 | –2,95 | 2,36 |
| S 6 | 1595 | 0,89 | 57 | 12 | 208 | 6,427 | 910 | 383 | 7,2 | 9,6 | 639,3 | –2,68 | 4,57 |
| S 7 | 884 | 0,95 | 42 | 13 | 227 | 4,351 | 1015 | 466 | 7,3 | 10,9 | 1053,7 | –2,87 | 4,93 |
| S 8 | 926 | 0,56 | 89 | 28 | 74 | 0,283 | 1110 | 513 | 5,7 | 22,1 | 529,7 | –2,87 | 0,50 |
| S 9 | 4856 | 1,11 | 279 | 22 | 100 | 4,776 | 2370 | 254 | 5,3 | 6,9 | 188,1 | –3,42 | 2,11 |
| S 10 | 2582 | 1,94 | 192 | 36 | 145 | 0,920 | 2313 | 647 | 6,6 | 3,2 | 433,3 | –6,60 | 3,98 |
| S 11 | 21593 | 1,66 | 50 | 12 | 208 | 1,629 | 2213 | 90 | 3,1 | 1,2 | 56,9 | –2,37 | 1,80 |
| S 12 | 869 | 0,48 | 137 | 31 | 72 | 0,932 | 662 | 834 | 7,1 | 9,5 | 1204,2 | –2,88 | 0,16 |
| S 13 | 2119 | 3,91 | 460 | 32 | 160 | 0,792 | 1693 | 742 | 3,5 | 24,3 | 222,0 | –2,72 | 4,44 |
| **Rosso Antico** | | | | | | | | | | | | | |
| E-TR-2010 SO1/536/235/1 | | | | | | | | | | | | –2,00 | 2,22 |
| E-TR-2010 SO1/536/235/2 | | | | | | | | | | | | –1,98 | 2,20 |
| E-TR-2010 SO1/536/235/3 | | | | | | | | | | | | –1,84 | 2,29 |
| E-TR-2011 SO2/II/1 | | | | | | | | | | | | –1,74 | 2,43 |
| E-TR-2011 SO2/II/2 | | | | | | | | | | | | –2,56 | 2,36 |
| E-TR-2010 11/137/1 | | | | | | | | | | | | –2,13 | 2,57 |
| E-TR-2010 11/137/2 | | | | | | | | | | | | –2,42 | 2,43 |
| E-TR-2010 11/137/3 | | | | | | | | | | | | –1,80 | 2,36 |
| E-TR-2010 11/137/4 | | | | | | | | | | | | –2,31 | 2,16 |
| E-TR-2010 11/137/5 | | | | | | | | | | | | –2,32 | 2,44 |
| E-TR-2010 11/137/6 | | | | | | | | | | | | –1,19 | 2,62 |
| E-TR-2010 11/137/7 | | | | | | | | | | | | –2,17 | 2,49 |
| E-TR-2010 11/137/8 | | | | | | | | | | | | –1,87 | 2,50 |
| E-TR-2010 11/137/9 | | | | | | | | | | | | –1,55 | 2,50 |

# VI ARCHÄOLOGISCHE FELDFORSCHUNG 2009–2011

## VI.1 VORBEMERKUNG

Für die Möglichkeit, das römische Odeion im Artemision zu untersuchen, sei an dieser Stelle zunächst noch einmal der türkischen Vakıflar Genel Müdürlüğü (Generaldirektion der Stiftungen) gedankt, die als Grundstücksbesitzerin des sichtbaren Gebäudebereichs die Feldarbeiten des ÖAI auf ihrem Grundstück ermöglichte.

In den Jahren 2009–2011 wurden am Odeion im Artemision insgesamt zehn Sondagen (1/2009; 1–5/2010; 1–4/2011) angelegt (Plan 3. 4)[340]. Im vorliegenden Band werden ausschließlich die Befunde aus der Errichtungszeit des Gebäudes in der römischen Kaiserzeit und der Spätantike sowie der frühbyzantinischen Zeit vorgelegt. Darüberliegende Schichten mittel- und spätbyzantinischer Zeit sowie der anschließenden Beylik-Periode sollen aufgrund ihrer besonderen Bedeutung im Detail separat behandelt werden. Da die Auswertung in den Sondagen 1/2009, 2/2010, 3/2010 eine Datierung ab mittelbyzantinischer Zeit ergeben hat, werden diese zur Gänze in einem Folgeband besprochen werden. In Sondage 1/2011 und 3/2011 fallen nur einige wenige Schichten in vor- und frühbyzantinische Zeit, weshalb der überwiegende Teil der Auswertung späterer Befundkontexte ebenso in dem geplanten Band ausführlich vorgelegt werden wird.

Für mögliche Altgrabungen im Bereich des Odeions kommen nur die Arbeiten John T. Woods infrage und sind auch am Gebäude in Form eines tief reichenden Schachts im Bereich von 1/2009 nachzuweisen, aus dem die Gehäusezarge einer Taschenuhr aus den 1860er–1880er Jahren stammt, wodurch die Vermutung, dass es sich hierbei um eines der Suchlöcher Woods handelt, gestützt wird (**Kat. KF 3** Taf. 93. 94, Kap. VII.3.5)[341].

Die Platzierung der Sondagen war demnach durch bekannte Altgrabungen nicht großflächig eingeschränkt und konnte entsprechend der gezielten Fragestellungen ausgewählt werden. Im Jahr 2009 und 2010 lag der Fokus der Grabungen auf den sichtbaren Substruktionen mit ihrem komplexen Kammersystem sowie auf der Sicherstellung datierenden Fundmaterials aus dem Fundamentbereich. Im Jahr 2010 wurde zusätzlich die erste Sondierung auf der Gebäudeoberseite angelegt, wobei zum ersten Mal die Rundung der Cavea sichtbar wurde. Teile der Cavea, der Orchestra und der *scaenae* wurden schließlich im folgenden Jahr freigelegt, wodurch eine Teilrekonstruktion des Gebäudes möglich wurde. Aufgrund des ungünstigen Verlaufs der östlichen Grundstücksgrenze direkt über die Bühne konnten ein Großteil derselben sowie das gesamte Bühnengebäude samt eventuell anschließenden Strukturen nicht untersucht werden. Nachdem die Feldarbeiten am Gebäude im Jahr 2012 wegen Unstimmigkeiten mit dem Grundbesitzer der umgebenden Plantage zum vollständigen Erliegen gekommen waren, mussten alle weiterführenden Forschungen sowie geplanten Sicherungsmaßnahmen am Gebäude eingestellt werden.

*Lilli Zabrana*

## VI.2 SONDAGE 1/2010

Zu Beginn der Arbeiten war das bauzeitliche Bodenniveau des Gebäudes völlig unklar. Nachdem bereits bei Untersuchungen im Jahr 2009 deutlich wurde, dass die Substruktionskammern von außen zugänglich gewesen waren, wurde Sondage 1/2010 (3,25 × 2 m) direkt vor der Außenfassade

[340] Archäologische Dokumentation und Sondagenbetreuung: Kampagne 2009: Joachim Thaler; Kampagne 2010: Julia Dorner, Berker Kalfa, Nicole Reitinger; Kampagne 2011: Julia Dorner, Aurélie Lüthi.

[341] Zu der zeitlichen Einordnung der Taschenuhrzarge s S. 30 mit Anm. 183.

von Kammer 8 angelegt, um durch den zu erwartenden Zugang zu der Kammer und der zugehörigen Schwelle das originale Nutzungsniveau leichter identifizieren zu können (Taf. 45; 46 Plan 1. 3. 15). Zusätzlich sollte bis in den Fundamentbereich vorgedrungen werden, um anhand von diagnostischem Keramikmaterial eine zeitliche Einordnung des Gebäudes fixieren zu können. Bereits beim Abtragen der obersten, rezenten Schichten wurde bald der bauzeitliche Bogenabschluss des Zugangs zu Kammer 8 sichtbar (Abb. 14).

Unter der rezenten Deckschicht sowie den nachfolgenden, bereits mittelalterlichen Befunden fand sich ein 1,90 m hohes Schichtpaket, das vor allem aus Mörtel und Ziegel bestand und dessen Datierung ebenfalls mittelalterlich ist (Abb. 15, SE 241. SE 237. SE 236. SE 210). Darunter befanden sich zwei Ascheschichten (SE 243 = SE 244. SE 246), von einer Lehmschicht (SE 242) getrennt, die auf einem Ziegelplattenboden (SE 249a) auflagen, welcher mit Estrich überzogen war (SE 247). Der Ziegelplattenboden korrespondiert mit einer Zumauerung des Zugangs zu Kammer 8, welche zu diesem Zeitpunkt nicht mehr in ursprünglicher Nutzung gewesen sein konnte (Taf. 46, 1–4). Unter dem Unterbau des Ziegelplattenbodens (SE 249b), der aus einer Mörtelschicht mit Steinen als Rollierung besteht, kam eine 40–50 cm hohe Versturzschicht (SE 250) zum Vorschein, die sich fast ausschließlich aus Dachziegeln mit Brandspuren zusammensetzt (Taf. 46, 2). Aus SE 250 stammt ein vollständiger Krug aus dem 13./14. Jahrhundert n. Chr.[342], weshalb der Ziegelplattenboden, der die Einheit überlagert, nicht vor spätbyzantinischer Zeit errichtet worden sein kann, womit auch die zugehörige Zumauerung von Kammer 8 frühestens in diese Zeit datiert[343]. Der Boden bestand aus großformatigen Ziegelplatten (78 × 78 × 5 cm), wovon drei freigelegt wurden. Die drei Ziegelplatten haben gleichartige Ziegelmarken, die mit dem Finger in den feuchten Ton gestrichen wurden (Taf. 46, 3). Die Ziegelmarken entsprechen in ihrer Art jenen der Ziegelplatten aus Sondage 5/2010, mit denen der Latrinenkanal ausgelegt wurde, und die nach der Keramikdatierung an das Ende des 2./Anfang des 3. Jahrhunderts n. Chr. datiert werden können (Taf. 46, 4)[344]. Wahrscheinlich wurden die Ziegelplatten in Sondage 1/2010 daher in ihrer Zweitverwendung erneut verbaut.

Die beiden Ziegelplatten unterhalb des vorspringenden Blendbogens sind schmäler (76 × 43 × 5 cm; Taf. 46, 3). Eine der beiden Platten zeigt deutlich Bruchspuren an der Längsseite und deutet auf eine Wiederverwendung einer vormalig größeren Platte. Drei der insgesamt sechs freigelegten Platten wurden abgenommen, um die versiegelten Schichten darunter dokumentieren zu können. Auch ein feiner Mörtelputz am bauzeitlichen Mauerwerk gehört zu dieser Umnutzungsphase, da er mit den Ziegelplatten abschließt[345]. Im nördlichen Bereich der Sondage sind die Ziegelplatten nicht mehr *in situ* erhalten, können aber durch ihre Abdrücke im Mörtelunterbau erschlossen werden (Taf. 46, 1). Vor der nördlichen Sondagengrenze deutet ein 50 cm breiter Streifen ohne Abdrücke darauf hin, dass hier ein anderer Belag ansetzte.

Unterhalb des Fußbodens liegt Schicht SE 250 (Abb. 15), die als Zerstörungsbefund in Versturzlage zu bezeichnen ist, wobei die lose übereinander gestürzten Dachziegel aufgrund der Datierung dieser Schicht in das 13./14. Jahrhundert n. Chr. von einer Zwischen- oder Nachnutzung stammen und nicht zur Dachdeckung des Odeions gehörten, deren Zerstörung aufgrund des Grabungsbefunds in Sondage 2/2011 in das 5./6. Jahrhundert n. Chr. zu setzen ist. Die darunterliegende Schicht SE 251 besteht aus einem feinkörnigen Sediment, das mit kleinen Ziegel- und

342 Vgl. Kap. VII.1.2.

343 Ein Münzfund (M14/10) direkt auf dem mörtelüberzogenen Ziegelplattenboden kann nur allgemein in byzantinische Zeit datiert werden. Diese Münze ist nicht Bestandteil des Katalogs im vorliegenden Band, sondern wird erst im Folgeband vorgelegt, der ein Kapitel zu byzantinischen und islamischen Münzfunden dieser Grabungen beinhalten wird (Bearbeitung N. Schindel, ÖAW-IKAnt).

344 Vgl. Kap. VII.1.3, SE 724.

345 Mörtelanalysen ergaben einen grob sortierten Unterputz mit Feinputz aus Kalkmörtel mit Marmorsand. Ein vergleichbarer Unterputz fand sich in Sondage 1/2009 an der Westfassade, was auf eine großräumige Umgestaltung der an die Tribüne angrenzenden Bereiche deutet. Die Dünnschliffanalysen wurden am Institut für Archäometrie an der Universität für angewandte Kunst Wien von Roman Sauer durchgeführt.

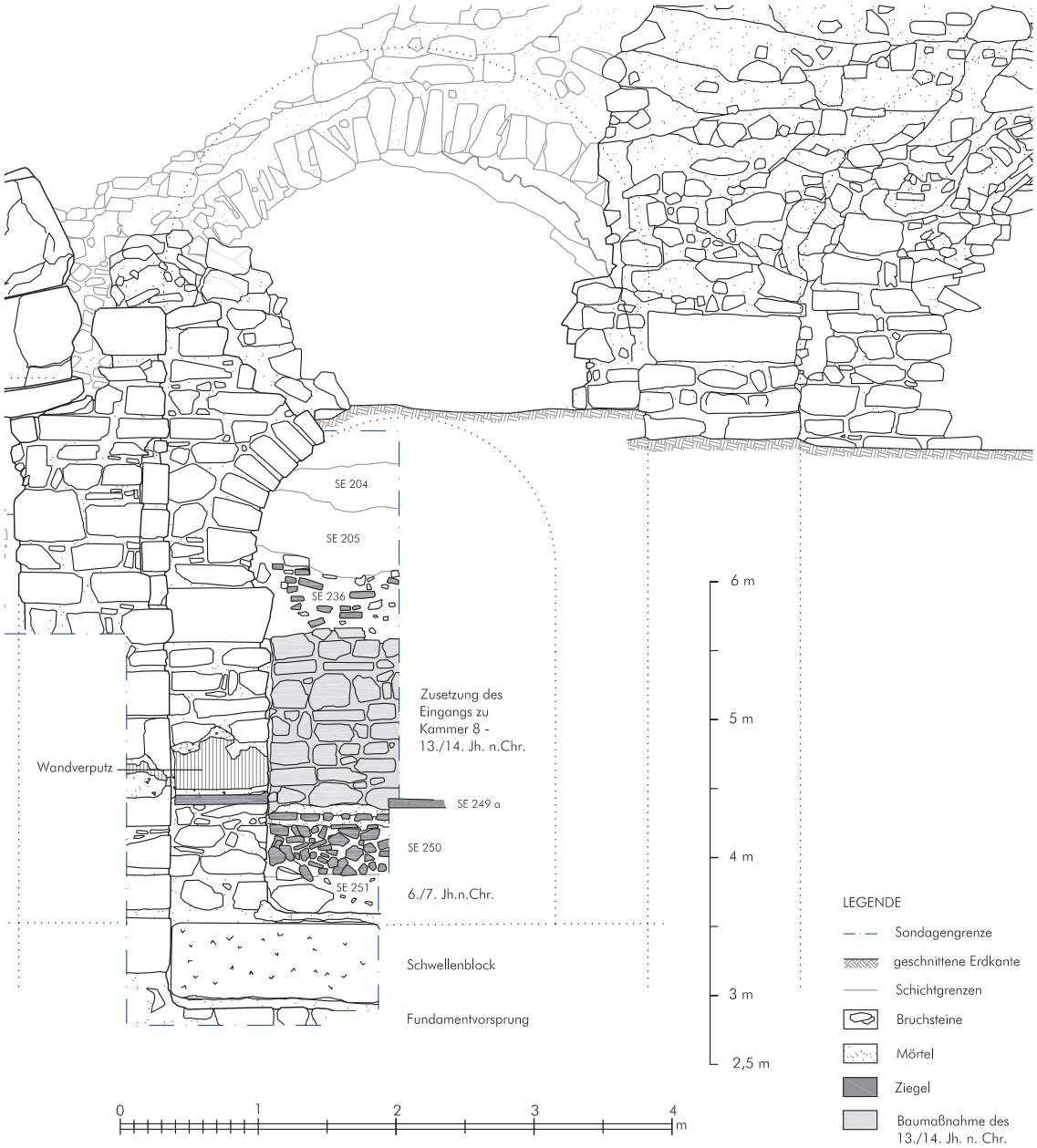


Abb. 14 Sondage 1/2010, Südprofil, M. 1 : 50

Mörtelfragmenten durchsetzt ist. Das zahlreich vorhandene Keramikmaterial datiert die Schicht in das 6. oder an den Beginn des 7. Jahrhunderts n. Chr.

Schließlich kam auf einer abs. H von 3,51 m einer der Schwellenblöcke (1,50 × 0,60 m) zu Kammer 8 zum Vorschein (Abb. 14. 15 Taf. 45, 3. 4). Auf dem Block fand sich eine Mörtelbettung, die mit zwei Schichten vor der Nordfassade korrespondiert (SE 252. SE 253), welche durch das keramische Fundmaterial in das 2. Jahrhundert n. Chr. datiert werden können und auf eine Neuausstattung des Odeions in dieser Zeit schließen lassen. SE 252 kann wegen seiner kompakten und verhärteten Konsistenz als Laufhorizont angesprochen werden. Die Schichten unter SE 253 liegen bereits unterhalb des bauzeitlichen Nutzungsniveaus und datieren bis auf SE 261 in die zweite Hälfte des 1. Jahrhunderts n. Chr. Alle Schichten aus dem ersten nachchristlichen Jahrhundert sind mit dem Bauvorgang in Verbindung zu bringen und als Bauhorizonte oder Anschüttungen zu interpretieren (SE 253. 254a–b. 257. 258. 260, Abb. 16). SE 255 stellt die Verfüllung der Einsatzgrube für den Schwellenstein dar. Die älteste ergrabene Schicht (SE 261) datiert

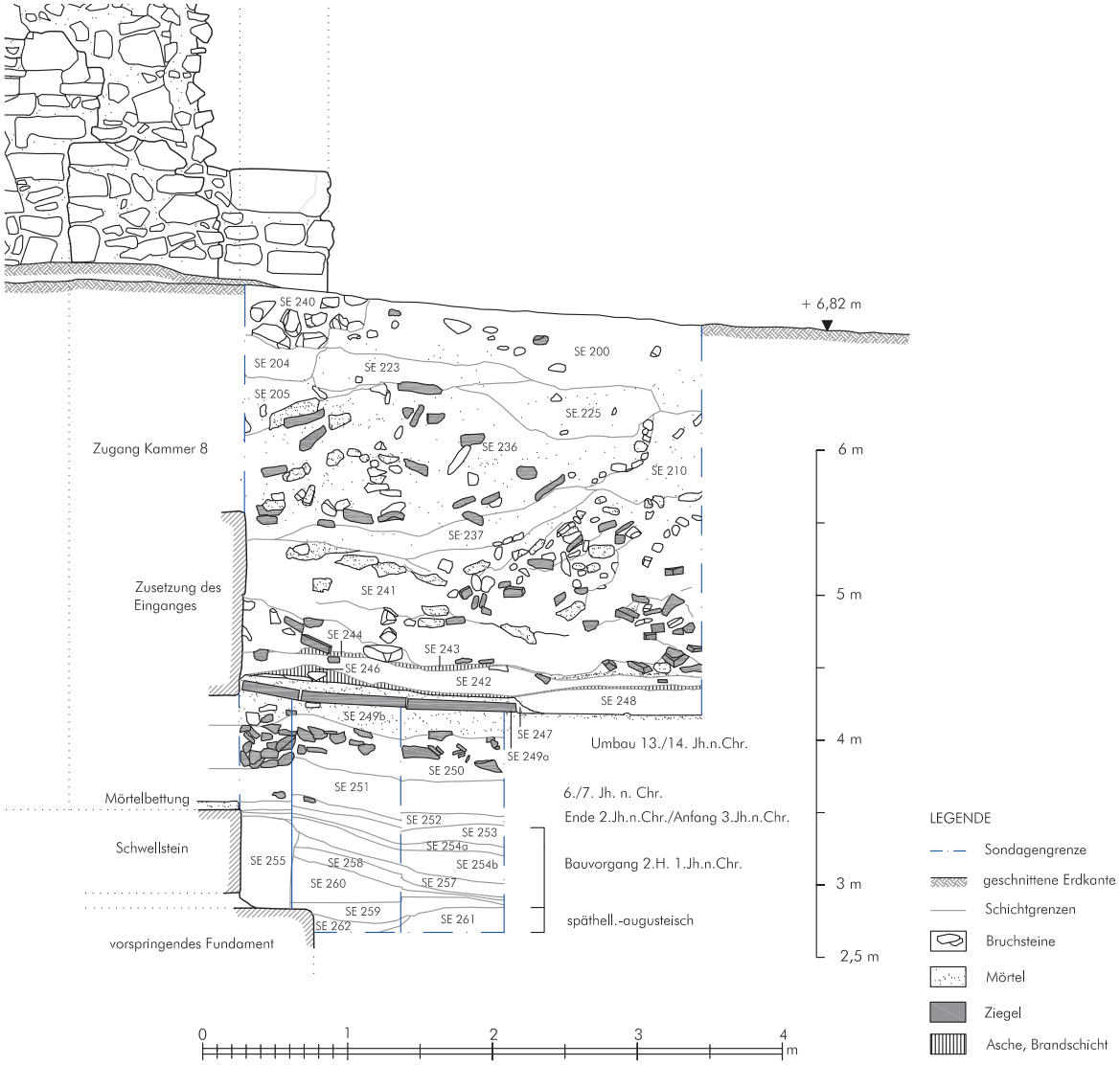


Abb. 15 Sondage 1/2010, Westprofil, M. 1 : 50

bereits späthellenistisch/augusteisch, weshalb davon auszugehen ist, dass die tiefer reichenden Gebäudefundamente der Außenmauern an ältere anstehende Stratifikation angesetzt wurden[346].

Zusammenfassend zeigt sich also, dass der Errichtungszeitraum des Gebäudes durch das keramische Fundmaterial aus mehreren Schichten, die mit dem Bauvorgang in Zusammenhang gebracht werden können, in die zweite Hälfte des 1. Jahrhunderts n. Chr. datiert werden kann. Eine Umgestaltungsphase im 2. Jahrhundert spiegelt sich in der Stratigrafie und einer zugehörigen Mörtelschicht auf dem Schwellstein des Zugangs zu Kammer 8 wider. Unmittelbar darüber befindet sich eine Schicht aus dem 6.–7. Jahrhundert n. Chr., die eine Vernachlässigung des Gebäudes in dieser Zeit belegt. Der Adaption des Gebäudes im 13./14. Jahrhundert n. Chr. geht eine Brandzerstörung unmittelbar voraus, deren Versturz den Untergrund eines darüberliegenden Ziegelplattenbodens bildet. Die spätbyzantinische Verlegung des Ziegelplattenbodens mit vermutlich sekundär verwendeten Ziegelplatten vor der Nordfassade geht mit der Zumauerung des Zugangs zu Kammer 8 und einem Neuverputz der Nordfassade einher.

*Nicole Reitinger*

346 Vgl. Sondage 5/2010, s. auch Kap. III.2.

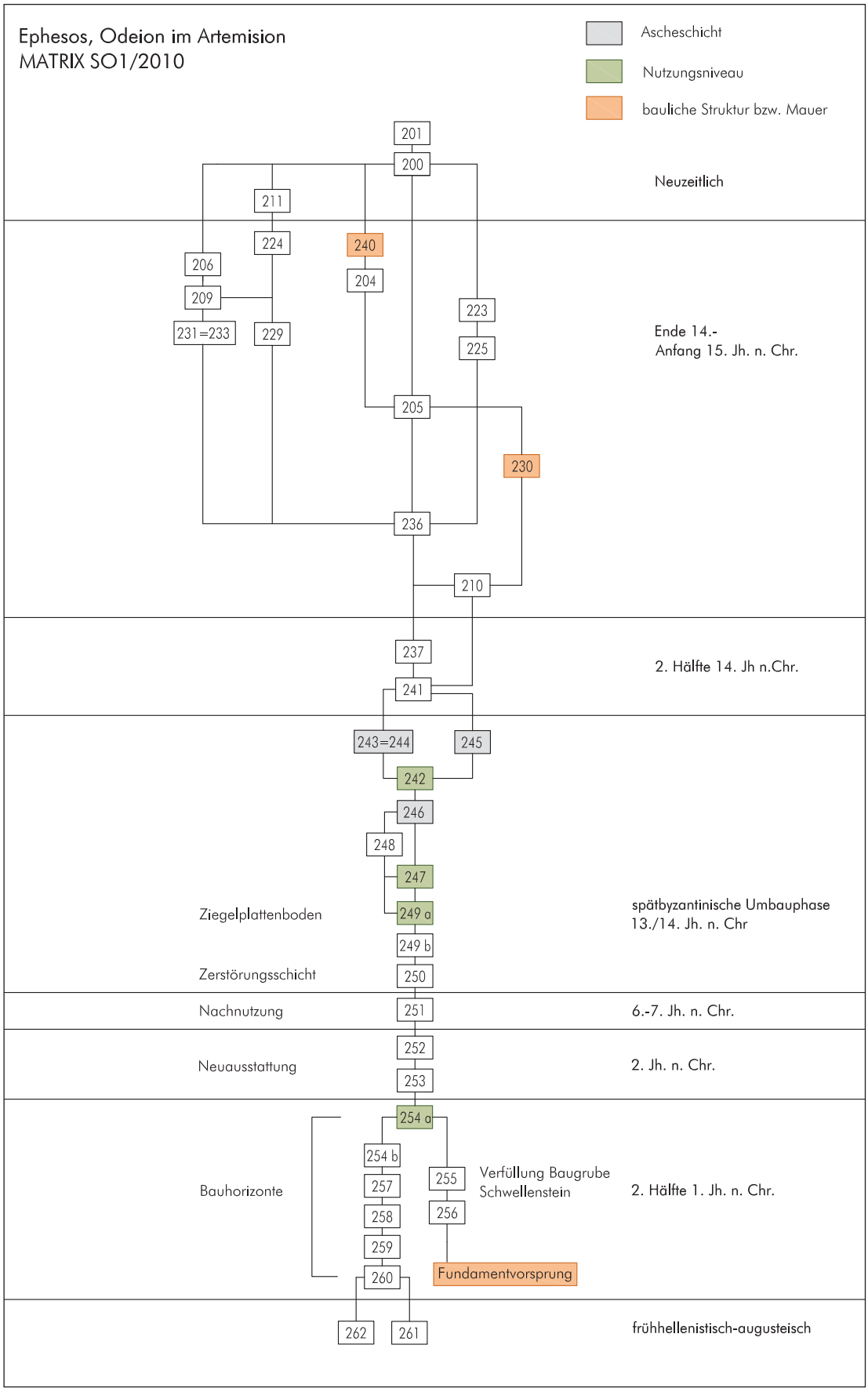


Abb. 16 Sondage 1/2010, Matrix

## VI.3 SONDAGE 5/2010

Sondage 5/2010 (5 × 2,47 m) wurde vor der östlichen Schildwand von Kammer 5a angelegt, um das bauzeitliche Bodenniveau innerhalb der Substruktionskammern zu untersuchen und die Um- und Nachnutzungsphasen derselben zu dokumentieren (Plan 1. 3. 11. 12. 18, 2). Die Wahl fiel auf Kammer 5a, da in dieser das rezente Laufniveau im östlichsten Bereich vor der Schildwand um 1,50 m tiefer liegt als im Außenbereich, weshalb damit gerechnet werden konnte, schneller in relevante Schichten zu gelangen.

Bereits vor Grabungsbeginn war in der Südwand der Kammer der Scheitel eines Bogens sichtbar. Es zeigte sich, dass dieser Bogen in der Südostecke von Kammer 5a zu einem schmalen Gang führte, der nur 78 cm breit und 1,52 cm lang war (Taf. 47, 1–3). Der Gang verläuft von der Südostecke der Kammer 5a schräg nach Südosten und mündet in die konisch angelegte Kammer 5b, die ebenfalls ein abfallendes Gewölbe aufweist, aber sehr hoch mit Erdmaterial verfüllt ist, weshalb die Kammertiefe nur bis 4,20 m messbar ist. Die obersten Schichten SE 700–SE 712 sowie SE 718 und SE 725 datieren in byzantinische oder mittelalterliche Zeit und werden im Detail gesondert vorgelegt werden (Abb. 17). Darunter kam auf einer abs. H von 3,95 m zunächst ein Estrichmörtel (SE 717a) zum Vorschein, der jedoch nicht bis an die Kammerwände reichte. Vielmehr wurde der Estrich von einer Bruchstein-Mörtel-Mauer begrenzt (SE 721), die bis auf eine maximale Höhe von 50 cm erhalten war. Im Zuge weiterer Arbeiten wurde deutlich, dass entlang der Kammerwände ein Kanal verläuft, der an seiner Sohle (abs. H 3,45 m) mit langrechteckigen Ziegelplatten (38 × 59 × 2,5 cm) ausgelegt ist (SE 724. Unterbau SE 728), womit die Funktion als Latrine eindeutig bestimmt werden kann (Taf. 47). Zusätzlich wurde mittig eine Tonrohrleitung (SE 720, D 9,56 cm) freigelegt, die als Frischwasserzuleitung für die Kanalspülung zu interpretieren ist. In die horizontal verlegte Tonrohrleitung mündete ein vertikaler Strang, der bis zur Oberkante des zugehörigen Nutzungsniveaus aus Estrichmörtel (SE 717a) freigelegt wurde. Somit gab es einen Abfluss von Brauchwasser im eigentlichen Latrinenraum, der an die Frischwasserzuleitung zur Kanalspülung angeschlossen war. Weitere Indizien, die eine Interpretation als Latrine nahelegen, sind etwa der hydraulische Putz, der sich an allen drei Kammerwänden findet. Dass es sich bei der Latrine um einen späteren Einbau handeln muss, belegt die Abmauerung des bauzeitlichen schmalen Gangs in der Südostecke (SE 716). Mit der Oberkante der Zumauerung korrespondieren Einsatzlöcher für die Konsolsteine der Latrinensitze, für die einzelne Bruchsteine aus dem Mauerverband geschlagen worden waren (Taf. 47, 1. 3).

Zwei unbestimmbare antike Münzen (**Kat. M 7**. **M 8**) wie auch eine weitere unter Antoninus Pius geprägte Münze (**Kat. M 2**) fanden sich in der Verfüllung des Latrinenkanals (SE 723) neben keramischem Fundmaterial, das durchwegs in das 3. Jahrhundert n.Chr. datiert. Vergleichbare Fundkontexte des 3. Jahrhunderts n. Chr. im Hanghaus 2 unterstützen diese Datierung[347]. Aus derselben Schicht stammt allerdings auch eine Münze (**Kat. M 5**), die in das 4./5. Jahrhundert n. Chr. datiert werden kann[348]. Es bleibt zu bemerken, dass einer homogenen keramischen Datierung des 3. Jahrhunderts n. Chr. die Münzdatierung des 4./5. Jahrhunderts n.Chr. entgegensteht, weshalb die Latrine zum Deponierungszeitpunkt der Münze vermutlich nicht mehr aktiv in Nutzung, jedoch noch sichtbar und zugänglich war.

Auf der Verfüllung des Latrinenkanals fand sich vor der Nordwand von Kammer 5 ein Kistengrab (SE 740, 67 × 42 cm)[349], in dem sich zweieiige Ost-West orientierte Zwillinge mit den Köpfen im Westen befanden, die offenbar kurz vor der Geburt verstorben waren (L der Skelette

[347] Vgl., Kap. VII.1.3.

[348] Vgl. Kap. VII.5.1 **Kat. M 5**.

[349] Das Kistengrab bestand aus fünf senkrecht gestellten Ziegelplatten, wovon eine das gleiche Ziegelzeichen (K) aufweist wie die Ziegelplatten der Kanalsohle der Latrine, weshalb eine sekundäre Verwendung derselben belegt ist. Die übrigen vier Ziegel bestehen aus wiederverwendeten Dachziegeln als Grabbegrenzung. Abgedeckt war das Grab mit zwei Steinplatten und einem weiteren Dachziegelfragment.

*in situ*: 41 cm)[350]. Überdeckt wurde SE 740 von Schicht SE 718, die bereits in byzantinische Zeit datiert. Eine $^{14}$C-Datierung der Skelette belegt, dass diese aus dem 8./9. Jahrhundert n. Chr. stammen; im Detail wird auch dieser mit den übrigen mittelalterlichen Befunden gesondert vorgelegt werden[351].

Für die Datierung des Latrineneinbaus können die Schichten SE 717b, SE 721, SE 722, SE 727, SE 729 und SE 726 = SE 730 herangezogen werden. Bei diesen Schichten handelt es sich um Mauerreste sowie Aufschüttungen und Planierungen, die infolge stratigrafischer Zusammenhänge ohne Zweifel mit dem Einbau der Latrine in Verbindung gebracht werden können. Aufgrund des keramischen Fundmaterials, das aus diesen Schichten kommt, kann diese Ausstattungsphase an das Ende des 2. oder Anfang des 3. Jahrhunderts n. Chr. datiert werden[352].

Das Niveau der Kanalsohle entspricht in etwa dem Bodenniveau des bauzeitlichen Gangs, welcher im Zuge des Einbaus der Latrine mit einer Mauer verschlossen wurde. Es ist daher davon auszugehen, dass spätestens im Verlauf der Umbaumaßnahmen der originale bauzeitliche Boden aus Kammer 5a entfernt wurde. Unter den Aufschüttungen für die Latrine kam zunächst eine fundleere, kompakte Mörtel-Bruchstein-Schicht (SE 731) mit Marmorabschlag zum Vorschein, worunter Material aus Ziegelschrot und Kalk (SE 733 = SE 734) lag. Diese Schichten (abs. H 2,97–2,92 m), aus denen kein diagnostisches Keramikmaterial geborgen wurde, können infolge ihrer Zusammensetzung als Bauhorizonte identifiziert werden.

Die darunterliegenden Lehmschichten (SE 735–SE 737 Abb. 17–18) zeigen in ihrem keramischen Fundmaterial ein einheitliches Erscheinungsbild. Abgesehen von einem beträchtlichen Anteil qualitativ hochwertiger archaisch-klassischer und hellenistischer Fragmente datieren die jüngsten Keramikfragmente in das 1. Jh. n. Chr. Diese Schichten können daher ebenfalls mit dem Bauvorgang in Zusammenhang gebracht werden, wobei es sich aufgrund der hohen Anzahl an keramischen Altstücken wahrscheinlich um umgelagertes Material aus tiefer gelegenen Schichten handelt, das beim Ausheben der Baugrube als Verfüllung erneut Verwendung fand. Eine Besonderheit im archäozoologischen Fundmaterial der Schichten SE 735–SE 739 bilden 57 Austernschalen, die neben ihrer beträchtlichen Anzahl auch durch ihre Größe und Qualität auffallen und ein möglicher Hinweis auf Festmähler gehobenen Standards aus früheren Zeiten sind[353]. Zu erwähnen sind weiters ockerfarbene und rote Wandmalereifragmente, die in den Schichten SE 735–SE 737 gefunden wurden und von älteren Gebäuden stammen könnten (Taf. 23, 3–5)[354]. Aus den zuunterst ergrabenen Schichten SE 738 und SE 739 konnte kein datierendes Fundmaterial geborgen werden.

Die ausgewerteten Resultate konnten für Sondage 5/2010 daher zunächst die Datierung der Errichtungszeit des Gebäudes erneut bestätigen (vgl. Sondage 1/2010), die sich hier auf das 1. Jahrhundert n. Chr. eingrenzen lässt. Das bauzeitliche Bodenniveau in Kammer 5a konnte durch den erhaltenen Boden des Gangs in der Südostecke ermittelt werden (3,47 m abs. H), welcher beim Einbau einer Latrine Ende des 2./Anfang des 3. Jahrhunderts n. Chr. entfernt wurde. Die Verfüllung des Latrinenkanals datiert durchwegs in das 3. Jahrhundert n. Chr., weshalb von einer aktiven Aufgabe der Latrinennutzung im 3. Jahrhundert n. Chr. ausgegangen werden kann. Die Latrinenverfüllung beinhaltete jedoch auch einen einzelnen Münzfund des 4./5. Jahrhunderts n. Chr.[355], weshalb angenommen werden kann, dass die Latrine noch bis in das 4./5. Jahrhundert n. Chr. sichtbar und zugänglich war. Darüberliegende Schichten datieren bereits in die byzantinische

---

350 Laut mündlicher Mitteilung von Michael Schultz, Universität Göttingen, der die Bergung der Skelette im Jahr 2010 vornahm.

351 Die Probe wurde im Poznan Radiocarbon Laboratory gemessen. Das Ergebnis (1220±30) wurde mit OxCal 4.2 (vgl. Bronk Ramsey 2009, 425–30) anhand der INTCAL13 Kalibrationskurve (vgl. Reimer u. a. 2013) kalibriert. Die Datierung fällt mit 95,4 % Wahrscheinlichkeit zwischen 748 und 887 n. Chr.

352 Vgl. Kap.VII.1.3.

353 Vgl. Kap. VII.6.3.

354 Vgl. Kap. V.3.

355 Vgl. Kap. VII.5.1 **Kat. M 5**.

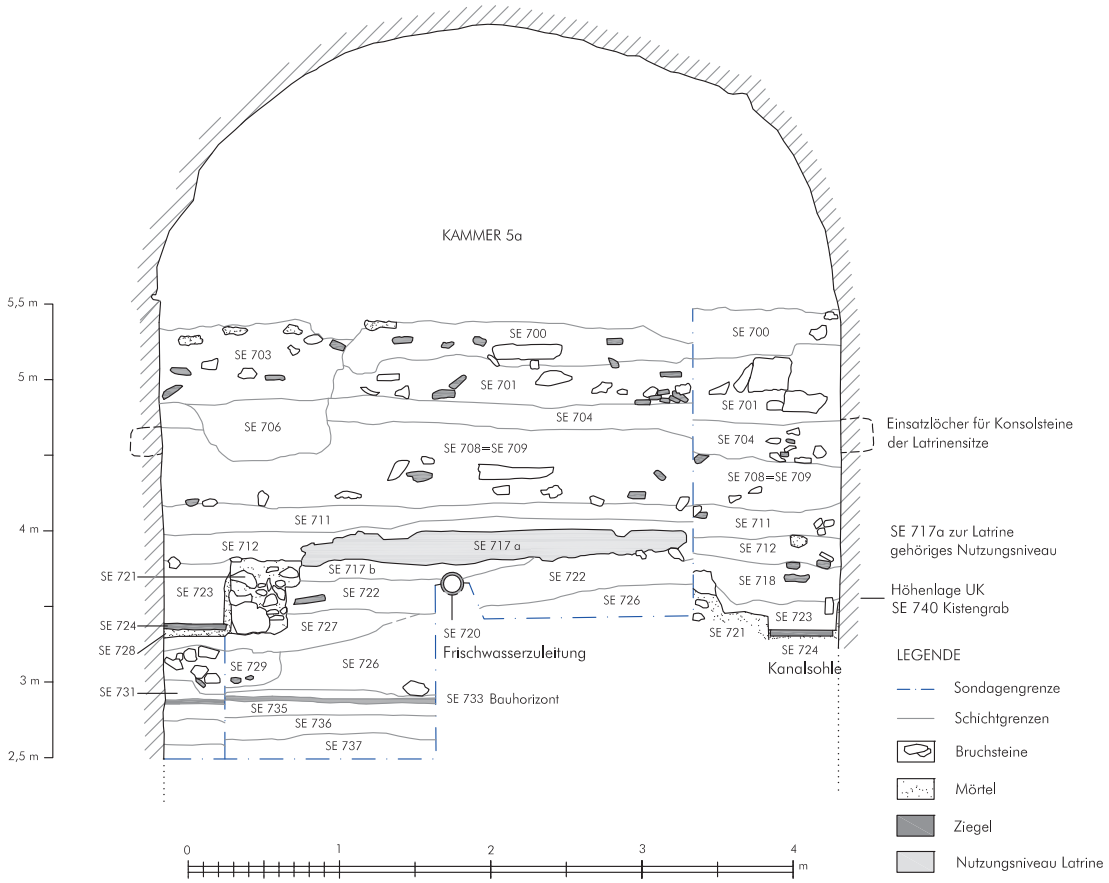


Abb. 17 Sondage 5/2010, Westprofil, M. 1 : 50

Zeit, in der auch ein Grab im Bereich des ehemaligen Latrinenkanals gesetzt wurde. $^{14}$C-Daten belegen, dass die zweieiigen Säuglinge im 8./9. Jahrhundert n. Chr. hier bestattet wurden, nachdem sie kurz nach der Geburt verstorben waren.

## VI.4 SONDAGE 3/2010–1/2011

Bereits im Jahr 2010 konnte in der Nordwestecke auf der Gebäudeoberseite im Bereich von Sondage 3/2010 der Unterbau einer gekrümmten Cavea freigelegt werden (Plan 2. 4), obwohl die bauzeitliche Oberfläche in Sondage 3/2010 durch mittelalterliche Abarbeitungen und Überbauungen stark verunklärt ist. Sondage 3/2010 wurde schließlich bis zu der Ostwand von Kammer 8 erweitert, da bereits im Lauf der Kampagne 2009 deutlich wurde, dass diese Substruktionskammer keine südliche Schildwand besitzt. Letztlich stellte sich heraus, dass Kammer 8 als Treppenaufgang zu identifizieren ist (Taf. 10, 1). Alle marmornen Deckplatten wurden abgebaut, bis auf drei Blöcke der Treppenwange sowie drei Stufenblöcke, die *in situ* erhalten sind[356]. Im Jahr 2011 wurde die Fläche nach Osten erweitert (Sondage 1/2011), um eine Rekonstruktion durch die Freilegung von tiefer liegenden und daher besser erhaltenen Sitzstufen zu ermöglichen. Es zeigte sich, dass der Erhaltungszustand der Sitzreihen unterhalb des Diazomas tatsächlich sukzessive besser war. Unterhalb des umlaufenden Gangs (abs. H 7,20 m) waren zunächst Abdrücke der Marmordeckplatten zu sehen, welche schließlich teilweise sogar *in situ* erhalten waren (ab abs. H 5,82 m). Eine der Deckplatten (80,5 × 14 cm) weist noch eine intakte vorkragende Vorderkante auf, welche eine schematische Rekonstruktion der gesamten Cavea erlaubte (Taf. 10, 3). Die Höhe der Sitz-

[356] Vgl. Kap. III.3.8 sowie Kap. III.4.

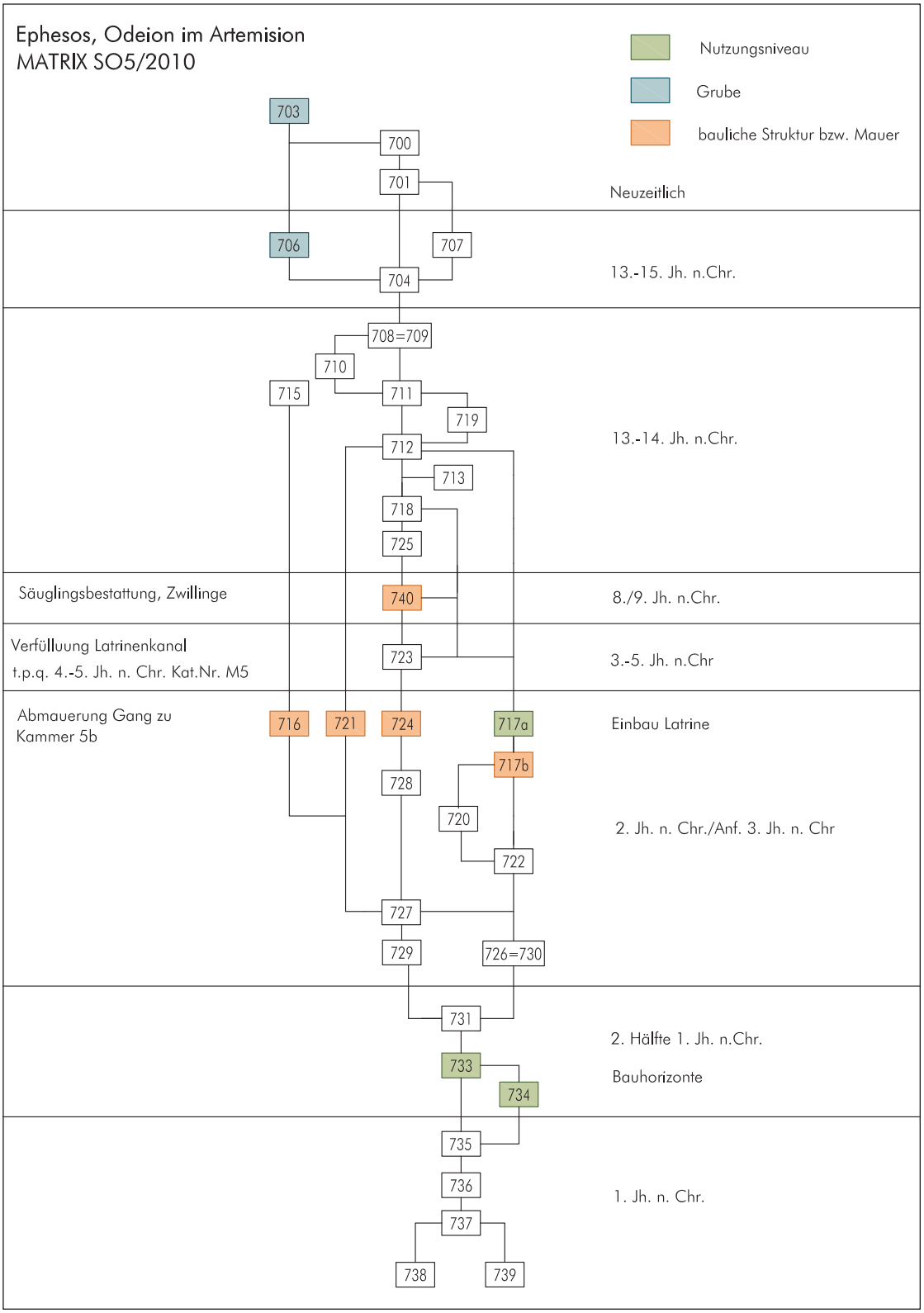


Abb. 18 Sondage 5/2010, Matrix

stufen beträgt daher insgesamt 36 cm (22 cm hohe Stoßplatten, 14 cm hohe Deckplatten), ihre Tiefe 80,5 cm.

Die Auswertung des keramischen Fundmaterials ergab in Sondage 3/2010 durchwegs mittelalterliche und spätbyzantinische Nutzungsschichten. In Sondage 1/2011 ist für die beiden untersten ergrabenen Schichten SE 918 und SE 919 eine Datierung in das 5./6. Jahrhundert n. Chr. anzunehmen. Da jedoch in der benachbart gelegenen Sondage 2/2011 diese beiden Schichten in der abs. H SE 1028 und darüber SE 1023/SE 1024 entsprechen, die in das 7.–9. Jahrhundert n. Chr. gesetzt werden können, ist wohl auch für die Schichten SE 918 und SE 919 ein vergleichbarer Zeitraum für deren Formierung anzunehmen.

*Julia Dorner*

## VI.5 SONDAGE 2/2011

Sondage 2/2011 wurde im Bereich der vermuteten Orchestra angelegt, mit dem Ziel, das Niveau derselben zu ermitteln sowie die Zerstörungs- und späteren Nutzungshorizonte freizulegen (Plan 1–4). In den obersten Erdschichten fanden sich, wie in allen Sondagen, mittelalterliche Strukturen mit großen Abfallgruben, die eine ausgeprägte Nutzung des Areals in dieser Zeit dokumentieren, im Detail aber gesondert vorgelegt werden sollen. Die darunterliegende mittelbyzantinische Schicht SE 1028 (7.–9. Jh. n. Chr.) besteht aus feinem Sediment, das mit Feinkies, Bruchsteinen und einigen Ziegelfragmenten durchsetzt ist. Es folgen massive Schuttschichten, die bis zu maximal 1,30 m stark sind und allesamt in den Zeitraum des 6.–7. Jahrhunderts n. Chr. datiert werden können (SE 1031. 1032. 1029 = 1033. 1034. 1036. 1043). Die heterogenen Schuttschichten sind vor allem aus Bruchstein- und Ziegelmaterial zusammengesetzt, mit einem großen Anteil an Dachziegeln, vereinzelten Wandziegeln sowie große Mengen an Marmorabschlag. Aus dem Fundmaterial dieser Schichten sind fünf Bauornamentikteile (**Kat. A 21**–**25** Taf. 36. 37)[357], ein Skulpturenfragment (**Kat. S 3** Taf. 42, 6)[358] sowie einige Glasfragmente (**Kat. G 5**–**G 10** Taf. 92)[359] besonders zu erwähnen. Große Mengen an Gebrauchskeramik sowie Tierknochenfunde, die als Schlachtabfall, größtenteils vom Rind[360], angesprochen werden können, belegen, dass diese Schichten nicht beim Einsturz des Gebäudes entstanden sein konnten. Die Schuttschichten reichen bis auf eine abs. H von 4 m, auf welcher die Oberseite der Bühne (SE 1037) zum Vorschein kam. Die Marmorplatten der Bühne sind beraubt, wodurch das darunterliegende *opus caementicium* sichtbar ist. Direkt auf der beraubten Bühnenoberseite liegt ein großformatiger Gebälkblock (**Kat. A 12** Taf. 34), der zum Bühnengebäude gehören muss, das sich weiter im Osten im Bereich der Plantage befindet. Ein weiterer Block sowie ein Säulenfragment im Profil unterstützen diese Vermutung. Alle Blöcke weisen grobe Abarbeitungsspuren auf, die auf einen systematischen Marmorabbau deuten.

Eine gleichzeitige Nutzung als Deponie für Keramikbruch und Schlachtabfall belegen den fortschreitenden Verfall des Gebäudes.

Im Bereich vor der Bühne wurde weiter abgetieft, um das Bodenniveau der Orchestra freizulegen. Unter den erwähnten Schuttschichten fanden sich lehmig-sandige Erdschichten (SE 1035. SE 1038. SE 1039), durchsetzt mit etwas Ziegelsplitt und Mörtelresten, in SE 1039 Aschepartikel und verkohlte Holzfragmente. Aus dem Fundmaterial sind ein überlebensgroßes Ellbogenfragment mit Gewandfalten (**Kat. S 1**, OK SE 1038, Taf. 42, 1. 2), einige kleinformatige Bronzeplättchen (SE 1035), eine Beintessera (**Kat. KF 7** Taf. 93. 94), eine Beinhaarnadel (**Kat. KF 6** Taf. 94) sowie Glas- (**Kat. G 11**–**G 14** Taf. 92) und Wandmalereifragmente (SE 1038. 1039, Taf. 24, 1–6)[361] zu

[357] Vgl. Kap. V.4.
[358] Vgl. Kap. V.5.1.
[359] Vgl. Kap. VII.2.
[360] Vgl. Kap. VII.6.3.
[361] SE 1038: FNr. 254. 262; SE 1039: FNr. 263.

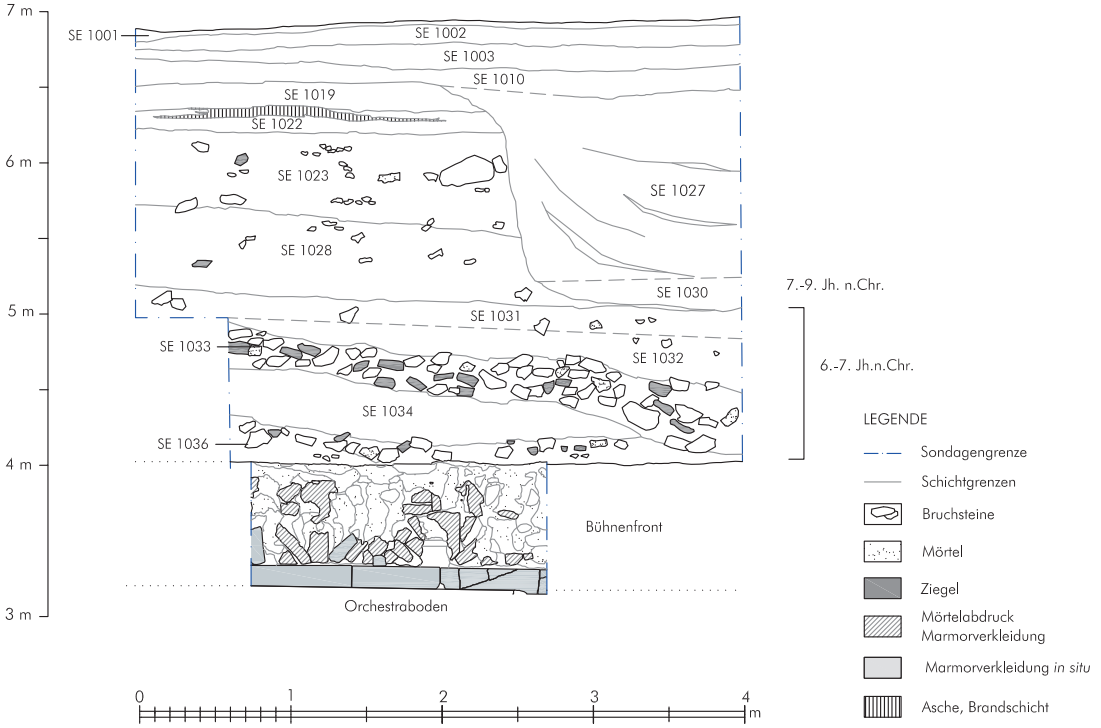


Abb. 19 Sondage 2/2011, Ostprofil, M. 1 : 50 (Bühnenfront im Detail vgl. Taf. 23, 1)

erwähnen. Letztere zeigen eine rot-schwarze Rahmung auf weißem Hintergrund. Die Schichten SE 1035, 1038 und 1039 datieren aufgrund ihres keramischen Fundmaterials in das 5.–6. Jahrhundert n. Chr., bestätigt auch durch einen Münzfund (**Kat. M 6**), der allgemein zwischen dem 5. und 7. Jahrhundert n. Chr. eingeordnet werden kann[362].

Darunter liegen die beiden untersten Schichten SE 1040 und SE 1041. An der Oberkante von SE 1040 fanden sich teilweise Ascheanhäufungen. SE 1040 besteht vorwiegend aus Dachziegeln und ist daher mit dem Einsturz eines ziegelgedeckten Daches in Verbindung zu bringen. Wegen des kleinteiligen Erhaltungszustands der Dachziegelfragmente im ergrabenen Bereich können keine Aussagen über die Größe und Gestalt einzelner Ziegel getroffen werden. Infolge der überraschenden Einstellung aller Feldarbeiten im Jahr 2012 konnte eine geplante Erweiterung der Sondage im Orchestrabereich nicht vorgenommen werden, weshalb die Dokumentation aussagekräftiger Dachziegelfragmente vorläufig ein Desiderat bleibt.

Auffallend ist in dieser Schicht eine massive Anhäufung von Marmorfragmenten jeder Art. Neben zahlreichen *opus sectile*-Plättchen (Taf. 22) sind einige Marmorprofile sowie drei Skulpturenfragmente zu erwähnen (**Kat. S 2**. **S 4**. **S 5** Taf. 42). Aufgrund von Material, Format und Ausführung sind die genannten Marmorfragmente **S 1**–**S 5** Teile ein und derselben überlebensgroßen Porträtstatue der *scaenae frons*, möglicherweise dem Standbild eines Stifters, zuzuweisen[363]. Auch Wandmalereifragmente, vergleichbar jenen aus SE 1038 und 1039, fanden sich in SE 1041, wobei diese Stücke zusätzlich zu roter und schwarzer Rahmengestaltung auch gelbe und grüne Farben zeigen (Taf. 24, 7. 8).

SE 1041 bildet die letzte Schicht über dem freigelegten *opus sectile*-Boden in der Orchestra, der auf 3,21 m abs. H liegt (Abb. 20. 22). SE 1041 besteht aus feinem, sandigem Material, das von Ziegelsplitt, Mörtel- und Kalkpartikeln durchsetzt ist und im Gegensatz zu SE 1040 nur vereinzelt Ziegelfragmente aufweist. Es konnten zahlreiche kleinformatige Marmorfragmente des darunter-

362 Vgl. Kap. VII.5.1 **Kat. M 6**. Ein weiterer Münzfund aus SE 1039 ist eine republikanische Prägung der Stadt Rom (**Kat. M 1**).

363 Vgl. Kap. V.5.1.1.

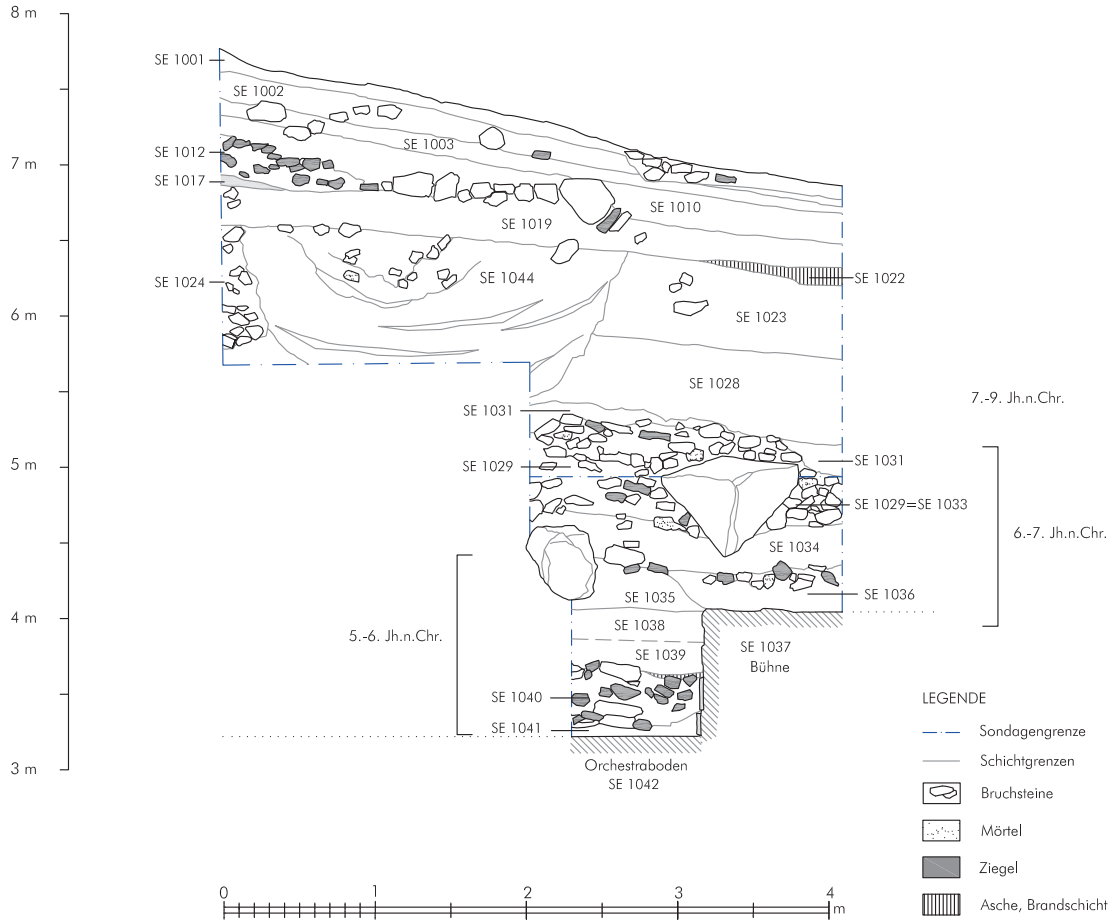


Abb. 20 Sondage 2/2011, Nordprofil, M. 1 : 50

liegenden *opus sectile*-Paviments geborgen werden. Aus SE 1041 stammen einige Bronzeplättchen sowie ein Bleiverguss und Wandmalereifragmente, analog zu SE 1038, 1039 und 1040. Eine Münze des Valerianus/Gallienus[364] (**Kat. M 3**) gibt für die Formierung dieser Schicht einen *terminus post quem* von 253–268 n. Chr. vor. Die Keramikauswertung von SE 1040 und 1041 liefert eine Datierung in das 5.–6. Jahrhundert n. Chr., wie jene der darüberliegenden Schichten SE 1039, 1038 und 1035.

Die Auswertung des archäozoologischen Fundmaterials der Schichten des 5.–6. Jahrhunderts n. Chr. (insbesondere SE 1035–1039) ergab einen hohen Anteil von Schweineresten, deren Zusammensetzung auf deponierte Küchenabfälle eines gehobenen Ernährungsstatus deutet[365]. Die Schichten über den eigentlichen Zerstörungs- und Versturzschichten SE 1040 und SE 1041 spiegeln aufgrund ihrer homogenen Zusammensetzung aus feinem Sediment eher eine Zeit des natürlichen Verfalls wider. Die Orchestra war durch das zerstörte Dach nun der Witterung ausgesetzt, weshalb sich kleinkörniges Sediment in ihr sammelte und die darunterliegende Versturzschicht bedeckte. Die zeitweise Deponierung von Küchenabfällen belegt in diesem Zusammenhang die Frequentierung des Gebäudes, welche auch durch das übrige Fundspektrum bestätigt wird.

Die Marmorverkleidung der Bühnenfront war nur unterhalb der Schichtoberkante von SE 1040 erhalten (Abb. 19. 20 Taf. 23, 1. 2). Darüber war dieselbe systematisch abgenommen worden, wie auch die Platten der Bühnenoberseite gleichermaßen fehlen. Typologische Vergleiche des *opus*

364 Vgl. Kap. VII.5.1 **Kat. M 3**.
365 Vgl. Kap. VII.6.3.

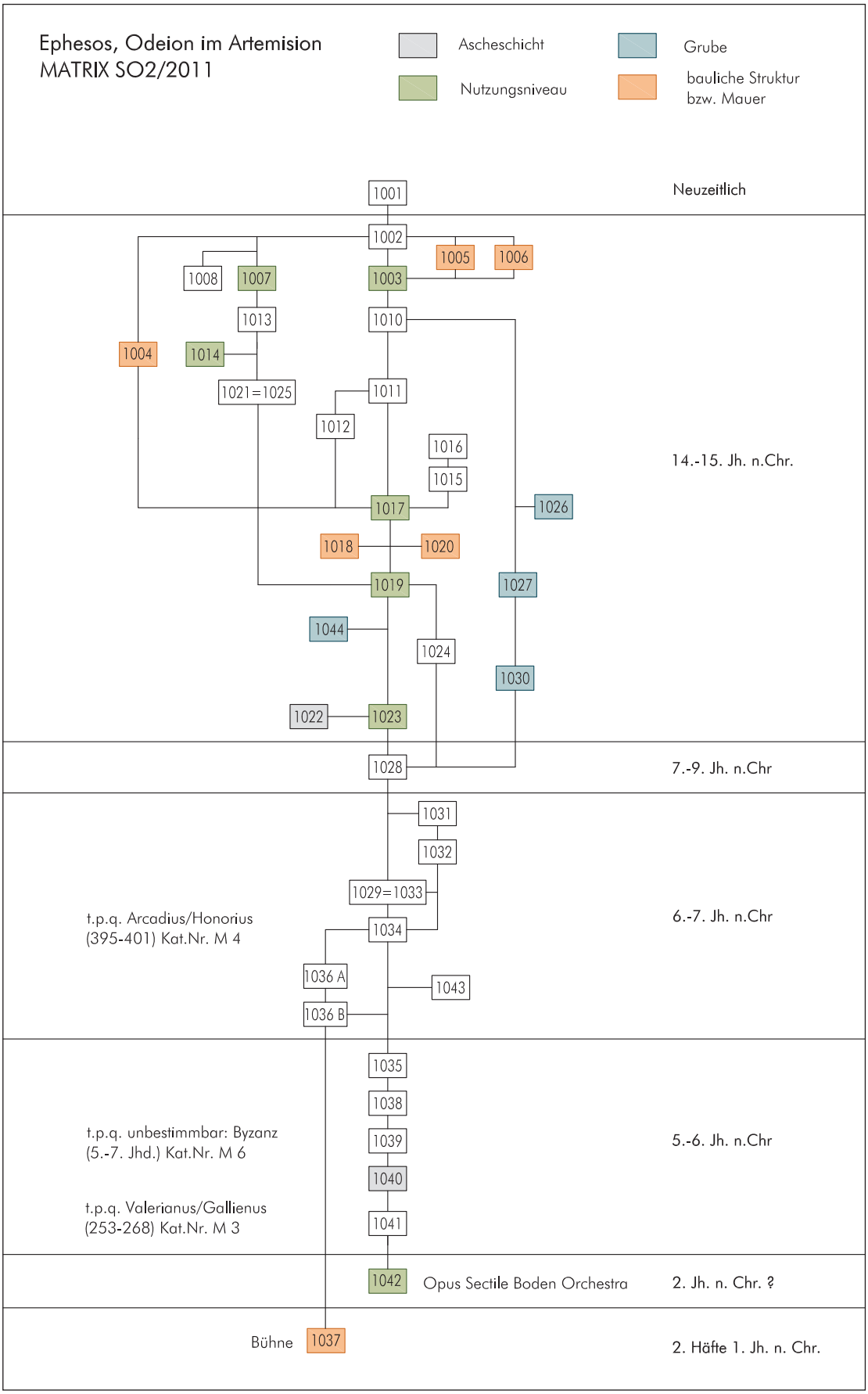


Abb. 21 Sondage 2/2011, Matrix

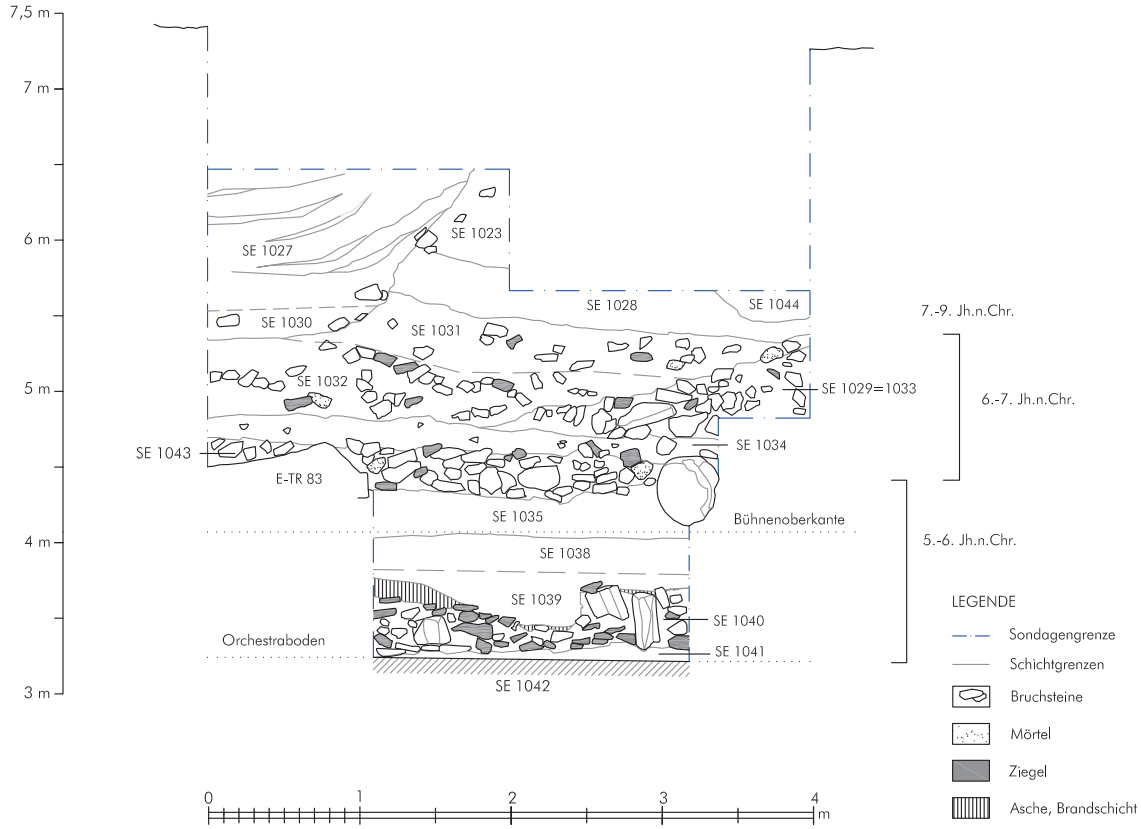


Abb. 22 Sondage 2/2011, Westprofil, M. 1 : 50

*sectile*-Belags (Taf. 21) mit dem Bodendekor in den Hanghäusern legen den Schluss nahe, dass dieser nicht bauzeitlich datiert werden kann, sondern in die spätere Ausstattungsphase des 2. Jahrhunderts n. Chr. zu setzen ist (s. Kap. V.1.1; IX.1.3.1).

Die Ergebnisse von Sondage 2/2011 können wie folgt zusammengefasst werden: Der *terminus ante quem* für die Aufgabe des Gebäudes sowie einer partiellen Zerstörung im Bereich der Orchestra ist durch das keramische Fundmaterial in das 5.–6. Jahrhundert n. Chr. zu setzen (Abb. 21). Der Abbau von Marmorbauteilen am Gebäude ist bereits kurz nach der Zerstörung im Laufe des 5. und 6. Jahrhunderts n. Chr. an der Bühnenfront belegt. Nur geringfügig später datieren die darüberliegenden Schuttschichten, die aufgrund des keramischen Fundmaterials in das 6.–7. Jahrhundert n. Chr. datiert werden können. Diese Straten enthalten ebenso Hinweise auf einen systematischen Marmorabbau und dokumentieren damit eine fortschreitende Zerstörung des Gebäudes. Die gleichzeitige Nutzung als Deponie für Keramikbruch und Schlachtabfall verdeutlicht die Gebäudefunktion zu dieser Zeit. Die durchgehende zweckentfremdete Verwendung des Gebäudes bis in das Mittelalter bezeugen fortlaufende byzantinische Schichten, deren ausgewerteten Befunde im Detail gesondert vorgelegt werden.

## VI.6 SONDAGE 3/2011

Sondage 3/2011 wurde, um die Krümmung der Cavea exakt rekonstruieren zu können, so platziert, dass der umlaufende Mittelgang (Diazoma) diagonal durch den Schnitt verläuft (Plan 1. 2; Taf. 11). Der Gang konnte erwartungsgemäß auf einer abs. H von 7,20 m freigelegt werden. Ein weiteres Resultat dieser Sondage zeigt, dass es entsprechend zu Kammer 8 in der südlichen Hälfte der Cavea keinen symmetrischen Stiegenaufgang auf das Diazoma gibt. Die Asymmetrie der Substruktionskammern wurde somit auch auf die Cavea selbst übertragen. Im Bereich von Son-

dage 3/2011 wurden weiters Abdrücke der Antrittsstufen einer der vermutlich drei Radialtreppen freigelegt, die in einem Winkel von 45° zur Gebäudeachse liegt. Der Anschluss der Sitzstufen an die Radialtreppen wurde mit seitlichen Wangensteinen verkleidet, wovon sich deutliche Abdrücke erhalten haben[366]. Im gesamten Bereich von Sondage 3/2011 sind die Marmordeckplatten der Sitzstufen abgebaut, wodurch das *opus caementicium* flächig sichtbar ist.

Die Auswertung des keramischen Fundmaterials belegt nur für den tiefst gelegenen Bereich der Sondage nordöstlich des umlaufenden Gangs (7,20–7,30 m abs. H) vorbyzantinische Straten, die vor dem Nordprofil bei 7,30 m abs. H. ansetzen und bis auf 6,50 m abs. H. ziehen (SE 1150. SE 1151 = SE 1148. SE 1152). Die Keramik datiert diese drei Schichten vom 5. bis in das 6. und an den Anfang des 7. Jahrhunderts n. Chr. und liefert einen *terminus ante quem* für die Aufgabe des Gebäudes im Bereich von Sondage 3/2011[367]. Aus dem Fundmaterial sind einige Glasfläschchen zu erwähnen, deren formtypologische Einordnung die keramische Datierung bestätigt (**Kat. G 16–G 20**)[368]. Die darüberliegenden Schichten mit großen Abfallgruben (SE 1134A–D. SE 1146) sowie mehrphasigen Mauerstrukturen (SE 1106. SE 1107A–D) fallen bereits in mittelalterliche Zeitstellung.

## VI.7 SONDAGE 4/2010–4/2011

Sondage 4/2010 sollte den Zusammenhang von Kammer 9 mit den monumentalen Bogenblöcken des Zugangs an der Nordostecke klären (Taf. 48, 3; 49; Plan 3. 14. 15. 19, 2). Bereits während der vorbereitenden Reinigungsarbeiten in diesem Bereich im Jahr 2009 zeigte sich, dass das erhaltene geneigte Gewölbe von Kammer 9 nicht bis zu der Nordfassadenfront reichte, sondern einen vertikalen Abschluss aus einem Bruchsteinbogen aufwies, der 4 m vor der vermuteten nördlichen Schildwand lag (Abb. 23 Taf. 9, 1; 49, 1)[369]. Um die Grundrisslösung, im Besonderen zwischen den Bogenblöcken und dem erhaltenen überwölbten Bereich von Kammer 9, zu klären, sollten daher die Maueranschlüsse freigelegt werden. Nach dem Abtragen mittelalterlicher Bruchsteinmauern zwischen Kammer 8 und Kammer 9 wurde deutlich, dass die originale Quermauer, welche Kammer 9 mit den Bogenblöcken verbindet, noch tiefer ausgerissen war. Auf einer abs. H von 5,25 m kam die erhaltene Mauerkrone der Zwischenwand zum Vorschein (SE 815).

Ein markantes Bodenniveau (SE 843), das aufgrund der annähernd übereinstimmenden absoluten Höhe mit bauzeitlichen Gehhorizonten in anderen Sondagen (Sondage 1/2010 und 5/2010) als bauzeitliches Bodenniveau infrage kommt[370], konnte vor der westlichen Längswand der Kammer auf einer Fläche von 1 × 0,80 m freigelegt werden (abs. H. 3,75–3,80 m), ist aber in der nördlichen Hälfte der Sondage ausgerissen, wodurch es im nördlichen Sondagenprofil nicht zu sehen ist (Abb. 23 Taf. 49, 2). Der erhaltene Mörtelestrich weist rechteckige Abdrücke der Bodenplatten auf, die abgenommen worden waren und auf eine Plattengröße von 57 × 48 cm schließen lassen. Unter diesem Mörtelestrich fanden sich flächige Schotter- und Steinanschüttungen (SE 845. SE 847), die mit zunehmender Tiefe größere Schottersteine in sich bargen (D 5–25 cm). Diese Schichten sind als Hinterfüllung des Mauerfundaments der Zwischenwand von Kammer 8 und 9 zu interpretieren (s. auch Kap. III.3.9 und III.2) und konnten auf einer Fläche von 1 × 1 m freigelegt werden. Aus den Schichten unter dem Bodenniveau sowie dem Mörtelestrich selbst konnte nur sehr wenig keramisches Fundmaterial geborgen werden, sodass sich keine diagnostischen Aussagen treffen lassen. Die erste Schicht (SE 842), die über dem Bodenestrich zu liegen kam, kann nur allgemein vom späten Hellenismus bis in das 1. Jahrhundert n. Chr. eingegrenzt werden.

366 s. auch o. S. 47 mit Anm. 253 und u. S. 208 mit Anm. 498.
367 Vgl. Kap. VII.1.6.
368 Vgl. Kap. VII.2.
369 Vgl. Kap. III.3.9.
370 Absolute Höhen der nachgewiesenen bauzeitlichen Bodenniveaus in anderen Sondagen: Sondage 1/2010: Laufniveau Schwelle: 3,52 m abs. H; Sondage 5/2010: bauzeitliches Laufniveau durch Gang zwischen 5a und 5b: 3,47 m abs. H; vgl. Orchestraboden Sondage 2/2011: 3,22 m abs. H.

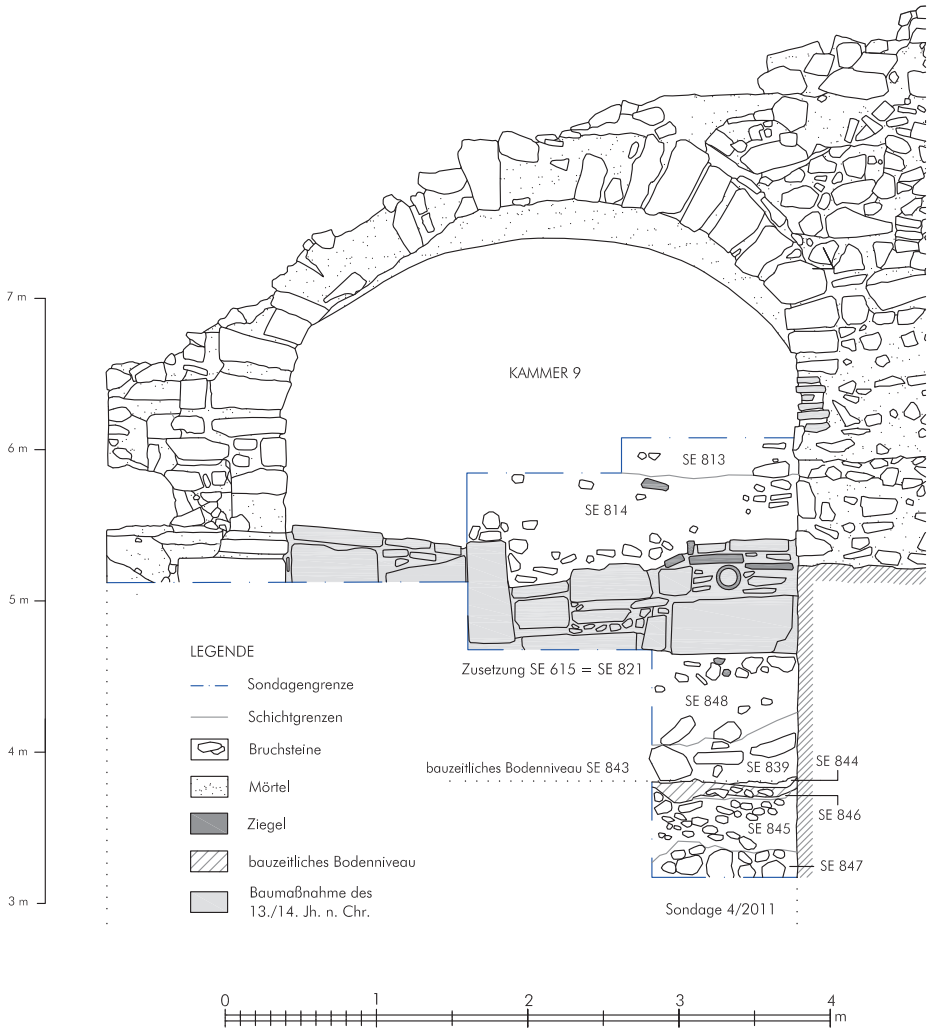


Abb. 23 Sondage 4/2010–4/2011, Südprofil, M. 1 : 50

Das Material, das an einer Stelle vor dem östlichen Sondagenprofil unmittelbar darüber liegt (SE 841), kann aufgrund weniger Fragmente nur vorsichtig in das 1.–3. Jahrhundert n. Chr. datiert werden. Aus der darüberliegenden Schicht SE 840 stammt bereits byzantinisches Fundmaterial. Eine gemörtelte Mauer (SE 834), die direkt auf den beraubten Boden SE 843 gesetzt wurde, liegt z. T. über SE 840, weshalb auch diese Mauer zumindest byzantinisch datieren muss. Südlich der Mauer reicht SE 839 bis auf das bauzeitliche Bodenniveau und enthält ebenfalls bereits byzantinisches Fundmaterial.

Von den jüngeren Befunden, die im Detail gesondert vorgelegt werden, ist jedenfalls SE 615 = SE 821 zu erwähnen, eine gemörtelte Mauer aus Bruchsteinen, Ziegel und Spolien, die über die gesamte Kammerbreite von 4 m von der vermuteten nördlichen Schildwand verläuft und mit dem frei liegenden Gewölbeabschluss korrespondiert. Diese Quermauer verschloss Kammer 9. Die Zusetzung von Kammer 9 (UK 4,65 m; OK 5,50 m) entspricht dem vermauerten Zugang zu Kammer 8 (UK 4,35 m; OK 5,66 m), der in Sondage 1/2010 freigelegt wurde, und belegt ein großräumiges Umgestaltungsprogramm im 13./14. Jahrhundert n. Chr.

In welcher Form der Bereich zwischen dem erhaltenen Gewölbe und den monumentalen Bogenblöcken des Haupteingangs gedeckt war, konnte nicht geklärt werden (s. Kap. III.3.9). Der 4 × 3,3 m große Raum kann jedenfalls als Foyer interpretiert werden, dem möglicherweise auch eine Verteilerfunktion in das östlich gelegene Bühnengebäude zukam.

*Lilli Zabrana*

# VII FUNDMATERIAL

## VII.1 KERAMIK

### VII.1.1 EINLEITUNG

Die Grabungen am Odeion im Artemision brachten u. a. Fundkeramik zutage, die im Folgenden vorgestellt werden soll[371]. Im vorliegenden Band werden ausschließlich die Befunde aus der Errichtungszeit des Gebäudes in der römischen Kaiserzeit und der Spätantike sowie der frühbyzantinischen Zeit vorgelegt. Darüberliegende Schichten mittel- und spätbyzantinischer Zeit sowie der anschließenden Beylik-Periode sollen aufgrund ihrer besonderen Bedeutung im Detail von Joanita Vroom gesondert vorgelegt werden[372]. Die römische bis spätantike Keramik liefert nicht nur wichtige Informationen zu der Bauzeit, sondern auch für den Zeitpunkt der Auflassung des Gebäudes sowie zu ersten spätantik-frühbyzantinischen Nachnutzungsphasen.

Bei der Gliederung des Beitrags wurde wie folgt vorgegangen[373]: Alle diagnostischen Rand-, Wand- und Bodenfragmente sind im Katalogteil aufgelistet. Parallelen aus Ephesos sowie von anderen Grabungsplätzen im östlichen Mittelmeerraum sind grundsätzlich im Katalogteil angegeben, weshalb auf deren Angabe im Textteil meist verzichtet wird. Im Textteil werden die Keramikfragmente aus den entsprechenden Straten nur kurz angeführt, insofern es sich nicht um besondere Stücke handelt. Frühe Keramik archaischer bis klassischer Zeitstellung wurde, da sie für die in diesem Band gestellte Fragestellung nach der Datierung des Gebäudes nicht ausschlaggebend ist, nicht berücksichtigt[374].

### VII.1.2 SONDAGE 1/2010

Die unter dem ältesten ergrabenen Bauhorizont SE 254 liegenden Straten der Sondage 1/2010, SE 262–257 sowie die Verfüllung der Baugrube für den Schwellenblock des Eingangs zu Kammer 8, SE 255, ließen wichtige Erkenntnisse über den Zeitpunkt der Errichtung des Odeions erhoffen.

#### SE 261

Bei SE 261 dürfte es sich um eine anstehende Lehmschicht handeln, die von dem Fundamentgraben des Odeions geschnitten wird. Die Zusammensetzung des Fundmaterials aus der Lehmschicht ist heterogen. Die ältesten Fragmente reichen bis in archaisch/klassische Zeit zurück. Deutlich jünger einzustufen ist der hellenistische Glanztonwareteller mit gedrechseltem Rand **K 1**, welcher allgemein eine Laufzeit vom 2. Jahrhundert v. Chr. bis in augusteische Zeit aufweist. Als augus-

---

371 Gedankt sei an dieser Stelle sehr herzlich der Grabungsleitung von Ephesos, Sabine Ladstätter, die mir die Bearbeitung der Fundkeramik aus den Grabungen beim Odeion ermöglichte und mir mit Rat zur Seite stand. Mein herzlicher Dank gilt auch Alice Waldner für wertvolle Ratschläge und Diskussionen.

372 Ihr sei an dieser Stelle für die Diskussionen vor Ort sowie für die freundlichen Hinweise bezüglich der Datierung einzelner Fragmente gedankt.

373 Die im Katalog angeführten keramischen Gattungstermini sind im allgemeinen Verzeichnis der im Text verwendeten Abkürzungen nachzuschlagen. Grundsätzlich folgt die gewählte Keramikterminologie den bestehenden Definitionen der Ephesos-Forschung nach Ladstätter 2003, Ladstätter 2005a, Ladstätter 2008 sowie Ladstätter 2010a–c.

374 Für die freundlichen Hilfestellungen bei der Bestimmung der archaisch-klassischen Fragmente danke ich sehr herzlich Michael Kerschner, Ireen Kowalleck und Alexandra von Miller.

teisch kann das Fragment des dünnwandigen zylindrischen Bechers **K 3** angesprochen werden. Etwas früher oder gleichzeitig anzusetzen ist ein weiteres dünnwandiges Randfragment (**K 2**), für das jedoch keine Parallelen gefunden werden konnten. Die Oberfläche des Gefäßes weist einen metallisch glänzenden Überzug auf. Die beiden Schüsselfragmente **K 4** und **K 5** können nur grob in klassische/spätklassische bis hellenistische Zeit datiert werden. Die Bodenfragmente **K 6**–**K 8** sind chronologisch nicht aussagekräftig.

Die jüngsten keramischen Fundstücke lassen für SE 261 auf eine Datierung in späthellenistisch-augusteische Zeit schließen.

### SE 262

Aus dem sehr spärlich vorliegendem Fundmaterial aus der Verfüllung des Fundamentgrabens des Odeions SE 262 kommt lediglich ein Standringfragment eines geschlossenen Gefäßes, das der Gattung der Reifenware angehört und grob in spätarchaisch bis klassische Zeit datiert werden kann. Auf einen deutlich späteren Zeitpunkt weist das Wandfragment einer Amphore hin, welches aufgrund des charakteristischen Fabrics dem lokalen Amphorentyp Peacock – Williams 45/ LRA 3 zugewiesen werden kann, dessen Auftreten ab augusteischer Zeit möglich ist, und der bis in das ausgehende 6. Jahrhundert n. Chr. verschiedene formtypologische Entwicklungsstufen durchläuft[375]. Das Wandfragment kann innerhalb der Laufzeit des Amphorentyps mangels ersichtlicher Formdetails nicht näher eingeordnet werden.

### SE 259

Das keramische Fundmaterial aus SE 259 ist mit Residuals archaisch bis klassischer Zeitstellung durchmischt. Unter der Gattung der Gebrauchskeramik können eine Lekane (**K 9**) mit einer langen Laufzeit vom 6. Jahrhundert v. Chr. bis in das 1. Jahrhundert n. Chr., ein Krugfragment (**K 10**), dessen Form charakteristisch für das 2.–3. Jahrhundert n. Chr. ist, von der frühe Varianten jedoch schon im 1. Jahrhundert n. Chr. zu finden sind[376], sowie das Bodenfragment (**K 11**) eines geschlossenen Gefäßes unbestimmbarer Zeitstellung angeführt werden. Die Küchenware ist außer einem Kochtopffragment (**K 12**), datierend in hellenistische Zeit, mit einem Kochtopf (**K 13**) mit schräg gestelltem, deutlich profiliertem Rand vertreten, der in den Späthellenismus und das 1. Jahrhundert n. Chr. datiert[377]. Ein weiteres Bodenfragment eines Topfes (**K 14**) könnte aufgrund von Form und Fabric byzantinischer Zeitstellung sein. Da es jedoch einen Einzelfund darstellt, darf es wohl außer Acht gelassen werden. Zu erwähnen ist noch das Bodenfragment eines ESB-Tellers, das aufgrund seiner Kleinteiligkeit nicht in den Katalog aufgenommen wurde. Anhand der vorliegenden Funde kann SE 259 nur allgemein in die römische Kaiserzeit datiert werden. Den Abschluss des Fundmaterials bildet das figürliche Terrakottafragment **K 15**, das aufgrund der Beschaffenheit des Scherbens als lokales Produkt gelten darf. Das erhaltene Fragment zeigt vermutlich die Kniepartie mit Gewandfalten einer Statuette.

### SE 260

SE 260 enthielt nur vereinzelte, nicht aussagekräftige Keramikfragmente.

---

[375] Peacock – Williams 1986, Class 45; s. jüngst Bezeczky 2013, Type 6. 7. 55. s. außerdem Ladstätter 2008, 180–182.

[376] s. Ladstätter 2010a, 186 A-K 460–462.

[377] Kochtöpfe dieses Typs treten beispielsweise in den Füllungen A und B1 (Ende 1. Jh. v. Chr. – 25 n. Chr.) auf; das Fabrikat wird als ephesisch eingestuft: Meriç 2002, K 632–633; s. außerdem entsprechende Kochtöpfe in Fundkomplexen der Wohneinheiten 4 und 1 im Hanghaus 2: Ladstätter 2005, K 229–234. K 237–239; Ladstätter 2010a, A-K 523–524. 527.

SE 258

Die Keramikfunde aus SE 258 sind zeitlich heterogen zusammengesetzt. Als jüngste Funde aus SE 258 können das Bodenfragment eines ESB-Tellers mit flacher Standfläche **K 18** sowie einer ESB-Schale der Form Atlante 70 (**K 19**) angeführt werden. Für **K 19** gilt ein allgemeiner Datierungsansatz von der zweiten Hälfte des 1. bis in die erste Hälfte des 2. Jahrhunderts n. Chr. In die zweite Hälfte des 1. Jahrhunderts n. Chr. gehören die Fragmente **K 21** und **K 22** der dünnwandigen Becher mit akzentuierter Schulter. Das Schälchen in Red Slip-Ware **K 20** datiert nach einer Parallele aus dem Hanghaus 2 in dieselbe Zeit. Ansonsten liegen aus SE 258 der Standring **K 17** eines hellenistischen Glanztonwaretellers sowie ein kleines Wandfragment (**K 16**) eines Applikenwarebechers vor. Ebenfalls in die hellenistische Zeit dürfte das gebrauchskeramische Randstück **K 23** einer Schale oder eines Tellers datieren. Um einen Kochtopf mit massivem, verdicktem Rand aus derselben Zeit handelt es sich vermutlich bei dem Randfragment **K 24**. Die übrigen vorgefundenen Fragmente stellen Residuals aus archaisch bis klassischer Zeitstellung dar.

SE 257

In dieser Schicht sind keine aussagekräftigen Fragmente enthalten.

SE 255

Die Funde aus SE 255 stammen aus der Verfüllung der Baugrube, die für den Schwellenblock eines zur ersten Bauphase gehörigen Eingangs in die Kammer 8 im Norden der Tribüne ausgehoben wurde. Wie in den zuvor bearbeiteten Straten ist auch hier die Fundzusammensetzung inhomogen. Bei den ältesten Fragmenten handelt es sich erneut um Residuals aus archaisch bis klassischer Zeitstellung. An Sigillaten ist lediglich ein ESB-Bodenfragment (**K 25**) mit Rosettenstempel erhalten, das in die zweite Hälfte des 1. Jahrhunderts n. Chr. datiert werden kann[378]. In das 1.–2. Jahrhundert verweist das Bodenfragment **K 26** eines dünnwandigen Bechers wie auch die beiden gebrauchskeramischen Schüsselfragmente **K 28** und **K 29**. Allgemein in die Kaiserzeit gehört das Deckelfragment **K 30**. **K 31** ist der flache Boden einer Schüssel, der sich typologisch nicht zuweisen ließ und nicht aussagekräftig ist. An Küchenware liegt lediglich das Fragment **K 32** eines Topfes mit Trichterrand, wohl späthellenistischer Zeitstellung, vor. Das Fragment einer Amphore mit leicht verdicktem Rand K 33 konnte keinem bestimmten Amphorentyp zugewiesen werden. Für die Datierung von SE 255 wird vor allem aufgrund des ESB-Fragments **K 25** die zweite Hälfte des 1. Jahrhunderts n. Chr. vorgeschlagen.

SE 254

Aus dem Fundmaterial des Bauhorizonts SE 254 stammen nur wenige diagnostische Keramikfragmente. So liegt neben dem gebrauchskeramischen Krug **K 35** mit Trichterrand und kurz ausgestellter Lippe ein Küchenwaretopf (**K 36**) mit schräg gestelltem, deutlich profiliertem Rand aus späthellenistischer bis frührömischer Zeit vor. **K 34** konnte nicht klassifiziert werden. Möglich wäre, dass es sich dabei um das Fragment einer Reibschüssel handelt. Zu erwähnen sind noch zwei sehr schlecht erhaltene Bodenfragmente der ESB, die ursprünglich der Form Atlante 70 angehört haben dürften. Eine Datierung des Bauhorizonts in die zweite Hälfte des 1. oder auch die erste Hälfte des 2. Jahrhunderts n. Chr. ist demnach wahrscheinlich.

[378] Ladstätter 2000, 97–104.

SE 253

Die Schicht SE 253 lag direkt über dem Bauhorizont SE 254. Das Fundspektrum zeigt die gleiche heterogene Zusammensetzung wie die tiefer liegenden Straten. An die Altfunde aus archaisch-klassischer Zeit schließt sich das Randfragment **K 37** eines hellenistischen Reliefbechers an. Aus der römischen Kaiserzeit stammen die beiden ESB-Tellerfragmente **K 38** und **K 39**, die zum einen als eine Variante der Form Atlante 60 (**K 38**), zum anderen der Form Atlante 55 (**K 39**) zugeordnet werden können. An Sigillaten sind weiters zwei kleinteilige Bodenfragmente von ESB und ESA enthalten. Sicher in die römische Kaiserzeit datieren ebenso das Bodenfragment eines dünnwandigen Bechers **K 40** und ein weiteres einer lokal produzierten Peacock – Williams 45-Amphore (**K 43**). Das Amphorenfragment **K 42** und der gebrauchskeramische Schüsselrand **K 41** konnten typologisch nicht näher bestimmt werden. Zusammenfassend kann aufgrund der vorliegenden Sigillatafragmente für SE 253 eine Datierung in die erste Hälfte und die Mitte des 2. Jahrhunderts n. Chr. vorgeschlagen werden.

SE 252

Bei der vorliegenden Schicht dürfte es sich laut der Interpretation der Ausgräberin um einen Laufhorizont handeln. Da Sigillaten im vorhandenen keramischen Fundmaterial aus SE 252 völlig fehlen, kann die Datierung nur anhand der vorhandenen Gebrauchs- und Küchenware erfolgen. Neben dem kleinen Standring **K 46** eines geschlossenen Gefäßes liegen zwei Schüsselfragmente (**K 44** und **K 45**) vor, die zeitlich in das 1.–2. Jahrhundert n. Chr. einzuordnen sind. Der gebrauchskeramische Krug **K 47** findet seine nächsten Parallelen eher in Krügen der Küchenware, datierend in das 1.–2. Jahrhundert n. Chr., und weniger in den Krugformen mit zylindrischem Hals und gekehlter Randlippe, die ab dem 2. Jahrhundert n. Chr. in Ephesos auftreten und sich vor allem in severischer Zeit großer Beliebtheit erfreuten[379]. Der offene Pfannengriff **K 48** gibt einen weiteren Hinweis auf eine zeitliche Einstufung von SE 252 in das 1.–2. Jahrhundert n. Chr. Eine nähere Einordnung innerhalb dieses Zeitraums ist aufgrund der Langlebigkeit der vorhandenen Gefäßformen nicht möglich. Aufgrund der Schichtabfolge muss die Entstehung des Laufhorizonts allerdings um die Mitte oder die zweite Hälfte des 2. Jahrhunderts n. Chr. erfolgt sein.

SE 251

Die Zusammensetzung des Fundmaterials in SE 251 erwies sich ebenfalls als inhomogen. Das älteste Fragment bildet ein hellenistischer Glanztonwareteller **K 49** mit beidseitig verdickter Lippe. Das Sigillataspektrum setzt sich aus einem ESB-Tellerfragment **K 50** des Typs Atlante 80, einem ARS-Bodenfragment **K 51** mit Stempelverzierung, dem LRC-Teller **K 52** des Typs Hayes 10A sowie dem nicht näher typologisierbaren LRC-Tellerboden **K 53** zusammen. Als jüngste Fragmente können die zwei lokalen ERSW-Tellerfragmente **K 54** und **K 55** angeführt werden, die eine Imitation der ARS-Teller vom Typ 104 darstellen und sich somit in das 6. bis an den Anfang des 7. Jahrhunderts n. Chr. datieren lassen. Gewisse Probleme mit seiner Bestimmung bereitet der Teller **K 56**: Eine Bezeichnung als Red Slip-Ware erlaubt der matte, flächig aufgetragene Überzug in roter Farbe. Parallelen für die Form liegen aus dem Hanghaus 2 in lokalen Red Slip-Ware-Tellern vor, diese unterscheiden sich jedoch deutlich von dem vorliegenden Fragment durch die Beschaffenheit ihres Scherbens, weshalb von einer lokalen Herkunft von **K 56** abzusehen ist; sein Produktionsort bleibt bis auf Weiteres unbekannt. Recht zahlreich vertreten sind Becher der dünnwandigen Keramik (**K 57**–**K 63**). Mit Ausnahme von **K 57** und **K 58**, datierend in die zweite Hälfte des 1. Jahrhunderts n. Chr., handelt es sich durchgehend um Becher oder Kännchen mit hohem, trichterförmigem Rand, die sich vor allem in der mittleren Kaiserzeit großer Beliebtheit erfreuten. Der Gattung der Gebrauchskeramik gehören die kaiserzeitlichen Topf- (**K 65**. **K 66)**,

[379] Ladstätter 2010c, 112.

Krug- (**K 67**–**K 68)**, Kleeblattkannen- (**K 69**–**K 70)**, Schüssel- (**K 71**–**K 74)** und Deckelfragmente (**K 77**–**K 82)** an. Der beinahe vollständig erhaltene Topf **K 66**[380] ähnelt formtypologisch gesehen den bauchigen Küchenwaretöpfen mit einfach ausgestelltem Rand, die in der mittleren Kaiserzeit häufig zu finden sind und mit hoher Wahrscheinlichkeit aus Phokaia importiert wurden[381]. Der Unterschied zu Letzteren besteht am vorliegenden Stück vorwiegend in der Oberflächenbehandlung mit Überzug, wie sie sonst nicht auftritt. Aufgrund des Überzugs und der fehlenden Rußspuren dürfte der Topf jedoch nicht zum Kochen, sondern als Vorratsgefäß zur Aufbewahrung von Speisen verwendet worden sein. Aus spätantiker Zeit könnte das Schalenfragment **K 64**, für das bislang jedoch keine Parallelen gefunden werden konnten, stammen. Die beiden spätantiken Schüsseln **K 75** und **K 76** sowie das Deckelfragment **K 83** sind hingegen für die Datierung des Stratums aufschlussreich: **K 76** weist eine Laufzeit vom 6. bis in das 7. Jahrhundert n. Chr. auf. Wenig aussagekräftig sind die Bodenfragmente **K 84**–**K 95** von Schüsseln und geschlossenen Gefäßen. Interessant ist das Standringfragment **K 95**, dessen Oberseite parallele, längliche Stege aufweist. Diese könnten beim Andrehen des Standrings an den Gefäßkörper für eine bessere Haftung gesorgt haben. Ein kleines Wandfragment eines geschlossenen Gefäßes (**K 96**), das das gleiche Fabric wie die lokalen LR 3-Amphoren aufweist, zeigt einen bislang unbekannten Dekor mit eingestempelten Kreismotiven[382]. Die Küchenware ist neben den z. T. gut erhaltenen kaiserzeitlichen Pfannen **K 97**–**K 100**, dem späthellenistisch-augusteischen Topf **K 101**, dem Krug **K 102** und dem Deckel **K 104** durch den spätantiken Kochtopf **K 103** sowie das Deckelfragment **K 105**, datierend in das 5.–6. Jahrhundert n. Chr., vertreten. In dieselbe Zeit gehören die Fragmente je eines geschlossenen (**K 107**) und eines offenen (**K 106**) lokalen LR 3-Amphorenfußes. Die Lampe **K 109** kann aufgrund ihres schlechten Erhaltungszustands keinem der von Sabine Ladstätter aus der Evidenz des Vediusgymnasiums gebildeten spätantik-frühbyzantinischen Lampentypen zugeordnet werden[383]. Sowohl die Schulter als auch der Diskus sind mit einem Relief versehen, wobei nur noch jenes auf der Schulter als Teil einer Weinranke identifiziert werden kann. Anhand des Dekors, der sich auf den Lampentypen II–IV findet, lässt sich das Fragment aber allgemein in die zweite Hälfte des 6. oder die erste Hälfte des 7. Jahrhunderts n. Chr. datieren[384]. Drei wohl zusammengehörige Fragmente der Lampe **K 110** können Typ II mit Palmettengriff zugeteilt werden, der ebenso in die zweite Hälfte des 6. und die erste Hälfte des 7. Jahrhunderts n. Chr. datiert wird[385]. Daneben tritt noch eine kaiserzeitliche ROW-Lampe **K 108** mit gelochtem Griff und Volutenranke als Schulterdekor auf. Besonders hervorzuheben ist schließlich der keramische Bratrost **K 111**, von dem insgesamt vier, teilweise anpassende Fragmente erhalten blieben.

Die Einbringung von SE 251 muss nach den jüngsten vorliegenden Keramikfragmenten in einem Zeitraum vom 6. bis an den Beginn des 7. Jahrhunderts n. Chr. erfolgt sein.

### Zusammenfassung Sondage 1/2010

Die vorgestellte Fundkeramik zeigt, dass die Straten unterhalb des Bauhorizonts SE 254 in die zweite Hälfte des 1. Jahrhunderts n. Chr. zu datieren sind. Der Bauhorizont selbst dürfte aufgrund der Schichtenabfolge zur gleichen Zeit oder kurz später entstanden sein. Hierfür sprechen auch die ihn überlagernde Schichten, die aufgrund der Sigillatafunde bereits in der ersten Hälfte oder der Mitte des 2. Jahrhunderts n. Chr. eingebracht worden sein müssen und einen *terminus ante quem* bilden. Bei der Anlage des Bauhorizonts erfolgten offensichtlich massive Eingriffe

---

380 Für den Topf lagen auch Anpassungen aus der jüngeren früh- bis mittelbyzantinischen SE 250 vor. Diese stammen jedoch aus dem Bereich direkt vor dem Mauerwerk der ›Tribüne‹, in dem nur römisches Fundmaterial ergraben worden ist. Möglicherweise kam es auch bei der Ausgrabung an den Schichtübergängen zu Vermischungen, zumal der weitaus größte Anteil des Topfes aus SE 251 stammt.

381 Vgl. Ladstätter 2010a, A-K 534 700–704. 736; Ladstätter 2005, 256 K 822–823.

382 Zu Krügen des gleichen Fabrics, aber mit Wellenbanddekor, s. auch **K 229** sowie Ladstätter 2010d, K 442.

383 Ladstätter 2008, 117–120.

384 Ladstätter 2008, 119.

385 Ladstätter 2008, 118.

in ältere Kulturstraten, wovon die Heterogenität der Fundkomplexe und der jeweils beachtliche Anteil an Residualfunden zeugen. Von einer Nachnutzungsphase des 6. und Beginn des 7. Jahrhunderts n. Chr. zeugen die Funde aus SE 251. SE 250 weist bereits einen vollständigen Krug aus dem 13./14. Jahrhundert n. Chr. auf[386], weshalb der sie überlagernde Ziegelplattenboden nicht vor spätbyzantinischer Zeit verlegt worden sein konnte.

### VII.1.3 SONDAGE 5/2010

#### SE 737–SE 735

Die zuunterst ergrabenen Lehm-/Schwemmschichten SE 737–735 im Südostbereich der Kammer 5 wurden von einem Bauhorizont (= SE 734 bzw. 733) – bestehend aus einer Lage Ziegelschrot – überdeckt. Insofern liefern sie wichtige Hinweise über den Zeitpunkt der ersten Bauaktivitäten im Odeion.

SE 737, 736 und 735 werden im Folgenden zusammengefasst vorgelegt, da eine Anpassung vorliegt und das Fundmaterial im Allgemeinen ein einheitliches Erscheinungsbild zeigt, sodass von einer Zusammengehörigkeit auszugehen ist. Es ist hier anzuführen, dass SE 737 zwei relativ kleinteilige byzantinische Scherbenfragmente enthielt. Laut der Ausgräberin dürfte diese Kontamination als Folge der schwierigen Gegebenheiten bei der Grabung zu erklären sein und kann daher außer Acht gelassen werden. In seiner Zusammensetzung erwies sich das Fundmaterial als zeitlich inhomogen. Neben relativ wenigen hellenistisch-römischen Fragmenten liegt eine beträchtliche Anzahl an archaisch-klassischen Residuals vor, auf deren detaillierte Besprechung hier jedoch verzichtet wird, da sie von früheren Aktivitäten auf dem Areal des Odeions zeugen und für die Datierung desselben nicht relevant sind. Aus hellenistischer Zeit stammen die Glanztonwarefragmente eines Tellers mit beidseitig verdickter Lippe (**K 112**) und einer Echinusschale (**K 128**), zuzüglich zweier Standringfragmente (**K 122** und **K 123**) mit einer Laufzeit vom späten 2. Jahrhundert bis in das 1. Jahrhundert v. Chr. In dieselbe Zeit gehört das Randfragment **K 113** vermutlich eines Pyxidendeckels in weißgrundiger Ware. Das gebrauchskeramische Schälchen **K 114** kann nicht näher zugeordnet werden. Interessant, bislang allerdings ohne Parallele ist der flache Gefäßboden **K 125** der Firnisware mit intentioneller Lochung, die auf eine mögliche Funktion des Gefäßes als Sieb hinweist. Die Beschaffenheit des Überzugs und des Fabrics des Bodenfragments **K 126** erinnern einerseits stark an ESB, untypisch für ESB ist andererseits die gerade, leicht abgesetzte Standfläche, die vom Überzug ausgespart ist. Eine Ansprache als lokale/regionale Red Slip-Ware würde demnach am ehesten für das Fragment passen. Der Red Slip-Ware dürfte auch das Randfragment des Kruges **K 127** zuzurechnen sein. Funde der Red Slip-Ware treten in Ephesos seit dem 1. Jahrhundert n. Chr. auf[387]. Ihr Vorhandensein legt die Datierung der stratigrafischen Einheiten 737–735 in die römische Kaiserzeit, möglicherweise in das 1. Jahrhundert n. Chr., nahe. Weniger aussagekräftig, aufgrund der vorliegenden Parallele jedoch ebenso als kaiserzeitlich einzustufen, ist der Gebrauchskeramiktopf **K 119**. Die Schüsselfragmente **K 115**–**K 118** und **K 129** sowie die Deckelfragmente **K 120** und **K 121** datieren wiederum in die hellenistische Zeit und weisen eine lange Laufzeit von klassischer Zeit bis in den Hellenismus auf.

#### SE 726

Die Zusammensetzung des Fundmaterials aus SE 726 ist erneut heterogen. Die ältesten bestimmbaren Fragmente sind archaisch-klassische Residuals. Aus hellenistischer Zeit liegt Glanztonware in Form eines Bodenfragments (**K 131**) – wohl eines Tellers oder einer Schale – und das Randfragment eines Tellers mit gedrechseltem Rand (**K 130**) vor. Das Sigillataspektrum wird von

[386] Freundliche Mitteilung Joanita Vroom.
[387] Ladstätter 2010a, 184.

einem ESB-Tellerfragment mit gerader, leicht eingezogener Standfläche (**K 132**) gebildet, das sowohl zu den Formen Atlante 19 als auch Atlante 60 gehören könnte, deren Auftreten vom 1. bis in das 2. Jahrhundert n. Chr. belegt ist[388]. Das Schalenfragment in Red Slip-Ware **K 133** entspricht in seiner Formgebung der Übergangsform von ESC-Schalen vom Typ L 19 zu Hayes 3[389]. Die Tonzusammensetzung und die Beschaffenheit des Überzugs weisen allerdings starke Affinitäten zur ESB auf[390]. Zeitlich verweist **K 133** in das 2. Jahrhundert oder an den Beginn des 3. Jahrhunderts n. Chr. Bei dem massiven, dickwandigen, kleinen Gefäß **K 134** könnte es sich um ein Salbtöpfchen handeln. Die Schüssel- und Schalenfragmente **K 135**–**K 138** sowie das Deckelfragment **K 139**, wohl eines Thymiaterions, können der Gebrauchskeramik zugeordnet werden. Die vorliegenden Formen dieser Gattung lassen sich allgemein in die römische Kaiserzeit datieren. In die gleiche Zeit gehören die drei Küchenwarefragmente **K 140**–**K 142** von Töpfen. Erhalten ist auch noch ein Fragment einer Peacock – Williams 45/Agora F 65–66-Amphore (**K 143**). Die Fußgestaltung erlaubt eine Datierung in das späte 1. Jahrhundert v. bis in das frühe 1. Jahrhundert n. Chr. Zusammenfassend kann für SE 726 anhand der vorliegenden Keramikfragmente eine Datierung in das 2. Jahrhundert n. Chr., aufgrund der Red Slip-Schale **K 133** eventuell an den Anfang des 3. Jahrhunderts n. Chr. vorgeschlagen werden.

Für den Bauhorizont (= SE 733) gilt entsprechend seiner Lage zwischen SE 735 und SE 726, dass er im Laufe des 1.–2. Jahrhunderts n. Chr. entstanden sein muss.

### SE 727 und SE 729

Das Fundmaterial der beiden Schichten SE 727 und SE 729 stammt aus den Rollierungen und Unterbauten für die Kanalwangenmauer SE 721 sowie den Ziegelplattenbelag des Kanals SE 724. Beide liefern somit wichtige Hinweise für den Zeitpunkt des Einbaus der Latrine. Aus SE 727 liegt lediglich ein Randfragment einer kaiserzeitlichen Schüssel (**K 144**) vor. SE 729 enthielt mit **K 145** eine ESB-Schale der Form Atlante 70 mit Rosettenstempel in der Bodenmitte, die sich durch die dickere Ausgestaltung des Bodens von den Prototypen unterscheidet. Dieses Detail deutet möglicherweise die Entwicklung zu den gröberen, deutlich dickwandiger gestalteten Exemplaren desselben Typs severisch-gallienischer Zeitstellung an[391]. Vertreten ist zudem mit **K 146** ein Imitat der späteren Variante von Atlante 60-Tellern in Red Slip-Ware. Teller dieser Formgebung entwickelten sich im Verlauf des 2. Jahrhunderts n. Chr. und weisen eine Laufzeit bis in das 3. Jahrhundert n. Chr. auf[392]. In die frühe Kaiserzeit datieren das Randfragment **K 147** eines dünnwandigen Bechers sowie die Gebrauchskeramikfragmente eines Kruges (**K 148**) und der Schüsseln **K 149**–**K 151**. In dieselbe Periode gehören das Fragment **K 152** eines Tellers oder einer Pfanne der Küchenware sowie die geöffneten Standfüße von Peacock – Williams 45-Amphoren **K 153** und **K 154**. In späthellenistische oder die frühe bis mittlere Kaiserzeit datiert das Knauffragment **K 155** einer Dressel 2–4-Amphore. Ein Amphorenfragment vom Typ Kapitän 2, **K 156**[393], weist hingegen eine Laufzeit vom Ende des 2. bis in das 4. Jahrhundert n. Chr. auf.

Aufgrund des vorliegenden Red Slip-Ware-Tellers **K 146** sowie des Kapitän 2-Amhporenfragments **K 156** dürften die Bauarbeiten im Zuge der Errichtung der Latrine frühestens gegen Ende des 2. Jahrhunderts n. Chr. abgeschlossen worden sein.

---

388 Hayes 1985, 57. 64.

389 Zu den Übergangsformen s. Ladstätter 2005, 240; Ladstätter 2008, 99.

390 Analogien zwischen ESB und ESC bezüglich der Formgebung wurden bereits von S. Ladstätter festgestellt, s. Ladstätter 2005, 248.

391 Vgl. Ladstätter 2005, K 873 (dieses jedoch lokales ESB-Imitat); s. zur Formentwicklung auch Ladstätter 2008, 99.

392 Ladstätter 2005, 247; Ladstätter 2008, 99; zur Formentwicklung s. auch Ladstätter 2010a, 183.

393 Zu diesem Amphorentyp in Ephesos s. zusammenfassend Bezeczky 2013, 149–151 (Type 44).

SE 722

Als ausschlaggebend für die Datierung des Einbaus der Latrine kann mitunter auch SE 722 angesehen werden. Da diese Schicht vollständig vom Fußboden der Latrine SE 717 bedeckt gewesen sein dürfte, liefert sie einen *terminus post quem* für dessen Verlegung.

Als hellenistische Residuals[394] dürfen die Gebrauchskeramikfragmente einer Lekane (**K 157**) und möglicherweise auch einer Schüssel (**K 158**) angeführt werden. Der Rand von **K 158** ist schräg nach außen gestellt und facettiert, die Wand verläuft rundlich. Direkt unter dem Rand ist ein Horizontalhenkel angesetzt, dessen Mittelteil am Rand anhaftet. An seiner Oberseite befinden sich drei parallele Einkerbungen vertikal zum Rand hin. Die Gefäßinnenseite sowie der Rand außen sind mit einem roten, mattglänzenden Überzug versehen. An der Außenseite bildet der Überzug sog. Tropfnasen. Ein vermutlich zur selben Schüssel gehöriges Bodenfragment zeigt noch deutlich den Ansatz eines Standrings. Für die Schüssel fanden sich Anpassungen in der obersten Lage der darunterliegenden Schicht SE 726. An Sigillatafragmenten enthielt SE 722 ein ESB-Tellerfragment (**K 159**) vom Typ Atlante 76B sowie zwei weitere ESB-Tellerfragmente (**K 160** und **K 161**) vom Typ Atlante 58. Zu erwähnen ist zudem ein Wandfragment der ARS, das aufgrund seines schlechten Erhaltungszustands jedoch keine Zuweisung zu einem bestimmten Typ erlaubte, dessen Fabric jedoch entsprechend Lamboglias Klassifizierung Gruppe C zuzuweisen sein dürfte, welche nicht vor 200 n. Chr. auftritt[395]. Als lokale Red Slip-Ware darf wohl **K 162**, das Randfragment einer Schale mit verdicktem ›Horizontalrand‹ und zylindrischer Wand, angesprochen werden. In seiner Gestaltung erinnert es in geringem Maße an dünnwandige zylindrische Becher augusteischer Zeitstellung aus Ephesos[396], ein tatsächlicher Zusammenhang zwischen den beiden Formen ist jedoch aufgrund des divergierenden Fabrics fraglich. An dünnwandiger Ware ist mit **K 163** nur ein einfaches Bodenfragment erhalten. Das Gebrauchskeramikfragment **K 164** gehört einer geläufigen frühkaiserzeitlichen Schüsselform an. Aus der römischen Kaiserzeit stammen ebenso das Krugfragment **K 165** sowie das einfache Bodenfragment **K 166**.

Die Küchenware ist mit zwei Randfragmenten von Töpfen, **K 168** und **K 169**, sowie einer Kasserolle **K 167** vertreten, die sich aufgrund der vorgefundenen Parallelen in das 1. Jahrhundert n. Chr. datieren lassen. Den Abschluss bildet das ROW-Lampenfragment **K 170**, welches allgemein eine Laufzeit ab dem zweiten Viertel des 1. Jahrhunderts bis in die erste Hälfte des 3. Jahrhunderts n. Chr. aufweist[397].

Während die vorliegenden ESB-Fragmente in die erste Hälfte des 2. Jahrhunderts n. Chr. sowie auch die Küchenware vorwiegend in die frühe Kaiserzeit datieren, verweisen der ARS-Wandscherben und auch der Gebrauchskeramikkrug **K 165** in das 2.–3. Jahrhundert n. Chr.

SE 721

SE 721 bezeichnet die an drei Seiten umlaufende Kanalwangenmauer der Latrine im östlichen Bereich der Kammer 5a. Die Mauer ist im nördlichen Bereich nur schlecht erhalten. Die Keramik aus dem mit Mörtel vermischten Erdreich, welches aus dem Mauerausbruch im Norden stammt, enthielt das Bodenfragment **K 171** eines dünnwandigen Bechers, datierend in das 1.–2. Jahrhundert n. Chr. Zusätzlich liegt das Standringfragment **K 172** einer gebrauchskeramischen Schüssel, an Küchenware ein Fragment einer Kasserolle (**K 174**) aus dem 1. Jahrhundert n. Chr. sowie ein Krug- oder Topffragment (**K 173**) mit Trichtermündung aus vermutlich hellenistischer Zeit vor. Die Lampen sind mit zwei Henkelfragmenten von ROW-Lampen, **K 175** und **K 176**, vertreten, welche sich allgemein vom zweiten Viertel des 1. bis in das 3. Jahrhundert n. Chr. datieren lassen. **K 175** weist auf der erhaltenen Schulterpartie einen Eierstab auf.

---

394 Freundlicher Hinweis Ireen Kowalleck (Bestimmung anhand einer Fotografie).
395 Hayes 1972, 298.
396 s. Waldner 2009, K 855.
397 Ladstätter 2005, 247–248. 250.

Für die Errichtung der Mauer würde sich demnach anhand der vorliegenden Fundkeramik ein zeitlicher Ansatz in der römischen Kaiserzeit wohl im 1. bis 2. Jahrhundert n. Chr. ergeben. In Kombination mit dem Fundmaterial aus SE 727, SE 729 und SE 722 ist der Abschluss der Bauarbeiten vorsichtig gegen Ende des 2. bis vermutlich Anfang des 3. Jahrhunderts n. Chr. anzusetzen.

SE 723

Das aus SE 723 geborgene Fundmaterial ist für die zeitliche Bestimmung der Aufgabe der Latrine von Bedeutung, da es als Verfüllung in den an drei Seiten der Kammer umlaufenden Kanal gelangt sein dürfte, nachdem dieser nicht mehr benützt worden war. Bei der Ausgrabung wurden zahlreiche relativ großformatige Keramikfunde vermerkt, die sich vor allem auf den östlichen Bereich des in West-Ost-Richtung verlaufenden Tonrohrs (= SE 720) konzentrierten. Ähnlich wie bei Kanalverfüllungen im Hanghaus 2 ist auch hier keine Sigillata vorhanden[398]. An Tafelgeschirr kann der Red Slip-Ware-Teller **K 177**, der aufgrund der vorgefundenen Parallelen in das 3. Jahrhundert n. Chr. zu datieren ist[399], angeführt werden. In Anbetracht der Fundmaterialmenge liegen jedoch relativ viele Fragmente dünnwandiger Gefäße vor. Davon sind neben der Schale **K 178**, dem Becher mit horizontalem Rand **K 179**, dem Krug **K 180** sowie einer Kleeblattkanne **K 187** vor allem Bodenfragmente einfacher Becher vertreten (**K 181**–**K 186**). Diese dürften noch aus der Nutzungszeit der Latrine stammen. Parallelen aus dem Hanghaus 2 belegen, dass derartige Becher während des Toilettengangs für Reinigungszwecke Verwendung fanden[400]. Die vollständig erhaltene Kleeblattkanne **K 188** kann der Gebrauchskeramik zugeordnet werden. Sie trägt bemerkenswerterweise ein Graffito auf der Schulter, das allerdings nicht entschlüsselt werden kann; möglicherweise nimmt es auf den in der Kanne servierten Inhalt Bezug, vielleicht handelt es sich auch um ein Kürzel, das den Besitzer nennt. Unter derselben Gattung können ferner das Schalenfragment **K 192**, die zwei Krugfragmente **K 189** und **K 190**, das Topffragment **K 191,** das Schüsselfragment **K 193**, der Deckelknauf **K 194** sowie fünf Bodenfragmente von Schüsseln und geschlossenen Gefäßen (**K 195**–**K 199**) aufgezählt werden. An Küchenware liegen die Randfragmente zweier Töpfe, **K 200** und **K 202**, sowie die Kleeblattkanne **K 201** vor. Die Funde der Gebrauchs- und Küchenware sind feinchronologisch nicht näher einzustufen, für sie kann nur allgemein eine Datierung in die römische Kaiserzeit postuliert werden. Die Amphoren **K 203** und **K 204** lassen sich generell in späthellenistische bis in die mittlere Kaiserzeit datieren. **K 203** dürfte ein lokales/regionales Produkt darstellen, das sich an Formtypen koischer und rhodischer Amphoren anlehnt, **K 204** kann hingegen als koische Amphore angesprochen werden[401]. Für **K 205** und **K 206**, Amphoren mit ›pinched handles‹, finden sich Parallelen aus der mittleren Kaiserzeit u. a. in Athen und Troja. Das Amphorenfragment **K 207** dürfte in das 1. Jahrhundert n. Chr. datieren und mit rhodischen und kretischen Amphoren verwandt sein[402]. Am häufigsten vertreten sind Amphoren vom Typ Peacock – Williams 45/Agora F 65–66 mit insgesamt sechs Fragmenten (**K 208**–**K 213**). Für den hohen zylindrischen Knauf und auch die kugelförmig gestaltete Mittelzone von **K 214**, die im Bereich ihrer größten Ausdehnung gerillt ist, liegen keine direkten Vergleiche vor. Dennoch gleicht nicht nur das Fabric jenem der lokalen Peacock – Williams 45-Amphoren, Affinitäten zu frühen Exemplaren, datierend in das 1. Jahrhundert n. Chr., zeigen sich zudem in der Fußgestaltung[403]. Es ist demnach wahrscheinlich, dass auch **K 214** als eine Variante der Peacock – Williams 45-Amphoren anzusprechen ist.

Das vorgestellte Fundmaterial legt grundsätzlich eine Datierung in das 3. Jahrhundert n. Chr. nahe. Dafür spricht auch der Vergleich mit anderen bekannten Fundkontexten des 3. Jahrhun-

398 Ladstätter 2005, 245.
399 Ladstätter 2005, K 852; Ladstätter 2010a, A-K 789–790.
400 Ladstätter 2005, 245.
401 Freundlicher Hinweis Horacio González.
402 Freundlicher Hinweis Horacio González.
403 Vgl. **K 143**; s. ferner Meriç 2002, K 536–K 540 (ähnlich); Ladstätter 2010a, A-K 564.

derts n. Chr. aus Ephesos, wie z. B. den letzten vorerdbebenzeitlichen Nutzungshorizonten und den darauffolgenden Zerstörungshorizonten in den Wohneinheiten des Hanghauses 2[404], deren Zusammensetzung sehr ähnlich jener des vorliegenden Komplexes aus der Latrine ist.

Die über dem Fußboden der Latrine liegenden wie auch Stratum SE 723 überdeckenden Schichten weisen bereits Fundmaterial mittel- bis spätbyzantinischer Zeitstellung auf.

#### Zusammenfassung Sondage 5/2010

Das keramische Fundmaterial der Schichten unterhalb des Bauhorizonts lässt sich auf das 1. Jahrhundert n. Chr. eingrenzen und bestätigt somit die keramische Auswertung von Sondage 1/2010 und damit die Errichtungszeit des Odeions. Der Einbau einer Latrine in Kammer 5a kann an das Ende des 2./Anfang des 3. Jahrhunderts n. Chr. datiert werden. Die Verfüllung des Latrinenkanals, welche für die zeitliche Bestimmung der Aufgabe der Latrine von Bedeutung ist, legt dieselbe im 3. Jahrhundert n. Chr. nahe[405].

### VII.1.4 SONDAGE 1/2011

Die beiden untersten ergrabenen Straten der Sondage 1/2011 (SE 919 und SE 918) liefern einen *terminus ante quem* für die Aufgabe des Gebäudes. Es handelt sich dabei um zwei Auffüllungs- oder Einfüllungsschichten, die in der Süderweiterung der Sondage ergraben wurden. Sie liegen unterhalb SE 911, einer massiven Marmorschuttschicht, die wiederum einen *terminus ante quem* für die Marmorberaubung des Odeions liefert. Letztere enthielt bereits Funde mittel- bis spätbyzantinischer Zeitstellung.

#### SE 919

SE 919 liegt direkt über den Marmorplatten wie auch dem Unterbau – *opus caementicium* – der Cavea auf. Aus der geringen keramischen Fundmenge kommen kaum chronologisch aussagekräftige Fragmente. Für eine Datierung in spätantike Zeit, wohl das 5.–6. Jahrhundert n. Chr., spricht vor allem das Randfragment des Kochtopfs **K 216**. Daneben liegen das Randfragment einer LR 3-Amphore **K 218** sowie das Knauffragment einer nicht näher typologisierbaren Amphore **K 217** vor. Gänzlich ohne Aussagekraft ist das Bodenfragment **K 215** eines geschlossenen gebrauchskeramischen Gefäßes.

#### SE 918

Über SE 919 sowie weiter nördlich von dieser direkt über dem *opus caementicium* der Cavea kam SE 918 zu liegen. Aus der Schicht kam nur wenig Keramik zutage. Chronologisch auswertbar waren lediglich ein Randfragment eines Thymiateriondeckels (**K 219**) sowie ein Kochtopffragment (**K 220**), die beide der mittleren römischen Kaiserzeit angehören.

#### Zusammenfassung Sondage 1/2011

Wie sich zeigte, kann anhand der spärlich vorliegenden und kaum aussagekräftigen keramischen Funde aus Sondage 1/2011 nur vage von einer Aufgabe des Odeions vor dem 5.–6. Jahrhundert n. Chr. ausgegangen werden.

---

[404] s. dazu Ladstätter 2005, Bauphase IV und IV und Zerstörungsphase Z 1–20.

[405] Es bleibt zu bemerken, dass der homogenen keramischen Datierung des 3. Jhs. n. Chr. eine Münzdatierung des 4./5. Jhs. n. Chr. (**Kat. M 5**) aus derselben Schicht entgegensteht, weshalb die Latrine zum Deponierungszeitpunkt der Münze vermutlich nicht mehr aktiv in Nutzung, jedoch noch sichtbar und zugänglich war (vgl. Kap. VI.3).

## VII.1.5 SONDAGE 2/2011

Die Fundkeramik aus Sondage 2/2011 stammt vorwiegend aus Zerstörungs- und Aufschüttungsschichten, die über dem *opus sectile*-Boden der Orchestra des Odeions angetroffen wurden. Sie dient daher als wichtiger Indikator für den Zeitpunkt der Aufgabe des Betriebs des Odeions. Allen Schichten gemeinsam ist die inhomogene Zusammensetzung des Fundspektrums aus kaiserzeitlichen und spätantiken Fragmenten.

### SE 1041 und SE 1040

Das keramische Fundmaterial aus den Zerstörungsschichten SE 1041 und SE 1040 ist hellenistisch bis spätantik durchmischt. Als hellenistisch bis frühkaiserzeitlich ist ein Bodenfragment einer Amphore in weißgrundiger Ware (**K 228**) einzustufen. Drei ARS-Tellerfragmente **K 225**–**K 227** der Form Hayes 50 hingegen sind in das 3. Jahrhundert zu datieren. Mit Ausnahme eines kaiserzeitlichen Topffragments (**K 230**) ist die Gebrauchskeramik vor allem durch spätantike Fragmente vertreten. Hierunter fallen drei Schüsselfragmente (**K 231**, **K 221** und **K 222**[406]), das Deckelfragment **K 237** sowie das Krugfragment **K 229** mit eingeritztem Wellenband auf dem Hals. Letzteres weist das gleiche Fabric wie die lokalen Amphoren vom Typ LR 3 auf[407]. Für die Form konnten bislang noch keine direkten Parallelen gefunden werden[408]. Zwei Knauffragmente von Deckeln (**K 223** und **K 236**) sowie vier Bodenfragmente von Schüsseln und Kannen (**K 232**–**K 235**) können zeitlich nicht näher eingegrenzt werden. Das Kochgeschirr umfasst neben einem kaiserzeitlichen Kochtopf (**K 239**) eine spätantike Kasserolle (**K 240**). Chronologisch nicht weiter aussagekräftig ist das Fragment eines Siebs (**K 238**). Zahlreich vertreten sind die lokal produzierten LRA 3-Amphoren (**K 224**. **K 241**–**K 247**). Die durchgehend offenen Füße weisen unterschiedliche Ausformungen auf. Die vorliegenden Parallelen erlauben den Schluss, dass es sich hier nicht nur um kaiserzeitliche, sondern auch um spätantike Exemplare handelt. Das Amphorenfragment **K 248** dürfte von einer regional/ägäischen Amphore stammen, während **K 249** wohl als Importamphore aus Kilikien vom Typ Agora 199 anzusprechen ist und in die römische Kaiserzeit datiert[409].

Zusammenfassend kann aufgrund der LRA 3-Amphoren, der Schüsseln **K 231** und **K 221** mit einer Laufzeit vom 3. bis in das 6. sowie vom 5. bis in das 6. Jahrhundert n. Chr. sowie der Kasserolle **K 240**, die vom Ende des 4./5. bis in das 6. Jahrhundert n. Chr. datiert, nur vage von einer partiellen Zerstörung des Odeions im 5. und 6. Jahrhundert n. Chr. ausgegangen werden. Der genannte Zeitraum liefert einen *terminus ante quem* für die Aufgabe des Gebäudes.

### SE 1039

Aus SE 1039 stammen nur wenige diagnostische Funde. Zu den frühesten zählt das Wandfragment eines dünnwandigen Kännchens vom Typ ›Boccalino a Collarino‹ mit weißer ›Zickzack‹-Bemalung (**K 250**). Ein lokaler/regionaler Standring **K 251**, wohl eines Krugs, mit einem roten matten Überzug an der Außenseite konnte nicht näher klassifiziert werden. Dafür lassen die beiden Randfragmente von Küchenwaretöpfen, **K 252** und **K 253**, erneut auf eine Datierung in das 5. Jahrhundert n. Chr. schließen. Diese findet Unterstützung durch den Münzfund **Kat. M 6**, der nur allgemein zwischen das 5. und 7. Jahrhundert n. Chr. datiert werden kann[410].

---

406 Das Boden- und Randfragment dürfte zu derselben Schüssel gehören, es liegt jedoch keine Anpassung vor.

407 s. hierzu auch Ladstätter 2008, 180.

408 Parallelen für den Dekor liegen aus dem sog. Lukasgrab (Ladstätter 2010d, K 442) sowie dem Vediusgymnasium vor (Ladstätter 2008, K 575).

409 Freundlicher Hinweis Horacio González.

410 Bestimmung durch Ursula Schachinger.

SE 1038

An Sigillaten liegen aus SE 1038 lediglich das ARS-Tellerfragment **K 254** der Form Hayes 50B und das Tellerfragment **K 255** in Red Slip-Ware vor. **K 255** könnte aufgrund der Beschaffenheit des Scherbens und des Überzugs als sog. Mäandertal-Sigillata anzusprechen sein[411]. Morphologisch gesehen ähnelt es ARS-Tellern der Form 93 und 94 wie eventuell auch 108, für die John W. Hayes eine Datierung vom 5. bis in das frühe 6. Jahrhundert[412] und in das frühe 7. Jahrhundert n. Chr. vorschlägt[413]. Die Bodenfragmente der Gebrauchskeramik **K 256** und **K 257** sind chronologisch nicht signifikant.

Ausschlaggebend für eine Datierung von SE 1038 in spätantike Zeit ist vor allem das Kochgeschirr. Mit Ausnahme von **K 258**, einem Vertreter kaiserzeitlicher Küchenware, weisen der Kochtopf **K 359** und die Kasserollenfragmente **K 260**–**K 262** eine Laufzeit vom frühen 5. bis zum späten 6. Jahrhundert n. Chr. auf. Auch für die chronologisch weniger aussagekräftigen Deckelfragmente **K 263** und **K 264** liegen Parallelen aus der Spätantike vor. Spätantiker Zeitstellung sind zudem der Fuß **K 265** einer LRA 3-Amphore sowie die Lampenfragmente **K 266**–**K 271**.

SE 1036

Für SE 1036 liegen mit zwei flachen Bodenfragmenten gebrauchskeramischer Schüsseln (**K 272**–**K 273**) und einem Deckelknauf (**K 274**) keine chronologisch aussagekräftigen Fragmente vor.

SE 1035

Aus der ersten Hälfte des 1. Jahrhunderts n. Chr. dürfte das Fragment **K 275** eines ESA-Tellers der Form Atlante 4B stammen. In das 4. und beginnende 5. Jahrhundert n. Chr. gehören hingegen die ARS-Tellerfragmente **K 276** und **K 277**. Ersteres dürfte den Formen Hayes 58, 59 oder 50 zuzuordnen sein. Das Fragment **K 277** entspricht dagegen aufgrund des vertikalen Kerbdekors an der Außenseite unterhalb des Randes Tellern mit ausgestelltem Rand der Form Hayes 59, auf denen der gleiche Dekor auftritt. An dünnwandiger Keramik hat sich nur ein Bodenfragment mit gerader Standfläche erhalten (**K 278**). Das gebrauchskeramische Spektrum setzt sich aus hellenistisch bis kaiserzeitlichen Schüsselformen (**K 281** und **K 282**), spätantiken Schüsselfragmenten (**K 283** und **K 284**) sowie zwei Tellerfragmenten (**K 292** und **K 293**) zusammen. Die zeitliche Einstufung von **K 281** erweist sich als schwierig. Morphologisch scheint es hellenistischen Schüsseln zu entsprechen. Hingegen erinnert die Beschaffenheit des Scherbens an Peacock – Williams 45- sowie LRA 3-Amphoren, was wiederum eine Datierung in die Kaiserzeit, wenn nicht sogar die Spätantike wahrscheinlicher macht. Für die Schüsselfragmente mit nach innen geneigtem Rand und mehr oder weniger stark gerillter, manchmal auch glatter Gefäßwand (**K 285**–**K 291**) gibt es ein entsprechendes Fragment aus dem Hanghaus 2, das in die mittlere Kaiserzeit datiert. Sehr ähnlich in der Beschaffenheit des Scherbens wie auch der Grundform erweisen sich zudem Schüsselfragmente aus dem sog. Lukasgrab und der Tetragonos Agora, datierend in das 3./4.–6. Jahrhundert n. Chr. Sie weichen nur leicht durch ihren nach außen hin verdickten Rand von den vorliegenden Fragmenten ab. Möglicherweise handelt es sich hier um ein und denselben Schüsseltyp, dessen Randgestaltung während seiner langen Laufzeit von der mittleren Kaiserzeit bis hin zur Spätantike nur geringfügigen Änderungen unterworfen ist. Die einfache, funktionale Form gibt es zudem auch im Küchenware-Fabric[414]. Hinzu kommen ein Teller- (**K 279**) und ein Schalenfragment (**K 280**) – beide mit Überzug –, die möglicherweise auch

411 Vgl. dazu Waldner – Ladstätter 2014, 51–52.
412 Hayes 1972, 147–148.
413 Hayes 1972, 171.
414 Groh u. a. 2013, Taf. 8, 153.

als Red Slip-Ware anzusprechen sind. Die Schale mit aufgebogenem Rand ähnelt bis auf ihren geringeren Durchmesser LRC-Tellern der Form Hayes 1B, welche in das 5. Jahrhundert n. Chr. datieren. Für die Datierung von SE 1035 sind erneut auch die Küchenwarefunde von Bedeutung. Bis auf ein kaiserzeitliches Töpfchen (**K 294**) und ein Kleeblattkannenfragment (**K 295**) handelt es sich um die Topffragmente **K 296**–**K 301**, die durchwegs eine Laufzeit vom Ende des 4./5. bis in das frühe 6. Jahrhundert n. Chr. aufweisen. In dieselbe Zeitstufe gehören wohl auch die beiden Deckelfragmente **K 302** und **K 303**. Am Ende seien unter den Keramikfunden aus SE 1035 noch zwei kaiserzeitliche Lampenfragmente (**K 304** und **K 305**) angeführt.

SE 1034

Bei den vorgefunden Sigillaten aus SE 1034 handelt es sich hauptsächlich um LRC-Teller der Formen Hayes 1 (**K 306**. **K 307**) und Hayes 3 (**K 308**). Zwei Bodenfragmente (**K 309**. **K 310**) lassen sich nicht mehr mit Sicherheit einem bestimmten Typ zuordnen. Als Vertreter der vor allem im 6. Jahrhundert und bis in die erste Hälfte des 7. Jahrhunderts n. Chr. in Ephesos vorkommenden sog. Mäandertal-Sigillata[415] kann **K 311** angeführt werden. Die Randgestaltung und der leichte Wandknick erinnern morphologisch an ARS-Teller vom Typ Hayes 103. Gewisse Affinitäten in der Ausformung des Randes bestehen auch zu LRC-Tellern vom Typ Hayes 3E. Als lokales/regionales Produkt der Red Slip-Ware oder aber als sog. Mäandertal-Sigillata dürfte **K 312** anzusprechen sein. Hier scheinen Übereinstimmungen mit ARS-Tellern vom Typ Hayes 109 oder auch mit LRC-Tellern vom Typ Hayes 1D vorzuliegen. Den Abschluss des Feinwarespektrums bildet das Schälchen **K 313**, für das morphologisch gesehen ein vergleichbares Fragment der sog. Mäandertal-Sigillata aus dem Vediusgymnasium vorliegt[416]. Der Rand erinnert zudem an ESC-Schalen vom Typ L19. Der Scherben von **K 313** ist relativ weich gebrannt. Die Oberfläche ist mit einem rotgrau gefleckten, matten Überzug versehen, wobei die Fleckung auf sekundäre Beeinträchtigung zurückzuführen sein dürfte. Eine Ansprache als ›Mäandertal-Sigillata‹ ist daher aufgrund der Parallelen wahrscheinlich. Das Bodenfragment eines dünnwandigen Bechers (**K 314**) kann als Altstück deklariert werden. Innerhalb der Gattung der Gebrauchskeramik sind die Schüsseln **K 323**–**K 325**, mit einer Laufzeit vom 5. bis in das 6. Jahrhundert n. Chr., von chronologischer Signifikanz. Während bei den Schüsselfragmenten **K 317**–**K 322** von einer langen Laufzeit auszugehen ist[417], sind ein Krug mit verdicktem Trichterrand (**K 315**), ein Krug mit zylindrischem, facettiertem Rand (**K 316**) sowie zwei Bodenfragmente von Schüsseln mit gerader Standfläche (**K 326** und **K 327**) weniger aussagekräftig oder ohne Parallelen. Unter den Funden der Küchenware datiert die Pfanne **K 331** in das 6. Jahrhundert bis spätestens in die erste Hälfte des 7. Jahrhunderts n. Chr. Dies bestätigt die aus den Feinwaren gewonnene zeitliche Einordnung von SE 1034. Die übrigen Töpfe **K 329** und **K 330**, der geschlossene Pfannengriff **K 332** sowie die Deckelfragmente **K 333** und **K 334** dürften vom 5.–6. Jahrhundert n. Chr. in Verwendung gewesen sein, während die küchenkeramische Kleeblattkanne **K 328** eine Laufzeit von der mittleren Kaiserzeit bis in die Spätantike aufweist[418]. Zu den Altstücken zählt ebenso das Bodenfragment **K 339** einer Peacock – Williams 45-Amphore. Der Amphorenknauf **K 335**, das Randfragment **K 338** wie auch das Wandfragment einer Amphore mit den Resten eines Dipinto (**K 337**) konnten hingegen nicht klassifiziert werden, während es sich bei **K 336** um den Knauf einer Amphore, vermutlich vom Typ Agora M273, handeln dürfte.

[415] Ladstätter 2008, 115.
[416] Ladstätter 2008, K 237.
[417] s dazu SE 1035, **K 285**–**K 291**.
[418] Eine Parallele aus der Spätantike findet sich in: Iro u. a. 2009, 83 Abb. 28, 7.

SE 1033 = SE 1029

Aus der Zerstörungsschicht SE 1033/1029 kommen die LRC-Tellerfragmente **K 342**–**K 344**, von denen sich **K 342** Typ Hayes 1B und **K 343** Typ Hayes 4 zuweisen lassen. Gefunden wurde zudem eine Steilrandschale in Red Slip-Ware mit Ritzdekor in Form eines Wellenbandes auf dem Rand (**K 340)**. Die Beschaffenheit des Scherbens und des Überzugs machen eine Bestimmung als ERSW sehr wahrscheinlich[419]. Die Schale kommt LRC-Schalen vom Typ Hayes 9 sehr nahe, die in das 6. Jahrhundert n. Chr. datiert werden; sehr ähnliche Schalen gibt es allerdings auch ohne Überzug[420]. Die Gebrauchskeramik ist mit Ausnahme der in die römische Kaiserzeit datierenden Deckel- und Krugfragmente **K 345**, **K 358**–**K 360** durchwegs durch spätantike Gefäße vertreten. Hierzu zählen die Schüsseln **K 346**, **K 347**, **K 348**–**K 353** sowie das Pithos- oder Eimerfragment **K 354**, das eine lange Laufzeit vom 4/5. bis in das beginnende 7. Jahrhundert n. Chr. aufweist. Die Bodenfragmente der Schüsseln **K 355**–**K 357** sind hingegen wenig aussagekräftig. Als kaiserzeitliche Residuals der Küchenware gelten die Kochtöpfe **K 362** und **K 363** sowie das Tellerfragment **K 361**. In das 5.–6. Jahrhundert n. Chr. lassen sich die Töpfe **K 364**–**K 366** datieren. Ein etwas späterer zeitlicher Ansatz bis in das beginnende 7. Jahrhundert n. Chr. gilt für die Pfanne **K 367**. Die im Stratum enthaltenen Amphoren setzen sich aus drei Fußfragmenten vom Typ LRA 3 (**K 341**. **K 469**. **K 370**) sowie einem weiteren, wohl lokalen/regionalen Randfragment (**K 371**) zusammen, das möglicherweise mit dem Amphorentyp Samos Cistern verwandt ist[421]. Nicht näher bestimmbar ist das kleine Standringfragment **K 368**.

SE 1032

Zu den chronologisch aussagekräftigen Funden aus SE 1032 zählt die Sigillata, die mit einem ARS-Teller **K 372** der Form Hayes 50B, dem LRC-Teller **K 373** vom Typ Hayes 1A sowie der LRC-Schale **K 374** vom Typ Hayes 8 vertreten ist. Ein etwas späterer zeitlicher Ansatz – vermutlich das 6. oder der Beginn des 7. Jahrhunderts n. Chr. – ist für die Schale **K 375** anzunehmen, die der Gattung der sog. Mäandertal-Sigillata zuzuordnen sein dürfte. Als solche könnte auch das Bodenfragment eines Tellers (**K 376**) anzusprechen sein. Aus der mittleren bis späten Kaiserzeit stammt wohl das gebrauchskeramische Krugfragment **K 377**. In die spätantike bis frühbyzantinische Zeit weist wiederum das Pithosfragment **K 378**. Die übrigen Funde der Gebrauchskeramik, **K 379**–**K 382**, setzen sich aus Bodenfragmenten zusammen, die keine genaue zeitliche Einordnung erlauben. Auf eine Datierung von SE 1032 in das 6. und frühe 7. Jahrhundert n. Chr. deutet wiederum die Küchenware. Dazu zählen der Topf **K 383**, die Deckelfragmente **K 385** und **K 386** und, als jüngstes Fragment, datierend in das späte 6./die erste Hälfte des 7. Jahrhunderts n. Chr., die Pfanne **K 384**. Unter den Amphoren ist lediglich ein Wandfragment mit Dipinto (**K 387**) zu erwähnen.

SE 1031

Zugleich mit SE 1032 scheint auch die Einfüllung von SE 1031 stattgefunden zu haben. Als Residuals aus der römischen Kaiserzeit gelten die Fragmente eines dünnwandigen Bechers (**K 389**), einer Kleeblattkanne (**K 390**), zweier Töpfe, **K 391** und **K 392**, einer ROW-Lampe (**K 402**) sowie einer lokalen Amphore Peacock – Williams 45 (**K 400**). An Sigillata liegt ein ARS-Teller der Form Hayes 67 aus dem 5. Jahrhundert vor (**K 388**). Der Ansatz zu einer Datierung in das 6. und beginnende 7. Jahrhundert n. Chr. findet sich allerdings erneut in der Küchenware. Dazu zählen die zwei Topffragmente **K 398** und **K 399** sowie das Pfannenfragment **K 397**. Dem widerspre-

[419] Zur Definition der ERSW s. Ladstätter – Sauer 2005, 152–154.

[420] Groh u. a. 2013, Taf. 7 Nr. 127–128; Parallelen finden sich auch im Bereich der Stiegengasse 3 (Hanghaus 2, 1997, Ki 96, rot überfangen, unpubl.).

[421] Freundlicher Hinweis Horacio González; s. dazu auch Bezeczky 2005, 203–247.

chen auch die gebrauchskeramische Schüssel **K 394** und der Topf **K 395** nicht. Ohne Vergleiche bleiben das Bodenfragment **K 396** und die Schüssel **K 393**. Letztere zeigt einen horizontal ausgestellten Rand und direkt darunter einen kleinen, betonten Steg. Innenseite und Randoberseite sind mit einem rötlich braunen, matten Überzug versehen. Unter den Amphoren liegt wiederum ein Wandfragment mit Dipinto (**K 401**) vor.

SE 1028

SE 1028 weist eine ähnliche Zusammensetzung wie die vorangehenden Straten auf. Als Altstücke gelten hier das ESB-Tellerfragment **K 403** der Form Atlante 58, die Fragmente **K 407** und **K 408** der dünnwandigen Keramik – bei **K 408** könnte es sich um einen Fehlbrand handeln –, ferner der Küchenwareteller **K 412**. In das 5. Jahrhundert n. Chr. lassen sich die beiden LRC-Tellerfragmente der Formen Hayes 4, **K 404**, und einer Variante von Hayes 3, **K 405**, datieren. Das Randfragment **K 406** eines lokalen/regionalen Tellers mit glänzendem Überzug, das eine Imitation von ARS-Tellern der Form 104 darstellt, gibt erneut den Ausschlag für eine Datierung in das 6. oder beginnende 7. Jahrhundert n. Chr.; möglicherweise handelt es sich dabei um ein Fragment der sog. Mäandertal-Sigillata. Die Gebrauchskeramik ist mit Ausnahme des Schüsselfragments **K 409**, das in das 5.–6. Jahrhundert n. Chr. datiert werden kann, wenig aussagekräftig. In der Gattung der Küchenware können unter den spätantiken Funden die zwei Topffragmente **K 413** und **K 414**[422] sowie ein Bodenfragment mit gerader Standfläche (**K 415**) hervorgehoben werden. Letzteres könnte auch auf eine spätere Einordnung des Stratums in frühbyzantinische Zeit (7.–9. Jh. n. Chr.) hinweisen[423]. Aus hellenistischer oder frührömischer Zeit dürfte hingegen das Bodenfragment einer Peacock – Williams 45-Amphore (**K 416**) stammen. Neben einem spätantiken Amphorenfragment vom Typ Keay 19[424] (**K 417**) wurden noch die Fragmente einer frühbyzantinischen Lampe (**K 419**) sowie eines Pilgerfläschchen (**K 418**)[425] vorgefunden.

Zusammenfassung Sondage 2/2011

Die Auswertung der Fundkeramik aus der Sondage 2/2011 lässt darauf schließen, dass das Odeion mindestens bis in das 4. Jahrhundert n. Chr. in Verwendung stand. Auf eine Zerstörung des Gebäudes im Laufe des 5.–6. Jahrhunderts n. Chr. weist das Fundspektrum der Straten 1041–1035, direkt über dem Boden der Orchestra. Da die darüberliegenden Straten, von denen SE 1029 = 1033 als weitere Zerstörungsschicht ausgewiesen ist, nur einen geringfügig späteren Zeitansatz aufweisen, ist davon auszugehen, dass die Ruinen bereits kurz nach der Zerstörung des Gebäudes für sekundäre Zwecke adaptiert und weiterbenützt wurden. Auf eine Nutzung der Ruinen bis in die spätbyzantinische Zeit hinein deuten die Funde aus den darüberliegenden Straten hin.

## VII.1.6 SONDAGE 3/2011

Von den Keramikfunden der Sondage 3/2011 im südlichen Bereich der Cavea des Odeions weisen lediglich jene aus den Straten SE 1152, SE 1148 (= SE 1151) sowie SE 1150 in die spätantike Zeit. Es dürfte sich bei den Schichten um Auffüllungs- und Verfüllungsschichten handeln, welche die untersten ergrabenen Stufenunterbauten der Cavea im Nordosten der Sondage überdeckten und unter dem ersten Nachnutzungsniveau (= SE 1150) zu liegen kamen. Die darüberliegenden Schichten weisen bereits Fundmaterial spätbyzantinischer Zeitstellung auf.

---

422 Zwei weitere Topffragmente spätantiker Zeitstellung wurden aufgrund ihrer Kleinteiligkeit nicht in den Katalog aufgenommen.

423 Vgl. dazu Ladstätter 2008, K 587. K 592.

424 Freundlicher Hinweis von Horacio González.

425 Zu den ephesischen Pilgerampullen und der lokalen Produktion solcher Fläschchen s. Ladstätter 2011, 17–18 Abb. 18–20.

SE 1152

SE 1152 wurde direkt über dem Stufenunterbau aufliegend auf einer relativ geringen Fläche angetroffen. Vertreten ist der LRC-Teller **K 420** der Form Hayes 3. Ausschlaggebend für eine Datierung in das 6. oder das frühe 7. Jahrhundert n. Chr. ist ein Küchenwaretopf (**K 423**), der laut den vorliegenden Parallelen aus Ephesos allgemein in das späte 6. oder frühe 7. Jahrhundert n. Chr. datiert wird. In dieselbe Zeit, wenn nicht noch später, datiert ein Wandfragment der Küchenware mit Wellenbanddekor (**K 424**).

SE 1151 = SE 1148

SE 1151 = SE 1148 konnte auf einer größeren Fläche ergraben werden. Das Stratum lag nicht nur über SE 1152, sondern direkt südwestlich, an Letztere anschließend, auch selbst auf dem Stufenunterbau auf. Neben einem LRC-Tellerrandfragment (**K 427**) der Form Hayes 3 und einem LRC-Tellerbodenfragment mit Stempel (**K 428**) – es dürfte sich dabei um die Darstellung zweier Tiere (Hasen [?]) handeln[426] – weisen vor allem die vorgefundenen Randfragmente der Küchenware allgemein in das 5.–6. Jahrhundert n. Chr. (**K 435**–**K 440**). Unter den Amphoren sind ein Wandfragment mit Dipinto (**K 441**) sowie ein Bodenfragment einer LR 3-Amphore (**K 442**) zu nennen. Interessant, jedoch nicht signifikant für die Datierung der Schicht, scheint das Randfragment **K 426** einer vermutlich lokalen Imitation des Schalentyps ESB Atlante 60 mit Steilrand, wie er vor allem für die severische Epoche nachgewiesen worden ist[427]. Das Fabric gleicht den lokalen ERSW-Tellern, die in Ephesos vom ausgehenden 5. bis in das 7. Jahrhundert n. Chr. belegt sind[428]. **K 426** könnte demnach als Prototyp dieser Ware zu klassifizieren sein[429].

SE 1150

Aus SE 1150 liegen keine für die Datierung aussagekräftigen Keramikfragmente vor.

Zusammenfassung Sondage 3/2011

Die Datierung der drei relevanten Schichten vom 5. bis in das 6. und den Anfang des 7. Jahrhunderts n. Chr. liefert einen *terminus ante quem* für die Aufgabe des Gebäudes.

## VII.1.7 SONDAGE 4/2010 SAMT ERWEITERUNG 4/2011

Aus den beiden stratigrafischen Einheiten SE 847 und SE 845 stammen lediglich insgesamt vier Wandfragmente, wovon drei den lokalen Peacock – Williams 45-Amphoren zugeordnet werden konnten.

SE 842

SE 842 wurde auf einer sehr kleinen Fläche ergraben, was die geringe Menge an Fundkeramik erklärt. Die beiden Kochtopffragmente **K 443** und **K 444** können nur allgemein in den späten Hellenismus oder das 1. Jahrhundert n. Chr. datiert werden. Nicht näher zu klassifizieren ist das Wandfragment mit Graffito [K] **K 445**[430].

---

426 Vgl. Hayes 1972, 357 Nr. 35 (Hase).
427 Ladstätter 2008, 99.
428 Ladstätter – Sauer 2005, 154.
429 Ladstätter – Sauer 2005, 153: hier die Nennung eines möglichen Prototyps der ERSW ähnlich der ESC-Gefäße Hayes L 3.
430 Es könnte möglicherweise ein Fragment einer Amphore oder, aufgrund des Fabrics, das eines geschlossenen Küchenwaregefäßes darstellen.

SE 841

Als einziges diagnostisches Fragment liegt aus SE 841 die Schüssel **K 446** vor. Der Rand ist nach außen gebogen, die Oberfläche innen und am Rand außen mit einem roten, matten Überzug versehen. Die Beschaffenheit des Scherbens weist das Fragment als lokales/regionales Produkt aus. Möglicherweise handelt es sich hier um ein Schüsselfragment in lokaler Red Slip-Ware, das den Formenschatz, wie er bisher aus dem Hanghaus 2 aus flavischen und severischen Fundkontexten bekannt ist[431], ergänzt. Sieht man vom deutlich größeren Durchmesser ab, könnte **K 446** morphologisch gesehen eine Imitation der ESB-Schalen der Form Hayes 80 darstellen[432].

SE 840

Das Fundmaterial aus der Einfüllung SE 840 ist in seiner Zusammensetzung heterogen. Enthalten sind mitunter Residuals archaischer bis klassischer Zeitstellung. An Feinkeramik liegt ein allgemein als Red Slip-Ware zu bezeichnendes Bodenfragment **K 447** unbekannter Provenienz vor. Die Gebrauchskeramik ist neben einem Deckelfragment **K 451** nur durch Bodenfragmente geschlossener Gefäße und von Schüsseln vertreten (**K 448**–**K 450**), die nur allgemein als kaiserzeitlich bestimmt werden konnten. Als kaiserzeitlich erwiesen sich ebenso die Küchenwarefragmente **K 452**–**K 455**. Unter ihnen konnte lediglich die Datierung des Topffragments **K 454** näher auf das 1. Jahrhundert n. Chr. eingeschränkt werden. Derselben Zeit gehört das Fußfragment einer lokalen Peacock – Williams 45-Amphore (**K 456**) an. In die römische Kaiserzeit weist ebenso das Lampenfragment **K 457**. Zu erwähnen ist ein sehr kleines Wandfragment grün glasierter byzantinischer Keramik, das möglicherweise auf einen deutlich späteren Datierungsansatz hinweist.

SE 839

Die zwei dünnwandigen Becher mit Trichterrand **K 458** und **K 459** sowie das Kochtopffragment mit nach unten geneigter Lippe **K 460** haben eine Laufzeit vom 1. bis zum 3. Jahrhundert n. Chr. Der Topf mit steilem, verdicktem Rand **K 461** kann aufgrund seines Fabrics mit Vorsicht wiederum als mittelbyzantinisch angesprochen werden.

Die auf SE 839 folgenden Schichten 838–834 wurden nicht mehr für die Publikation herangezogen, da sie nur Fundkeramik aus der römischen Kaiserzeit enthielten. Weil aber aus den Schichten darunter bereits vereinzelt früh- bis mittelbyzantinische Fragmente vorliegen sowie eine Anpassung aus SE 839 mit Fragmenten aus den mittel- bis spätbyzantinischen Schichten ab SE 832 vorhanden ist, kann man davon ausgehen, dass es sich jeweils um Aufschüttungen byzantinischer Zeitstellung handelt, bei denen Erdmaterial und Schutt von andernorts, aus z. T. kaiserzeitlichen Schichten, eingebracht worden ist.

[431] s. dazu Ladstätter 2010a, 184. 192.

[432] Hayes 1985, 69 Taf. 15, 16; eine passende Parallele, ebenso in Red Slip-Ware und entsprechend großem Durchmesser findet sich Korinth, s. Warner Slane 1990, Abb. 6, 99.

## VII.1.8 KATALOG[433]

### Sondage 1/2010

*SE 261*

**K 1 Teller** **Taf. 50**
AO: GHD, Inv. E-TR 10-SO1-261-606/K2
Gattung: hellenistische Glanztonware
Typ: Teller mit gedrechseltem Rand
Ton: 7.5YR5/4, hart, fein, sehr feinporös, sandig – sehr feinkörnig
Farbe außen: Gley 1 2.5/N, Farbe innen: Gley 1 2.5/N
Überzug: flächig, teilweise abgerieben, mattglänzend
Erh.: 1 Randfrgt.
RDm: 20 cm, erh. H: 2,3 cm
Dat.: ausgehendes 2. Jh. v. Chr. – augusteisch
Par.: Ladstätter 2010c, K 269; Ladstätter 2005, K 111.

**K 2 Becher** **Taf. 50**
AO: GHD, Inv. E-TR 10-SO1-261-606/K6
Gattung: dünnwandige Keramik (?)
Ton: 2.5YR6/6, hart, fein, feinporös, weiße ES – fein, einzeln, Glimmer – fein, eher wenig
Farbe außen: Gley 1 2.5/N, Farbe innen: Gley 1 2.5/N
Überzug: flächig, kompakt, metallisch glänzend
Erh.: 1 Randfrgt.
RDm: 12 cm, erh. H: 2,1 cm
Dat.: –.

**K 3 Becher** **Taf. 50**
AO: GHD, Inv. E-TR 10-SO1-261-606/K18
Gattung: dünnwandige Keramik
Ton: 2.5YR5/8, hart, fein, dicht, weiße und graue ES – sehr fein, einzeln, Glimmer – sehr fein, wenig
Farbe außen: 2.5YR5/8, Farbe innen: 2.5YR5/8
Überzug: außen, kompakt, glänzend
Erh.: 1 Bodenfrgt.
BDm: ca. 6,6–7 cm, erh. H: 1 cm
Dat.: augusteisch
Par.: Ladstätter 2010c, K 305; Mitsopoulos-Leon 1991, K 17. H 205. 206.

**K 4 Schüssel** **Taf. 50**
AO: GHD, Inv. E-TR 10-SO1-261-606/K17
Gattung: Gebrauchskeramik
Ton: 2.5YR5/6, 10YR5/3 (Kern), hart, fein, feinporös, weiße ES – sehr fein, mittelviel, graue ES – sehr fein, mittelviel, trübe ES – mittelfein, mittelviel, Glimmer – sehr fein, mittelviel
Farbe außen: 2.5YR6/6, Farbe innen: 2.5YR6/6
Erh.: 1 Randfrgt.
RDm: 36 cm (innen), erh. H: 4,9 cm
Dat.: 2. Viertel 5. Jh. – 1. Jh. v. Chr.
Par.: Ladstätter 2003a, K 248–250 (ähnlich); Wintermeyer 2004, Typ S2 Abb. 124 (ähnlich);
Lüdorf 2000, Taf. 93, LR 110.

**K 5 Lekane** **Taf. 50**
AO: GHD, Inv. E-TR 10-SO1-261-606/K13
Gattung: Gebrauchskeramik
Ton: 2.5YR5/6, 5YR6/6 (Kern), hart, fein, feinporös, Glimmer – fein, viel
Farbe außen: 10YR8/3, Farbe innen: 10R5/6
Überzug: innen, kompakt, matt
Erh.: 1 Randfrgt.
RDm: 37 cm, erh. H: 0,85 cm
Dat.: spätklassisch/hellenistisch (?)
Par.: Ladstätter 2010c, K 49 (dort kein Überzug); Gassner 1997, Nr. 658; I. Kowalleck, freundlicher Hinweis: Depot, Inv. PAN 09/619. 26; 614.47 und zahlreiche weitere Beispiele (Ephesos, Panayırdağ).

**K 6 Standring** **Taf. 50**
AO: GHD, Inv. E-TR 10-SO1-261-604/K1
Gattung: Gebrauchskeramik
Ton: 5YR6/6, hart, fein, sehr feinporös, weiße ES – sehr fein einzeln, rötliche ES – sehr fein, einzeln, graue ES – fein, einzeln, Glimmer – fein, viel
Farbe außen: 10YR8/4, Farbe innen: 10YR8/4
Erh.: 1 Bodenfrgt.
BDm: 7,4 cm, erh. H: 2,35 cm
Dat.: –.

**K 7 Standring** **Taf. 50**
AO: GHD, Inv. E-TR 10-SO1-261-604/K2
Gattung: Gebrauchskeramik
Ton: 10YR6/3, hart, fein, sehr feinporös bis dicht, weiße ES (Kalk) – fein, sehr viel, rötliche ES – mittelfein, einzeln
Farbe außen: 10YR8/3, Farbe innen: 2.5Y7/3
Erh.: 1 Bodenfrgt.
BDm: 5,2 cm, erh. H: 2,8 cm
Dat.: –.

**K 8 Offenes Gefäß** **Taf. 50**
AO: GHD, Inv. E-TR 10-SO1-261-606/K11
Gattung: Gebrauchskeramik
Ton: 2.5YR6/6, hart, fein, feinporös, weiße ES – sehr fein, viel
Farbe außen: 7.5YR7/4, Farbe innen: 7.5YR7/4
Farbe Überzug: 5YR5/6 bis 3/1
Überzug: außen heruntergeronnen, kompakt, glänzend
Erh.: 1 Bodenfrgt.
BDm: 4 cm, erh. H: 1,4 cm
Dat.: –.

[433] Farbbestimmung nach Ladstätter 2005, Kap. XIV.3, Tonbestimmung nach Munsell, Soil colour charts (1992).

*SE 259*

**K 9 Krater/Schüssel** **Taf. 50**
AO: GHD, Inv. E-TR 10-SO1-259-602/K2
Gattung: Gebrauchskeramik
Ton: 2.5YR5/6, hart, fein, feinporös, weiße ES – fein, viel, graue ES – fein, einzeln, Glimmer – fein, einzeln
Farbe außen: 5YR8/4, Farbe innen: 5YR8/4
Erh.: 1 Randfrgt.
RDm: 41 cm, erh. H: 3,7 cm
Dat.: 6./5. Jh. v. Chr. – 1. Viertel 1. Jh. n. Chr.
Par.: Schattner 2007, Typ Kr C1; Wintermeyer 2004, Typ S3.1. S3.4; Meriç 2002, K 723; ähnlich Gassner 1997, Nr. 291.

**K 10 Krug** **Taf. 50**
AO: GHD, Inv. E-TR 10-SO1-259-602/K9
Gattung: Gebrauchskeramik
Ton: 2.5YR5/6, hart, fein, feinporös, weiße ES – fein, wenig, Glimmer – fein, mittelviel
Farbe außen: 2.5YR6/6, Farbe innen: 2.5YR6/6
Erh.: 1 Randfrgt.
RDm: 13 cm, erh. H: 1,9 cm
Dat.: 2.–3. Jh. n. Chr.
Par.: Ladstätter 2008, K 53–89; Ladstätter 2005, K 552.

**K 11 Geschlossenes Gefäß** **Taf. 50**
AO: GHD, Inv. E-TR 10-SO1-259-602/K7
Gattung: Gebrauchskeramik
Ton: 2.5YR6/6, hart, fein, dicht, weiße ES – fein, mittelviel, Glimmer – fein, mittelviel
Farbe außen: 5YR7/4, Farbe innen: 5YR7/4
Erh.: 1 Bodenfrgt.
BDm: 5,5 cm, erh. H: 1,1 cm
Dat.: –.

**K 12 Topf** **Taf. 50**
AO: GHD, Inv. E-TR 10-SO1-259-602/K4
Gattung: Küchenware
Ton: 2.5YR4/4, mittelhart, mittelfein bis grob, porös, weiße ES – fein bis grob (gut über 1 mm groß), mittelviele, Glimmer – fein bis grob (gut über 1 mm groß), viel
Farbe außen: 2.5YR5/4, Farbe innen: 2.5YR6/4
Erh.: 1 Randfrgt.
RDm: 20 cm, erh. H: 1,7 cm
Dat.: 3. – ausgehendes 2. Jh. v. Chr.
Par.: Ladstätter 2003a, K 259. 330; Ladstätter 2010c, 479–491.

**K 13 Topf** **Taf. 50**
AO: GHD, Inv. E-TR 10-SO1-259-602/K6
Gattung: Küchenware
Ton: 2.5YR4/8, hart, mittelfein, feinporös, weiße ES – fein bis mittelfein, mittelviel, Glimmer – fein, viel
Farbe außen: Gley 1 4/N, Farbe innen: 2.5YR4/6
Erh.: 1 Randfrgt.
RDm: 20 cm, erh. H: 1,35 cm
Dat.: späthellenistisch – 1. Jh. n. Chr.
Par.: Meriç 2002, K 628–631; Ladstätter 2005, K 229–234. K 237–239; Ladstätter 2010a, A-K 523. 524. 527.

**K 14 Geschlossenes Gefäß** **Taf. 50**
AO: GHD, Inv. E-TR 10-SO1-259-602/K8
Gattung: Küchenware
Ton: 2.5YR5/8, 7.5YR5/3 (Kern), hart, fein bis mittelfein, dicht bis sehr feinporös, weiße ES – fein bis mittelfein, einzeln, graue ES – fein, wenig, Glimmer – fein, viel
Farbe außen: 2.5YR5/6, Farbe innen: 5YR5/3
Erh.: 1 Bodenfrgt.
BDm: 5 cm, erh. H: 2,7 cm
Dat.: byzantinisch (?).

**K 15 Terrakottastatuette** **Taf. 50**
AO: GHD, Inv. E-TR 10-SO1-259-602/K11
Gattung: Terrakotta, lokal
Ton: 5YR5/6, hart, fein, dicht, Glimmer – fein, viel
Farbe außen: 7.5YR6/4, Farbe innen: 5YR7/4
Erh.: 1 Frgt.
Dat.: –.

*SE 258*

**K 16 Applikenkeramik** **Taf. 51**
AO: GHD, Inv. E-TR 10-SO1-258-600/K13
Gattung: hellenistische Glanztonware
Ton: 2.5YR6/6, hart, fein, sehr feinporös, weiße ES – fein, wenig
Farbe außen: 10R2.5/1, Farbe innen: 10R4/8
Überzug: flächig, kompakt, glänzend
Dekor: Applike: Korymbenmotiv, Wand außen
Erh.: 1 Wandfrgt.
erh. H: 2,2 cm
Dat.: Mitte 2.–1. Jh. v. Chr.
Par.: Muster ähnlich Meriç 2002, K 38 (Efeusträußchenbecher); Mitsopoulos-Leon 1991, C 25; Schäfer 1968, E 76. E 78. E 82.

**K 17 Teller** **Taf. 51**
AO: GHD, Inv. E-TR 10-SO1-258-600/K1
Gattung: hellenistische Glanztonware
Ton: 10R6/8, Standring, hart, fein, feinporös, weiße ES – sehr fein, viel, Glimmer – fein bis mittelfein, viel
Farbe außen: 5YR7/4, Farbe innen: 10R5/6
Überzug: innen, teilweise abgerieben, matt
Erh.: 1 Bodenfrgt.
BDm: 7 cm, erh. H: 1,5 cm
Dat.: 2. Jh. v. Chr. – frühe Kaiserzeit
Par.: Ladstätter 2003a, K 209–238.

**K 18 Teller** **Taf. 51**
AO: GHD, Inv. E-TR 10-SO1-258-600/K2
Gattung: ESB
Ton: 10R5/8, weich, fein, feinporös, schiefrig brechend, Glimmer – fein, viel

Farbe außen: 10R5/8, Farbe innen: 10R5/8
Überzug: flächig, teilweise abgerieben, glänzend
Erh.: 1 Bodenfrgt.
BDm: ca. 10–12 cm (sehr wenig erhalten), erh. H: 1,2 cm
Dat.: Mitte 1.–2. Jh. n. Chr.
Par.: Hayes 1985, Taf. 12, 12. 13; Taf. 14, 5–7.

**K 19 Schale** **Taf. 51**
AO: GHD, Inv. E-TR 10-SO1-258-600/K4
Gattung: ESB
Typ: Atlante 70
Ton: 2.5YR5/8, hart, fein, dicht, Glimmer – fein, viel
Farbe außen: 10R5/8, Farbe innen: 10R5/8
Überzug: flächig, teilweise abgerieben, glänzend
Erh.: 6 Rand- und Wandfrgte.
RDm: 7,6 cm, erh. H: 3 cm
Dat.: 50–125 n. Chr.
Par.: Hayes 1985, Taf. 14, 19.

**K 20 Schale** **Taf. 51**
AO: GHD, Inv. E-TR 10-SO1-258-600/K7
Gattung: Red Slip Ware
Ton: 5YR5/6, mittelhart, fein, sehr feinporös, weiße ES – fein, wenig, Glimmer – fein, eher wenig
Farbe außen: 2.5YR4/6, Farbe innen: 10R4/6
Überzug: flächig, teilweise abgerieben, matt
Erh.: 1 Randfrgt.
RDm: zu wenig erhalten
Dat.: 1. Jh. n. Chr.
Par.: Ladstätter 2010b, B-K 367.

**K 21 Becher** **Taf. 51**
AO: GHD, Inv. E-TR 10-SO1-258-600/K6
Gattung: dünnwandige Keramik
Ton: 2.5YR6/6, weich, fein, feinporös, weiße ES – fein, mittelviel,
trüber transparenter ES (Quarz [?]) – fein, einzeln
Farbe außen: 2.5YR6/6, Farbe innen: 7.5YR6/4
Überzug: außen und Rand innen, kompakt, matt
Erh.: 1 Randfrgt.
RDm: 6,8 cm, erh. H: 2,4 cm
Dat.: neronisch – Ende 1. Jh. n. Chr.
Par.: Ladstätter 2010a, A-K 382–397.

**K 22 Becher** **Taf. 51**
AO: GHD, Inv. E-TR 10-SO1-258-600/K9
Gattung: dünnwandige Keramik
Ton: 2.5YR4/6, hart, fein, sehr feinporös, weiße ES – fein, viel, graue ES – fein, mittelviel, Glimmer – fein, mittelviel
Farbe außen: Gley 1 2.5/N, Farbe innen: 2.5YR5/6 bis 2.5YR4/6
Überzug: flächig, kompakt, matt
Erh.: 1 Randfrgt.
RDm: zu wenig erhalten, erh. H: 1,35 cm
Dat.: neronisch – Ende 1. Jh. n. Chr.
Par.: K 21.

**K 23 Schale** **Taf. 51**
AO: GHD, Inv. E-TR 10-SO1-258-600/K12
Gattung: Gebrauchskeramik
Ton: 5YR5/6, mittelhart, fein, feinporös, weiße ES – fein, viel, schwarze ES – mittelfein, einzeln, Glimmer – fein, viel
Farbe außen: 2.5Y5/3, Farbe innen: 2.5Y5/3
Erh.: 1 Randfrgt.
erh. H: 1,2 cm
Dat.: –.

**K 24 Topf** **Taf. 51**
AO: GHD, Inv. E-TR 10-SO1-258-600/K10
Gattung: Küchenware
Ton: 2.5YR4/8, 7.5YR4/1 (Kern), mittelhart, fein, feinporös, weiße ES – fein, wenig, trübe ES – fein, einzeln, Glimmer – fein, viel
Farbe außen: 2.5YR5/6, Farbe innen: 2.5YR4/8
Erh.: 1 Randfrgt.
RDm: 14 cm, erh. H: 3,6 cm
Dat.: 3.–1. Jh. v. Chr.
Par.: Wintermeyer 2004, Typ T1.3; Form ähnlich Gassner 1997, Nr. 458.

## *SE 255*

**K 25 Teller** **Taf. 51**
AO: GHD, Inv. E-TR 10-SO1-255-167/K1
Gattung: ESB
Ton: 2.5YR6/6, hart, fein, sehr feinporös, Glimmer – fein, viel
Farbe außen: 10R5/8, Farbe innen: 10R5/8
Überzug: flächig, Risse, glänzend
Dekor: Stempelverzierung auf Bodeninnenseite: Rosette
Erh.: 1 Bodenfrgt.
erh. L: 4 cm
Dat.: –.

**K 26 Geschlossenes Gefäß** **Taf. 51**
AO: GHD, Inv. E-TR 10-SO1-255-167/K3
Gattung: dünnwandige Keramik
Ton: 2.5YR6/8, hart, fein, sehr feinporös, Glimmer – fein
Farbe außen: 2.5YR6/8, Farbe innen: 2.5YR6/8
Erh.: 1 Bodenfrgt.
BDm: 4,6 cm, erh. H: 1,1 cm
Dat.: 1.–2. Jh. n. Chr.
Par.: Ladstätter 2010a, A-K 438–440.

**K 27 Teller** **Taf. 51**
AO: GHD, Inv. E-TR 10-SO1-255-167/K6
Gattung: Gebrauchskeramik
Ton: 5YR5/6 nach außen, 7.5YR5/3 nach innen, hart, fein, sehr feinporös, graue ES – fein, mittelviel, Glimmer – fein, wenig
Farbe außen: 7.5YR7/3, Farbe innen: 7.5YR7/3
Erh.: 1 Bodenfrgt.
BDm: 5,4 cm, erh. H: 1,9 cm
Dat.: hellenistisch
Par.: Ladstätter 2003a, K 201. 208. 209.

**K 28 Schüssel** **Taf. 51**
AO: GHD, Inv. E-TR 10-SO1-255-149/K2
Gattung: Gebrauchskeramik
Ton: 2.5YR6/6, hart, fein bis mittelfein, feinporös, weiße ES (Kalk [?]) – fein bis mittelfein (max. ca. 1 mm groß), mittelviele, Glimmer – fein, viel
Farbe außen: 2.5YR6/6, Farbe innen: 10R5/6
Überzug: innen und Rand außen, teilweise abgerieben, matt
Erh.: 1 Randfrgt.
RDm: 48 cm, erh. H: 5,3 cm
Dat.: 1.–2. Jh. n. Chr.
Par.: Ladstätter 2005, K 482 (Rand ähnlich); Ladstätter 2010a, A-K 469; Meriç 2002, K 734–736.

**K 29 Schüssel** **Taf. 51**
AO: GHD, Inv. E-TR 10-SO1-255-149/K3
Gattung: Gebrauchskeramik
Ton: 10YR7/3, hart, fein, feinporös, beige ES – fein bis mittelfein, viele, graue ES – fein, einzeln
Farbe außen: 10YR7/3, Farbe innen: 10YR7/3
Erh.: 1 Randfrgt.
RDm: 37 cm, erh. H: 1,75 cm
Dat.: 1. Jh. v. Chr. – 2. Jh. n. Chr.
Par.: Lüdorf 2006, S II.23; Gassner 1997, Nr. 289; Ladstätter 2005, K 208.

**K 30 Deckel** **Taf. 51**
AO: GHD, Inv. E-TR 10-SO1-255-167/K5
Gattung: Gebrauchskeramik
Ton: 2.5YR5/6, mittelhart, fein, porös, Glimmer – fein, viel
Farbe außen: 7.5YR7/4, Farbe innen: 7.5YR6/6
Erh.: 1 Randfrgt.
RDm: 17 cm, erh. H: 1,1 cm
Dat.: 1.–3. Jh. n. Chr.
Par.: Ladstätter 2005, K 220; Ladstätter 2010a, A-K 504–510. A-K 875–877.

**K 31 Geschlossenes Gefäß** **Taf. 52**
AO: GHD, Inv. E-TR 10-SO1-255-149/K6
Gattung: Gebrauchskeramik
Ton: hart, fein, sehr feinporös, weiße, gelbliche, schwarze und rötliche ES – fein bis mittelfein, einzeln, Glimmer – fein, mittelviel
Farbe außen: 2.5Y8/3, Farbe innen: 2.5Y7/3
Erh.: 1 Bodenfrgt.
BDm: 17 cm, erh. H: 3,5 cm
Dat.: –.

**K 32 Topf** **Taf. 52**
AO: GHD, Inv. E-TR 10-SO1-255-167/K7
Gattung: Küchenware
Ton: 2.5YR5/6, 5YR4/1 (Kern), mittelhart, mittelfein, feinporös, trübe ES (Quarz [?]) – fein bis grob (etwa max. 1 mm groß), mittelviel, graue ES – fein, mittelviel, Glimmer – fein, viel
Farbe außen: Gley 1 3/N, Farbe innen: Gley 1 3/N
Erh.: 1 Randfrgt.
RDm: ca. 20–21 cm, erh. H: 1,8 cm
Dat.: 2.–1. Jh. v. Chr.
Par.: Gassner 1997, Kat. 360–362; Ladstätter 2010c, K 470; Anderson-Stojanović 1992, Kat. 1096.

**K 33 Amphore** **Taf. 52**
AO: GHD, Inv. E-TR 10-SO1-255-149/K5
Ton: 5YR6/6, 10YR6/3 (Kern), hart, fein, sehr feinporös, weißlich trübe ES – fein, vereinzelt, Glimmer – fein, viel
Farbe außen: 10YR7/3, Farbe innen: 5YR7/4
Erh.: 1 Randfrgt.
RDm: 12 cm, erh. H: 5 cm
Dat.: –.

## *SE 254*

**K 34 Reibschüssel (?)** **Taf. 52**
AO: GHD, Inv. E-TR 10-SO1-254-150/K3
Gattung: Gebrauchskeramik
Ton: 2.5YR6/6, 7.5YR6/4 (Kern), hart, fein, feinporös, weiße ES – fein, mittelviel, glasige ES – fein, mittelviel, Glimmer – fein bis mittelfein, viel
Farbe außen: 7.5YR7/4, Farbe innen: 7.5YR7/4
Erh.: 1 Randfrgt.
RDm: 38 cm (sehr wenig erhalten), erh. H: 3,1 cm
Dat.: späthellenistisch (?)
Par.: Randgestaltung mit Furchen ähnlich Goldman 1950, Nr. 192.

**K 35 Krug (?)** **Taf. 52**
AO: GHD, Inv. E-TR 10-SO1-254-150/K2
Gattung: Gebrauchskeramik
Ton: 2.5YR5/6, 10YR6/3 (Kern), hart, fein, sehr feinporös, Glimmer – fein, viel
Farbe außen: 7.5YR6/3, Farbe innen: 7.5YR6/3
Erh.: 1 Randfrgt.
RDm: 8 cm, erh. H: 1,9 cm
Dat.: hellenistisch
Par.: Gassner 1997, Kat. 360–362.

**K 36 Topf** **Taf. 52**
AO: GHD, Inv. E-TR 10-SO1-254-150/K4
Gattung: Küchenware
Ton: 5YR4/4, hart, fein, feinporös bis dicht, weiße bis beige ES (Kalk [?]) – fein, mittelviel, glasige ES – fein, eher wenig, graue ES – fein, wenig
Farbe außen: Gley 1 4/N, Farbe innen: 10R4/8
Erh.: 1 Randfrgt.
erh. H: 1,3 cm
Dat.: späthellenistisch – 1. Jh. n. Chr.
Par.: K 13.

## *SE 253*

**K 37 Becher** **Taf. 52**
AO: GHD, Inv. E-TR 10-SO1-253-133/K4
Gattung: hellenistische Reliefkeramik

Ton: 10R6/8 mittelhart, fein, feinporös, Glimmer – fein, mittelviel
Farbe außen: 5YR7/6, Farbe innen: 10R5/6
Überzug: flächig, teilweise abgerieben, matt
Erh.: 1 Randfrgt.
RDm: zu wenig erhalten, erh. H: 2,3 cm
Dat.: 2. Hälfte 2. Jh. v. Chr. – 1. Jh. v. Chr.
Par.: Rogl 2003, K 43–K55.

**K 38 Teller** **Taf. 52**
AO: GHD, Inv. E-TR 10-SO1-253-133/K1
Gattung: ESB
Typ: Variante Atlante 60
Ton: 2.5YR6/8, hart, fein, dicht, Glimmer – fein, viel
Farbe außen: 10R5/8, Farbe innen: 10R5/8
Überzug: flächig, teilweise abgerieben, glänzend
Erh.: 1 Randfrgt.
RDm: 17 cm, erh. H: 1,85 cm
Dat.: 50–150 n. Chr.
Par.: Ladstätter 2010a, A-K 292.

**K 39 Teller** **Taf. 52**
AO: GHD, Inv. E-TR 10-SO1-253-133/K2
Gattung: ESB
Typ: Atlante 55 (ähnlich)
Ton: 2.5YR5/6, hart, fein, dicht, Glimmer – fein, viel
Farbe außen: 10R5/8, Farbe innen: 10R5/8
Überzug: flächig, teilweise abgerieben, glänzend
Erh.: 1 Randfrgt.
RDm: 20 cm, erh. H: 1,5 cm
Dat.: 1. Hälfte – Mitte 2. Jh. n. Chr.
Par.: Ladstätter 2010a, A-K 595; Meriç 2002, K 286.

**K 40 Becher** **Taf. 52**
AO: GHD, Inv. E-TR 10-SO1-253-133/K15
Gattung: dünnwandige Keramik
Ton: 2.5YR6/6, 5YR6/3 (Kern), hart, fein, feinporös, beige ES (innen hohl) – fein, viel, Glimmer – fein, mittelviel
Farbe außen: 2.5YR6/6 – 5YR4/1, Farbe innen: 2.5YR6/6
Überzug: außen, kompakt, matt
Erh.: 2 Boden- und Wandfrgte.
BDm: 4 cm (sehr wenig erhalten), erh. H: 1,8 cm
Dat.: kaiserzeitlich
Par.: Ladstätter 2010a, A-K 438–A-K 440.

**K 41 Schüssel** **Taf. 52**
AO: GHD, Inv. E-TR 10-SO1-253-133/K11
Gattung: Gebrauchskeramik
Ton: 5YR4/4, 10YR4/4 (Kern), mittelhart, fein, sehr feinporös, weiße, rötliche und graue ES – sehr fein, einzeln, Glimmer – fein, viel
Farbe außen: 7.5YR5/4 – 7.5YR4/2, Farbe innen: 10YR6/3
Erh.: 1 Randfrgt.
RDm: 32 cm, erh. H: 1,2 cm
Dat.: –.

**K 42 Amphore** **Taf. 52**
AO: GHD, Inv. E-TR 10-SO1-253-133/K12
Ton: 5YR6/6, hart, fein, dicht, weiße bis beige ES – fein bis mittelfein, mittelviel, graue ES – fein, eher wenig
Farbe außen: 7.5YR7/4, Farbe innen: 7.5YR7/4
Erh.: 1 Randfrgt.
RDm: 11 cm, erh. H: 4,2 cm
Dat.: –.

**K 43 Amphore** **Taf. 53**
AO: GHD, Inv. E-TR 10-SO1-253-133/K3
Typ: Peacock – Williams 45
Ton: 10R4/8, mittelhart, fein, sehr feinporös, beige ES – fein, einzeln, Glimmer – fein, viel
Farbe außen: 10R5/6, Farbe innen: 10R5/6
Erh.: 1 Bodenfrgt.
BDm: 5 cm, erh. H: 1,7 cm
Dat.: 1. Jh. n. Chr.
Par.: Ladstätter 2010a, A-K 558–564; Meriç 2002, K 561. 564.

## *SE 252*

**K 44 Schüssel** **Taf. 53**
AO: GHD, Inv. E-TR 10-SO1-252-131/K1
Gattung: Gebrauchskeramik
Ton: 10R5/6, hart, fein, feinporös, Glimmer – fein, viel
Farbe außen: 10R6/6, Farbe innen: 10R6/6
Erh.: 4 Rand- und Wandfrgte.
RDm: 27 cm, erh. H: 3 cm
Dat.: 1. Jh. v. Chr. – 1. Jh. n. Chr.
Par.: ähnlich: Meriç 2002, K 712. 713; Ladstätter 2005, K 387.

**K 45 Schüssel** **Taf. 53**
AO: GHD, Inv. E-TR 10-SO1-252-131/K3
Gattung: Gebrauchskeramik
Ton: 2.5YR5/6, hart, fein, feinporös, weiße ES – fein bis mittelfein, eher wenig, rötliche ES – fein, einzeln, graue ES – fein, einzeln, lila ES – fein, einzeln, Glimmer – fein, viel
Farbe außen: 5YR6/6, Farbe innen: 2.5YR6/6
Überzug: innen und Rand außen, teilweise abgerieben, mattglänzend
Erh.: 1 Randfrgt.
RDm: ca. 42 cm, erh. H: 5,1 cm
Dat.: 1.–2. Jh. n. Chr.
Par.: Ladstätter 2005, K 482; (Rand ähnlich) Ladstätter 2010a, A-K 469; Meriç 2002, K 734–736.

**K 46 Geschlossenes Gefäß** **Taf. 53**
AO: GHD, Inv. E-TR 10-SO1-252-131/K4
Gattung: Gebrauchskeramik
Ton: 7.5YR6/4, hart, fein, feinporös, weiße ES – fein, einzeln, Glimmer – fein, viel
Farbe außen: 5YR6/6, Farbe innen: 7.5YR6/4
Erh.: 1 Bodenfrgt.
BDm: 5 cm, erh. H: 1,6 cm
Dat.: –.

**K 47 Krug** **Taf. 53**
AO: GHD, Inv. E-TR 10-SO1-252-131/K2
Gattung: Gebrauchskeramik oder Küchenware (?)
Ton: 10R4/8, 5YR4/2 (Kern), hart, fein, feinporös, Glimmer – fein, viel
Farbe außen: 2.5YR6/6, Farbe innen: 2.5YR6/6
Erh.: 1 Randfrgt.
RDm: ca. 11–12 cm, erh. H: 1,8 cm
Dat.: 1.–2. Jh. n. Chr.
Par.: (ähnlich in Form) Ladstätter 2010c, K 347. K 349.

**K 48 Pfanne** **Taf. 53**
AO: GHD, Inv. E-TR 10-SO1-252-131/K5
Gattung: Küchenware
Ton: 2.5YR5/6, hart, mittelfein, feinporös, klare ES – fein bis mittelfein, viele, trübe ES – fein bis mittelfein, viel, weiße ES – fein bis mittelfein, einzeln, rötliche ES – fein, einzeln, schwarze ES – fein, einzeln, Glimmer – fein, mittelviel, vgl. Meriç K 659
Farbe außen: 2.5YR5/6, Farbe innen: 2.5YR5/6
Erh.: 1 Grifffrgt.
erh. H: 2,9 cm
Dat.: 1. Jh. v. Chr. – 1. Jh. n. Chr.
Par.: Meriç 2002, K 657. K 659; Ladstätter 2005, K 246; Lüdorf 2006, P1 und P12.

## *SE 251*

**K 49 Teller** **Taf. 53**
AO: GHD, Inv. E-TR 10-SO1-251-125/K14
Gattung: hellenistische Glanztonware
Typ: mit beidseitig verdickter Lippe
Ton: 2.5YR6/6, hart, fein, sehr feinporös, weiße ES – fein, mittelviel, Glimmer – fein, mittelviel
Farbe außen: 10R5/6, Farbe innen: 10R5/6
Überzug: flächig, teilweise abgerieben, matt
Erh.: 1 Randfrgt.
RDm: 41,4 cm, erh. H: 2,35 cm
Dat.: 1. Jh. v. Chr. – 1. Hälfte 1. Jh. n. Chr.
Par.: Ladstätter 2003a, K 163; Meriç 2002, K 14–20.

**K 50 Teller** **Taf. 53**
AO: GHD, Inv. E-TR 10-SO1-251-125/K23
Gattung: ESB
Typ: Atlante 80
Ton: 5YR6/6, mittelhart, fein, feinporös, Glimmer – fein, sehr viel
Farbe außen: 2.5YR5/8, Farbe innen: 2.5YR5/8
Überzug: flächig, teilweise abgerieben, glänzend
Erh.: 1 Bodenfrgt.
BDm: 6,8 cm, erh. H: 1,55 cm
Dat.: 80–125 n. Chr.
Par.: Ladstätter 2005, K 528. 529.

**K 51 Tellerfragment** **Taf. 53**
AO: GHD, Inv. E-TR 10-SO1-251-85/K13
Gattung: ARS
Ton: 10R4/8, hart, mittelfein, sehr feinporös, weiße ES – fein, wenig, lila ES – mittelfein, mittelviel, hellgraue ES – fein, mittelviel, Glimmer – fein, wenig
Farbe außen: 10R4/6, Farbe innen: 10R4/8
Dekor: Stempelverzierung auf Boden innen
Erh.: 1 Wandfrgt.
erh. L.: ?
Dat.: spätes 4. Jh. – 3. Viertel 5. Jh. n. Chr.
Par.: Hayes 1972, ARS, Abb. 39, 39bb; 40, 37v; 41, 41b.

**K 52 Teller** **Taf. 53**
AO: GHD, Inv. E-TR 10-SO1-251-85/K4
Gattung: LRC
Typ: Hayes 10
Ton: 10R6/8, hart, fein, dicht, weiße ES – sehr fein, viel, schwarze ES – fein, einzeln
Farbe außen: 10R6/8, Farbe innen: 10R6/8
Überzug: flächig, kompakt, matt
Erh.: 1 Randfrgt.
RDm: 25 cm, erh. H: 3,3 cm
Dat.: spätes 6. Jh. n. Chr.
Par.: Ladstätter – Sauer 2005, Nr. 90.

**K 53 Teller** **Taf. 53**
AO: GHD, Inv. E-TR 10-SO1-251-85/K14
Gattung: LRC
Ton: 10R5/8, hart, fein, dicht, beige ES – fein, viel
Farbe außen: 10R6/6, Farbe innen: 10R5/6
Überzug: flächig, kompakt, matt
Erh.: 1 Bodenfrgt.
BDm: zu wenig erhalten, erh. H: 1,1 cm
Dat.: 5.–6. Jh. n. Chr.

**K 54 Teller** **Taf. 53**
AO: GHD, Inv. E-TR 10-SO1-251-85/K1
Gattung: Red Slip-Ware/ERSW (?)
Typ: Imitation ARS 104
Ton: 2.5YR6/6, mittelhart, fein, sehr feinporös, Glimmer – fein, viel
Farbe außen: 10R5/6, Farbe innen: 10R5/6
Überzug: flächig, teilweise abgerieben, matt
Erh.: 1 Randfrgt.
RDm: 32 cm, erh. H: 4,7 cm
Dat.: ausgehendes 6./frühes 7. Jh. n. Chr.
Par.: Ladstätter – Sauer 2005, Nr. 135; Ladstätter 2010d, K 55.

**K 55 Teller** **Taf. 53**
AO: GHD, Inv. E-TR 10-SO1-251-85/K3
Gattung: Red Slip-Ware/ERSW (?)
Typ: Imitation ARS-Teller Hayes 104
Ton: 2.5YR5/6, 10YR5/1 (Kern), mittelhart, fein, sehr feinporös, Glimmer – fein, viel
Farbe außen: 10R5/6, Farbe innen: 10R5/6
Überzug: flächig, teilweise abgerieben, matt
Erh.: 1 Randfrgt.
RDm: ca. 24–26 cm, erh. H: 1,95 cm
Dat.: 6./7. oder 4./5. Jh. n. Chr. (?)
Par.: Ladstätter – Sauer 2005, Nr. 135. 136, Nr. 1.

**K 56 Teller** **Taf. 53**
AO: GHD, Inv. E-TR 10-SO1-251-85/K2
Gattung: Red Slip-Ware
Ton: 10YR8/3, hart, fein, feinporös, weiße ES (Kalk [?]) – fein, wenig, hellbraune ES – fein, wenig, schwarze ES – fein, wenig
Farbe außen: 10R4/8, Farbe innen: 10R4/8
Überzug: flächig, teilweise abgerieben, matt
Erh.: 1 Randfrgt.
RDm: zu wenig erhalten, erh. H: 2,35 cm
Dat.: 3. Jh. n. Chr. (?)
Par.: Ladstätter 2010a, A-K 789. 790.

**K 57 Becher** **Taf. 54**
AO: GHD, Inv. E-TR 10-SO1-251-125/K18
Gattung: dünnwandige Keramik
Ton: 2.5YR5/6 nach außen, 10YR5/2 nach innen, hart, fein, feinporös, weiße ES – fein, mittelviel, Glimmer – fein, mittelviel
Farbe außen: 2.5YR5/6, Farbe innen: Gley 1 3/N, ohne Überzug: 10YR6/3
Überzug: außen und Rand innen, teilweise abgerieben, matt
Erh.: 1 Randfrgt.
RDm: 16 cm, erh. H: 3,3 cm
Dat.: 2. Hälfte 1. Jh. n. Chr.
Par.: Ladstätter 2005, K 376. 467; Ladstätter 2010a, A-K 376–381.

**K 58 Becher** **Taf. 54**
AO: GHD, Inv. E-TR 10-SO1-251-130/K7
Gattung: dünnwandige Keramik
Ton: 10R5/6, 10YR4/1 (Kern), hart, fein, dicht, Glimmer – fein, viel
Farbe außen: 10R5/6, Farbe innen: 10R5/6
Erh.: 1 Bodenfrgt.
BDm: 3,2 cm, erh. H: 0,7 cm
Dat.: 1. Jh. n. Chr.
Par.: Lätzer 2009, Taf. 7, 126.

**K 59 Becher** **Taf. 54**
AO: GHD, Inv. E-TR 10-SO1-251-125/K34
Gattung: dünnwandige Keramik
Ton: 5YR5/6, 2.5YR4/6 (Kern), hart, fein, sehr feinporös, hellgraue ES – fein, einzeln, Glimmer – fein, viel
Farbe außen: 5YR4/1, Farbe innen: 2.5YR5/6
Erh.: 2 Randfrgte.
RDm: 8,8 cm, erh. H: 2,35 cm
Dat.: 1.–2. Jh. n. Chr.
Par.: Ladstätter 2010a, A-K 416. 419. 423. 647.

**K 60 Becher** **Taf. 54**
AO: GHD, Inv. E-TR 10-SO1-251-125/K13
Gattung: dünnwandige Keramik
Ton: 2.5YR5/6, hart, fein, dicht, sehr feinkörnig, weiße ES – fein, einzeln, graue ES – sehr fein, wenig
Farbe außen: 2.5YR5/6, Farbe innen: 2.5YR5/6
Erh.: 9 Rand- und Wandfrgte.
RDm: 7,65 cm, erh. H: 5,15 cm
Dat.: 2. Hälfte 1. Jh. n. Chr. – 3. Jh. n. Chr.
Par.: Ladstätter 2010a, A-K 200–202. A-K 407–422; Ladstätter 2008, K 9–30.

**K 61 Becher** **Taf. 54**
AO: GHD, Inv. E-TR 10-SO1-251-125/K17
Gattung: dünnwandige Keramik
Ton: 2.5YR4/8, Farbe bis 2.5YR5/2, hart, fein, sehr feinporös, weiße ES – sehr fein, einzeln, Glimmer – fein, mittelviel
Farbe außen: 2.5YR5/6, Farbe innen: 2.5YR5/6
Erh.: 1 Randfrgt.
RDm: 7,4 cm, erh. H: 1,8 cm
Dat: 1.–3. Jh. n. Chr.
Par.: K 60.

**K 62 Becher** **Taf. 54**
AO: GHD, Inv. E-TR 10-SO1-251-125/K33
Gattung: dünnwandige Keramik
Ton: 2.5YR5/8, hart, fein, feinporös, weiße ES (Kalk [?]) – fein, mittelviel, trübe ES (Quarz [?]) – fein, einzeln, graue ES – fein, mittelviel, schwarze ES – fein, wenig, Glimmer – fein, wenig
Farbe außen: 2.5YR5/8 – 2.5YR5/4, Farbe innen: 2.5YR5/8
Erh.: 8 Boden- und Wandfrgte. mit Henkelansatz
BDm: 3,5 cm, erh. H: 5,5 cm
Dat.: 1.–3. Jh. n. Chr.
Par.: Ladstätter 2010a, A-K 441. 804. 807.

**K 63 Becher** **Taf. 54**
AO: GHD, Inv. E-TR 10-SO1-251-130/K4
Gattung: dünnwandige Keramik
Ton: 2.5YR5/8, hart, fein, feinporös, trübe ES (Quarz [?]) – fein, mittelviel, weiße ES (Kalk [?]) – fein, einzeln, schwarze ES – fein, mittelviel, Glimmer – fein, viel
Farbe außen: 2.5YR6/6, Farbe innen: 2.5YR6/6
Erh.: 4 Randfrgte.
RDm: 7 cm, erh. H: 2,05 cm
Dat.: 1.–3. Jh. n. Chr.
Par.: Ladstätter 2010a, A-K 409. 410. 414; Ladstätter 2008, K 17. 20. 25. 30.

**K 64 Schale** **Taf. 54**
AO: GHD, Inv. E-TR 10-SO1-251-125/K3
Gattung: Gebrauchskeramik
Ton: 10YR4/2, hart, fein, feinporös, beige ES – fein, einzeln, Glimmer – fein, viel
Farbe außen: 5YR4/1 – 10YR6/2 (bei Rand), Farbe innen: 7.5YR5/2
Erh.: 1 Randfrgt.
RDm: 10 cm, erh. H: 2,5 cm
Dat.: –.

**K 65 Topf** **Taf. 54**
AO: GHD, Inv. E-TR 10-SO1-251-125/K4
Gattung: Gebrauchskeramik
Ton: 5YR5/6, hart, fein, feinporös, weiße ES – fein, einzeln, Glimmer – fein, viel
Farbe außen: 5YR6/4, Farbe innen: 2.5YR6/6
Erh.: 4 Rand- und Wandfrgte.
RDm: 9,8 cm, erh. H: 5,7 cm
Dat.: Ende 1./Anfang 2.–4. Jh. n. Chr.
Par.: Ladstätter 2010a, A-K 207; ähnlich Gassner 1997, K 683.

**K 66 Topf** **Taf. 54**
AO: GHD, Inv. E-TR 10-SO1-250-123/K6
Gattung: Gebrauchskeramik/Küchenware (?)
Ton: 7.5YR6/4, hart, fein, sehr feinporös, weiße ES – fein, einzeln, kalkig, Glimmer – fein, eher wenig
Farbe außen: 10R5/3 – 10YR4/1 – 10R5/4, Farbe innen: 7.5YR7/3
Überzug: außen, teilweise abgerieben, matt, innen hineingeronnen
Erh.: 41 Rand-, Boden- und Wandfrgte.
RDm: 15,8 cm, erh. H: 14,3 cm
Dat.: 2.–3. Jh. n. Chr.
Par.: Ladstätter 2010a, 700–704; Gassner 1997, Kat. 715; Ladstätter 2005, K 570. 698. 795. 822–823. 866 (alles Küchenware).

**K 67 Krug** **Taf. 55**
AO: GHD, Inv. E-TR 10-SO1-251-125/K7
Gattung: Gebrauchskeramik
Ton: 2.5YR5/8, 10YR6/4 (Kern), weich, fein, feinporös, Glimmer – fein, viel
Farbe außen: 2.5YR6/6, Farbe innen: 2.5YR6/6
Erh.: 3 Randfrgte.
RDm: ca. 14–16 cm, erh. H: 2,4 cm
Dat.: 2.–3. Jh. n. Chr.
Par.: Ladstätter 2008, K 53–89; Ladstätter 2010a, A-K 671. 849–859; Ladstätter 2010d, K 568. 569.

**K 68 Krug** **Taf. 55**
AO: GHD, Inv. E-TR 10-SO1-251-125/K15
Gattung: Gebrauchskeramik
Ton: 10R5/8, hart, fein, feinporös, weiße ES – fein, wenig, Glimmer – fein, mittelviel
Farbe außen: 2.5YR6/4, Farbe innen: 2.5YR6/4
Erh.: 1 Randfrgt.
RDm: 13 cm, erh. H: 3,5 cm
Dat.: 2.–3. Jh. n. Chr.
Par.: K 67.

**K 69 Kleeblattkanne/Krug (?)** **Taf. 55**
AO: GHD, Inv. E-TR 10-SO1-251-130/K6
Gattung: Gebrauchskeramik
Ton: 2.5YR5/6, mittelhart, fein, feinporös, schwarze ES – sehr fein, einzeln, Glimmer – fein bis mittelfein, viel
Farbe außen: 5YR6/6, Farbe innen: 5YR6/6
Erh.: 3 Rand- und Wandfrgte.
RDm: 6 cm, erh. H: 3,4 cm
Dat.: 2.–3. Jh. n. Chr.
Par.: Ladstätter 2005, K 817, vergleichbar auch mit Küchenware: Ladstätter 2010a, A-K 882; Forster 2001, 158 Fig. 4.11c; Ladstätter 2008, K 110.

**K 70 Kleeblattkanne (?)** **Taf. 55**
AO: GHD, Inv. E-TR 10-SO1-251-85/K9
Gattung: Gebrauchskeramik
Ton: 10R5/8, hart, fein, kompakt bis sehr feinporös, weiße ES – fein, viel, Glimmer – fein, wenig
Farbe außen: 10R5/4 – 10R5/3, Farbe innen: 10R5/6
Erh.: 1 Randfrgt.
erh. H: 1,85 cm
Dat.: 2.–3. Jh. n. Chr.
Par.: Ladstätter 2008, K 52; Ladstätter 2005, K 766.

**K 71 Schüssel** **Taf. 55**
AO: GHD, Inv. E-TR 10-SO1-251-85/K8
Gattung: Gebrauchskeramik/Küchenware
Ton: 2.5YR6/8, hart, fein, Poren – grob bis fein, mittelviele, weiße und graue ES – fein, mittelviel, lila ES – fein, eher wenig, Glimmer – sehr fein, wenig
Farbe außen: 2.5YR6/6, Farbe innen: 2.5YR6/6
Erh.: 1 Randfrgt.
RDm.: zu wenig erhalten, erh. H: 3,3 cm
Dat.: augusteisch
Par.: Ladstätter 2010c, K 497.

**K 72 Schüssel** **Taf. 55**
AO: GHD, Inv. E-TR 10-SO1-251-130/K2
Gattung: Gebrauchskeramik
Ton: 5YR6/4, hart, fein, feinporös, kalkig, weiße ES – fein, einzeln, graue ES – fein, wenig, Glimmer – sehr fein, wenig
Farbe außen: 10YR8/3, Farbe innen: 5YR3/1–5YR5/2
Überzug: innen, teilweise abgerieben, matt
Erh.: 1 Randfrgt.
RDm: 30 cm (sehr wenig erhalten), erh. H: 1,3 cm
Dat.: 1.–2. Jh. n. Chr.
Par.: Ladstätter 2005, K 449. K 484. 485; Ladstätter 2010a, A-K 489–492. 867; Meriç 2002, K 702–706; Ladstätter 2008, K 194.

**K 73 Schüssel** **Taf. 55**
AO: GHD, Inv. E-TR 10-SO1-251-125/K16
Gattung: Gebrauchskeramik
Ton: 2.5YR5/6, hart, fein, porös, Glimmer – fein, viel
Farbe außen: 7.5YR7/4, Farbe innen: 2.5YR4/6–2.5YR4/4
Überzug: innen und partiell Rand außen, teilweise abgerieben, glänzend
Erh.: 1 Randfrgt.
RDm: 50 cm, erh. H: 2,4 cm
Dat.: 1.–3. Jh. n. Chr.
Par.: K 72.

**K 74 Schüssel/Eimer (?)** **Taf. 55**
AO: GHD, Inv. E-TR 10-SO1-251-125/K10
Gattung: Gebrauchskeramik
Ton: 10YR6/3, 2.5YR6/6 (Kern), hart, mittelfein, feinporös, weiße ES – fein bis mittelfein, mittelviel, rötliche ES – fein bis mittelfein, mittelviel, Glimmer – fein, eher wenig
Farbe außen: 10YR6/3, Farbe innen: 10YR6/3
Erh.: 1 Randfrgt.
RDm: zu wenig erhalten, erh. H: 1,35 cm
Dat.: Ende 1./2.–4. Jh. n. Chr.
Par.: Ladstätter 2010a, B–K 469; Meriç 2002, K 725.

**K 75 Schüssel** **Taf. 55**
AO: GHD, Inv. E-TR 10-SO1-251-85/K6
Gattung: Gebrauchskeramik
Ton: 7.5YR6/4, hart, fein, feinporös, Glimmer – fein bis mittelfein, viel
Farbe außen: 7.5YR7/4, Farbe innen: 7.5YR7/4
Farbe Bemalung: 2.5YR5/6
Dekor: Bemalung vor Brand bei Rand außen
Erh.: 1 Randfrgt.
RDm: 54 cm, erh. H: 1,6 cm
Dat.: 5. Jh. n. Chr.
Par.: Turnovsky 2005a, 637 Abb. 3,1; Turnovsky 2005b, 218 Abb. 5, 1.

**K 76 Schüssel/Becken** **Taf. 55**
AO: GHD, Inv. E-TR 10-SO1-251-85/K17
Gattung: Gebrauchskeramik
Ton: 2.5YR7/6, hart, fein, sehr feinporös bis dicht, weiße und schwarze ES – sehr fein, mittelviel, Glimmer – fein
Farbe außen: 10YR8/2, Farbe innen: 10YR8/2
Erh.: 2 Randfrgte.
RDm: über 60 cm, erh. H: 10 cm
Dat.: 6.–7. Jh. n. Chr.
Par.: Turnovsky 2005a, 637 Abb. 3, 6; Ladstätter 2010d, K 242.

**K 77 Deckel** **Taf. 55**
AO: GHD, Inv. E-TR 10-SO1-251-125/K1
Gattung: Gebrauchskeramik
Ton: 2.5YR5/6, weich, fein, feinporös, Glimmer – fein, viel
Farbe außen: 5YR7/4, Farbe innen: 5YR7/4
Erh.: 10 Rand- und Wandfrgte.
RDm: 21 cm, erh. H: 1,7 cm
Dat.: 1.–3. Jh. n. Chr.
Par.: K 139; Ladstätter 2005, K 821; Ladstätter 2008, K 107. 108; Ladstätter 2010a, A-K 500–510.

**K 78 Deckel** **Taf. 55**
AO: GHD, Inv. E-TR 10-SO1-251-125/K5
Gattung: Gebrauchskeramik
Ton: 2.5YR6/6, weich, fein, feinporös bis porös, Glimmer – fein, viel
Farbe außen: 2.5YR6/6, Farbe innen: 2.5YR6/6
Erh.: 2 Randfrgte.
RDm: 18 cm, erh. H: 1,1 cm
Dat.: 1.–3. Jh. n. Chr.
Par.: K 77; Ladstätter 2008, K 107. 108.

**K 79 Deckel** **Taf. 56**
AO: GHD, Inv. E-TR 10-SO1-251-125/K6
Gattung: Gebrauchskeramik
Ton: 2.5YR5/6, 10R5/4 (Kern), weich, fein, feinporös, Glimmer – fein, viel
Farbe außen: 2.5YR6/6, Farbe innen: 2.5YR6/6
Erh.: 2 Randfrgte.
RDm: zu wenig erhalten, erh. H: 1,8 cm
Dat.: 1.–3. Jh. n. Chr.
Par.: K 77; Ladstätter 2008, K 107. 108.

**K 80 Deckel** **Taf. 56**
AO: GHD, Inv. E-TR 10-SO1-251-125/K8
Gattung: Gebrauchskeramik
Ton: 2.5YR5/8, hart, fein, feinporös, Glimmer – fein, viel
Farbe außen: 2.5YR6/6, Farbe innen: 2.5YR6/6
Erh.: 1 Randfrgt.
RDm: 18 cm, erh. H: 1,4 cm
Dat.: 1.–3. Jh. n. Chr.
Par.: K 77; Ladstätter 2008, K 107. 108.

**K 81 Deckel** **Taf. 56**
AO: GHD, Inv. E-TR 10-SO1-251-130/K3
Gattung: Gebrauchskeramik
Ton: 2.5YR5/6, hart, fein bis grob, feinporös, trübe ES (Quarz [?]) – grob (gut 1 mm groß), beige ES – mittelfein, einzeln, gelbliche ES – fein, mittelviel, Glimmer – fein, wenig
Farbe außen: 7.5YR7/4, Farbe innen: 7.5YR7/4
Erh.: 1 Randfrgt.
RDm: 26 cm, erh. H: 1,1 cm
Dat.: 1.–3. Jh. n. Chr.
Par.: Ladstätter 2005, K 220; Ladstätter 2010a, A-K 504–510. A-K 875–877.

**K 82 Deckel** **Taf. 56**
AO: GHD, Inv. E-TR 10-SO1-251-130/K10
Gattung: Gebrauchskeramik
Ton: 2.5YR4/8, 10R5/4 (Kern), weich, fein, porös, Glimmer – fein, viel
Farbe außen: 5YR6/6, Farbe innen: 2.5YR6/6
Erh.: 1 Randfrgt.
RDm: zu wenig erhalten, erh. H: 0,75 cm
Dat.: 1.–3. Jh. n. Chr.
Par.: K 81.

**K 83 Deckel** **Taf. 56**
AO: GHD, Inv. E-TR 10-SO1-251-125/K2
Gattung: Gebrauchskeramik

Ton: 5YR4/6, mittelhart, bis weich, fein, feinporös, Glimmer – fein, viel
Farbe außen: 5YR5/3, Farbe innen: 5YR5/3
Erh.: 6 Rand- und Wandfrgte.
RDm: 97 cm, erh. H: 2,8 cm
Dat.: Mitte 5.–1. Hälfte 7. Jh. n. Chr.
Par.: Turnovsky 2005a, Abb. 2, 10; 2, 13; Ladstätter 2008, K 522.

**K 84 Becher/Krug** **Taf. 56**
AO: GHD, Inv. E-TR 10-SO1-251-125/K20
Gattung: Gebrauchskeramik
Ton: 7.5YR5/1–5YR6/6, hart, fein, feinporös, weiße ES – fein, einzeln, Glimmer – fein, viel
Farbe außen: 7.5YR7/4–7.5YR6/1, Farbe innen: 5YR6/6
Erh.: 1 Bodenfrgt.
BDm: 6 cm, erh. H: 2,7 cm
Dat.: –.

**K 85 Geschlossenes Gefäß** **Taf. 56**
AO: GHD, Inv. E-TR 10-SO1-251-125/K21
Gattung: Gebrauchskeramik
Ton: 10R5/6, hart, fein, dicht, beige ES – fein, einzeln, graue ES – fein, einzeln, Glimmer – fein bis mittelfein, viel
Farbe außen: 10R6/6, Farbe innen: 10R6/6
Erh.: 1 Bodenfrgt.
BDm: 6,4 cm, erh. H: 2,8 cm
Dat.: –.

**K 86 Geschlossenes Gefäß** **Taf. 56**
AO: GHD, Inv. E-TR 10-SO1-251-125/K25
Gattung: Gebrauchskeramik
Ton: 10R5/8, hart, fein, feinporös, beige ES – fein, mittelviel, rötliche ES – fein, einzeln, Glimmer – fein, viel
Farbe außen: 10R6/6, Farbe innen: 10R6/6
Erh.: 1 Bodenfrgt.
BDm: 8 cm, erh. H: 4,1 cm
Dat.: kaiserzeitlich (?)
Par.: Ladstätter 2010a, A-K 477.

**K 87 Schüssel** **Taf. 56**
AO: GHD, Inv. E-TR 10-SO1-251-125/K28
Gattung: Gebrauchskeramik
Ton: 2.5YR6/8, hart, fein, dicht, weiße ES – sehr fein, mittelviel, graue/schwarze ES – sehr fein, mittelviel, Glimmer – fein, eher wenig
Farbe außen: 10YR8/2, Farbe innen: 10YR8/2
Erh.: 1 Bodenfrgt.
BDm: 16 cm, erh. H: 3,9 cm
Dat.: 1.–3. Jh. n. Chr.
Par.: Ladstätter 2005, K 217; Ladstätter 2008, K 91.

**K 88 Schüssel** **Taf. 56**
AO: GHD, Inv. E-TR 10-SO1-251-130/K8
Gattung: Gebrauchskeramik
Ton: 2.5YR6/6, hart, fein, feinporös, weiße ES – fein, einzeln, Glimmer – fein, viel
Farbe außen: 7.5YR7/4 – 10R4/1, Farbe innen: 10R5/4
Überzug: innen, teilweise abgerieben, matt
Anmerkung: mit rundem Stempel auf Bodenunterseite
Erh.: 1 Bodenfrgt.
BDm: 15,2 cm, erh. H: 2,5 cm
Dat.: 1. Jh. v. Chr. – 3. Jh. n. Chr.
Par.: Ladstätter 2010a, A-K 475.

**K 89 Geschlossenes Gefäß** **Taf. 56**
AO: GHD, Inv. E-TR 10-SO1-251-125/K27
Gattung: Gebrauchskeramik
Ton: 5YR6/6, 10YR5/2 (Kern), hart, fein, feinporös, weiße ES – sehr fein, mittelviel, Glimmer – fein, viel
Farbe außen: 5YR7/4, Farbe innen: 2.5YR6/6
Erh.: 3 Bodenfrgte.
BDm: 6,4 cm, erh. H: 2,4 cm.
Dat.: –.

**K 90 Geschlossenes Gefäß** **Taf. 56**
AO: GHD, Inv. E-TR 10-SO1-251-125/K29
Gattung: Gebrauchskeramik
Ton: 5YR6/4, hart, fein, feinporös, weiße ES – sehr fein, einzeln
Farbe außen: 7.5YR7/2, Farbe innen: 7.5YR7/3
Erh.: 1 Bodenfrgt.
BDm: 3,4 cm, erh. H: 4,8 cm
Dat.: –.

**K 91 Schüssel** **Taf. 56**
AO: GHD, Inv. E-TR 10-SO1-251-125/K24
Gattung: Gebrauchskeramik/Küchenware (?)
Ton: 2.5YR6/6, 2.5YR6/2 (Kern), hart, fein, sehr feinporös, weiße ES – fein, viel
Farbe außen: 5YR7/4 – 5YR6/2, Farbe innen: 5YR7/4
Erh.: 1 Bodenfrgt.
BDm: 10 cm, erh. H: 2,4 cm
Dat.: –.

**K 92 Schüssel** **Taf. 56**
AO: GHD, Inv. E-TR 10-SO1-251-125/K19
Gattung: Gebrauchskeramik
Ton: 5YR6/4, hart, mittelfein, feinporös, weiße ES (z. T. hohl, Kalk [?]) – fein bis mittelfein, viel, Glimmerschuppen – fein, einzeln
Farbe außen: 7.5YR7/3, Farbe innen: 10R4/6
Überzug: innen, teilweise abgerieben, matt
Erh.: 3 Bodenfrgte.
BDm: 14 cm, erh. H: 3,35 cm
Dat.: kaiserzeitlich – spätantik.

**K 93 Schüssel** **Taf. 57**
AO: GHD, Inv. E-TR 10-SO1-251-125/K22
Gattung: Gebrauchskeramik
Ton: 5YR7/4 nach außen, 7.5YR6/4 nach innen, hart,

mittelfein, kompakt, weiße ES – mittelfein, einzeln, graue ES – fein bis mittelfein, eher wenig, rötlich braune ES – fein bis mittelfein, einzeln, Glimmer – fein, viel
Farbe außen: 2.5YR6/6, Farbe innen: 7.5YR8/2
Erh.: 2 Bodenfrgte.
BDm: 24 cm, erh. H: 3,6 cm
Dat.: –.

**K 94 Schüssel** **Taf. 57**
AO: GHD, Inv. E-TR 10-SO1-251-85/K16
Gattung: Gebrauchskeramik
Ton: 2.5YR6/6, hart, fein, feinporös, beige ES (Kalk [?]) – fein, mittelviel, Glimmer – fein, viel
Farbe außen: 7.5YR7/4, Farbe innen: 7.5YR7/4
Erh.: 1 Bodenfrgt.
BDm: ca. 20 cm, erh. H: 8,6 cm
Dat.: –.

**K 95 Standring einer Schüssel (?)** **Taf. 57**
AO: GHD, Inv. E-TR 10-SO1-251-85/K18
Gattung: Gebrauchskeramik
Ton: 2.5YR5/6, mittelhart, mittelfein bis fein, feinporös, weiße ES – fein bis mittelfein, eher wenig, Glimmer – fein, viel
Farbe außen: 2.5YR6/6, Farbe innen: 2.5YR6/6
Erh.: 1 Bodenfrgt.
BDm: 27 cm, erh. H: 4,4 cm
Dat.: –.

**K 96 Geschlossenes Gefäß** **Taf. 57**
AO: GHD, Inv. E-TR 10-SO1-251-85/K12
Gattung: Gebrauchskeramik
Ton: 10R5/6 nach außen, 7.5YR5/4 nach innen, weich, fein, feinporös, Glimmer – fein, viel
Farbe außen: 2.5YR5/6, Farbe innen: 7.5YR5/4
Dekor: Stempel Wand außen: unterbrochene Kreismotive
Erh.: 1 Wandfrgt.
erh. L: 3,7 cm
Dat.: –.

**K 97 Pfanne** **Taf. 57**
AO: GHD, Inv. E-TR 10-SO1-251-125/K9
Gattung: Küchenware
Ton: 10YR2/1 nach außen, 10YR6/3 nach innen, mittelhart, mittelfein bis grob, weiße ES – fein bis grob (gut 2 mm groß), mittelviel bis wenig, graue ES – grob (max. ca. 5 mm groß), einzeln, Glimmer – fein, viel
Farbe außen: 5YR3/1, Farbe innen: 2.5YR4/1
Erh.: 1 Randfrgt.
RDm: ca. 28–30 cm, erh. H: 2,1 cm
Dat.: 1.–2. Jh. n. Chr.
Par.: Ladstätter 2010a, A-K 256. 543. 544; Lüdorf 2006, P3. P12.

**K 98 Pfanne** **Taf. 57**
AO: GHD, Inv. E-TR 10-SO1-251-125/K30
Gattung: Küchenware
Ton: 7.5YR4/3 nach außen, 7.5YR3/1 nach innen (Kern), hart, fein, feinporös, trübe ES (Quarz [?]) – fein bis mittelfein, mittelviel, schwarze ES – fein, mittelviel, Glimmer – fein, viel
Farbe außen: 7.5YR4/1 bis Gley 1 2.5/N, Farbe innen: 7.5YR6/2 bis Gley 1 2.5/N
Erh.: 1 Randfrgt. mit Henkel
BDm: 24 cm, erh. H: 6,9 cm
Dat.: 1.–3. Jh. n. Chr.
Par.: Ladstätter 2005, K 246. 638; Ladstätter 2010a, A-K 543–545; Meriç 2002, K 657.

**K 99 Pfanne** **Taf. 57**
AO: GHD, Inv. E-TR 10-SO1-251-125/K31
Gattung: Küchenware
Ton: 7.5YR6/3 nach außen, 10YR2/1 nach innen, hart, fein, feinporös, weiße ES – fein, einzeln, Glimmer – fein, viel
Farbe außen: 7.5YR4/1–Gley 1 2.5/N, Farbe innen: 5YR6/4–Gley 1 2.5/N
Erh.: 1 Randfrgt.
BDm: 36 cm, erh. H: 5,7 cm
Dat.: 1.–3. Jh. n. Chr.
Par.: K 98.

**K 100 Pfanne** **Taf. 58**
AO: GHD, Inv. E-TR 10-SO1-251-130/K11
Gattung: Küchenware
Ton: 7.5YR5/4, 2.5YR6/4 (Kern), hart, grob, feinporös, weiße ES – fein bis grob (gut 1 mm groß), mittelviele, schwarze ES – fein bis mittelfein, mittelviele, Glimmer – fein, mittelviel
Farbe außen: 7.5YR5/3, Farbe innen: 7.5YR5/3
Erh.: 1 Bodenfrgt.
BDm: 18 cm, erh. H: 3 cm
Dat.: 1.–3. Jh. n. Chr.
Par.: K 98.

**K 101 Topf** **Taf. 58**
AO: GHD, Inv. E-TR 10-SO1-251-130/K9
Gattung: Küchenware
Ton: 2.5YR5/8, hart, fein, feinporös, weiße ES – sehr fein, einzeln, graue ES – sehr fein, mittelviel, Glimmer – fein, viel
Farbe außen: 2.5YR6/6–7.5YR6/2, Farbe innen: 2.5YR6/6
Erh.: 1 Randfrgt.
RDm: 18 cm, erh. H: 0,9 cm
Dat.: späthellenistisch – 1. Jh. n. Chr.
Par.: K 13.

**K 102 Krug** **Taf. 58**
AO: GHD, Inv. E-TR 10-SO1-251-125/K11
Gattung: Küchenware
Ton: 10R5/8, hart, mittelfein, feinporös, trübe bis glasige ES (Quarz [?]) – fein, viel, weiße ES (innen hohl,

Kalk [?]) – fein, eher wenig, graue ES – fein, wenig, Glimmer – fein, viel
Farbe außen: 5YR5/2 – 10R6/8, Farbe innen: 5YR5/2 – 10R6/8
Erh.: 1 Randfrgt.
RDm: 14 cm, erh. H: 2,7 cm
Dat.: 1. Jh. n. Chr.
Par.: Ladstätter 2005, K 226.

**K 103 Topf** **Taf. 58**
AO: GHD, Inv. E-TR 10-SO1-251-85/K10
Gattung: Küchenware
Ton: 2.5YR4/1, hart, mittelfein, feinporös, weiße ES – fein bis mittelfein, eher wenig, graue und graubraune ES – fein bis grob (gut 1 mm groß), eher wenig, Glimmer – fein, viel
Farbe außen: 2.5YR5/1, Farbe innen: 2.5YR5/1
Erh.: 1 Randfrgt.
RDm: 23 cm, erh. H: 1,6 cm
Dat.: Ende 4.–5./6. Jh. n. Chr.
Par.: Turnovsky 2005a, 636 Abb. 1, 1; Gassner 1997, K 723; Ladstätter 2008, K 177. K 354. K 526.

**K 104 Deckel** **Taf. 58**
AO: GHD, Inv. E-TR 10-SO1-251-85/K7
Gattung: Küchenware
Ton: 5YR4/6, mittelhart, fein bis grob, feinporös, schwarzer ES – grob (3 mm groß), einzeln, Glimmer – fein, viel
Farbe außen: 5YR5/4, Farbe innen: 5YR5/4
Erh.: 1 Randfrgt.
RDm: 16 cm, erh. H: 1,3 cm
Dat.: 1.–3. Jh. n. Chr.

**DK 105 Deckel** **Taf. 58**
AO: GHD, Inv. E-TR 10-SO1-251-85/K11
Gattung: Küchenware
Ton: 2.5YR5/6, Gley 1 3/N (Kern), hart, mittelfein, feinporös, weiße ES (Kalk und trübe Quarz [?]) – fein bis mittelfein, mittelviel, Glimmer – fein, sehr viel
Farbe außen: 10R5/4–10YR4/1, Farbe innen: 10R5/4–10YR4/1
Erh.: 1 Randfrgt.
RDm: 19 cm, erh. H: 2,6 cm
Dat.: 5.–6. Jh. n. Chr.
Par.: Ladstätter 2008, K 140. K 164. K 438; Turnovsky 2005a, Abb. 2, 10. 11. 14; Ladstätter 2010d, K 260.

**K 106 Amphore** **Taf. 58**
AO: GHD, Inv. E-TR 10-SO1-251-125/K26
Typ: LRA 3
Ton: 2.5YR4/8, hart, fein, sehr feinporös, Glimmer – fein, viel
Farbe außen: 2.5YR5/3, Farbe innen: 2.5YR6/4
Erh.: 1 Bodenfrgt.
BDm: 6 cm, erh. H: 3,3 cm
Dat.: 4.–6. Jh. n. Chr.
Par.: Ladstätter 2008, K 168. 440; Ladstätter 2010d, K 249.

**K 107 Amphore** **Taf. 58**
AO: GHD, Inv. E-TR 10-SO1-251-85/K15
Typ: LRA 3
Ton: 2.5YR5/6, mittelhart, fein, feinporös, Glimmer – fein, viel
Farbe außen: 10YR7/4, Farbe innen: 2.5YR5/6
Erh.: 1 Bodenfrgt.
KDm: 3,4 cm, erh. H: 4,8 cm
Dat.: 6. Jh. n. Chr.
Par.: Ladstätter 2008, 180 K 428. K 538; Bezeczky 2005, Taf. 1, 9.

**K 108 Lampe** **Taf. 58**
AO: GHD, Inv. E-TR 10-SO1-251-125/K32
Typ: ROW-Lampe
Ton: 2.5YR5/6, weich, fein, feinporös, weiße ES – fein, mittelviel, ES (Quarz [?]) – fein, einzeln, schwarze ES – fein, einzeln, Glimmer – fein, mittelviel
Farbe außen: 10R4/8, Farbe innen: 10R4/8
Überzug: flächig, teilweise abgerieben, matt
Dekor: Relief aus der Form auf Schulter: Volutenranke
Erh: 9 Frgte.
Dat.: 2.–3. Jh. n. Chr.
Par.: Broneer 1932, XXV.

**K 109 Lampe** **Taf. 58**
AO: GHD, Inv. E-TR 10-SO1-251-85/K19
Ton: 2.5YR5/6, mittelhart, fein, feinporös, Glimmer – fein, viel
Farbe außen: 10R4/6, Farbe innen: 10R4/6
Überzug: flächig, teilweise abgerieben, matt
Dekor: Relief aus der Form auf Schulter: Weinranke erkennbar
Erh.: 1 Schulter-/Diskusfrgt.
erh. H: 1,2 cm
Dat.: 2. Hälfte 6.–1. Hälfte 7. Jh. n. Chr.
Par.: Ladstätter 2008, K 323 (ähnlich).

**K 110 Lampe** **Taf. 58**
AO: GHD, Inv. E-TR 10-SO1-251-85/K20
Ton: 2.5YR6/6, hart, fein, feinporös, beige ES – sehr fein, mittelviel, innen hohle ES – sehr fein, einzeln
Farbe außen: 10R4/8, Farbe innen: 10R4/8
Überzug: flächig, kompakt, matt
Erh.: 3 Frgte.
BDm: 3 cm
Dat.: 2. Hälfte 6.–1. Hälfte 7. Jh. n. Chr.
Par.: Ladstätter 2008, K 313–314. K 316.

**K 111 Bratrost** **Taf. 59**
AO: GHD, Inv. E-TR 10-SO1-251-125/K35
Gattung: Küchenware
Ton: 10R5/8, 2.5Y5/2 (Kern), hart, fein, feinporös, weiße

ES – fein, einzeln, Glimmer – fein bis mittelfein, viel
Farbe außen: 10R5/6, Farbe ohne Überzug: 2.5YR6/6
Überzug: flächig, teilweise abgerieben, matt
Erh.: 4 Frgte.
Dat.: –.

## Sondage 5/2010

### *SE 737*

**K 112 Teller** **Taf. 59**
AO: GHD, Inv. E-TR 10-SO5-737-558/K4
Gattung: Glanztonware
Typ: Teller mit beidseitig verdickter Lippe
Ton: 2.5YR5/6 nach innen, 10YR6/2 nach außen, mit beidseitig verdickter Lippe, hart, fein, dicht bis sehr feinporös, weiße ES (Kalk) – mittelviel, Glimmer – fein, wenig
Farbe außen: 10YR5/2, Farbe innen: 10R4/3–10R2.5/1
Überzug: innen und Rand außen, kompakt, metallisch glänzend
Dm: wohl über 20 cm, zu wenig erhalten
Erh.: 1 Randfrgt.
erh. H: 3,6 cm
Dat.: 1. Jh. v. Chr.
Par.: Ladstätter 2003a, K 163.

**K 113 Deckel (?)** **Taf. 59**
AO: GHD, Inv. E-TR 10-SO5-737-557/K23
Gattung: weißgrundige Keramik
Ton: 2.5YR5/6, mittelhart, fein, feinporös, trübe ES (Quarz) – fein, einzeln, Glimmer – fein, wenig
Farbe außen: 5YR8/1, Farbe innen: 5YR7/6
Farbe Streifen: 10R4/8
Überzug: außen, teilweise abgerieben, matt
Erh.: 1 Randfrgt.
RDm: 11 cm, erh. H: 2,2 cm
Dat.: 2.–1. Jh. v. Chr.
Par.: Rotroff 1997, 1561–1563.

**K 114 Schälchen** **Taf. 59**
AO: GHD, Inv.Nr. E-TR 10-SO5-737-558/K6
Gattung: Gebrauchskeramik
Ton: 2.5YR5/6, hart, fein, feinporös, weiße ES – sehr fein, einzeln, Glimmer – fein, viel
Anmerkung: Ofl. nicht einheitlich, nicht gleichmäßig gedreht
Farbe außen: 7.5YR7/6–7.5YR4/1, Farbe innen: 7.5YR7/6
Erh.: 1 Frgt.
RDm: 7,8 cm, erh. H: 2,35 cm
Dat.: hellenistisch (?).

**K 115 Schüssel** **Taf. 59**
AO: GHD, Inv. E-TR 10-SO5-737-558/K8
Gattung: Gebrauchskeramik
Ton: 2.5YR5/6, 5YR5/4 (Kern), hart, fein, sehr feinporös, weiße ES – sehr fein, einzeln, graue ES – sehr fein, einzeln, Glimmer – fein, viel
Farbe außen: 2.5YR6/6, Farbe innen: 2.5YR6/6
Erh.: 1 Randfrgt.
RDm: über 40 cm, erh. H: 1,25 cm
Dat.: 2. Viertel 5. Jh. v. Chr. – hellenistisch
Par.: K 4.

**K 116 Schüssel** **Taf. 59**
AO: GHD, Inv. E-TR 10-SO5-737-557/K4
Gattung: Gebrauchskeramik
Ton: 2.5YR5/6, 5YR6/6 (Kern), mittelhart, fein, sehr feinporös, weiße ES – sehr fein, einzeln, Glimmer – fein, viel
Farbe außen: 2.5YR6/6, Farbe innen: 2.5YR6/6
Erh.: 1 Randfrgt.
RDm: zu wenig erhalten, erh. H: ca.1,8 cm
Dat.: spätes 3.–1. Jh. v. Chr.
Par.: Ladstätter 2003a, K 335; Gassner 1997, 293; Ladstätter 2010c, K 447.

**K 117 Teller/Schüssel** **Taf. 59**
AO: GHD, Inv. E-TR 10-SO5-737-557/K36
Gattung: Gebrauchskeramik
Typ: Teller/Schüssel mit breitem Rand
Ton: 7.5YR6/4, hart, fein, kompakt, rötliche ES – fein, mittelviel, weiße ES – fein, einzeln, Glimmer – fein, viel
Farbe außen: 7.5YR7/4, Farbe innen: 10R5/6 – Gley1 2.5/N
Überzug: innen und Rand außen, teilweise abgerieben, matt
Erh.: 1 Randfrgt.
RDm: 33 cm, erh. H: 1 cm
Dat.: 3.–1. Jh. v. Chr.
Par.: Gassner 1997, Nr. 103. 274; Ladstätter 2003a, K 94; Ladstätter 2010c, K 448.

**K 118 Schüssel/Teller** **Taf. 59**
AO: GHD, Inv. E-TR 10-SO5-737-557/K33
Gattung: Gebrauchskeramik
Ton: 2.5YR5/6, hart, fein, kompakt, weiße ES (Kalk [?]) – fein, einzeln,
weiß bis hellgraue ES – fein, viel, Glimmer – fein, wenig
Farbe außen: 5YR6/6, Farbe innen: 5YR6/6
Erh.: 1 Randfrgt.
RDm: 26 cm, erh. H: 1,85 cm
Dat.: spätes 3./frühes 2.–1. Jh. v. Chr.
Par.: Wintermayer 2004, Abb. 74, Nr. 120 (Typ S2.5); Ladstätter 2010c, K 441.

**K 119 Topf** **Taf. 59**
AO: GHD, Inv. E-TR 10-SO5-737-557/K22
Gattung: Gebrauchskeramik
Ton: 5YR5/6, hart, fein, dicht, weiße ES – fein, wenig, Glimmer – fein, viel
Farbe außen: 5YR7/6, Farbe innen: 5YR7/6
Erh.: 1 Randfrgt.

RDm: 21 cm, erh. H: 2,2 cm
Dat.: 1.–4. Jh. n. Chr.
Par.: Gassner 1997, Kat. 680. 682.

**K 120 Deckel (?)** **Taf. 59**
AO: GHD, Inv. E-TR 10-SO5-737-557/K37
Gattung: Gebrauchskeramik
Ton: 5YR5/6, weich, fein, feinporös, weiße ES – fein, viel
Farbe außen: 5YR5/4, Farbe innen: 5YR5/4
Bemerkungen: Ofl. geglättet
Erh.: 1 Randfrgt.
RDm: zwischen 16 und 17 cm, erh. H: 1,55 cm
Dat.: klassisch – hellenistisch (?).

**K 121 Deckel** **Taf. 59**
AO: GHD, Inv. E-TR 10-SO5-737-557/K20
Gattung: Gebrauchskeramik
Ton: 2.5YR5/6, hart, fein, dicht bis sehr feinporös, beige ES – fein, mittelviel, dunkelgraue ES – fein, wenig, rötlich lila ES – fein, einzeln, Glimmer – fein, viel
Farbe außen: 7.5YR8/4, Farbe innen: 7.5YR8/4
Erh.: 1 Randfrgt.
RDm: über 30 cm, erh. H: 2 cm
Dat.: späthellenistisch
Par.: Ladstätter 2010d, K 532.

**K 122 Standring** **Taf. 60**
AO: GHD, Inv. E-TR 10-SO5-737-557/K53
Gattung: Gebrauchskeramik
Ton: 2.5YR5/6, 5YR6/6 (Kern), hart, fein, feinporös, weiße ES – fein, einzeln, beige ES – fein, einzeln, Glimmer – fein, viel
Farbe außen: 2.5YR6/6, Farbe innen: 2.5YR6/6
Erh.: 1 Bodenfrgt.
BDm: 6,4 cm, erh. H: 2 cm
Dat.: –.

## *SE 736*

**K 123 Schale/Teller** **Taf. 60**
AO: GHD, Inv. E-TR 10-SO5-736-556/K2
Gattung: hellenistische Glanztonware
Ton: 7.5YR5/6, hart, fein, feinporös, weiße ES – sehr fein, einzeln, Glimmer – fein, wenig
Farbe außen: 7.5YR7/6, Farbe innen: Gley 1 2.5/N
Überzug: innen, kompakt, glänzend
Erh.: 1 Bodenfrgt.
BDm: 4 cm, erh. H: 1,4 cm
Dat.: hellenistisch
Par.: Ladstätter 2003a, K 224. 231. 238.

**K 124 Schale/Teller (?)** **Taf. 60**
AO: GHD, Inv. E-TR 10-SO5-736-556/K5
Gattung: Gebrauchskeramik
Ton: 2.5YR5/6, 10YR6/4 (Kern), hart, fein, feinporös, weiße ES – fein, einzeln, Glimmer – fein, viel
Farbe außen: 2.5YR6/6, Farbe innen: 10R4/8
Überzug: innen, teilweise abgerieben, matt
Erh.: 1 Bodenfrgt.
BDm: 4,4 cm, erh. H: 2,3 cm
Dat.: hellenistisch
Par.: Ladstätter 2003a, K 229. 235.

**K 125 Sieb (?)** **Taf. 60**
AO: GHD, Inv. E-TR 10-SO5-736-556/K4
Gattung: hellenistische Glanztonware (?)
Ton: 2.5YR6/8, hart, fein, feinporös, weiße ES – fein, mittelviel, graue ES – fein, einzeln
Farbe außen: 10R6/8, Farbe innen: 2.5YR5/8
Überzug: innen, kompakt, glänzend
Erh.: 1 Bodenfrgt.
BDm: 4,8 cm, erh. H: 1,4 cm
Dat.: hellenistisch (?).

**K 126 Schale** **Taf. 60**
AO: GHD, Inv. E-TR 10-SO5-736-556/K20
Gattung: ESB/Red Slip-Ware (?)
Ton: 2.5YR5/6, hart, fein, dicht, Glimmer – fein, viel
Farbe außen: 10R4/8, Farbe innen: 10R4/8
Überzug: flächig, teilweise abgerieben, glänzend, Bodenunterseite ausgelassen
Erh.: 1 Bodenfrgt.
BDm: 4,2 cm, erh. H: 0,75 cm
Dat.: –.

**K 127 Krug** **Taf. 60**
AO: GHD, Inv. E-TR 10-SO5-736-556/K7
Gattung: Red Slip-Ware (?)
Ton: 10R5/6, hart, fein, sehr feiporös, weiße ES – sehr fein, mittelviel, Glimmer – fein, viel
Farbe außen: 2.5YR5/8, Farbe innen: 2.5YR5/8
Überzug: flächig, teilweise abgerieben, matt
Erh.: 1 Randfrgt.
BDm: 9 cm, erh. H: 1,45 cm
Dat.: frühe Kaiserzeit (?)
Par.: Gassner 1997, Nr. 691 (?).

## *SE 735*

**K 128 Schale** **Taf. 60**
AO: GHD, Inv. E-TR 10-SO5-735-554/K7
Gattung: hellenistische Glanztonware
Typ: Echinusschale
Ton: 2.5YR6/6, hart, fein, dicht
Farbe außen: 5YR7/4, Gley1 4/N (Überzug), Farbe innen: 5YR7/4
Überzug: flächig, abgerieben, glänzend
Erh.: 1 Randfrgt.
RDm: 10 cm, erh. H: 1,95 cm
Dat.: ab 2. Jh. v. Chr.
Par.: Ladstätter 2003a, K 74–88; Rotroff 1997, Nr. 1022. 1023.

**K 129 Schüssel** **Taf. 60**
AO: GHD, Inv. E-TR 10-SO5-735-554/K13
Gattung: Gebrauchskeramik
Ton: 10R4/6, hart, fein, dicht, weiße ES – einzeln, Glimmer – fein, einzeln
Farbe außen: 10R6/6, Farbe innen: 10R5/8
Überzug: innen und Rand außen, abgerieben, glänzend
Erh.: 1 Randfrgt.
RDm: 30 cm, erh. H: 2,5 cm
Dat.: 2.–1. Jh. v. Chr.
Par.: Gassner 1997, Nr. 454; Ladstätter 2010b, B-K 251.

*SE 726*

**K 130 Teller** **Taf. 60**
AO: GHD, Inv. E-TR 10-SO5-726-551/K8
Gattung: Glanztonware
Typ: Teller mit gedrechseltem Rand
Ton: 5YR5/6, hart, fein, dicht bis sehr feinporös, weiße ES – sehr fein, einzeln, Glimmer – fein, wenig
Farbe außen: 2.5YR4/6–2.4YR3/1, Farbe innen: 2.5YR4/6
Überzug: flächig, teilweise abgerieben, glänzend
Erh.: 1 Randfrgt.
RDm: 18–20 cm, erh. H: 2,6 cm
Dat.: spätes 2. Jh. v. Chr. – augusteisch
Par.: Ladstätter 2003a, K 172–176; Ladstätter 2005, K 111.

**K 131 Schale** **Taf. 60**
AO: GHD, Inv. E-TR 10-SO5-726-546/K1
Gattung: Glanztonware
Ton: 7.5YR5/4, hart, fein, dicht bis sehr feinporös, weiße ES (Kalk ausgebrannt [?]) – sehr fein, viel, Glimmer – fein, wenig
Farbe außen: 7.5YR2.5/1 (Überzug), 7.5YR6/3 (ohne Überzug),
Farbe innen: 7.5YR2.5/1
Überzug: flächig, kompakt, mattglänzend
Erh.: 1 Bodenfrgt.
BDm: 5,4 cm, erh. H: 2,65 cm
Dat.: 2.–1. Jh. v. Chr.
Par.: Ladstätter 2003a, K 206. 219. 234.

**K 132 Teller** **Taf. 60**
AO: GHD, Inv. E-TR 10-SO5-726-551/K1
Gattung: ESB
Typ: Atlante 18, 19 oder 60 (?)
Ton: 5YR5/6, hart, fein, feinporös, Glimmer – fein, viel
Farbe außen: 10R5/8, Farbe innen: 10R5/8
Überzug: flächig, teilweise abgerieben, glänzend
Erh.: 1 Bodenfrgt.
BDm: 12 cm, erh. H: 1,1 cm
Dat.: 2. Jh. n. Chr.
Par.: Hayes 1985, Taf. 12, 12. 13; Taf. 14, 5. 6.

**K 133 Schälchen** **Taf. 60**
AO: GHD, Inv. E-TR 10-SO5-726-551/K2
Gattung: Red Slip-Ware
Typ: Imitation ESC L 19/H3 (?)
Ton: 5YR6/6, mittelhart, fein, feinporös, Glimmer – fein, viel
Farbe außen: 10R4/8, Farbe innen: 10R4/8
Überzug: flächig, teilweise abgerieben, mattglänzend
Erh.: 3 Rand- und Wandfrgte.
RDm: 9 cm, erh. H: 2,8 cm
Dat.: 2. Jh. oder 2./3. Jh. n. Chr.
Par.: Ladstätter 2005, K 530; Ladstätter 2008, TS 103.

**K 134 Schale** **Taf. 60**
AO: GHD, Inv. E-TR 10-SO5-726-538/K3
Gattung: Gebrauchskeramik
Ton: 2.5YR5/6, mittelhart, fein, feinporös, weiße ES – sehr fein bis fein, mittelviel, graue ES – sehr fein, eher wenig, Glimmer – fein, mittelviel bis wenig
Farbe außen: 7.5YR7/3, Farbe innen: 10YR8/3
Erh.: 1 Bodenfrgt.
BDm: 3–3,1 cm, erh. H: 3,4 cm
Dat.: –.

**K 135 Schüssel** **Taf. 60**
AO: GHD, Inv. E-TR 10-SO5-726-538/K2
Gattung: Gebrauchskeramik
Ton: 2.5Y6/2, 2.5Y5/1 (Kern), hart, fein, feinporös, weiße, trübe ES – mittelfein, einzeln, beige bis gelbliche ES – fein, mittelviel, Glimmer – fein, viel
Farbe außen: 2.5Y6/3, Farbe innen: 2.5Y6/3
Erh.: 1 Randfrgt.
RDm: 44 cm, erh. H: 2,1 cm
Dat.: 2./1. Jh. v. Chr. – 1. Jh. n. Chr.
Par.: Ladstätter 2010b, B-K 261; Gassner 1997, Kat. 289; Meriç 2002, K 697–701; Ladstätter 2005, K 351; Ladstätter 2010d, K 880.

**K 136 Schüssel** **Taf. 60**
AO: GHD, Inv. E-TR 10-SO5-726-551/K7
Gattung: Gebrauchskeramik
Ton: 2.5YR5/8, sehr hart, fein, kompakt, Poren – fein bis mittelfein, mittelviele, sehr glatt, weiße ES – fein, wenig, dunkelgraue ES – fein, einzeln
Farbe außen: 2.5YR5/6, Farbe innen: 10R4/8
Überzug: innen, kompakt, matt
Erh.: 1 Randfrgt.
RDm: 32–34 cm, erh. H: 3,45 cm
Dat.: 1.–4. Jh. n. Chr.
Par.: Gassner 1997, Kat. 656; Meriç 2002, K 725; Ladstätter 2010b, B-K 469 (ähnlich).

**K 137 Schüssel** **Taf. 61**
AO: GHD, Inv. E-TR 10-SO5-726-538/K4
Gattung: Gebrauchskeramik
Ton: 2.5YR5/6, 5YR6/6 (Kern), hart, fein, feinporös, weiße ES – sehr fein, wenig, Glimmer – fein, mittelviel
Farbe außen: 5YR7/4
Erh.: 1 Bodenfrgt.
BDm: 9,6 cm, erh. H: 2,1 cm

Dat.: 1. Jh. v. Chr. – 1. Jh. n. Chr.
Par.: Ladstätter 2005, K 204. 207. 208.

**K 138 Schüssel** **Taf. 61**
AO: GHD, Inv. E-TR 10-SO5-726-551/K13
Gattung: Gebrauchskeramik
Ton: 2.5YR4/8, Gley 1 4/N (Kern), sehr hart, fein, kompakt, Poren – fein, einzeln
Farbe außen: 2.5YR6/6, Farbe innen: Gley 1 4/N–10R5/3
Überzug: innen, teilweise abgerieben, matt
Erh.: 2 Bodenfrgte.
BDm: 18 cm, erh. H: 5,2 cm
Dat.: kaiserzeitlich
Par.: Sackett 1992, Deposit U, 38.

**K 139 Thymiaterion (?)** **Taf. 61**
AO: GHD, Inv. E-TR 10-SO5-726-551/K5
Gattung: Gebrauchskeramik
Ton: 2.5YR5/6, mittelhart, fein, feinporös, weiße ES – sehr fein, mittelviel, Glimmer – fein, viel
Farbe außen: 2.5YR6/6, Farbe innen: 5YR6/6
Erh.: 1 Randfrgt.
RDm: 14 cm, erh. H: 2 cm
Dat.: kaiserzeitlich (?)
Par.: Ladstätter 2008, K 245; Ladstätter 2010a, A-K 448–451.

**K 140 Topf** **Taf. 61**
AO: GHD, Inv. E-TR 10-SO5-726-551/K10
Gattung: Küchenware
Ton: 10R4/8, hart, fein, dicht, weiße ES – sehr fein, wenig, graue ES – sehr fein bis fein, mittelviel, Glimmer – fein, mittelviel
Farbe außen: 5YR4/1, Farbe innen: 5YR4/1
Erh.: 2 Randfrgte. mit Henkelansatz
RDm: zwischen 20 und 21 cm, erh. H: 4,2 cm
Dat.: 1.–3. Jh. n. Chr.
Par.: Ladstätter 2005, K 569. 770; Gassner 1997, Kat. 713; Lüdorf 2006, Kochtöpfe T III/1, Taf. 9.

**K 141 Topf** **Taf. 61**
AO: GHD, Inv. E-TR 10-SO5-726-551/K11
Gattung: Küchenware
Ton: 10R5/6, hart, fein, dicht bis feinporös, graue ES – fein, einzeln, Glimmer – fein, wenig
Farbe außen: 10R5/4, Farbe innen: 10R6/6
Erh.: 1 Randfrgt.
RDm: 14 cm, erh. H: 3,65 cm
Dat.: 1.–3. Jh. n. Chr.
Par.: Ladstätter 2005, K 714; Gassner 1997, Kat. 715 (ähnlich).

**K 142 Topf** **Taf. 61**
AO: GHD, Inv. E-TR 10-SO5-726-551/K12
Gattung: Küchenware
Ton: 5YR5/4, 2.5Y4/1 (Kern), hart, fein, dicht, weiße ES – fein bis grob (gut 1 mm groß), einzeln
Farbe außen: 2.5YR5/6, Farbe innen: 7.5YR5/2
Erh.: 1 Randfrgt.
RDm: 13 cm, erh. H: 3,9 cm
Dat.: 1.–3. Jh. n. Chr.
Par.: Ladstätter 2005, K 771; Ladstätter 2010a, A-K 700; Gassner 1997, Kat. 715. 716.

**K 143 Amphore** **Taf. 61**
AO: GHD, Inv. E-TR 10-SO5-726-551/K4
Typ: Peacock – Williams 45
Ton: 2.5YR4/6, 7.5YR4/2 (Kern), mittelhart, fein, feinporös, Glimmer – fein, viel
Farbe außen: 7.5YR6/4, Farbe innen: 5YR6/4
Erh.: 1 Bodenfrgt.
BDm: 8 cm, erh. H: 2,95 cm
Dat.: spätes 1. Jh. v. Chr. – frühes 1. Jh. n. Chr.
Par.: Ladstätter 2005, K 272.

## *SE 727*

**K 144 Schüssel** **Taf. 61**
AO: GHD, Inv. E-TR 10-SO5-727-548/K1
Gattung: Gebrauchskeramik
Ton: 2.5YR5/6, sehr hart, fein, dicht, weiße ES – sehr fein, mittelviel, graue ES – sehr fein, mittelviel, trübe ES (Quarz [?]) – fein, einzeln
Farbe außen: 5YR7/4, Farbe innen: 5YR7/4
Erh.: 1 Randfrgt.
RDm: 28 cm, erh. H: 4,55 cm
Dat.: 1.–3. Jh. n. Chr.
Par.: Ladstätter 2005, K 449. 485; Gassner 1997, Kat. 656; Meriç 2002, K 702–705.

## *SE 729*

**K 145 Schale** **Taf. 61**
AO: GHD, Inv. E-TR 10-SO5-729-550/K2
Gattung: ESB
Typ: Atlante 70
Ton: 2.5YR5/6, hart, fein, sehr feinporös, Glimmer – fein
Farbe außen: 10R5/8, Farbe innen: 10R5/8
Überzug: flächig, teilweise abgerieben, glänzend
Dekor: Rouletting: Rand oben, Rosettenstempel: Boden innen
Erh.: 4 Rand-, Boden- und Wandfrgte.
BDm: 3,8 cm, erh. H: 4,2 cm
Dat.: 50–150 n. Chr.
Par.: Hayes 1985, Taf. 14, 19.

**K 146 Teller** **Taf. 62**
AO: GHD, Inv. E-TR 10-SO5-729-549/K1
Gattung: Red Slip-Ware
Typ: Imitation ESB Atlante 60
Ton: 10R4/6, hart, fein, dicht bis kompakt, beige ES – fein, mittelviel, Glimmer – fein, wenig
Farbe außen: 10R4/1–10R4/6, Farbe innen: 10R4/1
Überzug: flächig, teilweise abgerieben, metallisch glän-

zend bis matt
Erh.: 1 Randfrgt.
RDm: 21 cm, erh. H: 3,55 cm
Dat.: Mitte 2.–1. Hälfte 3. Jh. n. Chr.
Par.: Ladstätter 2005, K 734. K 805; Ladstätter 2008, TS 46.

**K 147 Becher** **Taf. 62**
AO: GHD, Inv. E-TR 10-SO5-729-550/K1
Gattung: dünnwandige Keramik
Ton: 10R4/6, hart, fein, sehr feinporös, weiße ES – fein, mittelviel, graue ES – fein, mittelviel, Glimmer – fein, mittelviel
Farbe außen: Gley 1 4/N–10R5/4, Farbe innen: 10R5/4
Erh.: 1 Randfrgt.
RDm: 6,4 cm, erh. H: 2 cm
Dat.: 1.–3. Jh. n. Chr.

**K 148 Krug/Kleeblattkanne (?)** **Taf. 62**
AO: GHD, Inv. E-TR 10-SO5-729-549/K5
Gattung: Gebrauchskeramik
Ton: 2.5YR5/6, sehr hart, fein, kompakt, weiße ES – fein, eher wenig, Glimmer – fein, mittelviel
Farbe außen: 10YR7/4, Farbe innen: 10YR7/4
Erh.: 1 Randfrgt. mit Henkel
RDm: nicht bestimmbar, erh. H: 3,4 cm
Dat.: 1.–2. Jh. n. Chr.
Par.: Ostia II, Nr. 401 Tafel 22 (ähnlich); Sackett 1992, Deposit T1, 16; Gassner 1997, Kat. 691.

**K 149 Schüssel** **Taf. 62**
AO: GHD, Inv. E-TR 10-SO5-729-550/K5
Gattung: Gebrauchskeramik
Ton: 2.5YR5/6, 7.5YR6/4 (Kern), hart, fein bis mittelfein, sehr feinporös, weiße ES – fein bis mittelfein, mittelviele, graue ES – fein bis mittelfein, eher wenig, Glimmer – fein, viel
Farbe außen: 7.5YR7/4, Farbe innen: 7.5YR7/4
Erh.: 1 Randfrgt.
RDm: 48 cm, erh. H: 5 cm
Dat.: 1. Jh. n. Chr. – spätantik (?)
Par.: Meriç 2002, K 709. 789; Ladstätter 2010a, A-K 487.

**K 150 Schüssel** **Taf. 62**
AO: GHD, Inv. E-TR 10-SO5-729-549/K2
Gattung: Gebrauchskeramik
Ton: 2.5YR5/6, sehr hart, fein, kompakt, weiße ES – fein bis mittelfein, mittelviele, rötliche ES – fein, einzeln, Glimmer – fein, mittelviel
Farbe außen: 7.5YR7/4, Farbe innen: 5YR7/4
Erh.: 1 Randfrgt.
RDm: ca. 50 cm, erh. H: 5,4 cm
Dat.: 1. Jh. n. Chr.
Par.: Meriç 2002, K 709. 710; Ladstätter 2010a, A-K 488. A-K 607; Ladstätter 2005, K391.

**K 151 Schüssel** **Taf. 62**
AO: GHD, Inv. E-TR 10-SO5-729-550/K6
Gattung: Gebrauchskeramik
Ton: 7.5YR6/4, 5YR6/6 (Kern), hart, fein, dicht bis sehr feinporös, weiße ES – fein, eher wenig, trübe ES (Quarz [?]) – fein, mittelviele, dunkelgraue ES – fein, eher wenige, hellgraue ES – fein, eher wenig, rötliche ES – mittelfein, einzeln, Glimmer – fein, viel
Farbe außen: 10YR7/4, Farbe innen: 10YR7/4
Erh.: 1 Bodenfrgt.
BDm: 23,6 cm, erh. H: 10,1 cm
Dat.: kaiserzeitlich
Par.: Ladstätter 2010d, K 736; Ladstätter 2010a, A-K 864 (Bodenfrgt.).

**K 152 Teller** **Taf. 62**
AO: GHD, Inv. E-TR 10-SO5-729-549/K3
Gattung: Küchenware
Ton: 2.5YR4/4, mittelhart, grob, porös, beige ES – fein bis grob (gut 1 mm groß), viele, trübe ES (Quarz [?]) – fein bis grob (bis zu ca. 2 mm lang), viel, dunkelgraue ES – fein, eher wenig, rötliche ES – fein, eher wenig, Glimmer – fein, mittelviel
Farbe außen: 5YR5/4–10YR4/1 (verbrannt), Farbe innen: 2.5YR5/6
Erh.: 1 Randfrgt.
RDm: 34 cm, erh. H: 4,65 cm
Dat.: 2–3. Jh. n. Chr.
Par.: Ladstätter 2005, K 670. K 862; Ladstätter 2010a, A-K 711. A-K 909. A-K 951.

**K 153 Amphore** **Taf. 62**
AO: GHD, Inv. E-TR 10-SO5-729-550/K4
Typ: Peacock – Williams 45
Ton: 5YR4/3, mittelhart, fein, dicht, Glimmer – fein, viel
Farbe außen: Gley 1 4/N, Farbe innen: 5YR4/2
Erh.: 1 Bodenfrgt.
BDm: 5,7–6 cm, erh. H: 4,6 cm
Dat.: 2.–4. Jh. n. Chr.
Par.: Ladstätter 2005, K 580–583; Robinson 1959, M 256.

**K 154 Amphore** **Taf. 62**
AO: GHD, Inv. E-TR 10-SO5-729-550/K3
Typ: Peacock – Williams 45
Ton: 2.5YR4/6 , hart, fein, dicht bis sehr feinporös, Glimmer – fein, viel
Farbe außen: 2.5YR4/3, Farbe innen: 2.5YR4/6
Erh.: 1 Bodenfrgt.
BDm: 4,5 cm, erh. H: 2,55 cm
Dat.: 2.–4. Jh. n. Chr.
Par.: K 153.

**K 155 Amphore** **Taf. 63**
AO: GHD, Inv. E-TR 10-SO5-729-550/K7
Typ: Dressel 2-4
Ton: 5YR6/6, hart, mittelfein, dicht, schwarze ES (vul-

kanisch [?]) – fein bis mittelfein, viel, weiße ES (Quarz und Kalk [?]) – fein, eher wenig, Glimmer – fein, viel
Farbe außen: 5YR7/4, Farbe innen: 5YR6/6
Erh.: 1 Knauffrgt.
KDm: 8,3 cm, erh. H: 20,7 cm
Dat.: 4. Viertel 1. Jh. v. Chr. – Anfang 2. Jh. n. Chr.
Par.: Peacock – Williams 1986, Abb. 28.

**K 156 Amphore** **Taf. 63**
AO: GHD, Inv. E-TR 10-SO5-729-549/K4
Typ: Kapitän 2
Ton: 2.5YR5/8, hart, fein, feinkörnig, dicht bis sehr fein porös, trübe ES (Quarz [?]) – fein, viel, weiße ES – fein, wenig, graue ES – fein, wenig, Glimmer – fein, mittelviel
Farbe außen: 10R4/6 – 7.5YR4/1, Farbe innen: 2.5YR5/8
Erh.: 1 Randfrgt.
BDm: 7,6 cm, erh. H: 6,2 cm
Dat.: Ende 2.–4. Jh. n. Chr.
Par.: Peacock – Williams 1986, Class 47.

## *SE 722*

**K 157 Lekane** **Taf. 63**
AO: GHD, Inv. E-TR 10-SO5-722-537/K3
Gattung: Gebrauchskeramik
Ton: 2.5YR5/6, hart, fein, feinporös, weiße ES – sehr fein, viel, Glimmer – fein, viel
Farbe außen: 2.5YR6/6, Farbe innen: 10R4/2–10R5/6
Überzug: innen, kompakt, matt
Erh.: 1 Randfrgt.
RDm: ca. 30 cm, erh. H: 4 cm
Dat.: hellenistisch.

**K 158 Schüssel/Krater (?)** **Taf. 63**
AO: GHD, Inv. E-TR 10-SO5-722-537/K4
Gattung: Gebrauchskeramik
Ton: 2.5YR5/6, hart, fein, feinporös, weiße ES – fein, viel, graue ES – fein, einzeln, Glimmer – fein, wenig
Farbe außen: 5YR7/4, Farbe innen: 10R4/8
Überzug: innen und Rand außen, teilweise abgerieben, mattglänzend
Erh.: 4 Rand- und Wandfrgte. mit Henkelansatz
RDm: 28 cm, erh. H: 5,7 cm
Dat.: 3. Jh. v. Chr. (?).

**K 159 Teller** **Taf. 64**
AO: GHD, Inv. E-TR 10-SO5-722-532/K1
Gattung: ESB
Typ: Atlante 76B
Ton: 2.5YR5/6, hart, fein, sehr feinporös, Glimmer – fein
Farbe außen: 10R5/8, Farbe innen: 2.5YR6/6
Überzug: außen, teilweise abgerieben, glänzend
Erh.: 3 Bodenfrgte.
BDm: 17 cm, erh. H: 3,5 cm
Dat.: 100–150 n. Chr.
Par.: Hayes 1985, Taf. 15, 11; Beyll 1993, Taf. 5, 54.

**K 160 Teller** **Taf. 64**
AO: GHD, Inv. E-TR 10-SO5-722-537/K2
Gattung: ESB
Typ: Atlante 58
Ton: 2.5YR5/6, hart, fein, dicht, Glimmer – fein, viel
Farbe außen: 10R5/8, Farbe innen: 10R5/8
Überzug: flächig, teilweise abgerieben, glänzend
Dekor: Rouletting, Rand außen
Erh.: 2 Randfrgte.
RDm: 16 cm, erh. H: 2,35 cm
Dat.: 50–125 n. Chr.
Par.: Hayes 1985, Taf. 14, 3; Ladstätter 2005, K 590; Ladstätter 2008, TS 27. 29.

**K 161 Teller** **Taf. 64**
AO: GHD, Inv. E-TR 10-SO5-722-537/K1
Gattung: ESB
Typ: Atlante 58
Ton: 2.5YR5/6, hart, fein, dicht, Glimmer – fein, viel
Farbe außen: 2.5YR5/8, Farbe innen: 2.5YR5/8
Überzug: flächig, teilweise abgerieben, glänzend
Erh.: 1 Bodenfrgt.
BDm: 92 cm, erh. H: 0,9 cm
Dat.: 50–125 n. Chr.
Par.: Hayes 1985, Taf. 14, 3; Ladstätter 2008, TS 32. 34. 35. 40; Meriç 2002, K 245–248.

**K 162 Schale/Becher** **Taf. 64**
AO: GHD, Inv. E-TR 10-SO5-722-524/K1
Gattung: Red Slip-Ware (lokal/regional)
Ton: 5YR6/6, hart, fein, dicht, Glimmer – fein, viel
Farbe außen: 10R5/6, Farbe innen: 10R5/6
Überzug: flächig, teilweise abgerieben, matt
Erh.: 1 Randfrgt.
RDm: 17 cm, erh. H: 2,7 cm
Dat.: –.

**K 163 Becher** **Taf. 64**
AO: GHD, Inv. E-TR 10-SO5-722-524/K2
Gattung: dünnwandige Keramik
Ton: 2.5YR5/6, 7.5YR5/2 (Kern), hart, fein, sehr feinporös, weiße ES – fein, viel, Glimmer – fein, viel
Farbe außen: 5YR4/1–10R6/6, Farbe innen: 5YR7/4
Überzug: außen, kompakt, metallisch glänzend
Erh.: 1 Bodenfrgt.
BDm: 3,6 cm, erh. H: 1,9 cm
Dat.: 1.–3. Jh. n. Chr.
Par.: Ladstätter 2005, K 810; Ladstätter 2010a, A-K 438. 439.

**K 164 Schüssel** **Taf. 64**
AO: GHD, Inv. E-TR 10-SO5-722-570/K2
Gattung: Gebrauchskeramik
Ton: 2.5YR5/6, hart, fein, dicht bis sehr feinporös, weiße ES – fein, mittelviel, graue ES – fein, mittelviel, Glimmer – fein, mittelviel
Farbe außen: 5YR8/4, Farbe innen: 10R4/4–10R4/6

Überzug: innen, teilweise abgerieben, matt
Erh.: 2 Randfrgte.
RDm: 30 cm, erh. H: 4,9 cm
Dat.: 1. Jh. n. Chr.
Par.: Ladstätter 2010a, A-K 607 (ähnlich); Meriç 2002, K 702–706.

**K 165 Krug** **Taf. 64**
AO: GHD, Inv. E-TR 10-SO5-722-537/K7
Gattung: Gebrauchskeramik
Ton: 2.5YR5/8, 2.5YR6/4 (Kern), mittelhart, fein, dicht bis feinporös, weiße ES – fein, mittelviel, graue ES – fein, mittelviel, bräunliche ES – mittelfein, einzeln, Glimmer – fein, viel
Farbe außen: 7.5YR7/4, Farbe innen: 7.5YR7/4
Erh.: 1 Randfrgt. mit Henkelansatz
RDm: 13 cm, erh. H: 2,7 cm
Dat.: 2.–3. Jh. n. Chr.
Par.: Ladstätter 2008, K58. 63. 82. 86; Ladstätter 2010a, A-K 680. 855.

**K 166 Geschlossenes Gefäß** **Taf. 64**
AO: GHD, Inv. E-TR 10-SO5-722-570/K1
Gattung: Gebrauchskeramik
Ton: 2.5YR4/6, 7.5YR5/4 (Kern), 10YR3/1, hart, fein, sehr feinporös, weiße ES – fein, einzeln, Glimmer – fein, viel
Farbe außen: 5YR5/4, Farbe innen: 5YR5/4
Erh.: 2 Bodenfrgte.
BDm: 3,4 cm, erh. H: 185 cm
Dat.: kaiserzeitlich.

**K 167 Kasserolle** **Taf. 64**
AO: GHD, Inv. E-TR 10-SO5-722-532/K2
Gattung: Küchenware
Ton: 7.5YR6/4 nach außen, 2.5YR5/6 nach innen, hart, fein, feinporös, feinkörnig, weiße ES – fein bis mittelfein, einzeln, graue ES – sehr fein, wenig, Glimmer – fein, wenig
Farbe außen: 7.5YR6/4, Farbe innen: 10R5/6
Erh.: 1 Randfrgt. mit Henkel
RDm: 25 cm, erh. H: 4 cm
Dat.: 1. Jh. n. Chr.
Par.: Meriç 2002, K 643. 648; Ladstätter 2010d, K 345 (ähnlich).

**K 168 Topf** **Taf. 64**
AO: GHD, Inv. E-TR 10-SO5-722-532/K3
Gattung: Küchenware
Ton: 5YR4/4, 7.5YR5/2 (Kern), hart, mittelfein, feinporös bis porös, weiße ES – fein bis mittelfein, viel, graue ES – fein, mittelviel, Glimmer – fein bis mittelfein, viel
Farbe außen: 5YR5/6, Farbe innen: 5YR5/6
Erh.: 1 Randfrgt.
Dat.: späthellenistisch – 1. Jh. n. Chr.
Par.: Ladstätter 2010a, A-K 252.

**K 169 Topf** **Taf. 64**
AO: GHD, Inv. E-TR 10-SO5-722-537/K6
Gattung: Küchenware
Ton: 10R5/6, hart, fein, feinkörnig, dicht, weiße ES – fein, wenig, graue ES – fein, viele, Glimmer – fein, viel
Farbe außen: 10R5/6, Farbe innen: 10R5/6
Erh.: 1 Randfrgt.
RDm: 19 cm, erh. H: 1,8 cm
Dat.: 1. Jh. n. Chr.
Par.: Ladstätter 2010a, A-K 531.

**K 170 Lampe** **Taf. 65**
AO: GHD, Inv. E-TR 10-SO5-722-545/K1
Typ: ROW-Lampe
Ton: 5YR5/6, hart, fein, sehr feinporös, weiße ES – fein, einzeln, rötliche ES – fein, einzeln, graue ES – fein, einzeln
Farbe außen: 10R5/8, Farbe innen: 2.5YR6/4
Überzug: außen, innen hineingeronnen, kompakt, matt
Erh.: 2 Boden- und Wandfrgte. mit Henkelansatz
BDm: 3,6 cm, erh. H: 2,2 cm
Dat.: 2. Hälfte 1.–3. Jh. n. Chr.

## *SE 721*

**K 171 Becher** **Taf. 65**
AO: GHD, Inv. E-TR 10-SO5-721-544/K3
Gattung: dünnwandige Keramik
Ton: 2.5YR6/6, hart, fein, dicht, Glimmer – fein, viel
Farbe außen: 2.5YR7/4, Farbe innen: 2.5YR7/4
Erh.: 1 Bodenfrgt.
BDm: 4,8 cm unregelmäßig, erh. H: 2,5 cm
Dat.: 1.–2. Jh. n. Chr.
Par.: Ladstätter 2005, K 544. 545; Ladstätter 2010a, A-K 435. 441.

**K 172 Standring einer Schüssel** **Taf. 65**
AO: GHD, Inv. E-TR 10-SO5-721-544/K7
Gattung: Gebrauchskeramik
Ton: 2.5YR5/8, mittelhart, fein, porös, trüber ES – fein, einzeln, beige ES (z. T. ausgebrannt) – fein, mittelviele, graue ES – fein, einzeln, Glimmer – fein, mittelviel
Anmerkung: z. T. Mörtelreste anhaftend
Farbe außen: 2.5YR6/6, Farbe innen: 10R4/8
Überzug: innen, abgerieben, matt
Erh.: 2 Bodenfrgte.
BDm: 15 cm, erh. H: 3,65 cm
Dat.: –.

**K 173 Topf/Krug (?)** **Taf. 65**
AO: GHD, Inv. E-TR 10-SO5-721-544/K1
Gattung: Küchenware
Ton: 10R5/8, hart, grob, mittelporös, weiße ES (Kalk [?]) – mittelfein, einzeln, weiße ES (Quarz [?]) – mittelfein bis fein, wenig, dunkelgraue ES – mittelfein, viel, gelbliche ES – fein, einzeln, Glimmer – fein, viel
Farbe außen: 7.5YR5/1, Farbe innen: 10R6/4
Erh.: 1 Randfrgt. mit Henkelansatz

RDm: 26 cm, erh. H: 2,4 cm
Dat.: hellenistisch – frührömisch (?)
Par.: ähnlich Gassner 1997, Kat. 360–362.

**K 174 Kasserolle** **Taf. 65**
AO: GHD, Inv. E-TR 10-SO5-721-544/K2
Gattung: Küchenware
Ton: 10R4/8, hart, fein – mittelfein, mittelporös, weiße ES – fein bis mittelfein, einzeln, trübe ES (Quarz [?]) – fein, viel, schwarze ES – fein, wenig, Glimmer – fein, viel
Farbe außen: 2.5YR6/6, Farbe innen: 2.5YR6/6
Erh.: 1 Randfrgt.
RDm: 28 cm, erh. H: 3,3 cm
Dat.: 1. Jh. n. Chr.
Par.: Ladstätter 2010a, K 254. 537. 538; Meriç 2002, K 647.

**K 175 Lampe** **Taf. 65**
AO: GHD, Inv. E-TR 10-SO5-721-544/K4
Typ: ROW-Lampe, Broneer XXV (?)
Ton: 2.5YR7/4, hart, fein, feinkörnig, dicht, weiße ES – sehr fein, einzeln, Glimmer – fein, wenig
Farbe außen: 10R5/8, Farbe innen: 2.5YR6/4
Überzug: außen, kompakt, glänzend
Erh.: 1 Frgt.
RDm: 7,6 cm, erh. H: 4,4 cm
Dat.: 2. Hälfte 1.–3. Jh. n. Chr.
Par.: Ladstätter 2005, K 420. 584. 825. 868.

**K 176 Lampe** **Taf. 65**
AO: GHD, Inv. E-TR 10-SO5-721-544/K5
Typ: ROW-Lampe
Ton: 10R5/6, hart, fein, feinporös, weiße ES – fein, mittelviel, Glimmer – fein, mittelviel
Farbe außen: 10R5/8, Farbe innen: 10R6/6
Überzug: außen, z. T. innen hineingeronnen, Risse, glänzend
Erh.: 1 Frgt.
RDm: 6 cm, erh. H: 3,8 cm
Dat.: 2. Hälfte 1.–3. Jh. n. Chr.

## *SE 723*

**K 177 Teller** **Taf. 65**
AO: GHD, Inv. E-TR 10-SO5-723-542/K1
Gattung: Red Slip-Ware
Ton: 2.5YR5/6, 10YR6/3 (Kern), hart, fein, feinporös, weiße ES (Kalk [?]) – fein, viel, Glimmer – fein, wenig
Farbe außen: 10R6/8 (Überzug), 2.5YR4/2 (ohne Überzug), Farbe innen: 10R6/8
Überzug: flächig, teilweise abgerieben, matt
Erh.: 1 Frgt.
BDm: 22–24 cm, erh. H: 3,2 cm
Dat.: 3. Jh. n. Chr.
Par.: Ladstätter 2005, K 852; Ladstätter 2010a, A-K 789. 790.

**K 178 Schale** **Taf. 65**
AO: GHD, Inv. E-TR 10-SO5-723-542/K4
Gattung: dünnwandige Keramik
Ton: 5YR6/6, 10YR5/3 (Kern), hart, fein, dicht, Poren – fein, einzeln, weiße ES – fein, wenig, graue ES – fein, wenig, Glimmer – fein, wenig
Farbe außen: 7.5YR7/6, Farbe innen: 7.5YR7/6
Erh.: 1 Randfrgt.
RDm: 12,8 cm, erh. H: 3,05 cm
Dat.: 1.–3. Jh. n. Chr.
Par.: Ladstätter 2005, K 787–788. 794. 854; Ladstätter 2010a, A-K 673; Mitsopoulos-Leon 1991, K 29–30.

**K 179 Becher** **Taf. 65**
AO: GHD, Inv. E-TR 10-SO5-723-542/K8
Gattung: dünnwandige Keramik
Ton: 2.5YR4/6, hart, fein, sehr feinporös, weiße ES – fein, wenig, graue ES – fein, wenig, Glimmer – fein, mittelviel
Farbe außen: 2.5YR5/6, Farbe innen: 5YR5/6
Erh.: 2 Randfrgte.
RDm: 9,4 cm, erh. H: 1 cm
Dat.: 2.–3. Jh. n. Chr.
Par.: Ladstätter 2010a, A-K 628. 732 (ähnlich).

**K 180 Krug** **Taf. 65**
AO: GHD, Inv. E-TR 10-SO5-723-531/K4
Gattung: dünnwandige Keramik
Ton: 2.5YR5/6, hart, fein, dicht bis feinporös, weiße ES – fein, mittelviel, graue ES – fein, mittelviel, Glimmer – fein, eher wenig
Farbe außen: 5YR7/6, Farbe innen: 2.5YR6/6
Erh.: 1 Randfrgt.
RDm: 7 cm, erh. H: 3,35 cm
Dat.: 3.–5. Jh. n. Chr.
Par.: Ladstätter 2010a, A-K 730. 794; Ladstätter 2010b, B-K 416.

**K 181 Becher** **Taf. 65**
AO: GHD, Inv. E-TR 10-SO5-723-531/K10
Gattung: dünnwandige Keramik
Ton: 10YR6/4, hart, fein, dicht bis sehr feinporös, Glimmer – fein, viel
Farbe außen: 10YR6/3, Farbe innen: 10YR6/3
Erh.: 1 Bodenfrgt.
BDm: 3,7–3,8 cm, erh. H: 3,2 cm
Dat.: 3. Jh. n. Chr.
Par.: Ladstätter 2010a, A-K 810.

**K 182 Becher** **Taf. 65**
AO: GHD, Inv. E-TR 10-SO5-723-527/K4
Gattung: dünnwandige Keramik
Ton: 2.5YR5/6, hart, mittelfein, feinporös, weiße ES – fein bis mittelfein, viel, graue ES – fein, mittelviel, Glimmer – fein, viel
Farbe außen: 5YR6/6 – 7.5YR4/2, Farbe innen: 2.5YR6/6
Erh.: 1 Bodenfrgt.

BDm: 3,35 cm, erh. H: 2,8 cm
Dat.: 2.–3. Jh. n. Chr.
Par.: Ladstätter 2010b, B-K 386; Ladstätter 2010a, A-K 810.

**K 183 Becher** **Taf. 66**
AO: GHD, Inv. E-TR 10-SO5-723-527/K5
Gattung: dünnwandige Keramik
Ton: 2.5YR6/3, 10YR6/1 (Kern), hart, fein, sehr feinporös, weiße ES – fein bis mittelfein, wenig, graue ES – fein, einzeln, Glimmer – fein, wenig
Farbe außen: 10YR6/3, Farbe innen: 10YR6/2
Erh.: 1 Bodenfrgt.
BDm: 3 cm, erh. H: 2,7 cm
Dat.: 2.–3. Jh. n. Chr.
Par.: K 181. K 182.

**K 184 Becher** **Taf. 66**
AO: GHD, Inv. E-TR 10-SO5-723-531/K11
Gattung: dünnwandige Keramik
Ton: 10R5/8, Farbe außen oben, hart, fein, dicht, weiße ES – fein, mittelviel, graue ES – fein, mittelviel, Glimmer – fein, mittelviel
Farbe außen: 2.5YR6/6 und außen bei Randzone bis 7.5YR5/1, Farbe innen: 10R6/6
Erh.: 1 Bodenfrgt.
BDm: 3,8 cm, erh. H: 2,5 cm
Dat.: 3. Jh. n. Chr.
Par.: Ladstätter 2010a, A-K 806. 810.

**K 185 Becher** **Taf. 66**
AO: GHD, Inv. E-TR 10-SO5-723-531/K12
Gattung: dünnwandige Keramik
Ton: 7.5YR5/4, 10YR5/2 (Kern), hart, fein, dicht, weiße ES – sehr fein, mittelviel, Glimmer – fein, mittelviel
Farbe außen: 7.5YR7/4, Farbe innen: 7.5YR6/3
Erh.: 1 Bodenfrgt.
BDm: 4,4 cm, erh. H: 3,1 cm
Dat.: 3. Jh. n. Chr.
Par.: K 181. K 184.

**K 186 Becher** **Taf. 66**
AO: GHD, Inv. E-TR 10-SO5-723-542/K6
Gattung: dünnwandige Keramik
Ton: 2.5YR5/6 nach außen, 10YR4/1 nach innen, hart, fein, dicht bis sehr feinporös, weiße ES – mittelfein, einzeln, Glimmer – fein, viel
Farbe außen: 7.5YR6/4–7.5YR4/1, Farbe innen: 2.5Y6/2
Erh.: 1 Boden- und Wandfrgt.
BDm: 3,8 cm, erh. H: 7,2 cm
Dat.: 1.–3. Jh. n. Chr.
Par.: Ladstätter 2005, K 673. 833.

**K 187 Kleeblattkanne** **Taf. 66**
AO: GHD, Inv. E-TR 10-SO5-723-542/K7
Gattung: dünnwandige Keramik
Ton: 10R5/6, hart, fein, dicht, weiße ES – fein, mittelviel, graue ES – fein, wenig, Glimmer – fein, wenig
Farbe außen: Gley 1 3/N, Farbe innen: 10R6/6
Erh.: 1 Randfrgt.
Dm bei Hals: ca. 3 cm, erh. H: 3 cm
Dat.: kaiserzeitlich.

**K 188 Kleeblattkanne** **Taf. 66**
AO: GHD, Inv. E-TR 10-SO5-723-531/K20 (KF 93/10 bzw. 88/10)
Gattung: Gebrauchskeramik
Ton: 10YR4/1, hart, fein, beige ES – fein, mittelviel, Glimmer – fein, viel
Farbe außen: 10YR7/4–10YR5/1, Farbe innen: 10YR5/1
Bemerkungen: mit Einritzung auf Schulter
Erh.: 33 Rand-, Boden- und Wandfrgte.
BDm: 8 cm, erh. H: 23,4 cm
Dat.: 2.–3. Jh. n. Chr.
Par.: Ladstätter 2005, K 768.

**K 189 Krug** **Taf. 66**
AO: GHD, Inv. E-TR 10-SO5-723-527/K6
Gattung: Gebrauchskeramik
Ton: 2.5YR5/8, 5YR6/6 (Kern), hart, fein, dicht, weiße ES – fein bis mittelfein, viel, Glimmer – fein, mittelviel
Farbe außen: 10YR6/4, Farbe innen: 5YR6/6
Erh.: 1 Randfrgt. mit Henkelansatz
RDm: 8,8 cm, erh. H: 6,9 cm
Dat.: 2.–3. Jh. n. Chr.
Par.: Ladstätter 2005, K 689–691 (ähnlich); Ladstätter 2010a, A-K 631a (ähnlich).

**K 190 Krug** **Taf. 66**
AO: GHD, Inv. E-TR 10-SO5-723-531/K5
Gattung: Gebrauchskeramik
Ton: 7.5YR5/4, weich, fein, porös, weiße ES – fein, wenige, graue ES – fein, wenig, Glimmer – fein, mittelviel
Farbe außen: 2.5Y7/3, Farbe innen: 2.5Y7/3
Erh.: 1 Randfrgt.
RDm: 17 cm, erh. H: 5 cm
Dat.: 2.–3. Jh. n. Chr.
Par.: Ladstätter 2005, K 652; Ladstätter 2008, K 54. 58. 69. 79. 87.

**K 191 Topf** **Taf. 67**
AO: GHD, Inv. E-TR 10-SO5-723-531/K1
Gattung: Gebrauchskeramik
Ton: 5YR8/3, hart, fein, sehr feinporös, feinkörnig, trübe ES – fein, mittelviel, gelbliche ES (Kalk [?]) – fein, einzeln, rötliche ES – fein, einzeln, Glimmer – fein, wenig
Farbe außen: 2.5Y8/3, Farbe innen: 2.5Y8/3
Erh.: 2 Randfrgte.
RDm: 17 cm, erh. H: 2,8 cm
Dat.: 1. Jh. n. Chr.
Par.: Meriç 2002, K 734–736 (ähnlich); Ladstätter 2010a, A-K 471 (ähnlich).

**K 192 Schale** **Taf. 67**
AO: GHD, Inv. E-TR 10-SO5-723-542/K3
Gattung: Gebrauchskeramik
Ton: 2.5YR4/6, mittelhart, fein, feinporös, weiße ES – fein, wenig, graue ES – fein, einzeln, Glimmer – fein, mittelviel
Farbe außen: 2.5YR5/4–2.5YR5/6, Farbe innen: 2.5YR5/4–2.5YR5/6
Erh.: 1 Randfrgt.
RDm: 17 cm, erh. H: 3,4 cm
Dat.: 2.–3. Jh. n. Chr.
Par.: Ladstätter 2005, K 594.

**K 193 Schüssel** **Taf. 67**
AO: GHD, Inv. E-TR 10-SO5-723-531/K2
Gattung: Gebrauchskeramik
Ton: 2.5YR6/6, hart, fein, dicht bis feinporös, weiße ES – fein bis mittelfein, mittelviel, graue ES – fein, mittelviel, Glimmer – fein, mittelviel
Farbe außen: 5YR7/6, Farbe innen: 5YR7/6
Erh.: 1 Randfrgt.
RDm: 38 cm, erh. H: 7,6 cm
Dat.: 1.–3. Jh. n. Chr.
Par.: Ladstätter 2005, K 387. 625; Ladstätter 2010a, A-K 484–487. 605.

**K 194 Deckel** **Taf. 67**
AO: GHD, Inv. E-TR 10-SO5-723-531/K13
Gattung: Gebrauchskeramik
Ton: 5YR6/6, 10YR6/2 (Kern), hart, fein, feinporös, graue ES – fein, einzeln, Glimmer – fein, viel
Farbe außen: 7.5YR6/4, Farbe innen: 10YR7/4
Erh.: 1 Knauffrgt.
Knauf-Dm: 4,1 cm, erh. H: 3 cm
Dat.: kaiserzeitlich.

**K 195 Topf** **Taf. 67**
AO: GHD, Inv. E-TR 10-SO5-723-531/K7
Gattung: Gebrauchskeramik
Ton: 2.5YR4/6, hart, fein, feinporös, graue ES – fein, einzeln, Glimmer – fein, viel
Farbe außen: 10YR7/4, Farbe innen: 10YR7/4
Erh.: 5 Boden- und Wandfrgte.
erh. H: 5,6 cm
Dat.: 1.–3. Jh. n. Chr.

**K 196 Becher/Töpfchen (?)** **Taf. 67**
AO: GHD, Inv. E-TR 10-SO5-723-531/K9
Gattung: Gebrauchskeramik
Ton: 10YR6/4, hart, fein, sehr feinporös, feinkörnig, weiße ES – fein, mittelviel, Glimmer – fein, viel
Farbe außen: 10YR7/4 – 2.5Y6/2, Farbe innen: 10YR7/4
Erh.: 1 Bodenfrgt.
BDm: 3,8 cm, erh. H: 4,8 cm
Dat.: 3. Jh. n. Chr.
Par.: Ladstätter 2005, K 616.

**K 197 Krug/Topf (?)** **Taf. 67**
AO: GHD, Inv. E-TR 10-SO5-723-531/K8
Gattung: Gebrauchskeramik
Ton: 2.5YR6/6, hart, mittelfein, dicht bis feinporös, weiße ES – fein, mittelviel, graue ES – fein, mittelviel, rötliche ES – fein, mittelviel, Glimmer – fein, mittelviel
Farbe außen: 2.5Y8/3, Farbe innen: 5YR6/6
Erh.: 2 Boden- und Wandfrgte.
BDm: 13 cm, erh. H: 12,5 cm
Dat.: 1–3. Jh. n. Chr.
Par.: Theater, unpubliziert.

**K 198 Standring (Schüssel [?])** **Taf. 67**
AO: GHD, Inv. E-TR 10-SO5-723-527/K7
Gattung: Gebrauchskeramik
Ton: 5YR5/6, hart, fein, dicht bis sehr feinporös, beige ES (Kalk [?]) – fein, eher wenig, trübe ES – fein, wenig, trübe rötliche ES – mittelfein, einzeln, Glimmer – fein, viel
Farbe außen: 10YR7/4, Farbe innen: 7.5YR7/4
Farbe Überzug: 10YR4/1
Überzug: partiell, teilweise abgerieben, innen teilweise hineingetropft, außen heruntergeronnen, matt
Erh.: 1 Bodenfrgt.
BDm: 11,2 cm, erh. H: 5,1 cm
Dat.: 2.–3. Jh. n. Chr.
Par.: Ladstätter 2005, K 880. 881; Ladstätter 2008, K 201; Ladstätter 2010d, K 475.

**K 199 Geschlossenes Gefäß** **Taf. 67**
AO: GHD, Inv. E-TR 10-SO5-723-531/K19
Gattung: Gebrauchskeramik
Ton: 2.5Y8/3, 7.5YR7/4 (nach innen), mittelhart, fein bis mittelfein, feinporös, feinkörnig, trübe ES (Quarz) – fein bis mittelfein, einzeln, weiße ES (Kalk [?]) – fein, einzeln, rötliche ES – fein bis mittelfein, eher wenig, graue ES – fein, einzeln
Farbe außen: 2.5Y8/3, Farbe innen: 7.5YR8/4
Erh.: 2 Boden- und Wandfrgte.
BDm: 10 cm, erh. H: 6,2 cm
Dat.: kaiserzeitlich
Par.: Ladstätter 2010a, A-K 869.

**K 200 Topf/Becher (?)** **Taf. 68**
AO: GHD, Inv. E-TR 10-SO5-723-527/K1
Gattung: Küchenware
Ton: 5YR5/6, Gley 1 4/N (Kern), hart, fein, feinporös, weiße ES – fein, mittelviel, graue ES – fein, mittelviel, Glimmer – fein, mittelviel
Farbe außen: 5YR5/3, Farbe innen: 5YR5/4
Erh.: 1 Randfrgt.
RDm: 12 cm, erh. H: 3,3 cm
Dat.: 1.–3. Jh. n. Chr. (?)
Par.: Ladstätter 2005, K 636.

**K201 Kleeblattkanne** **Taf. 68**
AO: GHD, Inv. E-TR 10-SO5-723-540/K1

Gattung: Küchenware
Ton: 2.5YR5/6, hart, fein, feinporös, weiße ES – fein, mittelviel, graue ES – fein, viel, Glimmer – fein, viel
Farbe außen: 10R5/6 – 10R5/2, Farbe innen: 10R5/6
Erh.: 1 Randfrgt.
erh. H: 4,4 cm
Dat.: 2.–3. Jh. n. Chr.
Par.: Ladstätter 2010a, A-K 673. 882; Ladstätter 2005, K 769.

**K 202 Töpfchen** **Taf. 68**
AO: GHD, Inv. E-TR 10-SO5-723-531/K6
Gattung: Küchenware
Ton: 2.5YR5/4, hart, mittelfein, dicht bis feinporös, beige ES (Kalk [?]) – fein bis mittelfein, viel, rötliche ES – fein bis mittelfein, viel, Glimmer – fein, mittelviel
Farbe außen: 2.5YR5/3, Farbe innen: 2.5YR4/3
Erh.: 1 Randfrgt.
RDm: 8,4 cm, erh. H: 5,25 cm
Dat.: 2.–3. Jh. n. Chr.
Par.: Ladstätter 2005, K 669. 717.

**K 203 Amphore** **Taf. 68**
AO: GHD, Inv. E-TR 10-SO5-723-542/K5
Ton: 2.5YR4/6, hart, fein, feinporös, weiße ES – fein, mittelviel, graue ES – fein, mittelviel, Glimmer – fein, mittelviel
Farbe außen: 7.5YR7/4, Farbe innen: 2.5YR6/6
Erh.: 1 Randfrgt. mit Henkelansatz
RDm: 11 cm, erh. H: 4,7 cm
Dat.: 1. Jh. n. Chr.
Par.: Ladstätter 2005, K 434.

**K 204 Amphore** **Taf. 68**
AO: GHD, Inv. E-TR 10-SO5-723-527/K2
Typ: ›Koan‹ Amphora
Ton: 2.5Y7/3, 7.5YR7/4 (Kern), hart, mittelfein, porös, trübe ES – fein bis mittelfein, mittelviel, schwarze ES – fein, wenig, rötlich braune ES – fein, wenig
Farbe außen: 2.5Y8/2, Farbe innen: 2.5Y8/2
Erh.: 1 Randfrgt. mit Henkelansatz
RDm: 13 cm, erh. H: 5,2 cm
Dat.: späthellenistisch – Mitte 1. Jh. n. Chr.

**K 205 Amphore** **Taf. 68**
AO: GHD, Inv. E-TR 10-SO5-723-527/K10
Typ: ›pinched handles‹
Ton: 2.5YR5/8, hart, fein, dicht bis sehr feinporös, weiße ES – sehr fein, viele, graue ES – fein, wenig, Glimmer – fein, eher wenig
Farbe außen: 5YR7/6, Farbe innen: 5YR7/6
Erh.: 1 Randfrgt. mit Henkel
RDm: 8,4 cm, erh. H: 7,6 cm
Dat.: 1.–2. Jh. n. Chr.
Par.: ‹http://classics.uc.edu/troy/grbpottery/html/amphoras-r.html›, Nr. 9 (1. 2. 2013); Robinson 1959, G 199.

**K 206 Amphore** **Taf. 68**
AO: GHD, Inv. E-TR 10-SO5-723-542/K2
Typ: ›pinched handles‹
Ton: 7.5YR6/6, 2.5YR5/8 (Kern), hart, fein, dicht, Poren – mittelfein, einzeln, weiße ES – fein bis mittelfein, viel, graue ES – fein, wenig, Glimmer – fein, wenig
Farbe außen: 10YR7/4, Farbe innen: 10YR7/4
Erh.: 1 Randfrgt. mit Henkelansatz
RDm: 8 cm, erh. H: 8 cm
Dat.: 1.–2. Jh. n. Chr.
Par.: K 205.

**K 207 Amphore** **Taf. 68**
nur Zeichnung vorgefunden
Dat.: 1. Jh. n. Chr.
Par.: ähnlich Riley 1979, Abb. 73.

**K 208 Amphore** **Taf. 69**
AO: GHD, Inv. E-TR 10-SO5-723-531/K14
Typ: Peacock – Williams 45
Ton: 2.5YR4/8, mittelhart, fein, dicht, Glimmer – fein, viel
Farbe außen: 10YR5/2–2.5YR2.5/1 (eventuell Harz), Farbe innen: 5YR3/3
Erh.: 1 Randfrgt.
RDm: 3,95 cm, erh. H: 5,3 cm
Dat.: 2.–3. Jh. n. Chr.
Par.: Ladstätter 2005, K 505. 512. 581.

**K 209 Amphore** **Taf. 69**
AO: GHD, Inv. E-TR 10-SO5-723-527/K8
Typ: Peacock – Williams 45
Ton: 2.5YR4/6 nach außen, 10YR3/1 nach innen (Kern), mittelhart, fein, feinporös, weiße ES – fein, wenig, Glimmer – fein, viel
Farbe außen: 2.5YR5/6, Farbe innen: 2.5YR4/1
Erh.: 1 Bodenfrgt.
Bdm: 3,95–4,15 cm, erh. H: 3,9 cm
Dat.: 1.–3. Jh. n. Chr.
Par.: Ladstätter 2005, K 640. 642. 702.

**K 210 Amphore** **Taf. 69**
AO: GHD, Inv. E-TR 10-SO5-723-531/K17
Typ: Peacock – Williams 45
Ton: 7.5YR4/3, hart, fein, feinporös, Glimmer – fein, viel
Farbe außen: 7.5YR6/3, Farbe innen: 7.5YR5/3
Erh.: 1 Bodenfrgt.
BDm: 4,4–4,6 cm, erh. H: 10 cm
Dat.: 1.–3. Jh. n. Chr.
Par.: Ladstätter 2005, K 642. 581; Meriç 2002, K 554.

**K 211 Amphore** **Taf. 69**
AO: GHD, Inv. E-TR 10-SO5-723-531/K15
Typ: Peacock – Williams 45
Ton: 10YR5/2, 2.5YR5/6 (Kern), hart, fein, feinporös,

weiße ES – fein, einzeln, graue ES – fein, einzeln, Glimmer – fein, viel
Farbe außen: 10YR4/1–5YR7/4, Farbe innen: 10YR4/1
Erh.: 1 Bodenfrgt.
BDm: 4 cm, erh. H: 7,4 cm
Dat.: 1.–3. Jh. n. Chr.
Par.: K 210.

**K 212 Amphore** **Taf. 69**
AO: GHD, Inv. E-TR 10-SO5-723-540/K3
Typ: Peacock – Williams 45
Ton: 10R4/6, mittelhart, fein, feinporös, Glimmer – fein, viel
Farbe außen: 2.5YR4/2, Farbe innen: 5YR4/1
Erh.: 1 Bodenfrgt.
BDm: 4 cm, erh. H: 4,1 cm
Dat.: 1.–3. Jh. n. Chr.
Par.: K 210.

**K 213 Amphore** **Taf. 69**
AO: GHD, Inv. E-TR 10-SO5-723-KF87/10/K1
Typ: Peacock – Williams 45
Ton: 2.5Y5/3, mittelhart, fein, feinporös, Glimmer – fein, viel
Farbe außen: Gley 1 4/N, Farbe innen: 2.5Y5/1
Erh.: 1 Bodenfrgt.
BDm: 4,05 cm, erh. H: 13,45 cm
Dat.: 2.–3. Jh. n. Chr.
Par.: Ladstätter 2005, K 581.

**K 214 Amphore (?)** **Taf. 69**
AO: GHD, Inv. E-TR 10-SO5-723-540/K2
Ton: 2.5YR4/8, hart, fein, feinporös, graue ES – fein, eher wenig, Glimmer – fein, viel
Farbe außen: 2.5YR5/6, Farbe innen: 2.5YR5/6
Erh.: 1 Bodenfrgt.
BDm: zu wenig erhalten, erh. H: 12,3 cm
Dat.: 1. Jh. n. Chr. (?)
Par.: Meriç 2002, K 536–K 540 (ähnlich); Ladstätter 2010a, A-K 564.

## Sondage 1/2011

### *SE 919*

**K 215 Krug** **Taf. 70**
AO: GHD, Inv. E-TR 11-SO1-919-161/K1
Gattung: Gebrauchskeramik
Ton: 2.5YR5/8, 2.5YR5/3 (Kern), mittelhart, fein, dicht, Glimmer – fein, viel
Farbe innen und außen bis 10R5/6
Farbe außen: 10R6/6, Farbe innen: 10R6/6
Erh.: 1 Bodenfrgt.
RDm: 9 cm, erh. H: 3,05 cm
Dat.: –.

**K 216 Topf** **Taf. 70**
AO: GHD, Inv. E-TR 11-SO1-919-160/K2
Gattung: Küchenware
Ton: 2.5YR5/8, 2.5YR4/1 (Kern), hart, grob bis mittelgrob, dicht, graue, weiße und beigebräunliche ES – fein bis grob (gut 1 mm groß), mittelviel, Glimmer – fein, mittelviel
Farbe außen: 5YR4/1, Farbe innen: 5YR4/1
Dekor: Ritzung vor Brand, Rand oben: Wellenband
Erh.: 1 Randfrgt.
RDm: 21, 4 cm, erh. H: 2,9 cm
Dat.: 5.–6. Jh. n. Chr.
Par.: Turnovsky 2005b, Abb. 1, 6.

**K 217 Amphore** **Taf. 70**
AO: GHD, Inv. E-TR 11-SO1-919-160/K1
Ton: 7.5YR6/1, hart, sehr fein, dicht bis kompakt, weiße ES – fein, einzeln, Glimmer – fein, wenig
Farbe außen: 10YR7/4, Farbe innen: 10YR7/2
Erh.: 1 Knauffrgt.
RDm: 3 cm, erh. H: 5,6 cm.
Dat.: –.

**K 218 Amphore** **Taf. 70**
AO: GHD, Inv. E-TR 11-SO1-919-160/K3
Typ: Peacock – Williams 45/LRA 3
Ton: 2.5YR5/8, mittelhart, fein, sehr feinporös, Glimmer – sehr fein, viel
Farbe außen: 10R5/4, Farbe innen: 10R6/6
Erh.: 1 Randfrgt.
RDm: 5 cm, erh. H: 3,8 cm
Dat.: 2.–6. Jh. n. Chr.
Par.: Ladstätter 2005, K 581 (ähnlich).

### *SE 918*

**K 219 Deckel/Thymiaterion (?)** **Taf. 70**
AO: GHD, Inv. E-TR 11-SO1-918-158/K2
Gattung: Gebrauchskeramik
Ton: 2.5YR6/8, hart, fein, feinporös, weiße ES – fein, einzeln, Glimmer – fein, viel
Farbe außen: 2.5YR7/6, Farbe innen: 2.5YR7/6
Erh.: 1 Randfrgt.
RDm: 19 cm, erh. H: 4,15 cm
Dat.: 1. Jh. n. Chr.
Par.: Ladstätter 2010a, A-K 450. 451.

**K 220 Topf** **Taf. 70**
AO: GHD, Inv. E-TR 11-SO1-918-158/K1
Gattung: Küchenware
Ton: 2.5YR6/8, hart, fein, dicht, graue und beige ES – fein bis mittelfein, eher wenig, Glimmer – fein, viel
Farbe außen: 2.5YR5/4, Farbe innen: 2.5YR5/4
Erh.: 1 Randfrgt.
RDm: 11,4 cm, erh. H: 3,4 cm
Dat.: 1.–3. Jh. n. Chr.
Par.: K 141.

## Sondage 2/2011

### *SE 1041*

**K 221 Schüssel** **Taf. 70**
AO: GHD, Inv. E-TR 11-SO2-1041-267/K1
Gattung: Gebrauchskeramik
Ton: 7.5YR6/8, hart, mittelfein, sehr feinporös, weiße und hellgraue ES – mittelfein, mittelviel, Glimmer – fein, mittelviel vermutlich (vom Fabric her) zugehörig zu K222
Farbe außen: 5YR7/6, Farbe innen: 5YR7/6
Erh.: 4 Wandfrgte.
erh. H: 11,1 cm
Dat.: 5. Jh. n. Chr.
Par.: Turnovsky 2005b, Abb. 5, 1.

**K 222 Schüssel** **Taf. 70**
AO: GHD, Inv. E-TR 11-SO2-1041-267/K4
Gattung: Gebrauchskeramik
Ton: 5YR7/6, hart, mittelfein, dicht, weiße und hellgrau bis graue ES – fein bis mittelfein, mittelviel, roter ES – fein, einzeln, Glimmer – fein, mittelviel
Farbe außen: 7.5YR7/6, Farbe innen: 5YR7/6
Erh.: 1 Bodenfrgt.
BDm: 20 cm, erh. H: 5,3 cm
Dat.: 5. Jh. n. Chr.

**K 223 Deckel** **Taf. 70**
AO: GHD, Inv. E-TR 11-SO2-1041-267/K2
Gattung: Gebrauchskeramik
Ton: 2.5YR6/8, mittelhart, fein, dicht, Glimmer – fein, sehr viel
Farbe außen: 2.5YR6/6, Farbe innen: 2.5YR6/6
Erh.: 1 Knauffrgt.
KDm: 3,6 cm, erh. H: 4,4 cm
Dat.: –.

**K 224 Amphore** **Taf. 70**
AO: GHD, Inv. E-TR 11-SO2-1041-267/K3
Typ: Peacock – Williams 45
Ton: 2.5YR4/6, hart, fein, dicht, Glimmer – fein, sehr viel
Farbe außen: 10R6/6, Farbe innen: 10R6/6
Erh.: 1 Bodenfrgt.
BDm: 3,2 cm, erh. H: 6,6 cm
Dat.: 1.–6. Jh. n. Chr.
Par.: Ladstätter 2010d, K37; Ladstätter 2010a, A-K 616.

### *SE 1040*

**K 225 Teller** **Taf. 71**
AO: GHD, Inv. E-TR 11-SO2-1040-266/K1
Gattung: ARS
Typ: Hayes 50B
Ton: 10R6/8, hart, fein, dicht, weiße ES – sehr fein, einzeln, Glimmer – fein, viel
Farbe außen: 10R6/8, Farbe innen: 10R6/8
Überzug: flächig, kompakt, glänzend
Erh.: 1 Randfrgt.
RDm: 28 cm, erh. H: 3,65 cm
Dat.: 350–400 n. Chr.
Par.: Hayes 1972, Abb. 12, 60.

**K 226 Teller** **Taf. 71**
AO: GHD, Inv. E-TR 11-SO2-1040-266/K2
Gattung: ARS
Typ: Hayes 50A
Ton: 10R6/8, hart, fein, einzelne sehr feine Poren, Glimmer – fein, viel
Farbe außen: 10R6/8, Farbe innen: 10R6/8
Überzug: flächig, kompakt, glänzend
Erh.: 1 Randfrgt.
RDm: 28 cm, erh. H: 1,5 cm
Dat.: 300–360 n. Chr.
Par.: Hayes 1972, Abb. 12, 7.

**K 227 Teller** **Taf. 71**
AO: GHD, Inv. E-TR 11-SO2-1040-266/K16
Gattung: ARS
Typ: Hayes 50B
Ton: 10R6/8, hart, fein, dicht
Farbe außen: 10R6/8, Farbe innen: 10R6/8
Überzug: flächig, kompakt, glänzend
Erh.: 1 Bodenfrgt.
Bdm: über 20 cm, sehr wenig erhalten, erh. H: 0,5 cm
Dat.: 350–400 n. Chr.
Par.: Hayes 1972, Abb. 12, 56.

**K 228 Geschlossenes Gefäß (Amphore [?])** **Taf. 71**
AO: GHD, Inv. E-TR 11-SO2-1040-266/K14
Gattung: weißgrundige Keramik
Ton: 5YR6/4, hart, fein, Poren – sehr fein, mittelviele, weiße ES – fein, mittelviel, Glimmer – fein, viel
Farbe außen: 2.5Y8/1, Farbe innen: 5YR7/6
Überzug: außen, teilweise abgerieben, matt
Erh.: 1 Bodenfrgt.
BDm: 12 cm, erh. H: 1,2 cm
Dat.: 2. Jh. v. Chr. – augusteisch
Par.: Ladstätter 2005, K 143–144.

**K 229 Krug** **Taf. 71**
AO: GHD, Inv. E-TR 11-SO2-1040-266/K5
Gattung: Gebrauchskeramik
Ton: 2.5YR5/6, mittelhart, fein, dicht, Glimmer – fein, viel
Farbe außen: 5YR6/4, Farbe innen: 2.5YR6/6
Dekor: Ritzung vor Brand, Wellenband auf Wand außen
Erh.: 1 Randfrgt.
RDm: 10–11 cm, erh. H: 2,8 cm
Dat.: –.

**K 230 Topf** **Taf. 71**
AO: GHD, Inv. E-TR 11-SO2-1040-266/K7

Gattung: Gebrauchskeramik
Ton: 2.5YR6/6, hart, fein, dicht bis auf einzelne Poren, Glimmer – fein, viel, weiße ES – sehr fein, einzeln, glänzende graubraune ES – fein bis mittelfein (bis zu max. 1 mm groß), vereinzelt
Farbe außen: 2.5YR7/4, Farbe innen: 2.5YR6/6 –2.5YR6/4
Überzug: innen und Rand außen, teilweise abgerieben, matt
Erh.: 1 Randfrgt.
RDm: 38 cm, erh. H: 3 cm
Dat.: 2.–3. Jh. n. Chr.
Par.: Ladstätter 2005, K 789. 857; Ladstätter 2010a, A-K 752 (ähnlich).

**K 231 Schüssel** **Taf. 71**
AO: GHD, Inv. E-TR 11-SO2-1040-266/K4
Gattung: Gebrauchskeramik
Ton: 5YR6/6, hart, fein, dicht, Poren – fein, einzeln, Glimmer – fein, viel
Farbe außen: 5YR7/4, Farbe innen: 5YR7/4
Erh.: 1 Randfrgt.
RDm: zu wenig erhalten, erh. H: 4,9 cm
Dat.: 1.–6. Jh. n. Chr.
Par.: Lüdorf 2006, Typ SIV Kat. S59. 60. 79; Ladstätter 2010d, K 880.

**K 232 Schüssel** **Taf. 71**
AO: GHD, Inv. E-TR 11-SO2-1040-265/K2
Gattung: Gebrauchskeramik
Ton: 5YR6/6, hart, fein, dicht, graue ES – fein, einzeln, rötliche ES – fein, einzeln, Glimmer – fein, mittelviel
Farbe außen: 7.5YR7/4, Farbe innen: 7.5YR7/4
Erh.: 1 Bodenfrgt.
BDm: 20 cm, erh. H: 2,3 cm
Dat.: –.

**K 233 Schüssel** **Taf. 71**
AO: GHD, Inv. E-TR 11-SO2-1040-266/K11
Gattung: Gebrauchskeramik
Ton: 10R6/8, hart, fein, Poren – sehr fein, einzeln, weiße und schwarze ES – sehr fein, wenige, braune ES – grob (bis zu ca. 1 mm groß), vereinzelt, Glimmer – fein, viel
Farbe außen: 10R6/6–10R5/2, Farbe innen: 10R6/6–10R5/2
Erh.: 2 Bodenfrgte.
BDm: 17 cm, erh. H: 6 cm
Dat.: römisch – spätantik
Par.: Ladstätter 2010d, K 954.

**K 234 Geschlossenes Gefäß** **Taf. 71**
AO: GHD, Inv. E-TR 11-SO2-1040-266/K15
Gattung: Gebrauchskeramik
Ton: 2.5YR5/6, 2.5YR5/1 (Kern), hart, fein, dicht, Glimmer – sehr viel, fein
Farbe außen: 2.5YR6/6, Farbe innen: 2.5YR7/6
Erh.: 2 Bodenfrgte.
BDm: 3,6 cm, erh. H: 2,9 cm
Dat.: 3. Jh. n. Chr. (?)
Par.: Ladstätter 2008, K 32. 190.

**K 235 Geschlossenes Gefäß** **Taf. 71**
AO: GHD, Inv. E-TR 11-SO2-1040-266/K10
Gattung: Gebrauchskeramik
Ton: 2.5YR6/, mittelhart, fein, feinporös, weiße ES – fein, wenige, Glimmer – fein, viel
Farbe außen: 10R6/6–10R5/1, Farbe innen: 10R6/6
Erh.: 1 Bodenfrgt.
BDm: 4 cm, erh. H: 2,8 cm
Dat.: spätantik
Par.: Ladstätter 2010d, K 474.

**K 236 Deckel** **Taf. 71**
AO: GHD, Inv. E-TR 11-SO2-1040-266/K17
Gattung: Gebrauchskeramik
Ton: 10R5/6, mittelhart, fein, dicht, Glimmer – sehr fein, viel; lokales Fabric
Farbe außen: 10R6/6, Farbe innen: 10R6/6
Erh.: 1 Knauffrgt.
Dm Knauf: 2,2 cm; erh. H: 3,4 cm
Dat.: kaiserzeitlich – spätantik.

**K 237 Deckel** **Taf. 72**
AO: GHD, Inv. E-TR 11-SO2-1040-266/K9
Gattung: Gebrauchskeramik
Ton: 5YR6/6, 7.5YR6/3 (Kern), hart, fein, Poren – fein, einzeln, weiße und schwarze ES – fein, einzeln, Glimmer – fein, viel
Farbe außen: 2.5YR6/6, Farbe innen: 2.5YR6/6
Erh.: 1 Randfrgt.
RDm: 20 cm, erh. H: 1,9 cm
Dat.: 5.–6. Jh. n. Chr.
Par.: Ladstätter 2008, K 530; Turnovsky 2005b, Abb. 2, 10. 11 (Form).

**K 238 Sieb** **Taf. 72**
AO: GHD, Inv. E-TR 11-SO2-1040-266/K23
Gattung: Küchenware
Ton: 2.5YR4/6, hart, mittelfein bis grob, Poren – fein, einzeln, weiß bis beige und graue ES – fein bis grob (bis zu ca. 1 mm groß), mittelviel, Glimmer – fein, sehr viel
Farbe außen: 2.5YR5/6–2.5YR2.5/1, Farbe innen: 2.5YR5/4
Erh.: 1 Bodenfrgt.
BDm: 6,2 cm, erh. H: 2,6 cm.
Dat.: –.

**K 239 Topf** **Taf. 72**
AO: GHD, Inv. E-TR 11-SO2-1040-266/K6
Gattung: Küchenware
Ton: 10R5/8, hart, mittelfein, Poren – fein, vereinzelt, weiße und schwarze ES – fein bis grob (bis zu ca. 1 mm groß), mittelviel, Glimmer – fein, viel

Farbe außen: 5YR6/6–10R6/6, Farbe innen: 2.5YR6/6
Erh.: 1 Randfrgt.
RDm: 23 cm, erh. H: 3,3 cm
Dat.: 1.–3. Jh. n. Chr.
Par.: Gassner 1997, Kat. 715–716; Ladstätter 2005, K 698; Ladstätter 2010a, A-K 700–705.

**K 240 Kasserolle** **Taf. 72**
AO: GHD, Inv. E-TR 11-SO2-1040-266/K8
Gattung: Küchenware
Ton: 10R4/1, hart, grob, dicht, weiße und gelbliche ES – fein bis mittelgrob (bis zu ca. 1 mm groß), mittelviel, Glimmer – sehr fein, viel
Farbe außen: 10R4/1, Farbe innen: 10R4/1
Erh.: 1 Randfrgt.
RDm: 26 cm, erh. H: 2,4 cm
Dat.: Ende 4./Anfang 5.–6. Jh. n. Chr.
Par.: Turnovsky 2005a, Abb. 1, 3; Ladstätter 2010d, K 482.

**K 241 Amphore** **Taf. 72**
AO: GHD, Inv. E-TR 11-SO2-1040-265/K1
Typ: LRA 3
Ton: 5YR4/6, mittelhart, fein, dicht, Poren – sehr fein, einzeln, beige ES – fein, einzeln, Glimmer – fein viel
Farbe außen: 5YR5/1, Farbe innen: 5YR5/1
Erh.: 1 Bodenfrgt.
BDm: 3,5 cm, erh. H: 3,4 cm
Dat.: 4.–6. Jh. n. Chr.
Par.: Ladstätter 2008, K 183. 481; Ladstätter 2010d, K 249. 318.

**K 242 Amphore** **Taf. 72**
AO: GHD, Inv. E-TR 11-SO2-1040-265/K3
Typ: LRA 3
Ton: 10R4/8, weich, fein, dicht, Glimmer – fein, viel
Farbe außen: 10R5/6, Farbe innen: 10R5/6
Erh.: 1 Bodenfrgt.
BDm: 4 cm, erh. H: 4,8 cm
Dat.: 4.–6. Jh. n. Chr.
Par.: Ladstätter 2008, K 481. 535; Ladstätter 2010d, K 249.

**K 243 Amphore** **Taf. 72**
AO: GHD, Inv. E-TR 11-SO2-1040-266/K18
Typ: LRA 3
Ton: 2.5YR6/5 nach außen, 10R6/2 nach innen, mittelhart, sehr fein, dicht bis sehr feinporös, Glimmer – sehr fein, viel
Farbe außen: 2.5YR6/4, Farbe innen: 10R6/2
Erh.: 1 Bodenfrgt.
BDm: 4,3 cm, erh. H: 6 cm
Dat.: 2.–5. Jh. n. Chr.
Par.: Ladstätter 2008, K 183.

**K 244 Amphore** **Taf. 72**
AO: GHD, Inv. E-TR 11-SO2-1040-266/K19
Typ: LRA 3
Ton: 5YR6/4, mittelhart, fein, dicht, Glimmer – fein, sehr viel
Farbe außen: 2.5YR6/6, Farbe innen: 5YR7/3
Erh.: 1 Bodenfrgt.
BDm: 3,4 cm, erh. H: 9,6 cm
Dat.: 4.–6. Jh. n. Chr.
Par.: Ladstätter 2010d, K 37. 249.

**K 245 Amphore** **Taf. 72**
AO: GHD, Inv. E-TR 11-SO2-1040-266/K20
Typ: Peacock – Williams 45/LRA 3
Ton: 10R5/8, hart, fein, dicht, Glimmer – fein, sehr viel
Farbe außen: 2.5YR6/4, Farbe innen: 2.5YR6/4
Erh.: 1 Bodenfrgt.
BDm: 4,1 cm, erh. H: 9,3 cm
Dat.: 3.–6. Jh. n. Chr.
Par.: Ladstätter 2005, K 702; Ladstätter 2010d, K 1003. 1004.

**K 246 Amphore** **Taf. 72**
AO: GHD, Inv. E-TR 11-SO2-1040-266/K21
Typ: LRA 3
Ton: 10R5/6, mittelhart, fein, dicht, Glimmer – fein, sehr viel
Farbe außen: 5YR6/2, Farbe innen: 2.5YR6/1
Erh.: 1 Bodenfrgt.
BDm: 3,7 cm, erh. H: 1,7 cm
Dat.: 3.–6. Jh. n. Chr.
Par.: K 245.

**K 247 Amphore** **Taf. 72**
AO: GHD, Inv. E-TR 11-SO2-1040-266/K22
Typ: LRA 3
Ton: 10R5/6, mittelhart, fein, dicht, Glimmer – fein, sehr viel
Farbe außen: 10R6/6, Farbe innen: 10R6/6
Erh.: 1 Bodenfrgt.
BDm: 3,9 cm, erh. H: 2,3 cm
Dat.: 3.–6. Jh. n. Chr.
Par.: K 245.

**K 248 Amphore** **Taf. 72**
AO: GHD, Inv. E-TR 11-SO2-1040-265/K4
Typ: regional/ägäisch
Ton: 2.5YR7/6, hart, fein bis mittelfein, dicht, weiße ES – fein, mittelviel, graue ES – fein, einzeln, rötlich braune ES – mittelfein, einzeln, Glimmer – fein, viel
Farbe außen: 5YR8/3, Farbe innen: 2.5YR7/6
Erh.: 1 Knauffrgt.
Dm Knauf: 2,7 cm; erh. H: 6,3 cm
Dat.: Ende 4./5. Jh. n. Chr.

**K 249 Amphore** **Taf. 72**
AO: GHD, Inv. E-TR 11-SO2-1040-266/K3
Typ: Agora G 199
Ton: 2.5Y8/2, hart, grob, dicht, lilabraune ES – fein bis

grob (bis zu ca. 1 mm groß), z. T. länglich eckig und z. T. länglich rundlich, mittelviel, hellbraune ES – feine bis grob (bis zu ca. 1 mm groß), länglich rund, mittelviel, weiße ES – grob (ca. 1 mm groß), einzeln, schwarze ES – fein, einzeln, Glimmer – fein, viel
Farbe außen: 2.5Y8/2, Farbe innen: 2.5Y8/2
Erh.: 1 Randfrgt.
RDm: 10 cm, erh. H: 2,4 cm
Dat.: spätes 1. – frühes 2. Jh. n. Chr.

## *SE 1039*

**K 250 Geschlossenes Gefäß** **Taf. 73**
AO: GHD, Inv. E-TR 11-SO2-1039-263/K4
Gattung: dünnwandige Keramik
Ton: 2.5YR4/6, hart, fein, dicht bis auf einzelne Poren, weiße ES – fein bis klein, mittelviele, fein glimmrig bis mittelviel
Farbe außen: 10R6/4, Farbe innen: 2.5YR5/6
Dekor: Bemalung vor Brand Wand außen: ›Zickzack‹
Erh.: 1 Wandfrgt.
RDm: 3,8 cm, erh. H: 3,8 cm
Dat.: 3. Jh. n. Chr.
Par.: Turnovsky 2005b, Abb. 3; Ladstätter 2005, K 749 (weiße Bemalung); Sackett 1992, Taf. 193, 54.

**K 251 Geschlossenes Gefäß** **Taf. 73**
AO: GHD, Inv. E-TR 11-SO2-1039-263/K1
Gattung: Gebrauchskeramik
Ton: 2.5YR5/6, hart, fein, dicht, sehr viel feiner Glimmer
Farbe außen: 10R4/6, Farbe innen: 2.5YR6/6
Überzug: außen, teilweise abgerieben, matt
Erh.: 1 Bodenfrgt.
BDm: 5 cm, erh. H: 2,9 cm
Dat.: –.

**K 252 Topf** **Taf. 73**
AO: GHD, Inv. E-TR 11-SO2-1039-263/K2
Gattung: Küchenware
Ton: 2.5YR3/6, 2.5YR4/1 (Kern), mittelhart, mittelfein, porös, weiße ES – fein bis klein, mittelviele, Glimmer – fein, viel
Farbe außen: Gley 1 3/N, Farbe innen: 10YR4/1
Erh.: 1 Randfrgt.
RDm: 22 cm, erh. H: 2,15 cm
Dat.: frühes 5.–6. Jh. n. Chr.
Par.: Turnovsky 2005a, Abb. 1, 1; Ladstätter 2008, K 177. 212. 526.

**K 253 Topf** **Taf. 73**
AO: GHD, Inv. E-TR 11-SO2-1039-263/K3
Gattung: Küchenware
Ton: 5YR3/4, mittelhart, mittelfein, porös, feine bis kleine weiße ES – mittelviele, einzelne kleine schwarze ES, Glimmer – viel, fein
Farbe außen: Gley 1 3/N, Farbe innen: Gley 1 3/N
Erh.: 1 Randfrgt.
RDm: 17 cm, erh. H: 1 cm
Dat.: frühes 5.–6. Jh. n. Chr.
Par.: K 252.

## *SE 1038*

**K 254 Teller** **Taf. 73**
AO: GHD, Inv. E-TR 11-SO2-1038-262/K2
Gattung: ARS
Typ: Hayes 50B
Ton: 10R5/8, hart, fein, dicht, weiße ES – fein, einzeln, Glimmer – fein, mittelviel
Farbe außen: 10R6/8, Farbe innen: 10R6/8
Überzug: flächig, kompakt, glänzend
Erh.: 2 Rand- und Wandfrgte.
RDm: 32 cm, erh. H: 5,5 cm
Dat.: 350–400 n. Chr.
Par.: Hayes 1972, Abb. 12, 60.

**K 255 Teller** **Taf. 73**
AO: GHD, Inv. E-TR 11-SO2-1038-262/K1
Gattung: Red Slip-Ware
Ton: 2.5YR5/8, mittelhart, fein, sehr feinporös, Glimmer – fein, viel
Farbe außen: 10R5/6, Farbe innen: 10R5/6
Überzug: innen und Rand außen, teilweise abgerieben, glänzend
Erh.: 3 Randfrgte.
RDm: 28 cm, erh. H: 4,8 cm
Dat.: 5.–6. Jh. n. Chr. (?)
Par.: Hayes 1972, Abb. 27, Form 93. 94; Abb. 33, Form 108 (?).

**K 256 Geschlossenes Gefäß** **Taf. 73**
AO: GHD, Inv. E-TR 11-SO2-1038-262/K10
Gattung: Gebrauchskeramik
Ton: 5YR6/5, mit gerader, leicht eingezogener Standfläche, hart, fein, dicht, weiße ES – mittelfein, vereinzelt, Glimmer – fein, viel
Farbe außen: 5YR7/4, Farbe innen: 5YR7/4
Erh.: 1 Bodenfrgt.
BDm: 3,6 cm, erh. H: 2 cm
Dat.: –.

**K 257 Geschlossenes Gefäß** **Taf. 73**
AO: GHD, Inv. E-TR 11-SO2-1038-254/K1
Gattung: Gebrauchskeramik
Ton: 2.5YR5/6, mittelhart, fein, einzelne feine Poren, Glimmer – fein, viel; Fabric wie LRA 3
Farbe außen: 2.5YR6/6, Farbe innen: 2.5YR6/6
Erh.: 1 Bodenfrgt.
BDm: 5,6 cm, erh. H: 5,3 cm.
Dat.: –.

**K 258 Topf** **Taf. 73**
AO: GHD, Inv. E-TR 11-SO2-1038-262/K4
Gattung: Küchenware
Ton: 2.5Y5/1, 10R5/8 (Kern), hart, fein, kompakt, ein-

zelne feine, längliche Poren, weiße ES – fein, vereinzelt, Glimmer – fein, viel
Farbe außen: 2.5Y5/1, Farbe innen: 2.5Y5/1
Erh.: 1 Randfrgt. mit Henkel
RDm: 13,4 cm, erh. H: 5,3 cm
Dat.: 1–3. Jh. n. Chr.
Par.: K 140.

**K 259 Topf** **Taf. 73**
AO: GHD, Inv. E-TR 11-SO2-1038-262/K5
Gattung: Küchenware
Ton: 10YR5/1, 7.5YR4/4 (Kern), hart, mittelgrob bis grob, dicht, weiße, beige, gelbliche und schwarze ES – fein bis grob (bis zu ca. 1 mm groß), mittelviel, Glimmer – fein, viel, vgl. Vediusgymnasium K 526
Farbe außen: 10YR5/1, Farbe innen: 10YR5/1
Erh.: 1 Randfrgt.
RDm: 20 cm, erh. H: 1,1 cm
Dat.: frühes 5.–6. Jh. n. Chr.
Par.: K 252.

**K 260 Kasserolle** **Taf. 73**
AO: GHD, Inv. E-TR 11-SO2-1038-254/K4
Gattung: Küchenware
Ton: 10R4/6, 2.5YR3/3 (Kern), hart, mittelgrob, dicht, weiße und schwarze ES – fein bis grob (bis zu 1 mm groß), mittelviel, rötliche ES – grob (bis zu ca. 1 mm groß), vereinzelt, Glimmer – fein, viel
Farbe außen: 5YR2.5/1, Farbe innen: 5YR2.5/1
Erh.: 1 Randfrgt.
RDm: 26 cm, erh. H: 2,8 cm
Dat.: Ende 4./Anfang 5.–6. Jh. n. Chr.
Par.: K 240.

**K 261 Kasserolle** **Taf. 74**
AO: GHD, Inv. E-TR 11-SO2-1038-254/K5
Gattung: Küchenware
Ton: 5YR3/4, mittelhart, mittelgrob, dicht, weißlich beige ES – fein bis grob (bis zu ca. 1 mm groß), viele, schwarze ES – fein, mittelviele, Glimmer – fein, viel
Farbe außen: 5YR2.5/1, Farbe innen: 2.5YR2.5/1
Erh.: 1 Randfrgt.
RDm: 25 cm, erh. H: 2,9 cm
Dat.: Ende 4./Anfang 5.–6. Jh. n. Chr.
Par.: K 240.

**K 262 Kasserolle** **Taf. 74**
AO: GHD, Inv. E-TR 11-SO2-1038-262/K8
Gattung: Küchenware
Ton: 5YR2.5/1, 10R3/4 (Kern), hart, mittelfein, Poren – länglich, fein, vereinzelt, weiße, helle rötliche und schwarze ES – fein bis grob (bis zu ca. 1 mm groß), mittelviel, Glimmer – fein, viel
Farbe außen: 5YR2.5/1, Farbe innen: 5YR2.5/1
Erh.: 1 Randfrgt.
RDm: 26 cm, erh. H: 1,8 cm
Dat.: Ende 4./Anfang 5.–6. Jh. n. Chr.
Par.: K 240.

**K 263 Deckel** **Taf. 74**
AO: GHD, Inv. E-TR 11-SO2-1038-262/K6
Gattung: Küchenware
Ton: 5YR2.5/1, 2.5YR4/4 (Kern), hart, mittelgrob, dicht, weiße, beige und schwarze ES – fein bis zu 1 mm groß, mittelviel, Glimmer – fein, viel
Farbe außen: 5YR2.5/1, Farbe innen: 5YR2.5/1
Erh.: 1 Randfrgt.
RDm: 26 cm, erh. H: 0,9 cm
Dat.: 5. Jh. n. Chr.
Par.: Turnovsky 2005a, Abb. 2, 7–11.

**K 264 Deckel** **Taf. 74**
AO: GHD, Inv. E-TR 11-SO2-1038-262/K7
Gattung: Küchenware
Ton: 10R4/6, hart, fein, feinporös, beige gelbliche und schwarze ES – fein, mittelviel
Farbe außen: 2.5Y4/1, Farbe innen: 2.5Y4/1
Erh.: 1 Randfrgt.
RDm: 18 cm, erh. H: 0,8 cm
Dat.: 5. Jh. n. Chr.
Par.: Turnovsky 2005a, Abb. 2, 10.

**K 265 Amphore** **Taf. 74**
AO: GHD, Inv. E-TR 11-SO2-1038-262/K9
Typ: LRA 3
Ton: 10R6/8, hart, fein, sehr feinporös, Glimmer – fein
Farbe außen: 10R6/6, Farbe innen: 10R6/6
Erh.: 1 Bodenfrgt.
Bdm: 3,8 cm, erh. H: 3,8 cm
Dat.: 4.–6. Jh. n. Chr.
Par.: K 245; Gassner 1997, Kat. 777.

**K 266 Lampe** **Taf. 74**
AO: GHD, Inv. E-TR 11-SO2-1038-254/K2
Ton: 7.5YR7/3, hart, fein, dicht
Farbe außen: 2.5YR6/2, Farbe innen: 2.5YR6/2
Überzug: flächig, kompakt, matt
Erh.: 1 Schulter-/Diskusfrgt.
Dm Diskus: 6 cm, erh. H: 1 cm
Dat.: spätantik (?)

**K 267 Lampe** **Taf. 74**
AO: GHD, Inv. E-TR 11-SO2-1038-254/K3
Ton: 2.5YR5/6, mittelhart, fein, dicht, weiße ES – sehr fein, wenig, Glimmer – fein, viel
Farbe außen: 10R6/6–10R5/6 und 10R4/1, Farbe innen: 2.5YR6/6
Überzug: außen, teilweise abgerieben, matt
Dekor: Relief aus der Form: erhabene Punktreihe
B Frgt.: 2,8 cm; erh. H: 1,3 cm
Erh.: 1 Schulterfrgt.
Dat.: spätantik (?).

**K 268 Lampe** **Taf. 74**
AO: GHD, Inv. E-TR 11-SO2-1038-254/K6
Typ: rot überfangene Lampe (?)

Ton: 2.5YR6/8, hart, mittelfein, Poren – fein, länglich, einzeln, weiße ES – grob (bis ca. max. 1 mm groß), einzeln, Glimmer – fein, wenig
Farbe außen: 10R5/6 – Gley1 4/N, Farbe innen: 10R5/6
Überzug: flächig, kompakt, matt
Dekor: Relief aus der Form, Punktreihe auf der Schulter
Dm Diskus: 3,7 cm; erh. H: 1,5 cm
Erh.: 1 Schulter-/Diskusfrgt.
Dat.: –.

**K 269 Lampe** **Taf. 74**
AO: GHD, Inv. E-TR 11-SO2-1038-254/K7
Ton: 2.5YR6/8, hart, fein, sehr feinporös bis dicht, weiße ES – mittel, einzeln, Glimmer – fein, wenig
Farbe außen: 2.5YR6/8–2.5YR3/1, Farbe innen: 10R6/8
Überzug: flächig, kompakt, matt
Dekor: Relief aus der Form, auf Schulter: Quadrat im Quadrat, 1 Punkt vor der Schnauze
Erh.: 1 Wandfrgt.
erh. L: 7,9 cm; erh. H: 2,7 cm
Dat.: –.

**K 270 Lampe** **Taf. 74**
AO: GHD, Inv. E-TR 11-SO2-1038-262/K11
Ton: 2.5YR5/6, hart, fein, dicht bis feinporös, weiße ES – mittelfein, wenig, Glimmer – fein, mittelviel
Farbe außen: 10R5/6, Farbe innen: 10R4/4
Überzug: außen, teilweise abgerieben, matt
Dekor: Relief aus der Form: 3 erhabene Punktreihen/ Warzen
Erh.: 1 Schulterfrgt.
erh. L: 5,8 cm; erh. H: 1 cm
Dat.: 5.–6. Jh. n. Chr.
Par.: Ladstätter 2008, K 330–333; Ladstätter 2005, K 916; Gassner 1997, Kat. 824–826.

**K 271 Lampe** **Taf. 74**
AO: GHD, Inv. E-TR 11-SO2-1038-262/K12
Ton: 2.5YR5/6, hart, fein, feinporös, Glimmer – fein, wenig
Farbe außen: 2.5YR6/6, Farbe innen: 2.5YR6/4
Dekor: Relief aus der Form, mit Kreisdekor (?) auf der Schulter
Erh.: 1 Schulterfrgt.
erh. H: 0,5 cm; B: 1,8 cm
Dat.: spätantik (?).

## *SE 1036*

**K 272 Schüssel** **Taf. 74**
AO: GHD, Inv. E-TR 11-SO2-1036-257/K1
Gattung: Gebrauchskeramik
Ton: 5YR6/8 , 5YR6/1 (Kern), mit gerader Standfläche, mittelhart, mittelfein, dicht, weiße ES – fein bis mittelfein, mittelviel, Glimmer – fein, viel
Farbe außen: 10R5/6, Farbe innen: 2.5YR7/6
Erh.: 1 Bodenfrgt.
BDm: 20 cm, erh. H: 6,9 cm
Dat.: –.

**K 273 Schüssel** **Taf. 74**
AO: GHD, Inv. E-TR 11-SO2-1036-257/K3
Gattung: Gebrauchskeramik
Ton: 5YR6/6, mit gerader Standfläche, mittelhart, fein, dicht, Glimmer – fein, mittelviel
Farbe außen: 2.5YR7/6, Farbe innen: 2.5YR7/6
Erh.: 1 Bodenfrgt.
RDm: 19 cm, erh. H: 2,15 cm
Dat.: –.

**K 274 Deckel** **Taf. 74**
AO: GHD, Inv. E-TR 11-SO2-1036-257/K2
Gattung: Küchenware
Ton: 10R4/8, mittelhart, mittelfein, feinporös, weiße und schwarze ES (feine Steinchen) – fein bis mittelfein, eher wenig, Glimmer – fein bis mittelfein, viel
Farbe außen: 10R5/1, Farbe innen: 10R4/1
Erh.: 1 Knauffrgt.
Knauf-Dm: sehr unregelmäßig, erh. H: 3,8 cm.
Dat.: –.

## *SE 1035*

**K 275 Teller** **Taf. 74**
AO: GHD, Inv. E-TR 11-SO2-1035-259/K1
Gattung: ESA
Typ: Atlante 4B
Ton: 5YR6/6, hart, fein, dicht, weiße ES – fein, wenig
Farbe außen: 10R4/8, Farbe innen: 10R4/8
Überzug: flächig, teilweise abgerieben, glänzend, z. T. Fingerabdrücke sichtbar
Erh.: 1 Randfrgt.
RDm: 18 cm, erh. H: 2,8 cm
Dat.: 1. Hälfte 1. Jh. n. Chr.
Par.: Ladstätter 2005, K 33. 37.

**K 276 Teller** **Taf. 75**
AO: GHD, Inv. E-TR 11-SO2-1035-260/K1
Gattung: ARS
Typ: Hayes 50 oder 58B (?)
Ton: 10R6/8, hart, fein, dicht bis sehr feinporös, Glimmer – fein, viel
Farbe außen: 10R5/8, Farbe innen: 10R5/8
Überzug: flächig, teilweise abgerieben, glänzend
Erh.: 1 Bodenfrgt.
BDm: 14 cm, erh. H: 1,15 cm
Dat.: 4. Jh. n. Chr.
Par.: Ladstätter 2010b, B-K 419. 443; Hayes 1972, Abb. 14 Form 58B.

**K 277 Teller** **Taf. 75**
AO: GHD, Inv.Nr. E-TR 11-SO2-1035-252/K1
Gattung: ARS
Typ: Hayes 58 oder 59 (?)

Ton: 10R5/8, hart, fein, dicht, weiße ES – fein, vereinzelt, Glimmer – fein, mittelviel
Farbe außen: 10R6/6, Farbe innen: 10R5/8
Überzug: flächig, kompakt, glänzend
Erh.: 2 Bodenfrgte.
BDm: 20–22 cm, erh. H: 3,45 cm
Dat.: 320–420 n. Chr.
Par.: Hayes 1972, Abb. 14, Form 58; Abb. 15, Form 59.

**K 278 Geschlossenes Gefäß** **Taf. 75**
AO: GHD, Inv. E-TR 11-SO2-1035-252/K10
Gattung: dünnwandige Keramik
Ton: 5YR5/6, 2.5Y6/2 (Kern), hart, fein, dicht, weiße ES – fein, einzeln, Glimmer – fein, wenig
Farbe außen: 5YR6/6, Farbe innen: 5YR7/4
Erh.: 1 Bodenfrgt.
RDm: 3,6 cm, erh. H: 2 cm
Dat.: 1. Jh. n. Chr.
Par.: Ladstätter 2010a, A-K 438–439.

**K 279 Teller** **Taf. 75**
AO: GHD, Inv. E-TR 11-SO2-1035-252/K2
Gattung: Gebrauchskeramik
Ton: 2.5YR6/6, hart, fein, dicht bis sehr feinporös, weiße und hellgraue ES – fein, mittelviel, Glimmer – fein, mittelviel
Farbe außen: 2.5YR5/8, Farbe innen: 2.5YR5/8
Überzug: flächig, teilweise abgerieben, matt
Erh.: 1 Randfrgt.
RDm: 50 cm, erh. H: 1,4 cm.
Dat.: –.

**K 280 Schale** **Taf. 75**
AO: GHD, Inv. E-TR 11-SO2-1035-252/K3
Gattung: Gebrauchskeramik
Ton: 7.5YR5/4, mittelhart, fein, dicht, Glimmer – fein, viel
Farbe außen: 2.5YR5/2, Farbe innen: 2.5YR4/1
Überzug: flächig, teilweise abgerieben, matt
Erh.: 1 Randfrgt.
RDm: 11 cm, erh. H: 2,2 cm
Dat.: 5. Jh. n. Chr.
Par.: Gassner 1997, Kat. 609; Hayes 1972, Abb. 65, 4. 3.

**K 281 Schüssel** **Taf. 75**
AO: GHD, Inv. E-TR 11-SO2-1035-252/K5
Gattung: Gebrauchskeramik
Ton: 2.5YR4/6, 2.5YR4/4 (Kern), mittelhart, fein, dicht, schiefrig brechend, Glimmer – fein, viel
Farbe außen: 2.5YR4/6, Farbe innen: 2.5YR4/6
Erh.: 1 Randfrgt.
RDm: 46–50 cm, sehr wenig erhalten, erh. H: 1,6 cm
Dat.: hellenistisch (?)
Par.: Ladstätter 2010c, K 448.

**K 282 Schüssel** **Taf. 75**
AO: GHD, Inv. E-TR 11-SO2-1035-260/K2
Gattung: Gebrauchskeramik
Ton: 5YR6/6, 10R6/4 (Kern), mittelhart, fein, dicht, schwarzer ES – fein, einzeln, Glimmer – fein, viel
Farbe außen: 5YR6/6, Farbe innen: 5YR6/6
Erh.: 1 Randfrgt.
RDm: 30 cm, erh. H: 1,5 cm
Dat.: 1. Jh. n. Chr.
Par.: Ladstätter 2005, K 208. 351.

**K 283 Schüssel** **Taf. 75**
AO: GHD, Inv. E-TR 11-SO2-1035-259/K2
Gattung: Gebrauchskeramik
Ton: 2.5YR5/6, 7.5YR6/4 (Kern), hart, fein, dicht, weiße ES – fein bis klein, mittelviel bis wenig, Glimmer – fein bis klein, mittelviel
Farbe außen: 7.5YR7/4, Farbe innen: 2.5YR6/6–7.5YR7/4
Erh.: 1 Randfrgt.
RDm: 46 cm, erh. H: 1,55 cm
Dat.: 5. Jh. n. Chr.
Par.: Turnovsky 2005b, Abb. 5, 1.

**K 284 Schüssel** **Taf. 75**
AO: GHD, Inv. E-TR 11-SO2-1035-252/K4
Gattung: Gebrauchskeramik
Ton: 5YR6/6, hart, fein, dicht, weiße ES – sehr fein, einzeln, Glimmer – fein, wenig
Farbe außen: 5YR7/4, Farbe innen: 5YR7/4
Erh.: 2 Randfrgte.
RDm: 36 cm, erh. H: 4,9 cm
Dat.: 3.–6. Jh. n. Chr.
Par.: Ladstätter 2005, K 231; Meriç 2002, K 725.

**K 285 Schüssel** **Taf. 75**
AO: GHD, Inv. E-TR 11-SO2-1035-259/K3
Gattung: Gebrauchskeramik
Ton: 2.5YR5/6, 10YR6/2 (Kern), mittelhart, fein, feinporös, weiße und schwarze ES – fein, wenig, grauer ES – grob (ca. 1 mm groß), einzeln, Glimmer – fein, viel
Farbe außen: 5YR6/4–2.5YR2.5/1 und 10R5/4, Farbe innen: 2.5YR6/4–2.5YR4/1
Erh.: 2 Randfrgte.
RDm: 21 cm, erh. H: 5,05 cm
Dat.: 2.–3. Jh. n. Chr. (?)
Par.: Ladstätter 2005, K 594.

**K 286 Schüssel** **Taf. 75**
AO: GHD, Inv. E-TR 11-SO2-1035-259/K4
Gattung: Gebrauchskeramik
Ton: 2.5YR4/6, 7.5YR5/2 (Kern), mittelhart, mittelfein – fein, dicht, weiße ES – fein, wenig, graue ES – fein bis klein, mittelviel, Glimmer – fein bis mittelfein, viel
Farbe außen: 7.5YR4/1, Farbe innen: 7.5YR6/2
Erh.: 1 Randfrgt.
RDm: 18 cm, erh. H: 2,1 cm

Dat.: kaiserzeitlich – spätantik (?)
Par.: K 285.

**K 287 Schüssel** **Taf. 75**
AO: GHD, Inv. E-TR 11-SO2-1035-259/K5
Gattung: Gebrauchskeramik
Ton: 5YR4/4, 7.5YR5/2 (Kern), mittelhart, mitttelfein, dicht, weiße und graue ES (kleine Steinchen) – grob (ca. 2–3 mm groß), einzeln, Glimmer – fein, viel
Farbe außen: 5YR4/1, Farbe innen: 7.5YR5/4
Erh.: 1 Randfrgt.
RDm: 22 cm, erh. H: 3,1 cm
Dat.: kaiserzeitlich – spätantik (?)
Par.: K 285.

**K 288 Schüssel** **Taf. 75**
AO: GHD, Inv. E-TR 11-SO2-1035-259/K6
Gattung: Gebrauchskeramik
Ton: 2.5YR4/6, 10YR5/2 (Kern), mittelhart, mittelfein, dicht, weiße und graue ES – fein bis grob (bis zu ca. 1,5 mm groß), mittelviel, Glimmer – fein, viel
Farbe außen: 2.5YR6/4, Farbe innen: 2.5YR5/4
Erh.: 1 Randfrgt.
RDm: 30 cm, erh. H: 4,3 cm
Dat.: kaiserzeitlich – spätantik (?)
Par.: K 285.

**K 289 Schüssel** **Taf. 76**
AO: GHD, Inv. E-TR 11-SO2-1035-252/K6
Gattung: Gebrauchskeramik
Ton: 2.5YR4/6, 7.5YR5/2 (Kern), mittelhart, fein, sehr feinporös – dicht, graue ES – grob (ca 1 mm groß), einzeln, Glimmer – fein, viel
Farbe außen: 2.5YR6/4, Farbe innen: 2.5YR6/4
Erh.: 1 Randfrgt.
RDm: 20 cm, erh. H: 4,35 cm
Dat.: kaiserzeitlich – spätantik (?)
Par.: K 285.

**K 290 Schüssel** **Taf. 76**
AO: GHD, Inv. E-TR 11-SO2-1035-252/K7
Gattung: Gebrauchskeramik
Ton: 10R4/8, 2.5YR4/3 (Kern), hart, mittelfein, dicht, beige und hellgraue ES – grob (ca. 1 mm groß), eher wenig, Glimmer – fein, wenig
Farbe außen: 2.5YR5/3, Farbe innen: Gley 1 5/N
Erh.: 1 Randfrgt.
RDm: 20 cm, erh. H: 1,6 cm
Dat.: kaiserzeitlich – spätantik (?)
Par.: K 285.

**K 291 Schüssel** **Taf. 76**
AO: GHD, Inv. E-TR 11-SO2-1035-252/K8
Gattung: Gebrauchskeramik
Ton: 10R4/4, 10YR4/1 (Kern), hart, mittelfein bis fein, dicht, hellbraune bis beige ES – fein bis grob (bis zu 1,5 mm groß), mittelviel, Glimmer – fein, viel
Farbe außen: Gley 1 4/N, Farbe innen: 10R5/1
Erh.: 1 Randfrgt.
RDm: 19 cm, erh. H: 1,75 cm
Dat.: kaiserzeitlich – spätantik (?)
Par.: K 285.

**K 292 Teller** **Taf. 76**
AO: GHD, Inv. E-TR 11-SO2-1035-252/K9
Gattung: Gebrauchskeramik
Ton: 2.5YR5/6, 7.5YR6/4 (Kern), mittelhart bis weich, grob, dicht, hellgraue und weiße ES (kleine Kiesel) – klein bis zu 2 mm groß, Glimmer – fein, wenig
Farbe außen: 5YR6/6, Farbe innen: 5YR6/6
Erh.: 1 Rand- und Bodenfrgt.
RDm: 38 cm, erh. H: 3,5 cm
Dat.: spätantik (?)
Par.: Ladstätter 2010d, K 459; Gassner 1997, Kat. 755.

**K 293 Teller** **Taf. 76**
AO: GHD, Inv. E-TR 11-SO2-1035-259/K7
Gattung: Gebrauchskeramik
Ton: 5YR5/6, mittelhart, fein, dicht – feinporös, Glimmer – fein, viel
Farbe außen: 5YR6/6, Farbe innen: 7.5YR7/4
Erh.: 1 Rand- und Bodenfrgt.
RDm: 26 cm, BDm: 25,4 cm, erh. H: 3,6 cm
Dat.: spätantik (?)
Par.: Ladstätter 2010d, K 459; Gassner 1997, Kat. 755.

**K 294 Töpfchen** **Taf. 76**
AO: GHD, Inv. E-TR 11-SO2-1035-252/K11
Gattung: Küchenware
Ton: Gley 1 5/N, hart, fein, dicht, weiße ES – fein bis klein, mittelviel, Glimmer – fein, mittelviel
Farbe außen: 2.5YR4/1, Farbe innen: 2.5YR4/1
Erh.: 1 Randfrgt.
RDm: 8,6 cm, erh. H: 2,8 cm
Dat.: 2.–3. Jh. n. Chr.
Par.: Ladstätter 2005, K 669. 717.

**K 295 Kleeblattkanne** **Taf. 76**
AO: GHD, Inv. E-TR 11-SO2-1035-259/K8
Gattung: Küchenware
Ton: 2.5Y4/1, hart, mittelfein, dicht, weiße bis beige ES – fein bis klein, mittelviel, Glimmer – fein, viel
Farbe außen: Gley 1 3/N, Farbe innen: Gley 1 3/N
Erh.: 1 Randfrgt.
erh. H: 2,2 cm
Dat.: 2.–3. Jh. n. Chr.
Par.: Ladstätter 2005, K 769.

**K 296 Topf** **Taf. 76**
AO: GHD, Inv. E-TR 11-SO2-1035-252/K12
Gattung: Küchenware
Ton: Gley 1 3/N, hart, fein, dicht, weiße ES – fein bis

klein, wenig, Glimmer – fein, viel
Farbe außen: Gley 1 3/N, Farbe innen: Gley 1 4/N
Erh.: 2 Randfrgte.
RDm: 22 cm, erh. H: 3,2 cm
Dat.: frühes 5.–6. Jh. n. Chr.
Par.: K 252.

**K 297 Topf** **Taf. 76**
AO: GHD, Inv. E-TR 11-SO2-1035-252/K14
Gattung: Küchenware
Ton: 10YR4/3, Gley 1 4/N (Kern), hart, mittelfein, dicht, weiße ES – fein bis klein, eher wenig, Glimmer – fein, viel
Farbe außen: 10YR4/1, Farbe innen: 10YR4/1
Erh.: 1 Randfrgt.
RDm: 18–20 cm, erh. H: 1,65 cm
Dat.: frühes 5.–6. Jh. n. Chr.
Par.: K 252.

**K 298 Topf** **Taf. 76**
AO: GHD, Inv. E-TR 11-SO2-1035-260/K3
Gattung: Küchenware
Ton: 10YR4/1, 10YR5/1 (Kern), hart, mittelfein, dicht, weiße, beige und hellgraue ES – fein bis grob (bis zu ca. 1 mm groß), mittelviel, Glimmer – fein, viel
Farbe außen: 10YR4/1, Farbe innen: 10YR5/1
Erh.: 3 Rand- und Wandfrgte. mit Henkelansatz
RDm: 22 cm, erh. H: 3,15 cm
Dat.: frühes 5.–6. Jh. n. Chr.
Par.: K 252.

**K 299 Topf** **Taf. 76**
AO: GHD, Inv. E-TR 11-SO2-1035-260/K8
Gattung: Küchenware
Ton: Gley 1 3/N, 2.5YR4/4 (Kern), hart, mittelfein bis fein, feinporös, weiße und schwarze ES – fein bis klein, mittelviele, Glimmer – fein, mittelviel bis wenig
Farbe außen: Gley 1 3/N, Farbe innen: Gley 1 3/N
Erh.: 1 Randfrgt.
RDm: 19 cm, erh. H: 1,2 cm
Dat.: frühes 5.–6. Jh. n. Chr.
Par.: K 252.

**K 300 Topf** **Taf. 76**
AO: GHD, Inv. E-TR 11-SO2-1035-260/K4
Gattung: Küchenware
Ton: 2.5Y4/1, Gley 1 4/N (Kern), hart, mittelgrob, dicht, weiße, gelbliche und graue ES – fein bis zu ca. 1 mm groß, mittelviel, Glimmer – fein, viel
Farbe außen: Gley 1 4/N, Farbe innen: 2.5Y4/1
Erh.: 1 Randfrgt.
RDm: 19 cm, erh. H: 2,6 cm
Dat.: 5. Jh. n. Chr.
Par.: Ladstätter 2008, K 213; Turnsovsky 2005a, Abb. 1, 7; Gassner 1997, Kat. 730.

**K 301 Topf** **Taf. 77**
AO: GHD, Inv. E-TR 11-SO2-1035-260/K5
Gattung: Küchenware
Ton: Gley 1 3/N, 2.5YR4/6 (Kern), hart, mittelfein, dicht, weiße und beige ES – fein bis zu ca. 1 mm groß, eher wenig, Glimmer – fein, mittelviel
Farbe außen: Gley 1 3/N, Farbe innen: Gley 1 3/N
Erh.: 1 Randfrgt.
RDm: 15 cm, erh. H: 3,9 cm
Dat.: frühes 5. Jh. n. Chr.
Par.: Ladstätter 2008, K 176. 179; Turnovsky 2005a, Abb. 1, 2; Gassner 1997, Kat. 725.

**K 302 Deckel** **Taf. 77**
AO: GHD, Inv. E-TR 11-SO2-1035-260/K6
Gattung: Küchenware
Ton: 5Y2.5/1, hart, mittelfein, dicht, weiße/beige ES – fein bis klein, mittelviel, Glimmer – fein, viel
Farbe außen: Gley 1 3/N, Farbe innen: Gley 1 3/N
Erh.: 1 Randfrgt.
RDm: 21 cm, erh. H: 1,2 cm
Dat.: 5. Jh. n. Chr.
Par.: K 263.

**K 303 Deckel** **Taf. 77**
AO: GHD, Inv. E-TR 11-SO2-1035-252/K13
Gattung: Küchenware
Ton: 5YR4/4, 7.5YR4/3 (Kern), mittelhart, mittelfein, dicht, weiße und schwarze ES – fein bis klein, mittelviel, Glimmer – fein, viel
Farbe außen: 2.5Y3/1, Farbe innen: 2.5Y3/1
Erh.: 2 Knauffrgte.
erh. H: 5,3 cm
Dat.: –.

**K 304 Lampe** **Taf. 77**
AO: GHD, Inv. E-TR 11-SO2-1035-252/K15
Ton: 5YR6/6, hart, fein, dicht, weiße ES – klein, einzeln
Farbe außen: 2.5YR5/8, Farbe innen: 2.5YR5/8
Überzug: flächig, kompakt, matt
Dekor: Grießbewurf auf Diskus
Erh.: 1 Schulterfrgt.
erh. H: 1,3 cm
Dat.: –.

**K 305 Lampe** **Taf. 77**
AO: GHD, Inv. E-TR 11-SO2-1035-252/K16
Ton: 5YR6/6, hart, fein, dicht, weiße, graue und bräunliche ES – fein, wenig, Glimmer – sehr fein, sehr wenig
Farbe außen: 2.5YR4/4–2.5YR5/6, Farbe innen: 2.5YR7/6
Überzug: außen, teilweise abgerieben, matt
Erh.: 1 Bodenfrgt.
BDm: 3,6–4 cm, erh. H: 1,5 cm
Dat.: –.

*SE 1034*

**K 306 Teller** **Taf. 77**
AO: GHD, Inv. E-TR 11-SO2-1034-256/K1
Gattung: LRC
Typ: Hayes 1A
Ton: 2.5YR5/8, hart, fein, dicht, einzelne kleine Poren, weiße ES – fein, wenig
Farbe außen: 10R4/8, Farbe innen: 10R4/8
Überzug: flächig, teilweise abgerieben, mattglänzend
Erh.: 1 Randfrgt.
RDm: 40 cm, erh. H: 3,4 cm
Dat.: spätes 4./frühes 5. Jh. n. Chr.
Par.: Hayes 1972, Abb. 65, 1. 2.

**K 307 Teller** **Taf. 77**
AO: GHD, Inv. E-TR 11-SO2-1034-249/K1
Gattung: LRC
Typ: Hayes 1B
Ton: 2.5YR5/8, Farbe 5YR3/1, hart, fein, dicht, Poren – fein, einzeln, weiße ES – fein, mittelviel, Glimmer – fein, vereinzelt
Farbe außen: 10R5/8, Farbe innen: 10R5/8
Überzug: flächig, teilweise abgerieben, mattglänzend
Erh.: 1 Randfrgt.
RDm: 38 cm, erh. H: 3,65 cm
Dat.: 5. Jh. n. Chr.
Par.: Hayes 1972, Abb. 65, 3. 4.

**K 308 Teller** **Taf. 77**
AO: GHD, Inv. E-TR 11-SO2-1034-251/K1
Gattung: LRC
Typ: Variante Hayes 3E
Ton: 10R5/8, hart, fein, dicht, weiße ES – fein, viel
Farbe außen: 10R4/8, Farbe innen: 10R4/8
Überzug: flächig, kompakt, matt
Erh.: 1 Randfrgt.
RDm: 26 cm, erh. H: 2,8 cm
Dat.: spätes 5.–6. Jh. n. Chr.
Par.: Hayes 1972, Abb. 68, 14.

**K 309 Teller** **Taf. 77**
AO: GHD, Inv. E-TR 11-SO2-1034-249/K2
Gattung: LRC
Ton: 2.5YR5/8, hart, fein, dicht, weiße ES – fein, mittelviele bis wenige
Farbe außen: 10R6/8, Farbe innen: 10R6/8
Überzug: flächig, abgerieben, matt
Erh.: 1 Bodenfrgt.
BDm: 10,4 cm, erh. H: 1,8 cm
Dat.: 5.–6. Jh. n. Chr.

**K 310 Teller** **Taf. 77**
AO: GHD, Inv. E-TR 11-SO2-1034-249/K3
Gattung: LRC
Ton: 2.5YR5/8, hart, fein, dicht, weiße ES – fein, mittelviel bis wenige
Farbe außen: 10R5/6, Farbe innen: 10R5/8
Überzug: flächig, kompakt, matt
Dekor: Rouletting, Wand innen
Erh.: 1 Wandfrgt.
Dat.: 5.–6. Jh. n. Chr.

**K 311 Teller** **Taf. 77**
AO: GHD, Inv. E-TR 11-SO2-1034-256/K2
Gattung: Red Slip-Ware/Mäandertal-Sigillata (?)
Ton: 2.5YR5/6, mittelhart bis weich, fein, dicht, weiße ES – fein, einzeln, Glimmer – fein, viel
Farbe außen: 2.5YR5/8–10R5/8, Farbe innen: 10R5/8
Überzug: flächig, teilweise abgerieben, glänzend
Erh.: 1 Randfrgt.
RDm: 28 cm, erh. H: 3 cm
Dat.: 6. Jh. n. Chr. (?)
Par.: ähnlich Hayes 1972, Abb. 29, Form 103; Abb. 68, Form 28.

**K 312 Teller** **Taf. 77**
AO: GHD, Inv. E-TR 11-SO2-1034-249/K4
Gattung: Red Slip-Ware
Ton: 10R5/6, weich, fein, dicht, weiße ES – fein, einzeln, Glimmer – fein, viel
Farbe außen: 2.5YR5/6, Farbe innen: 10R4/8
Überzug: flächig, teilweise abgerieben, mattglänzend
Erh.: 1 Randfrgt.
RDm: zu wenig erhalten, erh. H: 2,7 cm
Dat.: 5. bzw. Ende 6. – Mitte 7. Jh. n. Chr. (?)
Par.: Hayes 1972, Abb. 65, Form 1D; Abb. 33, Form 109 (ähnlich).

**K 313 Schale** **Taf. 77**
AO: GHD, Inv. E-TR 11-SO2-1034-256/K3
Gattung: Red Slip-Ware
Ton: 7.5YR5/4, weich, fein, dicht, schwarze ES – fein, einzeln, Glimmer – fein, mittelviel
Farbe außen: 2.5YR5/6–7.5YR4/1, Farbe innen: 2.5YR5/6 – 7.5YR4/1
Überzug: flächig, teilweise abgerieben, matt
Erh.: 1 Randfrgt.
RDm: 16–18 cm, erh. H: 3,3 cm
Dat.: 6. Jh. n. Chr. (?)
Par.: Ladstätter 2008, K 237.

**K 314 Becher** **Taf. 77**
AO: GHD, Inv. E-TR 11-SO2-1034-249/K7
Gattung: dünnwandige Keramik
Ton: 2.5YR4/8, Kännchen, hart, fein, dicht, Poren – sehr fein, wenig, Glimmer – sehr fein, viel
Farbe außen: 2.5YR5/4, Farbe innen: 10R5/6
Erh.: 1 Bodenfrgt.
BDm: 3 cm, erh. H: 3 cm
Dat.: 2.–3. Jh. n. Chr.
Par.: Ladstätter 2010a, A-K 806. 810; Ladstätter 2010b, B-K 477.

**K 315 Krug** **Taf. 77**
AO: GHD, Inv. E-TR 11-SO2-1034-256/K5
Gattung: Gebrauchskeramik
Ton: 2.5YR4/6, weich, fein, dicht bis auf einzelne feine Poren, Glimmer– fein, viel
Farbe außen: 2.5YR5/6, Farbe innen: 2.5YR5/6
Erh.: 1 Randfrgt.
RDm: 5,8 cm, erh. H: 3,15 cm
Dat.: 5. Jh. n. Chr.
Par.: Rautmann 1995, Abb. 8, 1. 23.

**K 316 Krug** **Taf. 78**
AO: GHD, Inv. E-TR 11-SO2-1034-251/K2
Gattung: Gebrauchskeramik
Ton: 5YR6/6, hart, fein, feinporös, Glimmer – fein, wenig
Farbe außen: 7.5YR7/4, Farbe innen: 7.5YR7/4
Erh.: 1 Randfrgt.
RDm: 9 cm, erh. H: 2,5 cm
Dat.: –.

**K 317 Schüssel** **Taf. 78**
AO: GHD, Inv. E-TR 11-SO2-1034-251/K3
Gattung: Gebrauchskeramik
Ton: 2.5YR5/6, 7.5YR5/2 (Kern), mittelhart, fein, dicht, beige ES – klein, einzeln, Glimmer – fein, viel
Farbe außen: 2.5YR5/6, Farbe innen: 5YR5/4 – Gley1 4/N
Erh.: 1 Randfrgt.
RDm: 16 cm, erh. H: 2,5 cm
Dat.: kaiserzeitlich – spätantik (?)
Par.: K 285.

**K 318 Schüssel** **Taf. 78**
AO: GHD, Inv. E-TR 11-SO2-1034-256/K6
Gattung: Gebrauchskeramik
Ton: 2.5YR4/6, 5YR4/3 (Kern), weich, fein, dicht, Glimmer – fein, viel
Farbe außen: 5YR5/6, Farbe innen: 5YR5/2–5YR5/6
Erh.: 8 Randfrgte.
RDm: 16 cm, erh. H: 3,7 cm
Dat.: kaiserzeitlich – spätantik (?)
Par.: K 285.

**K 319 Schüssel** **Taf. 78**
AO: GHD, Inv. E-TR 11-SO2-1034-256/K7
Gattung: Gebrauchskeramik/Küchenware (?)
Ton: 7.5YR4/3, 10YR4/1 (Kern), hart, fein, dicht, Glimmer – fein, viel
Farbe außen: 7.5YR6/3, Farbe innen: Gley 1 4/N
Erh.: 1 Randfrgt.
RDm: 18–20 cm, erh. H: 2 cm
Dat.: kaiserzeitlich – spätantik (?)
Par.: K 285.

**K 320 Schüssel** **Taf. 78**
AO: GHD, Inv. E-TR 11-SO2-1034-249/K10
Gattung: Gebrauchskeramik
Ton: 10R4/6, 7.5YR4/3 (Kern), mittelhart, mittelfein, dicht, weiße und beige/weiße ES – fein bis zu 1 mm groß, wenig, Glimmer – sehr fein, viel
Farbe außen: 10R6/1, Farbe innen: 10R5/6
Erh.: 2 Randfrgte.
RDm: 19 cm, erh. H: 3,1 cm
Dat.: kaiserzeitlich – spätantik (?)
Par.: K 285.

**K 321 Schüssel** **Taf. 78**
AO: GHD, Inv. E-TR 11-SO2-1034-249/K11
Gattung: Gebrauchskeramik
Ton: 2.5YR4/8, 5YR5/2 (Kern), mittelhart, fein, dicht, beige und schwarze ES – klein, einzeln, Glimmer – fein, viel
Farbe außen: 5YR5/2, Farbe innen: 2.5YR5/4
Erh.: 1 Randfrgt.
RDm: 20 cm, erh. H: 1,9 cm
Dat.: kaiserzeitlich – spätantik (?)
Par.: K 285.

**K 322 Schüssel** **Taf. 78**
AO: GHD, Inv. E-TR 11-SO2-1034-249/K12
Gattung: Gebrauchskeramik
Ton: 2.5YR4/8, 7.5YR5/2 (Kern), hart, fein, dicht, weiße ES – fein, einzeln, Glimmer – fein, viel
Farbe außen: 7.5YR6/4, Farbe innen: 7.5YR6/4
Erh.: 1 Randfrgt.
RDm: 17 cm, erh. H: 3,1 cm
Dat.: kaiserzeitlich – spätantik (?)
Par.: K 285.

**K 323 Schüssel** **Taf. 78**
AO: GHD, Inv. E-TR 11-SO2-1034-249/K5
Gattung: Gebrauchskeramik
Ton: 2.5YR5/8, hart, fein, dicht, weiße, rote und graue ES – fein, wenig, Glimmer – fein, eher wenig
Farbe außen: 2.5YR6/6, Farbe innen: 2.5YR6/6
Farbe Randbemalung: 10R5/6
Dekor: Bemalung vor Brand, Farbtupfen bei Rand oben
Erh.: 1 Randfrgt.
RDm: 44 cm, erh. H: 4,7 cm
Dat.: 5.–6. Jh. n. Chr.
Par.: Turnovsky 2005a, Abb. 3, 1; Turnovsky 2005b, Abb. 5, 1; Ladstätter 2010d, K 334. 765. 76. 814. 815. 957.

**K 324 Schüssel** **Taf. 78**
AO: GHD, Inv. E-TR 11-SO2-1034-256/K4
Gattung: Gebrauchskeramik
Ton: 7.5YR6/4, 2.5YR5/6 (Kern), hart, fein, dicht, weiße und schwarze ES – fein, einzeln, Glimmer – fein, mittelviel
Farbe außen: 7.5YR7/4, Farbe innen: 10R5/6
Überzug: Rand außen, teilweise abgerieben, matt
Erh.: 1 Randfrgt.
RDm: 34 cm, erh. H: 2,4cm

Dat.: 5.–6. Jh. n. Chr.
Par.: K 323.

**K 325 Schüssel** **Taf. 78**
AO: GHD, Inv. E-TR 11-SO2-1034-249/K6
Gattung: Gebrauchskeramik
Ton: 5YR6/6, hart, fein, dicht, weiße ES – fein, wenig, Glimmer – fein, viel
Farbe außen: 7.5YR7/4, Farbe innen: 7.5YR7/4
Farbe Bemalung: 10R4/6
Dekor: Bemalung vor Brand, Farbtupfen bei Rand oben
Erh.: 1 Randfrgt.
RDm: 56 cm, erh. H: 2,1 cm
Dat.: 5.–6. Jh. n. Chr.
Par.: K 323.

**K 326 Schüssel** **Taf. 78**
AO: GHD, Inv. E-TR 11-SO2-1034-249/K8
Gattung: Gebrauchskeramik
Ton: 2.5YR5/6, 2.5Y5/2 (Kern), mittelhart, fein, dicht, schwarze ES – fein, einzeln, Glimmer – fein, viel
Farbe außen: 7.5YR6/4, Farbe innen: 2.5YR6/6
Erh.: 1 Bodenfrgt.
BDm: 15–16 cm, erh. H: 2,9 cm.
Dat.: –.

**K 327 Schüssel** **Taf. 78**
AO: GHD, Inv. E-TR 11-SO2-1034-249/K9
Gattung: Gebrauchskeramik
Ton: 10YR5/2, hart, mittelfein bis fein, dicht, Poren – sehr fein, wenige, weiße ES – fein bis grob (max. ca. 1 mm groß), einzeln, Glimmer – fein, eher wenig
Farbe außen: 10YR7/3, Farbe innen: 10YR6/2
Erh.: 1 Bodenfrgt.
BDm: 2,9 cm, erh. H: 2,9 cm.
Dat.: –.

**K 328 Kleeblattkanne** **Taf. 79**
AO: GHD, Inv. E-TR 11-SO2-1034-251/K4
Gattung: Küchenware
Ton: 10YR4/1, Gley 1 5/N (Kern), hart, mittelfein, dicht bis auf wenige längliche, feine Poren, weiße und beige ES – fein bis klein, viele, Glimmer – fein, viel
Farbe außen: Gley 1 4/N, Farbe innen: Gley 1 4/N
Erh.: 1 Randfrgt. mit Henkelansatz
RDm: 7,6 cm, erh. H: 4,7 cm
Dat.: 2.–3. Jh. n. Chr.
Par.: Ladstätter 2005, K 769; Ladstätter 2010a, A-K 882.

**K 329 Topf** **Taf. 79**
AO: GHD, Inv. E-TR 11-SO2-1034-249/K13
Gattung: Küchenware
Ton: 10R4/6, hart, mittelfein, dicht, weiße und schwarze ES – fein bis zu 1 mm groß, viel, Glimmer – fein bis mittelfein, viel
Farbe außen: 5YR2.5/1, Farbe innen: 2.5YR4/2
Erh.: 1 Randfrgt.
RDm: 16 cm, erh. H: 2,8 cm
Dat.: 5./Anfang 6. Jh. n. Chr.
Par.: Turnovsky 2005b, Abb. 4, 3; Turnovsky 2005a, Abb. 1, 6. 14; Ladstätter 2010d, K 481. 784. 829. 977.

**K 330 Topf** **Taf. 79**
AO: GHD, Inv. E-TR 11-SO2-1034-256/K8
Gattung: Küchenware
Ton: 10YR5/2, Gley 1 4/N (Kern), hart, mittelgrob, dicht, weiße ES – fein bis klein, viel, Glimmer – fein, viel
Farbe außen: Gley 1 4/N, Farbe innen: 10YR5/2
Erh.: 1 Randfrgt.
RDm: 16–18 cm, erh. H: 2,1 cm
Dat.: 5./Anfang 6. Jh. n. Chr.
Par.: K 329.

**K 331 Pfanne** **Taf. 79**
AO: GHD, Inv. E-TR 11-SO2-1034-251/K5
Gattung: Küchenware
Ton: 2.5YR4/6, hart, mittelfein, dicht, dunkelbrauner ES – länglich eckig, ca. 1 mm lang, einzeln, Glimmer – fein, viel
Farbe außen: 10YR4/2, Farbe innen: 10YR4/2
Erh.: 1 Randfrgt.
RDm: 40 cm, erh. H: 2,2 cm
Dat.: spätes 6./1. Hälfte 7. Jh. n. Chr.
Par.: Ladstätter 2008, K 420; Turnovsky 2005b, Abb. 7, 1.

**K 332 Pfanne** **Taf. 79**
AO: GHD, Inv. E-TR 11-SO2-1034-249/K16
Gattung: Küchenware
Ton: 2.5YR4/6 nach außen, Gley 1 4/N nach innen, hart, fein, dicht, schwarze ES – länglich, grob, einzeln, weiße ES – mittelfein, einzeln, Glimmer – fein, viel
Farbe außen: 7.5YR4/1
Erh.: 1 Henkelfrgt.
erh. L: 4,8 cm
Dat.: 5. Jh. n. Chr.
Par.: Turnovsky 2005b, Abb. 1, 12.

**K 333 Deckel** **Taf. 79**
AO: GHD, Inv. E-TR 11-SO2-1034-249/K14
Gattung: Küchenware
Ton: 7.5YR5/3, 10YR4/1 (Kern), hart, fein bis mittelfein, dicht, dunkelgraue und beige ES – fein bis mittelfein, wenig, Glimmer – fein, viel
Farbe außen: 7.5YR5/3, Farbe innen: 7.5YR5/3
Anmerkung: Rand außen und innen verbrannt
Erh.: 1 Randfrgt.
RDm: 19–20 cm, erh. H: 1,15 cm
Dat.: 5. Jh. n. Chr.
Par.: Turnovsky 2005a, Abb. 2, 8. 11.

**K 334 Deckel** **Taf. 79**
AO: GHD, Inv. E-TR 11-SO2-1034-249/K15
Gattung: Küchenware
Ton: Gley 1 4/N, 7.5YR4/3 (Kern), hart, mittelfein,

dicht, weiße und beige ES – fein bis mittelfein, viele, Glimmer – fein bis mittelfein, viel
Farbe außen: Gley 1 4/N, Farbe innen: Gley 1 4/N
Erh.: 1 Knauffrgt.
erh. H: 2,7 cm
Dat.: –.

**K 335 Amphore** **Taf. 79**
AO: GHD, Inv. E-TR 11-SO2-1034-249/K17
Ton: 2.5YR6/6, hart, fein, dicht, weiße und graue ES – fein, wenig, Glimmer – fein, viel
Farbe außen: 7.5YR7/4
Erh.: 1 Knauffrgt.
erh. H: 4,8 cm
Dat.: Mitte 4. Jh. v. Chr. (?)
Par.: Lawall 2006, Kat. 212.

**K 336 Amphore** **Taf. 79**
AO: GHD, Inv. E-TR 11-SO2-1034-251/K7
Ton: 2.5Y8/3, 5YR7/4 nach innen, hart, fein, dicht, weiße ES – fein, einzeln, rötliche ES – klein, einzeln, Glimmer – fein, wenig
Farbe außen: 2.5Y8/3, Farbe innen: 7.5YR8/3
Erh.: 1 Knauffrgt.
erh. H: 6,9 cm
Dat.: 4.–6. Jh. n. Chr. (?)
Par.: Ladstätter 2010b, B-K 413; Robinson 1959, Taf. 29 M 273; Turnovsky 2005b, Abb. 6, 3.

**K 337 Amphore** **Taf. 79**
AO: GHD, Inv. E-TR 11-SO2-1034-249/K18
Ton: 5YR6/6 nach außen, 10YR7/4 (Kern), hart, mittelfein, Poren – länglich, fein, mittelviele, weiße und graue ES – fein bis mittelfein, viele
Farbe außen: 5YR6/6, Farbe innen: 7.5YR7/4
Farbe Dipinti: 2.5YR4/8
Dekor: mit Dipinti, Wand außen
Erh.: 1 Wandfrgt.
erh. H: 5,8 cm
Dat.: –.

**K 338 Amphore** **Taf. 79**
AO: GHD, Inv. E-TR 11-SO2-1034-251/K6
Ton: 2.5YR5/6, hart, fein, dicht, weiße ES – fein bis klein, wenig, Glimmer – fein, viel
Farbe außen: 2.5Y8/3, Farbe innen: 2.5Y8/3
Erh.: 1 Randfrgt.
RDm: 10 cm, erh. H: 3,4 cm
Dat.: –.

**K 339 Amphore** **Taf. 79**
AO: GHD, Inv. E-TR 11-SO2-1034-256/K9
Typ: Peacock – Williams 45
Ton: 2.5YR4/4, weich, fein, dicht, weiße und schwarze ES – fein, einzeln, Glimmer – fein, viel
Farbe außen: 5YR5/4, Farbe innen: 5YR5/4
Erh.: 1 Bodenfrgt.
BDm: 7 cm, erh. H: 3,1 cm
Dat.: 1. Jh. v. Chr. – 1. Jh. n Chr.
Par.: Bezeczky 2013, Taf. 9, 92. 93; 548. 549.

## *SE 1033*

**K 340 Schale** **Taf. 79**
AO: GHD, Inv. E-TR 11-SO2-1033-248/K1
Gattung: Red Slip-Ware/ERSW (?)
Ton: 5YR5/6, 7.5YR6/4 (Kern), mittelhart, fein, dicht, Poren – fein, einzeln, Glimmer – fein, viel
Farbe außen: 5YR6/4, Farbe innen: 10R4/8
Überzug: innen und Rand außen, teilweise abgerieben, matt
Dekor: Ritzung vor Brand, Wellenband Rand außen
Erh.: 1 Randfrgt.
RDm: 10,8 cm unregelmäßig, erh. H: 3,7 cm
Dat.: 6. Jh. n. Chr.
Par.: Hayes 1972, Abb. 70; Form 9.

**K 341 Amphore** **Taf. 79**
AO: GHD, Inv. E-TR 11-SO2-1033-248/K2
Typ: LRA 3
Ton: 10R5/6, mittelhart, fein, dicht, Glimmer – fein, viel
Farbe außen: 10R5/6, Farbe innen: 2.5YR5/4
Erh.: 1 Knauffrgt.
Knauf-Dm: 3,7 cm, erh. H: 4,2 cm
Dat.: 6. Jh. n. Chr.
Par.: Ladstätter 2008, K 428.

## *SE 1029*

**K 342 Teller** **Taf. 79**
AO: GHD, Inv. E-TR 11-SO2-1029-240/K1
Gattung: LRC
Typ: Hayes 1B
Ton: 10R5/6, hart, fein, kompakt, beige ES – fein, viel
Farbe außen: 10R4/6, bei Rand bis 5YR2.5/1, Farbe innen: 10R4/6
Überzug: flächig, teilweise abgerieben, matt
Erh.: 1 Randfrgt.
RDm: 40 cm, erh. H: 3,25 cm
Dat.: 5. Jh. n. Chr.
Par.: Hayes 1972, Abb. 65, 3. 4.

**K 343 Teller** **Taf. 79**
AO: GHD, Inv. E-TR 11-SO2-1029-240/K2
Gattung: LRC
Typ: Variante Hayes 4
Ton: 2.5YR5/8, hart, fein, kompakt, beige/weiße ES – fein bis mittelfein, mittelviel, Glimmer – fein, sehr wenig
Farbe außen: 10R5/8, Farbe innen: 10R5/8
Überzug: flächig, teilweise abgerieben, matt
Erh.: 1 Randfrgt.
RDm: 25,4 cm, erh. H: 3,25 cm
Dat.: 5. Jh. n. Chr.
Par.: Ladstätter – Sauer 2005 Nr. 79. 81.

**K 344 Teller** **Taf. 79**
AO: GHD, Inv. E-TR 11-SO2-1029-239/K1
Gattung: LRC
Ton: 10R6/6, hart, fein, kompakt, weiße/beige ES – fein, mittelviel, Glimmer – fein, wenig
Farbe außen: 10R5/8, Farbe innen: 10R5/8
Erh.: 1 Bodenfrgt.
BDm: 10–12 cm, erh. H: 2,4 cm
Dat.: 5.–6. Jh. n. Chr.

**K 345 Krug** **Taf. 80**
AO: GHD, Inv. E-TR 11-SO2-1029-239/K3
Gattung: Gebrauchskeramik
Ton: 2.5YR4/6, hart, fein, kompakt, beige ES – fein, wenig, Glimmer – fein, wenig
Farbe außen: 10R2.5/1, Farbe innen: 10R6/4
Überzug: flächig, teilweise abgerieben, matt
Erh.: 1 Randfrgt.
RDm: 22 cm, erh. H: 3 cm
Dat.: 2.–3. Jh. n. Chr.
Par.: Ladstätter 2008, K 78. 84; Ladstätter 2010d, K 467.

**K 346 Schüssel** **Taf. 80**
AO: GHD, Inv. E-TR 11-SO2-1029-239/K4
Gattung: Gebrauchskeramik
Ton: 10R5/8, hart, fein, dicht, Glimmer – viel, fein
Farbe außen: 7.5YR8/3, Farbe innen: 7.5YR8/3
Erh.: 1 Randfrgt.
RDm: 15 cm, erh. H: 2 cm
Dat.: 5.–6. Jh. n. Chr.
Par.: Gassner 1997, Kat. 672.

**K 347 Schüssel** **Taf. 80**
AO: GHD, Inv. E-TR 11-SO2-1029-240/K12
Gattung: Gebrauchskeramik
Ton: 5YR6/6, hart, fein, kompakt, Poren – mittelgroß bis fein, einzeln, weiße und graue ES – fein, wenig, Glimmer – fein, viel
Farbe außen: 5YR8/3, Farbe innen: 5YR8/3
Erh.: 1 Randfrgt.
RDm: 56 cm, erh. H: 3,7 cm
Dat.: 6. Jh. n. Chr.
Par.: K 394.

**K 348 Schüssel** **Taf. 80**
AO: GHD, Inv. E-TR 11-SO2-1029-239/K8
Gattung: Gebrauchskeramik/Küchenware
Ton: 2.5YR4/4, mittelhart, mittelfein, feinporös, weiße ES – fein bis mittelfein, mittelviel, schwarze ES – mittelfein, einzeln, Glimmer – fein, viel
Farbe außen: 5YR5/2, Farbe innen: 2.5YR5/3
Erh.: 1 Randfrgt.
RDm: zu wenig erhalten, erh. H: 7 cm
Dat.: 5.–6. Jh. n. Chr.
Par.: Gassner 1997, Kat. 670; Lüdorf 2006, S VI; Rowe 2004, Abb. 79, 7–9.

**K 349 Schüssel** **Taf. 80**
AO: GHD, Inv. E-TR 11-SO2-1029-239/K6
Gattung: Gebrauchskeramik/Küchenware
Ton: 2.5YR6/6–2.5YR4/1, hart, mittelfein, feinporös, weiße ES – fein bis mittelfein, viel, Glimmer – fein, viel
Farbe außen: 2.5YR5/1, Farbe innen: 5YR5/1–2.5YR6/3
Erh.: 1 Randfrgt.
RDm: 24 cm, erh. H: 4,05 cm
Dat.: 5.–6. Jh. n. Chr.
Par.: K 348.

**K 350 Schüssel** **Taf. 80**
AO: GHD, Inv. E-TR 11-SO2-1029-239/K7
Gattung: Gebrauchskeramik/Küchenware
Ton: 10R6/6, 7.5YR5/1 (Kern), hart, fein, feinporös, Glimmer – fein, viel
Farbe außen: 5YR5/2, Farbe innen: 5YR6/4
Erh.: 1 Randfrgt.
RDm: 25 cm, erh. H: 3,7 cm
Dat.: 5.–6. Jh. n. Chr.
Par.: K 348.

**K 351 Schüssel** **Taf. 80**
AO: GHD, Inv. E-TR 11-SO2-1029-240/K9
Gattung: Gebrauchskeramik/Küchenware
Ton: 7.5YR5/4, Gley 1 6/N (Kern), hart, fein bis mittelfein, feinporös, weiße ES – fein, einzeln, hellbraune ES – fein bis mittelfein, mittelviel, Glimmer – fein bis mittelfein, viel
Farbe außen: 10R5/1, Farbe innen: 7.5YR5/1
Erh.: 1 Randfrgt.
RDm: 25 cm, erh. H: 4,3 cm
Dat.: 5.–6. Jh. n. Chr.
Par.: K 348.

**K 352 Schüssel** **Taf. 80**
AO: GHD, Inv. E-TR 11-SO2-1029-239/K11
Gattung: Gebrauchskeramik/Küchenware
Ton: 10R4/4, mittelhart, mittelfein, feinporös, weiße und graue ES – fein bis mittelfein, eher wenig, Glimmer – fein, viel, eventuell ähnlich Lüdorf S IV
Farbe außen: 10R5/1, Farbe innen: 10R5/1
Erh.: 1 Randfrgt.
RDm: 25 cm, erh. H: 2,7 cm
Dat.: 5.–6. Jh. n. Chr.
Par.: K 348.

**K 353 Schüssel** **Taf. 80**
AO: GHD, Inv. E-TR 11-SO2-1029-241/K2
Gattung: Gebrauchskeramik
Ton: 2.5YR6/6, 7.5YR5/1 (Kern), hart, fein, feinporös, rötliche ES – fein, einzeln, weiße ES – grob (ca. 1 mm groß), einzeln
Farbe außen: 2.5YR6/6, Farbe innen: 5YR6/3
Erh.: 1 Randfrgt.
RDm: 11 cm, erh. H: 3,5 cm
Dat.: 5.–6. Jh. n. Chr.
Par.: K 348.

**K 354 Pithos** **Taf. 81**
AO: GHD, Inv. E-TR 11-SO2-1029-239/K5
Gattung: Gebrauchskeramik
Ton: 2.5YR5/6, 7.5YR5/4 (Kern), mittelhart, fein, feinporös, beige ES – mittelfein, einzeln, Glimmer – fein, viel
Farbe außen: 2.5YR6/6, Farbe innen: 2.5YR6/6
Erh.: 1 Randfrgt.
RDm: 46 cm, erh. H: 4,5 cm
Dat.: Ende 5./6.– 7. Jh. n. Chr.
Par.: K 378.

**K 355 Schüssel/Eimer (?)** **Taf. 81**
AO: GHD, Inv. E-TR 11-SO2-1029-240/K3
Gattung: Gebrauchskeramik
Ton: 2.5YR6/6, hart, fein, dicht, Glimmer – fein, sehr viel
Farbe außen: 5YR7/4, Farbe innen: 10R7/4
Erh.: 1 Bodenfrgt.
BDm: 17 cm, erh. H: 4,65 cm
Dat.: –.

**K 356 Schüssel** **Taf. 81**
AO: GHD, Inv. E-TR 11-SO2-1029-239/K14
Gattung: Gebrauchskeramik
Ton: 7.5YR8/4, hart, fein, dicht, weiße und graue ES – fein, wenig, Glimmer – fein, wenig
Farbe außen: 7.5YR8/4, Farbe innen: 7.5YR8/3
Erh.: 1 Bodenfrgt.
BDm: 18 cm, erh. H: 6,6 cm
Dat.: –.

**K 357 Schüssel** **Taf. 81**
AO: GHD, Inv. E-TR 11-SO2-1029-240/K5
Gattung: Gebrauchskeramik
Ton: 10R6/8, hart, fein, dicht bis auf einzelne kleine Poren, weiße ES – fein, mittelviel, graue ES – grob (gut 1 mm groß), einzeln, Glimmer – fein, wenig
Farbe außen: 10R6/6, Farbe innen: 10R6/6
Erh.: 1 Bodenfrgt.
BDm: 12 cm, erh. H: 5,8 cm
Dat.: –.

**K 358 Deckel** **Taf. 81**
AO: GHD, Inv. E-TR 11-SO2-1029-239/K13
Gattung: Gebrauchskeramik
Ton: 2.5YR6/6, hart, fein, kompakt, Poren – fein, einzeln, beige ES – fein, wenig, Glimmer – fein, einzeln
Farbe außen: 2.5YR7/4, Farbe innen: 2.5YR7/4
Erh.: 1 Randfrgt.
RDm: 40 cm, erh. H: 1,15 cm.
Dat.: –.

**K 359 Deckel** **Taf. 81**
AO: GHD, Inv. E-TR 11-SO2-1029-239/K2
Gattung: Gebrauchskeramik
Ton: 2.5YR5/6, hart, fein, feinporös, Glimmer – fein, wenig
Farbe außen: 7.5YR7/4, Farbe innen: 5YR7/6
Erh.: 1 Randfrgt.
RDm: 26 cm, erh. H: 1,7 cm
Dat.: 1.–3. Jh. n. Chr.
Par.: Ladstätter 2010a, A-K 692–696.

**K 360 Deckel** **Taf. 81**
AO: GHD, Inv. E-TR 11-SO2-1029-240/K4
Gattung: Gebrauchskeramik
Ton: 2.5YR6/8, mittelhart, fein, dicht, Glimmer – fein, viel, einzelne Goldglimmerschuppen
Farbe außen: 2.5YR7/6, Farbe innen: 2.5YR7/6
Erh.: 1 Knauffrgt.
erh. H: 3,2 cm
Dat.: –.

**K 361 Teller** **Taf. 81**
AO: GHD, Inv. E-TR 11-SO2-1029-239/K10
Gattung: Küchenware
Ton: 10R6/8, hart, mittelfein, feinporös, weiße, orange und graue ES – mittelfein bis fein, mittelviel, Glimmer – sehr fein, wenig
Farbe außen: 2.5YR2.5/1, Farbe innen: 10R5/1
Erh.: 2 Rand- und Bodenfrgte.
RDm: 27 cm, erh. H: 5,4 cm
Dat.: 2.–3. Jh. n. Chr.
Par.: Gassner 1997, Kat. 748. 749 (ähnlich); Ladstätter 2008, K 120.

**K 362 Topf** **Taf. 81**
AO: GHD, Inv. E-TR 11-SO2-1029-240/K10
Gattung: Küchenware
Ton: 10R5/8, hart, fein, feinporös bis dicht, weiße und graue ES – fein, einzeln, Glimmer – fein, mittelviel
Farbe außen: 5YR5/1, Farbe innen: 10R6/6
Erh.: 1 Randfrgt.
RDm: 16,4 cm, erh. H: 1,2 cm
Dat.: 1.–3. Jh. n. Chr.
Par.: K 140.

**K 363 Topf** **Taf. 81**
AO: GHD, Inv. E-TR 11-SO2-1029-240/K7
Gattung: Küchenware
Ton: 5YR7/6, Gley 1 6/N (Kern), hart, fein, dicht, Poren – fein, einzeln, beige ES – fein bis mittelfein, eher wenig, graue ES – fein, einzeln, Glimmer – fein, mittelviel; vgl. Hanghaus 2, Wohneinheit 4, K 454
Farbe außen: Gley 1 4/N, Farbe innen: 7.5YR7/4, bei Rand Gley1 4/N
Erh.: 1 Randfrgt.
RDm: 20 cm, erh. H: 4 cm
Dat.: 1.–3. Jh. n. Chr.
Par.: K 239.

**K 364 Topf** **Taf. 82**
AO: GHD, Inv. E-TR 11-SO2-1029-239/K9
Gattung: Küchenware
Ton: 10R4/6, hart, fein, feinporös, weiße ES – fein, einzeln, Glimmer – fein, viel
Farbe außen: 7.5YR4/2, Farbe innen: 2.5YR6/2
Erh.: 1 Randfrgt.
RDm: 15 cm, erh. H: 3,8 cm
Dat.: 5./Anfang 6. Jh. n. Chr.
Par.: K 329.

**K 365 Topf** **Taf. 82**
AO: GHD, Inv. E-TR 11-SO2-1029-241/K1
Gattung: Küchenware
Ton: 2.5YR3/6, mittelhart, mittelfein bis fein, porös, beige ES – fein bis mittelfein, mittelviel, Glimmer – fein, viel
Farbe außen: 7.5YR2.5/1, Farbe innen: 10R5/2
Erh.: 1 Randfrgt.
RDm: 17 cm, erh. H: 4,3 cm
Dat.: 5./Anfang 6. Jh. n. Chr.
Par.: K 329.

**K 366 Topf** **Taf. 82**
AO: GHD, Inv. E-TR 11-SO2-1029-239/K12
Gattung: Küchenware
Ton: 7.5YR3/2, mittelhart, mittelfein, feinporös, weiße ES – fein bis mittelfein, mittelviel, dunkelbraun graue ES – mittelfein, wenig, Glimmer – fein, viel
Farbe außen: 5YR4/1, Farbe innen: 5YR4/1
Erh.: 1 Randfrgt.
RDm: 15 cm, erh. H: 1,8 cm
Dat.: frühes 5.–6. Jh. n. Chr.
Par.: K 252.

**K 367 Pfanne** **Taf. 82**
AO: GHD, Inv. E-TR 11-SO2-1029-240/K8
Gattung: Küchenware
Ton: Gley 1 2.5/N, hart, fein, feinporös, bräunliche, weiße und gräuliche ES – fein bis mittelfein, einzeln, Glimmer – fein, viel
Farbe außen: Gley 1 2.5/N, Farbe innen: 7.5YR5/1
Erh.: 1 Randfrgt.
RDm: 32 cm, erh. H: 3,2 cm
Dat.: spätes 6./1. Hälfte 7. Jh. n. Chr.
Par.: K 331.

**K 368 Krug** **Taf. 82**
AO: GHD, Inv. E-TR 11-SO2-1029-240/K6
Ton: 10R6/8, hart, fein, sehr feinporös bis dicht, weiße ES – fein, eher wenig, Glimmer – fein, wenig
Farbe außen: 10R6/6, Farbe innen: 10R6/6
Erh.: 1 Bodenfrgt.
BDm: 4,7 cm, erh. H: 1,4 cm
Dat.: –

**K 369 Amphore** **Taf. 82**
AO: GHD, Inv. E-TR 11-SO2-1029-239/K15
Typ: LRA 3
Ton: 10R5/6 nach außen 7.5YR6/4 nach innen (Kern), mittelhart, fein, dicht, Glimmer – fein, viel
Farbe außen: 10R6/6, Farbe innen: 10YR6/1
Erh.: 1 Bodenfrgt.
BDm: 4,15 cm, erh. H: 3 cm
Dat.: 5.–6. Jh. n. Chr.
Par.: Ladstätter 2008, K 441. 535; Ladstätter 2010d, K 1002.

**K 370 Amphore** **Taf. 82**
AO: GHD, Inv. E-TR 11-SO2-1029-240/K14
Typ: LRA 3
Ton: 10R5/8, mittelhart, fein, dicht, Glimmer – fein bis mittelfein, viel
Farbe außen: 10R6/4, Farbe innen: 10R6/4
Erh.: 1 Bodenfrgt.
BDm: 3,6 cm, erh. H: 2,6 cm
Dat.: 4.–6. Jh. n. Chr.
Par.: Ladstätter 2010d, K 1004.

**K 371 Amphore** **Taf. 82**
AO: GHD, Inv. E-TR 11-SO2-1029-240/K11
Typ: Samos Cistern Type, lokal
Ton: 10R5/8, hart, fein, dicht, weiße ES – fein bis mittelfein, wenige, Glimmer – fein, viel
Farbe außen: 10R6/8, Farbe innen: 10R6/8
Erh.: 1 Randfrgt. mit Henkel
RDm: 9,2 cm, erh. H: 6,8 cm
Dat.: Mitte – 2. Hälfte 6. Jh. n. Chr.

## *SE 1032*

**K 372 Teller** **Taf. 82**
AO: GHD, Inv. E-TR 11-SO2-1032-247/K1
Gattung: ARS
Typ: Hayes 50B
Ton: 10R5/8, hart, fein, dicht, weiße ES – fein, wenig, Glimmer – sehr fein, mittelviel
Farbe außen: 10R4/8, Farbe innen: 10R4/8
Überzug: flächig, kompakt, mattglänzend
Erh.: 1 Randfrgt.
RDm: ca. 30 cm, erh. H: 2,8 cm
Dat.: 350–400 n. Chr.
Par.: K 225.

**K 373 Teller** **Taf. 82**
AO: GHD, Inv. E-TR 11-SO2-1032-247/K2
Gattung: LRC
Typ: Hayes 1A
Ton: 10R5/6, hart, mittelfein, feinporös, weiße und graue ES – fein, mittelviele bis viele
Farbe außen: 10R4/6, Farbe innen: 10R4/6
Überzug: flächig, teilweise abgerieben, mattglänzend
Erh.: 2 Rand- und Bodenfrgt.
RDm: 34 cm, erh. H: 3,05 cm

Dat.: 5. Jh. n. Chr.
Par.: Hayes 1972, Abb. 65, 1.

**K 374 Schale** **Taf. 82**
AO: GHD, Inv. E-TR 11-SO2-1032-247/K3
Gattung: LRC
Typ: Variante Hayes 8
Ton: 2.5YR6/8, hart, fein, dicht, weiße ES – fein, wenig
Farbe außen: 10R5/8, Farbe innen: 10R5/8
Überzug: flächig, teilweise abgerieben, matt
Erh.: 1 Randfrgt.
RDm: 17 cm, erh. H: 2,5 cm
Dat.: 2. Hälfte 5. Jh. n. Chr.
Par.: Ladstätter 2010d, K 823; Hayes 1972, Abb. 70, 1. 2.

**K 375 Schale** **Taf. 83**
AO: GHD, Inv. E-TR 11-SO2-1032-247/K5
Gattung: Red Slip-Ware/Mäandertal-Sigillata
Ton: 10R4/8, 2.5YR5/6 (Kern), eher weich, fein, dicht, schiefrig brechend, weiße ES – sehr fein, wenig, Glimmer – sehr fein, viel
Farbe außen: 10R5/6, Farbe innen: 10R4/8
Überzug: flächig, abgerieben, matt
Erh.: 1 Randfrgt.
RDm: 18 cm, erh. H: 3,2 cm
Dat.: 6. Jh. n. Chr. (?)
Par.: K 318; Ladstätter 2008, K 237.

**K 376 Teller** **Taf. 83**
AO: GHD, Inv. E-TR 11-SO2-1032-247/K6
Gattung: Red Slip-Ware/Mäandertal-Sigillata (?)
Ton: 2.5YR5/6, 7.5YR6/6 (Kern), mittelhart, fein, dicht, weiße ES – mittelfein, länglich, einzeln, Glimmer – fein, viel
Farbe außen: 10R5/8, Farbe innen: 5YR5/6
Überzug: flächig, viel abgerieben, glänzend
Erh.: 1 Bodenfrgt.
BDm: 21 cm, erh. H: 2,05 cm
Dat.: 6. Jh. n. Chr. (?).

**K 377 Flasche/Krug (?)** **Taf. 83**
AO: GHD, Inv. E-TR 11-SO2-1032-258/K2
Gattung: Gebrauchskeramik
Ton: 2.5YR5/6, hart, fein, dicht, weiße ES – fein, einzeln, Glimmer – fein, wenig
Farbe außen: 7.5YR7/4, Farbe innen: 7.5YR7/4
Erh.: 1 Randfrgt.
RDm: 5,4 cm, erh. H: 4,35 cm
Dat.: 2. Jh. n. Chr. – spätrömisch (?)
Par.: Ladstätter 2008, K 449 (ähnlich); Ladstätter 2010a, A-K 631.

**K 378 Pithos/Eimer (?)** **Taf. 83**
AO: GHD, Inv. E-TR 11-SO2-1032-258/K3
Gattung: Gebrauchskeramik
Ton: 2.5YR5/6, hart, fein, dicht, weiße und dunkelgraue ES – fein, wenige, Glimmer – fein, viel
Farbe außen: 5YR6/6, Farbe innen: 2.5YR6/8
Erh.: 2 Randfrgte.
RDm: 59,2 cm, erh. H: 5,8 cm
Dat.: Ende 5./6.–7. Jh. n. Chr.
Par.: Turnovsky 2005b, Abb. 5.2; Turnovsky 2005a, Abb. 3, 5.

**K 379 Teller** **Taf. 83**
AO: GHD, Inv. E-TR 11-SO2-1032-247/K7
Gattung: Gebrauchskeramik
Ton: 5YR5/6, 10YR5/2 (Kern), mittelhart, fein, dicht, weiße ES – fein, einzeln, Glimmer – fein, viel
Farbe außen: 5YR6/4 – 5YR2.5/1, Farbe innen: 5YR6/6
Erh.: 1 Bodenfrgt.
BDm: 19 cm, erh. H: 2 cm
Dat.: spätantik (?)
Par.: K 292. 293.

**K 380 Schüssel** **Taf. 83**
AO: GHD, Inv. E-TR 11-SO2-1032-258/K6
Gattung: Gebrauchskeramik
Ton: 10R5/6, 2.5YR5/6 (Kern), hart, fein, dicht, Poren – fein, einzeln, beige und graue ES – fein, einzeln, Glimmer – fein, viel
Farbe außen: 5YR8/3, Farbe innen: 5YR8/3
Erh.: 1 Bodenfrgt.
BDm: 27 cm, erh. H: 2,7 cm
Dat.: –.

**K 381 Geschlossenes Gefäß** **Taf. 83**
AO: GHD, Inv. E-TR 11-SO2-1032-258/K4
Gattung: Gebrauchskeramik
Ton: 5YR6/6, 5YR5/3 (Kern), sehr hart, fein, kompakt, Glimmer – sehr fein, mittelviel
Farbe außen: 5YR6/6, Farbe innen: 5YR6/4
Erh.: 1 Bodenfrgt.
BDm: 8,4 cm, erh. H: 2,7 cm
Dat.: –.

**K 382 Geschlossenes Gefäß** **Taf. 83**
AO: GHD, Inv. E-TR 11-SO2-1032-258/K5
Gattung: Gebrauchskeramik
Ton: 5YR6/6 , hart, fein, dicht, weiße ES – fein, wenig, Glimmer – fein, viel
Farbe außen: 5YR7/4, Farbe innen: 5YR7/6
Erh.: 1 Bodenfrgt.
BDm: 4,2 cm, erh. H: 1,55 cm
Dat.: –.

**K 383 Topf** **Taf. 83**
AO: GHD, Inv. E-TR 11-SO2-1032-247/K9
Gattung: Küchenware
Ton: 10YR3/4, 10YR3/2 (Kern), hart, fein, dicht, weiße ES – fein, mittelviel, Glimmer – fein, viel
Farbe außen: 10YR4/1, Farbe innen: 10YR4/1
Erh.: 1 Randfrgt.
RDm: 19 cm, erh. H: 2,6 cm

Dat.: 5.–6. Jh. n. Chr.
Par.: Gassner 1997, 726; Ladstätter 2008, K 214. 524.

**K 384 Pfanne** **Taf. 83**
AO: GHD, Inv. E-TR 11-SO2-1032-247/K10
Gattung: Küchenware
Ton: 2.5YR2.5/1, hart, mittelfein, dicht, beige ES – fein bis mittelgrob, mittelviel, Glimmer – fein, viel
Farbe außen: 2.5YR2.5/1, Farbe innen: 2.5YR2.5/1
Erh.: 1 Randfrgt.
RDm: 29 cm, erh. H: 3,3 cm
Dat.: spätes 6./1. Hälfte 7. Jh. n. Chr.
Par.: K 331.

**K 385 Deckel** **Taf. 83**
AO: GHD, Inv. E-TR 11-SO2-1032-258/K1
Gattung: Küchenware
Ton: 5YR4/6, mittelhart, mittelgrob, dicht, weiße, braune und graue ES – fein bis grob (gut 1 mm groß), mittelviele, Glimmer – mittelfein, viel
Farbe außen: 5YR5/4, Farbe innen: 5YR5/4
Erh.: 1 Randfrgt.
RDm: 23 cm, erh. H: 1,4 cm
Dat.: 5. Jh. n. Chr.
Par.: Turnovsky 2005a, Abb. 2, 10.

**K 386 Deckel** **Taf. 83**
AO: GHD, Inv. E-TR 11-SO2-1032-247/K8
Gattung: Küchenware
Ton: 2.5YR4/8, 2.5YR4/3 (Kern), hart, fein, dicht, weiße ES – fein, mittelviel, Glimmer – fein, viel
Farbe außen: 5YR5/2, Farbe innen: 2.5YR5/4
Erh.: 1 Knauffrgt.
Knauf-Dm: 3,8 cm, erh. H: 1,55 cm
Dat.: –.

**K 387 Amphore** **Taf. 83**
AO: GHD, Inv. E-TR 11-SO2-1032-247/K11
Ton: 10YR7/4 nach außen, 7.5YR7/4 nach innen, hart, mittelgrob, dicht, Poren – fein, einzeln, weiße, graue und bräunliche ES – fein bis grob (gut 1 mm groß), viel
Farbe außen: 10YR8/3, Farbe innen: 7.5YR7/4
Farbe Dipinti: 10R4/8
Dekor: mit Dipinti
Erh.: 3 Wandfrgte.
erh. H: 5,5 cm
Dat.: –.

## *SE 1031*

**K 388 Teller** **Taf. 83**
AO: GHD, Inv. E-TR 11-SO2-1031-246/K3
Gattung: ARS
Typ: Hayes 67
Ton: 10R6/8, hart, fein, sehr feinporös, rote ES – fein, einzeln, Glimmer – fein, wenig
Farbe außen: 10R5/8, Farbe innen: 10R5/8
Überzug: flächig, kompakt, mattglänzend
Erh.: 1 Randfrgt.
RDm: 40 cm, erh. H: 2,1 cm
Dat.: ca. 360–470 n. Chr.
Par.: Hayes 1972, Abb. 19, 17.

**K 389 Becher** **Taf. 83**
AO: GHD, Inv. E-TR 11-SO2-1031-255/K1
Gattung: dünnwandige Keramik
Ton: 2.5YR6/8, hart, fein, dicht, Poren – fein, länglich, einzeln, weiße ES – fein, einzeln, Glimmer – fein, wenig
Farbe außen: 10R6/6, Farbe innen: 10R6/6
Erh.: 1 Randfrgt.
RDm: 14 cm, erh. H: 1,9 cm
Dat.: 2. Jh. n. Chr.
Par.: Ladstätter 2010a, A-K 628.

**K 390 Kleeblattkanne** **Taf. 83**
AO: GHD, Inv. E-TR 11-SO2-1031-255/K2
Gattung: Gebrauchskeramik
Ton: 2.5YR6/6, sehr hart, fein, dicht, weiße ES – fein, vereinzelt
Farbe außen: 7.5YR7/4, Farbe innen: 7.5YR7/4
Erh.: 1 Randfrgt.
erh. H: 1,5 cm
Dat.: 2.–3. Jh. n. Chr.
Par.: Ladstätter 2005, K 766.

**K 391 Topf** **Taf. 84**
AO: GHD, Inv. E-TR 11-SO2-1031-246/K11
Gattung: Gebrauchskeramik
Ton: 2.5YR6/6, mittelhart, fein, feinporös, weiße ES – fein, einzeln, Glimmer – fein, viel
Farbe außen: 5YR7/4, Farbe innen: 10R5/8
Überzug: innen, abgerieben, matt
Erh.: 1 Randfrgt.
RDm: 40 cm, erh. H: 3 cm
Dat.: 1. Jh. n. Chr.
Par.: Meriç 2002, K 734–736.

**K 392 Topf** **Taf. 84**
AO: GHD, Inv. E-TR 11-SO2-1031-246/K4
Gattung: Gebrauchskeramik
Ton: 10R5/8, sehr hart, fein, kompakt, graue und beige/weiße ES – fein bis grob (ca. 1 mm groß), einzeln, Glimmer – fein, wenig
Farbe außen: 2.5YR6/1, Farbe innen: 10R5/4
Erh.: 1 Randfrgt.
RDm: 12,4 cm, erh. H: 2,4 cm
Dat.: 3.–4. Jh. n. Chr. (?)
Par.: Ladstätter 2005, K 790; Ladstätter 2010d, K 193.

**K 393 Schüssel** **Taf. 84**
AO: GHD, Inv. E-TR 11-SO2-1031-246/K2
Gattung: Gebrauchskeramik
Ton: 2.5YR5/8, 2.5Y6/3 (Kern), mittelhart, fein, feinpo-

rös, weiße und graue ES – mittelfein, vereinzelt, Glimmer – fein, viel
Farbe außen: 2.5YR6/6, Farbe innen: 10R5/8–2.5YR4/3
Überzug: innen und Rand außen, teilweise abgerieben, matt
Erh.: 1 Randfrgt.
RDm: 20 cm, erh. H: 3,3 cm
Dat.: –.

**K 394 Schüssel** **Taf. 84**
AO: GHD, Inv. E-TR 11-SO2-1031-246/K5
Gattung: Gebrauchskeramik
Ton: 5YR7/4, hart, fein, feinporös, Glimmer – fein, viel
Farbe außen: 5YR8/3, Farbe innen: 5YR8/3
Erh.: 1 Randfrgt.
RDm: 46 cm, erh. H: 2,65 cm
Dat.: 6. Jh. n. Chr.
Par.: Meriç 2002, K 790; Gassner 1997, 666. 667; Ladstätter 2008, K 476; Ladstätter 2010d, K 247. 313.

**K 395 Topf** **Taf. 84**
AO: GHD, Inv. E-TR 11-SO2-1031-246/K10
Gattung: Gebrauchskeramik
Ton: 5YR4/6, hart, fein, dicht, weiße ES – fein bis mittelfein, einzeln, Glimmer – fein, eher wenig
Farbe außen: 2.5YR5/4, Farbe innen: 2.5YR5/4
Erh.: 1 Randfrgt.
RDm: 14 cm, erh. H: 3 cm
Dat.: 5. Jh. n. Chr.
Par.: Ladstätter 2010d, K 195 (ähnlich); Warner Slane 2005, Abb. 3, 1–42; 4, 1–41.

**K 396 Geschlossenes Gefäß** **Taf. 84**
AO: GHD, Inv. E-TR 11-SO2-1031-246/K6
Gattung: Gebrauchskeramik
Ton: 7.5YR8/3, hart, fein, dicht, weiße und graue ES – fein, wenig, Glimmer – fein, viel
Farbe außen: 7.5YR8/2, Farbe innen: 7.5YR8/2
Erh.: 1 Bodenfrgt.
BDm: 12 cm, erh. H: 4,04 cm
Dat.: –.

**K 397 Pfanne** **Taf. 84**
AO: GHD, Inv. E-TR 11-SO2-1031-246/K9
Gattung: Küchenware
Ton: 2.5YR6/6, hart, mittelfein, dicht – feinporös, weiße, beige, hell- und dunkelgraue ES – fein bis mittelfein, mittelviel, Glimmer – fein, viel
Farbe außen: 5YR5/2, Farbe innen: 5YR5/2
Erh.: 1 Randfrgt.
RDm: 29 cm, erh. H: 2,9 cm
Dat.: spätes 6./1. Hälfte 7. Jh. n. Chr.
Par.: K 331.

**K 398 Topf** **Taf. 84**
AO: GHD, Inv. E-TR 11-SO2-1031-246/K7
Gattung: Küchenware
Ton: 5YR4/2, hart, mittelfein, dicht, beige und schwarze ES – fein bis mittelfein, mittelviel, Glimmer – fein, eher wenig
Farbe außen: 5YR4/1, Farbe innen: 5YR4/1
Erh.: 1 Randfrgt.
RDm: 17 cm, erh. H: 4,1 cm
Dat.: frühes 5.–6. Jh. n. Chr.
Par.: K 252.

**K 399 Topf** **Taf. 84**
AO: GHD, Inv. E-TR 11-SO2-1031-246/K8
Gattung: Küchenware
Ton: 7.5YR5/1, hart, mittelgrob, dicht, weiße, gelbliche und hellgraue ES – fein bis grob (bis zu ca. 1,5 mm groß), mittelviel, Glimmer – fein, viel
Farbe außen: 2.5YR5/1, Farbe innen: 2.5YR5/2
Erh.: 1 Randfrgt.
Dat.: frühes 5.–6. Jh. n. Chr.
Par.: K 252.

**K 400 Amphore** **Taf. 84**
AO: GHD, Inv. E-TR 11-SO2-1031-246/K12
Typ: Peacock – Williams 45/LRA 3
Ton: 7.5YR4/3, mittelhart, fein, dicht, graue ES – länglich, mittelfein, einzeln, beige ES – fein, einzeln, Glimmer – fein, viel
Farbe außen: 5YR5/2, Farbe innen: 5YR4/1–5YR5/2
Erh.: 1 Bodenfrgt.
BDm: 5 cm, erh. H: 2,9 cm
Dat.: 2.–6. Jh. n. Chr.
Par.: Ladstätter 2008, K 440; Ladstätter 2010a, A-K 714. 913; Ladstätter 2010d, K 317.

**K 401 Amphore** **Taf. 84**
AO: GHD, Inv. E-TR 11-SO2-1031-246/K13
Ton: 10YR8/4 nach außen, 7.5YR7/4 nach innen, hart, mittelfein, dicht, bräunliche und graue ES – fein bis mittelfein, viel, Glimmer – mittelfein
Farbe außen: 10YR8/4, Farbe innen: 7.5YR7/4
Dekor: Dipinti: sehr wenig erhalten
Erh.: 1 Wandfrgt.
Dat.: –.

**K 402 Lampe** **Taf. 84**
AO: GHD, Inv. E-TR 11-SO2-1031-246/K1
Typ: ROW-Lampe
Ton: 2.5YR6/4, Farbe innen bis 10R4/6, hart, fein, sehr feinporös, hellgraue ES – fein, vereinzelt, Glimmer – fein, wenig
Farbe außen: 10R5/8, Farbe innen: 10R5/4
Überzug: flächig, teilweise abgerieben, glänzend
Erh.: 1 Schulter
RDm: 7,4 cm, erh. H: 1,8 cm
Dat.: 1.–3. Jh. n. Chr.

*SE 1028*

**K 403 Teller** **Taf. 85**
AO: GHD, Inv. E-TR 11-SO2-1028-233/K1
Gattung: ESB
Typ: Atlante 58
Ton: 10R5/8, mittelhart, fein, dicht, Poren – klein, einzeln, Glimmer – fein, viel
Farbe außen: 10R5/8, Farbe innen: 10R5/8
Überzug: flächig, kompakt, glänzend
Erh.: 1 Randfrgt.
RDm: 18 cm, erh. H: 2,6 cm
Dat.: 50–125 n. Chr.
Par.: Ladstätter 2008, TS 32; Ladstätter 2010a, A-K 281.

**K 404 Teller** **Taf. 85**
AO: GHD, Inv. E-TR 11-SO2-1028-245/K2
Gattung: LRC
Typ: Variation Hayes 4 (?)
Ton: 10R5/8, hart, fein, dicht bis sehr feinporös, hellgraue ES – fein, einzeln
Farbe außen: 10R6/8, Farbe innen: 10R6/8
Überzug: flächig, kompakt, matt
Erh.: 1 Randfrgt.
Dm: zwischen 16 und 20 cm, erh. H: 2,3 cm
Dat.: 5. Jh. n. Chr.
Par.: K 343.

**K 405 Teller** **Taf. 85**
AO: GHD, Inv. E-TR 11-SO2-1028-245/K3
Gattung: LRC
Typ: Variation 32 Hayes 3
Ton: 10R6/6, hart, fein, dicht
Farbe außen: 10R5/8, bei Rand 10R5/4 Farbe innen: 10R6/8
Überzug: flächig, teilweise abgerieben, matt
Erh.: 1 Randfrgt.
RDm: 24 cm, erh. H: 2,1 cm
Dat.: 6. Jh. n. Chr.
Par.: Hayes 1972, Abb. 69, 32.

**K 406 Teller** **Taf. 85**
AO: GHD, Inv. E-TR 11-SO2-1028-233/K10
Gattung: Mäandertal-Sigillata (?)
Ton: 2.5YR5/6, 7.5YR5/3 (Kern), mittelhart bis weich, fein, dicht bis sehr feinporös, Glimmer – fein, viel
Farbe außen: 10R4/6, Farbe innen: 10R4/6
Überzug: flächig, teilweise abgerieben, glänzend
Erh.: 1 Randfrgt.
Dat.: 6. – Anfang 7. Jh. n. Chr.
Par.: Hayes 1972, ARS Form 104 Abb. 92, 3.

**K 407 Flasche** **Taf. 85**
AO: GHD, Inv. E-TR 11-SO2-1028-245/K4
Gattung: dünnwandige Keramik
Ton: 10R4/8, hart, fein, dicht, graue ES – mittelfein, einzeln, Glimmer – fein, viel
Farbe außen: 2.5YR5/3, Farbe innen: 10R5/6
Erh.: 1 Randfrgt.
RDm: 4,4 cm, erh. H: 2,85 cm
Dat.: 1. Jh. n. Chr. (?)
Par.: Ladstätter 2010a, A-K 427. 428 (ähnlich).

**K 408 Becher** **Taf. 85**
AO: GHD, Inv. E-TR 11-SO2-1028-245/K1
Gattung: dünnwandige Keramik, Fehlbrand
Ton: 10R5/6 nach außen, 2.5Y5/1 nach innen, hart, fein, dicht/kompakt, Glimmer – fein, viel
Farbe außen: 10R5/6, Farbe innen: 7.5YR7/2
Erh.: 1 Bodenfrgt.
BDm: 2,6 cm, erh. H: 2,7 cm
Dat.: 1.–3. Jh. n. Chr.
Par.: Ladstätter 2008, K47; Ladstätter 2010a, A-K 438. 439.

**K 409 Schüssel** **Taf. 85**
AO: GHD, Inv. E-TR 11-SO2-1028-244/K1
Gattung: Gebrauchskeramik
Ton: 2.5YR5/4, Gley 1 5/N (Kern), mittelhart, mittelfein, porös bis feinporös, weiße und hellgraue ES – fein bis mittelfein, mittelviel, Glimmer – fein, viel
Farbe außen: 10YR3/1, Farbe innen: 10R5/4
Erh.: 1 Randfrgt.
RDm: 24 cm, erh. H: 1,8 cm
Dat.: 5.–6. Jh. n. Chr.
Par.: K 348.

**K 410 Geschlossenes Gefäß** **Taf. 85**
AO: GHD, Inv. E-TR 11-SO2-1028-233/K2
Gattung: Gebrauchskeramik
Ton: 2.5Y8/3, hart, mittelfein, feinporös, braune und weiße ES – fein bis mittelfein, mittelviel
Farbe außen: 10YR8/2, Farbe innen: 2.5Y8/1
Erh.: 2 Bodenfrgte.
BDm: 5,4 cm, erh. H: 3,1 cm.
Dat.: –.

**K 411 Eimer** **Taf. 85**
AO: GHD, Inv. E-TR 11-SO2-1028-233/K7
Gattung: Gebrauchskeramik (?)
Ton: 2.5YR4/3 nach außen, Gley 1 4/N nach innen, mit gerader Standfläche, hart, mittelfein, feinporös, weiße und graue ES – fein bis grob (max. bis zu ca. 2 mm), mittelviel, Glimmer – fein, viel
Farbe außen: 2.5YR5/3, Farbe innen: 7.5YR5/1
Erh.: 1 Bodenfrgt.
BDm: 8 cm, erh. H: 1,6 cm
Dat.: 3. Jh. n. Chr. (?)
Par.: Ladstätter 2010a, A-K 664.

**K 412 Teller** **Taf. 85**
AO: GHD, Inv. E-TR 11-SO2-1028-233/K8
Gattung: Küchenware

Ton: 5YR6/6, hart, grob, feinporös, weiße, hellgraue und schwarze ES – fein bis mittelfein, mittelviel, Glimmer – fein bis mittelfein, mittelviel
Farbe außen: 2.5YR6/3 – 5YR6/2, Farbe innen: 10R6/6 – 10R5/3 und 5/1
Erh.: 1 Randfrgt.
RDm: 34 cm, erh. H: 4,9 cm
Dat.: 2.–3. Jh. n. Chr.
Par.: Ladstätter 2010a, A-K 711. 909.

**K 413 Topf** **Taf. 85**
AO: GHD, Inv. E-TR 11-SO2-1028-233/K6
Gattung: Küchenware
Ton: 5YR6/6, 5YR5/2 (Kern), hart, mittelfein, feinporös, beige und graue ES – fein bis mittelfein, mittelviel, Glimmer – fein, viel
Farbe außen: 5YR5/1, Farbe innen: 5YR7/4
Erh.: 1 Randfrgt.
RDm: 17 cm, erh. H: 4,7 cm
Dat.: 5.–6. Jh. n. Chr.
Par.: Zwischenform zwischen Turnovsky 2005a, Abb. 1, 14; Ladstätter 2008, K 353.

**K 414 Topf** **Taf. 85**
AO: GHD, Inv. E-TR 11-SO2-1028-245/K5
Gattung: Küchenware
Ton: 7.5YR4/2, mittelhart, mittelfein, feinporös, weiße ES – fein bis mittelfein, mittelviel, Glimmer – fein, viel
Farbe außen: 2.5YR4/1, Farbe innen: 2.5YR4/1
Erh.: 1 Randfrgt.
RDm: 23 cm, erh. H: 1,6 cm
Dat.: 5.–6. Jh. n. Chr.
Par.: Gassner 1997, Kat. 720. 721.

**K 415 Topf** **Taf. 85**
AO: GHD, Inv. E-TR 11-SO2-1028-232/K1
Gattung: Küchenware
Ton: 7.5YR4/1, mit gerader Standfläche, hart, grob, dicht, weiße ES – fein bis grob (max. 2 mm groß), mittelviele, schwarze und hellbraune ES – fein bis mittelfein, eher wenig, Glimmer – fein, sehr viel
Farbe außen: 5YR4/1, Farbe innen: 5YR5/1
Erh.: 1 Bodenfrgt.
BDm: 7 cm, erh. H: 3 cm
Dat.: 7.–8. Jh. n. Chr.
Par.: Ladstätter 2008, K 587. 592.

**K 416 Amphore** **Taf. 85**
AO: GHD, Inv. E-TR 11-SO2-1028-233/K9
Typ: Peacock – Williams 45
Ton: 10R5/6, mittelhart, fein, feinporös, Glimmer – fein, viel
Farbe außen: 10R6/6, Farbe innen: 10R6/6
Erh.: 1 Bodenfrgt.
BDm: 6,8 cm, erh. H: 4,2 cm
Dat.: spätantik (?)
Par.: K 339.

**K 417 Amphore** **Taf. 85**
AO: GHD, Inv. E-TR 11-SO2-1028-245/K6
Typ: Keay19
Ton: 5YR7/3, weich, mittelfein, dicht, weiße und graue ES – fein bis mittelfein, viele
Farbe außen: 5YR8/2, Farbe innen: 5YR8/2
Erh.: 1 Randfrgt.
RDm: 11 cm, erh. H: 4,7 cm
Dat.: 4.–6. Jh. n. Chr.
Par.: Keay 19.

**K 418 Pilgerfläschchen** **Taf. 86**
AO: GHD, Inv. E-TR 11-SO2-1028-245/K7
Gattung: Reliefkeramik
Ton: 2.5YR5/6, mittelhart, fein, feinporös, Glimmer – viel, fein
Farbe außen: 2.5YR6/6, Farbe innen: 2.5YR7/4
Erh.: 1 Frgt.
RDm: 2 cm, erh. H: 3,9 cm
Dat.: 6. Jh. n. Chr. (?)
Par.: Ladstätter 2011, Abb. 18–20.

**K 419 Lampe** **Taf. 86**
AO: GHD, Inv. E-TR 11-SO2-1028-233/K5
Ton: 5YR5/6, hart, fein, sehr feinporös, Glimmer – fein
Farbe außen: 2.5YR5/6, Farbe innen: 2.5YR5/6
Überzug: flächig, teilweise abgerieben, matt
Erh.: 1 Bodenfrgt.
erh. H: 0,7 cm
Dat.: spätantik
Par.: Ladstätter 2008, K 305 (ähnlich).

## Sondage 3/2011

### *SE 1152*

**K 420 Teller** **Taf. 86**
AO: GHD, Inv. E-TR 11-SO3-1152-345/K1
Gattung: LRC
Typ: ähnlich Hayes 3 Nr. 32
Ton: 10R6/8, hart, fein, dicht, weiße ES – fein, wenig
Farbe außen: 10R6/8, bei Rand: 10YR8/2, Farbe innen: 10R6/8
Überzug: flächig, teilweise abgerieben, matt
Erh.: 1 Randfrgt.
RDm: 25 cm, erh. H: 2,4 cm
Dat.: 5.–6. Jh. n. Chr.
Par.: Hayes 1972, Abb. 69 Form 3 Nr. 32; Ladstätter 2008, K 402; Ladstätter – Sauer 2005, Nr. 81; Liko 2010, Kat. 96 Taf. 101.

**K 421 Krug** **Taf. 86**
AO: GHD, Inv. E-TR 11-SO3-1152-345/K2
Gattung: Gebrauchskeramik
Ton: 2.5YR7/4, hart, fein, dicht, Poren – fein, einzeln, weiße ES – fein, wenig, graue ES – fein bis mittelfein, eher wenig, Glimmer – fein bis mittelfein, mittelviel
Farbe außen: 7.5YR8/2, Farbe innen: 7.5YR8/2

Erh.: 1 Randfrgt.
RDm: 9 cm, erh. H: 1,75 cm.
Dat.: –.

**K 422 Flasche/Krug (?)** **Taf. 86**
AO: GHD, Inv. E-TR 11-SO3-1152-345/K5
Gattung: Gebrauchskeramik
Ton: 2.5YR6/6, hart, fein, dicht, Poren – sehr fein, wenig, weiße ES – fein, wenig, Glimmer – fein, mittelviel
Farbe außen: 5YR7/4, Farbe innen: 5YR7/4
Erh.: 1 Randfrgt.
RDm: 3,8 cm, erh. H: 3,2 cm
Dat.: 2.–4. Jh. n. Chr.
Par.: Ladstätter 2005, K 692.

**K 423 Topf** **Taf. 86**
AO: GHD, Inv. E-TR 11-SO3-1152-345/K4
Gattung: Küchenware
Ton: 2.5YR4/1, hart, mittelfein bis fein, sehr feinporös, weiße und beige hellbraune ES – fein bis mittelfein, mittelviel, Glimmer – fein, viel
Farbe außen: 2.5YR4/1, Farbe innen: 2.5YR5/1
Erh.: 1 Randfrgt.
Dat.: 6. – frühes 7. Jh. n. Chr.
Par.: Turnovsky 2005a, Abb. 2. 1. 2; Turnovsky 2005b, Abb. 8. 4; Ladstätter 2008, K 270. 271; Ladstätter 2010d, K 106; Gassner 1997, Kat. 734. 735.

**K 424 Geschlossenes Gefäß** **Taf. 86**
AO: GHD, Inv. E-TR 11-SO3-1152-345/K6
Gattung: Küchenware
Ton: 7.5YR4/2, 2.5YR5/6 (Kern), hart, grob, dicht, beige ES – fein bis grob (gut 1 mm groß), viel, graue ES – fein, einzeln, Glimmer – fein, viel
Farbe außen: Gley 1 2.5/N, Farbe innen: 2.5YR5/6–2.5YR2.5/1
Dekor: Ritzung vor Brand, Wellenband auf Wand außen
Erh.: 1 Wandfrgt.
Dat.: –.

**K 425 Amphore** **Taf. 86**
AO: GHD, Inv. E-TR 11-SO3-1152-345/K3
Typ: Agora M 273
Ton: 7.5YR6/6, hart, fein, dicht, rötliche, weiße und graue ES – fein bis mittelfein, wenig, Glimmer – fein, viel
Farbe außen: 7.5YR6/4, Farbe innen: 7.5YR6/4
Anmerkung: innen dünne Harzschicht (7.5YR5/1)
Erh.: 1 Randfrgt.
RDm: 10,2 cm, erh. H: 3,1 cm
Dat.: 4.–5. Jh. n. Chr.
Par.: Ladstätter 2008, K 290; Robinson 1959, Taf. 29 M 273.

## *SE 1151 und 1148*

**K 426 Schale** **Taf. 86**
AO: GHD, Inv. E-TR 11-SO3-1151-344/K1
Gattung: ERSW (?)
Typ: Imitat Atlante 60 (?)
Ton: 10R5/6, 7.5YR6/4 (Kern), mittelhart, fein, feinporös, Glimmer – fein, viel
Farbe außen: 2.5YR6/6, Farbe innen: 2.5YR6/6
Überzug: flächig, teilweise abgerieben, matt
Erh.: 1 Randfrgt.
RDm: 27 cm, erh. H: 2,7 cm
Dat.: ab 3. Jh. n. Chr. (?)
Par.: Ladstätter 2005, K 733. 734 (ESB).

**K 427 Teller** **Taf. 86**
AO: GHD, Inv. E-TR 11-SO3-1148-341/K1
Gattung: LRC
Typ: Hayes 3 Variante 32
Ton: 10R6/8, hart, fein, dicht, Poren – fein, einzeln, weiße ES – fein, mittelviel, graue und rötliche ES – fein, einzeln
Farbe außen: 10R4/8, Farbe innen: 10R4/8
Überzug: flächig, kompakt, matt
Erh.: 1 Randfrgt.
RDm: 24 cm, erh. H: 2,9 cm
Dat.: 5.–6. Jh. n. Chr.
Par.: Hayes 1972, Abb. 69 Form 3 Nr. 32; Ladstätter 2008, K 402; Ladstätter – Sauer 2005, Nr. 81.

**K 428 Teller** **Taf. 86**
AO: GHD, Inv. E-TR 11-SO3-1148-341/K2
Gattung: LRC
Ton: 10R5/8, hart, fein, dicht, Poren – fein, einzeln, weiße ES – fein, mittelviel
Farbe außen: 10R6/8, Farbe innen: 10R6/8
Überzug: flächig, kompakt, matt
Dekor: Stempelverzierung, 2 Tierfiguren (Hasen [?]) auf Bodeninnenseite
Erh.: 1 Bodenfrgt.
erh. L: 6,1 cm
Dat.: 5.–6. Jh. n. Chr.
Par.: Hayes 1972, 357 Nr. 35 (Hase).

**K 429 Krug** **Taf. 86**
AO: GHD, Inv. E-TR 11-SO3-1148-341/K3
Gattung: Gebrauchskeramik
Ton: 7.5YR7/4, hart, fein, dicht, Glimmer – fein, mittelviel
Farbe außen: 10YR7/4, Farbe innen: 10YR7/4
Erh.: 1 Randfrgt.
RDm: 9 cm, erh. H: 2,35 cm
Dat.: –.

**K 430 Geschlossenes Gefäß** **Taf. 86**
AO: GHD, Inv. E-TR 11-SO3-1148-341/K4
Gattung: Gebrauchskeramik
Ton: 2.5YR6/6, hart, fein, dicht, Poren – fein, wenig,

weiße ES – fein, wenig, Glimmer – fein, mittelviel bis viel
Farbe außen: 5YR6/6, Farbe innen: 5YR6/6
Erh.: 1 Bodenfrgt.
BDm: 10 cm, erh. H: 1 cm
Dat.: kaiserzeitlich
Par.: Ladstätter 2010a, A-K 472. 474. 476.

**K 431 Geschlossenes Gefäß** **Taf. 86**
AO: GHD, Inv. E-TR 11-SO3-1148-341/K5
Gattung: Gebrauchskeramik
Ton: 5YR6/4, 5YR5/1 (Kern), hart, fein, feinporös bis dicht, beige ES – sehr fein, wenige, Glimmer – fein, viel
Farbe außen: 5YR5/4–5YR5/2, Farbe innen: 5YR5/4–5YR5/2
Erh.: 1 Bodenfrgt.
BDm: 9 cm, erh. H: 3,7 cm
Dat.: –.

**K 432 Geschlossenes Gefäß** **Taf. 86**
AO: GHD, Inv. E-TR 11-SO3-1148-341/K6
Gattung: Gebrauchskeramik
Ton: 5Y8/3 nach außen, 10YR8/3 nach innen, mittelhart, fein, dicht, graue und braune ES – fein bis mittelfein, viel
Farbe außen: 5Y8/3, Farbe innen: 10YR8/3
Erh.: 1 Bodenfrgt.
BDm: 6,6 cm, erh. H: 5 cm
Dat.: –.

**K 433 Krug** **Taf. 87**
AO: GHD, Inv. E-TR 11-SO3-1148-341/K14
Gattung: Küchenware
Ton: 2.5Y5/1 nach innen, 5YR4/4 nach außen, hart, fein, sehr feinporös, Glimmer – fein bis mittelfein, viel
Farbe außen: 7.5YR4/1, Farbe innen: 7.5YR4/1
Erh.: 2 Bodenfrgte.
BDm: 5,6 cm, erh. H: 4,65 cm
Dat.: –.

**K 434 Krug** **Taf. 87**
AO: GHD, Inv. E-TR 11-SO3-1148-341/K15
Gattung: Küchenware
Ton: 5YR5/4, Gley 1 6/10Y (Kern), hart, mittelfein, feinporös, beige ES – fein bis mittelfein, mittelviel, schwarze, weiße und rötlich braune ES – mittelfein, einzeln, Glimmer – fein, viel
Farbe außen: 7.5YR5/2, Farbe innen: 5YR5/3
Erh.: 1 Bodenfrgt.
BDm: 6,4 cm, erh. H: 2,75 cm
Dat.: –.
Par.: K 433.

**K 435 Topf** **Taf. 87**
AO: GHD, Inv. E-TR 11-SO3-1148-341/K12
Gattung: Küchenware
Ton: Gley 1 4/N, hart, mittelfein bis fein, dicht, beige ES – eher fein, eher wenig, Glimmer – fein, viel
Farbe außen: Gley 1 3/N, Farbe innen: Gley 1 3/N
Erh.: 1 Randfrgt.
RDm: 28 cm, erh. H: 1,15 cm
Dat.: 5.–6. Jh. n. Chr.
Par.: K 348.

**K 436 Topf** **Taf. 87**
AO: GHD, Inv. E-TR 11-SO3-1148-341/K9
Gattung: Küchenware
Ton: 10YR4/2, 5YR4/4 (Kern), hart, mittelfein bis fein, porös bis feinporös, weiße bis beige und graue ES – fein bis mittelfein, eher wenig, Glimmer – fein, viel
Farbe außen: 10YR4/1, Farbe innen: 10YR4/1
Erh.: 1 Randfrgt.
RDm: 20 cm, erh. H: 3 cm
Dat.: 5.–6. Jh. n. Chr.
Par.: K 348.

**K 437 Topf** **Taf. 87**
AO: GHD, Inv. E-TR 11-SO3-1151-344/K2
Gattung: Küchenware
Ton: 2.5YR4/4, hart, mittelfein, feinporös, beige ES – mittelfein, mittelviel, graue ES – mittelfein, einzeln, Glimmer – fein, viel
Farbe außen: 7.5YR4/1, Farbe innen: 7.5YR4/1
Erh.: 1 Randfrgt.
RDm: 22 cm, erh. H: 1,7 cm
Dat.: Ende 4./5.–6. Jh. n. Chr.
Par.: Ladstätter 2008, K 526; Turnovsky 2005a, Abb. 1. 1.

**K 438 Topf** **Taf. 87**
AO: GHD, Inv. E-TR 11-SO3-1148-341/K7
Gattung: Küchenware
Ton: 5YR4/4, Gley 1 4/N (Kern), hart, mittelfein, feinporös, beige und weiße ES – fein bis mittelfein, mittelviel, schwarze ES – mittelfein, einzeln, Glimmer – fein, viel
Farbe außen: 7.5YR4/1, Farbe innen: 7.5YR4/1
Erh.: 1 Randfrgt.
RDm: 19,6 cm, erh. H: 4,9 cm
Dat.: Mitte 5.–6. Jh. n. Chr.
Par.: Meriç 2002, K 783. K 785; Turnovsky 2005a, Abb. 1. 6; Ladstätter 2010d, 783–786. 972. 977.

**K 439 Topf** **Taf. 87**
AO: GHD, Inv. E-TR 11-SO3-1148-341/K8
Gattung: Küchenware
Ton: 10YR4/2, hart, mittelfein, dicht, beige ES – fein bis mittelfein, schwarze ES – mittelfein, einzeln, Glimmer – fein, viel
Farbe außen: Gley 1 3/N, Farbe innen: Gley 1 3/N
Erh.: 1 Randfrgt. mit Henkelansatz
RDm: 19 cm, erh. H: 3,2 cm
Dat.: 5.–6. Jh. n. Chr.
Par.: Gassner 1997, 726; Ladstätter 2008, K 214. 524.

**K 440 Topf** **Taf. 87**
AO: GHD, Inv. E-TR 11-SO3-1148-341/K10
Gattung: Küchenware
Ton: 2.5YR2.5/1, 2.5YR4/3 (Kern), hart, fein, feinporös, beige ES – fein bis mittelfein, eher wenig, Glimmer – fein, viel
Farbe außen: 2.5YR2.5/1, Farbe innen: 2.5YR2.5/1
Erh.: 1 Randfrgt.
RDm: 13 cm, erh. H: 2,7 cm
Dat.: 5.–6. Jh. n. Chr.
Par.: Ladstätter 2008, K 213. 419; Turnovsky 2005a, Abb. 1, 14.

**K 441 Amphore** **Taf. 87**
AO: GHD, Inv. E-TR 11-SO3-1148-341/K16
Ton: 2.5Y7/4, hart, mittelfein, dicht, weiße, graue und bräunliche ES – fein bis mittelfein, mittelviel
Farbe außen: 10YR7/4
Farbe Dipinti: 10R4/4
Dekor: Dipinti, Wand außen
Erh.: 2 Wandfrgte.
erh. L: 6,3 cm.
Dat.: –.

**K 442 Amphore** **Taf. 87**
AO: GHD, Inv. E-TR 11-SO3-1148-341/K17
Typ: LRA 3
Ton: 2.5YR5/8 nach außen, 5YR5/2 nach innen, hart, fein, dicht, schwarze ES – fein, eher wenig, Glimmer – fein bis mittelfein, viel
Farbe außen: 5YR6/4, Farbe innen: 5YR5/2
Erh.: 1 Bodenfrgt.
Dat.: 4.–6. Jh. n. Chr.
Par.: Ladstätter 2010d, K 1010 (ähnlich); Waldner 2009, K 1122.

## Sondage 4/2010 – 2011

### *SE 842*

**K 443 Topf** **Taf. 87**
AO: GHD, Inv. E-TR 11-SO4-842-32/K1
Gattung: Küchenware
Ton: 2.5YR5/8, hart, mittelfein, feinporös, weiße und graue ES – fein bis mittelgrob, Glimmer – fein bis mittelfein, mittelviel
Farbe außen: 2.5YR5/8–2.5YR3/1, Farbe innen: 2.5YR5/6
Erh.: 1 Randfrgt.
RDm: 17,8 cm, erh. H: 2,85 cm
Dat.: späthellenistisch – 1. Jh. n. Chr.
Par.: Meriç 2002, K 625. 628. 631. 634; Ladstätter 2010a, A-K 145. 149. 521.

**K 444 Topf** **Taf. 87**
AO: GHD, Inv. E-TR 11-SO4-842-32/K2
Gattung: Küchenware
Ton: 2.5YR5/8, 2.5YR4/2 (Kern), hart, fein, feinporös, weiße bis beige ES – fein, mittelviel, Glimmer – fein, viel
Farbe außen: 2.5YR5/6 – Gley1 2.5/N, Farbe innen: 2.5YR5/6
Erh.: 1 Randfrgt.
RDm: 21 cm, erh. H: 2,25 cm
Dat.: hellenistisch
Par.: Gassner 1997, K 365.

**K 445 Amphore** **Taf. 88**
AO: GHD, Inv. E-TR 11-SO4-842-32/K3
Gattung: Amphore oder Küchenware (?)
Ton: 2.5YR5/6, 7.5YR5/3 (Kern), hart, fein, dicht, weiße ES – mittelfein, einzeln, Glimmer – fein bis mittelfein, viel
Farbe außen: 5YR5/2, Farbe innen: 5YR5/6
Grafiti: Wand außen: Kappa
Erh.: 1 Wandfrgt.
Dat.: –

### *SE 841*

**K 446 Schüssel** **Taf. 88**
AO: GHD, Inv. E-TR 11-SO4-841-31/K1
Gattung: Gebrauchskeramik
Typ: Imitat ESB (?)
Ton: 10R5/6, 2.5YR6/4 (Kern), hart, fein, dicht, Glimmer – fein, viel, schiefrig brechend
Farbe außen: 2.5YR5/6, Farbe innen: 10R4/8
Überzug: innen und Rand außen, teilweise abgerieben, matt
Erh.: 1 Randfrgt.
RDm: 36 cm, erh. H: 4,9 cm
Dat.: spätes 1.–2. Jh. n. Chr.
Par.: Forster 2001, Abb. 4. 3 k; Warner Slane 1990, Abb. 6, 99.

### *SE 840*

**K 447 Schale** **Taf. 88**
AO: GHD, Inv. E-TR 11-SO4-840-30/K2
Gattung: Red Slip-Ware
Ton: 2.5YR6/8, hart, fein, dicht, weiße und schwarze ES – fein, einzeln
Farbe aussen: 2.5YR4/8, Farbe innen: 2.5YR4/8
Überzug: flächig, teilweise abgerieben, glänzend
Erh.: 1 Bodenfrgt.
BDm: 5,55 cm, erh. H: 1,4 cm
Dat.: –.

**K 448 Schüssel** **Taf. 88**
AO: GHD, Inv. E-TR 11-SO4-840-30/K6
Gattung: Gebrauchskeramik
Ton: 5YR5/3 nach außen, 2.5YR6/8 nach innen, mit gerader Standfläche, Überzug innen dünn, hart, fein, dicht, Poren – fein, einzeln, weiße ES – fein, mittelviel, Glimmer – fein bis mittelfein

Farbe außen: 2.5YR6/6, Farbe innen: 10R4/8
Überzug: innen, kompakt, matt
Erh.: 1 Bodenfrgt.
BDm: 17 cm, erh. H: 4,8 cm
Dat.: –.

**K 449 Geschlossenes Gefäß** **Taf. 88**
AO: GHD, Inv. E-TR 11-SO4-840-30/K4
Gattung: Gebrauchskeramik
Ton: 7.5YR5/6, sehr hart, mittelfein, sehr feinporös, weiße und dunkelgraue ES – fein bis gröber (ca. 1 mm große), eher wenig, Glimmer – fein, viel
Farbe außen: 10YR8/3, Farbe innen: 10YR8/3
Erh.: 1 Bodenfrgt.
BDm: 16,8 cm, erh. H: 4,8 cm
Dat.: 1.–3. Jh. n. Chr.
Par.: Ladstätter 2010b, B-K 388.

**K 450 Geschlossenes Gefäß** **Taf. 88**
AO: GHD, Inv. E-TR 11-SO4-840-30/K5
Gattung: Gebrauchskeramik
Ton: 5YR5/6, 10YR6/3 (Kern), mittelhart, mittelfein, feinporös, weiße ES – fein bis mittelfein, wenig, graue ES – fein, wenig, Glimmer – fein bis mittelfein, viel
Farbe außen: 10YR8/3, Farbe innen: 7.5YR6/4
Erh.: 1 Bodenfrgt.
BDm: 13 cm, erh. H: 4,9 cm
Dat.: 1. Jh. n. Chr.
Par.: Ladstätter 2010a, A-K 479.

**K 451 Deckel** **Taf. 88**
AO: GHD, Inv. E-TR 11-SO4-840-30/K3
Gattung: Gebrauchskeramik
Ton: 2.5YR5/6, mittelhart, fein, feinporös, Glimmer – fein bis mittel, viel
Farbe außen: 2.5YR6/6, Farbe innen: 2.5YR6/6
Erh.: 1 Randfrgt.
RDm: 18 cm, erh. H: 1,1 cm
Dat.: 1.–3. Jh. n. Chr.
Par.: Ladstätter 2010a, A-K 499. 500. 694.

**K 452 Pfanne** **Taf. 88**
AO: GHD, Inv. E-TR 11-SO4-840-30/K10
Gattung: Küchenware
Ton: 2.5Y6/3, hart, fein bis mittelfein, Poren – fein bis klein, mittelviel, beige und braune ES – mittelfein, eher wenig, Glimmer – fein, wenig
Farbe außen: 7.5YR4/3, Farbe innen: 7.5YR2.5/1
Erh.: 1 Randfrgt.
RDm: 32 cm, erh. H: 3,95 cm
Dat.: 1.–3. Jh. n. Chr.
Par.: Ladstätter 2005, K 246. 247. 637.

**K 453 Krug** **Taf. 88**
AO: GHD, Inv. E-TR 11-SO4-840-30/K9
Gattung: Küchenware
Ton: 10R4/6, 10YR4/2 (Kern), hart, mittelfein bis grob, porös, weiße und graue ES – fein bis grob (gut 1 mm groß), viele, Glimmer – fein bis mittelfein, viel
Farbe außen: 2.5YR7/6 bis 10YR4/1, Farbe innen: 10R5/6
Erh.: 1 Randfrgt.
RDm: 17 cm, erh. H: 3,1 cm
Dat.: –.

**K 454 Topf** **Taf. 88**
AO: GHD, Inv. E-TR 11-SO4-840-30/K11
Gattung: Küchenware
Ton: 2.5YR5/8, hart, mittelfein bis fein, dicht bis sehr feinporös, weiße und graue ES – fein bis mittelfein, mittelviel, Glimmer – fein, viel
Farbe außen: 2.5YR5/6, Farbe innen: 2.5YR5/8
Erh.: 1 Randfrgt.
RDm: 14 cm, erh. H: 3 cm
Dat.: 1. Jh. n. Chr.
Par.: Ladstätter 2010a, A-K 521 (ähnlich).

**K 455 Topf** **Taf. 88**
AO: GHD, Inv. E-TR 11-SO4-840-30/K8
Gattung: Küchenware
Ton: 7.5YR6/4, hart, mittelfein, Poren – fein bis klein, eher wenig, weiße und graue ES – fein bis mittelfein, Glimmer – mittelfein, eher wenig
Farbe außen: 10YR4/1, Farbe innen: 7.5YR6/4 – 10YR4/1
Erh.: 1 Randfrgt.
RDm: 20,2 cm, erh. H: 1,7 cm
Dat.: 1.–3. Jh. n. Chr.
Par.: Ladstätter 2010a, A-K 533–535. 700. 704. 736. 894–897.

**K 456 Amphore** **Taf. 89**
AO: GHD, Inv. E-TR 11-SO4-840-30/K12
Typ: Peacock – Williams 45
Ton: 7.5YR5/4, weich, fein, feinporös bis dicht, Glimmer – fein, viel
Farbe außen: 5YR6/6, Farbe innen: 7.5YR6/4
Erh.: 2 Bodenfrgte.
BDm: 6,55 cm, erh. H: 6 cm
Dat.:1. Jh. n. Chr.
Par.: Ladstätter 2010a, A-K 558, 562–563; Meriç 2002, K 560.

**K 457 Importlampe (?)** **Taf. 89**
AO: GHD, Inv. E-TR 11-SO4-840-30/K14
Ton: 10R4/6, hart, fein, dicht, weiße ES – fein, wenig, Glimmer – fein, eher wenig
Farbe außen: 10R4/4–7.5YR3/2, Farbe innen: 10R4/4
Überzug: außen, kompakt, glänzend
Erh.: 1 Schulterfrgt.
RDm: 6,6 cm, erh. H: 1,85 cm
Dat.: –.

*SE 839*

**K 458 Becher** **Taf. 89**
AO: GHD, Inv. E-TR 11-SO4-839-29/K1
Gattung: dünnwandige Keramik
Ton: 2.5YR5/6, Farbe bis 5YR4/1, hart, fein, dicht, Glimmer – sehr fein, viel
Farbe außen: 2.5YR5/3, Farbe innen: 2.5YR5/6
Erh.: 2 Randfrgte.
RDm: 7,8 cm, erh. H: 3,3 cm
Dat.: 1.–3. Jh. n. Chr.
Par.: Ladstätter 2005, K 612. 672; Ladstätter 2010a, A-K 419. 420. 423.

**K 459 Becher** **Taf. 89**
AO: GHD, Inv. E-TR 11-SO4-839-29/K2
Gattung: dünnwandige Keramik
Ton: 2.5YR5/6, 5YR5/1 (Kern), hart, fein, dicht, Glimmer – fein, mittelviel
Farbe außen: 5YR5/6, Farbe innen: 5YR4/1
Erh.: 1 Randfrgt. mit Henkelansatz
RDm: 7,2 cm, erh. H: 2,35 cm
Dat.: 1.–3. Jh. n. Chr.
Par.: K 458.

**K 460 Topf** **Taf. 89**
AO: GHD, Inv. E-TR 11-SO4-839-29/K3
Gattung: Küchenware
Ton: 2.5YR5/8, hart, mittelfein, feinporös, weiße ES – fein bis mittelfein, mittelviel bis wenig, graue ES – fein bis grob (max. ca. 2 mm groß), wenig, Glimmer – fein, mittelviel
Farbe außen: 10YR4/1, Farbe innen: 2.5YR5/6
Erh.: 1 Randfrgt.
RDm: 16 cm, erh. H: 5,85 cm
Dat.: 1.–3. Jh. n. Chr.
Par.: Ladstätter 2005, K 569. 598; Ladstätter 2010a, A-K 885–886; Gassner 1997, Kat. 713; Lüdorf 2006, Taf. 9, TIII, 1.

**K 461 Topf** **Taf. 89**
AO: GHD, Inv. E-TR 11-SO4-839-29/K4
Gattung: Küchenware
Ton: 2.5YR4/4, 7.5YR4/1 (Kern), hart, fein, feinporös, graue ES – fein, einzeln, Glimmer – fein bis mittelfein, viel
Farbe außen: 5YR5/4, Farbe innen: Gley 1 2.5/N
Erh.: 1 Randfrgt.
RDm: 23 cm, erh. H: 1,9 cm
Dat.: –.

*Johanna Struber-İlhan*

## VII.2 GLAS

Nachfolgende Auswertung der römischen bis spätantiken Glas- und Kleinfunde bezieht sich auf Fundmaterial aus den Grabungen im Odeion in den Jahren 2009–2011, welches im Juni 2013 fundstatistisch aufgenommen wurde. Zusätzlich wurden von ausgewählten Fragmenten Proben für mikroskopische Glasanalysen genommen[434]. Die diagnostischen Stücke wurden vor Ort gezeichnet, in einem Fundkatalog zusammengefasst und formtypologisch, funktional und chronologisch eingeordnet. Zu den kontextuellen Datierungen der Glas- und Kleinfunde ist vorauszuschicken, dass für genauere Ausführungen zu dem datierenden keramischen Material auf das Kapitel VII.1 in diesem Band verwiesen wird[435].

Insgesamt wurden aus den römischen bis spätantiken Schichten der Grabungen der Jahre 2009–2011 im Odeion 26 Glasfragmente fundstatistisch aufgenommen. Die prozentuelle Verteilung der Rand-, Boden-, Wand- und Henkelfragmente wird in Diagramm 1 dargestellt, wodurch deutlich wird, dass Rand- und Bodenfragmente die Mehrheit am gesamten Fundmaterial ausmachen. Als diagnostische Fragmente wurden davon 20 Stück in einem Fundkatalog aufgenommen, gezeichnet und einer vergleichenden sowie kontextuellen Analyse unterzogen. Darüber hinaus wurden die diagnostischen Fragmente in Hinblick auf ihre Herstellungstechnik, Färbung sowie Gefäßform untersucht und ausgewertet.

### VII.2.1 HERSTELLUNGSTECHNIK

Alle bearbeiteten Gefäßfragmente wurden durch die Herstellungstechnik des freien Blasens durch eine Glasmacherpfeife hergestellt. Bei einigen Bodenfragmenten wurde an das geblasene Gefäß ein Standring in Form eines nachträglich aufgelegten Glasfadens appliziert (z. B. **G 6**. **G 11**. **G 12**). Das Flaschenfragment **G 10**, vermutlich einer Vierkantflasche, wurde ebenfalls frei geblasen in einer Halbform hergestellt.

### VII.2.2 GEFÄSSFORMEN UND WAREN

Wie Diagramm 2 zu entnehmen ist, sind Becher- und Schalenformen am häufigsten vertreten. Diese Tendenz spiegelt sich auch in der Verteilung der Waren wider: Gefäße aus dem Bereich des Tafelgeschirrs nehmen mehr als die Hälfte des gesamten Formenspektrums ein (Diagramm 3). Bei Fragmenten, die nicht eindeutig einer Becher-, Schalen- oder Fläschchenform zugeordnet werden konnten, handelt es sich ausschließlich um Bodenfragmente. Diese wurden, wie jene Fragmente, die keiner Gefäßform zugeordnet werden konnten, bei der Auswertung der Waren in Diagramm 3 in der Rubrik »n. b.« (nicht näher bestimmbar) zusammengefasst. Neben den hinsichtlich der Gefäßform nicht bestimmbaren Fragmenten nehmen Fläschchenformen 15 % und Vierkantkrüge 5 % (1 Fragment) des gesamten Fundmaterials ein (Diagramm 2). Dementsprechend gestaltet sich die Auswertung der Waren wie folgt: Die größte Gruppe bildet Tafelgeschirr mit 60 %, gefolgt von Toilettgeschirr mit 15 % und zuletzt ist die Gruppe des Transport- oder Lagergeschirrs mit nur einem Fragment vertreten (**G 10**). 20 % der Glasgefäße konnten keiner Warengruppe zugeordnet werden.

### VII.2.3 GESTALTUNGSMERKMALE

Ein weiteres Betrachtungskriterium bilden die spezifischen Merkmale in der Gestaltung der Fragmente sowie deren Dekoration. Sämtliche Glasfragmente der vorliegenden Fundkontexte sind undekoriert, wobei aufgrund des fragmentarischen Erhaltungszustands nicht ausgeschlossen werden

[434] Jon Henderson, University of Nottingham.

[435] Im Text- und Katalogteil werden folgende Abkürzungen zur Bezeichnung der Formtypologie verwendet: AR = Form in: Rütti 1991; Is = Form in: Isings 1957; Tr = Form in: Goethert-Polaschek 1977.

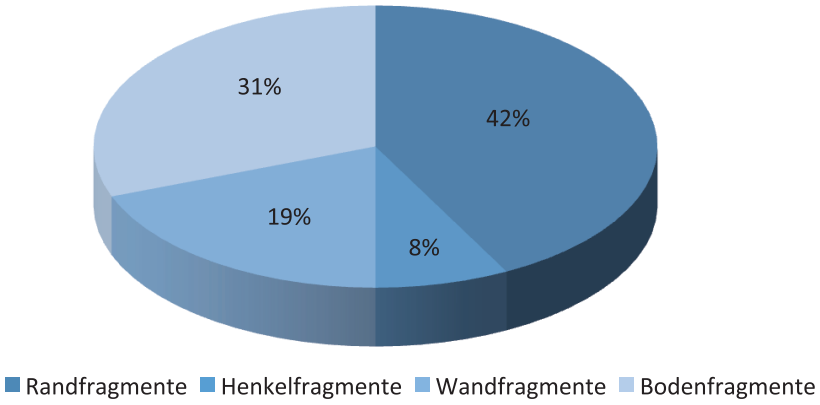


Diagramm 1 Fundstatistische Auswertung der Glasfragmente

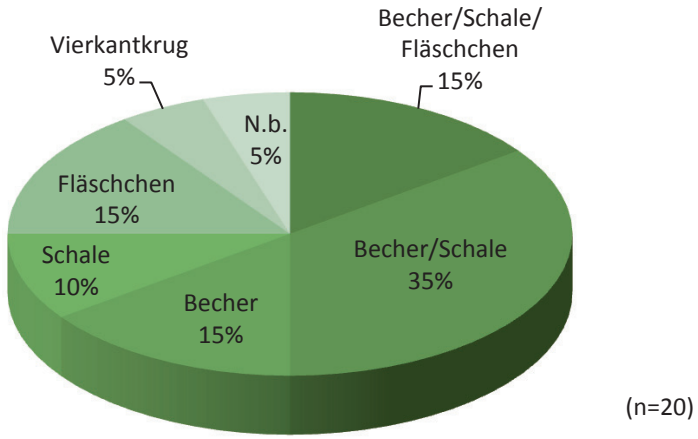


Diagramm 2 Verteilung der Gefäßformen

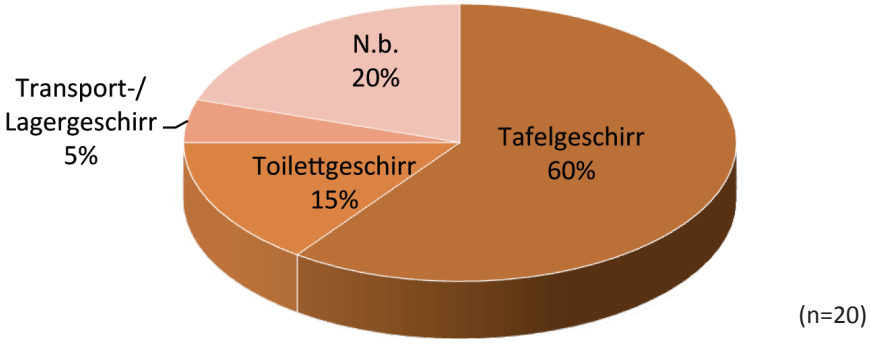


Diagramm 3 Verteilung der Waren

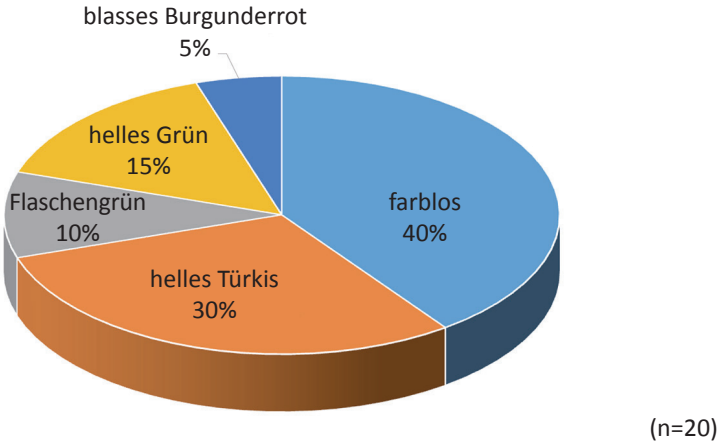


Diagramm 4 Statistische Auswertung der Glasfarben

kann, dass diese Gefäße ursprünglich Dekor aufwiesen. Besonderheiten oder Auffälligkeiten in der Gestaltung der jeweiligen Fragmente werden im Katalogteil gesondert angegeben.

## VII.2.4 GLASFARBEN

Innerhalb des vorliegenden Fundkomplexes sind als Glasfarben helles Türkis, Flaschengrün, helles Grün, Burgundrot sowie entfärbte Fragmente vertreten. Beinahe die Hälfte aller diagnostischen Fragmente entfallen auf farbloses oder entfärbtes Glas. Mit einem Prozentsatz von 27 % folgen dahinter Fragmente mit helltürkiser Färbung. Hellgrünes Glas ist mit 14 % (3 Fragmente), Glas mit flaschengrüner Farbe mit 9 % (2 Fragmente), burgundrotes Glas mit 5 % (1 Fragment) vertreten. Bei der Gruppe mit der Glasfarbe ›Flaschengrün‹ ist darauf hinzuweisen, dass es sich hierbei um naturfarbenes Glas handeln könnte. Da dies für die beiden Fragmente aus dieser Gruppe (**G 5**. **G 6**) nicht mit Sicherheit bestimmt werden kann, muss eine genauere Zuweisung offenbleiben (Diagramm 4).

Tabelle 3 Anteile der Farben an Glasgefäßen nach Jahrhunderten (Stückzahl)

| | **2.–3. Jh. n. Chr.** | **5.–6. Jh. n. Chr.** | **5.–7. Jh. n. Chr.** | **6.–7. Jh. n. Chr.** | **7.–9. Jh. n. Chr.** |
|---|---|---|---|---|---|
| farblos | 1 | 5 | | 2 | |
| helles Türkis | | | 4 | 1 | 1 |
| Flaschengrün | | | | | 2 |
| helles Grün | | | 1 | 2 | |
| blasses Burgundrot | | | | 1 | |

Die Verteilung der Farben der funddatierten Gläser kann in Tabelle 3 abgelesen werden. Es kann festgestellt werden, dass farbloses oder entfärbtes Glas mehrheitlich in den Kontexten des 5.–6. Jahrhunderts n. Chr. auftritt, während Fragmente mit heller, türkiser Färbung in fast dem gleichen Ausmaß mehrheitlich in Kontexten des 5.–7. Jahrhunderts n. Chr. vorkommen (vgl. Diagramm 5). Aufgrund der geringen Anzahl an geborgenen Glasfragmenten dient diese Auswertung lediglich dafür, einen Eindruck der Verteilung der Glasfarben nach Jahrhunderten zu vermitteln. »Die Anteile der einzelnen Glasfarben erlaubt zwar Aussagen über die absolute Häufigkeit der Farben in bestimmten Zeitabschnitten, kann jedoch keine Hinweise zu ihrem mengenmäßigen Verhältnis gegenüber den anderen Farben und damit kaum Ergebnisse zu einer allfälligen Entwicklung und Veränderung der Farbgebung der Gläser liefern.«[436].

[436] Rütti 1991, 116.

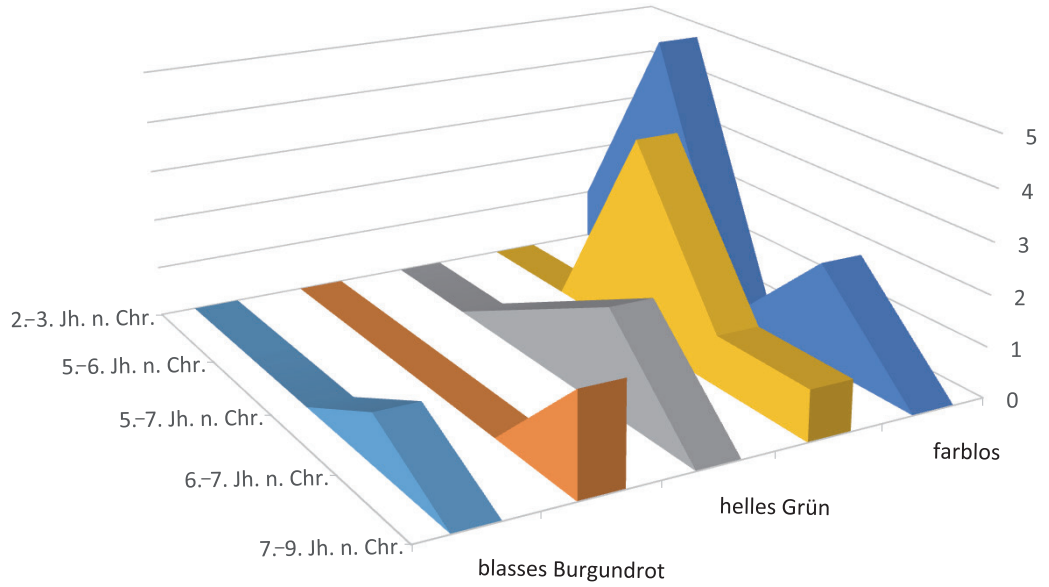


Diagramm 5 Verteilung der Glasfarben nach Jahrhunderten

## VII.2.5 KONTEXTUELLE AUSWERTUNG

Die kontextuelle Auswertung der Aufgabe-, Umbau- und Zerstörungshorizonte im Bereich des Odeions im Artemision erbrachte eine Reihe geschlossener Fundkomplexe, die einen Einblick in die Zusammensetzung des Glasgeschirrs vom 2. bis in das 9. Jahrhundert n. Chr. ermöglichten.

### 2. Jahrhundert/Anfang 3. Jahrhundert n. Chr.

Als einziges Beispiel aus den frühesten Schichten von Sondage 5/2010 ist das Fragment **G 1** zu nennen. Dieses wurde in einer der Substruktionskammern des Gebäudes (Kammer 5, Sondage 5/2010) in umgelagertem Material, vergesellschaftet mit keramischem Tafelgeschirr, Gebrauchsware und Küchenware, gefunden. Das Bodenfragment stammt ursprünglich von einem Becher, einer Schale oder einem Fläschchen und kann aufgrund seiner Form in den Zeitraum vom Ende des 2. bis zu der zweiten Hälfte des 3. Jahrhunderts n. Chr. datiert werden.

### 5.–6. Jahrhundert n. Chr.

Aus den Kontexten, die zur Aufgabe des Gebäudes gezählt und vom 5. bis zum 6. Jahrhundert n. Chr. datiert werden, stammen zwei Becher (**G 13**. **G 14**), eine Schale (**G 15**) sowie drei Bodenfragmente, die nicht eindeutig Bechern, Schalen oder Fläschchen zugeordnet werden können (**G 11**–**G 13**).

### 5.–7. Jahrhundert n. Chr.

Aus den Kontexten des 5.–7. Jahrhunderts n. Chr. stammen ausschließlich Fläschchen sowie ein aufgrund des geringen Erhaltungszustands unbestimmbares Fragment. Das Fragment des Fläschchens **G 18** könnte zu dem Typus mit kugelförmigem Körper gehören, der bis zum Ende des 1. Jahrhunderts n. Chr. in den verschiedensten Varianten im gesamten Mittelmeerbereich verbreitet war[437]. Die Bodenfragmente **G 19**–**G 20** hingegen stammen sehr wahrscheinlich von röhrenförmigen Fläschchen. Funktional sind die Fragmente **G 17** und **G 18** sowie **G 19** und **G 20** aufgrund der geringen Gefäßgröße und ihrer Form dem Toilettgeschirr zuzuordnen.

[437] Vgl. Is 6 und Is 26; Hayes 1975, 42–43.

### 6.–7. Jahrhundert n. Chr.

Die massiven Schuttschichten aus dem 6.–7. Jahrhundert n. Chr. können zur Zerstörungsphase oder der Phase des Marmorabbaus des Gebäudes gerechnet werden und stammen aus dem Bereich der Orchestra des Odeions. Zu diesen Kontexten können eine Schale (**G 9**), ein Becher (**G 7**), ein Fläschchen (**G 10**) sowie drei Fragmente (**G 5**. **G 6**. **G 8**), die nicht eindeutig einer dieser Gefäßformen zugeordnet werden können, gezählt werden.

### 7.–9. Jahrhundert n. Chr.

Aus den Kontexten der mittelbyzantinischen Zeit sind jeweils ein Rand- und ein Bodenfragment von Bechern oder Schalen (**G 3**. **G 4**) sowie ein nicht näher bestimmbares Randfragment mit ausbiegendem und verrundetem Rand (**G 2**) erhalten. Diese drei Glasfragmente, allesamt weit vor dem 7. Jahrhundert n. Chr. datierend, unterstützen die Auswertung der betreffenden Schichten, die keine aktive Nachnutzung des Gebäudes ergibt.

Tabelle 4 Liste der Glasfunde geordnet nach Fundkontexten

| | | |
|---|---|---|
| **2. Jh. n. Chr./Anfang 3. Jh. n. Chr. (Bauphase 2 – Umbaumaßnahmen)** | | |
| G 1 | SO 5/10 SE 726 | Becher/Schale/Fläschchen |
| **5.–6. Jh. n. Chr. (Aufgabe des Gebäudes)** | | |
| G 11 | SO 2/11 SE 1038 | Becher/Schale/Fläschchen |
| G 12 | SO 2/11 SE 1038 | Becher/Schale/Fläschchen |
| G 13 | SO 2/11 SE 1039 | Becher |
| G 14 | SO 2/11 SE 1039 | Becher |
| G 15 | SO 2/11 SE 1040 | Schale |
| **5.–7. Jh. n. Chr.** | | |
| G 16 | SO 3/11 SE 1148/1149 | n. b. |
| G 17 | SO 3/11 SE 1150 | Fläschchen |
| G 18 | SO 3/11 SE 1150 | Fläschchen |
| G 19 | SO 3/11 SE 1150 | Fläschchen |
| G 20 | SO 3/11 SE 1150 | Fläschchen |
| **6.–7. Jh. n. Chr. (Zerstörungsphase – Marmorabbau)** | | |
| G 5 | SO 2/11 SE 1029 | Becher/Fläschchen |
| G 6 | SO 2/11 SE 1029 | Becher/Schale |
| G 7 | SO 2/11 SE 1029 | Becher |
| G 8 | SO 2/11 SE 1029 | Becher/Schale/Fläschchen |
| G 19 | SO 2/11 SE 1031 | Schale |
| G 10 | SO 2/11 SE 1032 | Fläschchen |
| **7.–9. Jh. n. Chr. (mittelbyzantinische Zeit)** | | |
| G 2 | SO 2/11 SE 1028 | n. b. |
| G 3 | SO 2/11 SE 1028 | Becher/Schale |
| G 4 | SO 2/11 SE 1028 | Becher/Schale |

## VII.2.6 KATALOG

### Sondage 5/2010

**G 1 Becher/Schale/Fläschchen** **Taf. 92**
Inv.: E-TR 10-SO5-726/551_1
Farbe: farblos mit Grünstich
Erhaltungszustand: 1 BS
BDm: 1,6 cm, erh. H: 1,1 cm
Bodenfrgt. eines vermutlich bauchigen Gefäßes mit verdicktem, leicht konkavem Boden und weit ausladendem Wandungsansatz
Dat. nach Kontext: Ende 2. Jh./Anfang 3. Jh. n. Chr. (Einbau der Latrine in Kammer 5)
Dat. nach Form: Ende 2.–2. Hälfte 3. Jh. n. Chr.
Par.: Schätzschock 2005, G 66; AR 53.1/2.

### Sondage 2/2011

**G 2 Becher/Schale (sehr wenig erhalten)** **Taf. 92**
Inv.: E-TR 11-SO2-1028/233_11
Farbe: helles, blasses Türkis
Erhaltungszustand: 1 RS
RDm: 9,6 cm, erh. H: 1,1 cm
Randfrgt. mit kugelig verdicktem Rand und bauchigem Wandungsansatz. Vermutlich zu einem Becher oder einer Schale zu ergänzen.
Dat. nach Kontext: 7.–9. Jh. n. Chr.
Dat. nach Form: Mitte 2.–6. Jh. n. Chr
Par.: Steskal 2008a, G 165–167.

**G 3 Becher/Schale** **Taf. 92**
Inv.: E-TR 11-SO2-1028/245_8
Farbe: sattes Flaschengrün
Erhaltungszustand: 1 RS
RDm: 9,6 cm, erh. H: 1,5 cm
Verdickter, ausbiegender Rand mit bauchiger Wandung eines Bechers oder einer Schale
Dat. nach Kontext: 7.–9. Jh. n. Chr.
Dat. nach Form: 2. Hälfte 1.–3. Jh. n. Chr. (vgl. AR 79 – I 87)
Par.: Schätzschock 2010a, A-G 22; Steskal 2008a, G 11.

**G 4 Becher/Schale** **Taf. 92**
Inv.: E-TR 11-SO2-1028/245_9
Farbe: sattes Flaschengrün
Erhaltungszustand: 1 BS
BDm: 4,4 cm, erh. H: 0,9 cm
Bodenfrgt. eines bauchigen Gefäßes mit aufgelegtem Standring (gleiche Farbe wie Gefäß), Becher oder Schale. Könnte aufgrund des geringen BDm auch zu einem Becher/›Töpfchen‹ ergänzt werden (AR 104 – I 94 – T 37).
Dat. nach Kontext: 7.–9. Jh. n. Chr.
Dat. nach Form: 2. Hälfte 1.–3. Jh. n. Chr.
Par.: Schätzschock 2005, G 80; Schätzschock 2010a, A-G 98. AR 88. AR 104 – Is 94 – Tr 37.

**G 5 Becher/Schale/Fläschchen** **Taf. 92**
Inv.: E-TR 11-SO2-1029/239_3
Farbe: farblos mit Grünstich
Erhaltungszustand: 1 BS
BDM: 4,28 cm, erh. H: 1,16 cm
Boden-/Wandfrgt. eines Standrings mit gewölbtem Boden und ausladendem Wandungsansatz
Dat. nach Kontext: 7.–9. Jh. n. Chr.
Dat. nach Form: –

**G 6 Becher/Schale** **Taf. 92**
Inv.: E-TR 11-SO2-1029/240_1
Farbe: farblos
Erhaltungszustand: 1 BS
BDm: 3,5 cm, erh. H: 1,2 cm
Frgt. eines (angesetzten [?]) Standrings mit konkaver Bodenplatte und ausladendem Wandungsansatz
Dat. nach Kontext: 7.–9. Jh. n. Chr.
Dat. nach Form: Mitte 2. Jh. – 300 n. Chr. (AR 98 – Is 85); 3.–4. Jh. (Is 108); 2. Hälfte 1.–3. Jh. (AR 104.1 – Is 94 – Tr 38)
Par.: Schätzschock 2010a, A-G 103.

**G 7 Becher/Schale** **Taf. 92**
Inv.: E-TR 11-SO2-1029/240_2
Farbe: helles, blasses Grün
Erhaltungszustand: 1 BS
BDm: 3,2 cm, erh. H: 1,14 cm
Frgt. eines (angesetzten [?]) Standrings mit stark nach oben gedrückter Bodenplatte und ausladendem Wandungsansatz
Dat. nach Kontext: 7.–9. Jh. n. Chr.
Dat. nach Form: 3.–4. Jh. n. Chr.
Par.: wie G 6; Schätzschock 2014, G 185 (hier Schale).

**G 8 Becher/Schale/Fläschchen** **Taf. 92**
Inv.: E-TR 11-SO2-1029/240_3
Farbe: helles, blasses Türkis
Erhaltungszustand: 1 BS
BDm: 2,7 cm, erh. H: 0,45 cm
Frgt. eines als Glasfaden aufgelegten Standrings (gleiche Farbe wie Gefäß) mit horizontaler, leicht gewellter Bodenplatte. Weiterer Verlauf der Wandung fraglich, da nur der Ansatz erhalten ist
Dat. nach Kontext: 7.–9. Jh. n. Chr.
Dat. nach Form: 2. Hälfte 1.–3. Jh. n. Chr. (vgl. AR 88 und AR 104 – I 94 – T 37); 3.–4./5. Jh. (Is 104a); 3.–4. Jh. (Is 121); 4. Jh. (AR 176 – Is 129 – Tr 143)
Par.: Schätzschock 2010b, B-G 69.

**G 9 Schale** **Taf. 92**
Inv.: E-TR 11-SO2-1031/246_14
Farbe: blasses Burgundrot
Erhaltungszustand: 1 BS
RDm: n.b. (zu wenig erhalten), erh. H: 1,95 cm

Randfrgt. einer Schale mit sehr schräger Wandung und ausbiegendem und nach innen gezogenem, abgeschlagenem Rand.
Dat. nach Kontext: 6.–7. Jh. n. Chr.
Dat. nach Form: 5. Jh. n. Chr. und später
Par.: Baybo 2005, 233 Nr. 9; Baybo 2009, 191. 193 Nr. 7; Stern 2001, 289 Nr. 153; Steskal 2008a, G 74. G 75; Is 133.

**G 10 Vierkantkrug** **Taf. 92. 94**
Inv.: E-TR 11-SO2-1032/247_1
Farbe: helles, blasses Grün
Erhaltungszustand: 1 RS
RDm: 4 cm, erh. H: 3,9 cm
Randfrgt. eines dickwandigen Krugs mit horizontal gefalteter Lippe, kurzem, leicht konischem Hals und bauchigem Wandungsansatz; Gefäßform meist Vierkantkrug – n. b., da Henkel nicht erhalten, aber Fragmente dieses Typs meist mit Henkel
Dat. nach Kontext: 7.–9. Jh. n. Chr.
Dat. nach Form: 1.–3. Jh. n. Chr.
Par.: Schätzschock 2005, G 52; AR 157 – Is 90.

**G 11 Becher/Schale** **Taf. 92**
Inv.: E-TR 11-SO2-1038/262_1
Farbe: farblos mit Grünstich
Erhaltungszustand: 1 BS
BDm: 3,9 cm, erh. H: 0,8 cm
Leicht gewölbter Boden mit als Glasfaden aufgelegtem Standring und ausladendem Wandungsansatz
Dat. nach Kontext: 6.–7. Jh. n. Chr.
Dat. nach Form: 3. Viertel 3. Jh. n. Chr.
Par.: Schätzschock 2005, G 50; Czurda-Ruth 2007, 576; Steskal 2008a, G 21.

**G 12 Becher/Schal** **Taf. 92**
Inv.: E-TR 11-SO2-1038/262_2
Farbe: farblos mit Gelbstich
Erhaltungszustand: 1 BS
BDm: 4,1 cm, erh. H: 1,5 cm
Leicht gewölbter Boden mit als Glasfaden aufgelegtem Standring und ausladendem Wandungsansatz
Dat. nach Kontext: 6.–7. Jh. n. Chr.
Dat. nach Form: 3. Viertel 3. Jh. n. Chr.
Par.: wie G 11.

**G 13 Becher** **Taf. 92**
Inv.: E-TR 11-SO2-1039/264_1
Farbe: farblos
Erhaltungszustand: 1 RS
RDm: 7,6 cm, erh. H: 0,9 cm
Randfrgt. eines vermutlich steilwandigen Bechers mit kugelig verdicktem und ausbiegendem Rand
Dat. nach Kontext: 5.–6. Jh. n. Chr.
Dat. nach Form: –
Par.: Schätzschock 2005, G 18.

**G 14 Becher** **Taf. 92**
Inv.: E-TR 11-SO2-1039/264_2
Farbe: farblos
Erhaltungszustand: 1 RS
RDm: 7 cm, erh. H: 0,9 cm
Stecknadelkopfartig verdickter, leicht ausbiegender Rand mit steilem Wandungsansatz
Dat. nach Kontext: 5.–6. Jh. n. Chr.
Dat. nach Form: –
Par.: Rütti 1991, AR 102; Czurda-Ruth 2007, 220; Steskal 2008a, G 11.

**G 15 Schale** **Taf. 92**
Inv.: E-TR 11-SO2-1040/266_24
Farbe: farblos
Erhaltungszustand: 1 RS
RDm: 13,8 cm, erh. H: 0,8 cm
Schlauchförmig nach außen umgeschlagener und leicht ausbiegender Rand; weiterer Verlauf der Wandung fraglich, da nur der Wandungsansatz erhalten blieb
Dat. nach Kontext: 5.–6. Jh. n. Chr.
Dat. nach Form: 1–3./4. Jh. n. Chr.
Par.: Schätzschock 2010a, A-G 7; Steskal 2008a, G 13.

## Sondage 3/2011

**G 16 n.b. (Platte/Teller)** **Taf. 93**
Inv.: E-TR 11-SO3-1148/1149/340_1
Farbe: helles, blasses Grün
Erhaltungszustand: 1 BS
BDm: 16 cm, erh. H: 1,15 cm
Frgt. eines Standfußes, vermutlich einer Platte oder eines Tellers. N. b. aufgrund des fragmentarischen Erhaltungszustands
Dat. nach Kontext: 5.–7. Jh. n. Chr.
Dat. nach Form: 4.–7. Jh. n. Chr.
Par.: Hayes 1975, 183 Abb. 16 Nr. 591; Hayes 1992, Abb. 150 Nr. 30; Baybo 2005, 235 Nr. 48; Baybo 2009, Nr. 11; Is 118.

**G 17 Becher** **Taf. 93**
Inv.: E-TR 11-SO3-1150/343_1
Farbe: helles, blasses Türkis
Erhaltungszustand: 1 RS
RDm: 8 cm, erh. H.: 0,95 cm
Randfrgt. eines sehr dünnwandigen Bechers mit verdicktem und ausbiegendem Rand
Dat. nach Kontext: 5.–6. Jh. n. Chr.
Dat. nach Form: 2. Hälfte 1.–6. Jh. n. Chr.
Par.: Steskal 2008a, G 54. G 55.

**G 18 Fläschchen** **Taf. 93**
Inv.: E-TR 11-SO3-1150/343_2
Farbe: helles, blasses Türkis
Erhaltungszustand: 1 RS
RDm: 3.4 cm, erh. H: 1,8 cm
Randfrgt. eines Fläschchens mit zylindrischer Mündung

und vertikalem, dreieckig verdicktem Rand
Dat. nach Kontext: 5.–7. Jh. n. Chr.
Dat. nach Form: 3.–4. Jh. n. Chr. (AR 154.1 – Is 103 – Tr 93)
Par.: Harden 1936, Kat. 530 Taf. 17; Schätzschock 2010a, A-G 70; Schätzschock 2014, G 264; Steskal 2008a, G 873.

**G 19 Fläschchen** **Taf. 93**
Inv.: E-TR 11-SO3-1151/344_3
Farbe: helles, blasses Türkis
Erhaltungszustand: 1 BS
BDm: 7,2 cm, erh. H: 2,5 cm
Flacher, nur minimal gewölbter Boden eines röhrenförmigen Fläschchens; Wandungsansatz verzogen, eventuell aufgrund eines Herstellungsfehlers
Dat. nach Kontext: 5.–7. Jh. n. Chr.
Dat. nach Form: 1.–5. Jh. n. Chr.
Par.: Harter 1999, D 10; Isings 1957, 27; Rütti 1991, AR 138; Steskal 2008a, G 33–35.

**G 20 Fläschchen** **Taf. 93**
Inv.: E-TR 11-SO3-1151/344_4
Farbe: helles, blasses Türkis
Erhaltungszustand: 1 BS
BDm: 0,7 cm, erh. H: 2,7 cm
Leicht gewölbter Boden eines röhrenförmigen Fläschchens
Dat. nach Kontext: 5.–7. Jh. n. Chr.
Dat. nach Form: 1.–5. Jh. n. Chr.
Par.: Harter 1999, D 10; Isings 1957, 27; Rütti 1991, AR 138; Steskal 2008a, G 33–35.

*Julia Dorner*

## VII.3 KLEINFUNDE

Die Auswertung der römischen und spätantiken Kleinfunde bezieht sich auf das Fundmaterial aus den Grabungen im Odeion aus den Jahren 2009–2011. Die fundstatistische Auswertung erfolgte im Jahr 2013, im Rahmen derer die diagnostischen Stücke vor Ort gezeichnet, in einem Fundkatalog zusammengefasst und funktional und chronologisch eingeordnet wurden.

Insgesamt wurden aus den römischen bis spätantiken Schichten 11 Kleinfunde wissenschaftlich bearbeitet und 7 Kleinfunde in den nachfolgenden Fundkatalog aufgenommen. Diese stammen aus den Materialgruppen Bein, Blei, Bronze, Eisen und Glas (Diagramm 6). Eine Taschenuhr aus Messing mit versilberter oder verzinkter Oberfläche kann keiner dieser Materialgruppen zugeordnet werden. Dieser Fund stammt zwar aus rezenten Befundkontexten, wurde aber aufgrund seiner forschungsgeschichtlichen Relevanz in den Kleinfundkatalog aufgenommen[438].

Funktional stammen die vorliegenden Kleinfunde aus den Bereichen des alltäglichen Gebrauchs sowie aus jenen Bereichen, die zur Ausstattungsphase des Odeions gehören. Zu Ersteren

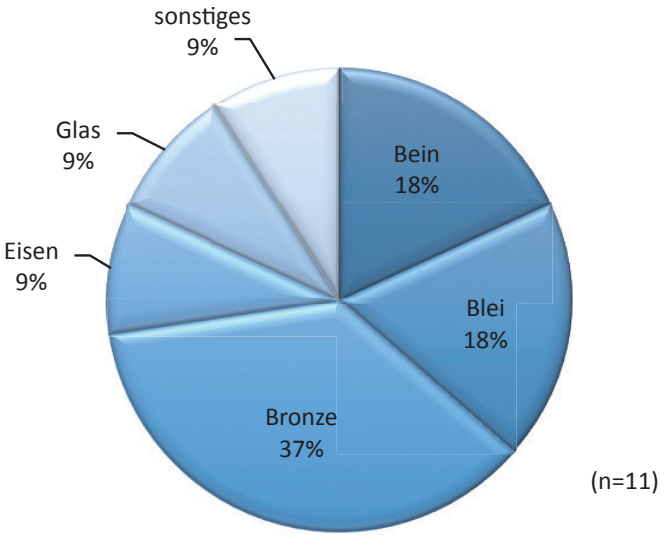


Diagramm 6 Verteilung der Kleinfund-Materialgattungen

[438] Vgl. Kap. II.1 und Kap. VI.1.

zählen Schmuckgegenstände, Nägel sowie Beschläge. Besonders hinzuweisen ist auf die Gegenstände, die zur Zeit der ursprünglichen Nutzungsphase des Odeions zu zählen sind, wie *tesserae* oder Eintrittsmarken aus Blei oder Bein. Bei der Besprechung der einzelnen Materialgruppen wird im Detail auf die Funktion der jeweiligen Gegenstände eingegangen.

### VII.3.1 KLEINFUNDE AUS BEIN

Die aus der Sondage 2/2011 stammende Haarnadel **KF 6** (Taf. 93) wurde aus Bein gefertigt und hat ein kugelförmiges Köpfchen. Der Nadelkörper ist ohne Kopf 5,9 cm lang, im Querschnitt leicht unregelmäßig kreisförmig und wurde am unteren Ende zugespitzt. Vorliegender Fund stammt aus einem Kontext des 5.–6. Jahrhunderts n. Chr., wobei typologisch kugel- und pfriemenförmige Exemplare von Haarnadeln vom 1. bis in das 4. Jahrhundert n. Chr. auftreten[439].

Ein kreisförmiges Objekt (Dm ca. 4,4 cm) mit reliefiertem Dekor an der Oberseite (**KF 7** Taf. 93. 94) ist aus Sondage 2/2011 erhalten. Es weist einen positiv reliefierten, geritzten Dekor an der Oberseite in Form eines Kreuzes mit spitz zulaufenden Enden und einem zentralen Kügelchen auf. Die *tessera* stammt aus Sondage 2/2011 aus einer Schicht, die bereits zur Phase der Aufgabe des Gebäudes gezählt wird, wobei es aufgrund seines Aussehens und seiner möglichen Verwendung sehr wahrscheinlich in die Zeit der ursprünglichen Nutzung als Odeion gerechnet werden darf. Vergleiche mit Theatertickets aus Blei, Bein, Ton oder Elfenbein in römischen Theatern gibt es zahlreiche[440]. In der Regel tragen römische *tesserae* – bestimmt für ein mehrsprachiges Publikum – auf derselben Seite eine römische Zahl mit entsprechendem griechischem Buchstaben. Diese bezeichnen die jeweiligen Cunei des Zuschauerraumes; darüber hinaus kann der Sitzplatz noch genauer mit Angabe des Ranges in der Cavea und des Gradus ausgewiesen sein[441]. Zwischen den Zahlen und Buchstaben findet sich häufig eine Inschrift, die durch ein Bild auf der Rückseite ausgeführt wird. Meist zeigen diese Darstellungen von Gebäuden, Köpfen von Statuen, Göttern, Heroen oder Menschen, Tieren oder Masken[442]. Vorliegender Fund weist zwar keines der typischen Merkmale auf, es deuten jedoch mehrere Indizien auf eine mögliche Interpretation als Eintrittsmarke oder *tessera* hin: Die vier Segmente, die sich an der Oberseite durch das geritzte Kreuz ergeben, könnten mit den im Odeion vorhandenen vier Cunei korrelieren. Es kann davon ausgegangen werden, dass die Segmente ursprünglich so eingefärbt waren, dass dem Besucher angezeigt werden konnte, in welchem Cuneus er Platz nehmen durfte. Ein sehr ähnlicher Fund einer quadratischen Bronzetessera aus Ionien[443] bekräftigt diese Vermutung. Auch hier befindet sich auf der Rückseite ein ähnliches Motiv, bei dessen Interpretation ebenfalls auf die Cunei des Gebäudes Bezug genommen wird[444]. Dennoch kann auch die Verwendung als Spielstein nicht ausgeschlossen werden, wobei dafür an dieser Stelle keine vergleichenden Beispiele angeführt werden können. Kontextuell datiert die *tessera* in das 5.–6. Jahrhundert n. Chr., wobei eine chronologische Einordnung in ihrer der ursprünglichen Gebäudenutzung entsprechenden Verwendung als Eintrittsmarken ab der zweiten Hälfte des 1. Jahrhunderts n. Chr. naheliegt. Diese Hypothese unterstützen oben genannte Vergleiche aus römischen Theatern.

### VII.3.2 KLEINFUNDE AUS BLEI

Die *tessera* **KF 1** (Taf. 93) zählt wie die *tessera* aus Bein (**KF 7**) vermutlich zur primären Nutzungsphase des Odeions. Sie stammt aus einem Kontext, dessen Formierung durch einen Münz-

439 Riha 1990, 106. 112–113; vgl. Kowalleck – Rathmayr 2010b, 616 (5.2 Haarnadeln).
440 Vgl. Wieseler 1851, 37–40; Bieber 1920; Broneer 1932, 85–86. 141; Bieber 1961, 246.
441 Wieseler 1851, 37.
442 Bieber 1920, 86.
443 Wieseler 1851, Taf. 4 Abb. 20.
444 Wieseler 1851, 40 Nr. 20.

fund[445] mit einem *terminus post quem* von 1792–1835 datiert werden kann und besitzt eine kreisrunde, flache Form, wobei der unregelmäßige Verlauf der Außenkanten Aufschluss auf die Herstellung durch Pressen geben könnte. Ursprünglich dürfte diese *tessera* einen reliefierten Dekor getragen haben, der jedoch sehr stark abgerieben ist und daher hier nur verbal beschrieben werden kann. Das Durchpausen des Reliefdekors mit Grafit ließ einen der kreisrunden Kontur der *tessera* folgenden umlaufenden Kranz, der eine im Profil angegebene, gekränzte Figur rahmt, vermuten. Die Komposition des Reliefs dürfte ähnlich arrangiert gewesen sein wie auf einer römischen Bronzetessera aus Hannover[446] oder einer Bleitessera aus Ephesos[447]. Die Funktion als Eintrittsmarke, wie bei **KF 7**, liegt nahe, da Eintrittsmarken aus Blei in der römischen Kaiserzeit sehr häufig Verwendung fanden[448]. **KF 1** ist somit möglicherweise ebenso der Primärnutzung des Gebäudes als Odeion zuzurechnen und durch Umlagerungsprozesse in neuzeitliche Schichten gelangt.

### VII.3.3 KLEINFUNDE AUS BRONZE

Aus Sondage 1/2010 stammt **KF 2**, ein ca. 6,3 cm langer, massiver Nagel aus Bronze mit vollem, pilzförmigem Kopf (Taf. 93). Vergleichbar massive Nägel, jedoch aus Eisen und mit größerem Kopf, kommen aus der Wohneinheit 2 des Hanghauses 2 in Ephesos[449]. Da die Interpretation der Schicht, aus der dieser Fund stammt, sowohl als Zerstörungsschicht in Versturzlage als auch als umgelagerter Schutt denkbar ist, können über die Funktion von **KF 2** keine genaueren Aussagen getroffen werden. Für massivere Konstruktionen und tragende Verbindungen sind Nägel aus Bronze jedenfalls nicht geeignet, vielmehr für das Zusammenhalten leichter Holzbretter sowie zum Befestigen von Schlössern und Beschlägen an Möbeln etc. geeignet[450]. Die Datierung laut Kontext entfällt auf das 6.–7. Jahrhundert n. Chr.

**KF 5**, eine vollständig erhaltene, große, nach oben gewölbte, massive Scheibe mit zentralem Loch, ist aus Sondage 5/2010 erhalten (Taf. 94)[451]. Sie ist im Zentrum an der Stelle des Lochs nach unten gewölbt; hervorzuheben ist neben dem hervorragenden Erhaltungszustand die massive Beschaffenheit. Ein ähnlicher Fund stammt aus dem Hanghaus 2 (Wohneinheit 2), wobei dieser Fund etwas kleiner, fragiler und anders gewölbt ist[452]. Wie auch der Fund im Hanghaus 2 dürfte **KF 5** als Beschlag verwendet worden sein, leider ohne genauere Zuweisung der Verwendung. Der Kontext, aus dem dieser Fund stammt, datiert in das 3. Jahrhundert n. Chr.

### VII.3.4 KLEINFUNDE AUS GLAS

Der einzige Kleinfund aus Glas ist aus den frühesten Schichten von Sondage 5/2010 erhalten. Es handelt sich um eine nichtverzierte, zylindrische Perle in hellem gräulichen Blau (**KF 4** Taf. 93) mit vertikalem Schnurkanal, wie sie auch beispielsweise aus der Wohneinheit 1 des Hanghauses 2 in Ephesos bekannt ist[453].

---

445 M 1/09, Sondage 1/2009.
446 Mlasowsky 1999, Kat. 6.
447 Gülbay 2008, Nr. 205.
448 Vgl. Bieber 1920, 50. 84–86; Bieber 1961, 246 Abb. 811–816; Broneer 1932, 85–86. 141; Colledge 1976, 54–56; Harder Schaffhausen 1997; Mlasowsky 1991, 20–21; Wieseler 1851, 37–40.
449 Kowalleck – Rathmayr 2010b, B-B 120 (hier aus Eisen).
450 Vgl. Klebinder-Gauß 2007, 192.
451 **KF 5** wurde im Jahr seiner Auffindung 2010 zwar fotografisch dokumentiert, jedoch nicht zeichnerisch. Der Fund befindet sich im Depot des Efes Müzesi Selçuk, konnte aber im Jahr 2013 aus administrativen Gründen nicht eingesehen werden.
452 Kowalleck – Rathmayr 2010b, B-B 222.
453 Schätzschock 2010a, A-G 135.

## VII.3.5 ANDERE MATERIALIEN

Die Taschenuhr **KF 3** stammt aus den obersten Schichten von Sondage 1/2009 und stellt einen rezenten Fund der frühen Neuzeit dar (Taf. 93. 94). Obwohl nur noch Teile des aus Messing gefertigten Gehäuses erhalten sind, das eine verzinkte oder versilberte Oberfläche hat[454], konnte die Datierung aufgrund eines fehlenden Remontoir-Aufzugs auf 1860/1880 eingegrenzt werden. Ob es sich um ein englisches oder eher französisch-schweizerisches Modell handelt, kann nicht mit Sicherheit bestimmt werden. Sehr wahrscheinlich handelt es sich bei dem Exemplar aufgrund der Zargen um ein offenes Modell[455]. Die Taschenuhrzarge wurde im Bereich eines 1,5 m breiten und 3 m tiefen, wiederverfüllten Schachts direkt an der Westfassade des Gebäudes gefunden (Sondage 1/2009), der wahrscheinlich als einer der Wood'schen Suchschächte zu identifizieren ist, von deren Anlage wir aus seinen Briefen wissen[456]. Unter Berücksichtigung dieser Tatsache wäre eine Provenienz der Taschenuhr aus England wahrscheinlich[457].

## VII.3.6 KATALOG

### Sondage 1/2009

**KF 1 Tessera/Eintrittsmarke** **Taf. 93**
Inv.: E-TR 09-SO1-SE 106/KF 2
Material: Blei
Dm 1,6–1,8 cm, D 0,15 cm
Dat.: Unbestimmbar, jedoch aufgrund des Verwendungszwecks als Eintrittsmarke der Primärnutzung des Odeions zuzurechnen, in neuzeitlichen Schichten umgelagert deponiert

### Sondage 1/2010

**KF 2 Nagel** **Taf. 93**
Inv.: E-TR 10-SO1-SE 251/KF 68
Material: Bronze
L 6,31 cm (L Nagelschaft 5,7 cm), Dm (Kopf) 1,3 cm
Dat.: nach Kontext: 6.–7. Jh. n. Chr. (Zerstörungsschicht Dachziegel unter Ziegelplatten)
Par.: Kowalleck – Rathmayr 2010b, B-B 82.

**KF 3 Taschenuhr** **Taf. 93. 94**
Inv.: E-TR 10-SO1-SE o.N./KF 19
Material: verzinktes oder versilbertes Messing
L 7,64 cm, B 3,76 cm, D 0,62–0,67 cm
Reliefiertes Gehäuse mit Zarge, vermutlich ohne Deckel
Dat.: nach Kontext: frühe Neuzeit (1860–1880)
Par.: Englische Sprungdeckel-Taschenuhr J. Dent London für den türkischen Markt um 1850.

### Sondage 5/2010

**KF 4 Perle** **Taf. 93**
Inv.: E-TR 10-SO5-SE 735/KF 116
Material: Glas
Dm (Körper) 0,89 cm, Dm (Schnurkanal) 0,46 cm, H 0,38 cm
Unverzierte Perle in hellem, gräulichem Blau
Dat.: nach Kontext: 1. Jh. n. Chr.
Par.: Schätzschock 2010a, A-G 135.

**KF 5 Beschlag** **Taf. 94**
Inv.: E-TR 10-SO5-SE 723/M 37
Material: Bronze
Dm 7,1–7,8 cm (nicht gezeichnet, s. Kap. VII.3.3, KF 5)
Große, nach oben gewölbte und massive Scheibe mit zentralem Loch (vollständig erhalten). Die Scheibe ist im Zentrum an der Stelle des Lochs nach unten gewölbt.
Dat.: nach Kontext: 3. Jh. n. Chr.
Par.: Kowalleck – Rathmayr 2010b, B-B 222.

### Sondage 2/2011

**KF 6 Haarnadel** **Taf. 93**
Inv.: E-TR 11-SO2-SE 1038/KF 36
Material: Bein
L 6,68 cm, D (max.) 0,42 cm
Haarnadel aus Bein mit kugelförmigem Köpfchen, undekoriert

---

[454] Die Bestimmung des Metalls anhand XRF-Analyse übernahm Daniel Oberndorfer (ÖAI), dem an dieser Stelle herzlich gedankt sei. Die Auswertung ergab den Gebrauch von Messing als Grundmetall. Die silberfarbene Oberfläche enthält nur Spuren von Silber, dafür aber einen großen Anteil an Zink. Es konnte nicht abschließend geklärt werden, ob der Zinkanteil vom Messing stammt, oder ob es sich um eine verzinkte Oberfläche (also verzinktes Messing) handelt. Daher kann es sich sowohl um versilbertes als auch um verzinktes Messing handeln.

[455] Freundliche Auskunft Dorotheum Wien am 13. 3. 2013 (Dank an Mag. Astrid Fialka-Herics, Leiterin der Juwelen- und Uhrenabteilung); s. auch o. Anm. 183 und 341.

[456] Vgl. Kap. I.1 und Kap. II.2.

[457] Vgl. Ähnlichkeit mit der englischen Sprungdeckel Taschenuhr J. Dent (London), produziert für den türkischen Markt um 1850.

Dat.: nach Kontext: 5.–6. Jh. n. Chr. (*terminus ante quem* vor Bau der Bühne)
Par.: Kowalleck – Rathmayr 2010a, A-B 18.

**KF 7 Tessera** **Taf. 93. 94**
Inv.: E-TR 11-SO2-SE 1038/KF 42

Material: Bein
Dm 4,36 cm, D 0,58 cm
Reliefierter Dekor an Oberseite
Dat.: nach Kontext: 5.–6. Jh. n. Chr.
Par.: Wieseler 1851, Taf. 4 Abb. 20 (hier: viereckige Form der *tessera*).

*Julia Dorner*

## VII.4 INSCHRIFTEN

### VII.4.1 STAATLICHE INSCHRIFTEN

#### I 1 Inschrift Inv. 5669[458] (Taf. 95, 1)

AO: GHD
FO: Sondage 4/2010, Osterweiterung, SE 614; Inv. I 2/2010
Plattenfragment aus grauweißem Marmor, überall gebrochen, H 22+, B 13+, T 5,8, Buchstabenhöhe 1,2–1,8 cm.

[- - -]
[- - -]ΛṆΘΕΣΙ̣[- - -]
[- - -] Μᾶρκος Ἀ[- - -]
[- - - Β]αδρομιο[- - -]
4 [- - - Λο]ύκιος Κο[- - -]
[- - -]ριος Μ[- - -]
[- - -]Ἰει[- - -]
[- - -][- - -]

Für die Ergänzung in Z. 1 kämen ἀνάθεσις (»Aufstellung«, z. B. einer Statue) oder διάθεσις (»Einstellung, Gesinnung«) in Frage. Offenbar gehört diese Zeile noch zur Einleitung des Textes, während die folgenden Zeilen durchwegs Namensbestandteile zeigen.

Z. 3 Βαδρόμιος: vgl: IvE 9, 18; 126, 6; 903, 7; 1390; 1687, 10, 6; RA 1985, 195–204 Nr. 6. Datierung: aufgrund der ausgeprägten Serifen ca. erste Hälfte oder Mitte 1. Jahrhundert n. Chr.

#### I 2 Inschrift Inv. 5667 (Taf. 95, 2)

AO: GHD
FO: Sondage 2/2010, Abschnitt 3, SE 422; Inv. I 1/2010
Linke obere Ecke einer Platte aus grauweißem Marmor, Zeilen vorgerissen. H 16+, B 18+, T 4,5, Buchstabenhöhe 1,8 (Z. 1) – 1,2 cm.

Ἀγαθ[ῇ Τύχῃ.]
Ἑρμέρως Χα[- - -]
τῆς [π]όλεως Ι̣[- - -]
4 νου θείου ΧΙ̣[- - -]
συνγενοῦ[ς - - -]
..Λ̣Ρ̣[- - -]
[- - -]

»Zum guten Glück. Hermeros, Sohn des Cha-, … der Stadt, … des Onkels Ch- …, des Verwandten …«

[458] Die Inventarnummer in der Überschrift bezieht sich auf das Inschrifteninventar (= Skizzenbuch), die unten stehenden Nummern (I 2/2010) jeweils auf das Grabungsinventar.

Geht man davon aus, dass Ἀγαθῇ Τύχῃ zentriert auf der Platte eingemeißelt war, so ist etwa ein Drittel der ursprünglichen Breite erhalten; in Z. 2 ff. wären also ca. 20 Buchstaben zu ergänzen. Zunächst ist jedoch die Frage zu klären, um welche Art von Inschrift es sich handelt. Ἀγαθῇ Τύχῃ, gefolgt von einem Namen im Nominativ, begegnet in Ephesos in folgenden Kontexten:

1. Edikt eines Statthalters (IvE 23)
2. Bauinschriften (IvE 442. 444. 488 etc.)
3. Listen von Amtsträgern, Priestern u. Ä. (IvE 972. 1579b etc.)
4. Siegerlisten (IvE 1106A/B)
5. Agonistische Texte (IvE 1110. 1113. 1125)
6. Agoranomen-Inschriften (IvE 920A. 927. 3010 etc.)
7. Dankesweihungen an Artemis (IvE 963. 1579a. 1582b), an Hestia Bulaia (IvE 1066. 1073) und kleinere Weihungen (IvE 1237; SEG 36, 1023)
8. Ehreninschriften (IvE 649A. 676. 984. 1154. 1575. 1599)

In Z. 3–5 sind offenbar Ämter und Verwandte des Hermeros angeführt, was für die Kategorien 1–7 in dieser erweiterten Form zumindest untypisch ist. Am ehesten kommt demnach eine Ehreninschrift in Frage, wobei ein Prädikat die anlassgebenden Verdienste ausdrücken kann (ἱεράτευσεν, IvE 984), aber nicht zwingend erforderlich ist (IvE 1575). Der Name Hermeros ist bisher dreimal in Ephesos belegt (IvE 719; 1687, 14, 5; 2523), jedoch lässt sich aus diesen Texten keine Identität oder Verwandtschaft ableiten. Das Patronymikon begann mit XA-, wie z. B. Χαριδήμου (am häufigsten, z. B. IvE 1006, wo eine gesamte Familie bezeugt ist). Als Amt in Z. 2/3 kämen z. B. in Frage: γραμματεὺς τῆς πόλεως (IvE 338), πρυτανεύσας τῆς πόλεως (IvE 702), λογιστῆς τῆς πόλεως (IvE 304) und εἰρήναρχος τῆς πόλεως·(IvE 4371). Auch eine Bezeichnung wie εὐεργέτην τῆς Ἀρτέμιδος καὶ τῆς πόλεως (IvE 614A) ist nicht auszuschließen. Für die Erwähnung eines Onkels vgl. beispielsweise IvE 4336, wo über einen Auruncius Mithridates u. a. ausgesagt wird: πατέρα ἱεροκήρυκος, πατρὸς μόνου γραμματέως καὶ θείου καὶ πάππου μόνων γραμματέων, τρὶς ἀρχιερείας ἔκγονον καὶ ἀδελφιδοῦν ἀσιάρχου.

Datierung: 2. Jahrhundert n. Chr.

### I 3 Inschrift Inv. 5668 (Taf. 95, 3)

AO: GHD
FO: Sondage 3/2010, Osterweiterung über Stiegenaufgang, SE 518; Inv. I 3 /2010
Fragment eines Deck- oder Sockelprofils aus grauweißem Marmor, überall gebrochen. Schrift in vertiefter Leiste. H 14,5+, B 19,5+, T 9+, Buchstabenhöhe 3,5 cm.

[- - -]ινα Ἀρισ̣τ̣[- - -]

Die Endung -]ινα könnte entweder zu einem Frauennamen oder zu einer Tribusbezeichnung (z. B. Κυρε]ίνα) gehören. Im ersteren Fall wäre Ἀρισ̣τ̣[- wohl der Beginn des Patronymikons, im letzteren das Cognomen der Person.

Datierung: 2. Jahrhundert n. Chr.

## VII.4.2 GRABINSCHRIFTEN

### I 4 Inschrift Inv. 5684 (Taf. 95, 4)

AO: GHD
FO: an der Oberfläche, im Bereich der späteren Sondage 2/2011 (Taf. 25, Kat. A 10, Taf. 38, 1–3); Inv. I 1/2009
Spolienfragment eines Sarkophags, sekundär als Architrav in der Marienkirche verbaut (vgl. Kat. A 10 Kap. V.4.2 Taf. 38)[459], aus weißem Marmor, links und rechts gebrochen. Oben abgeschrägte, ebenfalls dekorierte Leiste; Schrift auf Fußleiste. H 67, B 72+, T 15, Buchstabenhöhe 2,5–4,5 cm (Φ).

[459] Vgl. Degasperi 2013, 90–91. Taf 40. 45 Kat. 131. 139 Mk f.

[- - - εἰς τὸν - - - φίσ]κον · * · φ´ · καὶ [- - -]

»[… soll er dem kaiserlichen Fis]kus 500 Denare [schulden] und dem/n … ]«

Rest einer Strafbestimmung gegen widerrechtliche Nutzung des Sarkophags (Grabmult). Zu den einschlägigen Bestimmungen in Ephesos s. Harter-Uibopuu 2014, 157–179. Die Bestimmungen sind in Ephesos sehr unterschiedlich ausformuliert, weshalb eine weitergehende Ergänzung nicht möglich ist. In der Lücke am Anfang wäre z. B. [- - - εἰς τὸν ἱερώτατον φίσ]κον (IvE 27C; 364) oder [- - - εἰς τὸν τοῦ κυρίου Καίσαρος φίσ]κον (IvE 27A; 112) denkbar, meist fehlt jedoch eine nähere Bezeichnung (z. B. IvE 1627. 2513. 4127; im letzten Fall auch die gleiche Strafsumme).

Das (schlecht erkennbare) Denarzeichen und das Zahlzeichen sind jeweils durch mittig gesetzte Punkte von dem übrigen Text abgehoben.

Datierung: 2./3. Jahrhundert n. Chr.

## I 5 Inschrift Inv. 5607 (Taf. 95, 5)

AO: GHD, FO: Reinigung der Nordfassade, aus Schutt im Bereich zwischen Kammer 8 und 9; Inv. I 2/2009
Linker Teil einer rechteckigen Platte aus weißem Marmor. H 19,5+, B 21,5+, T 4,8, Buchstabenhöhe 1,7–2 cm.

τὸ μν[ημεῖον καὶ αἱ ὀστο]-
θῆκαι̣ [- - -]
καὶ Βιψα[νίας - - - ]
4 Κλ(αυδίου) ΜεΙ[- - -]

»Das Grabmal und … die Aschenkisten sind Eigentum des … und seiner Frau Vipsania (?) und (ihres Sohnes [?]) Claudius Me-.«

Titulus, der wohl ursprünglich an einem Grabbau angebracht war. In Z. 2 wäre der Name des primären Grabinhabers zu erwarten, möglicherweise eines Claudius, wenn es sich bei der in Z. 4 genannten Person tatsächlich um seinen Sohn handelt. Die (wohl z. T. abgekürzten) *tria nomina* würden mindestens etwa 15 Buchstaben erfordern, was mit der vorgeschlagenen Ergänzung von Z. 1 übereinstimmen würde; wäre der Name länger, könnte auch Z. 1 ausführlicher formuliert gewesen sein (z. B. καὶ αἱ καθ’ αὑτοῦ ὀστο]θῆκαι̣, vgl. IvE 2291). Vipsanii sind in Ephesos nicht sehr häufig (in der Schreibung Οὐιψάνιος: IvE 739. 1104A). Ein Tib. Claudius Menandros war *archiereus Asias* (IvE 644A).

Datierung: Die wenig sorgfältige Schrift ist schwer zu datieren, gehört aber wohl noch an das Ende des 1. oder den Anfang des 2. Jahrhunderts n. Chr.

## I 6 Inschrift Inv. 5688 (Taf. 95, 6)

AO: GHD, FO: Kammer 8, im Bereich des Gewölbedurchbruchs in rezentem Erdmaterial; Inv. I 3/2009
Plattenfragment aus weißem Marmor, überall (außer hinten) gebrochen. H 7+, B 13+, T 6,6, Buchstabenhöhe 2,3–2,5 cm.

[- - -]
[- - - ἡ]μισόρι̣[ον - - -]
[- - -]Ο̣Ι̣Ι̣Τ̣[- - -]
[- - -]

» … der Halbsarkophag …«

Der Begriff ἡμισόριον steht für Halb- oder Kindersarkophag (z. B. IvE 4221); die Platte stammt demnach wohl von einem Grabbau. Der dritte Buchstabe in Z. 2 sieht aus wie ein hochgestelltes Iota, das allerdings oben in einem nach links geöffnetem Halbkreis endet. Ein Phi ist wohl ausgeschlossen, andere Buchstaben kommen noch weniger in Frage.

## VII.4.3 UNBESTIMMTE FRAGMENTE

### I 7 Inschrift Inv. 5694 (Taf. 96, 1)

AO: GHD, FO: Sondage 1/2011, Erweiterung Süd, SE 911; Inv. I 1/2011
Blockfragment aus grauweißem Marmor, rechts Rand, sonst gebrochen. Oberfläche mit Zahneisen grob geglättet. H 6,5+, B 4,8+, T 6,5+, Buchstabenhöhe 2+ cm.

[- - -]του
[- - -]

Datierung: 2./3. Jahrhundert n. Chr.

### I 8 Inschrift Inv. 5727 (Taf. 96, 2–3)

AO: GHD, FO: Sondage 2/2011, SE 911; Inv. I 2/2011
Plattenfragment aus weißem Marmor, links Rand (auf der Seite ein Dübelloch), sonst gebrochen. H 12+, B 10+, T 2, Buchstabenhöhe 8+ cm.

Σ[- - -]

*Hans Taeuber*

## VII.5 NUMISMATISCHER BEFUND

### VII.5.1 KATALOG DER ANTIKEN UND BYZANTINISCHEN FUNDMÜNZEN

Die Katalogeinträge folgen dieser Gliederung:

Münzstand

Prägeherr
**Laufnummer**
Münzstätte
Nominale
Datierung
Aversbeschreibung
Reversbeschreibung
Zitat
Gewicht; Durchmesser; Stempelstellung; Erhaltung
Technika
Fundnummer; Fundjahr; Sondage; Schicht

Rom – Republik

*Anonym, Aes Grave*

**Kat. M 1**
Rom
As
169/158 v. Chr.
Av.: Januskopf
Rv.: Prora
M. H. Crawford, Roman Republic Coinage (Cambridge 1974) 184/1a.
22,09 g; 32 mm; 0h; Erh. 5
M 26/11; 2011; SO 2/11, SE 1039

Rom – Provinzialprägungen

*Antoninus Pius*

**Kat. M 2**
Ephesos
AE
138/161 n. Chr.
Av.: Legende unlesbar, Kopf r.
Rv.: …ЄΦ…, Statue der Artemis Ephesia
S. Karwiese, Die Münzprägung von Ephesos 5. Katalog und Aufbau der römerzeitlichen Stadtprägung mit allen erfassbaren Stempelnachweisen, I. Katalog (Wien 2012) 198.
13,35 g; 29,1 mm; 6h; Erh. 5
KF 95/10; 2010; SO 5/2010, SE 723

*Valerianus I. oder Gallienus*

**Kat. M 3**
Ephesos (?)
AE
253/268 n. Chr.
Av.: Legende unlesbar, Kopf r.
Rv.: Legende unlesbar, Apoll und Artemis
Vgl. SNG Cop 503
11,34 g; 30 mm; 6h; Erh. 5
M 27/11; 2011; SO 2/11, SE 1041

Rom – Reichsprägung

*Arcadius oder Honorius*

**Kat. M 4**
Östliche Münzstätte
Cen
395/401 n. Chr.
Av.: Legende unlesbar, PDiad2PCv
Rv.: [VIRTVS – EXERCITI], Kaiser von Victoria bekränzt
RIC (?)
1,1 g; 15,5 mm; 5h; Erh. 5
Randausbruch, korrodiert
M 22/11; 2011; SO 2/11, SE 1034

*unbestimmt 4./5. Jh. n. Chr.*

**Kat. M 5**
Münzstätte (?)
Fol/Cen
Av. und Rv.: unkenntlich
RIC (?)
0,9 g; 16,2 mm; 0h; Erh. 5
M 29/10; 2010; SO 5/2010, SE 723

Byzanz

*unbestimmt*

**Kat. M 6**
Münzstätte (?)
10 Nummi
5./7. Jh. n. Chr.
Av. und Rv.: unkenntlich
Moneta Imperii Byzantini (?)
2,6 g; 18 mm; 0h; Erh. 0
stark korrodiert
M 23/11; 2011; SO 2/11, SE 1039

ANTIKE UNBESTIMMBAR

**Kat. M 7**
Münzstätte (?)
AE
Av. und Rv.: unkenntlich
2,17 g; 24,6 mm; 0h; Erh. 0
korrodiert, Loch in Münze
KF 94/10; 2010; SO 5/2010, SE 723

**Kat. M 8**
Münzstätte (?)
AE
Av. und Rv.: unkenntlich
2,4 g; 18,4 mm; 0h; Erh. 0
korrodiert
M 38/10; 2010; SO 5/2010, SE 723

*Ursula Schachinger*

## VII.6 ARCHÄOZOOLOGISCHER BEFUND

### VII.6.1 EINLEITUNG UND FORSCHUNGSSTAND

Im Zuge der Ausgrabungen am Odeion im Artemision wurden umfangreiche Ansammlungen von Tierresten geborgen, von denen bislang mehr als 2 500 Fragmente von Knochen und Molluskenschalen analysiert werden konnten. Der größte Teil dieser Funde ist in die Beylik-Periode oder in frühosmanische Zeit zu datieren, einige kleinere Proben stammen jedoch aus Siedlungsphasen vor und während der Errichtung des Gebäudes sowie aus dessen Nutzungsperiode bis zum Zeitpunkt seiner Zerstörung. Diese bis zur ausgehenden Spätantike abgelagerten Fundvergesellschaftungen werden im Rahmen der vorgelegten Studie behandelt, spätere Deponierungen sollen Thema eines eigenen Publikationsprojekts bilden.

Für die spätantiken und frühbyzantinischen Kontexte liegen aus Ephesos mehrere Referenzbefunde vor. Zu nennen sind hier vor allem die Datensätze aus dem Vediusgymnasium[460] und dem sog. Lukasgrab[461], aber auch aus späten Nachnutzungsphasen des Hanghauses 2[462]. Weitere, derzeit noch nicht publizierte Befunde zu diesen Zeitstellungen liegen aus dem sog. Byzantinischen Palast und von dem Villenbezirk am Panayırdağ vor. Aus Siedlungsschichten hellenistisch-römischer Zeit stehen vor allem die Evidenzen aus den Wohneinheiten 1, 2[463] und 6[464] des Hanghauses 2 als Referenzdaten zur Verfügung. Aus dem räumlichen Umfeld des Odeions liegt ein umfangreicher archäozoologischer Befund zu den proto- bis spätgeometrisch datierenden Tierresten aus dem Artemision vor[465], sowohl der große chronologische Abstand als auch die funktionelle Sonderstellung dieser Deponierungen schließen einen direkten Vergleich aber weitgehend aus.

### VII.6.2 MATERIAL, METHODE UND HYPOTHESEN

Die untersuchten Tierreste stammen aus vier stratigrafisch abgesicherten Kontexten aus den Sondagen 1/2010, 5/2010 und 2/2011 (vgl. Tab. 5).

Kontext 1 umfasst die Schichten des Bauhorizonts sowie darunter anschließende ältere Deponierungen innerhalb der Kammer 5a vor der östlichen Schildwand. Der keramische Befund aus den tieferen Schichten legt eine Datierung in das 1. Jahrhundert n. Chr. nahe, zeichnet sich aber durch hohe Anteile von klassischen und archaischen Formen aus[466].

Kontext 2 beschränkt sich auf die dem Bauhorizont entsprechenden Schichten an der Nordwestecke des Gebäudes vor der Fassade von Kammer 8 und lässt eine Datierung in die zweite

460 Forstenpointner u. a. 2008, mit einem deskriptiven Katalog römisch-byzantinischer Siedlungsbefunde aus Westkleinasien und dem ägäischen Raum.
461 Galik u. a. 2010.
462 Galik u. a. 2014.
463 Forstenpointner u. a. 2010.
464 Galik u. a. 2014.
465 Forstenpointner – Weissengruber 2008.
466 Vgl. Kap. VI.3; ebenso Kontext 2.

Hälfte des 1. Jahrhunderts n. Chr. zu. Der Grabungsbefund stellt für die anschließenden älteren Schichten ein ähnliches keramisches Spektrum wie in Kontext 1 fest.

Kontext 3 und 4 bilden oberflächliche Lagen der massiven Zerstörungsschicht im Bereich der Orchestra, die in das 5.–6. (Kontext 3) und das 6.–7. Jahrhundert n. Chr. zu datieren sind[467].

Tabelle 5 Archäologische Eckdaten der archäozoologisch untersuchten Kontexte

| **Kontext** | **1** | **2** | **3** | **4** |
|---|---|---|---|---|
| **Sondage** | **5/2010** | **1/2010** | **2/2011** | **2/2011** |
| **SE** | 735 | 257 | 1035 | 1029/33 |
| **SE** | 736 | 258 | 1038 | 1031 |
| **SE** | 737 | | 1039 | 1032 |
| **SE** | 739 | | 1040 | 1033 |
| **SE** | | | 1041 | 1034 |
| **Fundzahl** | 135 | 17 | 92 | 164 |
| **Datierung** | 1. Jh. n. Chr. | 2. Hälfte 1. Jh. n. Chr. | 5.–6. Jh. | 6.–7. Jh. |
| **Nutzungsphase** | Errichtung, viele keramische Altstücke | Errichtung | Versturz und Gebäudeaufgabe | Zerstörungs-schichten |

Alle Tierreste wurden mittels sorgfältiger Handauslese geborgen, der Erhaltungszustand des Fundmaterials ist, wie meistens in Ephesos angetroffen, sehr gut bis ausgezeichnet. Der Fragmentierungsgrad ist hoch, mit einem durchschnittlichen Fragmentgewicht von 6,7 g liegen aber ausreichend groß dimensionierte Bruchstücke vor, um eine Bestimmungsrate von etwas mehr als 80 % zu erreichen. Die Determination wurde im archäozoologischen Feldlabor Ephesos durchgeführt, das seit 2001 auf der Basis einer wissenschaftlichen Kooperation zwischen dem Österreichischen Archäologischen Institut und dem Institut für Anatomie der Veterinärmedizinischen Universität Wien geführt wird und mit seiner kontinuierlich ausgebauten Referenzsammlung die methodische Basis für verlässliche archäozoologische Bestimmungsdiagnostik bietet.

Die osteometrische Datenerfassung erfolgte gemäß der von A. Von den Driesch[468] formulierten Messmethoden, die weiteren Analyseschritte gehorchten den methodischen Standards archäozoologischer Forschung. Die erfassten Daten wurden in einer selbst entwickelten, auf dem Programmpaket »PASW Statistics« basierenden Eingabemaske festgehalten und stehen somit den gängigen statistischen Testverfahren direkt zur Verfügung.

### Hypothesen

Der Grabungsbefund lässt für keine der vier untersuchten Fundvergesellschaftungen primäre Deponierungsmodalitäten vermuten, sodass funktionell orientierte Hypothesenstellungen nicht zulässig erscheinen. Zwei allgemeiner gehaltene Annahmen können aber formuliert und auf ihren Wahrheitsgehalt untersucht werden.

1. Die Zusammensetzung des untersuchten Fundguts spiegelt eines der für die jeweilige Zeitstellung der einzelnen Proben charakteristischen Konsummuster des ephesischen Siedlungsraumes zumindest in groben Zügen wider. Voraussetzung ist allerdings ein ausreichend großer Probenumfang, da sonst der Einfluss des taphonomischen Zufalls ein unbeherrschbares Maß annehmen würde.
2. Die räumliche Anbindung an das Artemision und der hohe Anteil hochwertiger archaischer und klassischer Keramik in den Schichten des 1. Jahrhunderts n. Chr. unter dem Bau-

[467] Vgl. Kap. VI.5.
[468] von den Driesch 1976.

horizont, welche durch umgelagertes Material aus tiefer gelegenen Schichten, das beim Ausheben der Fundamentgrube als Verfüllung erneut Verwendung fand, gebildet wurden, lassen Deponierungen von Resten ritueller Mähler möglich erscheinen, die sich in der Zusammensetzung der biogenen Fundkomplexe abbilden können.

## VII.6.3 ERGEBNISSE

Eine Zusammenfassung der determinierten Funde aus allen vier Kontexten wird in den Tabellen 6a–d gegeben.

### VII.6.3.1 Einzelbefunde aus den untersuchten Kontexten

*Sondage 5/2010 (Kontext 1)*

Wie in allen anderen Proben sind die Fundzahlen aus diesem Kontext, der aus Schichten des Bauhorizonts besteht sowie aus darunterliegenden Fundamentschichten, zu gering, um einigermaßen verlässliche Angaben zu wesentlichen Tiernutzungsparametern wie Schlachtalterprofilen, Geschlechterverteilung oder Zerlegungstraditionen zu gestatten. Erkennbar ist aber eine deutliche Dominanz (62 %) von Schaf- und Ziegenknochen unter den Säugetierresten (n = 62), wobei Schafe viermal häufiger als Ziegen nachgewiesen werden konnten. 18 % (n = 11) dieser Fundgruppe stammen von Rindern, nur 8 % (n = 5) von Schweinen. Ein Laufknochen eines Feldhasen ist wohl als Konsumabfall zu interpretieren, und ein Zehenknochen eines Rotfuchses kann die Verwendung des Fuchsbalgs andeuten; beide Funde können auch als zufällige Einmengungen verstanden werden. Einer der beiden nachweisbaren Hundeknochen, die linke Elle eines großwüchsigen Tiers, weist eindeutig Zerlegungsspuren auf (Taf. 96, 4). An Vogelresten liegen zwei Oberschenkelknochen von wahrscheinlich weiblichen kleinwüchsigen Hühnern und, als Rarum, das Fragment eines Oberarmknochens vom Höckerschwan vor. Etwa 20 % der Fragmente weisen Zerlegungsspuren auf, wodurch die Interpretation der Tierreste als Speisereste eindeutig belegt scheint – bestimmte Traditionen lassen sich aufgrund der geringen Fundzahl aber ebenso wenig wie Selektionsmuster in der Verteilung der Skelettelemente erkennen. Die umfangreichste (n = 66) und auch auffälligste Fundgruppe innerhalb dieser Probe stellen die Schalen mariner Mollusken dar. 86 % (n = 57) dieser Funde stammen von Austern (*Ostrea edulis* Linné, 1758) mittlerer bis großer Wuchsform, wobei linke (untere) und rechte (obere) Klappen zu etwa gleichen Teilen vertreten sind. Weitere essbare Muscheln sind in geringer Zahl durch die Lagunen Herzmuschel (*Cerastoderma lamarcki* Bruguière, 1789, n = 4), die Miesmuschel (*Mytilus galloprovincialis* Lamarck, 1819, n = 2) und die Teppichmuschel (*Ruditapes decussatus* Linné, 1758, n = 1) vertreten ebenso wie die ebenfalls essbare Purpurschnecke (*Hexaplex trunculus* Linné, 1758, n = 1) und die Seenadelschnecke (*Cerithium vulgatum* Bruguière, 1792, n = 1).

*Sondage 1/2010 (Kontext 2)*

Aufgrund der eindeutig zu geringen Fundzahl dieser Probe aus einem ebenfalls mit dem Bauhorizont des Odeions verknüpften Kontext scheinen weiterführende Interpretationen nicht zulässig. Während die Artverteilung der Säugetier- und Vogelknochen rein zufällig entstanden sein kann, ist aber immerhin auf den Nachweis von sieben Klappen der Lagunen-Herzmuscheln und einer rechten, mittelgroßen Austernklappe hinzuweisen.

*Sondage 2/2011 (Kontext 3)*

Wie in der Probe aus Kontext 1 liegen nur 62 Fragmente von Säugetierknochen vor, die daher den gleichen interpretativen Beschränkungen unterworfen sind. Unter den Resten von Haussäugetieren dominieren Schweineknochen mit etwa 39 % (n = 27) gegenüber 31 % (n = 19) an Rin-

derknochen und 18 % (n = 11) an Resten von Schafen und Ziegen. Noch etwas deutlicher wird die Dominanz der Schweine bei isolierter Betrachtung der Funde aus den über der eigentlichen Versturzschicht an der Orchestra liegenden stratigrafischen Einheiten (SE 1035. 1038. 1039), hier stammen 42 % (n = 18) der Säugetierknochen von dieser Art, während Reste von Rindern und kleinen Wiederkäuern in einem ausgeglichenen Verhältnis von jeweils 21 % (n = 9) vorliegen. Aus der Versturzschicht (SE 1040. 1041) stammen nur 19 artbestimmte Säugetierknochen, hier beträgt der Anteil an Schweineresten zwar auch 3 % (n = 6), dominiert wird diese aufgrund der geringen Zahl eigentlich nicht beurteilbare Fundgruppe aber von 10 Rinderknochen (52 %). Neben den Haussäugetieren ist noch der Damhirsch durch ein Metacarpalfragment repräsentiert, zwei Vogelknochen, beide aus der Versturzschicht, belegen die Hausgans und, wieder als seltener Nachweis, den Halsband-Frankolin (*Francolinus francolinus* Linné, 1758). Die Molluskenfauna ist in geringen Fundzahlen durch Austern (n = 4), Miesmuschel (n = 1) und Teppichmuschel (n = 1) sowie durch jeweils zwei Gehäuse der Gefleckten und der Gegürteten Weinbergschnecke (*Helix aspersa* Müller, 1774 und *Helix cincta* Müller, 1774) vertreten.

In der gesamten Probe fällt das häufige Vorkommen von Schnitt- und Hackspuren auf, insgesamt 41 % der untersuchten Knochen tragen derartige Modifikationen. Darüber hinaus ist mit einem Anteil von etwa 13 % auch eine unüblich hohe Zahl an Jungtieren aller drei Wirtschaftstierarten im Fundgut vertreten.

*Sondage 2/2011 (Kontext 4)*

Mit 94 artbestimmten Säugetierknochen bei einer gesamten Fragmentzahl von 164 liegt hier die umfangreichste und daher auch aussagekräftigste Probe vor. Unter den Resten von Wirtschaftstieren dominieren Rinderknochen mit 56 % (n = 53) deutlich, gefolgt vom Schwein mit 21 % (n = 20) und den kleinen Wiederkäuern mit 18 % (n = 17), wobei in dieser Vergesellschaftung fünf Ziegenknochen gegenüber nur einem Schaf nachweisbar waren. Während in dieser Probe keine Reste von Wildtieren bestimmt werden konnten, wird das Spektrum der Haustierarten komplettiert durch eine Hundetibia, den Backenzahn eines Esels und zwei Rohrbeinfragmente von Pferden, die zwar aus zwei stratigrafischen Einheiten stammen, aber zu einem Individuum gehört haben könnten.

Vogelreste sind durch drei Hühnerknochen von mindestens zwei Individuen vertreten, Molluskenschalen finden sich wie in Kontext 3 nur in geringer Zahl. Neben jeweils drei Klappen von Austern und der gebänderten Dreieckmuschel (*Donax trunculus* Linné, 1758) liegen zwei Schalenhälften von Miesmuscheln und jeweils eine von der Arche Noah (*Arca noae* Linné, 1758) und der glatten Kammmuschel (*Flexopecten glaber* Linné, 1758) vor.

5 % der untersuchten Fragmente weisen Zerlegungsspuren auf, die somit in dieser Probe deutlich seltener als in dem Ensemble aus Kontext 3 auftreten. Nur drei Knochen, zwei von Ferkeln und einer von Lamm oder Kitz, stammen von Jungtieren.

### VII.6.3.2 Synthese und Diskussion der Einzelbefunde

Da die Fundmengen der untersuchten Proben jeweils zu gering sind, kann zu den primären Parametern der Tierhaltung und -nutzung nicht detailliert Stellung genommen werden. Die Bauformen der repräsentierten Haustierarten bewegen sich bei Schweinen und kleinen Wiederkäuern im mittleren Bereich der aus antiken westanatolischen Fundstätten bekannten Daten, die Rinderknochen stammen zum überwiegenden Teil von kleinwüchsigen Tieren, wobei aber durchaus auch großvolumige Individuen belegt sind, die mit großer Wahrscheinlichkeit als Arbeitsochsen zu interpretieren sind. Eine Übersicht der osteometrischen Befunde findet sich in Tabelle 7.

Entsprechend der in Kapitel VII.6.2 formulierten Hypothesen erscheinen einige Schlussfolgerungen und Interpretationen hinsichtlich des Konsum- und Abfallverhaltens der für die untersuchten Deponierungen verantwortlichen Verbraucher zulässig.

Die Tierreste aus den zum Bauhorizont des Odeions gehörigen Kontexten – wobei vor allem Probe 1 Aussagekraft besitzt – unterscheiden sich in ihrem Artenspektrum wesentlich von den beiden spätantiken Fundkomplexen aus dem Bereich der Orchestra. In zu dem Bauvorgang gehörigen Deponierungen unterhalb des Bauhorizonts, die mit umgelagertem Altmaterial durchsetzt sind, dominieren, wie in vielen Abfallvergesellschaftungen des ostmediterranen Raumes, die Reste kleiner Wiederkäuer eindeutig, wobei der überwiegende Nachweis von Schafen durchaus auch zufallsbedingt interpretiert werden kann. Für Ephesos liegen ähnliche Befunde aus späthellenistischen Schichten des Hanghauses 2[469] und aus der spätgeometrischen bis frühhellenistischen Siedlung auf dem Panayırdağ[470] vor, an weiteren Parallelen sind die Befunde aus dem archaischen Milet[471] und dem hellenistischen Troja[472] zu nennen. Hundeknochen mit Zerlegungsspuren sind ebenfalls aus dem Fundmaterial vom Panayırdağ belegt, finden sich aber auch in den Opferrückständen aus dem Artemision[473]. Eine Sonderstellung nehmen mit einiger Wahrscheinlichkeit die Austernschalen aus Probe 1 ein, die nicht nur durch ihre beträchtliche Anzahl, sondern auch durch ihre Größe und damit Qualität beeindrucken. Austern gehörten zweifellos bereits in der Antike zu den bevorzugten Meeresfrüchten, sodass ihr gehäuftes und selektives Auftreten mit Essgewohnheiten gehobenen Standards, vielleicht auch Festmählern, in Zusammenhang gebracht werden kann. Inwiefern dieser Zusammenhang auf rituelle Aktivitäten im nahe gelegenen Artemision auszudehnen ist, kann auf Basis der aktuellen Forschungslage derzeit nicht entschieden werden. Dem Faktum, dass, anders als in den Opferresiduen aus dem Artemision[474], in der untersuchten Probe Schafknochen in einem Verhältnis von 4 : 1 gegenüber Ziegenresten dominieren, sollte keine allzu große Beachtung gezollt werden, da abgesehen vom Effekt des taphonomischen Zufalls auch ein großer zeitlicher Abstand zwischen den beiden Konsumsituationen besteht.

In den spätantiken Deponierungen treten die Reste von Schafen und Ziegen gegenüber Schweine- und Rinderknochen deutlich in den Hintergrund, wobei sich die dem 5.–6. Jahrhundert zugeordnete Probe 3 in mehreren Aspekten signifikant von der ein Jahrhundert jünger datierten Probe 4 abhebt. Zum einen dominieren im älteren Ensemble Schweinereste, während in Probe 4 mehr als die Hälfte der bestimmbaren Haustierknochen von Rindern stammt, zum anderen weisen die Knochen der Probe 3 sehr viel häufiger Hack- und andere Zerlegungsspuren auf und beinhalten einen dreimal so hohen Anteil an Jungtieren als der jüngere Fundkomplex. In wesentlichen Punkten ähnelt die Formation der Abfallvergesellschaftung aus dem Kontext 3 den als primär deponierte Küchenabfälle interpretierten Nahrungsresten aus severisch datierten Schichten der Wohneinheit 1 des Hanghauses 2 und scheint wie diese auch einen gehobenen Ernährungsstatus anzudeuten, während vor allem die Rinderknochen aus dem Kontext 4 eher den Eindruck von Abfällen erwecken, die bei der groben Zerlegung der Tierkörperteile, vielleicht auch im Zuge des Fleischvertriebs auf dem Markt, anfallen können. Die für eine derartige Abfallproduktion typischen Selektions- und Zerlegungsmuster[475] lassen sich allerdings am vorliegenden Fundgut nicht klar erkennen, vielleicht wieder aufgrund der zu geringen Fundzahlen. Immerhin weist das weitgehende Fehlen des Schädelskeletts und der distalen Gliedmaßenabschnitte darauf hin, dass die primäre, auf die Schlachtung folgende Zerlegung der Tierkörper vor dem durch den osteologischen Befund abgebildeten Verarbeitungsstadium bereits erfolgt war. Darüber hinaus sind an zwei Rinderknochen, einem Femur und einer Tibia, spanabhebende Zerlegungsschnitte (›chipping‹) erkennbar (Taf. 96, 5), die als Hinweis auf durch Räuchern oder Trocknen haltbar gemachtes und pfundweise am Markt verkauftes Dörrfleisch verstanden werden[476].

469 Galik u. a. 2014, 774.
470 Forstenpointner – Weissengruber, unpubl. Daten.
471 Zimmermann 1993, 10.
472 Fabis 1999, 239.
473 Forstenpointner, unpubl. Daten.
474 Forstenpointner 2003, 206.
475 Forstenpointner u. a. 2009, 38.
476 Deschler-Erb 1991, 146; Dobney u. a. 1996, 26.

Schweineknochen als Hauptkomponenten biogener Abfalldeponierungen sind aus Ephesos mehrfach belegt[477] und werden mit einiger Vorsicht als Hinweis auf einen hohen Anteil von italisch orientierter Bevölkerung interpretiert[478]. Eine Dominanz von Rinderknochen konnte bisher für das antike und byzantinische Ephesos nicht nachgewiesen werden, ist aber aus dem römischen Sagalassos[479] und aus byzantinischen Schichten der Burg von Pessinus bekannt[480].

Zusammenfassend ist festzuhalten, dass alle vier untersuchten Ensembles biogener Reste aus definierten Grabungskontexten am Odeion zu geringe Fundzahlen aufweisen, um quantifizierende Testverfahren sinnvoll erscheinen zu lassen. Dennoch lassen drei der Proben charakteristische Eigenarten erkennen, die im Sinne ungesicherter Trends interpretiert werden können.

In den Funden aus der Fundamenthinterfüllung aus umgelagertem älteren Material unter dem Bauhorizont des Odeions mit einem auffallend hohen Anteil an archaisch-klassischen und hellenistischen Keramikfragmenten dominieren Schaf- und Ziegenknochen, was auf die üblichen Ernährungspräferenzen des ostmediterranen Raumes in antiker Zeit schließen lässt. Etwa die Hälfte des Fundguts besteht aus den Schalen mittelgroßer bis großer Austern; dies kann im Sinne von Essgewohnheiten gehobenen Standards interpretiert werden. Festmähler im rituellen Umfeld des nahe gelegenen Artemisions sind dabei nicht auszuschließen.

Die dem 5.–6. Jahrhundert n. Chr. zugeordnete Knochenvergesellschaftung aus der Zerstörungsschicht an der Orchestra ist durch einen hohen Anteil von Schweineresten gekennzeichnet und weist in ihrer Zusammensetzung und Formation erkennbare Ähnlichkeiten mit Fundkomplexen auf, die als Küchenabfall interpretiert werden. Darüber hinaus liegen Hinweise auf einen gehobenen ökonomischen Status der Abfallproduzenten vor.

Die um ein Jahrhundert jünger datierte, ebenfalls von der Orchestra stammende Probe besteht etwa zur Hälfte aus Rinderknochen. Aufgrund einiger Indizien ist an die Deponierung dieser Abfälle im Umfeld der Vermarktung von möglicherweise getrocknetem Rindfleisch zu denken.

---

[477] Hanghaus 2: Forstenpointner u. a. 2010, 360 (Wohneinheit 1); Galik u. a. 2014, 774 (Wohneinheit 6); ›Lukasgrab‹: Galik u. a. 2010, 362; Vediusgymnasium: Forstenpointner u. a. 2008, 216.

[478] Forstenpointner u. a. 2010, 367.

[479] De Cupere 2001, 143.

[480] Ervynck u. a. 2003, 380.

*Säugetiere:* B – Rind, O-C – Schaf/Ziege, O – Schaf, C – Ziege, S – Hausschwein, Cn – Hund, Ea – Esel, Ee – Pferd, D – Damhirsch, Vu – Rotfuchs, Le – Feldhase, Mi – unbestimmbares Säugetier, k – kleinwüchsige Tierart, m – mittelgroße Tierart, g – großwüchsige Tierart. – *Vögel:* G – Haushuhn, A – Hausgans, Cy – Höckerschwan, Fr – Frankolin. – *Muscheln:* Ost – Auster, Cer – essbare Herzmuschel, Myt – Miesmuschel, Rud – Teppichmuschel, Arc – Arche Noah, Don – gebänderte Dreieckmuschel, Fle – glatte Kammmuschel. – *Schnecken:* Hex – Purpurschnecke, Cev – Seenadelschnecke, Hea – gefleckte Weinbergschnecke, Hec – gegürtete Weinbergschnecke

Tabelle 6a Tierreste aus Sondage 5/2010 (Kontext 1)

| | **Mammalia** | | | | | | | | **Mi** | | **Aves** | | **Mollusca** | | | | | | |
|---|---|---|---|---|---|---|---|---|---|---|---|---|---|---|---|---|---|---|---|
| SE 735–739 | B | O-C | O | C | S | Cn | Vu | Le | k | m | G | Cy | Ost | Cer | Myt | Rud | Hex | Cev | ges. |
| Maxilla | | 1 | | | | | | | | | | | | | | | | | 1 |
| Incisivum | | 1 | | | | | | | | | | | | | | | | | 1 |
| Mandibula | 2 | 3 | | | 2 | | | | | | | | | | | | | | 7 |
| Stylohyoid | | | 1 | | | | | | | | | | | | | | | | 1 |
| dens sup. | 1 | 2 | | | | | | | | | | | | | | | | | 3 |
| dens inf. | | 2 | | | | | | | | | | | | | | | | | 2 |
| Vert. thor. | 1 | | | | | | | | | | | | | | | | | | 1 |
| Costa | 2 | 8 | | | | | | | | 1 | | | | | | | | | 11 |
| Scapula | 2 | | 1 | | | | | | | | | | | | | | | | 3 |
| Humerus | | 1 | 2 | 1 | | | | | | | | 1 | | | | | | | 5 |
| Radius | | 3 | | | 1 | | | | | | | | | | | | | | 4 |
| Ulna | | | | | | 1 | | | | | | | | | | | | | 1 |
| Coxa | 1 | | 1 | | | | | | | | | | | | | | | | 2 |
| Femur | | 3 | | | | | | | | | 2 | | | | | | | | 5 |
| Tibia | 1 | 5 | | | | 1 | | 1 | | | | | | | | | | | 8 |
| Centroquartale | | | 1 | | | | | | | | | | | | | | | | 1 |
| Metacarpus | | 1 | 1 | | | | | | | | | | | | | | | | 2 |
| Metatarsus | 1 | 1 | | 1 | | | | | | | | | | | | | | | 3 |
| Metapodium | | | | | 1 | | | | | | | | | | | | | | 1 |
| Phalanx prox. | | | | | | | 1 | | | | | | | | | | | | 1 |
| Phalanx prox. ant. | | | | | 1 | | | | | | | | | | | | | | 1 |
| Phalanx prox. post. | | 1 | | | | | | | | | | | | | | | | | 1 |
| Phalanx med. ant. | | | 1 | | | | | | | | | | | | | | | | 1 |
| Kompakta | | | | | | | | | | 2 | | | | | | | | | 2 |
| Langknochen | | | | | | | | | 1 | | | | | | | | | | 1 |
| Klappe | | | | | | | | | | | | | 57 | 4 | 2 | 1 | | | 64 |
| Gehäuse | | | | | | | | | | | | | | | | | 1 | 1 | 2 |
| **Insgesamt** | **11** | **32** | **8** | **2** | **5** | **2** | **1** | **1** | **1** | **3** | **2** | **1** | **57** | **4** | **2** | **1** | **1** | **1** | **135** |

Tabelle 6b Tierreste aus Sondage 1/2010 (Kontext 2)

| | Mammalia | | | | Aves | Mi | Mollusca | | |
|---|---|---|---|---|---|---|---|---|---|
| SE 257. 258 | B | O-C | C | S | G | m | Cer | Ost | ges. |
| Maxilla | | | | 1 | | | | | 1 |
| Mandibula | | 1 | | | | | | | 1 |
| dens inf. | | 1 | | | | | | | 1 |
| Vert. lumb. | 1 | | | | | | | | 1 |
| Costa | 1 | | | | | 1 | | | 2 |
| Scapula | | | | | 1 | | | | 1 |
| Femur | | | | 1 | | | | | 1 |
| Metatarsus | | | 1 | | | | | | 1 |
| Klappe | | | | | | | 7 | 1 | 8 |
| **Insgesamt** | **2** | **2** | **1** | **2** | **1** | **1** | **7** | **1** | **17** |

Tabelle 6c Tierreste aus Sondage 2/2011 (Kontext 3)

| | **Mammalia** | | | | | | | **Mi** | | **Aves** | | **Mollusca** | | | | | |
|---|---|---|---|---|---|---|---|---|---|---|---|---|---|---|---|---|---|
| SE 1035–1041 | B | O-C | O | C | S | Cn | D | m | g | A | Fr | Ost | Myt | Rud | Hea | Hec | ges. |
| cran. Fragm. | 1 | | | | 3 | | | | | | | | | | | | 4 |
| Mandibula | 1 | | | | 2 | | | | | | | | | | | | 3 |
| dens sup. | | | | | 2 | | | | | | | | | | | | 2 |
| dens inf. | | | | | 1 | | | | | | | | | | | | 1 |
| Scapula | | | | 1 | | | | | | | | | | | | | 1 |
| Humerus | 1 | 1 | | | 1 | | | | | | 1 | | | | | | 4 |
| Ulna | | | 1 | | 2 | 1 | | | | | | | | | | | 4 |
| Vert. thor. | | 1 | | | 2 | | | | | | | | | | | | 3 |
| Vert. lumb. | | | | | 1 | | | | | | | | | | | | 1 |
| Costa | 12 | | | | 5 | 3 | | 1 | | | | | | | | | 21 |
| Coxa | 2 | | | | 1 | 1 | | | | 1 | | | | | | | 5 |
| Femur | | | | | 1 | | | | | | | | | | | | 1 |
| Tibia | | 1 | | | | 1 | | | | | | | | | | | 2 |
| Fibula | | | | | | 1 | | | | | | | | | | | 1 |
| Carpus | | | | | 1 | | | | | | | | | | | | 1 |
| Metacarpus | | 1 | 1 | | 2 | | 1 | | | | | | | | | | 5 |
| Metatarsus | 1 | 4 | | | | | | | | | | | | | | | 5 |
| Phalanx prox. | 1 | | | | | | | | | | | | | | | | 1 |
| Kompakta | | | | | | | | | 8 | | | | | | | | 8 |
| Langknochen | | | | | | | | 7 | 2 | | | | | | | | 9 |
| Klappe | | | | | | | | | | | | 4 | 1 | 1 | | | 6 |
| Gehäuse | | | | | | | | | | | | | | | 2 | 2 | 4 |
| **Insgesamt** | **19** | **8** | **2** | **1** | **24** | **7** | **1** | **8** | **10** | **1** | **1** | **4** | **1** | **1** | **2** | **2** | **92** |

| | Mammalia | | | | | | Mi | | Mollusca | | | | | |
|---|---|---|---|---|---|---|---|---|---|---|---|---|---|---|
| SE 1035–39 | B | O-C | O | S | Cn | D | m | g | Ost | Myt | Rud | Hea | Hec | ges. |
| Zygomaticum | 1 | | | | | | | | | | | | | 1 |
| Maxilla | | | | 2 | | | | | | | | | | 2 |
| Nasale | | | | 1 | | | | | | | | | | 1 |
| Dens sup. | | | | 1 | | | | | | | | | | 1 |
| Mandibula | 1 | | | 1 | | | | | | | | | | 2 |
| Dens inf. | | | | 1 | | | | | | | | | | 1 |
| Vert. thor. | | 1 | | | | | | | | | | | | 1 |
| Vert. lumb. | | | | 1 | | | | | | | | | | 1 |
| Costa | 3 | | | 4 | 3 | | 1 | | | | | | | 11 |
| Humerus | 1 | 1 | | 1 | | | | | | | | | | 3 |
| Ulna | | | 1 | 2 | 1 | | | | | | | | | 4 |
| Coxa | 2 | | | 1 | | | | | | | | | | 3 |
| Femur | | | | 1 | | | | | | | | | | 1 |
| Tibia | | | | | 1 | | | | | | | | | 1 |
| Fibula | | | | | 1 | | | | | | | | | 1 |
| Os c. intermedium | | | | 1 | | | | | | | | | | 1 |
| Metacarpus | | 1 | 1 | 1 | | 1 | | | | | | | | 4 |
| Metatarsus | | 4 | | | | | | | | | | | | 4 |
| Phalanx prox. post. | 1 | | | | | | | | | | | | | 1 |
| Kompakta | | | | | | | | 6 | | | | | | 6 |
| Langknochen | | | | | | | 7 | 1 | | | | | | 8 |
| Klappe | | | | | | | | | 3 | 1 | 1 | | | 5 |
| Gehäuse | | | | | | | | | | | | 1 | 2 | 3 |
| **Insgesamt** | **9** | **7** | **2** | **18** | **6** | **1** | **8** | **7** | **3** | **1** | **1** | **1** | **2** | **66** |

| | Mammalia | | | | | Mi | Aves | | Mollusca | | |
|---|---|---|---|---|---|---|---|---|---|---|---|
| SE 1040. 1041 | B | O-C | C | S | Cn | g | A | Fr | Ost | Hea | ges. |
| dens sup. | | | | 1 | | | | | | | 1 |
| Mandibula | | | | 1 | | | | | | | 1 |
| Vert. thor. | | | | 2 | | | | | | | 2 |
| Costa | 9 | | | 1 | | | | | | | 10 |
| Scapula | | | 1 | | | | | | | | 1 |
| Humerus | | | | | | | | 1 | | | 1 |
| Coxa | | | | | 1 | | 1 | | | | 2 |
| Tibia | | 1 | | | | | | | | | 1 |
| Metacarpus 4 | | | | 1 | | | | | | | 1 |
| Metatarsus | 1 | | | | | | | | | | 1 |
| Kompakta | | | | | | 2 | | | | | 2 |
| Langknochen | | | | | | 1 | | | | | 1 |
| Klappe | | | | | | | | | 1 | | 1 |
| Gehäuse | | | | | | | | | | 1 | 1 |
| **Insgesamt** | **10** | **1** | **1** | **6** | **1** | **3** | **1** | **1** | **1** | **1** | **26** |

Tabelle 6d Tierreste aus Sondage 2/2011 (Kontext 4)

| | **Mammalia** | | | | | | | | **Mi** | | **Aves** | **Mollusca** | | | | | | |
|---|---|---|---|---|---|---|---|---|---|---|---|---|---|---|---|---|---|---|
| SE 1029–1034 | B | O-C | O | C | S | Ee | Ea | Cn | m | g | G | Ost | Don | Cer | Myt | Arc | Fle | ges. |
| Hornzapfen | | | 1 | | | | | | | | | | | | | | | 1 |
| Frontale | | | | | 1 | | | | | | | | | | | | | 1 |
| Maxilla | 1 | | | | 2 | | | | | | | | | | | | | 3 |
| cran. Fragment | | | | | | | | | 1 | 1 | | | | | | | | 2 |
| dens sup. | 3 | | | | 1 | | 1 | | | | | | | | | | | 5 |
| Mandibula | 1 | 1 | | | 3 | | | | | | | | | | | | | 5 |
| dens inf. | 3 | | | | | | | | | | | | | | | | | 3 |
| Vertebra | | | | | | | | | | 1 | | | | | | | | 1 |
| Vert. cerv. | 1 | | | | | | | | | | | | | | | | | 1 |
| Vert. thor. | 6 | 1 | | | | | | | | | | | | | | | | 7 |
| Vert. lumb. | 3 | | | | 1 | | | | | | | | | | | | | 4 |
| Vert. caud. | 1 | | | | | | | | | | | | | | | | | 1 |
| Costa | 15 | 4 | | | 3 | | | | | | | | | | | | | 22 |
| Scapula | 3 | 1 | | | 2 | | | | | | | | | | | | | 6 |
| Humerus | 4 | | | | 2 | | | | | | | | | | | | | 6 |
| Radius | 1 | | | 1 | 1 | | | | | | | | | | | | | 3 |
| Ulna | 1 | | | | | | | | | | | | | | | | | 1 |
| Coxa | 3 | | | | | | | | | | | | | | | | | 3 |
| Femur | 3 | | | 1 | | | | | | | 1 | | | | | | | 5 |
| Tibia | 2 | | | 1 | 1 | | | 1 | | | | | | | | | | 5 |
| Tibiotarsus | | | | | | | | | | | 1 | | | | | | | 1 |
| Metacarpus | | 3 | | | | 2 | | | | | | | | | | | | 5 |
| Centroquartale | 1 | | | | | | | | | | | | | | | | | 1 |
| Metatarsus | | 1 | | 2 | | | | | | | | | | | | | | 3 |
| Metatarsus 3 | | | | | 2 | | | | | | | | | | | | | 2 |
| Tarsometatarsus | | | | | | | | | | | 1 | | | | | | | 1 |
| Phalanx prox. ant. | | | | | 1 | | | | | | | | | | | | | 1 |
| Phalanx med. ant. | 1 | | | | | | | | | | | | | | | | | 1 |
| Spongiosa | | | | | | | | | | 1 | | | | | | | | 1 |
| Kompakta | | | | | | | | | 4 | 41 | | | | | | | | 45 |
| Langknochen | | | | | | | | | 1 | 6 | | | | | | | | 7 |
| Klappe | | | | | | | | | | | | 3 | 3 | 2 | 1 | 1 | 1 | 11 |

Tabelle 7 Osteometrische Befunde an Tierresten aus dem Odeion am Artemision

| | | | | | | | |
|---|---|---|---|---|---|---|---|
| **RIND** | | | | | | | |
| Radius | Kontext | Bp | BFp | | | | |
| | 4 | 78,9 | 73,9 | . | . | | |
| Centroquartale | Kontext | GB | | | | | |
| | 4 | 61,9 | | | | | |
| Metatarsus | Kontext | Bp | KD | UD | TD | | |
| | 1 | 42,9 | 25 | 86 | | | |
| | 3 | 49,8 | 31,5 | 115 | 29,5 | | |
| Phalanx I post | Kontext | GLpe | Bp | KD | Bd | | |
| | 3 | 67,9 | 26,7 | 24,3 | 27,7 | | |
| Phalanx II ant | Kontext | GLpe | | | | | |
| | 4 | 43,5 | | | | | |
| **SCHAF** | | | | | | | |
| Humerus | Kontext | KD | UD | Bd | BT | | |
| | 1 | 15,6 | 57 | 34,7 | 31,1 | | |
| | 1 | | | 32,3 | 29,5 | | |
| Ulna | Kontext | BPc | | | | | |
| | 3 | 23,5 | | | | | |
| Coxa | Kontext | LA | | | | | |
| | 1 | 31,4 | | | | | |
| Centroquartale | Kontext | GB | | | | | |
| | 1 | 21 | | | | | |
| Metacarpus | Kontext | Bd | | | | | |
| | 1 | 27 | | | | | |
| Phalanx II ant | Kontext | GLpe | Bp | KD | Bd | | |
| | 1 | 25,8 | 13,5 | 9,6 | 10,8 | | |
| **ZIEGE** | | | | | | | |
| Radius | Kontext | Bp | BFp | | | | |
| | 4 | 29,7 | 27,9 | | | | |
| Tibia | Kontext | Bd | | | | | |
| | 4 | 26,2 | | | | | |
| Metacarpus | Kontext | GL | Bp | KD | UD | Bd | |
| | 4 | (110) | 26,3 | 17,5 | 11,6 | 30,4 | |
| Metatarsus | Kontext | Bp | KD | UD | TD | Bd | |
| | 2 | 20,4 | | | | | |
| | 4 | 22,7 | | | | | |
| | 4 | | 14,4 | 43 | 10,4 | 24,5 | |
| **HAUSSCHWEIN** | | | | | | | |
| Scapula | Kontext | KLC | | | | | |
| | 4 | 22,3 | | | | | |
| | 4 | 20,7 | | | | | |
| Radius | Kontext | Bp | | | | | |
| | 4 | 25,2 | | | | | |
| Os c. intermed. | Kontext | GB | | | | | |
| | 3 | 17 | | | | | |
| Metacarpus 4 | Kontext | GL | LoP | Bp | B | Bd | |
| | 3 | 87,3 | 84,5 | 16,2 | 12,9 | 17,9 | |
| Phalanx I ant | Kontext | GLpe | Bp | KD | Bd | | |
| | 1 | 40,4 | 15,7 | 11,7 | 14,5 | | |
| | 4 | | | | 13,9 | | |
| **PFERD** | | | | | | | |
| Metacarpus 4 | Kontext | Bp | Bd | Td | | | |
| | 4 | 52,4 | | | | | |
| | 4 | | 54,4 | 40,5 | | | |

| | | | | | | | |
|---|---|---|---|---|---|---|---|
| **HAUSHUND** | | | | | | | |
| Tibia | Kontext | KD | UD | Bd | | | |
| | 1 | 12,1 | 41 | 21,6 | | | |
| | 4 | 10 | 31 | | | | |
| **ROTFUCHS** | | | | | | | |
| Phalanx I | Kontext | GLpe | Bp | KD | Bd | | |
| | 1 | 25,4 | 6,3 | 3,6 | 4,6 | | |
| **HAUSHUHN** | | | | | | | |
| Scapula | Kontext | Dc | | | | | |
| | 2 | 9,7 | | | | | |
| Femur | Kontext | GL | Lm | Bp | KC | Bd | Td |
| | 4 | 72,6 | 67,8 | 14,4 | 6,2 | 14,4 | 11,9 |
| Tibiotarsus | Kontext | KC | | | | | |
| | 4 | 5,9 | | | | | |
| Tarsometatarsus | Kontext | KC | | | | | |
| | 4 | 6,8 | | | | | |
| **HAUSGANS** | | | | | | | |
| Coxa | Kontext | DA | | | | | |
| | 3 | 12,5 | | | | | |
| **HÖCKERSCHWAN** | | | | | | | |
| Humerus | Kontext | Bp | | | | | |
| | 1 | 57 | | | | | |
| **HALSBANDFRANKOLIN** | | | | | | | |
| Humerus | Kontext | GL | KC | | | | |
| | 3 | 58 | 4,8 | | | | |

In dieser Tabelle verwendete Abkürzungen: Bp – Breite proximal, BFp – Breite der proximalen Gelenkfläche, GB – größte Breite, KD – kleinster Querdurchmesser der Diaphyse, UD – kleinster Umfang der Diaphyse, TD – kleinste Tiefe der Diaphyse, GLpe – größte Länge peripher, Bd – Breite distal, BT – Breite der Tochlea, BPc – Breite über Processus coronoidei, LA – Länge des Acetabulums, KLC – kleinste Länge des Collum scapulae, LoP – Länge ohne Plantarvorsprung, Td – Tiefe distal, Dc – größte Diagonale cranical, DA – Durchmesser des Acetabulums, GL – größte Länge, KC – kleinster Querdurchmesser des Corpus

*Gerhard Forstenpointner – Gerald E. Weissengruber*

# VIII BAUPHASEN UND CHRONOLOGIE

## VIII.1 VORBEMERKUNG

Bereits vor Beginn der Arbeiten ließ das Mauerwerk des Odeions darauf schließen, dass es sich um einen römischen Bau handelt. Das verformungsgerechte Aufmaß des Gebäudes schuf in der Folge Plangrundlagen für eine grundrisstypologische Einordnung. Gleichzeitig wurden punktuelle Sondagen angelegt, um konkrete Fragestellungen zu Gebäudefunktion und Nutzungsgeschichte zu klären[481]. In zwei Sondagen konnte bis in den Fundamentbereich vorgedrungen werden, um anhand von diagnostischem Keramikmaterial eine zeitliche Einordnung für die Errichtung des Gebäudes zu bestimmen. Weiters konnten mehrere Umbaumaßnahmen sowie Ausstattungsphasen belegt und durch Auswertung des keramischen Fundmaterials auch datiert werden. Zuletzt sei darauf verwiesen, dass sich die Chronologie im Vergleich zu den 2011 publizierten vorläufigen Ergebnissen nach Abschluss der keramischen Auswertung in einigen Punkten wesentlich verändert hat[482].

Die hier verwendeten chronologischen Termini definieren sich wie folgt:

- römische Kaiserzeit: Kaiser Augustus bis Kaiser Diokletian (1.–3. Jh. n. Chr.)
- Spätantike/frühbyzantinische Zeit: Kaiser Diokletian bis Heraklius (300–640 n. Chr.)
- mittelbyzantinisch 1: 7.–9. Jh. n. Chr.
- mittelbyzantinisch 2: 10.–11. Jh. n. Chr.
- spätbyzantinisch: 12.–14. Jh. n. Chr.
- Beylik-Periode: zweite Hälfte 14./frühes 15. Jh. n. Chr.

## VIII.2 VORNUTZUNG

In keiner Sondage wurden Strukturen älterer Vorgängerbauten freigelegt. Hinweise auf eine Vornutzung des Areals lieferte jedoch das Fundmaterial aus Sondage 5/2010. Hier wurde aus den Schichten unterhalb der zum Gebäude gehörigen Bauhorizonte eine beträchtliche Anzahl qualitativ hochwertiger archaisch-klassischer und hellenistischer Keramikfragmente geborgen. Die jüngsten Keramikfragmente dieser Schichten datieren jedoch in das 1. Jahrhundert n. Chr. und belegen daher den Zusammenhang dieses Erdmaterials mit dem Bauvorgang. Es handelt sich aufgrund der hohen Anzahl an keramischen Altstücken wahrscheinlich um umgelagertes Material aus tiefer gelegenen Schichten, das beim Ausheben der Baugrube als Verfüllung erneut Verwendung fand. Belegt ist dadurch jedenfalls eine Nutzung dieses Areals zumindest bereits in hellenistischer Zeit, wenn nicht sogar schon wesentlich früher. Die Auswertung des archäozoologischen Fundmaterials dieser Schichten, das zahlreiche Austernschalen enthielt, untermauert die Vermutung, dass es sich um umgelagertes älteres Material handelt, das aufgrund seines außergewöhnlichen Charakters mit dem älteren Temenos des Artemisions in Zusammenhang gebracht werden könnte[483]. Aus diesen Schichten stammen ebenfalls Fragmente ockerfarbener und roter

[481] In den Jahren 2009–2011 wurden am Odeion im Artemision insgesamt zehn Sondagen angelegt (1/2009; 1–5/2010; 1–4/2011; Plan 3. 4).

[482] Vgl. Zabrana 2011, 357–358. Verschiebungen in der Chronologie ergaben sich in der Datierung späterer Ausstattungs- und Umbauphasen. So datiert die Latrine in Sondage 5/2010 nicht in das 6.–7. Jh. n. Chr., sondern gehört zweifellos zu einer Ausstattungsphase am Ende des 2. – Anfang des 3. Jhs. n. Chr. Die Umbaumaßnahmen in Sondage 1/2010 mit der Zumauerung des Eingangs zu Kammer 8 inklusive eines davor anschließenden Ziegelplattenbodens datieren ebenso wenig in das 6.–7. Jh. n. Chr., sondern erst in spätbyzantinische Zeit (13.–14. Jh. n. Chr.).

[483] Vgl. Kap. VII.6.3.

Wandmalerei (Taf. 23, 3–5), die eine bauliche Ausgestaltung der Vorgängerbauten an dieser Stelle wahrscheinlich machen. Aufgrund des kleinen Ausschnitts kann keine Aussage darüber getroffen werden, ob es sich bei dieser Vorgängerbebauung um Gebäude handelte, die dem heiligen Bezirk zugerechnet werden können, wenn auch mit einiger Sicherheit davon ausgegangen werden kann.

## VIII.3 BAUPHASE 1: ERRICHTUNG (2. HÄLFTE 1. JH. N. CHR.)

Die Errichtungszeit des Odeions konnte anhand diagnostischer Keramikfragmente aus dem Fundamentbereich des Gebäudes, der in zwei Sondagen erreicht wurde, gesichert bestimmt werden.

In Sondage 1/2010 enthielten jene Schichten unter dem bauzeitlichen Nutzungsniveau, das durch den massiven Schwellenblock des Zugangs zu Kammer 8 vorgegeben ist, datierende Keramikfragmente, die eine Errichtung in der zweiten Hälfte des 1. Jahrhunderts n. Chr. belegen (Abb. 14 Taf. 45, 3. 4; Plan 15)[484].

Diese Datierung wird durch Fundmaterial aus der Fundamenthinterfüllung von Kammer 5a in Sondage 5/2010 gestützt[485]. Das bauzeitliche Laufniveau konnte in diesem Fall durch einen erhaltenen Verbindungsgang von Kammer 5a zu 5b identifiziert werden (Taf. 47; Plan 11. 12. 18, 2). Innerhalb von Kammer 5a lässt der Einbau des späteren Latrinenkanals (s. Bauphase 2) auf diesem Niveau keine Schlüsse auf die Gestaltung des bauzeitlichen Kammerbodens mehr zu. Unter den Aufschüttungen für die Latrine kamen zunächst fundleere Schichten zum Vorschein, deren Zusammensetzung diese als Bauhorizonte ausweist (Mörtel-Bruchstein-Schicht mit Marmorabschlag, Ziegelschrot sowie reines Kalkmehl). Die jüngsten Keramikfragmente der direkt darunterliegenden Schichten, die als Fundamenthinterfüllung identifiziert werden können, datieren in das 1. Jahrhundert n. Chr., womit die keramische Analyse von Sondage 1/2010 bestätigt wird.

Die Auswertung des stratigrafischen Befunds belegt somit eine Errichtung des Odeions im Artemision in der zweiten Hälfte des 1. Jahrhunderts n. Chr. Zu dieser Zeit war das größte Bauprojekt in der Stadt Ephesos die Errichtung eines großen Kaiserkulttempels auf der sog. Domitiansterrasse[486]. Mit dem Bemühen um den Titel des Neokoros, der neben der Errichtung eines Kaiserkulttempels auch die Ausrichtung von Kaiseragonen beinhaltete, wurde oftmals von einem Bedeutungsverlust der traditionellen Agone zu Ehren der Artemis ausgegangen. Die Errichtung eines Odeions im Artemision zeigt jedoch, dass die Artemisia in der zweiten Hälfte des 1. Jahrhunderts n. Chr. sehr wohl eine wichtige Rolle übernahmen, die durch den Neubau eines Odeions hervorgehoben wurde (Taf. 97. 98).

## VIII.4 BAUPHASE 2: UMBAUMASSNAHMEN (MITTE 2./ANFANG 3. JH. N. CHR.)

Belege für eine bauliche Umgestaltung innerhalb des Gebäudes fanden sich in Kammer 5a in Sondage 5/2010. Hier wurde eine Latrine freigelegt, deren späterer Einbau durch die Abmauerung des bauzeitlichen schmalen Gangs in der Südostecke dokumentiert ist (Taf. 47; Plan 11. 12. 18, 2). Jene Schichten, die mit dem Bauvorgang der Latrine in Zusammenhang gebracht werden können, ergaben eine Errichtung am Ende des 2./Anfang des 3. Jahrhunderts n. Chr. Das keramische Fundmaterial aus der Verfüllung des umlaufenden Latrinenkanals datiert in das 3. Jahrhundert n. Chr. Es bleibt zu bemerken, dass der homogenen keramischen Datierung des 3. Jahrhunderts n. Chr. eine Münzdatierung des 4./5. Jahrhunderts n.Chr. aus derselben Schicht entgegensteht, weshalb die Latrine zum Deponierungszeitpunkt der Münze vermutlich nicht mehr aktiv in Nutzung, jedoch noch sichtbar und zugänglich war.

Zwei Schichten in Sondage 1/2010 (SE 252. SE 253) können durch ihr keramische Fundmaterial ebenso in das 2. Jahrhundert n. Chr. datiert werden und korrespondieren mit einer Mörtelbettung auf dem Schwellenblock zu Kammer 8. Beides könnte ebenso mit der in Sondage 5/2010 belegten Neuaustattungsphase in Zusammenhang gebracht werden.

---

484 Vgl. Kap. VI.2.

485 Vgl. Kap. VI.3.

486 Die Zuschreibung des Tempels an Kaiser Domitian ist nach jüngsten Forschungsergebnissen in Zweifel zu ziehen. Der Baubeginn könnte auch schon in neronischer Zeit erfolgt sein.

Ein weiterer Hinweis auf eine spätere Ausstattungsphase liefert das freigelegte *opus sectile* der Orchestra, das in seinem Dekor enge Parallelen in zwei Pavimenten der Hanghäuser findet, deren Verlegung in die Mitte des 2. Jahrhunderts n. Chr. datiert (s. Kap. IX.1.3.1). Mehrphasige Wandmalereifragmente aus Sondage 2/2011, die aller Wahrscheinlichkeit nach vom Bühnengebäude stammen, deuten ebenfalls auf mehrere Renovierungen und Ausstattungsphasen des Gebäudes hin, womit eine intensive Nutzung desselben belegt ist (Taf. 24).

Sechs stilistisch zusammengehörige Bauornamentikfragmente (**Kat. A 20**–**A 25**), die mit einer Ausnahme (**A 20**) alle aus dem Gebäudeinneren im Bereich unmittelbar vor dem Bühnengebäude stammen (Sondage 2/2011) und mit großer Wahrscheinlichkeit der *scaenae frons* zuzurechnen sind, können stilistisch in die zweiten Hälfte des 2. Jahrhunderts n. Chr. datiert werden und belegen ebenso eine Neuausstattung des Odeions in dieser Zeit[487].

Zuletzt sei auf fünf Statuenfragmente (**Kat. S1**–**S5**) aus derselben Sondage (2/2011) verwiesen, die aufgrund von Material, Format und Ausführung alle zu einer überlebensgroßen Porträtstatue, einem Himationträger aus aphrodisischem Marmor, gehören, bei dem es sich um das Standbild eines Stifters der *scaenae frons* handeln könnte[488]. Stilistisch datieren diese Fragmente in die Mitte oder das spätere 2. Jahrhundert n. Chr. und gehören somit auch dieser Neuausstattungsphase an.

## VIII.5 AUFGABE DES GEBÄUDES (5. JH. N. CHR.)

Die Aufgabe des Gebäudes wurde durch die Auswertung des keramischen Fundmaterials bestimmt, das sich direkt auf dem *opus sectile* der Orchestra befand und in das 5.–6. Jahrhundert n. Chr. zu datieren ist (Sondage 2/2011)[489]. Dieses Material besteht vorwiegend aus Dachziegeln und ist daher wahrscheinlich mit dem Einsturz eines ziegelgedeckten Daches in Verbindung zu bringen[490]. Ascheanhäufungen lassen auf eine Brandzerstörung schließen, welcher der hölzerne Dachstuhl zum Opfer fiel. Aus dem Fundmaterial sind zahlreiche Skulptur- und Wandmalereifragmente zu erwähnen, die zur Ausstattung des Bühnengebäudes gehörten[491]. Über dieser Schicht liegt sehr homogenes Erdmaterial, das ebenfalls in das 5.–6. Jahrhundert n. Chr. datiert und eine Zeit des natürlichen Verfalls widerspiegelt. Die Orchestra war durch das zerstörte Dach nun der Witterung ausgesetzt, weshalb sich relativ feines Sediment in ihr sammelte und die darunterliegende Schicht bedeckte. Eine Frequentierung des Gebäudes in dieser Zeit kann jedoch durch das Fundmaterial, das auch die Deponierung von Küchenabfällen mit einem großen Anteil von Schweineresten beinhaltet, nachgewiesen werden[492].

In Kombination mit der Datierung der Kanalverfüllung in der Latrine der Substruktionskammer 5a, deren jüngster Fund eine Münze des 4./5. Jahrhunderts n. Chr. (**Kat. M 5**) darstellt, kann die Aufgabe des Gebäudes nach den bisher ergrabenen Befunden auf das 5. Jahrhundert n. Chr. eingegrenzt werden, wobei die aktive Nutzung der Latrine wohl schon Ende des 3. Jahrhunderts n.Chr. abbricht.

## VIII.6 ZERSTÖRUNGSPHASE: MARMORABBAU (AB DEM 6.–7. JH. N. CHR.)

Relativ kurz nach der Zerstörung des Gebäudes wurde begonnen, die Marmorausstattung desselben abzubauen. Die Marmorplatten der Bühne sind bereits beraubt, als massive Schuttschichten des 6.–7. Jahrhunderts n. Chr. mit einer maximalen Höhe von 1,30 m auf der Bühnenoberseite zu liegen kamen. Auch zeigt ein großer Gebälkblock, der in Versturzlage auf der Bühnenober-

[487] Die Fragmente **A 21**–**A 25** stammen allesamt aus SE 1031, einer Schicht, die in das 6./7. Jh. n. Chr. datiert und daher die Annahme nahelegt, dass die Fragmente, die stilistisch etwa in die 2. Hälfte des 2. Jhs. n. Chr. datiert werden können, aufgrund ihres gehäuften Auftretens im Gebäudeinneren zur Bühnenfront gehören, die im 6./7 Jh. n. Chr. systematisch abgebaut wurde. Vgl. Kap. V.4.3.

[488] Vgl. Kap. V.5.1.1.

[489] Vgl. Kap. VI.5.

[490] s. u. Kap. IX.1.6.

[491] Vgl. Kap. V.3 und Kap. V.5.1.1.

[492] Vgl. Kap. VII.6.3.

seite liegt und Teil des Bühnengebäudes gewesen sein muss, grobe Abarbeitungsspuren, die auf einen systematischen Marmorabbau hindeuten (**Kat. A 12** Taf. 34). Aus dem Fundmaterial der darüberliegenden Schuttschichten des 6.–7. Jahrhunderts n. Chr., die von Bruchsteinen, Mörtel, Marmorabschlag, Dachziegel und zahlreichen Marmorfragmenten (**Kat. A 21**–**A 25** Taf. 36. 37) durchsetzt sind, stammen große Mengen an Gebrauchskeramik sowie Tierknochenfunde, die ihrer Zusammensetzung nach vor allem als Schlachtabfall vom Rind angesprochen werden können[493]. Mit dem sukzessiven Verfall des Gebäudes und einem systematischen Marmorabbau gehen daher Deponierungen von Tierabfällen und Keramikbruch einher.

## VIII.7 MITTELBYZANTINISCHE ZEIT (7. – 11. JH. N. CHR.)

Eine bis zu 50 cm hohe Schicht, die nach Auswertung des Fundmaterials dem Zeitraum des 7.–9. Jahrhunderts n. Chr. angehört, findet sich im Bereich der Cavea in Sondage 1/2011 sowie 2/2011, wobei das Material selbst und auch seine Zusammensetzung keine aktive Nachnutzung des Gebäudes belegen. Das feine Sediment, das mit Feinkies, Bruchsteinen und einigen Ziegelfragmenten durchsetzt ist, scheint eher eine Zeit des natürlichen Verfalls widerzuspiegeln, in der die Orchestra und die untersten Reihen der Cavea, die bereits bedeckt waren, unter einer weiteren Schicht akkumulierten Erdmaterials noch weiter versanken. Darüber liegen jüngere Schichten des 10./11. Jahrhunderts n. Chr., welche aber ebenfalls keinen Nachweis für eine tatsächliche Nachnutzung des Gebäudes erbrachten.

## VIII.8 NACHNUTZUNG IN SPÄTBYZANTINISCHER ZEIT UND DER BEYLİK-PERIODE (13. – ANFANG 15. JH. N. CHR.)

Eine in allen Sondagen massiv nachweisbare Nachnutzungs- und Umbauphase setzt mit spätbyzantinischer Zeit im 13.–14. Jahrhundert n. Chr. ein. Zu dieser Zeit wird der Zugang zu Kammer 8 vermauert und ein zugehöriger Ziegelplattenboden an der Gebäudeaußenseite verlegt (Sondage 1/2010). Das Verschließen des Treppenaufgangs zur Cavea belegt eine Umnutzung des Gebäudes, dessen Cavea nun in einer zweiten Phase des Marmorabbaus aller Deckplatten beraubt wird, die zum damaligen Zeitpunkt sichtbar und nicht bereits von älteren Erd- und Schuttschichten bedeckt waren; Platten, bei denen dies der Fall war, sind hingegen bis heute erhalten geblieben.

Hohe Planierschichten hoben das Nutzungsniveau schließlich um einige Meter an. In der Zeit vom 14.–15. Jahrhundert n. Chr. wurden neue Öffnungen zu den Substruktionskammern durchgebrochen, deren bauzeitliche Zugänge bereits zur Gänze verschüttet waren. Mit diesen Durchbrüchen wurden die Substruktionskammern trotz der Niveauerhöhung erneut nutzbar gemacht. Zusätzlich wurden entlang der Westfassade verschiedene mehrphasige Bruchsteinmauern angesetzt, die mit der Nutzung der Kammern in Zusammenhang zu bringen sind (Taf. 16, 1. 2; 18). Vergleichbare Bruchsteinmauern finden sich in den Sondagen im Bereich der Cavea (Sondage 3/2010. 1/2011. 2/2011. 3/2011) mitsamt zugehörigen großdimensionierten Abfallgruben. In den zugehörigen Schichten fanden sich im Fundmaterial hochqualitative, großteils lokal gefertigte Keramik- und Glasfragmente. Zahlreiche dieser Fragmente belegen aber auch weitreichende Handelsbeziehungen von Persien über Venedig bis nach Spanien. Metallfunde militärischen Charakters, wie Pfeil- und Lanzenspitzen sowie Munitionskugeln, sind im Fundmaterial ebenfalls zahlreich vertreten. Eine überlieferte militärische Auseinandersetzung in der vom Fundinventar vorläufig vorgegebenen Zeitspanne ist etwa die Eroberung von Ayasoluk unter Bayezid I. im Jahr 1390, welcher die vor Ort herrschenden Aydınoğulları besiegte. Schließlich kommt ebenso der nachfolgende Einfall der Mongolen unter Tamerlan in Betracht, welche die Osmanen unter Bayezid I. im Jahr 1402 bei Ankara besiegten und danach große Teile Anatoliens beherrschten. Auch die Besatzung der antiken Stadt Ephesos im Jahr 1424 durch die osmanischen Türken unter Sultan Murad II., welche das Fürstentum der Aydınoğulları im Jahr 1426 vollständig zerschlugen, kommt infrage[494].

[493] Vgl. Kap. VII.6.3.

[494] Bellibaş u. a. 2013, 276.

# IX REKONSTRUKTION UND GEBÄUDETYPOLOGIE

## IX.1 REKONSTRUKTION ANHAND DES BAUBEFUNDES – ANALOGIEN UND VERGLEICHE

### IX.1.1 SUBSTRUKTIONEN

Die Substruktionen des Odeions im Artemision waren nicht, wie bei den meisten erhaltenen Odeia, radial angelegt, sondern folgten den rechteckigen Außenmauern und umschlossen die Ima Cavea auf drei Seiten (Taf. 98; Plan 1. 20. 21). Ebenso wiesen die rechteckigen Kammern der Substruktionen untereinander keine Verbindung auf und waren von außen getrennt begehbar. Unterhalb der Ima Cavea waren die Substruktionen als konische Kammern radial angeordnet und mit den rechteckigen Kammern durch schmale Gänge verbunden. Vergleiche dafür finden sich bei den Odeia in Nikopolis ad Istrum[495] und auf Kos[496], welche beide in das 2. Jahrhundert n. Chr. datieren (Taf. 101, 2. 3).

Aus der Platzierung von Kammer 1, die über die gesamte südliche Gebäudebreite reicht, ergibt sich eine Asymmetrie im Grundriss, für die keine schlüssige Erklärung gefunden werden konnte. Diese ungewöhnliche und bautechnisch höchst ungünstige Wahl der Grundrissanlage ist jedoch wahrscheinlich mit der bauzeitlichen Topografie sowie der umliegenden Infrastruktur zu erklären. Geophysikalische Untersuchungen aus dem Jahr 2010 zeigen, dass es im Bereich vor der Südfassade bereits 1 m unter heutigem Laufniveau bis in Fundamenttiefe bauliche Strukturen gibt, die maximal 2,60 m vorspringen und möglicherweise als gestufter Unterbau zu interpretieren sind (Taf. 12, 1). Zieht man die statisch ungünstige Anordnung der Substruktionskammern im Süden in Betracht, wäre eine Stützkonstruktion, die den Schub der West-Ost orientierten Kammern nach Süden ableitete, eine äußerst sinnvolle Maßnahme.

Einen Vergleich für Substruktionskammern, die einerseits den rechteckigen Außenmauern folgen, andererseits auch jeweils über die gesamte Gebäudebreite oder -länge reichen, findet sich im erst 1988 entdeckten kleinen Odeion von Philippopolis im heutigen Bulgarien[497]. Jedoch sind dort an allen drei Außenseiten lang gestreckte Kammern positioniert, wodurch es zu keinen bautechnischen Problemen kommt. Im Odeion im Artemision ergeben sich die statischen Probleme in der lang gestreckten Kammer 1 durch die Schubkräfte aller nach Norden anschließender Gewölbe, die an der Südfassade gebündelt werden.

Kammer 2 liegt nördlich von Kammer 1 und ist zur Gänze mit Schutt verfüllt. Die Größe bleibt unklar, jedoch ist aufgrund der symmetrischen Anforderungen der Cavea von den gleichen Maßen entsprechend jenen von Kammer 5a auszugehen. Die Maße von Kammer 3 und 4 ergeben sich aus den Vorgaben der Cavea, weshalb in der Rekonstruktion die Breitenmaße der Kammern an der Westfassade übernommen werden konnten, die Längenmaße jedoch auf 7,50 m um 1,50 m verkürzt werden mussten.

Analog Kammer 3 wurde auch in Kammer 4 ein Längenmaß von 7,50 m rekonstruiert. Eine verkürzte Länge ergibt sich hier ebenso durch die nachgewiesene Existenz der benachbarten Kammer 5b, die angepasst an die darüberliegende Cavea schräg platziert und von konischem Querschnitt ist. Um die statisch notwendige Zwischenmauerbreite zu erreichen, musste Kammer 4 in jedem Fall kürzer gewesen sein als Kammer 5a. Die Breite von Kammer 4 ließ sich durch

[495] Bobčev 1948, 116–123 Abb. 85. 87.
[496] Laurenzi 1931, 592–602 Taf. 1–4; Chlepa 1999, 418.
[497] Kesyakova – Raichev 2012, 29–31, bes. Plan S. 31.

die westliche Schildwand, die in einem kleinen Bereich knapp bis unter Kämpferhöhe freiliegt, mit 4,80 m eindeutig ermitteln.

Das erhaltene Gewölbe von Kammer 9 setzt erst 4 m entfernt von der Innenseite der Nordfassade an und hat einen Abschluss in Form eines Bogens aus gesetzten Bruchsteinen, weshalb der Bereich nördlich davon offenbar nicht von derselben Tonne gedeckt war. In welcher Form dieses 4 × 3,3 m große Foyer unmittelbar hinter dem großzügigen Zugang geschlossen war, bleibt vorläufig unklar. Wahrscheinlich überwölbte eine quergelagerte höhere Tonne ohne Neigung diesen Eingangsbereich, der zusätzlich von außen durch das Oberlicht des Bogens mit ausreichend Tageslicht versorgt war (s. Kap. IX.1.5.1). Dem Foyer kam sicher auch eine Verteilerfunktion in das östlich gelegene Bühnengebäude sowie auf die Bühne selbst zu, weshalb von einer Türöffnung in der Ostmauer von Kammer 9 auszugehen ist.

### IX.1.2 CAVEA

Einen exakt halbkreisförmigen Abschluss der Cavea legen die Grabungsergebnisse in Sondage 1/2011 nahe, in der die östlichste Treppe der Cavea freigelegt wurde (Taf. 9, 2; 98, 2; Plan 2. 21. 22). Die Außenkante fluchtet mit der Bühnenvorderkante, weshalb in der Rekonstruktion davon ausgegangen wurde, dass die Bühne direkt an die Cavea anschloss, wie es auch bei dem Bouleuterion am ›Staatsmarkt‹ in Ephesos der Fall ist. Die Erschließung der Cavea erfolgte einerseits über das Treppenhaus in Kammer 8, dessen Austritt auf den umlaufenden Gang in die Cavea führte, andererseits wurden zusätzliche Erschließungswege über die Bühne auf die untersten Reihen der Cavea angenommen.

Eine vergleichbare Grundrissdisposition hinsichtlich Position und Ausführung der Vomitoria, die von außen geradlinig durch eine Kammer und schließlich über Treppen in die Cavea geführt wurden, begegnet uns im Odeion von Lyon[498]. In Lyon sind die Vomitoria, wie in der Regel zu erwarten, symmetrisch angelegt. Im Artemision zeigt jedoch Sondage 3/2011, dass es, im Gegensatz zum Lyoneser Odeion, in der südlichen Gebäudehälfte keine symmetrische Entsprechung des Aufgangs in die Cavea gab; die Sitzstufen des Zuschauerraumes liefen durch. Die Asymmetrie der Substruktionskammer 1 wurde damit auch auf die Cavea selbst übertragen.

Im Bereich von Sondage 3/2011 wurden die Abdrücke der Antrittsstufen einer der vermutlich drei Radialtreppen freigelegt, die in einem Winkel von 45° zur Gebäudeachse lag (Taf. 11, 3). Rekonstruiert man eine korrespondierende Treppe in der nördlichen Gebäudehälfte und geht weiters von einer Treppe in der Mittelachse aus, wird der Zuschauerraum von drei radial angeordneten Treppen in vier Cunei unterteilt. In Sondage 1/2011 konnten Abdrücke einer weiteren Treppe freigelegt werden, die parallel zur Bühne verlief und die Cavea nach Osten abschloss (Taf. 9, 2; Plan 21). Es ergibt sich eine entsprechende Treppe in der südlichen Gebäudehälfte, weshalb insgesamt fünf Radialtreppen rekonstruiert werden können, welche die Erschließung der Cavea gewährleisteten. Der Anschluss der Sitzstufen an die Radialtreppen wurde durch seitliche Wangensteine verkleidet, wovon sich in beiden Sondagen deutliche Abdrücke erhalten haben[499].

Für die Rekonstruktion des Zuschauerraumes sind die freigelegten Deckplatten der Sitzstufen im Bereich der Ima Cavea heranzuziehen (Taf. 10, 3–5). Eine dieser Deckplatten mit den Maßen 80,5 × 14 cm weist eine intakte vorkragende Hohlkehle auf, welche mit den erhaltenen Treppenstoßplatten (22 × 8 cm) eine schematische Rekonstruktion der Cavea erlaubt (Taf. 10, 3). Die Höhe der Sitzstufen betrug daher insgesamt 36 cm, die Tiefe bis zur Stoßfläche 70 cm. Eintiefungen für das Abstellen der Füße waren nicht vorhanden. Die Steigung der Vorderkanten der Stufen in der unteren Hälfte liegt auf einer Linie, deren Neigung 30° beträgt. Der nächste Vergleich für die Ausführung der marmorverkleideten Sitzstufen der Cavea findet sich bei dem Bouleuterion am ›Staatsmarkt‹ in Ephesos. Die Höhe der Sitzstufen betrug dort 38 cm, die Tiefe bis zur Stoßfläche 65 cm. Die vorkragende Hohlkehle hat beinahe die gleichen Maße wie jene des Odeions

[498] Meinel 1998, Abb. 121. 122; Wuillemier 1951, Plan G. H.

[499] s. auch o. S. 47 Anm. 253 und S. 105 mit Anm. 366.

im Artemision[500]. Die Steigung der Vorderkanten der Stufen in der unteren Hälfte der Cavea ist aufgrund der kürzeren Deckplatten mit 32° etwas steiler.

In der Rekonstruktion wurden in der Ima Cavea insgesamt sieben Sitzreihen angenommen, wovon fünf nachgewiesen sind (Plan 22). Die beiden übrigen Sitzreihen ergeben sich aus der Annahme, dass die Brüstungsmauer nicht wesentlich höher als die Bühne selbst sein konnte. Im vorliegenden Fall ist die Bühne 86 cm hoch erhalten, wobei die zusätzliche Ergänzung des fehlenden Marmorplattenbelags eine Höhe von etwa 1 m ergibt. Bei der Rekonstruktion von sieben Sitzreihen in der Ima Cavea mitsamt unterem Abschluss ergibt sich eine Höhe von 1,15 m für eine zu rekonstruierende Brüstungsmauer zur Orchestra, wodurch ein mehr oder weniger ebener Übergang von der Bühne in die Cavea rekonstruiert werden kann. Aufgrund des geringen Durchmessers der Orchestra (6,50 m) ist es auszuschließen, dass die Sitzreihen bis auf den Boden der Orchestra geführt wurden.

Der Übergang vom Diazoma zur anschließenden Summa Cavea wurde mit einer 1,30 m hohen Brüstungsmauer rekonstruiert, die sich aus dem hoch anstehenden *opus caementicium* im Bereich von Schnitt I–I' und J–J' ergibt (Plan 19, 1. 2; 22). Die Tiefe der Brüstungsmauer ist durch den freigelegten Befund in Sondage 1/2011 und 3/2011 mit etwa 45 cm belegt (Taf. 11, 2. 3). Darüber wurden die Maße der Sitzreihen der Ima Cavea übernommen, wodurch sich weitere sieben Reihen ergaben. Die Gestaltung der Zwickelbereiche zwischen Summa Cavea und Außenmauern muss offenbleiben.

Aus der Rekonstruktion (Taf. 98; Plan 20–25) ergeben sich daher insgesamt 14 Sitzreihen, deren Fassungsvermögen sich mit etwa 1 000 Plätzen errechnen lässt, wovon die Ima Cavea 250 und die Summa Cavea 750 Plätze umfasste[501]. Damit hatte das Odeion im Artemision eine geringere Kapazität als das Bouleuterion am ›Staatsmarkt‹, in welchem etwa 1 600 Personen Platz fanden[502]. Das Bouleuterion von Aphrodisias war für etwa 1 700 Personen ausgelegt und damit noch etwas größer dimensioniert[503]. Dem Fassungsvermögen des Odeions im Artemision entsprechen etwa jenes des Odeions von Philadelphia/Amman (1 100 Sitzplätze[504], Taf. 101, 1) oder die der kleineren Odeia in Kos (700–750 Sitzplätze[505], Taf. 100, 3) und Iasos (550 Sitzplätze[506], Taf. 99, 4).

### IX.1.3 ORCHESTRA

Die halbkreisförmige Orchestra des Odeions im Artemision wurde im Osten von der 86 cm hohen Bühne begrenzt (Abb. 20 Taf. 23, 1. 2; 98; Plan 2. 20–22). Räumlich abgeschlossene Orchestren ohne direkten Zugang über die Substruktionen oder über Parodoi zwischen Cavea und Bühne finden sich an den späteren Bouleuteria am ›Staatsmarkt‹ in Ephesos (Taf. 101, 2) und in Aphrodisias (Taf. 101, 3) sowie am Odeion in Ptolemaïs (Taf. 100, 5)[507]. In allen diesen Fällen ist die Orchestra jedoch über zwei Treppen von der erhöhten Bühne aus zu erreichen. Im Odeion des Artemisions wurde als Übergang von Orchestra zur Cavea eine 1,15 m hohe Brüstungsmauer rekonstruiert, deren Höhe sich aus den ergrabenen Sitzreihen *in situ* ergab (Plan 19, 1. 2; 22). Die ursprüngliche Oberkante der Bühne, die mit den ergänzten Deckplatten ebenfalls rund 1 m

[500] Bier 2011, 33 Taf. 22, 2.
[501] Den Berechnungen liegt eine benötigte Sitzbreite von 0,50 m pro Person zugrunde.
[502] Bier 2011, 116.
[503] Bier 2008, 162.
[504] Das Fassungsvermögen von Philadelphia/Amman wurde auf Grundlage des publizierten Grundrisses mit einer angenommenen Sitzbreite von 0,50 m pro Person errechnet.
[505] Meinel 1980, 241.
[506] Das Fassungsvermögen des Bouleuterions/Odeions von Iasos wurde von Balty 1991, 447 mit 960 Sitzplätzen angeführt. Auch bei Gros 1996, 316 findet sich diese Zahl wieder. Aufgrund der Unwahrscheinlichkeit dieser Zahlen im Größenvergleich zu anderen Odeia wurde das Fassungsvermögen anhand der publizierten Grundrisse überprüft und ist nunmehr halb so groß.
[507] Kraeling 1962, Plan 10. 11. Das Odeion in Ptolemaïs datiert an das Ende des 2./Anfang des 3. Jhs. n. Chr.

Höhe aufwies, legt eine mehr oder weniger ebene Erschließung der Cavea über die Bühne sowie die Brüstungsmauer nahe. Die Orchestra selbst könnte ebenso über kleine Seitentreppen von den Bühne aus erreichbar gewesen sein.

Eine andere beliebte Grundrisslösung demonstriert, dass im Gegensatz zu dem Odeion im Artemision der Halbkreis der Cavea häufig von offenen Parodoi beschnitten wurde, die direkt in die Orchestra führten, wie es das augusteische Odeion in Aosta (Taf. 99, 2. 3)[508] sowie zahlreiche andere Odeia des 2. Jahrhunderts n. Chr., beispielsweise Argos[509], Turin[510], Lyon [511] und Philadelphia (Amman) (Taf. 101, 1)[512], zeigen.

Der rekonstruierte Durchmesser der Orchestra beträgt 6,50 m und ist damit kleiner als die Orchestren der Odeia am ›Staatsmarkt‹ in Ephesos (Dm 9 m, Taf. 101, 2) und in Aphrodisias (Dm 11 m, Taf. 101, 3). Das Odeion von Kos (Dm 5 m, Taf. 100, 3) sowie jenes von Iasos (Dm 4,5 m, Taf. 99, 4) hatten wiederum etwas kleinere Orchestren als das Odeion im Artemision, korrespondierend mit dem jeweiligen Fassungsvermögen (s. Kap. IX.1.2).

### IX.1.3.1 opus sectile in Ephesos

Schmuckfelder vergleichbar mit jenen der Orchestra im Odeion im Artemision finden sich in Ephesos in den exklusiven Wohneinheiten der Hanghäuser im Zentrum der Stadt. In der großen Basilica privata (Südraum 1,7 × 9 m) in Hanghaus 1 lässt die erhaltene Unterkonstruktion des Bodens auf ein großes, rechteckiges Mittelfeld schließen, das in quadratische Felder mit 1,30 m Seitenlänge aufgeteilt war, die jeweils von 15 cm breiten Mittelstreifen geteilt wurden[513]. Eine der quadratischen Mustertafeln ist teilweise erhalten und zeigt ein filigranes Dekor aus verschiedenen Buntmarmoren, sehr ähnlich den Tafeln des Odeions im Artemision. Der Fußbodenbelag wird in die Mitte des 2. Jahrhunderts n. Chr. datiert.

In Hanghaus 2 war in Raum 10 der Wohneinheit 4 im Jahr 1962 ein weiteres *opus sectile*-Paviment freigelegt worden, das 1963 abgenommen wurde und ebenfalls Ähnlichkeiten mit dem Paviment des Odeions im Artemision zeigt[514]. Die quadratischen Schmuckfelder weisen eine Seitenlänge von 1,10 m auf. Ein dreiteiliger Rahmen aus Rosso Antico, weißem Marmor und Nero Antico mit einer Breite von insgesamt 9,73 cm umschließt das Innenfeld. Zentrales Dekorationselement ist eine Kreisscheibe aus Alabastro Fiorito, das von einem umlaufenden Palmettenband aus Giallo Antico und Bigio Antico gesäumt ist. Die verbleibenden Zwickelfelder sind mit Pavonazzetto gefüllt. Die Quadratfelder sind durch 29,62 cm breite Mittelstreifen abgesetzt. Die Verlegung dieses *opus sectile*-Paviments wird ebenso in die Mitte des 2. Jahrhunderts n. Chr. datiert.

Der stilistische Vergleich unterstützt die Vermutung, dass die Ausgestaltung der Orchestra des Odeions im Artemision einer Umbauphase in der zweiten Hälfte des 2. Jahrhunderts n. Chr. zuzurechnen ist. Hinweise und Belege für eine bauliche Umgestaltung sowie eine Ausstattungserneuerung in dieser Zeit konnten bereits mehrfach im Zuge der Grabungsarbeiten belegt werden[515]. Die Ähnlichkeit der gleichzeitigen Pavimente in den Hanghäusern legt nahe, dass der *opus sectile*-Belag im Odeion des Artemisions von denselben Werkstätten ausgeführt wurde. Einschränkend muss jedoch darauf hingewiesen werden, dass bisher weder eine stilistische Entwicklung der *opus sectile*-Pavimente in Kleinasien erkennbar ist noch spezifische Werkstattzuweisungen möglich sind (s. Kap. IX.1.3.2).

---

[508] Meinel 1980, 208–215 Abb. 80. 81.

[509] Das Odeion in Argos datiert um die Jahrhundertwende, also Ende 1./Anfang des 2. Jhs. n. Chr. (Meinel 1980, 223 Abb. 86).

[510] Das Turiner Odeion datiert ebenfalls Ende 1./Anfang des 2. Jhs. n. Chr.: Meinel 1980, 223 Abb. 82.

[511] Meinel 1980, 304 Abb. 122. 123.

[512] Das Odeion in Philadelphia datiert in die 2. Hälfte des 2. Jhs. n. Chr.: Meinel 1980, 292 Abb. 111; Segal 1995, 36–41 Abb. 3–9.

[513] Lang-Auinger 1989, 47–49 Abb. 2. 3; Lang-Auinger 1996, 106–107. Abb. 15. 81 a Taf. 104 F. 105 F.

[514] Thür 2005, 149–151 Taf. 111. 112.

[515] Vgl. Kap. VIII.4.

Sucht man in Ephesos mehrfarbige *opus sectile*-Pavimente aus der Errichtungszeit des Odeions, dem 1. Jahrhundert n. Chr., wird man vor allem in der Repräsentationsarchitektur fündig. Das in flavischer Zeit errichtete Hafengymnasium etwa hat im sog. Marmorsaal einen Bodenbelag aus *opus sectile*, der nach Otto Benndorf aus dreizehn unterschiedlichen Marmorsorten bestand[516]. Eine archivierte Rekonstruktionszeichnung von Max Theuer zeigt in einer Bodenaufsicht die Anordnung der unterschiedlichen Schmuckfelder mit quadratischen Feldern, welche jedoch nicht aus kleinteiligem Dekor, sondern aus großformatigen Platten bestehen, weshalb sie nicht mit jenen des Odeions im Artemision zu vergleichen sind[517].

### IX.1.3.2 opus sectile in den Odeia Kleinasiens

Zu den frühesten Belegen für die Verwendung von *opus sectile* gehört die Wandverkleidung aus dünn gesägten Marmorplatten am Grabmal des Maussollos in Halikarnass (352 v. Chr.)[518] sowie der Bodenbelag des Altarhofs auf Samothrake (4. Jh. v. Chr.)[519]. Ein marmornes Plattenmosaik als Fußbodenbelag findet sich wesentlich später in der Basilica Aemilia in Rom (179 v. Chr.) wie auch in der Cella des Apollotempels in Pompeji (2. Jh. v. Chr.)[520]. Im Kleinasien des 1. Jahrhunderts v. Chr. wurde beispielsweise im Attalos-Haus in Pergamon ein Würfelmuster aus *opus sectile* als Fußbodenpaviment gelegt[521]. In augusteischer Zeit schließlich wird der exklusive Marmorboden Standardausstattung repräsentativer Bauten, wie das Augustusforum demonstriert[522]. In der Aula Porticata der neronischen Domus Aurea in Rom findet sich bereits ein elaboriertes Muster aus Vierpass mit zentraler Mittelscheibe, gerahmt von Wellenbändern mit Blattmotiven in den verbleibenden Zwischenräumen[523].

Die Verwendung eines *opus sectile*-Paviments als Fußbodenbelag im Bereich der Orchestra von Theaterbauten ist außerhalb Italiens erstmals beim augusteischen Odeion Agrippas in Athen nachzuweisen (Taf. 99, 1)[524]. In zahlreichen Bauten späterer Zeit hat sich der *opus sectile*-Belag in der Orchestra erhalten und zeigt, dass eine solche Ausstattung in allen Provinzen üblich war[525]. So findet sich im Odeion in Lyon ein *opus sectile*-Paviment, das in die erste Hälfte des 2. Jahrhunderts n. Chr. datiert und ein geometrisches Muster aus großformatigen Marmorplatten zeigt[526]. In Kleinasien datiert das *opus sectile*-Dekor in der Orchestra des Odeions von Iasos an das Ende des 1. Jahrhunderts n. Chr. und stellt geometrische Formen mit zwei verschiedenfarbigen Marmorsorten dar (Taf. 99, 4)[527]. Das kürzlich ergrabene Odeion in Kibyra (Pamphylien) zeigt ein ausgesprochen bemerkenswertes Dekor der Orchestra in *opus sectile*-Technik: ein Medusenhaupt als zentrale Darstellung, gerahmt von strahlenförmigen Schuppenmustern[528]. Von den Ausgräbern wurde bis dato kein Datierungsvorschlag veröffentlicht, einzig die Erwähnung eines Statuenkopfs der Faustina, Gattin des Kaisers Marc Aurel, lässt auf eine mögliche Errichtung am Ende des 2. Jahrhunderts n. Chr. schließen[529]. Neue Grabungsaktivitäten in Parion (Troas) haben ebenfalls

---

516 Benndorf 1898, 64. Das Hafengymnasium war im Jahr 1898 eines der ersten Gebäude, das in der römischen Stadt Ephesos von österreichischen Wissenschaftlern freigelegt wurde. Leider kam es zu keiner abschließenden Publikation.

517 ÖAI-Fotoarchiv. Bodenaufsicht: Inv. A-W-OAI-N+III+0872-800; Grabungsfoto: Inv. A-W-OAI-N+II+0522-800; Steskal – La Torre 2008, Taf. 378, 4.

518 Knoepfli u. a. 1990, 442.

519 Lehmann – Spittle 1964, 59 Abb. 59.

520 Blake 1930, 35–37 Taf. 6, 1.

521 Salzmann 1991, 440 Abb. 10.

522 Scheibelreiter 2008, 263.

523 Dunbabin 1999, 259.

524 Thompson 1950, 87.

525 Eine Zusammenstellung bei Kadıoğlu 1999, 183–185.

526 Wuilleumier 1951, 44–50 Abb. 8 Plan G. H.

527 Parapetti 1985, Abb. 25 110–111. 117. 120.

528 Özdoğru – Dökü 2010, 41 Abb. 5. 6.

529 Özdoğru – Dökü 2010, 42.

ein Odeion aus dem 2. Jahrhundert n. Chr. zum Vorschein gebracht, dessen Orchestra mit großflächigen Marmorplatten ausgelegt war, die ein dreifach gerahmtes zentrales Quadratfeld mit neun kleineren Quadraten zeigen, deren Mittelfelder alternierende Kreis- und Quadratfelder in unterschiedlichen Farben bilden[530]. Im Jahr 1963 wurde im Bouleuterion von Aphrodisias ein *opus sectile*-Belag in der Orchestra freigelegt, der in das 4./5. Jahrhundert n. Chr. datiert und ebenfalls ein geometrisches Dekor aufweist[531].

Deutlich wird, dass *opus sectile*-Beläge in den Odeia Kleinasiens bereits im 1. Jahrhundert n. Chr. in unterschiedlicher Ausprägung geläufig waren und sich durch die Jahrhunderte größter Beliebtheit erfreuten. Anhand der bisher bekannten Beispiele kann jedoch keine stilistische Entwicklung erkannt werden[532].

### IX.1.4 BÜHNE UND BÜHNENGEBÄUDE

Aufgrund des kleinen ergrabenen Ausschnitts der Bühnenvorderkante können nur wenige verbindliche Aussagen über die Gestaltung der Bühne und des Bühnengebäudes getroffen werden.

Auf der Vorderseite der Bühne sind Abdrücke einer Marmorplattenverkleidung zu erkennen, von welcher die Sockelleiste sowie einige Platten *in situ* erhalten sind (Taf. 23, 1. 2). Durch die Abdrücke der entfernten Platten kann das Muster der Bühnenfront erschlossen werden: Es handelte sich um quadratische Felder mit einer Seitenlänge von 30 cm, die durch vertikale, 9 cm breite Marmorbänder abgesetzt waren. Die Quadrate wurden mit etwa 8 cm breiten, diagonal gesetzten Marmorstreifen gefüllt und jeweils spiegelverkehrt zueinander angeordnet. Nischen, die an der Bühnenfront häufig nachzuweisen sind, konnten bisher keine freigelegt werden.

Die Gestaltung der Ostfassade sowie des zugehörigen Bühnengebäudes kann lediglich hypothetisch rekonstruiert werden, allerdings geben konstruktive Erfordernisse sowie grundrisstypologische Vorgaben einige Hinweise. So erfordert die Anordnung der Pilaster an der Westfassade eine gegengleiche Entsprechung an der Ostfassade, da die Wandvorlagen als Verstärkung der Auflager für die Dreiecksbinder des Daches die Ablast desselben gewährleisteten. Es wurde ein ebenerdiges Bühnengebäude angenommen, dessen Zwischenwände die Wandvorlagen im Obergeschoss nach unten fortsetzten und die Dachlast in den Untergrund ableiteten (Taf. 97. 98; Plan 20–25). Weiters ist eine *scaenae frons* mit axialer Mitteltür, flankiert von zwei Seitentüren, zu rekonstruieren, ein typisches Element römischer Theaterfassaden und typologisches Charakteristikum eines Odeions. In der Rekonstruktion wurden die vermuteten Achsen der Bühnenfassade nur durch einfache Wandvorlagen angegeben. Es ist davon auszugehen, dass die *scaenae frons* ursprünglich mit einer aufwendigen Tabernakelarchitektur ausgestattet war, von deren hypothetischer Rekonstruktion jedoch abgesehen wurde.

### IX.1.5 FASSADEN

Die Fassadengestaltung ist nur im gut erhaltenen unteren Geschoss zum größten Teil sicher zu rekonstruieren und durch die detaillierte Bauaufnahme gut dokumentiert. Ein umlaufendes Gurtgesims aus Kalksteinblöcken bildete den horizontalen Abschluss des Untergeschosses. An keiner Stelle ist die Gebäudesubstanz darüber hinaus erhalten, weshalb die Rekonstruktion des oberen Geschosses hypothetisch bleiben muss. Odeia mit z. T. erhaltenen Obergeschossen, wie das Odeion von Aosta (Taf. 99, 2. 3) sowie vor allem das Odeion von Anemurium (Taf. 100, 4)[533], lassen aber mit großer Wahrscheinlichkeit auch für das Odeion im Artemision auf ein umlaufendes Fensterband unter dem hölzernen Dachstuhl schließen, das die Belichtung und Belüftung der Cavea gewährleistete.

---

[530] <http://parion.biz/images/Parion2017/RES-56.jpg> (17. 7. 2018).

[531] Bier 2008, 147. 160 Abb. 5. Dargestellt sind Quadrate kombiniert mit Rautenmuster. Bier verweist auf die multifunktionale Nutzung des Bouleuterions als Odeion (Bier 2008, 161–163); zur Datierung s. Kadıoğlu 1999, 183 Anm. 46.

[532] Auf diesen Umstand verweist auch Kadıoğlu 1999, 181.

[533] Russell 1976, Abb. 6; Meinel 1980, 236–257. 350 Abb. 94–96.

### IX.1.5.1 Nordfassade

Die Nordfassade des Odeions im Artemision hatte eine Blendbogengliederung, deren Blendbögen jeweils eine dahinterliegende Kammer der Substruktionen (Kammer 8–9) überspannten (Taf. 12, 2; 13; 97, 1; Plan 15. 23). Die Wandscheibe unterhalb der Blendbögen springt 65 cm aus der Fassadenflucht zurück. In der Rekonstruktion wurde im Obergeschoss entsprechend der West- und Südfassade eine Pilastergliederung angenommen, welche durch den Befund eines geschossübergreifenden Pilasters an der Westfassade belegt ist (s. Kap. III.7.2). Die zwischen den Pilastern zurückspringenden Wandfelder, die vermutlich den Rücksprung der Wandfläche unterhalb der Blendbögen aufnahmen, wurden in der Rekonstruktion mit Fensteröffnungen versehen, die jedoch in ihrer Anzahl variieren können. Auch die Ausführung prominent platzierter Nischen statt der rekonstruierten Fensteröffnungen ist durchaus vorstellbar. Die optisch eindrucksvolle Wirkung der stark gegliederten Fassade durch vor- und rückspringende Elemente betont die Ansichts- und Hauptzugangsseite des Gebäudes.

Großformatige Blöcke eines Bogenansatzes an der Nordostecke lassen auf einen betonten Hauptzugang schließen, wobei zunächst von der naheliegenden Annahme ausgegangen wurde, dass es sich hierbei um einen offenen Bogendurchgang handelte. Die genauere Untersuchung ergab eine weitere Rekonstruktionsvariante, die einen waagrechten Sturz in Form eines Architravs wahrscheinlich machte. Durch den darüberliegenden Bogen entlastet, war die rekonstruierte Spannweite von 3 m[534] mit einem monolithen Architrav gut zu überbrücken, möglich ist aber auch eine Steinschnittausführung in Form eines scheitrechten Bogens (Taf. 13, 2). Ein waagrechter Sturz mit darüberliegendem, offenem Bogen ist als Portalmotiv an der Fassadenfront des antoninischen Odeions in Amman (Taf. 101, 1)[535] zu finden sowie am Bühnengebäude des Theaters in Hierapolis, das Ende des 2./Anfang des 3. Jahrhunderts n. Chr. errichtet wurde[536]. Das tiberische Theater in Orange hat an der erhaltenen Außenfassade ähnliche Portalmotive, deren Zugänge mit überhöhten waagrechten Türstürzen hervorgehoben sind und im Gegensatz zu den niedrigeren flankierenden Bogenarkaden stehen. Hier sind die darüberliegenden Bögen jedoch geschlossen und übernehmen weniger eine dekorative als primär eine statische Funktion als Entlastungsbögen[537]. Für Orange muss zusätzlich bedacht werden, dass der Fassade im Untergeschoss ein Peristyl[538] vorgelagert war, das als Foyer diente.

### IX.1.5.2 Süd- und Westfassade

Im Gegensatz zu der Nordfassade findet sich an Süd- und Westfassade eine geschossübergreifende Pilastergliederung ohne Blendbogengestaltung (Taf. 97; Plan 16. 17. 24. 25). Die geschossübergreifenden Pilaster kragen hier etwa 50 cm aus der Fassadenflucht vor, wodurch eine starke vertikale Gliederung der Fassade gegeben ist. Vergleiche für eine ähnliche Vertikalgliederung finden sich am augusteischen Odeion in Aosta (Taf. 99, 2. 3) sowie am Odeion in Kos (Taf. 100, 3)[539], das in die erste Hälfte des 2. Jahrhunderts n. Chr. datiert werden kann.

Anordnung und Abmessungen der geschossübergreifenden vertikalen Pilastergliederung sind an der Westfassade mit der Ablast der Dachkonstruktion in Zusammenhang zu bringen, deren Hauptlast auf der östlichen und westlichen Längsmauer lag. Da sich in den beiden äußersten Wandfeldern des Untergeschosses keine Zugangsöffnungen befinden, wurden analog dazu auch im Obergeschoss geschlossene Wandfelder ohne Fensteröffnung rekonstruiert.

---

534 Die rekonstruierte Spannweite ergibt sich aus dem Radius des erhaltenen Bogenblocks.

535 Segal 1995, 85–87 Abb. 125–128.

536 F. D'Andria, Hierapolis, in: Parrish 2001, 108 Abb. 4–20. Neben Theaterportalen findet dieses Architekturmotiv auch in anderen Kontexten Anwendung, etwa bei der Porta Aurea am Diokletianspalast in Spalato, s. Bulic 1929, 25.

537 Bieber 1920, 65, Taf. 33; Stierlin 1987, 189.

538 Bieber 1961, 201 Abb. 678.

539 Chlepa 1990, 431.

Die Südfassade entspricht in ihren Grundzügen der Westfassade, jedoch konnten im untersuchten Bereich keine Zugänge zu Kammer 1 festgestellt werden. Hinweis auf einen Zugang im Bereich der Südfassade lieferte lediglich das östliche Mauerhaupt der südlichen Außenmauer, das an der Südfassade eine abschließende Mauervorlage hat (Taf. 16, 3; Plan 1. 2). Die östliche Schmalseite der Außenmauer ist abgeschrägt und zeigt ein 30 cm breites Auflager. Möglicherweise ist hier ein weiterer Zugang anzunehmen, der direkt auf die Bühne sowie in das anschließende Bühnengebäude führte. Aufgrund der Tatsache, dass dieser Befund nur z. T. oberflächig gereinigt wurde, wird in der Rekonstruktion darauf verzichtet, einen hypothetischen Zugang anzugeben. Zukünftige Grabungsarbeiten werden an dieser Stelle zweifelsohne eindeutige Befunde freilegen können, wodurch die Erschließung des Gebäudes von der Südostecke geklärt werden kann. In Analogie der Nordfassade wurden in den Wandfeldern des Obergeschosses der Südfassade ebenfalls fünf Fensteröffnungen rekonstruiert.

Geophysikalische Untersuchungen aus dem Jahr 2010 zeigten im Bereich vor der Südfassade 1 m unter heutigem Laufniveau bis in Fundamenttiefe Gebäudevorsprünge von maximal 2,60 m, die möglicherweise als gestufter Unterbau zu interpretieren sind (Taf. 12, 1)[540]. Die Vermutung einer bauzeitlichen oder späteren Stützkonstruktion, die den Gewölbeschub der West-Ost orientierten Kammern nach Süden hin ableitete, liegt durch die statisch ungünstige Anordnung derselben nahe. Folgt man dieser Überlegung, wäre auch eine andere Fassadengestaltung im unteren Bereich denkbar.

### IX.1.6 DACHKONSTRUKTION

Auf eine Überdachung lassen die rechteckige Grundform sowie die starken, mit Pilastern und Blendbögen versehenen Außenmauern schließen, welche die Last der Dachkonstruktion aufnehmen mussten (Taf. 97. 98; Plan 1. 20–22). Die westliche Außenmauer verfügt über Mauerstärken von 1,50–1,60 m. Im nördlichsten Abschnitt der westlichen Außenmauer (im Bereich von Kammer 6) beträgt die Mauerbreite schließlich sogar 2 m. Auch die südliche Außenmauer ist rund 2 m breit. Die nördliche Außenmauer hingegen hat mit 1,35 m eine etwas geringere Mauerstärke, welche der Breite der Innenmauern entspricht. Die Dachlast der Dreiecksbinder, die das Gebäude in Ost-West-Richtung überspannten, wurde auf das Bühnengebäude und die westliche Außenmauer abgeleitet, wodurch sich die Mauerstärke und die Mauervorlagen in diesem Bereich erklären lassen. An der südlichen Außenmauer fand die starke Mauerbreite ebenso Verwendung, um den statischen Problemen, die bereits im Zuge der Errichtung von Kammer auftraten, entgegenzuwirken.

Hinweise auf eine ziegelgedeckte Überdachung finden sich ferner im ergrabenen Bereich über dem Boden der Orchestra, deren Schicht (SE 1040) vorwiegend aus Dachziegeln besteht und daher mit dem Einsturz eines ziegelgedeckten Daches in Verbindung zu bringen ist. Aufgrund des kleinteiligen Erhaltungszustands der geborgenen Dachziegelfragmente können keine Aussagen über die Größe und Gestalt einzelner Ziegel getroffen werden. Wegen der unerwarteten Einstellung aller Feldarbeiten konnte die geplante Erweiterung der Sondage in der Orchestra nicht angelegt werden, weshalb die Dokumentation aussagekräftiger Dachziegelfragmente weiter aussteht. Das Fehlen eines massiven Dachziegelversturzes kann vermutlich mit der nachgewiesenen Beraubung der Marmorausstattung in Zusammenhang gebracht werden. Für einen systematischen Abbau des Marmors musste zunächst der massive Ziegelversturz des Daches beseitigt werden, welcher sicher ebenfalls recycelt wurde, etwa für die Herstellung von Ziegelsplitt und Ziegelmehl als Mörtelzuschlag.

Rüdiger Meinel geht für Odeia generell von einem Sparrendach aus Dreiecksbindern im Spreng-Hänge-Werkverband aus, wobei die Dreiecksverbände den Theatersaal im rechten Winkel zur *scaenae frons* überqueren würden[541]. Der Dachfirst läge quer zur Gebäudemittelachse

[540] Es kann vorläufig nicht festgestellt werden, ob die Vorsprünge tatsächlich zum Gebäude selbst gehören oder erst später an das Gebäude angesetzt wurden.

[541] Meinel 1980, 342–352; Sackur 1925, 123–142; vgl. auch Izenour 1992, 187–189.

über der Mitte der jeweils größten Dachspanne des zu überdeckenden Theatersaals. Für die Dachkonstruktion des Odeions im Artemision lassen sich aufgrund der Anordnung der Pilaster an der westlichen Längsseite sieben Dreiecksverbände, jeweils im Abstand von 6 m, rekonstruieren. Bei einer zu überbrückenden Spannweite von etwa 23 m mit einer Mauerstärke von rund 2 m inklusive zusätzlicher Mauervorlagen wurde auf Grundlage statischer Berechnungen eine Dachbinderkonstruktion mit integriertem Spreng- und doppeltem Hängewerk als wahrscheinlich angenommen (Taf. 98; Plan 22). Die Existenz vergleichbarer Dachkonstruktionen ist für die Spätantike gesichert nachgewiesen und etwa für die Basilika San Paolo fuori le Mura in Rom belegt, die von Kaiser Konstantin in Auftrag gegeben und im Jahr 324 geweiht wurde. Dieses Dachwerk, das eine Spannweite von 24 m überbrückte, hatte allerdings jeweils verdoppelte Binder, um zusätzlich eine Hängesäule dazwischen zu befestigen. Das zudem doppelt eingestellte, vertikale Hängewerk scheint nach Walter Sackur eine Reparatur des eingestellten Sprengewerks zu sein. Der letzte intakte antike Dachstuhl Roms fiel erst im Jahr 1823 einem Feuer zum Opfer, war zuvor jedoch von Jean-Baptiste Rondelet genauestens dokumentiert worden[542].

Auf Grundlage dieser Dachkonstruktion wird als Dachform des Odeions ein Satteldach rekonstruiert, das zu den Seiten mit einem Giebel geschlossen ist, für den es im Befund vorläufig noch keinerlei Belege gibt. Die Möglichkeit eines Walmdaches anstelle der flankierenden Giebel ist nicht auszuschließen, insbesondere weil sich die Pilaster der Westfassade auch an den Schmalseiten fortsetzten. In der Rekonstruktion wird jedoch die gängigere Variante des Giebeldaches gewählt, da besonders die Nordfassade, welche sich durch die Blendbogengestaltung und den Hauptzugang zum Gebäude von den übrigen Fassaden abhob, durch einen bekrönenden Giebel zusätzliche Betonung findet.

Die rekonstruierte Gebäudetiefe von rund 23 m einschließlich der Bühne[543] liegt im Vergleich mit anderen Odeia[544], aber auch mit Dachkonstruktionen anderer Bauten, die große Spannweiten überbrücken mussten, im erprobten Mittelfeld[545]. Auf Grundlage von Vitruv geht Walter Sackur für alle antiken Dachkonstruktionen, die eine größere Spannweite aufwiesen, von einem Spreng- oder Hängewerkverband aus: »Die Vorbedingung für die Anwendung dieser *transtra cum capreolis* ist nach Vitruv ›*si maiora spatia sunt*‹, das heißt, ›wenn es sich um größere Spannweiten handelt‹. Mit anderen Worten, die *transtra cum capreolis* sind Sprengewerks- oder auch Hängewerksbinder – beides sind ja sich ergänzende Konstruktionen – und es gibt im antiken Dach keinen anderen Verband als einen Sprenge- oder Hängewerksverband.«[546]. Eine Darstellung der über 1 km langen Donaubrücke auf der Trajanssäule in Rom belegt, dass ausgesprochen komplexe Sprengwerkkonstruktionen bereits bekannt waren. Geplant wurde die Brücke im Auftrag Trajans von Apollodor aus Damaskus, errichtet in den Jahren 103–105 n. Chr. im Gebiet des heute rumänischen Turnu Severin, dem antiken Drobeta[547].

Für das Artemision in Ephesos ist die Existenz einer eigenen Bauhütte mit Zimmerleuten inschriftlich belegt, weshalb die Errichtung anspruchsvoller Dachkonstruktionen sowie die Wartung derselben von ständig vor Ort befindlichen Handwerkern gewährleistet waren[548].

---

542 Sackur 1925, 139–142 Abb. 59; Rondelet 1871, 123. Für die statische Einschätzung der möglichen Dachkonstruktion danke ich dem Statiker Wolfgang Nesitka sehr herzlich; zur Thematik allgemein s. auch Kienlin 2011.

543 Die exakte Tiefe der Bühne ist nicht bekannt, da im Jahr 2011 nur ihre Vorderkante freigelegt werden konnte.

544 Odeion in Pompeji: 25 m, 1. Viertel 1. Jh. v. Chr.; Odeion, Agora in Athen: 25 m, letztes Viertel 1. Jh. n. Chr.; augusteisches Odeion in Aosta: Seitenzonen: 25 m, Mittelzone 33 m; Odeion in Korinth, Ende 1. Jh. n. Chr.: 33,50 m; Odeion in Kos, 2. Jh. n. Chr: 22,30 m; antoninisches Odeion am ›Staatsmarkt‹ in Ephesos (umgebautes Bouleuterion): 28 m; antoninisches Odeion des Herodes Atticus in Athen: 49 m.

545 Basilika Ulpia auf dem Trajansforum in Rom: 25 m (vgl. Meinel 1980, 346).

546 Sackur 1925, 125; Vitr. 4, 2.

547 Sackur 1925, 61–63 Abb. 34 Fig. 2.

548 IvE 3075, Zimmerleute des Tempels ehren P. Vedius Antonius.

## IX.2 INTERPRETATION DER GEBÄUDEFUNKTION

Als Odeia werden Gebäude bezeichnet, die als Austragungsort musischer Agone dienten, benannt nach dem Odeion des Perikles in Athen, in dem nach schriftlicher Überlieferung die musischen Bewerbe der Panathenäen abgehalten wurden[549]. Für vorklassische Zeit sind musische Wettbewerbe zahlreich belegt, die über Jahrhunderte als Teil kultischer Verehrung gepflegt wurden. Der Austragungsort solcher Agone richtete sich aber nach lokalen Gegebenheiten, weshalb der Begriff »Odeion« in klassischer Zeit die Gebäudefunktion beschreibt, ohne damit einen spezifischen Gebäudetypus zu verbinden.

Erst in römischer Zeit wurde die Funktion namensgebend für den neuen Bautypus des Odeions, der nun vornehmlich mit der Abhaltung musischer Agone assoziiert werden kann. Das domitianische Odeion auf dem Marsfeld in Rom etwa entstand anlässlich der Einrichtung der Kapitolinischen Spiele[550]. Für das Odeion des antiken Kos wird angenommen, dass dieses bei den Asklepiosfesten als Austragungsort der überlieferten Enkomien-Wettkämpfe Verwendung fand[551]. Für Ephesos und den Umbau des Bouleuterions am ›Staatsmarkt‹ liegt eine Verbindung mit den ephesischen ›Hadrianeen‹ nahe, genauso wie für die Odeia von Nikopolis in Epirus und Korinth, von deren Funktion als Veranstaltungsort der musischen Agone im Rahmen der Aktischen und Isthmischen Spiele ausgegangen werden kann[552].

Der früheste Hinweis auf musische Wettbewerbe zu Ehren der Artemis in Ephesos ist bei dem spätantiken Autor Macrobius überliefert. Er zitiert den Dichter Alexander Aetolus aus dem 3. Jahrhundert v. Chr., der von einem Dichterwettstreit in Ephesos *dedicato templo Dianae* berichtet, den Timotheos von Milet, Sohn des Thersander, gewann[553]. Timotheos wurde um die Mitte des 5. Jahrhunderts v. Chr. geboren und starb kurz vor der Geburt Alexanders des Großen. Die Existenz musischer Agone während der heiligen Spiele für Artemis in Ephesos ist schließlich in der Kaiserzeit durch Siegesnennungen eines Enkomiendichters, eines Rhetors, eines Choraules, dreier Komödianten sowie eines Kitharoden belegt (s. Kap. I.2). Helmut Engelmann vermutete daher schon früher die Ausrichtung des musischen Teils der Artemisia innerhalb des Heiligtums[554]. Nach den Ergebnissen der aktuellen Feldforschungen, die ein Gebäude dokumentieren konnten, das typologisch beispielhaft als frühkaiserzeitliches Odeion zu erkennen ist, kann der Austragungsort der überlieferten musischen Agone nun eindeutig identifiziert werden: Das bisher als ›Tribüne‹ angesprochene Gebäude innerhalb des Temenos kann von jetzt an als Odeion im Artemision angesprochen werden.

Die bautypologische Einordnung des Gebäudes als frühkaiserzeitliches Odeion erfolgte zunächst aufgrund des rechteckigen Grundrisses mit eingeschriebener Cavea, einer Form, die bereits um die erste nachchristliche Jahrhundertwende vom halbrunden Grundriss abgelöst wird. Die Existenz einer erhöhten Bühne, die Einteilung in zwei Ränge, getrennt durch einen umlaufenden Gang sowie Treppenhäuser, die an die Substruktionen angeschlossen sind, kommen weiters nur bei Odeia, nicht aber bei Bouleuteria vor. Die anzunehmende römische Theaterfassade am Bühnengebäude als wesentlicher Bestandteil des Odeions liegt noch im Erdboden verborgen (Kap. I.1).

Abgesehen von seiner Primärfunktion ist davon auszugehen, dass das Odeion im Artemision multifunktional genutzt wurde. Das Heiligtum mit eigenen Verwaltungsstrukturen und von der Stadt unabhängiger Rechtsprechung benötigte für die Abwicklung der Alltagsgeschäfte ebenso Sitzungs- und Versammlungsräume. Regelmäßige Zusammenkünfte und Tagungen verschiedener Vertretungsorgane und Gremien des Heiligtums wie auch des Priesterkollegiums selbst könnten im Odeion abgehalten worden sein. Wenn es der Anlass erforderte, tagte auch die Boulé der Stadt

549 Plut. Perikles 13, 6; Gogos 2015, 20–25.
550 Suet. Dom. 5; Gros 1996, 311–312 Abb. 414.
551 Laurenzi 1931, 592–626.
552 Meinel 1980, 357–358.
553 Macr. Sat. 5, 22, 5.
554 Engelmann 1998a, 102.

Ephesos im Artemision, wie eine Inschrift belegt, in der vom Rat die Errichtung eines Propylons im Heiligtum aus den Mitteln der Polis bewilligt wird[555].

Die Errichtung eines Monumentalgebäudes in der zweiten Hälfte des 1. Jahrhunderts n. Chr. in unmittelbarer Nähe zum Tempel, dessen Funktion zweifellos mit der Abhaltung der Artemisia in Zusammenhang gebracht werden kann, widerlegt schließlich auch die Annahme, dass die heiligen Spiele zu Ehren der Artemis im Kampf der Stadt Ephesos um die Neokorie und dem Bemühen um neue Kaiseragone im Laufe des 1. Jahrhunderts n. Chr. bereits an Bedeutung verloren hätten[556]. Vielmehr ist davon auszugehen, dass der Fokus der Artemisia traditionell auf den Kultfestivitäten lag, während die zahlreichen Kaiseragone den Wettkampf selbst in den Mittelpunkt stellten. Im Gegensatz zu dem althergebrachten und lokal beständig verankerten Fest für die Artemis, das durch die Abhaltung von Agonen bereichert wurde, fand der Kaiserkult erst mit den groß inszenierten Wettkämpfen einen entsprechenden Rahmen, um bei den breiten Massen Anklang zu finden[557].

## IX.3 DER GEBÄUDETYPUS DES ODEIONS IN KLEINASIEN

Die rechteckige Gebäudegrundform mit eingeschriebener halbkreisförmiger Cavea (Taf. 98; Plan 1. 2. 20. 21) ist eine häufig nachgewiesene Grundrisslösung für Bouleuteria und Odeia. Die Unterscheidung von Theaterbauten und theaterähnlichen Bauten wie Bouleuterion und Odeion ist oft nicht eindeutig, woraus sich eine meist zufällige Ansprache ergibt[558]. Vor allem in der östlichen Reichshälfte werden die architektonischen Elemente der überdachten, traditionellen griechisch-hellenistischen Versammlungsgebäude (Bouleuterion, Ekklesiasterion, Gerontikon) weiterentwickelt und finden schließlich im Bautypus des römischen Odeions als Konzerthalle für musische und szenische Darstellungen Verwendung[559].

Die Bezeichnung Odeion ist erstmals für das Odeion des Perikles in Athen überliefert[560]. Der Bau östlich des Dionysos-Theaters konnte archäologisch nachgewiesen werden und datiert in seiner ursprünglichen Anlage in das 5. Jahrhundert v. Chr.[561]. In diesem monumentalen Säulensaal wurden laut Plutarch die musischen Agone der Panathenäen abgehalten; das perikleische Odeion ist jedoch bei Aristophanes auch als Ort der Rechtsprechung überliefert[562]. Es scheint, dass bis in römische Zeit die Benennung Odeion für bestimmte Einzelbauten nur selten Verwendung fand. Das früheste römische Gebäude, das als Odeion überliefert ist, ist das von M. Vipsanius Agrippa in den Jahren 16–13 v. Chr. gestiftete Odeion auf der Athener Agora (Taf. 99, 1)[563]. Das Odeion der Athener Agora nimmt nun ältere Bauelemente griechisch-hellenistischer Versammlungsbauten (Bouleuterion, Ekklesiasterion, Gerontikon) auf und verbindet diese mit der Nutzung als Odeion, woraus ein neuer römischen Bautypus entsteht[564]. Savas Gogos geht von der Existenz einer Vorstufe, dem ›frührömischen Odeion‹ aus, das eine bauliche Annäherung der hypostylen Halle an den Bautypus des Bouleuterions bilden würde[565].

---

555 IvE 1384; Engelmann u. a. 1980b, 211; mein Dank geht an Hans Taeuber für Erläuterungen zu dieser Inschrift.

556 Lehner 2004, 143.

557 Samitz 2015, 21–23.

558 Entsprechend dem jeweiligen Forschungsansatz werden die Bauten eher als Odeion oder Bouleuterion angesprochen (Balty 1991, 431–600; Meinel 1980); s. auch McDonald 1943, 278.

559 Meinel 1980, 337; Chlepa 1999, 419.

560 Plut. Perikles 13, 6.

561 Travlos 1971, 387 Abb. 501. 502; Gogos 2015, 25 verweist darauf, dass die freigelegten Bauten in ihrer überwiegenden Mehrheit vom Odeion des 1. Jhs. v. Chr. (Ariobarzanes I.) stammen, das als eine ›Nachahmung‹ des klassischen Odeions angesehen wird.

562 Plut. Perikles 13, 11; Meinel 1980, 138; Aristoph. Vesp. 1107–1111; Gogos 2015, 21.

563 Thompson 1950, 31–141; Travlos 1971, 365–377. Das späthellenistische kleine, überdachte Theater in Pompeji, das 80 v. Chr. errichtet wurde, ist als *theatrum tectum* und nicht als Odeion überliefert.

564 Thompson 1987, 7; Bieber 1961, 221. Bei dem Athener Agrippeion ist bereits die typisch römische axiale Mitteltür vorhanden, der Zuschauerraum ist jedoch noch nicht in Ränge unterteilt.

565 Gogos 2015, 12–13.

Homer Armstrong Thompson verweist darauf, dass sich der Austausch zwischen den Städten Athen und Rom auch in den Bauten und deren Architekten nachweislich widerspiegelt[566]. Inschriftlich belegt sind römische Architekten an zwei Bauten in Athen: Schon 175–164 v. Chr. beauftragte der seleukidische König Antiochus IV. Epiphanes den römischen Architekten Marcus Cossutius mit der Fertigstellung des Olympieions in Athen, eines Baus, der im 6. Jahrhundert v. Chr. von den Peisistratiden begonnen worden war[567]. Ein weiteres Beispiel bietet das bei der römischen Eroberung im Jahr 87/86 v. Chr. durch Feuer zerstörte perikleische Odeion in Athen, für dessen Wiederherstellung der kappadokische König Ariobarzanes II. Philopator ein griechisch-römisches Architektenteam verpflichtete, das das Gebäude als ›Nachahmung‹ des klassischen hypostylen Saals wiedererrichtete[568].

Die Ansprache als Odeion wird in der Regel aufgrund der Existenz einer erhöhten Bühne argumentiert, im Gegensatz zu dem Bouleuterion, bei dem eine solche gewöhnlich fehlt[569]. Auch eine axiale Mitteltür im Bühnengebäude als typisches Element römischer Theaterfassaden wird bei Odeia zum Charakteristikum[570]. Die Einteilung in zwei oder mehrere Ränge, getrennt durch einen umlaufenden Gang, der an Treppenhäuser in den Substruktionen angeschlossen ist, kommt desgleichen nur bei Odeia, nicht aber bei Bouleuteria vor[571]. In jedem Fall muss von einer Überdachung als Unterscheidungskriterium gegenüber dem offenen Theater ausgegangen werden, welche für gewöhnlich mit der fehlenden Entwässerung der Orchestra begründet wird[572].

Der multifunktional verwendbare Bautypus eines Odeions wurde häufig in unmittelbarer Nähe der Agora errichtet, wo das Gebäude durch die Abhaltung von Versammlungen auch politische Funktionen erfüllen konnte, weshalb eine exklusive Nutzung oft nicht konkret benannt werden kann[573]. Bereits das augusteische Odeion auf der Agora in Athen wurde prominent zentral im Raum positioniert und war als Stiftergeschenk nicht mit öffentlichen Geldern errichtet worden. In Troja (Taf. 102, 1)[574], Sagalassos (Taf. 103, 1)[575] und Arykanda (Taf. 103, 2)[576] liegen die Odeia jeweils an der Nordseite der Agora, im kilikischen Anemurium[577] an der Westseite (Taf. 102, 2) und in Alexandria Troas an der Ostseite der oberen Agora[578]. In Ephesos und Aphrodisias befinden sich die Bouleuteria, deren Doppelnutzung als Odeia im 2. Jahrhundert n. Chr. durch funktionsspezifische Umbaumaßnahmen und spezifische Inschriften belegt ist, wiederum an der Nordseite der Agora[579]. In Magnesia am Mäander war das Odeion südlich der Marktbasilika auf halbem Weg zwischen Artemision und Theater situiert und wurde im Zuge der Errichtung der byzantinischen Mauer zerstört[580].

---

566 Thompson 1987, 4.

567 Lindley 1976, 18.

568 IG II² 3426: Inschriftenbasis. Die Architekten Gaius und Marcus Stallius, die Söhne des Gaius sowie Melanippus danken König Ariobarzanes II. (?) Philopator für den Auftrag. Die Namen deuten auf die römische und griechische Herkunft; s. auch Bringmann u. a. 1995, 66; s. auch IG II² 3427.

569 Meinel 1980, 19; Balty 1991, 447.

570 Tuchelt 1975, 95; das Odeion auf der Athener Agora (16–13 v.Chr.) hat bereits eine zentrale Mitteltür.

571 Tuchelt 1975, 109; frühe Odeionbauten haben oftmals noch eine Cavea ohne Rangeinteilung, wie das Odeion auf der Athener Agora (16–13 v. Chr.).

572 Balty 1991, 445; Meinel 1980, 223–224.

573 Balty 1991, 569–571; Bier 2008, 161–162; Nielsen 2002, 86; Levi 1967/1968, 546–563; McDonald 1943, 250–253; z. B. Bouleuteria in Aphrodisias, Ephesos, Iasos und Arykanda.

574 Blegen 1939, 216–218; Aylward 2000; Korfmann 2005, 126–128 Abb. 57. 58.

575 Mitchell – Waelkens 1989, 70; Waelkens 2002, 331 Abb. 2; Wouters 2011, 78–80.

576 Bayburtluoğlu 2012, 45 Abb. 1.

577 Akat 1969, 41–43; Smith 1968, 178. 182; Russell 1976, Abb. 4.

578 Schwertheim 2006, 14 Abb. 1. 3.

579 Auf die Möglichkeit, das sog. Bouleuterion von Aspendos an der Nordseite der Agora als Odeion zu interpretieren, sei an dieser Stelle ebenfalls verwiesen. Der halbkreisförmige Grundriss der Cavea sowie deren Bautechnik datieren das Gebäude in das 2./3. Jh. n. Chr.; Balty 1991, 532–534 Abb. 261.

580 Humann 1904, 30; Bingöl 2007, 150–158. Der Errichtungszeitraum dieses Gebäudes ist unklar. Im 1. Jh. n. Chr. wurde zusätzlich das sog. Theatron errichtet, das wahrscheinlich aufgrund einer Hangrutschung während der Bauarbeiten niemals fertiggestellt wurde und topografisch ebenso keinem Heiligtum zugeordnet werden kann.

Die Kombination großer, offener Theater mit einem unmittelbar benachbarten Odeion, wie in Philadelphia/Amman, Lyon, Vienne und Korinth, findet sich in Kleinasien im pamphylischen Sylaion[581], im kilikischen Anemurium[582] (Taf. 102, 2) und im lykischen Arykanda[583] (Taf. 103, 2).

Häufig gab es in kleinasiatischen Städten sowohl Bouleuterion als auch Odeion, wie es in Troja, Arykanda und Sagalassos nachweisbar ist (Taf. 102, 1; 103)[584]. Die Odeia wurden in allen diesen Städten, in denen es bereits ältere Bouleuteria gab, zu Beginn oder im Laufe des 2. Jahrhunderts n. Chr. errichtet. Es muss offenbleiben, ob finanzkräftige Stifter sich selbst ein Denkmal setzen wollten oder ob die Finanzierung von der Stadt übernommen wurde, um dem Standardrepertoire der üblichen repräsentativen, öffentlichen Bauten, zu denen mittlerweile das Odeion gehörte, zu entsprechen.

Bei dem Bouleuterion von Iasos in Karien wird besonders deutlich, dass bei Neubauten im 1. Jahrhundert n. Chr. die hellenistische Bautradition noch stark nachwirkt, ihnen nun jedoch römische Architekturvokabel hinzugefügt werden, um eine zeitgemäße Nutzung zu gewährleisten (Taf. 99, 4). Das Gebäude wurde Ende des 1. Jahrhunderts n. Chr.[585] errichtet und zeigt auch im Neubau noch auffallend viele Charakteristika hellenistischer Bouleuteria. Der Zuschauerraum ist in ein Rechteck eingeschrieben, wobei die weit über den Halbkreis hinausreichende Cavea durch Analemma-Mauern begrenzt wird und eine beinahe kreisrunde Orchestra hat[586]. Es existiert keine erhöhte Bühne, das Proskenion befindet sich auf derselben Höhe wie der Boden der Orchestra. Die bauzeitliche *scaenae frons* mit einer axialen Mitteltür und zwei Seitentüren, gerahmt von Ädikulen mit Säulenstellung als Bestandteil römischer Kulissenarchitektur, ist schließlich das neue Element und ein klarer Hinweis auf eine zusätzliche Nutzung als Odeion[587].

Nach Rüdiger Meinel waren Odeia mit rechteckigem Grundriss zu Beginn des 2. Jahrhunderts n. Chr. bereits veraltet[588]. Die ersten überdachten Halbrundgrundrisse kamen um 100 n. Chr. auf (Korinth, Gortyn), waren zu diesem Zeitpunkt allerdings noch nicht verbindlich. Etwa zur selben Zeit wurde in Argos noch ein Odeion mit rechteckiger Grundform und eingeschriebener halbkreisförmiger Cavea errichtet. In Kleinasien ist ein halbkreisförmiger Grundriss das erste Mal in Sagalassos[589] (Taf. 103, 1) und Troja[590] (Taf. 102, 1) in der ersten Hälfte des 2. Jahrhunderts n. Chr. nachweisbar und tritt damit nur wenig später als am griechischen Festland auf. Während es im 2. Jahrhundert n. Chr. immer noch Neubauten gibt, die an der rechteckigen Grundform mit eingeschriebener Cavea festhalten (Arykanda[591]: Taf. 103, 2; Anemurium[592]: Taf. 100, 4; 102, 2), setzt sich im Laufe des Jahrhunderts der halbkreisförmige Grundriss durch und ist nach Troja und Sagalassos schließlich auch in Ephesos und Aphrodisias belegt. Gegen Ende des 2. Jahrhunderts n. Chr. findet sich diese Grundform ebenfalls bei dem Odeion in Kibyra[593] sowie in Sylaion in der Provinz Pamphylien, das in das 2. oder 3. Jahrhundert n. Chr. datiert[594].

---

Die genaue Funktion des Theatrons bleibt unklar, es könnte jedoch auch für die Abhaltung musischer Bewerbe als Neubau geplant worden sein.

581 Lanckoroński 1890, 70–71 Abb. 51.

582 Akat 1969, 41–43; Smith 1968, 178. 182; Russell 1976, Abb. 5.

583 Bayburtluoğlu 2012, 45 Abb. 1.

584 An dieser Stelle sei auch auf Knidos verwiesen, dessen vier Theaterbauten wahrscheinlich auch ein Bouleuterion sowie ein Odeion beinhalteten (s. Bruns-Özgan 2002).

585 Parapetti 1985, 120.

586 Vgl. etwa das Bouleuterion von Alabanda und Milet.

587 Parapetti 1985, Abb. 7. 8. 25. 30.

588 Meinel 1980, 223–225.

589 Waelkens 2006, 325–326.

590 Korfmann 2005, 126–128 Abb. 57. 58.

591 Bayburtluoğlu 2012, 45. In Arykanda datiert das Odeion hadrianisch.

592 Akat 1969, 41–43; Smith 1968, 178. 182; Russell 1976, 10 Abb. 5. Das Odeion in Anemurium wird in die 2. Hälfte des 2. Jhs. n. Chr. datiert (s. Meinel 1980, 238–239).

593 Özdoğru – Dökü 2010.

594 Lanckoroński 1890, 70 Abb. 51; Meinel 1980, 328 Abb. 141.

Neben Odeia als Neubauten[595] wurden ab dem 1. Jahrhundert n. Chr. in Kleinasien vor allem Rathäuser der Boulé als Odeion adaptiert und entsprechend umgestaltet[596]. Das hellenistische Bouleuterion von Patara in Lykien etwa wurde schon in der frühen Kaiserzeit zum Odeion ausgebaut, weshalb der Grundriss eine bautypologische Mischform darstellt (Taf. 100, 6)[597]. Im Zuge der Neugestaltung wurden ein Bühnengebäude eingeschoben und die Cavea erweitert. Die Zweitnutzung als Odeion belegt in diesem Fall auch eine Inschrift aus dem 2./3. Jahrhundert n. Chr., die bei den Grabungen vor Ort gefunden wurde[598]. Es handelt sich hierbei um die Basis einer Ehrenstatue, die den Architekten Dionysius aus Tmolos in Lydien als Stifter des Daches für das Odeion in Patara nennt.

Im karischen Alabanda ergaben neue Untersuchungen am Bouleuterion die Rekonstruktion einer zur Orchestra ausgerichteten dreigeschossigen Tabernakelfront aus Holz und Stuck, deren Spuren sich an den Balkenlöchern der Innenfassade ablesen lassen[599]. Da die Achsen der Ädikulenstützen von den Achsen der Pilastergliederung an der Außenfassade abweichen, schließt Arzu Öztürk (†) auf einen römischen Umbau des hellenistischen Gebäudes. Diese Vermutung wird durch weitere bauliche Veränderungen, etwa den Einbau eines Gewölbes unter der Cavea, gestützt. Im Großen Theater von Alabanda ist die Neuausstattung des hellenistischen Bühnengebäudes mit einer *scaenae frons* für die augusteische Zeit belegt, weshalb Öztürk den Umbau des Bouleuterions ebenfalls bereits in die frühe Kaiserzeit datiert. Die Umbaumaßnahmen sind aufgrund vergleichbarer Analogien eindeutig mit einer zusätzlichen Nutzung als Odeion in Verbindung zu bringen.

Die meisten baulichen Adaptierungen können jedoch in das 2. Jahrhundert n. Chr. datiert werden. Am Bouleuterion auf dem ›Staatsmarkt‹ in Ephesos sind Mitte des 2. Jahrhunderts n. Chr. Umbaumaßnahmen nachgewiesen, die den Bau typologisch und funktionell mit der Nutzung als Odeion in Zusammenhang bringen[600]. Der Einbau einer Bühne, überwölbter Treppenhäuser und eines Diazomas, das die vorher einheitliche Cavea nun in zwei Ränge teilt, sowie die Neugestaltung der *scaenae frons* und die Anlage eines Hinterbühnenbereichs passen das Bouleuterion an neue Bedürfnisse an. Vedius Papianus Antoninus, Sohn des P. Vedius Antoninus, der den Umbau des Gebäudes veranlasste, war Agonothet (Veranstalter) der Hadrianeen, die 123/124 n. Chr. zu seinen Ehren eingerichtet worden waren und auch musische Agone beinhalteten[601]. Es liegt daher nahe, den Umbau des Bouleuterions in Ephesos mit einer zusätzlichen Nutzung als Austragungsort für die musischen Agone der Hadrianeen in Verbindung zu bringen; Statuen der Musen Terpsichore, Erato und Melpomene unterstützen diese Vermutung[602]. Eine gleichzeitige Nutzung als Bouleuterion belegen die kaiserlichen Briefe an der Skenenrückwand, welche die Ernennung neuer Mitglieder des Rates beinhalten[603] oder etwa die Vorrangstellung der Stadt Ephesos in Kleinasien bestätigen[604].

---

595 Ephesos, Odeion im Artemision, 1. Hälfte 1. Jh. n. Chr.; Odeion in Sagalassos, 1. Hälfte 2. Jh. n. Chr.; Arykanda, vermutlich hadrianisches Odeion (Bayburtluoğlu 1993, 120); Troja, Odeion in heutiger Gestalt hadrianisch, aufgrund eines Augustuskopfes wird die Errichtung des Odeions bereits in augusteischer Zeit vermutet (Korfmann 2005, 126–128 Abb. 116); Odeion in Anemurium, 2. Hälfte 2. Jh. n. Chr.

596 Auch etwa in Gortyn auf Kreta wurde ein hellenistisches Bouleuterion bereits Mitte des 1. Jhs. n. Chr. umgebaut oder weitgehend neu errichtet, s. Meinel 1980, 253.

597 Korkut – Grosche 2007, 66–72.

598 Kalinka, 1903, 154 Nr. 417; CIG 4286; s. auch Merkelbach – Stauber 2002, 40.

599 Öztürk 2014, 311–312.

600 Meinel 1980, 125–129; anders Fossel 1967, 79. Die Datierung der ersten Bauphase des Bouleuterions ist unklar und wurde von L. Bier in das späte 1. Jh. n. Chr. (Mauerwerk der gekrümmten Rückwand) bis 128/129 n. Chr. (*terminus post quem* des hadrianischen Kaiserbriefs) gesetzt (Bier 2011, 85).

601 Lämmer 1967, 54.

602 Aurenhammer 2011, 108–109.

603 Taeuber 2011, 90 (»Letter of Hadrian to Ephesos regarding the Captain Philokyrios«). 91 (»Letter of Hadrian to Ephesos regarding the Captain L. Erastus«).

604 Taeuber 2011, 91 (»Letter of Antoninus Pius to the Ephesians concerning the Conflict over Honorary City Titles«).

In Kleinasien des 2. Jahrhunderts n. Chr. legen darüber hinaus vergleichbare Umbaumaßnahmen am Bouleuterion in Milet[605] und am Gerontikon im karischen Nysa am Mäander[606] die Adaptierung von Versammlungsbauten für eine zusätzliche Nutzung als Odeion nahe[607].

Die Umgestaltung eines trajanisch/hadrianischen Versammlungsgebäudes (sog. Nordtheater) in Gerasa zu einem Odeion im Jahr 165/166 n. Chr. zeigt zudem, dass vergleichbare Umbauten auch weiter im Osten nachweisbar sind. Auf dem Architrav der *scaenae frons* ist dort die Nutzung als Odeion im dritten Viertel des 2. Jahrhunderts n. Chr. explizit erwähnt[608] und am Gebäude durch die Neugestaltung der Bühnenfront belegt. Neuerliche Ausbaumaßnahmen, wie die Vergrößerung der Cavea und Veränderungen an der Bühnenfront sowie der *versurae*, sind schließlich auch unter der Herrschaft von Severus Alexander (222–235 n. Chr.) dokumentiert[609]. Formelle Sitzplatzinschriften im Bereich der Ima Cavea, die den östlichsten Cuneus als Plätze für Ratsangehörige (Bouleutes) ausweisen sowie für die übrigen Cunei verschiedene Phylen der Stadt benennen, lassen auf eine ursprüngliche Funktion als Versammlungsort von Vertretern der Boulé und des Demos schließen[610].

Inschriften aus dem ionischen Teos belegen bereits im 3. Jahrhundert v. Chr. eine regelmäßige Verwendung des örtlichen Bouleuterions für musikalische Wettbewerbe unter Schulkindern[611]. Weiters überliefert Vitruv eine detaillierte Beschreibung einer von Apaturius aus Alabanda gemalten *scaenae frons* für das Ekklasiasterion von Tralles in Karien[612]. Es liegt daher nahe, bereits im 1. Jahrhundert v. Chr. auf eine gelegentliche theaterspezifische Verwendung des Ekklasiasterions in Tralles zu schließen. Pausanias berichtet ferner von Rezitationen im Bouleuterion von Elis auf der Peloponnes[613]. Belegt ist schließlich auch, dass der Rhetor Aelius Aristides im 2. Jahrhundert n. Chr. regelmäßig im Bouleuterion des ionischen Smyrna vortrug[614]. Obwohl daher eine multifunktionale Nutzung von Versammlungsbauten schon vor römischer Zeit deutlich belegbar ist[615], reflektiert die bauliche Veränderung bestehender Bouleuteria eine bewusste Anpassung, die durch einen Nutzungswandel notwendig geworden war.

Das Bouleuterion von Aphrodisias in Karien, das als Neubau in der zweiten Hälfte des 2. Jahrhunderts n. Chr. errichtet wurde und nach epigrafischen Zeugnissen zweifellos als Tagungsort der Boulé fungierte[616], zeigt bereits alle erwähnten bautypologischen Merkmale eines Odeions. Musische Agone sind in Aphrodisias für das 1.–3. Jahrhundert n. Chr. belegt und wurden seit der Errichtung des neuen Versammlungssaals des Rates mit hoher Wahrscheinlichkeit auch dort ausgetragen. Es scheint daher, dass im Fall von Neubauten die Planung bereits eine multifunktionale Nutzung vorsah. Auch für das Odeion im kilikischen Anemurium (Taf. 100, 4; 102, 2), das in der zweiten Hälfte des 2. Jahrhunderts n. Chr. errichtet wurde, geht James Russell von einer Doppel-

605 Knackfuß 1908, 37; Tuchelt 1975, 95.

606 Kourouniotis 1921/1922, 64–68; McDonald 1943, 220–222; Kadıoğlu 1999, 177.

607 In Griechenland sind einzig Umbaumaßnahmen am Bouleuterion von Messene mit einer Funktionswandlung zu einem Odeion in Zusammenhang zu bringen.

608 Agusta-Boularot – Seigne 2004, 488–506.

609 Agusta-Boularot – Seigne 2004, 514–522; Stewart 1986, 229.

610 Agusta-Boularot – Seigne 2004, 523–542. 561.

611 SIG³ 578, Z. 32–34.

612 Vitr. 7, 5, 5. Die Darstellung von Ziegeldächern im Untergeschoss mit darüberliegenden Säulen- und Giebelelementen wurde vom Mathematiker Licynos kritisiert, der darauf hinwies, dass Letztere in der Realität nur über horizontalen Balkenlagen zu finden sind und nicht auf Ziegeldächern, worauf Apaturius seine Darstellung umgestaltete. Auf Grundlage der detaillierten Beschreibung Vitruvs sowie der erhaltenen Wanddekoration der Villa des P. Fannius Sinistor in Boscoreale, die beinahe eine Illustration der Vitruv'schen Überlieferung wiedergibt, fertigte H. G. Bleyen eine Rekonstruktion der gemalten römischen *scaenae frons* des Ekklasiasterions in Tralles an: Bleyen 1938, 124–125. 129–130. 329 Abb. 28–33.

613 Paus. 6, 23, 7.

614 Aristeid. 50, 59; 51, 38–41. Zu überlegen wäre, ob deshalb das bei Pausanias (9, 35, 2) überlieferte Odeion in Smyrna nicht mit dem Bouleuterion gleichzusetzen wäre.

615 Kockel 1995, 35–36; Bier 2008, 162.

616 Reynolds 2008, 169–170.

nutzung als Versammlungsplatz für den Stadtrat aus[617]. Als Nachweis für eine szenische Funktion des Gebäudes benennt Rüdiger Meinel eine holzgedeckte, resonanzfähige Bühne des Odeions, die in Versammlungsgebäuden, welche ausschließlich politischen Zwecken dienten, nicht zu finden sei[618].

Michael Wörrle verweist auf die Möglichkeit einer bewussten Einbindung der viertägigen Rats- und Volksversammlungssitzungen in die agonalen Feierlichkeiten der kaiserzeitlichen Demostheneia im lykischen Oinoanda, deren Abfolge inschriftlich genauestens überliefert ist[619]. In Oinoanda selbst ist weder ein Bouleuterion noch ein Odeion bekannt, die Verknüpfung von Festaktivitäten und Sitzungen des Rates unterstützt jedoch den Gedanken, dass in der Kaiserzeit beide Funktionen im selben Gebäude ihre Berechtigung hatten.

Der Umbau oder Neubau adaptierter Rathäuser in der römischen Kaiserzeit in Kleinasien spiegelt z. T. auch den Machtverlust der städtischen Boulé[620] wider, deren Aufgaben nun teilweise durch die römische Provinzialverwaltung und den kleinasiatischen Landtag (Koinon Asia) übernommen worden waren[621]. Einer architektonischen Anpassung der Bouleuteria an eine zeitgemäße, offenbar zunehmend wichtigere Funktion als Odeion stand daher nichts weiter im Wege. Vielmehr aber bedeutet die explizite Umnutzung als Odeion eine deutliche Aufwertung der beliebten musischen Wettkämpfe, deren Stellenwert nicht zuletzt durch die gehobene Ausstattung der Gebäude deutlich wird.

Einen ersten Aufschwung erfuhr die musische Agonistik bereits im Hellenismus. »Die verschiedenen Nachfolgestaaten Alexanders des Großen begriffen die Agonistik in all ihren Spielarten als ein vorzügliches Instrument der Propaganda, um innerhalb des griechischen Kulturraumes Leistung und Machtanspruch der jeweiligen Dynastie darzustellen.«[622]. Inschriftlich erhaltene Dekrete und Gesetze hellenistischer Feste zeigen, dass die Rituale immer mehr in den Hintergrund rückten, während nun repräsentative Prozessionen, Agone und Bankette den Festcharakter prägten[623]. Weitere Ausdehnung erfuhr die Agonistik in der römischen Kaiserzeit, in der es zu zahlreichen Spielneugründungen kam, angelehnt an die großen panhellenischen Agone Griechenlands[624]. Die Rolle der römischen Kaiser war zwar jener der hellenistischen Könige und republikanischen Staatsoberhäupter ähnlich, die Auswirkungen kaiserlicher Maßnahmen jedoch beeinflussten den gesamten agonalen Kreislauf nachhaltig. Es war nun nicht mehr notwendig, Gesandtschaften in die gesamte griechische Welt zu schicken, um die Anerkennung der Spiele zu erreichen[625]; allein der Kaiser empfing die Botschafter, entschied sodann über die Abhaltung und den Status der Spiele und behielt somit die Kontrolle über ein wichtiges Propagandainstrument[626]. Die bedeutende Wirtschaftskraft Kleinasiens äußerte sich zu dieser Zeit in der Errichtung zahlreicher öffentlicher Bauten, zu denen auch neue Spielstätten zählten, welche in Kleinasien häufig durch private Stifter finanziert wurden[627]. »Die ständigen und fast sprichwörtlichen Rivalitäten zwischen den Städten der Provinz Asia um ihren Platz in der Rangliste wurden jetzt nicht mehr mit Waffengewalt ausgetragen, sondern fanden im Streben nach großen Agonen ein unblutiges, wenn auch nicht unbedingt friedlicheres Betätigungsfeld.«[628].

---

617 Russell 1976, 10.
618 Meinel 1980, 238.
619 Wörrle 1988, 255.
620 Zu Funktion und Bedeutung der Boulé in hellenistischen Städten und deren Wandel in der Kaiserzeit s. Müller 1995, bes. 51–54; Taeuber 2011, 98 zu der Rolle des Bouleuterions im öffentlichen Leben in der Kaiserzeit.
621 Mc Donald 1943, 278; Deininger 1965, 19; Herz 1990, 185.
622 Chaniotis 1995, 151 verweist auf die Stiftungen hellenistischer Könige, wie z. B. die Eumeneia und Attaleia von Delphi (160/159), oder die zahlreichen, von Königen gestiftete Feste von Delos (Anm. 36); s. auch Herz 1990, 176; Roueché 1993, 4.
623 Chaniotis 1995, 154. 162–163.
624 Parker 2004, 18–22; Provinz Achaia: Spawforth 1989, 195.
625 Parker 2004; Dreher 1996, 91.
626 Remijsen 2011, 107–109.
627 Roueché 1993, 2–5.
628 Herz 1990, 181; Mitchell 1990, 189.

Innerhalb Kleinasiens fügt sich schließlich das Odeion im Artemision in die allgemeine Entwicklung ein. Bautypologisch und bautechnisch weist das Gebäude im Artemision bereits alle Charakteristika eines römischen Odeions auf. Die in ein Rechteck eingeschriebene Cavea ist zu seiner Errichtungszeit in der zweiten Hälfte des 1. Jahrhunderts n. Chr. die übliche Grundrisslösung für den bereits gängig gewordenen Bautypus des Odeions. Nur wenig später tritt jedoch auch in Kleinasien die weiterentwickelte Form mit halbrundem Abschluss auf, welche sich in der ersten Hälfte des 2. Jahrhunderts n. Chr. zuerst in Sagalassos[629] und Troja[630] zeigt und schließlich zum Standardrepertoire kleinerer, überdachter Theaterbauten gehört.

## IX.4 ODEIA INNERHALB VON TEMENE

Theaterähnliche Bauten sind häufig in heiligen Bezirken zu finden. Die Aufführung ritueller Dramen sowie dichterischer Wettkämpfe im Rahmen der Kulthandlungen sind seit frühester Zeit belegt[631]. Sitzgelegenheiten für die Kultgemeinde waren für die Durchführung ritueller Dramen nicht unbedingt erforderlich; ist aber ein Theatron innerhalb eines Temenos nachweisbar, kann man an dieser Stelle von der Abhaltung solcher ausgehen. In dem Ephesos nahe gelegenen Didyma etwa wurde erst jüngst ein Theaterbau südlich des Tempels in unmittelbarer Nähe des Stadions lokalisiert[632]. Auch Bouleuteria als Versammlungsräume für Priesterkollegien sind innerhalb der griechischen Heiligtümer von Delphi[633], Eleusis[634] und Olympia[635] nachgewiesen. Diese Bauten datieren vom Ende des 6. Jahrhunderts v. Chr. bis in das 3. Jahrhundert v. Chr.[636].

Der älteste inschriftliche Nachweis für die Existenz eines Odeions innerhalb eines Temenos datiert in das Jahr 346/345 v. Chr. In der Schatzinschrift des Heraheiligtums auf Samos, die den Besitz der Hera auflistet, wird außer dem großen Tempel, einem Oikos und der im 6. Jahrhundert errichteten Nordhalle auch ein Ode(i)on als Verwahrungsort angegeben[637]. Das Gebäude konnte bisher aber nicht lokalisiert werden.

Mit dem Begriff Odeion wurde – wie bereits ausgeführt – in klassischer Zeit allein die Gebäudefunktion umschrieben, aus der sich vorerst noch kein kanonischer Bautypus entwickelte. Das klassische Athener Odeion des Perikles, das als solches bei Plutarch überliefert ist, wird dort als Austragungsort für die musischen Bewerbe der Panathenäen genannt; es lag außerhalb des eigentlichen Athenaheiligtums. Der Austragungsort solcher Agone richtete sich zu dieser Zeit nach lokalen Gegebenheiten und lässt sich daher zunächst weder mit einem bestimmte Gebäudetypus verbinden, noch ist die Abhaltung solcher Wettbewerbe zwingend innerhalb des Heiligtums Voraussetzung[638].

In diesem Zusammenhang sei auf überlieferte tragbare und bewegliche Einrichtungen verwiesen, die aufgrund ihrer fehlenden Nachweisbarkeit im Befund oft vernachlässigt werden. In Delphi beispielsweise wurden die musischen Bewerbe der Pythien im 4. und 3. Jahrhundert v. Chr. im Stadion abgehalten, wo transportable Proskenien sowie ein Odeion provisorisch errichtet wurden[639]. Im Rom des 2. Jahrhunderts v. Chr. lässt der Feldherr L. Anicius anlässlich seines Triumphs über die Illyrer im Jahr 166 v. Chr. eine große Bühne im Zirkus errichten, um musische Darbietungen griechischer Künstler zu ermöglichen[640]: Dort treten Auleten mit Chor, Tänzer, Posaunisten und Trompeter auf, die mit der szenischen Darstellung eines Kampfgeschehens beauftragt sind.

---

629 Waelkens 2006, 325–326.
630 Korfmann 2005, 126–128 Abb. 57. 58.
631 Schelihan 1950, 11–14; Nielsen 2002, 87.
632 Breder u. a. 2012; Bumke u. a. 2015, 142–146.
633 Identifizierung durch schriftliche Überlieferung (Plut. mor. 398 C) sowie epigrafisches Fundmaterial (s. Mc Donald 1943, 187 Anm. 214).
634 Identifizierung durch epigrafisches Fundmaterial: IG II² 1078, 11. 40–43.
635 Identifizierung durch schriftliche Überlieferung: Paus. 5, 23, 1; 5, 24, 1. 9; Xen. hell. 7, 4, 31.
636 McDonald 1943, 286–289.
637 Ohly 1953, 46–49.
638 Lauter 1986, 84.
639 CID II, 139.
640 Polyb. 30, 22, 1–12; Athen. 14, 4; Günther 2002, 121–133.

Für die römische Zeit, als das Odeion immer weitere Verbreitung fand, kann neben dem Odeion im Artemision von Ephesos nur ein weiterer gesicherter Odeionbau innerhalb eines abgeschlossenen außerstädtischen Temenos nachgewiesen werden[641]: Im Asklepiosheiligtum in Epidauros, in der griechischen Argolis gelegen, wurde gegen Ende des 2. Jahrhunderts n. Chr., spätestens aber zu Beginn des 3. Jahrhunderts n. Chr. ein Odeion in den Peristylhof des hellenistischen Gymnasiums eingebaut[642]. Richard Allan Tomlinson konnte im archäologischen Befund nachweisen, dass das sog. Gymnasium in Epidauros vor allem die Funktion spezieller Banketthallen für rituelle Speisungen übernahm. Demzufolge vermutet er, dass der Peristylhof ursprünglich weniger für gymnastische Übungen als vielmehr für die Aufführung ritueller Darstellungen als Teil heiliger Feste Verwendung fand[643]. Die Errichtung des Odeions innerhalb dieses Peristylhofs erklärt Tomlinson dann konsequenterweise aus der älteren Nutzung für szenische Darstellungen oder Wettbewerbe anlässlich von Festen.

Darüber hinaus findet sich eine räumliche Verbindung von Sakralbau und Odeion in Kleinasien, soweit bekannt, nur in Alexandria Troas. Dort ist der Tempel an der oberen Agora mit seiner Schmalseite auf ein Odeion im Osten orientiert, das durch eine vorgelagerte Säulenhalle an die Platzanlage angeschlossen war[644]. Diese Verbindung ergibt sich jedoch eher aus der häufigen Situierung von Odeia an großen Platzanlagen, wie zahlreiche Vergleiche belegen (Troja, Sagalassos, Arykanda, Anemurium).

Der Vollständigkeit halber sei zuletzt auf ein kleines Odeion im kleinasiatischen Pergamon verwiesen, das in ein Gebäude mit reich ausgestattetem Kultraum integriert war und als Raum für musische Darbietungen eines privaten Kultvereins interpretiert wird. Die Errichtung dieses Gebäudes, des sog. Heroons für Diadoros Pasparos, ist nach dem Fundmaterial in das 1. Jahrhundert v. Chr. zu datieren[645]. Obwohl die Kombination eines überdachten Versammlungsraumes mit einem Kultraum innerhalb eines geschlossenen Bereichs die Konstellation von großen Heiligtümern widerspiegelt, muss der Unterschied zu überregionalen Kultbetrieben mit spezifischer Infrastruktur für die Aufführung großer Festakte und Wettkämpfe betont werden.

Zusammenfassend kann gesagt werden, dass der römische Bautypus des Odeions ausgesprochen selten innerhalb von Temene nachzuweisen ist. Viel häufiger finden sich Odeia am Rande großer innerstädtischer Platzanlagen (s. Kap. IX.3). Im Unterschied zu offenen Kulttheatern, welche Tempel und Altar und somit das Kultgeschehen im Blickfeld haben, ist das Odeion ein geschlossener, überdachter Bau, für den der direkte Blickbezug zum Heiligtum keine Bedeutung hat. Wohl auch aus diesem Grund war es möglich, Odeia, deren Primärfunktion als Austragungsort agonaler Wettkämpfe zu Ehren der lokal verehrten Gottheit eine enge Verbindung zum nächst gelegenen Heiligtum innewohnt, abseits der Temene zu errichten, wo sie als Versammlungsgebäude multifunktional genutzt werden konnten.

Die Errichtung eines Odeions innerhalb des heiligen Bezirks um den Artemistempel scheint damit eine Besonderheit gewesen zu sein, die nicht nur den Reichtum des Heiligtums demonstriert, sondern auch die Unabhängigkeit von der Stadt Ephesos zur Schau stellt, welche durch die Verfügbarkeit eigener Infrastruktur für die Durchführung großer Festivitäten wie auch für die Abhaltung diverser Versammlungen und Sitzungen verschiedener Vertretungsorgane und Gremien innerhalb des Heiligtums offenkundig sichtbar ist.

*Lilli Zabrana*

---

641 Obwohl für Olympia keine musischen Agone überliefert sind, interpretiert Alfred Mallwitz im Zeusheiligtum einen Annexbau (15 × 19,50 m) der Ostthermen, der zu Anfang des 3. Jhs. n. Chr. über dem abgerissenen Haus des Nero entstanden war, als Odeion. Seine tief fundamentierten Außenmauern sowie radial angelegte Mauerzüge im Inneren deutet Mallwitz als Unterbau eines nach Süden ansteigenden Zuschauer- oder Versammlungsraumes, bei dem es sich um ein Odeion handeln könnte. Aufgrund des hypothetischen Charakters dieser Interpretation wird davon abgesehen, diesen Bau als Vergleich heranzuziehen (vgl. Mallwitz 1981, 108).

642 Aslanidis 2003, 310.

643 Tomlinson 1969, 111.

644 Schwertheim 2006, 14 Abb. 1. 3.

645 Filgis – Radt 1986, 67–69.

# X FORSCHUNGSBEGLEITENDE SICHERUNGEN

## X.1 ERHALTUNGSZUSTAND

Das Gebäude war vor Beginn der Reinigungsarbeiten im Frühjahr 2009 dicht mit Brombeerhecken und diversen Stauden überwuchert[646]. Das Mauerwerk wurde durch das eindringende Wurzelwerk verschiedener Bäume, darunter einiger Feigenbäume mit ausgeprägten Wurzelstöcken, stark in Mitleidenschaft gezogen. Am gesamten Gebäudebestand sind fehlender und brüchiger Fugen- oder Setzmörtel an den Fassaden sowie lockere Bruchsteine des offen liegenden *opus caementicium* ein großes Problem (Taf. 12, 2; 13, 1; 15; 17; 18). Die Bruchsteine lösen sich nach und nach aus dem Mauerverband, womit der Originalbestand sehr rasch dezimiert wird.

Alle Kammern sind dauerhaft stark durchfeuchtet, wobei die Feuchtigkeit vor allem als Regenwasser über undichte Tonnen eindringt. Gleichermaßen schädigt aufsteigende Bodenfeuchte in den hoch mit Erd- und Schuttmaterial verfüllten Kammern den Mauerbestand nachhaltig. Einige der Kammern sind stark von biogenem Befall betroffen, wobei das Schadbild die Folgeerscheinung von Feuchtigkeit sowie fehlender Luftzirkulation darstellt (Taf. 47, 3). Auch Salzausblühungen sind in den am stärksten befallenen Kammern zu konstatieren[647]. Laut mündlicher Auskunft ortsansässiger Bewohner wurden einige der zugänglichen Kammern bis in die späten 70er Jahre des 20. Jahrhunderts noch zum Einstellen von Tieren genutzt, wodurch sich die hohe Salzbelastung des Erdreichs, verursacht durch Kot und Urin, erklärt.

Die vertikale Mauerkonstruktion des Odeions besteht aus *opus caementicium* mit einer Schalungsmauer aus *opus vittatum* (s. Kap. IV.2.2). Ein wesentlicher Nachteil dieser Verkleidungstechnik besteht im Fehlen von Binderelementen. Die Westfassade, deren *opus vittatum*-Schale sich z. T. von der *opus caementicium*-Hinterfüllung gelöst hat und sich konvex nach außen vorwölbt, zeigt diese Problematik deutlich (Taf. 18).

Der östlichste Bereich des Tonnengewölbes in Kammer 1 brach im Januar 2010 nach starken Regenfällen ein: Die Kraftschlüssigkeit des Gewölbes war durch die Ablösung der innersten Gewölbeschale nicht mehr gegeben (Taf. 104, 2), weshalb das durch starken Regen zunehmende Gewicht des darüberliegenden Erdmaterials nicht mehr in die Mauern abgeleitet werden konnte und zum Teileinsturz der Tonne führte. Die Situation wird durch den statisch ungünstigen Kräfteverlauf weiter verschärft: Die Horizontalkräfte sämtlicher West-Ost ausgerichteter Gewölbe wirken auf die südliche Außenwand, welche nach außen kippt und deutliche Deformierungen zeigt. Die Konstruktion ist in diesem Bereich ohne weitere Sicherungsmaßnahmen akut gefährdet.

## X.2 MASSNAHMEN

Die Tatsache, dass zum derzeitigen Zeitpunkt keine Entscheidung über die endgültige Präsentation des Gebäudes getroffen werden kann, liegt allen durchgeführten Maßnahmen zugrunde. Etwa zwei Drittel des Gebäudes sind oberflächig sichtbar, ein Drittel liegt jedoch unterhalb der Erdoberfläche im Bereich der intensiv landwirtschaftlich genutzten Plantage, welche das römische Odeion umgibt. Ebenso befindet sich das ursprüngliche Nutzungsniveau 3,50 m unter dem modernen Laufhorizont, was eine Freilegung der gesamten Gebäudestruktur gänzlich unmöglich macht. Auch eine komplette Freilegung des sichtbaren Bereichs ist nur dann sinnvoll, wenn die Oberflächen im Zuge begleitender Maßnahmen gesichert werden und ein langfristiges Monitoring- und Präsentationskonzept existiert. Nachdem sämtliche Arbeiten am Gebäude seit dem Jahr 2012

[646] Bammer 2004, 12 betont die aufgrund des dichten Bewuchses schwierige Begehung im Jahr 1991.

[647] Für die Erfassung des Schadbildes danke ich der Restauratorin Katharina Rütten.

wegen Unstimmigkeiten mit dem Grundbesitzer der umgebenden Plantage zum vollständigen Erliegen kamen, musste von der Entwicklung langfristiger Konzepte bedauerlicherweise Abstand genommen werden. Aufgrund dieser Tatsachen, die der Dringlichkeit von Sicherungsmaßnahmen gegenüberstehen, wurde entschieden, vorläufig nur die notwendigsten Konsolidierungen durchzuführen. Im Falle einer Wiederaufnahme der Arbeiten am Gebäude sollte ein umfassendes denkmalpflegerisches Konzept erarbeitet und projektbegleitend durchgeführt werden, um den Bestand langfristig zu sichern.

### X.2.1 MASSNAHMEN 2009–2011

Bereits im Jahr 2009 wurden im Anschluss an die ersten Grobreinigungen Sicherungsmaßnahmen an der Nordfassade durchgeführt, um das brüchige Mauerwerk, das nach der oberflächigen Reinigung der Witterung schutzlos ausgesetzt war, nicht zu gefährden und den Bestand in seinem jetzigen Erhaltungszustand zu bewahren (Taf. 12, 2). Lockerer Mörtel wurde zunächst entfernt, anschließend wurden die Fugen mit Lufthochdruck sorgfältig von Bewuchs und Erdmaterial gereinigt. Der Fugenmörtel, der anschließend aufgebracht wurde, ist dem originalen Mörtel in seinen Bestandteilen nachgestellt und wurde flächig ergänzt, sodass Regenwasser nicht mehr direkt in die Mauerkonstruktion eindringen kann. Bruchsteine, die sich aus dem Mörtelverband gelöst hatten, wurden im neu aufgebrachten Mörtelbett an ursprünglicher Stelle fixiert, sofern es für die Geschlossenheit der Oberfläche notwendig war. Es wurde darauf geachtet, dass die optische Wahrnehmung dem vorgefundenen Erscheinungsbild entspricht und der Charakter der gealterten Oberfläche erhalten blieb (Taf. 13, 1).

Acht großformatige Kalksteinblöcke, welche sich im nördlichen Bereich der Westfassade noch *in situ* befinden und den Abschluss des Untergeschosses als umlaufendes Band bilden, wurden bis 2010 lediglich durch das Gewicht des darüberliegenden Erdmaterials an Ort und Stelle gehalten. Diese Kalksteinblöcke wurden mit Holzstreben provisorisch unterstellt, um das Gewicht der einzelnen Blöcke abzufangen (Taf. 14, 3).

Wegen der statisch problematischen Situation und der akuten Einsturzgefährdung von Kammer 1 wurde im Jahr 2011 ein statisches Gutachten erstellt, das die Grundlage aller ausgeführten und geplanten Sicherungsmaßnahmen darstellt[648]. Im Jahr 2011 wurde im Inneren der Kammer eine Holzkonstruktion errichtet, um den verbleibenden Teil der Gewölbetonne vor weiterem Einsturz zu bewahren (Taf. 104, 3. 4; 105, 1. 2)[649]. Den wesentlichen Aspekt der tischartigen Konstruktion bilden die diagonal verlaufenden Holzstreben, welche die ungesicherte Gewölbehälfte stützen sollen. Darüber hinaus soll durch die Holzkonstruktion der Gewölbeschub aufgenommen und in den Erdboden abgeleitet werden, um die schwer in Mitleidenschaft gezogene Südfassade zu entlasten. Weiters wurde im Bereich des Gewölbeansatzes die fehlende Innenschale notdürftig mittels eingekeilter Holzstreben ersetzt.

### X.2.2 GEPLANTE MASSNAHMEN

Zusätzlich zu den im Jahr 2011 durchgeführten Notsicherungsmaßnahmen im Inneren des Gewölbes von Kammer 1 sind Vorkehrungen zur Aufnahme des horizontalen Gewölbeschubs an der Außenseite des Gewölbes im Bereich der Südfassade erforderlich. Wegen der bereits erwähnten Vorgaben, die vorläufig nur provisorische Stabilisierungen erlauben, wurde im Konsens aller beteiligten Experten entschieden, eine provisorische Sicherungskonstruktion zu entwickeln, welche an keiner Stelle in die Originalsubstanz eingreift. Im Fall späterer Arbeiten am Gebäude kann die Sicherungskonstruktion ohne Veränderungen am historischen Bestand zur Gänze demontiert werden.

---

[648] Die Erstellung des Gutachtens wurde von Wolfgang Nesitka übernommen; als Statiker war in den Jahren 2009 und 2010 auch Rudolf Spiel beratend tätig.

[649] Für die Planung und Durchführung dieser Maßnahmen danke ich dem Architekten Georg Töpfer sehr herzlich.

Diese geplante temporäre Stützkonstruktion an drei Fassadenpfeilern der Südfassade besteht aus Holzstreben (18 × 18 cm), die gegen in Betonfundamenten eingebaute Stahlträger (Profile mit I-Querschnitt, Dimension HEA 180) abgestützt werden (Taf. 105). Die drei Betonfundamente mit Abmessungen von jeweils 1,20 × 1,50 × 0,9 m können unter Terrain eingebaut werden, sodass lediglich die erwähnten Stahlprofile über Terrain reichen. Zum Schutz gegen das Abheben der Holzkonstruktion ist diese mit Auflast gewölbeseitig zu sichern.

Die problematischen Grundstücksverhältnisse führten allerdings dazu, dass alle geplanten Forschungsarbeiten im Jahr 2013 ausgesetzt werden mussten. Darüber hinaus wurden unglücklicherweise selbst die geplanten Sicherungsmaßnahmen, die vom zuständigen Denkmalamt im August 2012 bereits genehmigt worden waren, durch den Eigentümer des umgebenden Grundstücks verhindert, indem er die Nutzung des Zubringerweges untersagte. Es bleibt zu hoffen, dass zumindest die provisorische Sicherung zu einem späteren Zeitpunkt vorgenommen werden kann.

*Georg Töpfer – Lilli Zabrana*

# XI ZUSAMMENFASSUNG

## EINLEITUNG

Im Laufe der 125-jährigen Forschungsgeschichte im Artemision von Ephesos stand seit seiner Wiederentdeckung um 1870 der Tempel im Mittelpunkt der archäologischen Arbeiten, während der umgebende, einstmals dicht bebaute heilige Bezirk unerforscht blieb. Erst im Jahr 2009 wurde ein Projekt zur einzig sichtbaren römischen Ruine innerhalb des heiligen Bezirks initiiert, um den Forschungsschwerpunkt ausgehend von diesem Gebäude auf die römische Nutzungsphase und den gesamten heiligen Bezirk auszudehnen. Der Bau, der bis dahin als sog. Tribüne bezeichnet worden war, konnte anhand enger bautypologischer Vergleiche und spezifischen Fundmaterials im Frühjahr 2011 als Odeion identifiziert werden.

Die wissenschaftliche Bearbeitung des Gebäudes wurde von der Vakıflar Genel Müdürlüğü gestattet, in deren Besitz sich der obertägig sichtbare Bereich des Objekts befindet. Da allerdings der hoch verschüttete Bereich der Bühne sowie das zugehörige Bühnengebäude bereits im benachbarten Grundstück liegen und Unstimmigkeiten mit dessen Eigentümer zum Erliegen sämtlicher Arbeiten seit dem Jahr 2012 geführt haben, konnten seitdem weder geplante Sicherungsmaßnahmen noch weiterführende Forschungsarbeiten am Gebäude realisiert werden. Aufgrund dieser Umstände müssen die vorliegenden Ergebnisse der Feldarbeiten 2009–2011 als Studien mit vorläufigem Charakter zu dem Odeion im Artemision bezeichnet werden.

## FORSCHUNGSGESCHICHTE

Im Zuge der großräumigen Suche nach dem Artemistempel legte John Turtle Wood zahlreiche Gebäude in unmittelbarer Nähe des Odeions im Artemision frei. Abgesehen vom Tempel selbst sind alle von Wood aufgedeckten Strukturen heute nicht mehr zu sehen. Auf Grundlage des Wood'schen Planmaterials, das im British Museum eingesehen werden konnte, kann für die römische Zeit aber eine dichte Bebauung unterschiedlichster Gebäudetypen rekonstruiert werden: Es scheint, dass südlich des Tempels eher offizielle, öffentliche Bauten zu finden waren, während die nördlich und nordöstlich des Tempels gefundene Wohnarchitektur an Priesterunterkünfte, Quartiere des Kultpersonals wie auch Obdach für Asylanten denken lässt. Das weithin sichtbare Gebäude des Odeions erwähnte Wood weder in seinen »Discoveries of Ephesus« noch in den brieflichen Berichten an das British Museum, verzeichnete es aber auf seinen Plänen. Im Zuge der Feldarbeiten im Jahr 2009 wurde ein tiefer Suchschacht direkt an der Westfassade freigelegt, in dessen Verfüllung eine Taschenuhrzarge der Jahre 1860–1880 gefunden wurde. Die Datierung legt nahe, dass diese im Zuge der Wiederverfüllung des Suchgrabens von J. T. Wood dorthin gelangte.

In der nachfolgenden Forschungsgeschichte des Artemisions, die von Otto Benndorf, Carl Humann, David G. Hogarth und nach dem Zweiten Weltkrieg von Anton Bammer geprägt war, stand der Tempel im Mittelpunkt der Untersuchungen. Anton Bammer schlug die Benennung des Odeions als Tribüne vor, die jene Zuschauer fassen sollte, welche den Beginn der Prozession vom Artemision nach Ephesos beobachten wollten. Wesentliche Ergebnisse erbrachte das Projekt »Via Sacra«, in dem sich Dieter Knibbe seit 1991 mit der Erkundung der Prozessionsstraße vom Artemision zur Stadt sowie rund um den Panayırdağ beschäftigte. Im Rahmen dieser Untersuchungen wurde das Odeion im Jahr 1992 großflächig gereinigt und bereits als Tribüne in Form eines kleinen Theaters bezeichnet.

## BAUBESCHREIBUNG UND REKONSTRUKTION

Das Odeion befindet sich 175 m südwestlich des Artemistempels. Die Ausrichtung des Gebäudes orientierte sich mit einer geringen Abweichung an jener des Tempels, wobei die Westfassade die Gebäuderückseite bildete, während die Cavea nach Osten orientiert war. Die Nordfassade des Odeions verfügte als Schauseite über eine repräsentative Blendbogengliederung, im Gegensatz zur geschossübergreifenden Pilastergliederung der Süd- und Westfassade.

Die Fassadengestaltung ist nur im gut erhaltenen unteren Geschoss, das durch ein umlaufendes Gurtgesims aus Kalksteinblöcken nach oben horizontal abgeschlossen wurde, sicher zu rekonstruieren. An keiner Stelle ist die Gebäudesubstanz darüber hinaus erhalten, weshalb die Rekonstruktion des oberen Geschosses hypothetisch bleiben muss. Vergleichbare Bauten lassen auf ein umlaufendes Fensterband unter dem hölzernen Dachstuhl schließen, das die Belichtung und Belüftung der Cavea gewährleistete. Für die Dachkonstruktion des Odeions im Artemision lassen sich aufgrund der Anordnung der Mauervorlagen an den Fassaden sieben Dreiecksverbände rekonstruieren, die jeweils im Abstand von 6 m die Gebäudetiefe von etwa 23 m überspannten.

Der heute sichtbare Teil des hoch verschütteten Gebäudes hat einen rechteckigen Grundriss und misst etwa 40 × 24 m. An seiner Süd-, West- und Nordseite weist der Bau neun tonnengewölbte Kammern auf, von denen sechs zugänglich sind. Die Kammern sind nicht symmetrisch angeordnet, da sich auf der Nordseite kleinere Kammern in Nord-Süd-Ausrichtung finden, im Süden aber eine einzige Kammer über die gesamte Schmalseite reicht. Die Gewölbe weisen teilweise Gefälle auf, wenn dies die darüberliegende Cavea erforderlich machte. Das Mauerwerk der Substruktionen besteht durchwegs aus *opus caementicium*, das mit lagerechten Bruchsteinen *(opus vittatum)* verkleidet ist.

In der halbkreisförmigen Cavea teilt ein umlaufender Gang den Zuschauerraum in zwei Ränge, deren unterer Bereich (Ima Cavea) auf radial angeordneten konischen Kammersubstruktionen ruht. Es konnten insgesamt vierzehn Sitzreihen rekonstruiert werden, woraus sich ein Fassungsvermögen von rund 1 000 Sitzplätzen errechnen lässt. Die Erschließung der Cavea erfolgte durch fünf Radialtreppen, die den Zuschauerraum in vier Cunei unterteilten. Von außen gab es über eine Treppe in Kammer 8 einen direkten Zugang in die Cavea, dessen Vomitorium auf das Diazoma zwischen den beiden Rängen führte.

Unmittelbar an die Orchestra schließt gegen Osten die erhöhte Bühne an, die 2011 teilweise freigelegt werden konnte. An der 80 cm hohen Bühnenfront ist die originale Marmorverkleidung noch in Teilen erhalten. Die Orchestra war mit einem geometrischen *opus sectile*-Paviment ausgelegt, welches einen Raster aus quadratischer Felderrahmung mit eingeschriebenen Kreisen zeigt. Die verwendeten Buntmarmore sind vorwiegend lokaler oder regionaler Herkunft, die Provenienz der untersuchten Weißmarmore ist von breiter Streuung, die von Thasos über Dokimeion und Aphrodisias bis zu lokal ephesischer Herkunft reicht.

## BAUPHASEN UND NACHNUTZUNG

Die Auswertung des keramischen Fundmaterials aus dem Fundamentbereich belegt eine Errichtung des Odeions im Artemision in der zweiten Hälfte des 1. Jahrhunderts n. Chr. Eine Umbauphase ist mit dem Einbau einer Latrine in Kammer 5a Mitte des 2./Anfang des 3. Jahrhunderts n. Chr. belegt. Möglicherweise ist auch das *opus sectile* der Orchestra dieser späteren Ausstattungsphase zuzuordnen, da das Dekor enge Parallelen zu Pavimenten der Hanghäuser zeigt, die in die Mitte des 2. Jahrhunderts n. Chr. datieren. Mehrphasige Wandmalereifragmente im Bereich vor der Bühne, die aller Wahrscheinlichkeit nach vom Bühnengebäude stammen, deuten ebenfalls auf mehrere Renovierungen und Ausstattungsphasen des Gebäudes hin, wie auch stilistisch zusammengehörige Bauornamentik- und Skulpturfragmente, die aus dem Bereich vor der Bühne geborgen wurden und der *scanae frons* zugerechnet werden können.

Die Aufgabe des Gebäudes kann anhand des keramischen Fundmaterials bestimmt werden, das in den Schichten direkt auf dem *opus sectile* der Orchestra zu liegen kam und in das 5./6. Jahr-

hundert n. Chr. datiert. Diese Schichten bestehen vorwiegend aus Dachziegelfragmenten und sind daher mit dem Einsturz des ziegelgedeckten Daches in Verbindung zu bringen. Ascheanhäufungen lassen auf eine Brandzerstörung schließen, welcher der hölzerne Dachstuhl zum Opfer fiel. Über dieser Schicht liegt homogenes Erdmaterial, das ebenfalls in das 5./6. Jahrhundert n. Chr. datiert und eine Zeit des natürlichen Verfalls widerspiegelt. Die Orchestra war wegen des zerstörten Daches nun der Witterung ausgesetzt, weshalb sich feines Sediment in ihr sammelte und die darunterliegende Versturzschicht bedeckte. Ein gelegentliches Frequentieren des Gebäudes in dieser Zeit belegen jedoch Küchenabfälle (vor allem Reste von Jungschweinen) sowie das restliche Spektrum des Fundmaterials.

Relativ kurz nach Aufgabe des Gebäudes wurde begonnen, die Marmorausstattung desselben abzubauen. Die Marmorplatten der Bühne sind bereits beraubt, als massive Schuttschichten des 6./7. Jahrhunderts n. Chr. mit einer maximalen Höhe von 1,30 m auf der Bühnenoberseite zu liegen kamen. Neben Bruchsteinen, Mörtel, Marmorabschlag und Dachziegeln kamen große Mengen von Gebrauchskeramik sowie Schlachtabfall, großteils vom Rind, zum Vorschein. Mit dem sukzessiven Verfall des Gebäudes geht daher eine sekundäre Nutzung mit Deponierungen von Tierabfällen und Keramikbruch einher. Für die mittelbyzantinische Zeit (7.–11. Jh. n. Chr.) ist wiederum eher ein Zeitraum des natürlichen Verfalls anzunehmen, der sich in homogenen Schichten aus feinem Sediment abzeichnet, weshalb von keiner aktiven Nachnutzung des Gebäudes in dieser Zeit auszugehen ist.

In allen Sondagen konnte eine massive Nachnutzungs- und Umbauphase nachgewiesen werden, die in spätbyzantinischer Zeit im 13.–14. Jahrhundert n. Chr. einsetzt. Zu dieser Zeit wird der Zugang zu Kammer 8 vermauert und ein zugehöriger Ziegelplattenboden an der Gebäudeaußenseite verlegt. Die Verschließung des Treppenaufgangs zur Cavea belegt eine Umnutzung des Gebäudes: nun wird die Cavea in einer zweiten Phase des Marmorabbaus all ihrer Deckplatten, die zum damaligen Zeitpunkt noch sichtbar und nicht bereits von älteren Erd- und Schuttschichten bedeckt waren, beraubt. Hohe Planierschichten heben das Nutzungsniveau schließlich um einige Meter an. In der Zeit vom 14.–15. Jahrhundert n. Chr. werden neue Öffnungen zu den Substruktionskammern durchgebrochen, deren bauzeitliche Zugänge bereits zur Gänze verschüttet waren. Mit diesen Durchbrüchen konnten die Substruktionskammern auf erhöhtem Niveau erneut nutzbar gemacht werden. Entlang der Westfassade werden verschiedene mehrphasige Bruchsteinmauern angesetzt, die mit der Nutzung der Kammern in Zusammenhang zu bringen sind. Vergleichbare Bruchsteinmauern finden sich im Bereich der verschütteten Cavea mitsamt zugehörigen großdimensionierten Abfallgruben. In den korrespondierenden Schichten fanden sich im Fundmaterial hochqualitative, großteils lokal gefertigte Keramik- und Glasfragmente. Zahlreiche Fragmente belegen aber auch weitreichende Handelsbeziehungen von Persien über Venedig bis nach Spanien. Metallfunde militärischen Charakters, wie Pfeil- und Lanzenspitzen sowie Munitionskugeln, lassen sich möglicherweise mit dem Einfall der Mongolen unter Tamerlan Anfang des 15. Jahrhunderts n. Chr. oder der Besetzung von Ephesos durch die osmanischen Türken 1424 in Verbindung bringen.

## DAS ODEION IM ARTEMISION – FUNKTION UND BEDEUTUNG

Die bautypologische Einordnung des Gebäudes als frühkaiserzeitliches Odeion erfolgte zunächst aufgrund des rechteckigen Grundrisses mit eingeschriebener Cavea, einer Form, die bereits um die erste nachchristliche Jahrhundertwende vom halbrunden Grundriss abgelöst wird. Die Existenz einer erhöhten Bühne, die Einteilung in zwei Ränge, getrennt durch einen umlaufenden Gang sowie Treppenhäuser, die an die Substruktionen angeschlossen sind, kommen weiters nur bei Odeia, nicht aber bei Bouleuteria vor. Auf eine elaborierte *scaenae frons* mit Tabernakelfassade lassen geborgene Bauornamentik- und Skulpturenfragmente schließen. Innerhalb Kleinasiens fügt sich schließlich das Odeion im Artemision in die allgemeine Entwicklung ein. Bautypologisch und bautechnisch weist das Gebäude im Artemision bereits alle Charakteristika eines römischen Odeions auf. Die in ein Rechteck eingeschriebene Cavea ist zu seiner Errichtungszeit in

der zweiten Hälfte des 1. Jahrhunderts n.Chr. die übliche Grundrisslösung für den bereits gängig gewordenen Bautypus des Odeions. Nur wenig später tritt jedoch auch in Kleinasien die weiterentwickelte Form mit halbrundem Abschluss auf, die Ende des 1. Jahrhunderts n. Chr. zuerst in Sagalassos nachweisbar ist und im 2. Jahrhundert n. Chr. zum Standardrepertoire kleinerer überdachter Theaterbauten gehört.

Die Existenz musischer Agone während der heiligen Spiele für die Artemis in Ephesos ist schließlich in der Kaiserzeit durch Siegesnennungen eines Enkomiendichters, eines Rhetors, eines Choraules, dreier Komödianten sowie eines Kitharoden belegt. Helmut Engelmann vermutete daher schon früher die Ausrichtung des musischen Teils der Artemisia innerhalb des Heiligtums. Nachdem das Gebäude als typologisch beispielhaftes frühkaiserzeitliches Odeion erkannt wurde, kann der Austragungsort der überlieferten musischen Agone nun eindeutig bestimmt werden – das bisher als ›Tribüne‹ angesprochene Gebäude innerhalb des Temenos kann nunmehr als Odeion im Artemision identifiziert werden.

Abgesehen von seiner Primärfunktion ist von einer multifunktionalen Nutzung des Odeions im Artemision auszugehen. Das Heiligtum mit eigenen Verwaltungsstrukturen und von der Stadt unabhängiger Rechtssprechung benötigte für die Abwicklung der Alltagsgeschäfte ebenso Sitzungs- und Versammlungsräume. Regelmäßige Zusammenkünfte und Tagungen verschiedener Vertretungsorgane und Gremien des Heiligtums wie auch des Priesterkollegiums selbst könnten im Odeion abgehalten worden sein.

Für Kleinasien ist der römische Bautypus des Odeions ausgesprochen selten innerhalb von Temene nachzuweisen. Viel häufiger finden sich Odeia am Rande großer innerstädtischer Platzanlagen. Die Errichtung eines Odeions innerhalb des Temenos um den Artemistempel scheint im Vergleich mit anderen bekannten heiligen Bezirken eine Besonderheit gewesen zu sein, die nicht nur den Reichtum des Heiligtums demonstrierte, sondern auch eine gewisse Unabhängigkeit von der Stadt belegt. Mit dem Odeion stellte das Heiligtum die Verfügbarkeit eigener Infrastruktur für die Durchführung spezifischer Veranstaltungen sowie diverser Versammlungen zur Schau.

Die Errichtung eines Monumentalgebäudes in der zweiten Hälfte des 1. Jahrhunderts n. Chr. in unmittelbarer Nähe zu dem Tempel, dessen Funktion zweifellos mit der Abhaltung der Artemisia in Zusammenhang gebracht werden kann, widerlegt schließlich auch die Annahme, dass die heiligen Spiele zu Ehren der Artemis im Kampf um die Neokorie und dem Bemühen um neue Kaiseragone im Laufe des 1. Jahrhunderts n. Chr. bereits an Bedeutung verloren hatten. Vielmehr ist davon auszugehen, dass der Fokus der Artemisia traditionell auf den Kultfestivitäten lag, während die zahlreichen Kaiseragone den Wettkampf selbst in den Mittelpunkt stellten. Im Gegensatz zum althergebrachten und lokal beständig verankerten Fest für die Artemis, das durch die Abhaltung von Agonen bereichert wurde, fand der Kaiserkult erst mit den groß inszenierten Wettkämpfen einen entsprechenden Rahmen, um bei den breiten Massen Anklang zu finden.

*Lilli Zabrana*

# XI.1 SUMMARY

## INTRODUCTION

Over the course of the 125 year history of research in the Artemision of Ephesos, the temple has formed the focus of archaeological study since its rediscovery in 1870, while the surrounding sanctuary, once densely developed, remained unexplored. In 2009 a project was initiated to examine the only visible Roman ruin within the sanctuary in order to extend the focus of research, beginning with this building, to the Roman phases of usage and the entire sacred area. In spring 2011 it was possible to identify the structure, once described as a tribune, instead as an odeion due to close typological comparisons of the structure and an analysis of the find materials.

The scientific processing of the building was permitted by Vakıflar Genel Müdürlüğü, in whose possession the visible area of the structure is located. Since, however, the deeply buried region of the stage as well as the accompanying stage building are already located in a neighbouring piece of property, and there has been a lack of agreement with the owner regarding the pursuance of work here since 2012, neither the planned measures for securing the structure nor additional research work on the building could be carried out. Due to these circumstances the results presented here of the field work in the years 2009–2011 must be characterised as a preliminary study of the Odeion in the Artemision.

## HISTORY OF RESEARCH

In the course of the extensive search for the temple, John Turtle Wood uncovered numerous buildings in the immediate vicinity of the Odeion in the Artemision. With the exception of the temple itself, today all of the structures which Wood brought to light are no longer visible. Based on the foundation of Wood's plans, which it was possible to study in the British Museum, a dense development of a wide variety of building types can be reconstructed for the Roman period. It appears that to the south of the temple were located more official, public buildings, while the residential architecture to the north and north-east of the temple allows the presumption of accommodation for priests, quarters for the personnel of the cult, or shelters for asylum seekers. Wood did not mention the widely visible structure of the Odeion either in his »Discoveries of Ephesus« nor in his letters to the British Museum, yet he did indicate it on his plans. In the course of fieldwork in 2009, a deep investigative trench directly on the west façade was opened up, and a pocket watch case dating to the years 1860–1880 was discovered in its infill. The dating suggests that it found its way there during the course of the refilling of the investigative trench by J. T. Wood.

In the subsequent history of research of the Artemision, informed by the work of Otto Benndorf, Carl Humann, David G. Hogarth and finally, after the Second World War, Anton Bammer, the temple formed the focus of investigations. Anton Bammer proposed the designation of the Odeion as a tribune, which ought to have held those spectators who wished to observe the start of the procession from the Artemision to Ephesos. Significant results regarding this theme were obtained during the course of the »Via Sacra« project, in which Dieter Knibbe was involved, after 1991, with the exploration of the processional way from the Artemision to the city, as well as around the Panayırdağ. In the context of these investigations, the Odeion was extensively cleaned in 1992 and identified as a tribune in the form of a small theatre.

## BUILDING DESCRIPTION AND RECONSTRUCTION

The Odeion is located 175 m south-west of the Artemis temple. The alignment of the building is oriented with a slight deviation to that of the temple, whereby the west façade constitutes the rear of the building, while the *cavea* is oriented to the east. The north façade of the Odeion, as the visible front side, had a prestigious articulation of blind arches, in contrast to the pilaster articulation, spanning the storeys, of the south and west façade.

The design of the façade can only be securely reconstructed at the well-preserved lower storey, which was terminated horizontally at the top by a continuous cornice of limestone blocks. The building substance above that is not preserved in any location, so that the reconstruction of the upper storey must remain hypothetical. Comparable structures indicate a continuous row of windows under a wooden roof truss, guaranteeing lighting and ventilation for the *cavea*. For the roof construction of the Odeion in the Artemision, seven triangular bracing units can be reconstructed at the façades due to the arrangement of the pattern of the walls; these spanned the building's depth from approximately 23 m, each at a distance of 6 m apart.

The section of the deeply buried building that is visible today had a rectangular groundplan and measured approximately 40 × 24 m. At its southern, western and northern sides the building had nine barrel-vaulted chambers, of which six are accessible. The chambers are not symmetrically arranged, since on the northern side smaller chambers in a north-south alignment are found, yet in the south a single chamber extends along the entire narrow side of the building. The vaults sometimes display an incline, when the *cavea* which lay above required it. The construction technique of the substructures consists throughout of *opus caementicium* which is faced with horizontal courses of rubble *(opus vittatum)*.

In the semi-circular *cavea* a continuous aisle divided the auditorium into two tiers, with the lower section *(ima cavea)* resting on radially arranged conical chamber substructures. A total of fourteen rows of seats could be reconstructed, resulting in a capacity of approximately 1,000 seats. Access to the *cavea* was via five radial flights of steps, which divided the auditorium into four *cunei*. From outside, direct access was provided to the *cavea* by a staircase in chamber 8; the *vomitorium* led to the *diazoma* between the two tiers.

Towards the east, the raised stage is adjoined immediately to the *orchestra*; in 2011 this could partially be brought to light. The original marble revetment is still somewhat preserved on the 80 cm tall stage front. The orchestra was paved with a geometric *opus sectile* flooring, displaying a grid of square borders with inscribed circles. The coloured marbles that were employed are predominantly of local or regional origin, while the provenance of the white marbles investigated reveals a broad distribution, extending from Thasos to Dokimeion and Aphrodisias to local Ephesian origin.

## BUILDING PHASES AND RE-USE

The evaluation of the ceramic find materials from the area of the foundations indicates a construction date for the Odeion in the Artemision in the second half of the 1st century A.D. The construction of a latrine in chamber 5a provides evidence of a rebuilding phase in the mid-2nd to the early 3rd century A.D. Probably, the *opus sectile* of the *orchestra* is also to be assigned to this later layout phase, since the decoration displays close parallels to paving in the Ephesian Terrace Houses which dates to the mid-2nd century A.D. Fragments of wall painting from a number of phases, which most probably originate from the stage building, equally point to several renovations and decoration phases of the building. Fragments of sculpture and architectural ornamentation, belonging together stylistically, which were excavated in front of the stage and can be assigned to the *scaenae frons*, also point to these various phases.

The abandonment of the building can be determined by the ceramic finds which were found lying on the levels directly on the *opus sectile* of the *orchestra* and which date to the 5th–6th centuries A.D. These levels consist predominantly of fragments of roof tiles and are therefore

to be associated with the collapse of the tiled roof. Piles of ashes indicate a destruction by fire, which destroyed the wooden roof. Above this level lies homogeneous earth material, also to be dated to the 5th–6th centuries and reflecting a period of natural decay. The *orchestra* was exposed to weathering due to the collapsed roof, leading to the collection of fine sediment within it which covered the collapsed layers lying beneath. Cooking debris (above all, remains of young pigs), as well as the remaining spectrum of the find materials nevertheless are evidence of an occasional frequentation of the building in this period.

Relatively soon after the building was abandoned, its marble revetment began to be removed. The marble plaques of the stage had already been robbed when massive debris layers dating to the 6th–7th centuries A.D., with a maximum depth of 1.30 m, were laid down on the upper surface of the stage. In addition to rubble, mortar, marble flakes and roof tiles, large quantities of utilitarian pottery, as well as waste from slaughtering – mainly from cattle – came to light. The gradual disintegration of the building, therefore, was accompanied by a secondary usage with deposits of animal waste and broken ceramic. The Middle Byzantine period (7th–11th centuries A.D.) is assumed to have been again a period of natural deterioration, delineated by homogeneous layers of fine sediment; for this reason, there was presumably no active secondary usage of the building at this time.

In all of the sondages it was possible to prove large-scale phases of secondary usage and alterations which occurred in the Late Byzantine period in the 13th–14th centuries A.D. During this period the entrance to chamber 8 was walled up, and an accompanying tiled floor was laid down on the exterior of the building. The closure of the staircase to the *cavea* is evidence of a repurposing of the building; now, in a second phase of removal of marble, all the marble revetment of the *cavea*, which was still visible at this time and which had not already been concealed by older earth and rubble layers, was robbed out. Deep levelling layers ultimately elevated the level of usage by a few metres. In the period of the 14th–15th centuries A.D., new entrances to the substructure chambers were opened up; their original entrances had been completely filled in with rubble. By means of these openings the substructure chambers could once again be made usable, at a higher level. A variety of ashlar walls, of different phases, were built along the western façade; these are to be understood in connection with the usage of the chambers. Comparable ashlar walls are found in the area of the buried *cavea*, including rubbish pits of large dimensions. In the corresponding levels, amongst the find material were found high-quality, predominantly locally made fragments of pottery and glass. Numerous fragments, however, provide evidence of far-reaching trade connections, from Persia to Venice and as far as Spain. Metal finds of military character, such as arrowheads and spearheads as well as munition shot, can probably be connected with the attack of the Mongols under Tamerlane in the early 15th century, or the occupation of Ephesos by the Ottoman Turks in 1424.

## THE ODEION IN THE ARTEMISION – FUNCTION AND MEANING

The typological classification of the building as an early imperial odeion was made initially due to its rectangular groundplan with inscribed *cavea*, a form which would already be replaced around the turn of the 1st century A.D. by structures with semi-circular groundplans. The existence of an elevated stage, the division into two tiers separated by a continuous passageway, as well as staircases which were connected to the substructures additionally only appear in odeia, yet not in bouleuteria. The salvaged architectural ornament and sculptural fragments allow the conclusion that an elaborate *scaenae frons* with tabernacle façade existed. The Odeion in the Artemision fits in to the general development within Asia Minor. In terms of architectural typology and technique, the building in the Artemision displays all of the characteristics of a Roman odeion. The *cavea*, inscribed into a rectangle, was at the time of its construction in the second half of the 1st century A.D. the usual groundplan solution for the by now common building type of the odeion. Only a short time later, however, the developed form with semi-circular arrangement appeared, a type

which is first demonstrable in Sagalassos at the end of the 1st century A.D. and which belongs in the 2nd century A.D. to the standard repertoire of smaller, roofed theatre buildings.

The existence of musical contests during the sacred games for Artemis in Ephesos is finally proven in the imperial period by victory designations of an encomium poet, a rhetor, a choraules, three comedians as well as a citharode. For this reason, Helmut Engelmann earlier presumed the concentration of the musical element of the Artemisia within the sanctuary. After the building was recognised as a typologically exemplary early imperial odeion, the performance site of the traditional musical contests can now be definitively determined: the structure previously referred to as a ›tribune‹ within the temenos can now be identified as the Odeion within the Artemision.

Apart from its primary function, a multi-functional usage of the Odeion in the Artemision can be assumed. The sanctuary, with its own administrative structures and jurisdiction independent of the city, required meeting and assembly rooms for the transaction of its daily business. Regular convocations and conferences of a variety of representative bodies and councils of the sanctuary, as well as of the priestly college itself, could have taken place in the Odeion.

In Asia Minor, the Roman building type of the odeion is found extremely rarely inside temene. Much more frequently, odeia are found on the border of large, inner-urban plazas. The construction of an odeion within the temenos around the Temple of Artemis appears to have been a peculiarity in comparison with other known sacred sanctuaries; this demonstrates not only the wealth of the sanctuary, but also a certain independence from the city. With the Odeion, the sanctuary displays the availability of its own infrastructure for the performance of specific events and diverse gatherings.

The erection of a monumental building in the second half of the 1st century A.D. in immediate proximity to the temple, a building whose function can without doubt be connected with the conducting of the Artemisia, ultimately also contradicts the assumption that the sacred games in honour of Artemis, in competition for the *neocorate* and the striving for new imperial contests, had already diminished in significance in the course of the 1st century A.D. It can far rather be assumed that the focus of the Artemisia traditionally lay on the cult festivities, whereas the numerous imperial contests placed the focus on competitions. In contrast to the established and locally enduring festival for Artemis, which was enriched by the conducting of contests, the imperial cult first found an appropriate space with the large-scale staged competitions, or order to attain broad appeal to the masses.

*Translation: Sarah Cormack*

# XI.2 ÖZET

## GİRİŞ

1870'de yeniden keşfedilmesinden itibaren tapınak Efes Artemision'unun 125 yıllık araştırma tarihi boyunca arkeolojik çalışmaların odak noktasını oluşturmuştur. Ancak bu sırada eskiden yoğun bir yapılanmanın bulunduğu tapınağı çevreleyen Kutsal Alan araştırmalardan yoksun kalmıştır. 2009 yılında, araştırmaların odak noktasını bu yapından yola çıkarak Roma Dönemi kullanım evresini ve Kutsal Alanın tamamını içine alacak şekilde genişletmek amacıyla Kutsal Alan içinde görülebilir durumdaki tek harabeye yönelik bir projeye başlatılmıştır. Daha önce tribün olarak tanımlanan binanın, yapı tipolojisi bakımından oldukça yakın karşılaştırma örneklerinden ve spesifik buluntu malzemelerinden yola çıkılarak 2011'in baharında Odeion olduğu tespit edilebilmiştir.

Yapıyla ilgili bilimsel çalışma objenin üstte görülen kısmının sahibi olan Vakıflar Genel Müdürlüğü tarafından düzenlenmiştir. Ancak sahnenin üsttü oldukça kalın bir dolgu ile kapalı olan bölümünün ve buraya ait sahne binasının komşu arazide yer alması ve bu arazinin sahibi ile olan anlaşmazlıkların 2012'den beri yapılan bütün çalışmaları bitirme noktasına getirmesi nedeniyle ne planlanan, yapının emniyetli hale getirilmesine yönelik önlemler alınabilmiş ne de araştırmaları daha ileriye götürecek çalışmalar gerçekleştirilebilmiştir. Bu sorunlar nedeniyle 2009–2011 yılları arasında yapılan kazı çalışmalarının mevcut sonuçları Odeion'un bir ön araştırması olarak tanımlanmalıdır.

## ARAŞTIRMA TARİHİ

John Turtle Wood tapınağın geniş kapsamlı arama çalışmaları kapsamında Artemision'da Odeion'un yakın çevresindeki çok sayıda yapıyı ortaya çıkarmıştır. Tapınağın kendisi dışında Wood'un ortaya çıkardığı yapıların hiçbiri bugün artık görülememektedir. British Museum'da görülmeleri mümkün olan Wood'a ait planlar temel alınarak Roma Dönemi'ne ait, çok farklı bina tiplerinden oluşan yoğun bir yapılanma rekonstüre edilebilir. Tapınağın kuzey ve kuzeydoğusunda rahip konutları, kült personeline ait konutlar ve sığınmacıların kaldığı yerler oldukları düşünülen konut mimarisi yer alırken, tapınağın güneyinde daha çok resmi, kamusal yapılar bulunuyor gibi görünmektedir. Wood, Odeion'un büyük bir bölümü görülebilen binasından ne »Discoveries of Ephesus« kitabında ne de British Museum'a yazdığı mektuplarda söz etmese de yapı Wood tarafından yapılan planlarda kayda geçirilmiştir. 2009 yılındaki arazi çalışmaları kapsamında batı cephesine bitişik bir arama sondajı açılmıştır. Bu sondajın dolgusunda 1860–1880 yıllarına ait bir cep saati çerçevesi bulunmuştur. Bu tarihlendirme çerçevenin J. T. Wood tarafından açılan arama hendeğinin tekrar doldurulması sırasında buraya geldiğini gösterir niteliktedir.

Artemision'un Otto Benndorf'un, Carl Humann'ın, David G. Hogarth'ın ve son olarak 2. Dünya Savaşı'ndan sonra Anton Bammer'in şekil verdiği sonraki araştırma tarihinde, incelemelerin odak noktasında tapınak yer almıştır. Anton Bammer Odeion'un Artemision'dan Efes'e giden tören alayının başlangıcını izlemek isteyen seyircileri içine alan Tribün olarak adlandırılmasını önermiştir. Dieter Knibbe'nin 1991'den itibaren Artemision'dan şehre giden kutsal alay yolunu ve Panayırdağı çevresini araştırdığı »Via Sacra« Projesi konu ile ilgili önemli sonuçlar vermiştir. Bu incelemeler kapsamında 1992 yılında Odeion'da geniş kapsamlı bir temizlik çalışması yapılmış ve daha o zaman yapı küçük bir tiyatro biçimindeki tribün tanımlanmıştır.

## YAPI BETİMLEMESİ VE REKONSTRÜKSİYON

Odeion Artemis Tapınağı'nın 175 m. güneybatısında yer alır. Yapının yönü çok küçük bir sapmayla tapınağın yönüne uygun yapılmıştır. *Cavea* doğuya doğru yönlendirilmiş olup batı cephesi yapının arka tarafını oluşturur. Odeion'un güney ve batı cephesinin yapı katlarını atlayan pilaster düzenlenmesi karşın kuzey cephesi yapının görünen tarafı olarak gösterişli bir körkemer düzenlemesine sahiptir.

Sadece iyi korunmuş durumda olan alt katın rekonstrüksiyonunu kesin olarak yapmak mümkündür. Bu alt kat üst kısmından kireç taşı bloklardan oluşan, cephe boyunca devam eden yatay bir korniş ile sınırlandırılmıştır. Yapının hiçbir yerinden bina yapısı bundan daha fazla korunmuş durumda değildir. Bu nedenle yapının üst katlarının rekonstrüksiyonu varsayım olarak kalmak durumundadır. Karşılaştırma yapılabilecek benzer yapılar ahşap bir çatının altında *cavea*'nın ışıklandırılmasını ve havalandırılmasını sağlayan, yapının cephesi boyunca devam eden bir pencere kuşağına işaret ederler. Binanın cephesindeki duvar çıkıntılarının sıralaması Artemision'daki Odeion'un çatı konstrüksiyonu için yedi adet üçgen taşıyıcı rekonstüre etmeyi mümkün kılar. Bunlar 6 m.'lik aralıklar ile genişliği yaklaşık 23 m. örterler.

Kalın bir dolgunun altında kalan binanın günümüzde görülebilen bölümünün yaklaşık 40 × 24 m. ölçülerinde dikdörtgen bir planı vardır. Yapının güney, batı ve kuzey tarafında altısı girilebilir durumda olmak üzere dokuz adet beşik tonozla örtülü mekan bulunur. Kuzey tarafta kuzey-güney yönlü küçük mekanlar bulunurken güneyde sadece bir mekanın yapının kısa tarafının tamamını kaplaması nedeniyle mekanlar simetrik olarak düzenlenmemiştir. Üstünde yer alan *cavea*'ya bağlı olarak tonozlarda gerekli bazı yerlerde seviye farkı görülür. Alt yapının duvarları tamamen *opus caementicium*'dan oluşur. Bu duvarlar yatay olarak paralel sıralanmış moloz taşlarla *(opus vittatum)* kaplanmıştır.

Yarım daire şeklindeki *cavea*'da, *cavea* boyunca devam eden bir geçiş koridoru seyirci bölümünü iki sıraya ayırmaktadır. Aşağı tarafta kalan bölüm *(ima cavea)* radyal olarak düzenlenmiş, koni şeklinde mekanlardan oluşan bir alt yapı üzerine oturmuştur. Toplam ondört oturma sırası rekonstüre edilebilmiştir. Bu da yaklaşık 1 000 kişilik bir oturma yeri kapasitesine denk gelmektedir. *Cavea*'ya giriş seyirci oturma bölümünü dört *cuneus*'a bölen ve ışınsal olarak yayılan beş merdivenle sağlanıyordu. Mekan 8'deki bir merdiven ile dışarıdan doğrudan caveaya giden bir giriş vardı. Bu girişin vomitoriumu diozomaya iki oturma sırasının arasına çıkıyordu.

2011 yılında kısmen ortaya çıkarılabilmiş olan yükseltilmiş sahne, doğudan Orkestraya direkt olarak bağlanır. 80 cm. yüksekliğindeki sahne cephesinin orjinal mermer kaplamaları hala kısmen korunmuş durumdadır. Orkestra geometrik bir *opus sectile* bir yer döşemesi ile kaplanmıştır. Bu yer döşemesinde içinde dairelerin yer aldığı kare şeklinde çerçevelenmiş alanlardan doluşan bir desen görülür. Kullanılan renkli mermerler daha çok yerel veya bölgesel kökenlidir. İncelenen beyaz mermerlerin kökenleri Thasos'dan Dokimeion'a ve Aphrodisias'dan yerel Efes mermerlerine varan geniş bir yelpazeye sahiptir.

## YAPIM EVRELERİ VE SONRAKİ KULLANIM

Yapının temelinin olduğu bölünden gelen seramik malzemelerin değerlendirmesi Artemision'daki Odeion'un MS. 1. Yüzyılın ikinci yarısında inşa edildiğini göstermektedir. Mekan 5a'da bir latrinenin yapıldığı, MS. 2./3. yy.'ın ortasına tarihlenen bir tadilat evresi belgelenmiştir. Süslemesinin Efes Yamaç Evler'deki MS. 2. Yüzyılın ortasına tarihlenen yer döşemelerine yakın parallellikler göstermesi nedeniyle olaslıkla orkestrada bulunan *opus sectile* de bu geç düzenleme evresininde yapılmış olmalıdır. Sahnenin önündeki bölümde ele geçen, büyük bir ihtimalle sahne binasından gelen çok evreli duvar resmi parçaları aynı şekilde binanın bir çok tadilattan ve donatım evresinden geçtiğine işaret ederler. Ayrıca sahnenin önündeki alanda bulunmuş ve *scaenae frons* atfedilebilecek stil bakımından da birbirlerine uygun yapı süslemeleri ve heykel parçaları da yine bunu gösterirler.

Yapının terk edilmesi orkestranın opus sectilesinin hemen üstünde yer alan tabakalardan gelen ve MS. 5./6. Yüzyıllara tarihlenen seramik buluntu malzemelerinin yardımı ile tespit edilebilir. Bu tabakalar daha çok çatı kiremiti parçalarından oluşurlar ve bu nedenle kiremitle örtülü çatının çökmesi ile bağlantılı olmalıdır. Kül yığılmaları ahşap çatı konstrüksiyonun yandığı bir yangın tahribatını işaret eder. Bu tabakanın üzerinde yine MS. 5./6. Yüzyılllara tarihlenen ve doğal bir yıkılma dönemini yansıtan homojen bir toprak tabakası bulunur. Çatının yıkılmasıyla orkestra hava şartlarına ve çevre koşullarına maruz kalmıştır. Bu nedenle ince tortular orkestra içinde birikmiş ve altında kalan yıkıntı tabakasını örtmüştür. Ancak bu dönemde ara sıra yapının kullanıldığını mutfak artıkları (çoğunlukla genç yaştaki domuzların kanlıtıları) ve buluntu malzemesinin geri kalanındaki çeşitlilik belgeler.

Binanın terk edilmesinden oldukça kısa bir süre sonra mermer donanımın sökülmesi başlamıştır. Sahnenin mermer plakaları henüz sahnenin üst kısmında 1,30 m. maksimal kalınlığa ulaşan MS. 6./7. Yüzyıla ait masif döküntü tabakası burada yerini almadan önce çalışmıştır. Moloz taşlar, harç, mermer kalıntıları ve çatı kiremitlerinin yanında büyük miktar kullanım seramiği, büyük bir kısmı sığırlara ait olan hayvan kesiminden kalan kalıntılar ortaya çıkmıştır. Bu nedenle yapının zamanla gitgide yıkılmasıyla seramik kırıkları ve hayvan atıklarının depolanmasını içeren ikinci kullanımına yol açmıştır. Orta Bizans Dönemi için daha çok (MS. 7.–11. yy.) yine, ince tortulardan oluşan homojen tabakalarla kendini gösteren doğal bir yıkılma döneminden yola çıkılmalıdır. Bu nedenle yapının bu dönemde aktif olarak kullanımı söz konusu değildir.

Sondajların hepsinde Geç Bizans Dönemi MS. 13.–14. Yüzyıllarda başlayan yoğun bir sonradan kullanım ve tadilat evresi belgelenmiştir. Bu dönemde Mekan 8'in girişine duvar örülmüş ve buraya ait kiremit plakalardan oluşan taban binanın dış tarafına döşenmiştir. *Cavea*'ya giden merdiven çıkışının kapatılması yapının işlevinin değiştirildiğini gösteren bir kanıttır. Yapının *cavea*'sından artık mermer sökümünün bu ikinci evresinde bu dönemde hala görülebilen ve henüz daha eski toprak ve döküntü tabakları ile örtülmemiş bütün kaplama mermerler çalınmıştır. Kalın düzleştime tabakları kullanım seviyesini bir metra kadar yükseltmişlerdir. MS. 14.–15. Yüzyıllardaki dönemde inşa edildikleri dönemdeki girişleri dolgu nedeniyle tamamen kapalı halde olan alt yapıdaki kapalı mekanlara giden yeni açıklıklar delinmiştir. Bu geçitlerle altyapıdaki mekanlar yükseltilmiş bir taban seviyesiyle yeniden kullanılır hale getirilebilmiştir. Batı cephesi boyunca mekanların kullanımı ile ilişkilendirilmesi gereken çok evreli farklı moloz taş duvarlar eklenmiştir. Benzer moloz taşduvarlar, buradaki büyük boyutlu çöp çukur da dahil olmak üzere *cavea* alanında bulunur. Buraya ait tabakaların buluntu malzemesinde çok kaliteli, büyük bir kısmı yerel üretilmiş seraamik ve cam parçaları bulunur. Ancak bunun yanında çok sayıda parça da İran'dan Venedik'e ve oradan İspanya'ya kadar uzanan geniş ticari ilişkileri belgeler niteliktedir. Ok uçları, mızrak uçları ve cephanelik mermiler gibi askeri özelliklere sahip metal buluntular olasılıkla MS. 15. Yüzyılın başındaki Timur yönetiminde gerçekleşen Moğol istilaları veya 1424'te Efes'in Osmanlı Türkleri tarafından işgali ile ilişkilendilebilir.

## ARTEMİSİON'DAKİ ODEİON – İŞLEVİ VE ÖNEMİ

Yapının mimari tipolojisi bakımından Erken Roma İmparatorluk Dönemi Odeion'u olarak sınıflandırılması en başta sahip olduğu, daha MS. 1. Yüzyılın sonları – 2. Yüzyılın başlarında yerini yarım daire şeklindeki planlara bırakan, *cavea*'yı içine alan dikdörtgen planı nedeniyle gerçekleşmiştir. Yükseltilmiş bir sahnenin varlığı, oturma sıralarının bir geçiş koridoru ile ikiye ayrılmış olması ve yapının altyapısına bağlı olarak yapılmış merdivenlerin olması Bouleuterionlarda değil sadece Odeionlarda görülür. Ele geçen yapı süslemeleri ve heykel parçaları özenli bir şekilde yapılmış tabernakel cepheli bir *scaenae frons*'a işaret ederler. Küçük Asya Artemision'daki Odeion Küçük Asya içerisindeki genel gelişime uyar. Artemision'daki bina, yapı tipolojisi ve yapı tekniği bakımından bir Roma Odeionunun bütün özelliklerini gösterir. Bir dikdörtgenin içine alınmış *cavea* yapının inşa edildiği MS. 1. Yüzyılın ikinci yarısında Odeionlarda zaten yaygın olarak kullanılan yapı şekli için alışılagelmiş bir plandır. Ancak kısa bir süre sonra MS. 1. Yüzyılın sonunda

ilk olarak Sagalasos'da görülen ve MS. 2. Yüzyılda ise üstü kapalı küçük tiyatroların standart repertuarlarına dahil olan yarım daire biçimli, daha gelişmiş bir yapı biçimi ortaya çıkmıştır.

Efes'te Artemis için yapılan kutsal oyunlarda müzikal *agon*'larının var olduğu Roma İmparatorluk Döneminde bir *enkomion* (methiye) şairi, bir konuşmacı, bir korist, üç komedyan ve bir kitharistin yarışma galibi olarak zikredilmeleri ile belgelenmiş durumdadır. Helmut Engelmann bu nedenle Kutsal alandaki Artemis şenliklerinde müzikal bölümün daha öncelerden düzenlendiğini tahmin etmektedir. Yapının tipolojik bakından örnek bir Erken Roma İmparatorluk Dönemi Odeionu olduğun anlaşılmasından sonra artık kaynaklarda aktarılan müzik *agon*'larının yapıldığı yer net bir şekilde tespit edilebilir: Bugüne kadar *temenos* içerisinde ›Tribün‹ olarak adlandırılan yapı artık Artemision'daki Odeion olarak tanımlanabilir.

Öncelikli işlevinin yanında Artemision içerisinde Odeion'un bir çok farklı işlevde kullanıldığı kabul edilmelidir. Kendine ait bir idari yapılanması ve şehirden bağımsız bir yargısı olan kutsal alanın günlük işlerin yürütülmesi için oturum ve toplantı mekanlarına ihtiyacı vardır. Kutsal alanın rahipler kurulu gibi çeşitli kurulların ve temsilci organların düzenli olarak gerçekleştirilen toplantıları ve konferansları Odeionda yapılmış olabilir.

Roma Dönemi'ne ait Odeion yapı şekli Küçük Asya'da *temenos*'ların içinde oldukça nadir görülür. Odeionlar şehir içinde yer alan büyük meydanların kenarlarında çok daha sık bulunur. *Temenos* içinde Artemis Tapınağı'nın çevresinde bir odeionun yapılmış olması diğer tanınmış kutsal alanlar ile karşılaştırıldığında, sadece kutsal alanın zenginliğini değil aynı zamanda şehirden belirli bir bağımsızlığa sahip olduğunu belgeleyen özellikli bir durum gibi görülmektedir. Kutsal alan, bu odeion ile belirli organizasyonları ve çeşitli toplantıları yapmak için kendine ait bir altyapısının olduğunu gösterir. MS. 1. Yüzyılın ikinci yarısında tapınağın hemen yakınında, işlevi şüphesiz Artemis Şenlikleri'nin yapımı ile bağlantılı olan anıtsal bir yapının inşa edilmesi, Artemis onuruna yapılan kutsal oyunların *Neokorie* için verilen mücadele ve İmparator adına yapılan yeni *agon*'lar için gösterilen çabalar nedeniyle daha MS. 1. Yüzyıl içerisinde önemini kaybettiği varsayımını çürütmektedir. Bilakis, İmparator adına yapılan çok sayıdaki *agon*'da yarışın kendisi odak noktasındayken, Artemis Şenlikleri'nin odak noktasını geleneksel olarak kültsel kutlama törenlerinin oluşturduğunu kabul edilmelidir. Geleneksel ve yerel olarak kalıcı sağlamlaşmış bir yere sahip ve *agon*'ların yapılmasıyla zenginleştirilen Artemis kutlamalarına karşın İmparator kültü geniş kitlelere hitap edebilmek amacıyla ancak büyük ölçekli olarak düzenlenen yarışmalarla kendine uygun bir çerçeve bulmuştur.

*Tercüme: Neşe Kul-Berndt*

# HINWEISE UND VERZEICHNISSE

## ABGEKÜRZT ZITIERTE LITERATUR

Die Abkürzungen folgen den Richtlinien des Österreichischen Archäologischen Instituts <https://www.oeaw.ac.at/oeai/publikationen/fuer-autorinnen-und-autoren/hinweise/> (24. 1. 2018). Die Abkürzungen der antiken Autoren und Werktitel folgen H. Cancik – H. Schneider (Hrsg.), Der Neue Pauly. Enzyklopädie der Antike (1996) I, A–Ari, XX-XIX–XLVII.


| | |
|---|---|
| Adam 1994 | J.-P. Adam, Roman building: Materials and Techniques (London 1994). |
| Agusta-Boularot – Seigne 2004 | S. Agusta-Boularot – J. Seigne, La vie civique de Gerasa de la Décapole, MEFRA 116, 2004, 481–561. |
| Akat 1969 | A. Akat, Restauration work in the Odeion of Anemurium, ADerg 18, 2, 1969, 41–46. |
| Anderson-Stojanović 1992 | V. R. Anderson-Stojanović, Stobi. The Hellenistic and Roman Pottery (Princeton, NJ 1992). |
| Arundell 1828 | F. V. J. Arundell, Seven Churches of Asia (London 1828). |
| Aslanidis 2003 | K. Aslanidis, The Roman odeion at Epidaurus, JRA 16, 2003, 301–311. |
| Aurenhammer 2011 | M. Aurenhammer, The Sculptures found in the Bouleuterion and the Sculptural Program of the Vedius Scaenae Frons, in: Bier 2011, 99–114. |
| Aylward 2000 | W. Aylward, The Roman Agora at Ilion and its Predecessors (Diss. Universität Cincinnati 2000). |
| Aylward 2009 | W. Aylward, Lewises in Hellenistic and Roman Building at Pergamon, in: M. Bachmann (Hrsg.), Bautechnik im antiken und vorantiken Kleinasien. Internationale Konferenz, 13.–16. 6. 2007, Istanbul, BYZAS 9 (Istanbul 2009) 309–322. |
| Balty 1991 | J. C. Balty, Curia Ordinis (Brüssel 1991). |
| Bammer 1984 | A. Bammer, Das Heiligtum der Artemis von Ephesos (Graz 1984). |
| Bammer 1993 | A. Bammer, Die Geschichte des Sekos im Artemision von Ephesos, ÖJh 62, 1993, Beibl. 138–168. |
| Bammer 1999 | A. Bammer, Die Kirche im Artemision von Ephesos, in: R. Pillinger – O. Kresten – F. Krinzinger – E. Russo (Hrsg.), Efeso Paleocristiana e Bizantina – Frühchristliches und byzantinisches Ephesos, AForsch 3 = DenkschrWien 282 (Wien 1999) 86–88. |
| Bammer 2004 | A. Bammer, Zum Standort des Partherdenkmals von Ephesos, Anadolu/Anatolia 26, 2004, 11–24. |
| Bammer 2005 | A. Bammer, Kleinasiatische Monumentalaltäre, in: M. Şahin – I. H. Mert (Hrsg.), Festschrift Ramazan Özgan (Istanbul 2005) 15–27. |
| Bammer 2007 | A. Bammer, L'architecture hellénistique en Asie Mineure et ses concepts rétrospectifs et anticipants, in: F.-H. Massa-Pairault – G. Sauron, Images et Modernité hellénistiques (Rom 2007) 91–101. |
| Baybo 2005 | S. Baybo, Glasfunde aus der ›Weststadt‹ in Limyra aus den Kampagnen 2002–2004, Adalya 8, 2005, 211–239. |
| Baybo 2009 | S. Baybo, Late Antique/Early Byzantine Glass Vessels from Trench Q18 at Limyra: Excavation Seasons 2007–2009, in: E. Laflı (Hrsg.), Late Antique/Early Byzantine Glass in the Eastern Mediterranean. Colloquia Anatolica et Aegaea, Acta Congressus Internationalis Smyrnesis (Izmir 2009) II, 189–198. |
| Bayburtluoğlu 1993 | C. Bayburtluoğlu, Arykanda, in: J. Borchardt – G. Dobesch (Hrsg.), Akten des II. Internationalen Lykien-Symposions, 6.–12. Mai 1990, ETAM 17 = DenkschrWien 231 (Wien 1993). |
| Bayburtluoğlu 2012 | C. Bayburtluoğlu, Die Monumente von Arykanda – ein Überblick, in: M. Seyer (Hrsg.), 40 Jahre Grabung Limyra. Akten des internationalen Symposiums, 3.–5. 12. 2009, Wien, FiLim 6 (Wien 2012) 43–47. |
| Bellibaş u. a. 2013 | E. S. Bellibaş – S. Ladstätter – M. Kürüm, Siğla Türbesi (Izmir – Selçuk) ve Restorasyon Yaklaşımları, in: M. Ersan – M. Şeker – C. Kanat (Hrsg.), Aydınoğulları Tarihi, 4.–6. 10. 2010, Aydın (Ankara 2013) 275–307. |
| Benndorf 1898 | O. Benndorf, Vorläufige Berichte über die Ausgrabungen in Ephesos, ÖJh 1, 1898, Beibl. 54–71. |

| | |
|---|---|
| Benndorf 1906 | O. Benndorf, Forschungen in Ephesos 1 (Wien 1906). |
| Berns 2010 | C. Berns, Vorstellungen vom ephesischen Artemision bis zu seiner Entdeckung, in: D. Boschung – E. Kleinschmidt, Lesbarkeiten. Antikerezeption zwischen Barock und Aufklärung (Würzburg 2010) 37–59. |
| Beyll 1993 | D. Beyll, Terra Sigillata aus der Marienkirche in Ephesos. Erste Zwischenbilanz, BerMatÖAI 5 (Wien 1993) 5–46. |
| Bezeczky 2005 | T. Bezeczky, Late Roman Amphorae, in: F. Krinzinger (Hrsg.), Spätantike und mittelalterliche Keramik aus Ephesos, AForsch 13 = DenkschrWien 332 (Wien 2005) 203–229. |
| Bezeczky 2013 | T. Bezeczky, The Amphorae of Roman Ephesus, FiE 15, 1 (Wien 2013). |
| Bieber 1920 | M. Bieber, Die Denkmäler zum Theaterwesen im Altertum (Berlin 1920). |
| Bieber 1961 | M. Bieber, The History of the Greek and the Roman Theater (Princeton, NJ 1961). |
| Bier 2008 | L. Bier, The Bouleuterion, in: C. Ratté – R. R. R. Smith, New Research on the City and its monuments, Aphrodisias Papers 4, JRA Suppl. 70 (Portsmouth, RI 2008) 144–168. |
| Bier 2011 | L. Bier (†), The Bouleuterion at Ephesos, FiE 9, 5 (Wien 2011). |
| Bingöl 2007 | O. Bingöl, Magnesia on the Meander (Istanbul 2007). |
| Blake 1930 | M. E. Blake, The pavements of the Roman buildings of the Republic and Early Empire, MemAmAc 8, 1930, 7–160. |
| Blegen 1939 | C. W. Blegen, Excavations at Troy 1938, AJA 43, 2, 1939, 204–228. |
| Bleyen 1938 | H. G. Bleyen, Die pompejanische Wanddekoration vom zweiten bis zum vierten Stil (Haag 1938). |
| Blümel 1985 | W. Blümel, Die Inschriften von Iasos I (Bonn 1985). |
| Blümner 1884 | H. Blümner, Technologie und Terminologie der Gewerbe und Künste bei Griechen und Römern III (Leipzig 1884). |
| Bobčev 1948 | S. Bobčev, Nouvelles données sur l'›odeion‹ à Nicopolis ad Istrum, in: Fouilles et recherches, Traveaux des sections préhistorique et antique I (Sofia 1948) 116–123. |
| Bogaert 1986 | R. Bogaert, Grundzüge des Bankwesens im alten Griechenland, Xenia 18 (Konstanz 1986). |
| Börker – Merkelbach 1979 | C. Börker – R. Merkelbach (Hrsg.), Die Inschriften von Ephesos II, IK 12 (Bonn 1979). |
| Börker – Merkelbach 1980 | C. Börker – R. Merkelbach (Hrsg.), Die Inschriften von Ephesos V, IK 15 (Bonn 1980). |
| Breder u. a. 2012 | J. Breder – H. Bumke – I. Kaiser – U. Weber, »Kulte im Kult« – Der sakrale Mikrokosmos in extraurbanen griechischen Heiligtümern am Beispiel von Didyma. Erste Ergebnisse, Kölner und Bonner Archaeologica 2, 2012, 181–187. |
| Bringmann u. a. 1995 | K. Bringmann – H. v. Steuben – W. Amerling – B. Schmidt-Dounas, Schenkungen hellenistischer Herrscher an griechische Städte und Heiligtümer (Berlin 1995). |
| Broneer 1932 | O. Broneer, The Odeum, Corinth 10 (Cambridge, MA 1932). |
| Bronk Ramsey 2009 | C. Bronk Ramsey, Bayesian Analysis of Radiocarbon Dates, Radiocarbon 51, 1, 2009, 337–360. |
| Broughton 1959 | T. R. S. Broughton, Roman Asia, in: T. Frank, An Economic Survey of Ancient Rome IV (Neudruck; New Jersey 1959). |
| Brückner u. a. 2008 | H. Brückner – J. C. Kraft – İ. Kayan, Vom Meer umspült, vom Fluss begraben. Zur Paläographie des Artemisions, in: Muss 2008, 21–31. |
| Bruns-Özgan 2002 | C. Bruns-Özgan, Ein Führer durch Knidos (Konya 2002). |
| Bulic 1929 | F. Bulic, Kaiser Diokletians Palast in Split (Zagreb 1929). |
| Bumke u. a. 2015 | H. Bumke – J. Breder – I. Kaiser – B. Reichardt – U. Weber, Didyma, Bericht über die Arbeiten der Jahre 2010–2013, AA 2015, 109–172. |
| Bürchner 1905 | L. Bürchner, Ephesos (München 1905). |
| Büyükkolancı – Thomas – Engelmann 2010 | P. Büyükkolancı – C. M. Thomas – H. Engelmann, Neue Ostotheken aus Ephesos, in: S. Aybek – A. Kazım Öz (Hrsg.), Metropolis Ionia II. Yolların Kesiştiği Yer. The Land of the Crossroads. Essays in Honour of Recep Meriç (Istanbul 2010) 87–94. |
| Cadario 2004 | M. Cadario, La corazza di Alessandro. Loricati di tipo ellenistico dal IV secolo a.C. al II d.C., Università degli Studi di Milano. Pubblicazioni della Facoltà di Lettere e Filosofia 218 (Mailand 2004). |
| Cain 1985 | H.-U. Cain, Römische Marmorkandelaber (Mainz 1985). |
| Challis 2008 | D. Challis, From the Harpy Tomb to the Wonders of Ephesus, British Archaeologists in the Ottoman Empire 1840–1880 (London 2008). |
| Chandler 1775 | R. Chandler, Travels in Asia Minor (Oxford 1775). |
| Chaniotis 1995 | A. Chaniotis, Sich selbst feiern? Städtische Feste des Hellenismus im Spannungsfeld von Religion und Politik, in: M. Wörrle – P. Zanker (Hrsg.), Stadtbild und Bürgerbild im Hellenismus, Vestigia 47 (München 1995) 147–163. |
| Chlepa 1999 | E. A. Chlepa, The Architecture of the Roman Odeion at Kos, BSA 94, 1999, 415–435. |
| Choiseul-Gouffier 1782 | Comte de Choiseul-Gouffier, Voyage pittoresque dans l'Orient Ottoman I (Paris 1782). |
| CID | Corpus des Inscriptions de Delphes I–IV (1977–2002). |

| | |
|---|---|
| Colledge 1976 | M. A. R. Colledge, The Art of Palmyra (London 1976). |
| Curtius 1870 | C. Curtius, Inschriften aus Ephesos, Hermes 4, 2, 1870, 174–228. |
| Curtius 1872 | E. Curtius (Hrsg.), Beiträge zur Geschichte und Topographie Kleinasiens, AbhBerlin (Berlin 1872). |
| Czurda-Ruth 2007 | B. Czurda-Ruth (Hrsg.), Das Hanghaus 1 in Ephesos. Die Gläser, FiE 8, 7 (Wien 2007). |
| Debord 1982 | P. Debord, Aspects sociaux et économiques de la vie religieuse dans l'Anatolie gréco-romaine, EPRO 88 (Leiden 1982). |
| De Cupere 2001 | B. De Cupere, Animals at Ancient Sagalassos. Evidence of the Faunal Remains, SIMA 4 (Turnhout 2001). |
| Degasperi 2013 | A. Degasperi, Die Marienkirche in Ephesos. Die Bauskulptur aus frühchristlicher und byzantinischer Zeit, ErghÖJh 14 (Wien 2013). |
| Deininger 1965 | J. Deininger, Die Provinziallandtage der römischen Kaiserzeit (München 1965). |
| Demisch 1977 | H. Demisch, Die Sphinx. Geschichte der Darstellung von den Anfängen bis zur Gegenwart (Stuttgart 1977). |
| Derlien 2003 | J. Derlien, Asyl. Die religiöse und rechtliche Begründung der Flucht zu sakralen Orten in der griechisch-römischen Antike (Marburg 2003). |
| Deschler-Erb 1991 | S. Deschler-Erb, Das Tierknochenmaterial der Kanalverfüllung nördlich der Frauenthermen: Küchenabfälle einer Taberne des 2. Viertels des 3. Jahrhunderts n. Chr, JberAugst 12, 1991, 143–151. |
| Dilettanti 1797 | Society of Dilettanti, Antiquities of Ionia II (London 1797). |
| Dobney u. a. 1996 | K. Dobney – D. Jaques – B. Irving, Of Butchers and Breeds: Report on the Vertebrate Remains from Various Sites in the City of Lincoln, Lincoln Archaeological Studies 5 (Lincoln 1996). |
| Dörner 1935 | F. K. Dörner, Der Erlass des Statthalters von Asia Paullus Fabius Persicus (Diss. Universität Greifswald 1935). |
| Dräger 1993 | M. Dräger, Die Städte der Provinz Asia in der Flavierzeit (Frankfurt/Main 1993). |
| Dreher 1996 | M. Dreher, Das Asyl in der Antike, Tyche 11, 1996, 79–96. |
| von den Driesch 1976 | A. von den Driesch, Das Vermessen von Tierknochen aus vor- und frühgeschichtlichen Siedlungen (München 1976). |
| Dunbabin 1999 | K. Dunbabin, Mosaics of the Greek and Roman World (Cambridge 1999). |
| Engelmann u. a. 1980a | H. Engelmann – D. Knibbe – R. Merkelbach (Hrsg.), Die Inschriften von Ephesos III, IK 13 (Bonn 1980). |
| Engelmann u. a. 1980b | H. Engelmann – D. Knibbe – R. Merkelbach (Hrsg.), Die Inschriften von Ephesos IV, IK 14 (Bonn 1980). |
| Engelmann 1986 | H. Engelmann, Degustation von Götterwein, ZPE 63, 1986, 107–108. |
| Engelmann 1991 | H. Engelmann, Beiträge zur ephesischen Topographie, ZPE 89, 1991, 275–295. |
| Engelmann 1993 | H. Engelmann, Zum Kaiserkult in Ephesos, ZPE 97, 1993, 279–289. |
| Engelmann 1996 | H. Engelmann, Das Grab des Androklos und ein Olympieion, ZPE 112, 1996, 131–133. |
| Engelmann 1998a | H. Engelmann, Zur Agonistik in Ephesos, in: W. Orth (Hrsg.), Colloquium »Agonistik in der römischen Kaiserzeit«, Landhaus Rothenberger bei Münster, 25–27. Oktober 1995 (Sankt Augustin 1998). |
| Engelmann 1998b | H. Engelmann, Ephesiaca, ZPE 121, 1998, 305–311. |
| Engelmann 1999 | H. Engelmann, Inschriften aus Metropolis, ZPE 125, 1999, 137–146. |
| Engelmann 2001 | H. Engelmann, Inschriften und Heiligtum, in: Muss 2001, 33–44. |
| Ervine 1869 | S. J. Ervine, John Turtle Wood, Discoverer of the Artemision 1869, Isis 28, 2, 1938, 376–384. |
| Ervynck u. a. 2003 | A. Ervynck – W. van Neer – B. de Cupere, Animal Remains from the Byzantine castle, in: J. J. Devreker – H. Thoen – F. Vermeulen (Hrsg.), Excavations in Pessinus: the so-called Acropolis, Archaeological Reports Ghent University 1, 2003, 375–381. |
| Fabiš 1999 | M. Fabiš, Studies in Hellenistic Ilion: The archaeofaunal remains of C29, w28, and y28/29, Lower City, StTroica 7, 1999, 237–252. |
| Fabricius 1999 | J. Fabricius, Die hellenistischen Totenmahlreliefs. Grabpräsentation und Wertvorstellungen in ostgriechischen Städten, Studien zur antiken Stadt 3 (München 1999). |
| Falkener 1862 | E. Falkener, Ephesus, and the temple of Diana (London 1862). |
| Fergusson 1883 | J. Fergusson, The Temple of Diana at Ephesus, Transactions of the Royal Institute of British Architects 1883, 1–22. |
| Filgis – Radt 1986 | M. N. Filgis – W. Radt, Die Stadtgrabung. 1. Das Heroon, AvP 15, 1 (Berlin 1986). |
| Fischer 2011 | J. Fischer, Das Artemision von Ephesos. Ein antikes Pilgerziel im Spiegel der literarischen und epigraphischen Überlieferung, in: E. Olshausen – V. Sauer (Hrsg.), Mobilität in den Kulturen der antiken Mittelmeerwelt, Stuttgarter Kolloquium zur Historischen Geographie des Altertums II (Stuttgart 2011) 171–203. |

| | |
|---|---|
| Fittschen – Zanker 1994 | K. Fittschen – P. Zanker, Katalog der römischen Porträts in den Capitolinischen Museen und den kommunalen Sammlungen der Stadt Rom I. Kaiser- und Prinzenbildnisse [2](Mainz 1994). |
| Fittschen – Zanker – Cain 2010 | K. Fittschen – P. Zanker – P. Cain, Katalog der römischen Porträts in den Capitolinischen Museen und den anderen kommunalen Sammlungen der Stadt Rom II. Die männlichen Privatporträts (Berlin 2010). |
| Fleischer 1972–1975 | R. Fleischer, Skulpturenfunde, ÖJh 50, 1972–1975, Beibl. 421–467. |
| Fleischer 1974 | R. Fleischer, in: A. Bammer – R. Fleischer – D. Knibbe, Führer durch das Archäologische Museum in Selçuk-Ephesos (Wien 1974). |
| Forchheimer 1923 | P. Forchheimer, Wasserleitungen, in: E. Reisch (Hrsg.), Das Theater von Ephesos, FiE 3 (Wien 1923) 224–255. |
| Forstenpointner 2003 | G. Forstenpointner, Promethean legacy: Investigations into the ritual procedure of ›Olympian‹ sacrifice, in: E. Kotjabopoulou – Y. Hamilakis – P. Halstead – C. Gamble – P. Elefanti (Hrsg.), Zooarchaeology in Greece: Recent advances, BSA Studies 9 (London 2003) 203–213. |
| Forstenpointner u. a. 2008 | G. Forstenpointner – A. Galik – G. E. Weissengruber – S. Zohmann, Archäozoologie, in: Steskal – La Torre 2008, 211–234. |
| Forstenpointner u. a. 2009 | G. Forstenpointner u. a., Alles vom Rind. Kulinarische Spezialitäten aus dem römischen Salzburg im Spiegel der Tierknochenfunde vom Residenzplatz, FÖ Mat A, Sonderh. 10, 2009, 36–39. |
| Forstenpointner u. a. 2010 | G. Forstenpointner – A. Galik – G. Weissengruber, Tierreste, in: F. Krinzinger (Hrsg.), Hanghaus 2 in Ephesos. Die Wohneinheiten 1 und 2. Baubefund, Ausstattung, Funde, FiE 8, 8 (Wien 2010) 357–372. |
| Forstenpointner – Weissengruber 2008 | G. Forstenpointner – G. E. Weissengruber, Tierknochenfunde aus dem Artemision, in: Muss 2008, 157–162. |
| Forster 2001 | G. Forster, The Roman Period, in: J. N. Coldstream – L. J. Eiring – G. Forster, Knossos Pottery Handbook, Greek and Roman (London 2001) 137–167. |
| Foss 1979 | C. Foss, Ephesus after Antiquity: A late Antique, Byzantine and Turkish city (Cambridge 1979). |
| Fossel 1967 | E. Fossel, Zum sog. Odeion in Ephesos, in: E. Braun (Hrsg.), Festschrift Fritz Eichler (Wien 1967) 72–81. |
| Fuchs 1987 | M. Fuchs, Untersuchungen zur Ausstattung römischer Theater in Italien und den Westprovinzen des Imperium Romanum (Mainz 1987). |
| Galik u. a. 2010 | A. Galik – G. Forstenpointner – G. E. Weissengruber – S. Zohmann, Archäozoologischer Befund. Die hellenistischen und spätantiken bis frühbyzantinischen tierischen Abfallvergesellschaftungen aus den Grabungen im Bereich des sog. Lukasgrabes, in: A. Pülz (Hrsg.), Das sog. Lukasgrab in Ephesos. Eine Fallstudie zur Adaption antiker Monumente in byzantinischer Zeit, FiE 4, 4 (Wien 2010) 359–391. |
| Galik u. a. 2014 | A. Galik – G. Forstenpointner – G. E. Weissengruber, Die archäozoologischen Funde, in: E. Rathmayr – H. Thür (Hrsg.), Hanghaus 2 in Ephesos. Die Wohneinheit 6. Baubefund, Ausstattung, Funde, FiE 8, 9 (Wien 2014) 773–799. |
| Gassner 1997 | V. Gassner, Das Südtor der Tetragonos-Agora, Keramik und Kleinfunde, FiE 13, 1, 1 (Wien 1997). |
| Gergel 2004 | R. A. Gergel, Agora S166 and related works, in: ΧΑΡΙΣ. Essays in honor of Sara A. Immerwahr, Hesperia Suppl. 33 (Princeton, NJ 2004) 371–409. |
| Goethert-Polaschek 1977 | K. Goethert-Polaschek, Katalog der römischen Gläser des Rheinischen Landesmuseums Trier, Trier Grabungen und Forschungen 9 (Mainz 1977). |
| Gogos 2015 | S. Gogos, Die antiken Odeia von Athen (Wien 2015). |
| Goldman 1950 | H. Goldman, Tarsus 1. Excavations at Gözlükule (Princeton, NJ 1950). |
| Gordini – Lazzarini – Pallante 2002 | C. Gordini – L. Lazzarini – P. Pallante, New archaeometric data on Rosso Antico and other red marbles used in Antiquity, in: L. Lazzarini (Hrsg.), ASMOSIA VI. Interdisciplinary Studies on Ancient Stone (Padua 2002) 199–206. |
| Groh u. a. 2013 | S. Groh – S. Ladstätter – A. Waldner, Neue Ergebnisse zur Urbanistik in der Oberstadt von Ephesos: Intensive und extensive Surveys 2002–2006, ÖJh 82, 2013, 93–194. |
| Gros 1996 | P. Gros, L'architecture romaine I. Les monuments publics (Paris 1996). |
| Guhl 1843 | E. Guhl, Ephesiaca (Diss. Universität Berlin 1843). |
| Gülbay 2008 | O. Gülbay, Efes Kurşun Tesseraeları (Izmir 2008). |
| Günther 2002 | L.-M. Günther, Griechische Bühnenkunst bei den römischen Siegesspielen des L. Anicius (166 v. Chr.). Klamauk oder Parodie?, in: N. Erhardt (Hrsg.), Widerstand – Anpassung – Integration: die griechische Staatenwelt und Rom. Festschrift Jürgen Deininger (Stuttgart 2002) 121–133. |
| Harden 1936 | D. B. Harden, Roman Glass from Karanis. Found by the University of Michigan Archaeological Expedition in Egypt 1924–29, University of Michigan Studies Humanistic Series 41 (Ann Arbor, MI 1936). |

| | |
|---|---|
| Harder-Schaffhausen 1997 | R. E. Harder-Schaffhausen, Eintritts- und Erkennungsmarken, in: DNP III (1997) 917–918. |
| Harter 1999 | G. Harter, Römische Gläser des Landesmuseums Mainz (Mainz 1999). |
| Harter-Uibopuu 2014 | K. Harter-Uibopuu, Tote soll man ruhen lassen … Verbote und Strafen zur Sicherung von Gräbern am Beispiel von Inschriften aus Ephesos, in: J. Fischer (Hrsg.), Der Beitrag Kleinasiens zur Kultur- und Geistesgeschichte der griechisch-römischen Antike. Akten des internationalen Kolloquiums, Wien, 3.–5. November 2010, ETAM 27 = AForsch 24 = DenkschrWien 469 (Wien 2014) 157–179. |
| Hayes 1972 | J. W. Hayes, Late Roman Pottery (London 1972). |
| Hayes 1975 | J. W. Hayes, Roman and Pre-Roman Glass in the Royal Ontario Museum. A Catalogue (Toronto 1975). |
| Hayes 1985 | J. W. Hayes, Sigillate Orientali, in: G. Pugliese Caratelli u. a. (Hrsg.), Atlante delle forme ceramiche II (Rom 1985) 1–95. |
| Hayes 1992 | J. W. Hayes, Excavations at Saraçhane in Istanbul II. The Pottery (Princeton, NJ 1992). |
| Heberdey 1898 | R. Heberdey, II. Vorläufige Berichte über die Ausgrabungen in Ephesus, ÖJh 1, 1898, Beibl. 72–82. |
| Heberdey 1912/1913 | R. Heberdey, IX. Vorläufiger Bericht über die Grabungen in Ephesos, ÖJh 15, 1912/1913, Beibl. 157–182. |
| Herz 1990 | P. Herz, Die musische Agonistik und der Kunstbetrieb der Kaiserzeit, in: J. Blänsdorf (Hrsg.), Theater und Gesellschaft im Imperium Romanum, Mainzer Forschungen zu Drama und Theater (Tübingen 1990). |
| Hicks 1874 | E. L. Hicks, The Collection of Ancient Greek Inscriptions III (London 1874). |
| Hinks 1933 | R. P. Hinks (Hrsg.), Catalogue of the Greek, Etruscan and Roman paintings and mosaics in the British Museum (London 1933). |
| Hofstetter 1990 | E. Hofstetter, Sirenen im archaischen und klassischen Griechenland, Beiträge zur Archäologie 19 (Würzburg 1990). |
| Hofstetter 1997 | E. Hofstetter, Seirenes, in: LIMC VIII (1997) 1093–1104. |
| Hogarth 1908 | D. G. Hogarth, Excavations at Ephesus (London 1908). |
| Hruška u. a. 1995 | J. Hruška – P. Mitrenga – F. Gerald – D. Knibbe – W. Pietsch, Bericht über die geophysikalische Untersuchung der Via Sacra in Ephesos (Brünn 1995). |
| Hueber 1989 | F. Hueber, Gestaltungsfeinheiten und Quaderbautechnik an Bauten der frühen Kaiserzeit, in: H. Geertman – J. J. de Jong (Hrsg.), Munus non Ingratum. Proceedings of the International Symposium on Vitruvius' De Architectura and the Hellenistic and Republican Architecture, Leiden 20.–23. 1. 1987, BABESCH Suppl. (Leiden 1989) 217–229. |
| Humann 1904 | C. Humann, Magnesia am Maeander (Berlin 1904). |
| Ibrahim u. a. 1976 | L. Ibrahim – R. Scranton – R. Hill, The Panels of ›Opus Sectile‹ in Glass, Kenchrai, Eastern Port of Corinth 2 (Leiden 1976). |
| İçten − Engelmann 1995 | Ç. İçten − H. Engelmann, Inschriften aus Ephesos und Metropolis, ZPE 108, 1995, 88–94. |
| İçten − Engelmann 1998 | Ç. İçten − H. Engelmann, Inschriften aus Ephesos und Kolophon, ZPE 120, 1998, 83–91. |
| İplikçioğlu – Engelmann – Knibbe 1989 | B. İplikçioğlu – H. Engelmann – D. Knibbe, Neue Inschriften aus Ephesos IX, ÖJh 59, 1989, Beibl. 162–238. |
| Iro u. a. 2009 | D. Iro – H. Schwaiger – A. Waldner, Die Grabungen des Jahres 2005 in der Süd- und Nordhalle der Kuretenstraße. Ausgewählte Befunde und Funde, in: S. Ladstätter (Hrsg.), Neue Forschungen zur Kuretenstraße von Ephesos. Akten des Symposiums für Hilke Thür vom 13. Dezember 2006 an der Österreichischen Akademie der Wissenschaften, AForsch 15 = DenkschrWien 382 (Wien 2009) 53–87. |
| Isings 1957 | C. Isings, Roman glass from dated finds (Groningen 1957). |
| IvE | Die Inschriften von Ephesos, IK 11–17 (Bonn 1979–1984). |
| Izenour 1992 | C. Izenour, Roofed Theaters of Classical Antiquity (Yale 1992). |
| Jessen 1905 | O. Jessen, Ephesia, in: RE V 2 (1905) 2755–2761. |
| Kadıoğlu 1999 | M. Kadıoğlu, Der Opus Sectile-Boden aus dem Gerontikon-Buleuterion von Nysa ad Maeandrum, AMS 34 (Bonn 1999) 175–188. |
| Kalinka 1903 | E. Kalinka (Hrsg.), Tituli Lyciae linguis Graeca et Latina consripti, TAM II 2 (Wien 1903). |
| Kandler – Wlach 1998 | M. Kandler – G. Wlach (Hrsg.), 100 Jahre Österreichisches Archäologisches Institut, SoSchrÖAI 31 (Wien 1998). |
| Karanastasi 2012/2013 | P. Karanastasi, Hadrian in Armour. Imperial Statues between ›Realpolitik‹ and Philhellenism, JdI 127/128, 2012/2013, 323–391. |
| Keil 1908 | J. Keil, Zur Geschichte der Hymnoden in der Provinz Asia, ÖJh 11, 1908, 101–110. |
| Keil 1915a | J. Keil, Ephesos. Ein Führer durch die Ruinenstätte und ihre Geschichte (Wien 1915). |
| Keil 1915b | J. Keil, Ephesische Funde und Beobachtungen, ÖJh 18, 1915, Beibl. 279–286. |

| | |
|---|---|
| Keil 1929 | J. Keil, XIII. Vorläufiger Bericht über die Ausgrabungen in Ephesos, ÖJh 24, 1929, Beibl. 5–68. |
| Keil 1930 | J. Keil, XV. Vorläufiger Bericht über die Ausgrabungen in Ephesos, ÖJh 26, 1930, Beibl. 5–66. |
| Keil 1932 | J. Keil, Inschriften, in: Die Marienkirche in Ephesos, FiE 4, 1 (Wien 1932). |
| Keil 1951 | J. Keil (Hrsg.), Die Johanneskirche, FiE 4, 3 (Wien 1951). |
| Kerschner 2015 | M. Kerschner mit einem Beitrag von F. Stock und H. Brückner, Der Ursprung des Artemisions von Ephesos als Naturheiligtum. Naturmale als kultische Bezugspunkte in den großen Heiligtümern Ioniens, in: K. Sporn – S. Ladstätter – M. Kerschner (Hrsg.), Natur – Kult – Raum. Akten des internationalen Kolloquiums Paris-Lodron-Universität Salzburg, 20.–22. Jänner 2012, SoSchrÖAI 51 (Wien 2015) 187–243. |
| Kesyakova – Raichev 2012 | E. Kesyakova – D. Raichev, Philippopolis (Plovdiv 2012). |
| Kienlin 2011 | A. von Kienlin (Hrsg.), Holztragwerke der Antike, BYZAS 11 (Istanbul 2011). |
| Kirbihler 2018 | F. Kirbihler, Les prêtresses d'Artémis à Éphèse (I$^{er}$ s. av. J.-C.–III$^{e}$ s. apr. J.-C.) ou: comment faire du neuf en prétendant restaurer un état ancien?, in: S. Lalanne (Hrsg.), Femmes grecques de l'Orient romain, DialHistAnc Suppl. (Besançon 2018, in Druck). |
| Kirbihler – Zabrana 2014 | F. Kirbihler – L. Zabrana, Archäologische, epigrafische und numismatische Zeugnisse für den Kaiserkult im Artemision, ÖJh 83, 2014, 101–113. |
| Klebinder-Gauß 2007 | G. Klebinder-Gauß, Bronzefunde aus dem Artemision von Ephesos, FiE 12, 3 (Wien 2007). |
| Knackfuß 1908 | H. Knackfuß, Das Rathaus von Milet (Berlin 1908). |
| Knibbe 1993 | D. Knibbe, Via Sacra Ephesiaca I, BerMatÖAI 3 (Wien 1993). |
| Knibbe 2002 | D. Knibbe, Topographica Ephesiaca, ÖJh 71, 2002, 207–219. |
| Knibbe – İplikçioğlu 1984a | D. Knibbe – B. İplikçioğlu, Ephesos im Spiegel seiner Inschriften (Wien 1984). |
| Knibbe – İplikçioğlu 1984b | D. Knibbe – B. İplikçioğlu, Neue Inschriften aus Ephesos IX, ÖJh 55, 1984, 107–136. |
| Knibbe – Thür 1995 | D. Knibbe – H. Thür, Via Sacra Ephesiaca II, BerMatÖAI 6 (Wien 1995). |
| Knibbe u. a. 1979 | D. Knibbe – R. Meriç – R. Merkelbach, Der Grundbesitz der ephesischen Artemis im Kaystrostal, ZPE 33, 1979, 139–148. |
| Knibbe 1972–1975 | D. Knibbe, Neue Inschriften aus Ephesos V–VII, ÖJh 50, 1972–1975, Beibl. 1–79. |
| Knibbe u. a. 1993 | D. Knibbe – H. Engelmann – B. İplikçioğlu, Neue Inschriften aus Ephesos XII, ÖJh 62, 1993, 113–150. |
| Knoepfli u. a. 1990 | A. Knoepfli – O. Emmenegger – M. Koller – A. Meyer, Reclams Handbuch der künstlerischen Techniken II (Stuttgart 1990). |
| Kockel 1995 | V. Kockel, Bouleuteria. Architektonische Form und urbanistischer Kontext, in: M. Wörrle – P. Zanker (Hrsg.), Stadtbild und Bürgerbild im Hellenismus, Vestigia 47 (München 1995) 29–40. |
| Korfmann 2005 | M. Korfmann, Troia/Wilusa (Çanakkale 2005). |
| Korkut – Grosche 2007 | T. Korkut – G. Grosche, Das Bouleuterion von Patara, Patara 2, 1 (Istanbul 2007). |
| Kourouniotis 1921/1922 | K. Kourouniotis, Ἀνασκαφὴ ἐν Νύσῃ τῃ ἐπὶ Μαίανδρῳ 1922, ADelt 7, 1921/1922, 42–77. 227–241. |
| Kowalleck – Rathmayr 2010a | I. Kowalleck – E. Rathmayr, Funde aus Metall und Bein, in: F. Krinzinger (Hrsg.), Hanghaus 2 in Ephesos. Die Wohneinheiten 1 und 2. Baubefund, Ausstattung, Funde, FiE 8, 8 (Wien 2010) 322–330. |
| Kowalleck – Rathmayr 2010b | I. Kowalleck – E. Rathmayr, Funde aus Metall und Bein, in: F. Krinzinger (Hrsg.), Hanghaus 2 in Ephesos. Die Wohneinheiten 1 und 2. Baubefund, Ausstattung, Funde, FiE 8, 8 (Wien 2010) 605–648. |
| Kraeling 1962 | C. H. Kraeling, Ptolemais, City of the Libyan Pentapolis (Chicago 1962). |
| Künzl – Koeppel 2002 | E. Künzl – G. Koeppel, Souvenirs und Devotionalien, AW Sonderbd. (Mainz 2002). |
| Laborde 1838 | A. L. de Laborde – L. E. de Laborde (Hrsg.), Voyage de l'Asie mineure (Paris 1838). |
| Ladstätter 2000 | S. Ladstätter, Ein flavischer Fundkontext aus dem Hanghaus 2 von Ephesos, RCRFActa 36, 2000, 97–104. |
| Ladstätter 2003a | S. Ladstätter, Ein hellenistischer Brunnen in SR 9c, in: C. Lang-Auinger, Das Hanghaus 1 in Ephesos. Funde und Ausstattung, FiE 8, 4 (Wien 2003) 22–70. |
| Ladstätter 2003b | S. Ladstätter, Ein hellenistischer Fundkomplex in SR 12, in: C. Lang-Auinger (Hrsg.), Das Hanghaus 1 in Ephesos. Funde und Ausstattung, FiE 8, 4 (Wien 2003) 70–80. |
| Ladstätter 2005 | S. Ladstätter, Keramik, in: Thür 2005, 230–358. |
| Ladstätter 2008 | S. Ladstätter, Römische, spätantike und byzantinische Keramik, in: Steskal – La Torre 2008, 97–173. |
| Ladstätter 2010a | S. Ladstätter, Keramik, in: F. Krinzinger (Hrsg.), Hanghaus 2 in Ephesos. Die Wohneinheiten 1 und 2. Baubefund, Ausstattung, Funde, FiE 8, 8 (Wien 2010) 530–587. |
| Ladstätter 2010b | S. Ladstätter, Keramik, in: F. Krinzinger (Hrsg.), Hanghaus 2 in Ephesos. Die Wohneinheiten 1 und 2. Baubefund, Ausstattung, Funde, FiE 8, 8 (Wien 2010) 172–279. |

| | |
|---|---|
| Ladstätter 2010c | S. Ladstätter, Keramik, in: M. Steskal, Das Prytaneion in Ephesos, FiE 9, 4 (Wien 2010) 85–172. |
| Ladstätter 2010d | S. Ladstätter, Süd- und Westportikus, in: A. Pülz, Das sog. Lukasgrab in Ephesos. Eine Fallstudie zur Adaption antiker Monumente in byzantinischer Zeit, FiE 4, 4 (Wien 2010) 250–344. |
| Ladstätter 2011 | S. Ladstätter, Ephesos in byzantinischer Zeit. Das letzte Kapitel der Geschichte einer antiken Großstadt, in: F. Daim – S. Ladstätter, Ephesos in byzantinischer Zeit (Mainz 2011) 3–29. |
| Ladstätter 2015 | S. Ladstätter (Hrsg.), Die Türbe im Artemision. Ein frühosmanischer Grabbau in Ayasuluk/Selçuk und sein kulturhistorisches Umfeld, SoSchrÖAI 53 (Wien 2015). |
| Ladstätter – Sauer 2005 | S. Ladstätter – R. Sauer, Late Roman C-Ware und lokale spätantike Feinware aus Ephesos, in: F. Krinzinger, Spätantike und mittelalterliche Keramik aus Ephesos, AForsch 13 = DenkschrWien 332 (Wien 2005) 143–210. |
| Lämmer 1967 | M. Lämmer, Olympien und Hadrianeen im antiken Ephesos (Diss. Universität Köln 1967). |
| Lamprecht 1991 | H.-O. Lamprecht, Rationalisiertes Bauen durch opus caementitium, in: A. Hoffmann (Hrsg.), Bautechnik der Antike. Internationales Kolloquium in Berlin vom 15.–17. Februar 1990 (Mainz 1991) 137–139. |
| Lamprecht 1993 | H.-O. Lamprecht, Opus Caementitium IV (Düsseldorf 1993). |
| Lancaster 2009 | L. C. Lancaster, Concrete vaulted construction in imperial Rome (Cambridge 2009). |
| Lanckoroński 1890 | K. Lanckoroński, Städte Pamphyliens und Pisidiens I (Wien 1890). |
| Lang-Auinger 1989 | C. Lang-Auinger, Opus-sectile Böden aus den Hanghäusern I und II in Ephesos, ÖJh 59, 1989, 47–54. |
| Lang-Auinger 1996 | C. Lang-Auinger, Hanghaus 1 in Ephesos. Der Baubefund, FiE 8, 3 (Wien 1996). |
| Lätzer 2009 | A. Lätzer, Studien zu einem späthellenistischen-frührömischen Fundkomplex aus dem Hanghaus 2 in Ephesos, ÖJh 78, 2009, 123–220. |
| Laube 2006 | I. Laube, Thorakophoroi. Gestalt und Semantik des Brustpanzers in der Darstellung des 4. bis 1. Jhs. v. Chr., Tübinger Archäologische Forschungen 1 (Rahden 2006). |
| Laurenzi 1931 | L. Laurenzi, L'Odeion di Coo, Historia 5, 1931, 592–626. |
| Lauter 1986 | H. Lauter, Die Architektur des Hellenismus (Darmstadt 1986). |
| Lawall 2006 | M. L. Lawall, Transport Amphoras from Well S-AB and the Basins, in: P. Scherrer – E. Trinkl, Die Tetragonos Agora in Ephesos. Grabungsergebnisse von archaischer bis in byzantinische Zeit – ein Überblick. Befunde und Funde klassischer Zeit, FiE 13, 2 (Wien 2006) 132–139. |
| Le Brun 1714 | C. le Brun, Voyage au Levant, c'est à dire dans les principaux endroits de l'Asie Mineure dans les isles de Chio, de Rhodes, de Chypre etc. de mème que dans les plus considerables villes d'Égypte, de Syrie et de la Terre Sainte (Paris 1714). |
| Lehmann – Spittle 1964 | K. Lehmann – D. Spittle, The Altar Court, Samothrake 4, 11 (New York 1964). |
| Lehner 2004 | M. F. Lehner, Die Agonistik im Ephesos der römischen Kaiserzeit (Diss. Ludwig-Maximilians-Universität München 2004). |
| Levi 1967/1968 | D. Levi, Gli scavi di Iasos, ASAtene 29/30, 1967/1968, 546−563. |
| LiDonnici 1999 | L. LiDonnici, The Ephesian Megabyzos Priesthood and Religious Diplomacy at the End of the Classical Period, Religion, 29, 3, 1999, 201−214. |
| Lindley 1976 | V. R. Lindley, A Study of Roman Construction in Asia Minor: The Lingering Role of a Hellenistic Tradition of Ashlar Masonry (Cornell 1976). |
| Liko 2010 | H. Liko, Keramikauswertung, Rundbau, in: A. Pülz, Das sog. Lukasgrab in Ephesos. Eine Fallstudie zur Adaption antiker Monumente in byzantinischer Zeit, FiE 4, 4 (Wien 2010) 186–249. |
| Lock 1990 | P. Lock, D. G. Hogarth (1862–1927): »… a Spezialist in the Science of Archaeology«, BSA 85, 1990, 175–200. |
| Lüdorf 2000 | G. Lüdorf, Die Lekane, Typologie und Chronologie einer Leitform der attischen Gebrauchskeramik des 6.–1. Jahrhunderts v. Chr. (Rhaden 2000). |
| Lüdorf 2006 | G. Lüdorf, Römische und frühbyzantinische Gebrauchskeramik im westlichen Kleinasien. Typologie und Chronologie (Rhaden 2006). |
| Mallwitz 1981 | A. Mallwitz, Neue Forschungen in Olympia, Gymnasium 88, 1981, 97–122. |
| McDonald 1943 | W. McDonald, Political Meeting Places of the Greeks (Baltimore 1943). |
| Meinel 1998 | R. Meinel, Das Odeion, Europäische Hochschulschriften 11 (Frankfurt 1980). |
| Meriç 2002 | R. Meriç, Späthellenistisch-römische Keramik und Kleinfunde aus einem Schachtbrunnen am Staatsmarkt in Ephesos, FiE 9, 3 (Wien 2002). |
| Merkelbach – Stauber 2002 | R. Merkelbach – J. Stauber, Steinepigramme aus dem griechischen Osten IV (München 2002). |
| Michaud – Poujoulat 1833 | J. Michaud – B. Poujoulat, Correspondance d'Orient 1830–1831 (Paris 1833). |

| | |
|---|---|
| Mitchell 1990 | S. Mitchell, Festivals, games and civic life in Roman Asia Minor, JRS 80, 1990, 183–193. |
| Mitchell – Waelkens 1989 | S. Mitchell – M. Waelkens, Ariassos and Sagalassos 1988, AnSt 39, 1989, 61–77. |
| Mitsopoulos-Leon 1991 | V. Mitsopoulos-Leon, Die Basilika am Staatsmarkt in Ephesos, Kleinfunde I. Keramik hellenistischer und römischer Zeit, FiE 9, 2, 2 (Wien 1991). |
| Mlasowsky 1991 | A. Mlasowsky, Die antiken Tesseren im Kestner-Museum Hannover (Hannover 1991). |
| Moretti 1995 | L. Moretti, Iscrizioni agonistiche Greche (Rom 1953). |
| Müller 1995 | H. Müller, Bemerkungen zu Funktion und Bedeutung des Rats in den hellenistischen Städten, in: M. Wörrle – P. Zanker (Hrsg.), Stadtbild und Bürgerbild im Hellenismus, Vestigia 47 (München 1995) 41–54. |
| Muss 2001 | U. Muss (Hrsg.), Der Kosmos der Artemis von Ephesos, SoSchrÖAI 37 (Wien 2001). |
| Muss 2005 | U. Muss, Das Artemision von Ephesos in römischer Zeit, in: M. Şahin – H. I. Mert (Hrsg.), Festschrift Ramazan Özgan (Istanbul 2005) 249–263. |
| Muss 2007 | U. Muss, Republik und Kaiser im Artemision von Ephesos, in: M. Meyer (Hrsg.), Neue Zeiten – Neue Sitten. Zu Rezeption und Integration römischen und italischen Kulturguts in Kleinasien, WForsch 12 (Wien 2007) 243–250. |
| Muss 2008 | U. Muss (Hrsg.), Die Archäologie der ephesischen Artemis (Wien 2008). |
| Nielsen 2002 | I. Nielsen, Cultic Theatres and Ritual Drama. A Study in Regional Development and Religious Interchange Between East and West in Antiquity, Aarhus studies in Mediterranean antiquity 4 (Aarhus 2002). |
| Oberleitner u. a. 1978 | W. Oberleitner – K. Gschwantler – A. Bernhard-Walcher – A. Bammer, Kunsthistorisches Museum Wien. Katalog der Antikensammlung II. Funde aus Ephesos und Samothrake (Wien 1978). |
| Ohly 1953 | D. Ohly, Die Göttin und die Basis, AM 68, 1953, 25–50. |
| Ostia II | Aa. Vv., Ostia II. Le terme del Nuotatore. Scavo dell'ambiente I, StHise 16 (Rom 1970). |
| Özdoğru – Dökü 2010 | Ş. Özdoğru – F. E. Dökü, Kibyra 2009 Yılı Çalışmaları. Work at Kibyra in 2009, Anadolu Akdenizi Arkeoloji Haberleri 8, 2010, 37–45. |
| Öztürk 2014 | A. Öztürk, Die gestaltete Bewegung im Bouleuterion von Alabanda, in: D. Kurapkat – P. I. Schneider – U. Wulf-Rheidt, Die Architektur des Weges, DiskAB 11 (Regensburg 2014) 308–316. |
| Parapetti 1985 | R. Parapetti, Il Bouleuterion: aspetti architettonici e decorativi, in: F. Sisinni (Hrsg.), Studi su Iasos di Caria, BdA Suppl. 31/32 (Rom 1985) 105–136. |
| Parker 2004 | R. Parker, New ›Panhellenic‹ Festivals in Hellenistic Greece, in: R. Schlesier – U. Zellmann (Hrsg.), Mobility and Travel in the Mediterranean (Münster 2004) 9–22. |
| Parrish 2001 | D. Parrish (Hrsg.), Urbanism in Western Asia Minor, JRA Suppl. 45 (Portsmouth, RI 2001). |
| Peacock – Williams 1986 | D. P. S. Peacock – D. F. Williams, Amphorae and the Roman economy. An introductory guide (Avon 1986). |
| Pekáry 1985 | T. Pekáry, Das römische Kaiserbildnis in Staat, Kult und Gesellschaft dargestellt anhand der Schriftquellen, Das römische Herrscherbild III 5 (Berlin 1985). |
| Petrie 1904 | W. M. F. Petrie, Methods and Aims in Archaeology (London 1904). |
| Pfuhl – Möbius 1979 | E. Pfuhl – H. Möbius, Die ostgriechischen Grabreliefs II (Mainz 1979). |
| Pietsch 1995 | W. Pietsch, Außerstädtische Grabanlagen von Ephesos, in: H. Friesinger – F. Krinzinger, 100 Jahre Österreichische Forschungen in Ephesos. Akten des Symposions Wien 1995, AForsch 1 = DenkschrWien 260 (Wien 1995) 455–460. |
| Pitton de Tournefort 1717 | J. Pitton de Tournefort, Beschreibung einer auf königlichen Befehl unternommenen Reise nach der Levante (Nürnberg 1717). |
| Pococke 1745 | R. Pococke, A Description of the East and Some Other Countries (London 1745). |
| Prochaska 1999 | W. Prochaska, Die Bedeutung der chemischen Zusammensetzung von Einschlussfluiden und laugbaren Salzen für die Genese von hydrothermalen und sedimentären Karbonatgesteinen der Ostalpen, Mitteilungen der Österreichischen Geologischen Gesellschaft 90, 1999, 175–183. |
| Prochaska – Grillo – Ruggendorfer 2007 | W. Prochaska – S. M. Grillo – P. Ruggendorfer, Chemical analysis of inclusion fluids – a new method to pinpoint the origin of white marbles, illustrated at the Mausoleum at Belevi, Forum Archaeologiae 45/XII/2007 <http://farch.net> (15. 10. 2015). |
| Prokesch 1836 | A. Ritter von Prokesch Osten, Denkwürdigkeiten und Erinnerungen aus dem Orient II (Stuttgart 1836). |
| Price 1984 | S. R. F. Price, Rituals and Power. The Roman Imperial Cult in Asia Minor (Cambridge 1984). |
| Rakob 1983 | F. Rakob, Opus Caementitium – und die Folgen, RM 90, 1983, 359–372. |
| Rathmayr 2005 | E. Rathmayr, Skulpturen, in: Thür 2005, 207–229. |
| Rautmann 1995 | M. L. Rautmann, Two Late Roman Wells at Sardis, AASOR 53, 1995, 37–84. |

Rehm 1958 — A. Rehm, Die Inschriften, Didyma 2 (Berlin 1958).

Reimer u. a. 2013 — P. J. Reimer – E. Bard – A. Bayliss u. a., Intcal13 and Marine13 Radiocarbon Age Calibration Curves 0–50,000 Years Cal BP, Radiocarbon 55, 4, 2013, 1869–1887.

Remijsen 2011 — S. Remijsen, The so-called ›Crown-Games‹: Terminology and Historical Context of the ancient Categories for Agones, ZPE 177, 2011, 97–109.

Reynolds 2008 — J. M. Reynolds, The Inscriptions from the Bouleuterion/Odeion, in: C. Ratté – R. R. R. Smith, New Research on the City and its monuments, Aphrodisias Papers 4, JRA Suppl. 70 (Portsmouth, RI 2008) 169–189.

Riha 1990 — E. Riha, Der römische Schmuck aus Augst und Kaiseraugst, Forschungen in Augst 10 (Augst 1990).

Riley 1979 — J. A. Riley, The Coarse Pottery from Berenice, in: J.A. Lloyd, Excavations at Sidi Khrebish, Benghazi (Berenice) II, LibAnt Suppl. 5 (Tripolis 1979) 91–497.

Robinson 1959 — H. S. Robinson, Pottery of the Roman Period, Chronology, Agora 5 (Princeton, NJ 1959).

Rogers 2007 — G. M. Rogers, From the Greek Polis to the Greco-Roman Polis – Augustus and the Artemision of Ephesos, in: H. Elton – G. Reger (Hrsg.), Regionalism in Hellenistic and Roman Asia Minor. Acts of the Conference Hartfort, Conneticut (USA) 22.–24. August 1997 (Paris 2007) 137–146.

Rogl 2003 — C. Rogl, Hellenistische Reliefbecher aus der Form, in: C. Lang-Auinger, Das Hanghaus 1 in Ephesos. Funde und Ausstattung, FiE 8, 4 (Wien 2003) 26–28.

Rondelet 1817 — J.-B. Rondelet, Traité théorique et pratique de l'art de bâtir III (Paris 1817).

Rotroff 1997 — S. I. Rotroff, Hellenistic Pottery, Athenian and Imported Wheelmade Table Ware and Related Material, Agora 29 (Princeton, NJ 1997).

Roueché 1993 — C. Roueché, Performers and Partisans at Aphrodisias in the Roman and Late Periods (London 1993).

Rowe 2004 — A. H. Rowe, Reconsidering Late Roman Cyprus. Using new material from Nea Paphos to review current artefact typologies (Diss. University of Sydney 2004).

Russell 1976 — J. Russell, Anemurium – Eine römische Kleinstadt in Kleinasien, AW 7, 4, 1976, 3–20.

Russo 2001 — E. Russo, Sculture paleocristiane e bizantine dell'Artemision di Efeso, in: Muss 2001, 265–278.

Rütti 1991 — B. Rütti, Die Gläser aus Augst und Kaiseraugst, Forschungen in Augst 13, 1. 2 (Augst 1991).

Sackett 1992 — L. H. Sackett, Knossos, From Greek City to Roman Colony. Excavations at the unexplored Mansion II (Oxford 1992).

Sackur 1925 — W. Sackur, Vitruv und die Poliorketiker (Berlin 1925).

Salzmann 1991 — D. Salzmann, Mosaiken und Pavimente in Pergamon, AA 1991, 433–456.

Schaber 1982 — W. Schaber, Die archaischen Tempel der Artemis von Ephesos, Schriften aus dem Athenaion der klassischen Archäologie Salzburg 2 (Waldsassen 1982).

Schäfer 1968 — J. Schäfer, Hellenistische Keramik aus Pergamon, PF 2 (Berlin 1968).

Schattner 2007 — T. G. Schattner, Die Fundkeramik vom 8. bis zum 4. Jahrhundert v. Chr., Didyma 3, 4 (Mainz 2007).

Schätzschock 2005 — M. Schätzschock, Glas, in: Thür 2005, 363–388.

Schätzschock 2010a — M. Schätzschock, Glas, in: F. Krinzinger (Hrsg.), Hanghaus 2 in Ephesos. Die Wohneinheiten 1 und 2. Baubefund, Ausstattung, Funde, FiE 8, 8 (Wien 2010) 286–321.

Schätzschock 2010b — M. Schätzschock, Glas, in: F. Krinzinger (Hrsg.), Hanghaus 2 in Ephesos. Die Wohneinheiten 1 und 2. Baubefund, Ausstattung, Funde, FiE 8, 8 (Wien 2010) 592–604.

Schätzschock 2014 — M. Schätzschock, Glas, in: H. Thür – E. Rathmayr, Hanghaus 2 in Ephesos. Die Wohneinheit 6. Baubefund, Ausstattung, Funde, FiE 8, 9 (Wien 2014) 607–638.

Scheibelreiter 2008 — V. Scheibelreiter, Opus sectile Pavimente in Ephesos und Kleinasien, in: Steskal – La Torre 2008, 264–268.

Schelihan 1950 — R. v. Schelihan, Vom Wettkampf der Dichter. Der musische Agon bei den Griechen (Amsterdam 1950).

Scherrer 1990 — P. Scherrer, Augustus, die Mission des Vedius Pollio und die Artemis Ephesia, ÖJh 60, 1990, 87–101.

Scherrer 1999 — P. Scherrer, Am Olympieion vorbei …?, Pausanias' Wegbeschreibung in Ephesos und der hadrianische Neokorietempel, in: P. Scherrer – H. Taeuber – H. Thür (Hrsg.), Steine und Wege. Festschrift Dieter Knibbe, SoSchrÖAI 32 (Wien 1999) 137–144.

von Schubert 1838 — G. H. von Schubert, Reise in das Morgenland in den Jahren 1836 und 1837 (Erlangen 1838).

Schulte 1971 — E. Schulte, Carl Humann. Der Entdecker des Weltwunders von Pergamon in Zeugnissen seiner Zeit (Dortmund 1971).

Schwertheim 2006 — E. Schwertheim, Alexandria Troas, in: W. Radt (Hrsg.), Stadtgrabungen und Stadtforschung im westlichen Kleinasien, BYZAS 3 (Istanbul 2006) 11–18.

| | |
|---|---|
| Segal 1995 | A. Segal, Theatres in Roman Palestine and Provincia Arabia (Leiden 1995). |
| Smith 1892 | A. H. Smith, A Catalogue of Sculpture in the Departement of Greek and Roman Antiquities, British Museum I (London 1892). |
| Smith 1900 | A. H. Smith, A Catalogue of Sculpture in the Departement of Greek and Roman Antiquities, British Museum II (London 1900). |
| Smith 1968 | L. C. Smith, Excavation Report, Eski Anamur (Anemurium), 1968, ADerg 17, 2, 1968, 177–184. |
| Smith 1996 | J. O. Smith, The Cult of Artemis at Ephesus, in: E. N. Lane (Hrsg.), Cybele, Attis and related Cults, EPRO 131 (Leiden 1996) 323–335. |
| Smith u. a. 2006 | R. R. R. Smith u. a., Roman Portrait Statuary from Aphrodisias, Aphrodisias 2 (Mainz 2006). |
| Spawforth 1989 | A. J. S. Spawforth, Agonistic festivals in Roman Greece, in: S. Walker – A. Cameron (Hrsg.), The Greek Renaissance in the Roman Empire. Papers from the 10th British Museum Classical Colloquium, London 1986 (London 1989) 193–197. |
| Spon – Wheler 1678 | J. Spon – G. Wheler, Voyage d'Italie, de Dalmatie, de Grèce et du Levant, fait aux années 1675 et 1676 (Lyon 1678). |
| Stemmer 1978 | K. Stemmer, Untersuchungen zur Typologie, Chronologie und Ikonographie der Panzerstatuen, AF 4 (Berlin 1978). |
| Stern 2001 | E. M. Stern, Roman, Byzantine and Early Medieval Glass. 10 BCE–700 CE, Ernesto Wolf Collection (Ostfildern 2001). |
| Steskal 2008a | M. Steskal, Glas, in: Steskal – La Torre 2008, 189–203. |
| Steskal 2008b | M. Steskal, Kleinfunde, in: Steskal – La Torre 2008, 204–207. |
| Steskal – La Torre 2008 | M. Steskal – M. La Torre, Das Vediusgymnasium in Ephesos. Archäologie und Baubefund, FiE 14, 1 (Wien 2008). |
| Stewart 1986 | J. D. Stewart, The Jerash North Theatre. Part I, The Architecture of the Roman Theatre, in: F. Zayadine (Hrsg.), Jerash Archaeological Project 1981–1983 (Amman 1986) 206–229. |
| Stierlin 1987 | H. Stierlin, Städte in der Wüste (Freiburg 1987). |
| Strelan 1996 | R. Strelan, Paul, Artemis and the Jews in Ephesus (Berlin 1996). |
| Styhler 2010 | G. Styhler, Zur Verkleidungstechnik im Zuschauerraum des Theaters von Ephesos, in: Koldewey-Gesellschaft (Hrsg.), Bericht über die 45. Tagung für Ausgrabungswissenschaft und Bauforschung, 30. April – 4. Mai 2008, Regensburg (Stuttgart 2010) 181–190. |
| Taeuber 2011 | H. Taeuber, The Inscriptions, in: Bier 2011, 87–98. |
| Thompson 1950 | H. A. Thompson, The Odeion in the Athenian Agora, Hesperia 19, 1950, 31–141. |
| Thompson 1987 | H. A. Thompson, The Impact of Roman Architects and Architecture on Athens: 170 B. C.–A. D. 170, in: S. Macready – F. H. Thompson (Hrsg.), Roman Architecture in the Greek World (London 1987) 1–17. |
| Thür 1999 | H. Thür, »Via Sacra Ephesiaca«, in: P. Scherrer – H. Taeuber – H. Thür (Hrsg.), Steine und Wege. Festschrift Dieter Knibbe, SoSchrÖAI 32 (Wien 1999) 163–172. |
| Thür 2003 | G. Thür, Gerichtliche Kontrolle des Asylanspruchs, in: M. Dreher (Hrsg.), Das antike Asyl. Kultische Grundlagen, rechtliche Ausgestaltung und politische Funktion, Akten der Gesellschaft für griechische und hellenistische Rechtsgeschichte (Köln 2003) 23–36. |
| Thür 2005 | H. Thür, Das Hanghaus 2 in Ephesos. Die Wohneinheit 4. Baubefund, Ausstattung, Funde, FiE 8, 6 (Wien 2005). |
| Tomlinson 1969 | R. A. Tomlinson, Two Buildings in Sanctuaries of Asklepios, JHS 89, 1969, 106–117. |
| Travlos 1971 | J. Travlos, Bildlexikon zur Topographie des antiken Athen (Tübingen 1971). |
| Trell 1945 | B. L. Trell, The Temple of Artemis at Ephesos (New York 1945). |
| Tuchelt 1975 | K. Tuchelt, Buleuterion und Ara Augusti, IstMitt 25, 1975, 91–140. |
| Turnovsky 2005a | P. Turnovsky, The morphological repertory of Late Roman/Early Byzantine Coarse Wares in Ephesos, in: J. M. Gurti Esparraguera – J. Buxeda i Garrigos – M. A. Cau-Ontiveros (Hrsg.), LRCW I. Late Roman Coarse Wares, Cooking wares and Amphorae in the Mediterranean, BARIntSer 1340 (Oxford 2005) 635–645. |
| Turnovsky 2005b | P. Turnovsky, Late Roman Pottery in the Eastern Empire, RCRFActa 39, 2005, 217–224. |
| Waelkens 1987 | M. Waelkens, The Adoption of Roman Building Techniques in the Architecture of Asia Minor, in: S. Macready – F. H. Thompson (Hrsg.), Roman Architecture in the Greek World (London 1987) 94–105. |
| Waelkens 2002 | M. Waelkens, Romanization in the East. A case study: Sagalassos and Pisidia (SW Turkey), IstMitt 52, 2002, 311–368. |
| Waelkens 2006 | M. Waelkens, Report on the 2005 Excavation and Restoration Campaign at Sagalassos, KST 28, 2, 2006, 324–326. |
| Waldner 2009 | A. Waldner, Keramische Evidenzen zur Baugeschichte des unteren Embolos von Ephesos (ungedr. Diss. Universität Wien 2009). |

| | |
|---|---|
| Waldner – Ladstätter 2014 | A. Waldner – S. Ladstätter, Ephesus – local vs import: The Early Byzantine fine ware, in: H. Meyza (Hrsg.), Late Hellenistic to Mediaeval Fine Wares of the Aegean Coast of Anatolia (Warschau 2019) 49–58. |
| Walker 1985 | S. Walker, Memorials to the Roman Dead (London 1985). |
| Walser 2008 | A. V. Walser, Bauern und Zinsnehmer. Politik, Recht und Wirtschaft im frühhellenistischen Ephesos, Vestigia 59 (München 2008). |
| Warner Slane 1990 | K. Warner Slane, The Sanctuary of Demeter and Kore. The Roman Pottery and Lamps, Corinth 18, 2 (Princeton, NJ 1990). |
| Warner Slane 2005 | K. Warner Slane – C. D. R. Sanders, Corinth, Late Roman Horizons, Hesperia 74, 2005, 243–297. |
| Wieseler 1851 | F. Wieseler, Theatergebäude und Denkmäler des Bühnenwesens bei den Griechen und Römern (Göttingen 1851). |
| Wintermeyer 2004 | U. Wintermeyer, Die hellenistische und frühkaiserzeitliche Gebrauchskeramik (Mainz 2004). |
| Wiplinger – Wlach 1995 | G. Wiplinger – G. Wlach (Hrsg.), Ephesos. 100 Jahre österreichische Forschung (Wien 1995). |
| Witulski 2007 | T. Witulski, Kaiserkult in Kleinasien (Göttingen 2007). |
| Wohlers-Scharf 1995 | T. Wohlers-Scharf, Die Forschungsgeschichte von Ephesos, Europäische Hochschulschriften 38, 54 (Frankfurt/M. 1995). |
| Wolsfeld 2014 | A. Wolsfeld, Der Kaiser im Panzer. Die bildliche Darstellung Neros und Domitians im Vergleich, in: S. Bönisch-Meyer – L. Cordes – V. Schulz – A. Wolsfeld – M. Ziegert (Hrsg.), Nero und Domitian. Mediale Diskurse der Herrscherrepräsentation im Vergleich, Classica Monacensia 46 (Tübingen 2014) 181–216. |
| Wood 1877 | J. T. Wood, Discoveries in Ephesus (London 1877). |
| Wörrle 1988 | M. Wörrle, Stadt und Fest im kaiserzeitlichen Kleinasien. Studien zu einer agonistischen Stiftung aus Oinoanda, Vestigia 39 (München 1988). |
| Wouters 2011 | P. Wouters, Sagalassos, eine römische Stadt in der Südwesttürkei (Köln 2011). |
| Wright 2005 | G. R. H. Wright, Ancient Building Technology II, Materials (Leiden 2005). |
| Wuilleumier 1951 | P. Wuilleumier, Fouilles de Fourvière à Lyon, Gallia Suppl. 4 (Paris 1951) 44–50. |
| Zabrana 2011 | L. Zabrana, Vorbericht zur sog. Tribüne im Artemision von Ephesos – ein neues Odeion im Heiligtum der Artemis, ÖJh 80, 2011, 341–364. |
| Zimmermann 1874 | G. A. Zimmermann, Ephesos im ersten christlichen Jahrhundert (Diss. Universität Jena 1874). |
| Zimmermann 1993 | E. Zimmermann, Die Tierreste aus dem archaischen Milet/Westtürkei (7. bis 5. Jh. v. Chr.) (Diss. Universität München 1993). |


## VERZEICHNIS DER IN TEXT UND KATALOGEN VERWENDETEN ABKÜRZUNGEN

| | | | |
|---|---|---|---|
| abs. H | absolute Höhe | l. | links, linke(r) |
| AO | Aufbewahrungsort | LRA | Late Roman Amphora |
| ARS | African Red Slip Ware | LRC | Late Roman C-Ware |
| B | Breite | n. b. | nicht bestimmbar |
| BDm | Bodendurchmesser | Niv. | Niveau |
| BS | Bodenscherbe | Ofl. | Oberfläche |
| D | Dicke | OK | Oberkante |
| Dat. | Datierung | OS | Oberseite |
| Dm | Durchmesser | Par. | Parallelen |
| Erh. | Erhaltung | r. | rechts, rechte(r) |
| erh. | erhalten(e) | RDm | Randdurchmesser |
| ERSW | Ephesian Red Slip Ware | ROW-Lampe | Red-on-White Lampe |
| ES | Einschlüsse | Rs | Rückseite |
| ESA | Eastern Sigillata A | RS | Randscherbe |
| ESB | Eastern Sigillata B | SE | stratigrafische Einheit |
| ESC | Eastern Sigillata C | T | Tiefe |
| FNr. | Fundnummer | UK | Unterkante |
| FO | Fundort | US | Unterseite |
| Frgt(e). | Fragment(e) | VS | Vorderseite |
| GHD | Grabungshausdepot, Selçuk | WDm | Wanddurchmesser |
| H | Höhe | WS | Wandscherbe |
| L | Länge | | |

Spezifische numismatische Abkürzungen sind am Beginn des Kapitels VII.5 angeführt.

## VERZEICHNIS DER AUTORINNEN UND AUTOREN

Dr. Maria Aurenhammer
Österreichisches Archäologisches Institut an
der Österreichischen Akademie der Wissenschaften
Franz Klein-Gasse 1
A-1190 Wien

Mag. Julia Dorner
Siedlungsstraße 26
A-2344 Maria Enzersdorf

Univ.-Prof. Dr. Gerhard Forstenpointner
Veterinärmedizinische Universität
Anatomisches Institut, Abteilung Archäozoologie
Veterinärplatz 1
A-1210 Wien

Univ.-Prof. Dr. Walter Prochaska
Montanuniversität Leoben
Institut für Geowissenschaften
und Angewandte Geopysik
Peter-Tunner-Straße 5
A-8700 Leoben

Dr. Nicole Reitinger
Grabenstraße 113
A-8010 Graz

Dr. Ursula Schachinger
Österreichische Akademie der Wissenschaften
AG Numismatik
Schmiedlstraße 6
A-8042 Messendorf

Mag. Johanna Struber-İlhan
Markt 161/1
A-5431 Kuchl

Univ.-Prof. Dr. Hans Taeuber
Universität Wien
Institut für Alte Geschichte und Altertumskunde,
Papyrologie und Epigraphik
Universitätsring 1
A-1010 Wien

Arch. DI Georg Töpfer
Matznergasse 4
A-1140 Wien

Univ.-Prof. Dr. Gerald E. Weissengruber
Veterinärmedizinische Universität
Anatomisches Institut, Abteilung Archäozoologie
Veterinärplatz 1
A-1210 Wien

Mag. Dr.-Ing. Lilli Zabrana, MSc
Österreichisches Archäologisches Institut an
der Österreichischen Akademie der Wissenschaften
Franz Klein-Gasse 1
A-1190 Wien

## PLANVERFASSER UND PLANVERFASSERINNEN, FOTOGRAFEN UND FOTOGRAFINNEN

| | | | |
|---|---|---|---|
| I. Adenstedt | I. A. | N. Reitinger | N. R. |
| J. Dorner | J. D. | K. Rütten | K. R. |
| F. Fichtinger | F. F. | R. Sauer | R. S. |
| G. Forstenpointner | G. F. | J. Struber-İlhan | J. S.-İ. |
| N. Gail | N. G. | H. Taeuber | H. T. |
| B. Geißler | B. G. | G. Töpfer | G. T. |
| B. Kalfa | B. K. | İ. Yeneroğlu | İ. Y. |
| C. Kurtze | C. K. | S. Wanek | S.W. |
| C. Landerl | C. L. | G. E. Weissengruber | G.E.W. |
| K. Löcker | K. L. | J. Wurzer | J. W. |
| W. Prochaska | W. P. | L. Zabrana | L. Z. |

# ABBILDUNGSNACHWEIS

## Textabbildungen

| | |
|---|---|
| Abb. 1–13 | W. P. |
| Tab. 1. 2 | W. P. |
| Diagramm 1–4 | J. D. © ÖAW-ÖAI |
| Tab. 3. 4 | J. D. © ÖAW-ÖAI |
| Diagramm 5. 6 | J. D. © ÖAW-ÖAI |
| Tab. 5–7 | G. F.; G. E. W. |
| Abb. 14 | B. G., L. Z. © ÖAW-ÖAI |
| Abb. 15. 16 | N. R., İ. Y. © ÖAW-ÖAI |
| Abb. 17. 18 | J. D., İ. Y. © ÖAW-ÖAI |
| Abb. 19 | İ. Z., L. Z. © ÖAW-ÖAI |
| Abb. 20–22 | L. Z. © ÖAW-ÖAI |
| Abb. 23 | B. G., L. Z. © ÖAW-ÖAI |

## Tafelabbildungen

| | |
|---|---|
| Taf. 1, 1 | Wood 1877 |
| Taf. 1, 2 | L. Z. © ÖAW-ÖAI |
| Taf. 2, 1. 2 | C. K. © ÖAW-ÖAI |
| Taf. 3, 1 | Wood 1877 |
| Taf. 3, 2. 3 | Curtius 1872 |
| Taf. 4, 1 | Benndorf, 1906. Inv. 2010/1b |
| Taf. 4, 2 | Inv. II 0148 © ÖAW-ÖAI |
| Taf. 5, 1 | © ÖAW-ÖAI |
| Taf. 5, 2 | F. Prascaits © ÖAW-ÖAI |
| Taf. 6 | C. K. © ÖAW-ÖAI |
| Taf. 7, 1 | N. G. © ÖAW-ÖAI |
| Taf. 7, 2–8,3 | L. Z. © ÖAW-ÖAI |
| Taf. 9, 1. 2 | N. G. © ÖAW-ÖAI |
| Taf. 10, 1 | B. K. © ÖAW-ÖAI |
| Taf. 10, 2–5 | L. Z. © ÖAW-ÖAI |
| Taf. 11, 1. 2 | N. G. © ÖAW-ÖAI |
| Taf. 11, 3 | L. Z. © ÖAW-ÖAI |
| Taf. 12, 1 | K. L., L. Z. © ÖAW-ÖAI/ZAMG |
| Taf. 12, 2 | N. G. © ÖAW-ÖAI |
| Taf. 13, 1–14, 2 | L. Z. © ÖAW-ÖAI |
| Taf. 14, 3 | N. G. © ÖAW-ÖAI |
| Taf. 15, 1–16,3 | L. Z. © ÖAW-ÖAI |
| Taf. 16, 4 | N. G. © ÖAW-ÖAI |
| Taf. 17, 1. 2 | L. Z. © ÖAW-ÖAI |
| Taf. 17, 3 | N. G. © ÖAW-ÖAI |
| Taf. 18 | L. Z. © ÖAW-ÖAI |
| Taf. 19, 1–6 | R. S. © ÖAW-ÖAI |
| Taf. 20, 1–5 | L. Z. © ÖAW-ÖAI |
| Taf. 21, 1 | N. G. © ÖAW-ÖAI |
| Taf. 21, 2 | L. Z. © ÖAW-ÖAI |
| Taf. 21, 3–22, 1 | N. G. © ÖAW-ÖAI |
| Taf. 23, 1 | J. D., L. Z. © ÖAW-ÖAI |
| Taf. 23, 2 | L. Z. © ÖAW-ÖAI |
| Taf. 23, 3–24, 8 | N. G. © ÖAW-ÖAI |
| Taf. 25–27, 3 | L. Z. © ÖAW-ÖAI |
| Taf. 27, 4 | B. G., L. Z. © ÖAW-ÖAI |
| Taf. 28, 1–29, 1 | L. Z. © ÖAW-ÖAI |
| Taf. 29, 2 | N. G. © ÖAW-ÖAI |
| Taf. 29, 3 | L. Z. © ÖAW-ÖAI |
| Taf. 29, 4. 5 | N. G. © ÖAW-ÖAI |
| Taf. 29, 6 | F. F., İ. Y. © ÖAW-ÖAI |
| Taf. 30, 1. 2 | N. G. © ÖAW-ÖAI |
| Taf. 30, 3. 4 | F. F., L. Z. © ÖAW-ÖAI |
| Taf. 30, 5. 6 | N. G. © ÖAW-ÖAI |
| Taf. 31, 1 | F. F., L. Z. © ÖAW-ÖAI |
| Taf. 31, 2–3 | L. Z. © ÖAW-ÖAI |
| Taf. 31, 4 | L. Z., İ. Y. © ÖAW-ÖAI |
| Taf. 31, 5 | N. G. © ÖAW-ÖAI |
| Taf. 31, 6. 7 | F. F., L. Z. © ÖAW-ÖAI |
| Taf. 32, 1 | L. Z. © ÖAW-ÖAI |
| Taf. 32, 2 | F. F., L. Z. © ÖAW-ÖAI |
| Taf. 33, 1–35, 1 | L. Z. © ÖAW-ÖAI |
| Taf. 35, 2–6 | N. G. © ÖAW-ÖAI |
| Taf. 36, 1 | L. Z. © ÖAW-ÖAI |
| Taf. 36, 2–38, 2 | N. G. © ÖAW-ÖAI |
| Taf. 38, 3 | F. F., L. Z. © ÖAW-ÖAI |
| Taf. 38, 4–39, 7 | N. G. © ÖAW-ÖAI |
| Taf. 39, 8–40,1 | F. F., L. Z. © ÖAW-ÖAI |
| Taf. 40, 2–5 | N. G. © ÖAW-ÖAI |
| Taf. 40, 6–41, 1 | F. F., L. Z. © ÖAW-ÖAI |
| Taf. 41, 2–5 | N. G. © ÖAW-ÖAI |
| Taf. 41, 6 | L. Z. © ÖAW-ÖAI |
| Taf. 41, 7 | S. W., J. W., L. Z. © ÖAW-ÖAI |
| Taf. 42,1–2–43, 6 | N. G. © ÖAW-ÖAI |
| Taf. 44, 1 | F. F., İ. Y., L. Z.© ÖAW-ÖAI |
| Taf. 44, 2–3–45, 2 | N. G. © ÖAW-ÖAI |
| Taf. 45, 3–47, 1 | L. Z. © ÖAW-ÖAI |
| Taf. 47, 2 | J. D., L. Z. © ÖAW-ÖAI |
| Taf. 47, 3–49, 1 | N. G. © ÖAW-ÖAI |
| Taf. 49, 2 | L. Z. © ÖAW-ÖAI |
| Taf. 50–88 | J. S.-İ. © ÖAW-ÖAI |
| Taf. 89 | J. S.-İ., N. G. © ÖAW-ÖAI |
| Taf. 90. 91 | N. G. © ÖAW-ÖAI |
| Taf. 92. 93 | J. D. © ÖAW-ÖAI |
| Taf. 94 | N. G. © ÖAW-ÖAI |
| Taf. 95 | L. Z. © ÖAW-ÖAI |
| Taf. 96, 1 | N. G. © ÖAW-ÖAI |
| Taf. 96, 2–3 | L. Z. © ÖAW-ÖAI |
| Taf. 96, 4. 5 | G. F., G. E. W. |
| Taf. 97, 1–98, 2 | I. A.; C. L., L. Z. © ÖAW-ÖAI |
| Taf. 99, 1 | Travlos 1971, Abb. 472 |
| Taf. 99, 2 | Crema 1959, Abb. 198 |
| Taf. 99, 3 | Izenour 1992, Abb. 2.3 e |
| Taf. 99, 4 | Parapetti 1985, Abb. 25 |
| Taf. 100, 1 | L. Z. © ÖAW-ÖAI |
| Taf. 100, 2 | Bobčev 1948, Abb. 87 |
| Taf. 100, 3 | Chlepa 1999, Abb. 2 |
| Taf. 100, 4 | Russell 1976, Abb. 5 |
| Taf. 100, 5 | Kraeling 1962, Plan 10 |
| Taf. 100, 6 | Korkut – Grosche 2007, Abb. 98 |

| | |
|---|---|
| Taf. 101, 1 | Butler 1907, Abb. 54 |
| Taf. 101, 2 | Bier 2011, Taf. 30, 3 |
| Taf. 101, 3 | Bier 2008, Abb. 2 |
| Taf. 102, 1–2 | L. Z. nach Korfmann 2005, Abb. 57; Russell 1976, Abb. 4 |
| Taf. 103, 2–3 | L. Z. nach Waelkens 2002, 331 Abb. 2; City map 2nd Century; Bayburtluoğlu 2012, Abb. 1 |
| Taf. 104, 1–4 | L. Z. © ÖAW-ÖAI |
| Taf. 105, 1–3 | G. T., L. Z. © ÖAW-ÖAI |

## PLÄNE

| | |
|---|---|
| Plan 1. 2 | B. G., K. R., J. D., L. Z. © ÖAW-ÖAI |
| Plan 3–5 | L. Z. © ÖAW-ÖAI |
| Plan 6. 7 | İ. Y.; L. Z. © ÖAW-ÖAI |
| Plan 8–14 | B. G.; L. Z. © ÖAW-ÖAI |
| Plan 15–17, 1 | B. G.; İ. Y.; L. Z. © ÖAW-ÖAI |
| Plan 17, 2 | N. G. © ÖAW-ÖAI |
| Plan 18, 1–19, 2 | B. G.; L. Z. © ÖAW-ÖAI |
| Plan 20–25 | C. L.; L. Z. © ÖAW-ÖAI |

# Tafeln

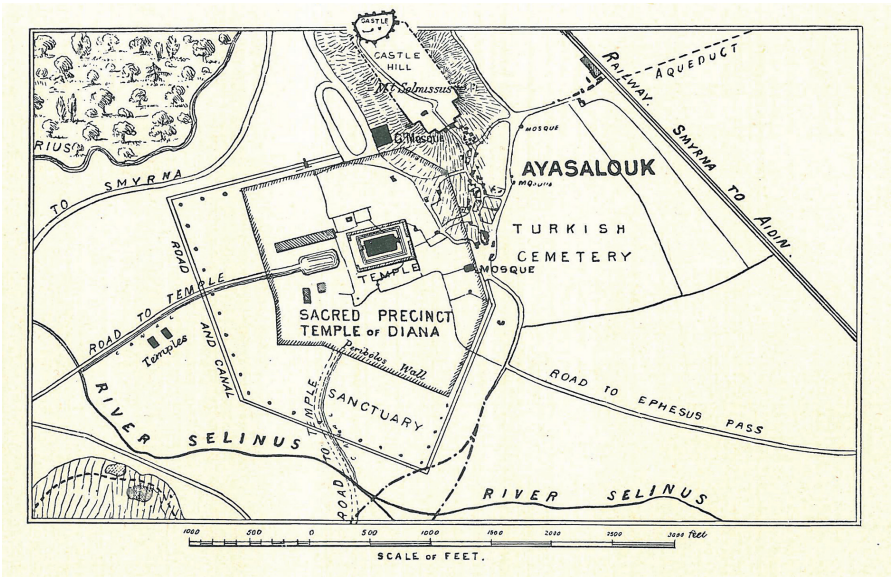


1 Plan of the ruins (aus Wood 1877)

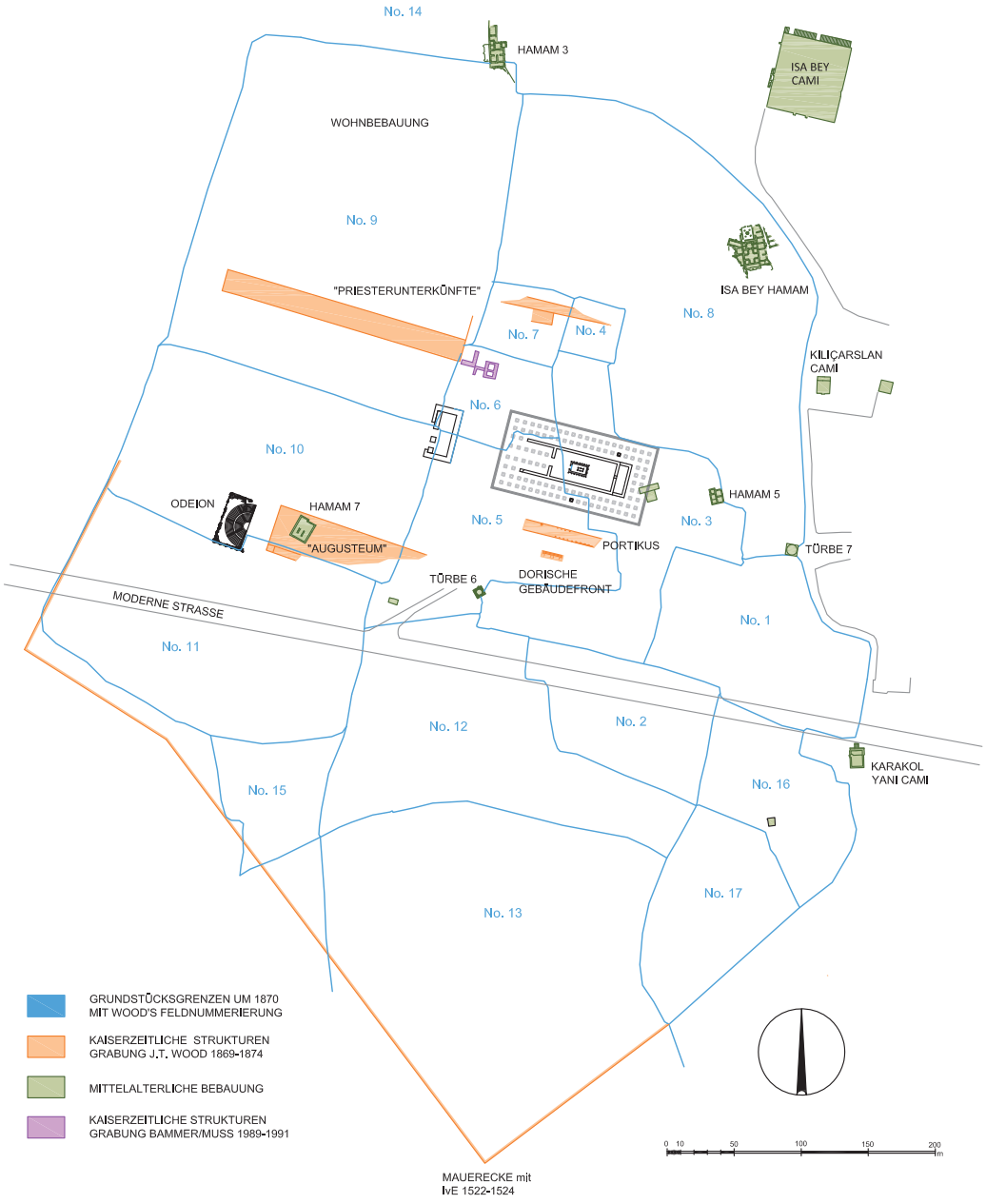


2 Rekonstruktion der Wood'schen Grabungsaktivitäten im Artemision

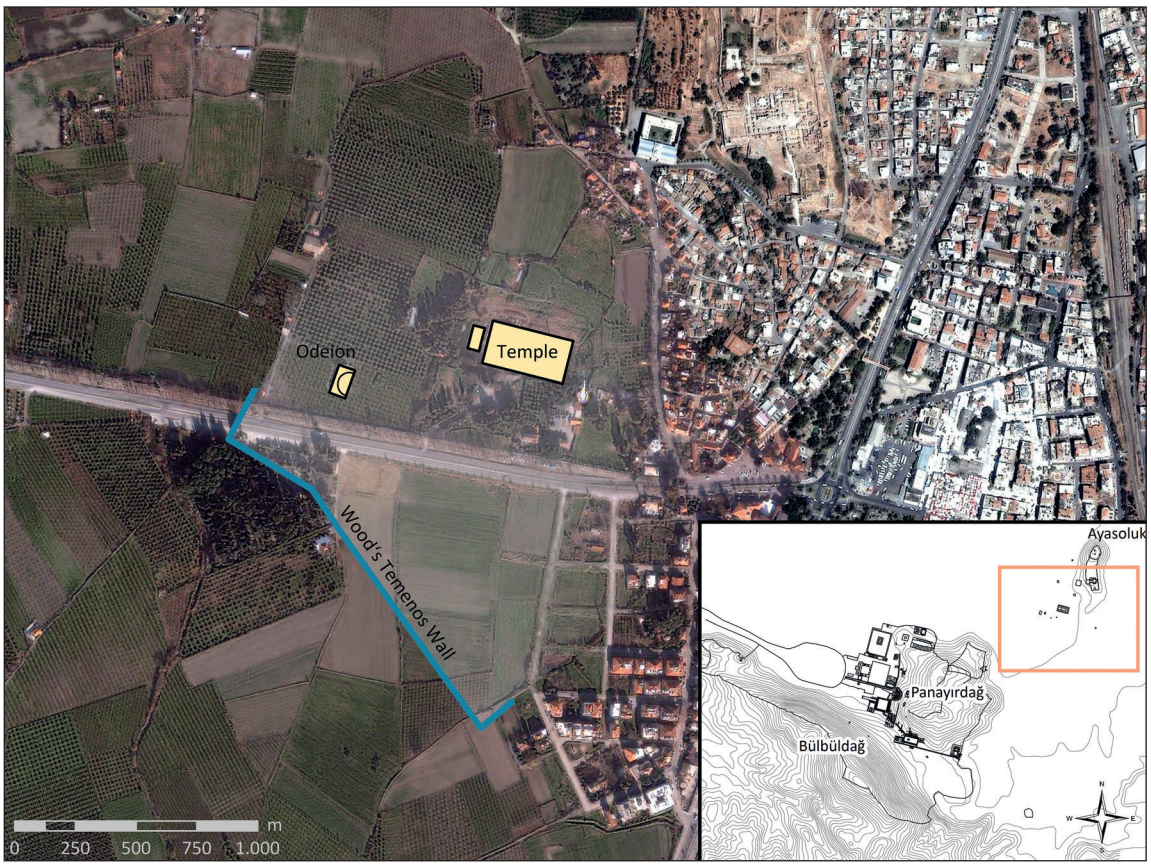


1 Aktuelles Luftbild (2012) mit Wood'scher Peribolosmauer (blau)

2 Bestandsplan von Carl Humann (Juli 1895) mit österreichischen Grabungsbereichen sowie dem Odeion

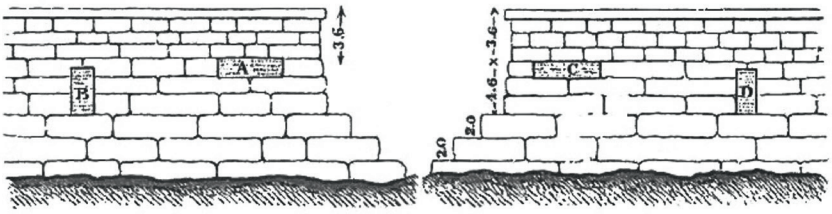


Peribolus Wall.

A, B, C, D, ARE THE INSCRIBED BLOCKS.

1 Skizze der Peribolosecke (aus Wood 1877)

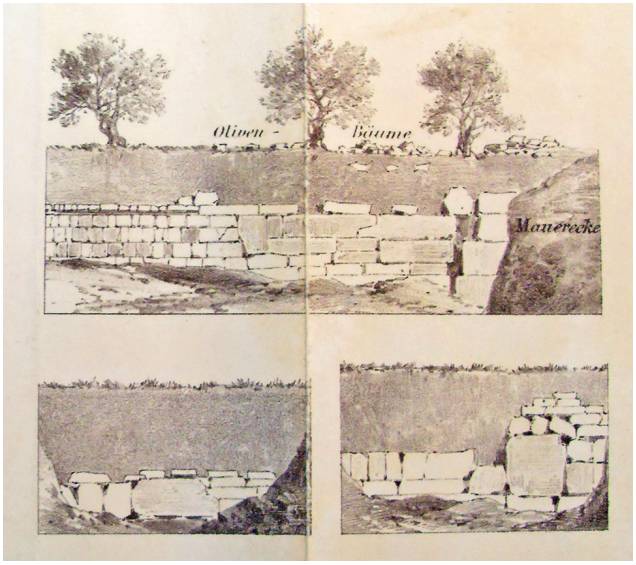


2 Skizze der Peribolosecke von Friedrich Adler (1871)

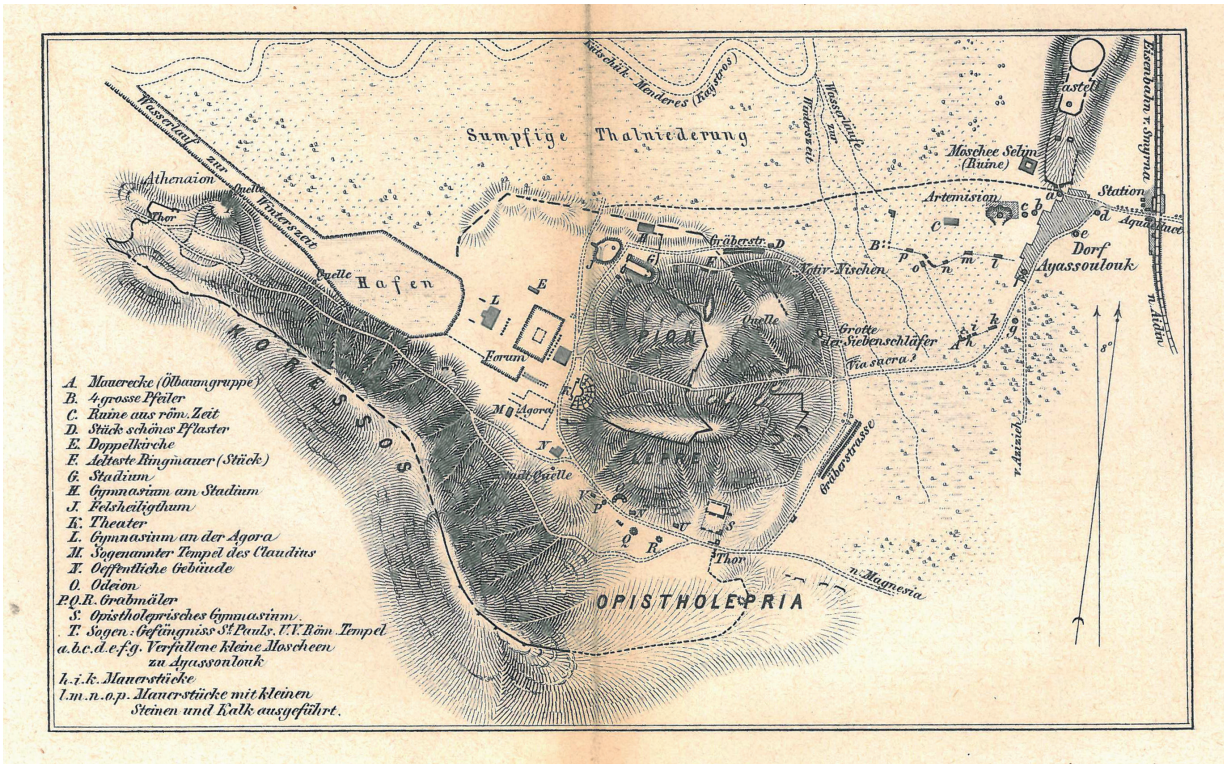


3 Terrainskizze von Ephesos (Curtius 1872): Gebäude C ist das Odeion

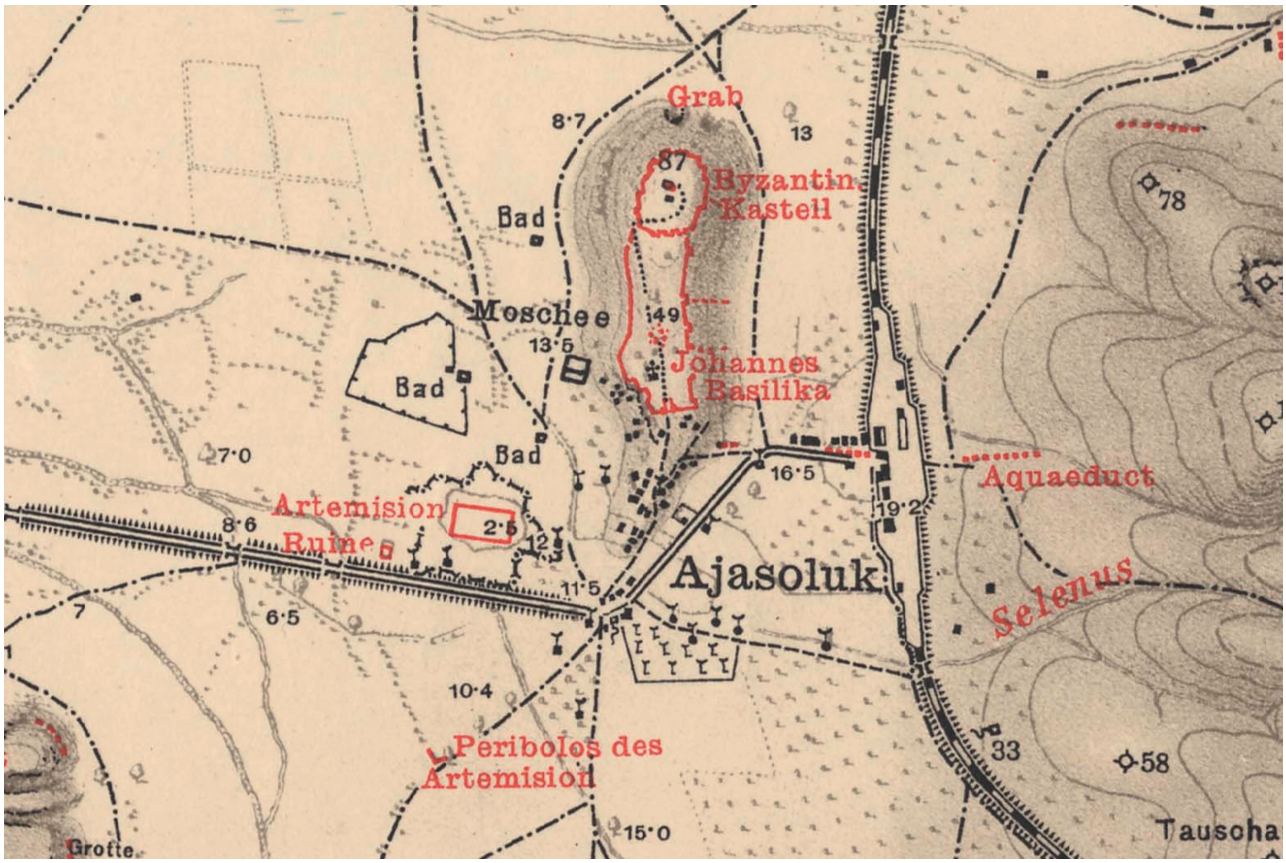


1 Karte von Hauptmann Anton Schindler (1896/1897): Odeion als Ruine bezeichnet

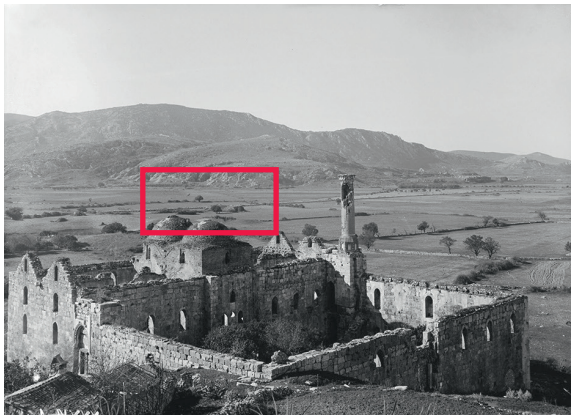

2 Fotoausschnitt İsa Bey Camii (1927): Odeion im Hintergrund

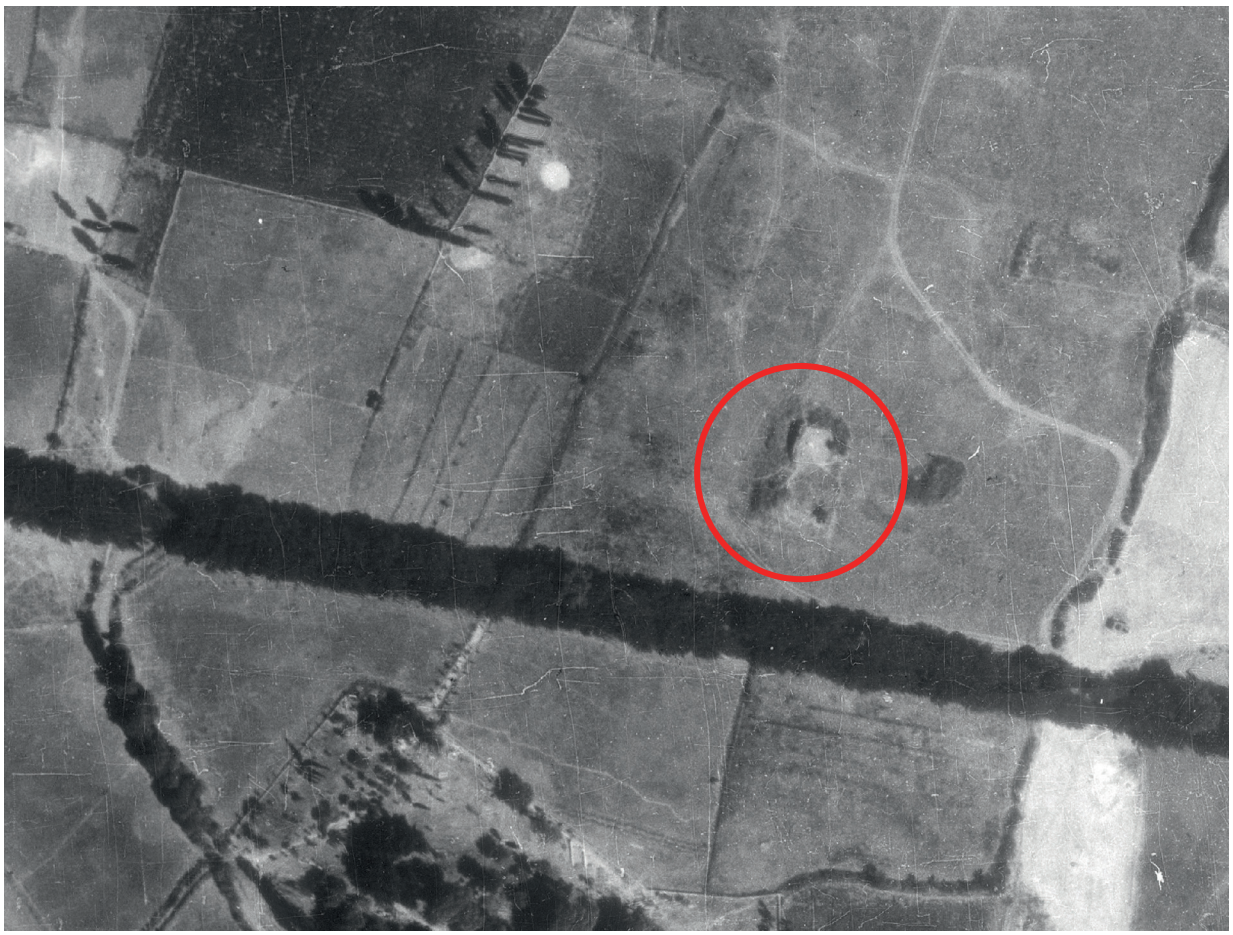

1 Luftbild mit Odeion (1966)

2 Blick vom Odeion Richtung Ayasoluk (1958)

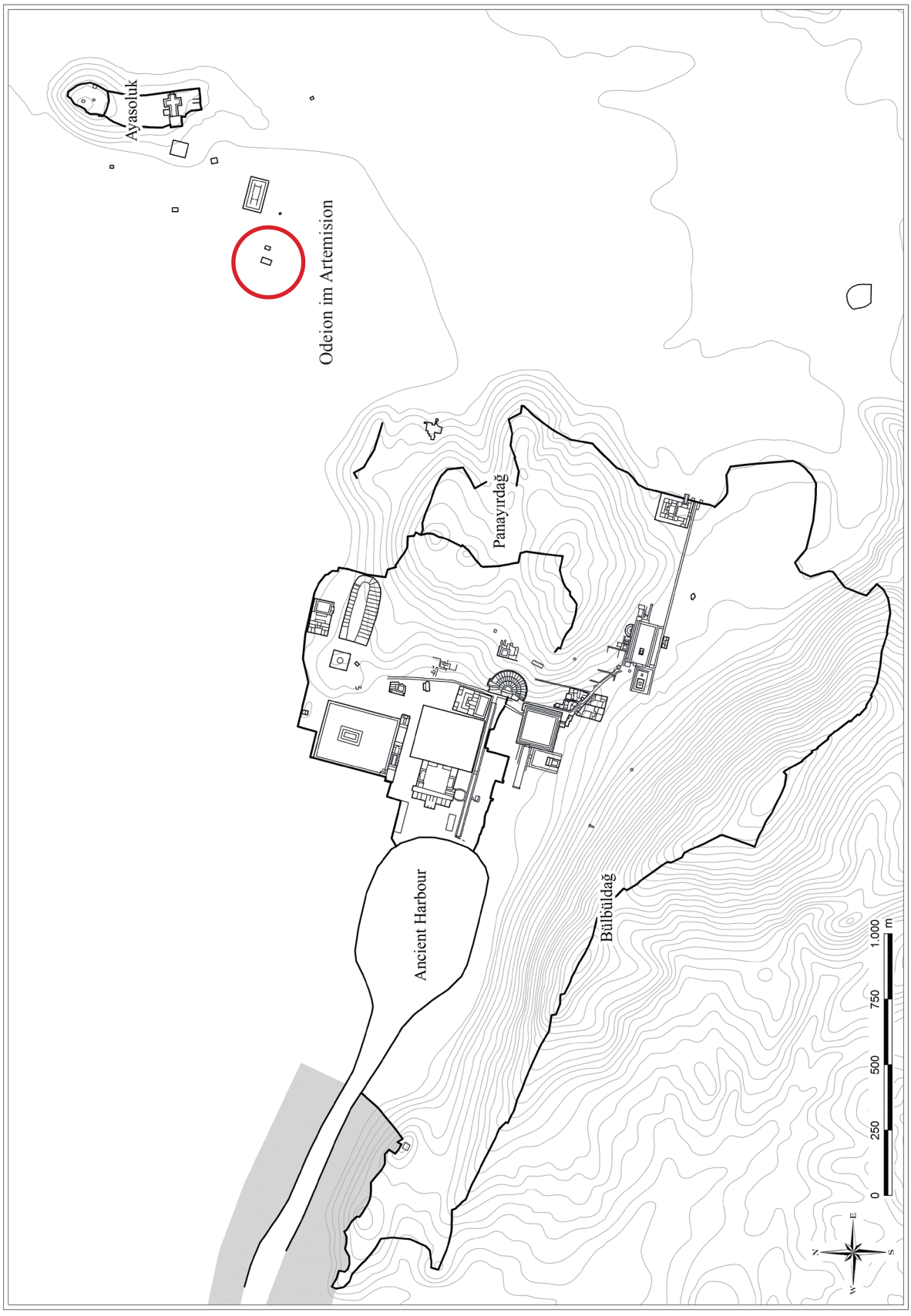


1 Stadtplan von Ephesos

1 Luftaufnahme 2001: Odeion vor Beginn der Arbeiten

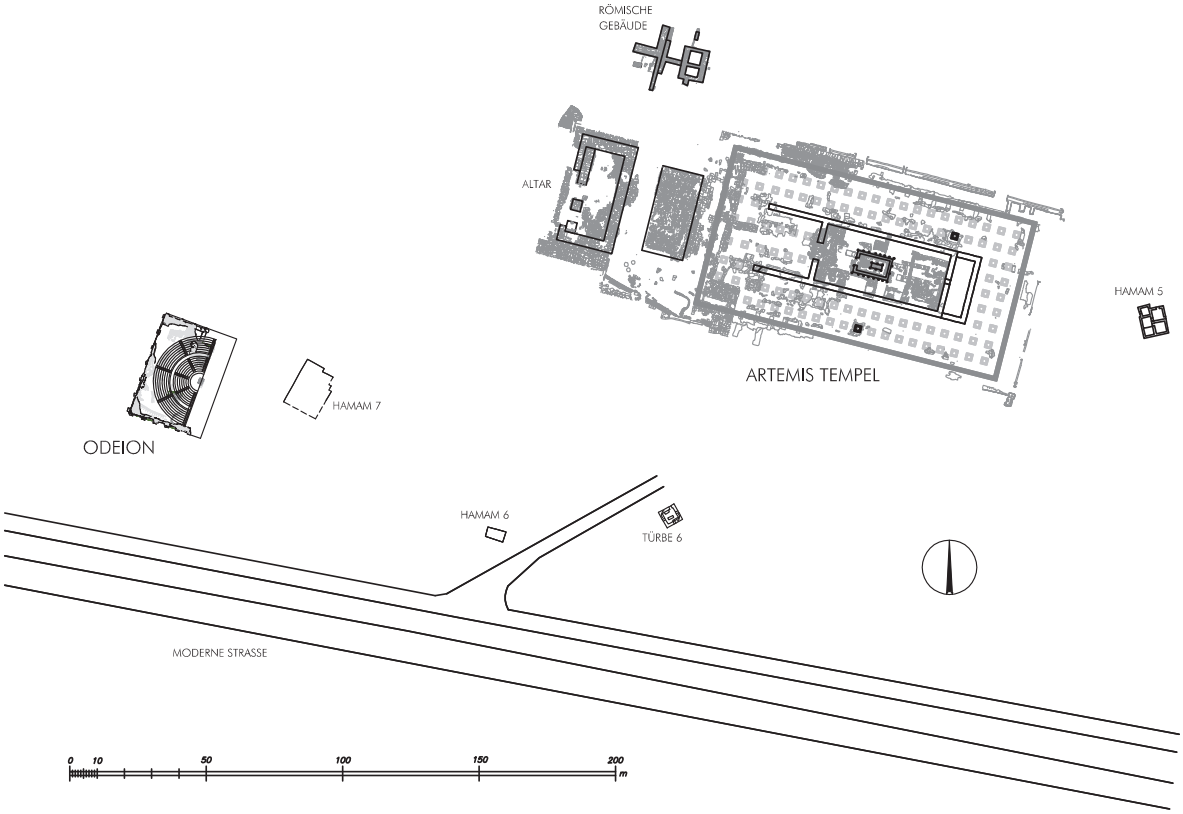


2 Lageplan des Odeions

1 Kammer 1 vor partiellem Einsturz im Januar 2010

2 Kammer 6 mit dem bauzeitlichen Zugang, darüber mittelalterlicher Durchbruch

3 Kammer 7: Blick nach Norden

1 Gereinigte Nordfassade: Kammer 9 ist bereits zu sehen (2009)

2 Sondage 1/2011: Cavea

1 Vomitorium samt Treppenaustritt in Kammer 8

2 Kammer 8: Treppenstufe *in situ*, darunter abgearbeiteter Stufenblock

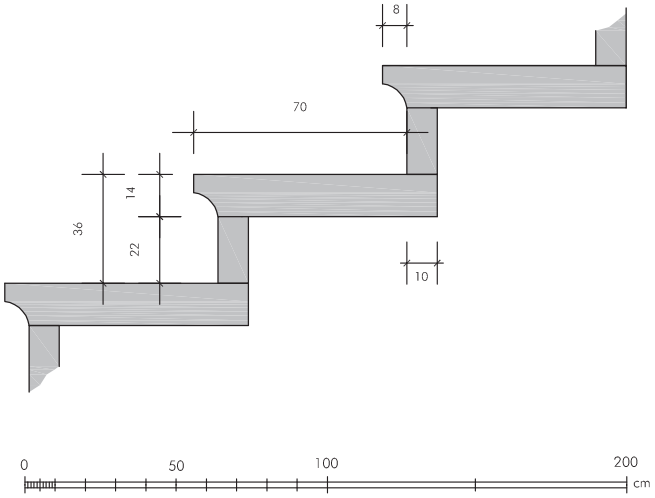


3 Rekonstruiertes Schema der Ima Cavea

4 Ima Cavea: Marmordeckplatten *in situ*

5 Ima Cavea: Marmordeckplatten *in situ*

1 Sondage 3/2011: Unterbau der Cavea, Blick nach Nordwesten

2 Sondage 3/2011: Unterbau der Cavea mit Diazoma, Blick nach Westen

3 Sondage 3/2011: Unterbau der Cavea mit Diazoma, Abdruck der Radialtreppen

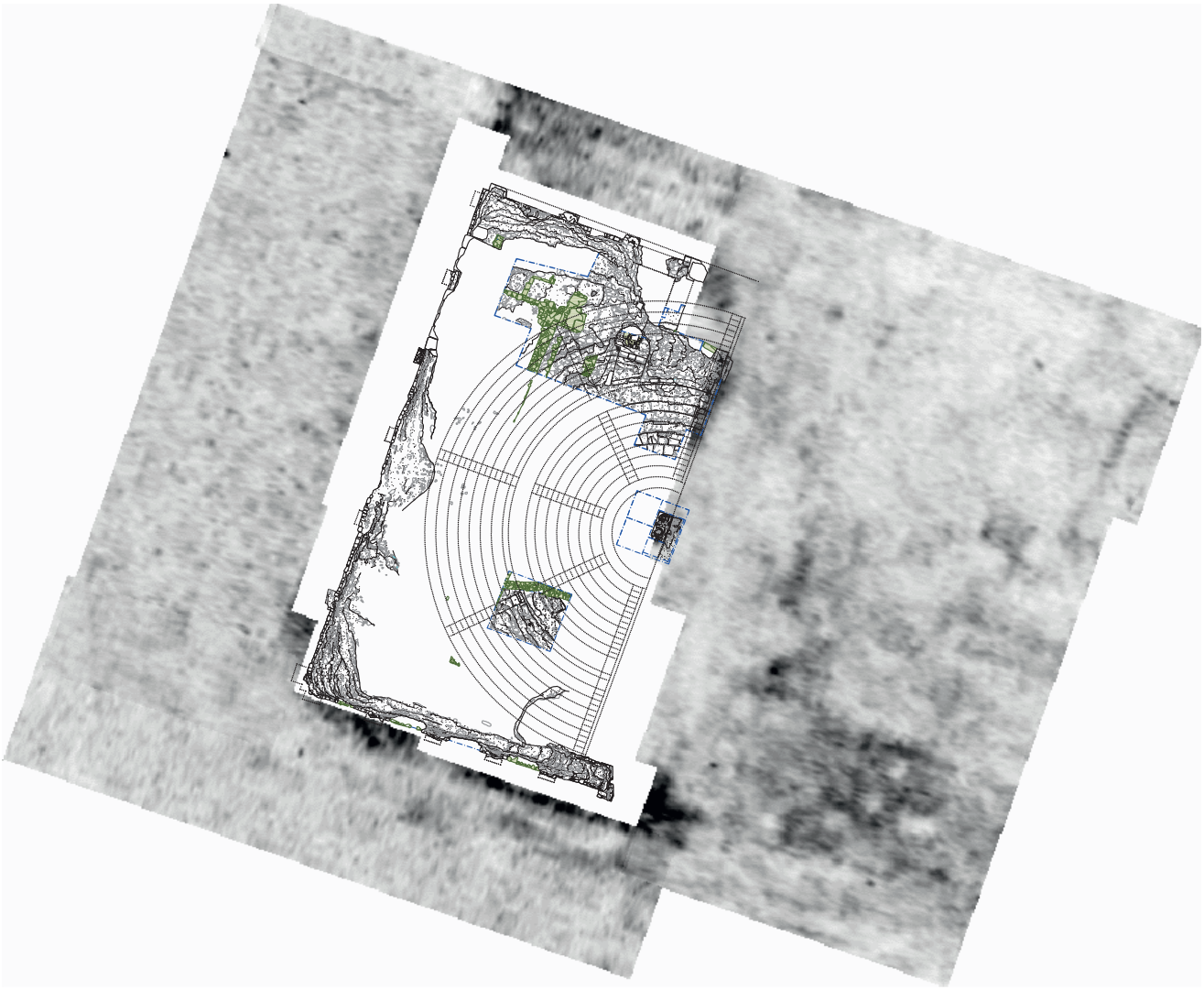

1 Georadar mit Gebäudeaufsicht, Schnitt in 100–150 cm Tiefe (M. 1 : 500)

2 Nordfassade vor der Sicherung (2009)

1 Nordfassade nach der Sicherung (2010)

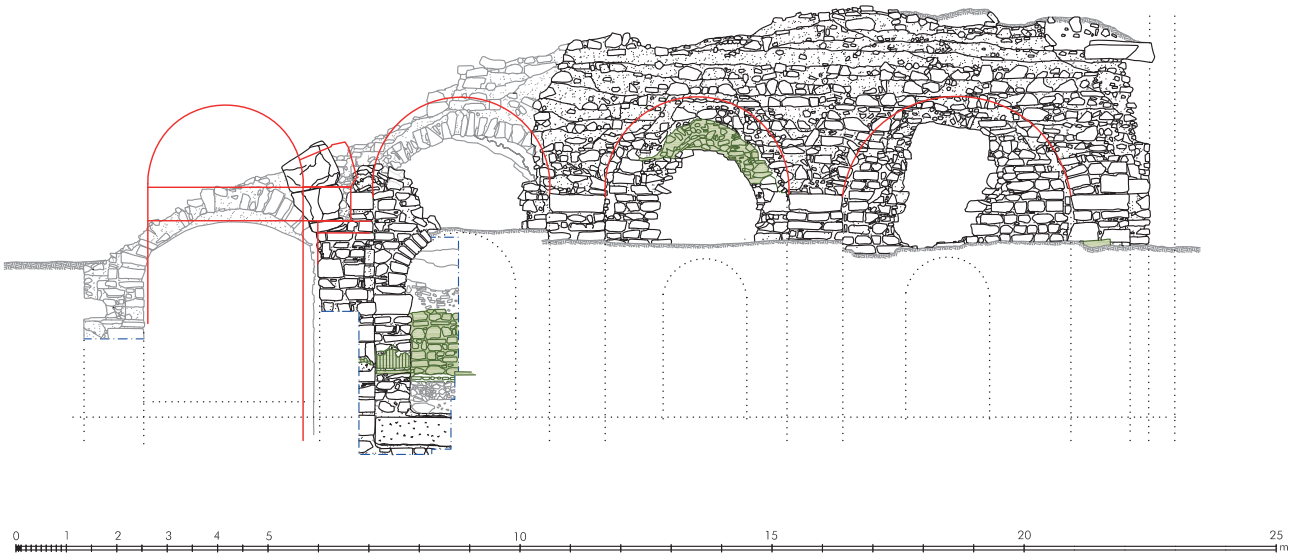


2 Nordfassade mit Blendbogengliederung und rekonstruiertem Hauptzugang zu Kammer 9 (M. 1 : 150)

1 Westfassade vor der Freilegung (Mai 2010)

2 Westfassade nach der Freilegung (August 2010)

3 Provisorische Sicherung des Gurtgesimses an der Westfassade

1 Nordwestecke mit Gurtgesims aus Kalksteinblöcken *in situ*

2 Westfassade, Sondage 1/2009: Pilaster *in situ*, darüber Ausrissspuren

3 Westfassade: Rücksprung des Gurtgesimses im Bereich des ausgerissenen Pilasters

1 Westfassade im Bereich vor Kammer 3

2 Westfassade: Türlaibung des mittelalterlichen Mauerdurchbruchs

3 Südostecke: Gewölbe von Kammer 1 vor partiellem Einsturz im Januar 2010

4 Südfassade: Blick nach Nordwesten

1 Westfassade: *opus caementicium*-Kern mit *opus vittatum*-Schale

2 Westfassade: *opus vittatum*-Schale

3 Nordfassade

1 Westfassade mit angesetzten mittelalterlichen Strukturen

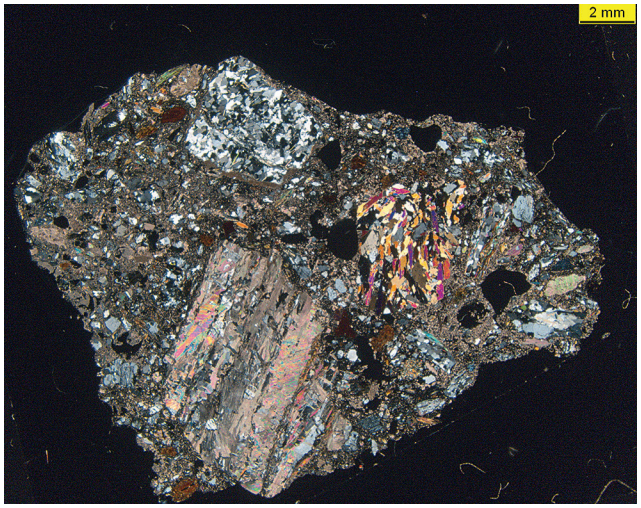


1 Dünnschliff des *opus caementicium*-Kerns, Stufenunterbau der Cavea (P10/2010)

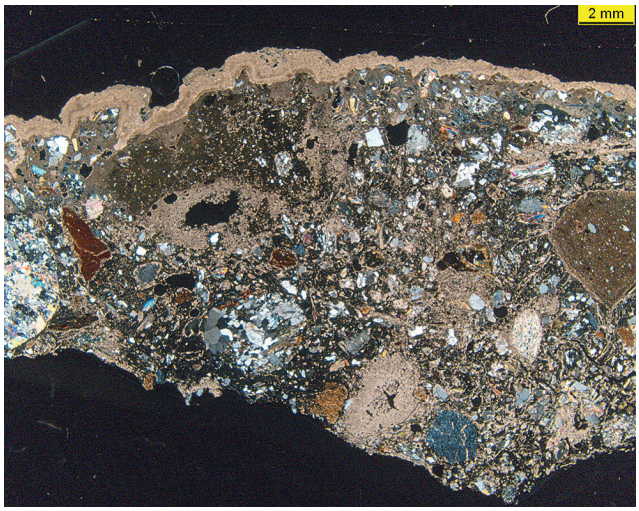


2 Dünnschliff des *opus caementicium*-Kerns, Stufenunterbau der Cavea (P12/2010)

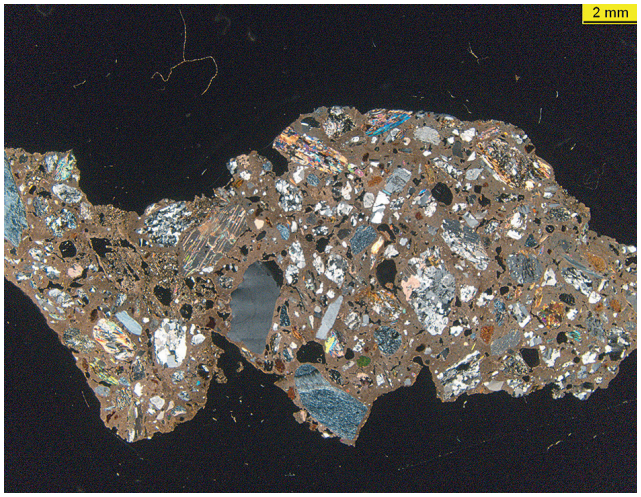


3 Dünnschliff des bauzeitlichen Setzmörtels, Westfassade. Pfeilerausriss zwischen Kammer 3 und 4 (P7/2010)

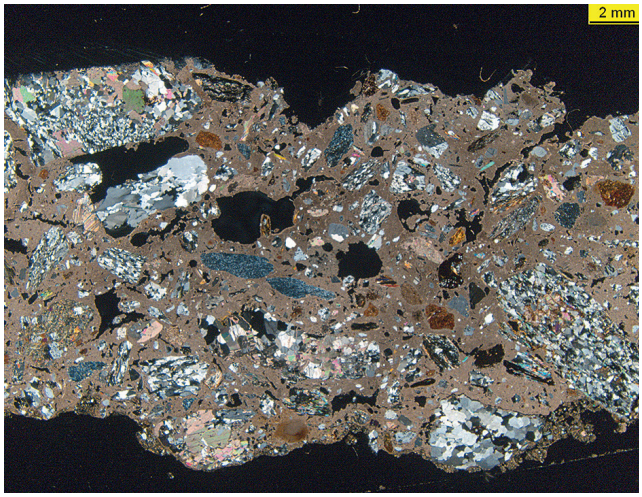


4 Dünnschliff des bauzeitlichen Setzmörtels, Südwestecke. Pfeilerausriss (P9/2010)

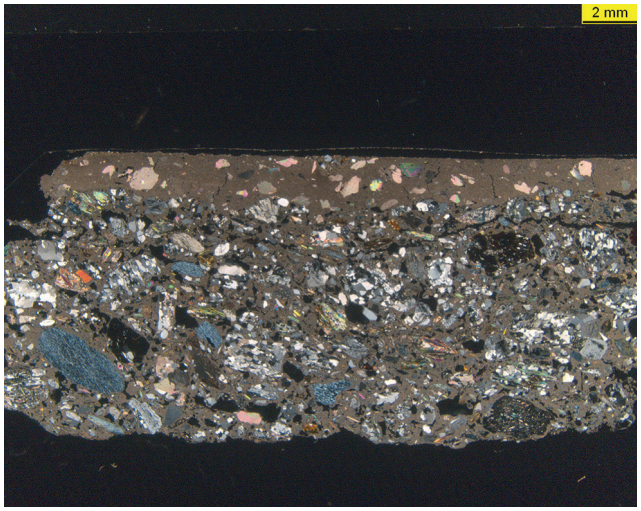


5 Dünnschliff des Wandputzes Sondage 1/2009 (P4/2009)

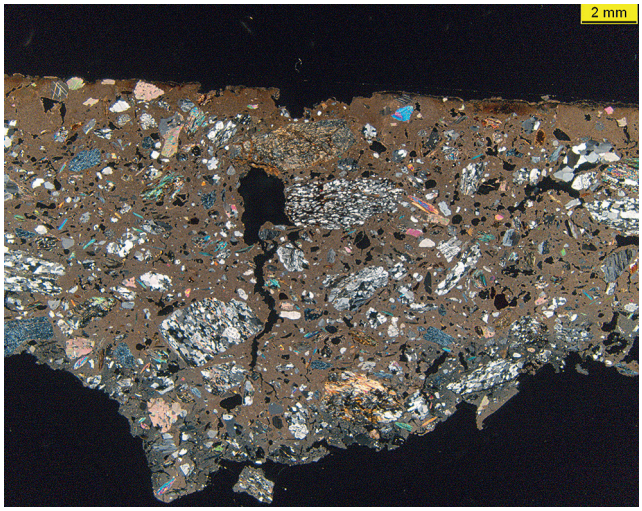


6 Dünschliff des Wandputzes Kammer 5a, Tonnengewölbe (P2/2009)

WOLFSLÖCHER *IN SITU* AM GEBÄUDE

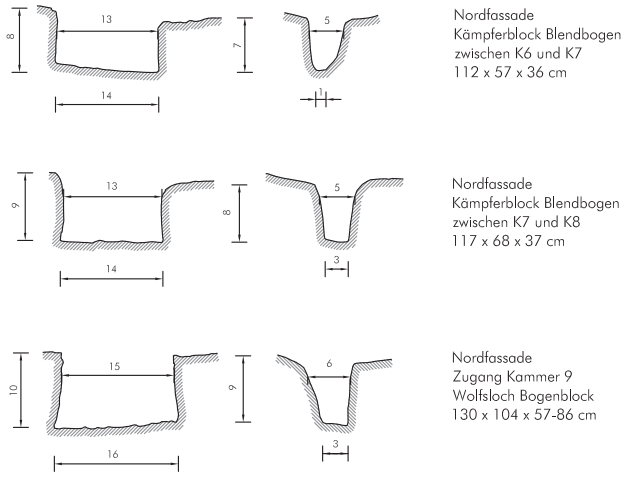


WOLFSLÖCHER VON BLÖCKEN AUS GRABUNGSBEFUNDEN AM GEBÄUDE

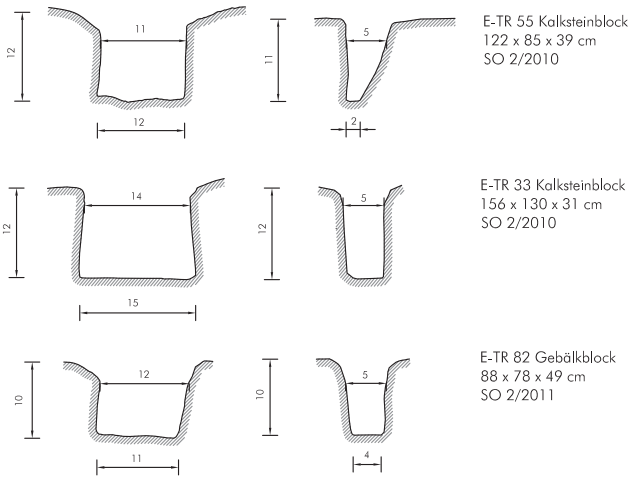


BLÖCKE EVTL. ZUM GEBÄUDE GEHÖRIG

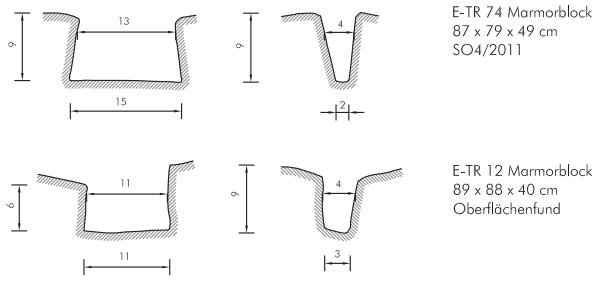


1 Zusammenstellung aller Wolfslöcher (M. 1 : 10)

2 Nordfassade: Kämpferblock zwischen K6 und K7

3 Nordfassade: Kämpferblock zwischen K7 und K8

4 Nordfassade, Bogenblock: Zugang Kammer 9

5 Nordfassade, Bogenblock: Zugang Kammer 9, Wolfsloch, Detail

1 Sondage 2/2011: Orchestraboden mit *opus sectile*

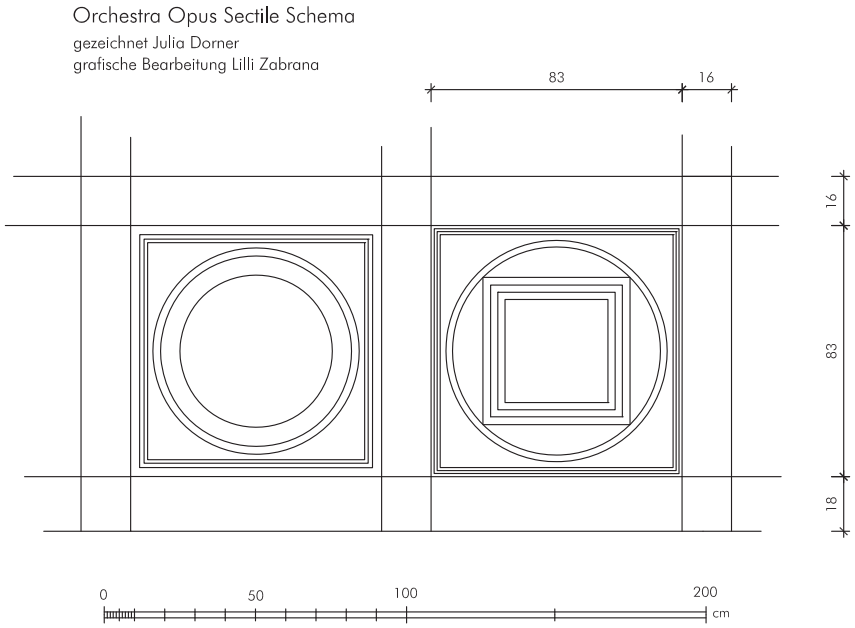


2 Sondage 2/2011: Rekonstruktion des *opus sectile*-Paviments in der Orchestra (M. 1 : 25)

3 Südliches Quadratfeld des Orchestrapaviments

4 Nördliches Quadratfeld des Orchestrapaviments

a weißer Marmor

b weißer Marmor

d Mergel

c weißer Marmor

f Rosso Antico

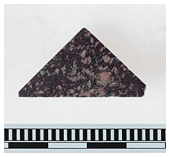

e Porphyoro Rosso

g Porphyoro Verde

h Verde Antico

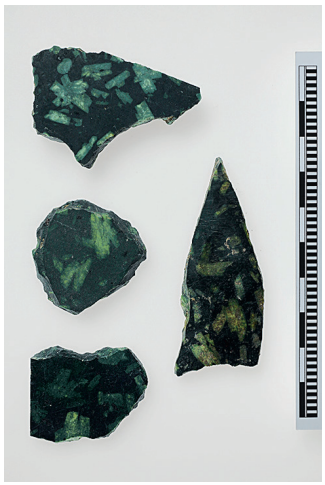

i Verde Antico

j Giallo Antico

k Giallo Antico

l schwarzer Marmor

m schwarzer Marmor

1 Sondage 2/2011: *opus sectile*-Fragmente

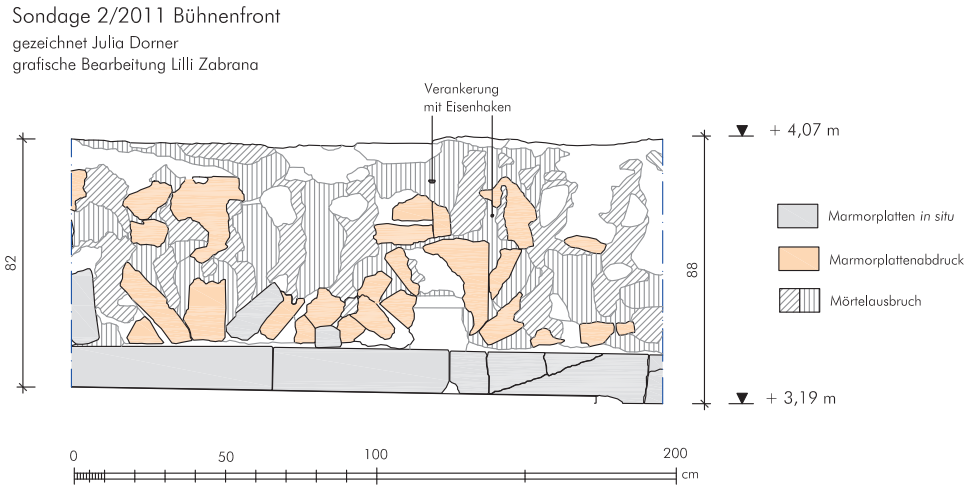


1 Sondage 2/2011: Marmorverkleidung der Bühnenfront (M. 1 : 25)

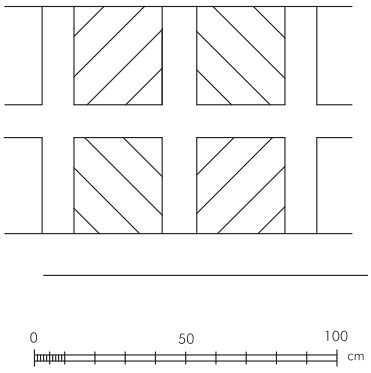


2 Bühnenfront, Rekonstruktionsvorschlag

3 Sondage 5/2010, SE 735, FNr. 554 (1–3), Frgt. ganz rechts: SE 736, FNr. 555

4 Sondage 5/2010, SE 736, FNr. 556 (1–2)

5 Sondage 5/2010, SE 737, FNr. 558 (1–9)

1 Sondage 2/2011, SE 1038, FNr. 254 (1–3)

2 Sondage 2/2011, SE 1038, FNr. 262 (1–3)

3 Sondage 2/2011, SE 1038, FNr. 262 (4)

4 Sondage 2/2011, SE 1038, FNr. 262 (5–11)

5 Sondage 2/2011, SE 1039, FNr. 263 (1–6)

6 Sondage 2/2011, SE 1039, FNr. 263 (7–14)

7 Sondage 2/2011, SE 1040, FNr. 266 (1–8)

8 Sondage 2/2011, SE 1041, FNr. 267 (1–2)

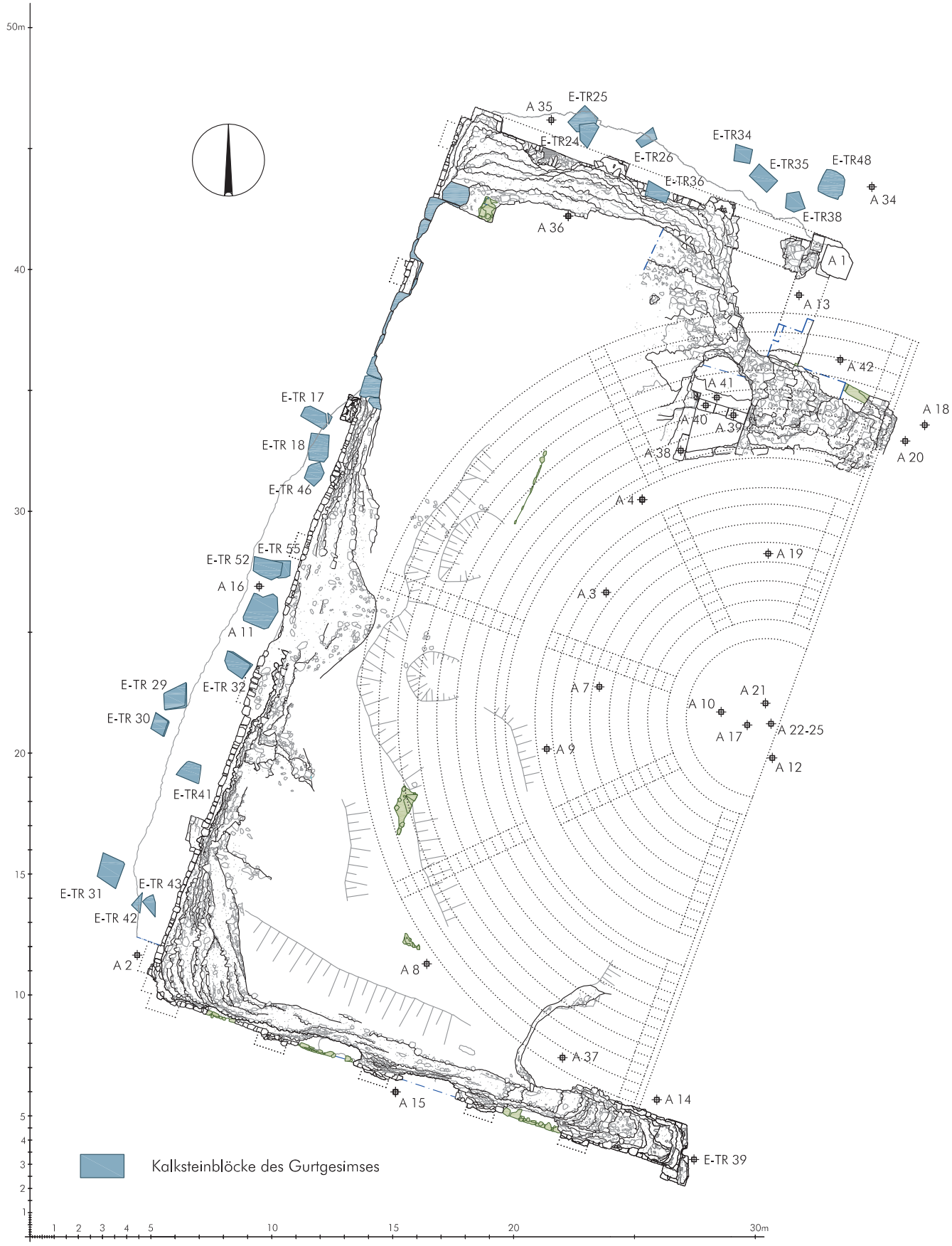


1 Fundorte der im Katalog angeführten Katalognummern (A) sowie der Inventarnummern der Kalksteinblöcke des Gurtgesimses (E-TR)

1–2 Fundlage verschiedener Blöcke im Bereich der Cavea (2009): Ansicht nach Norden (oben) und Nordwesten (unten)

3 Situation Anfang Juni 2011: Blick nach Südosten

1 Bogenblock A 1: Fassadenansicht

2 Bogenblock A 1: Innenseite. Kammer 9

3 Bogenblock A 1, Innenseite. Kammer 9, Aufsicht

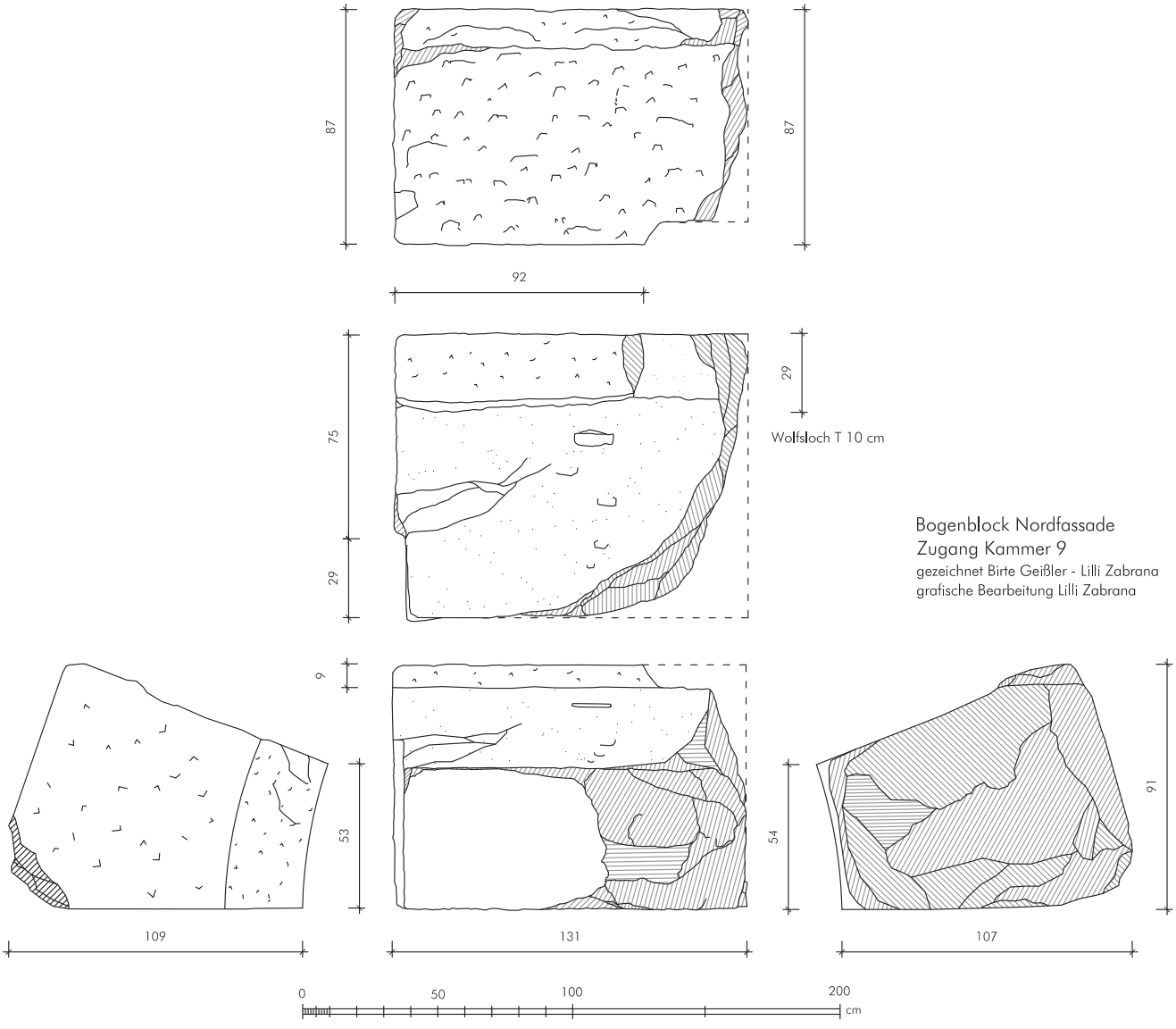


4 Bogenblock A 1 des Hauptzugangs an der Nordostecke zu Kammer 9 (M. 1 : 25)

1 Säulentrommel A 2

2 Säulentrommel A 2

3 Säulentrommel A 2: Fundlage

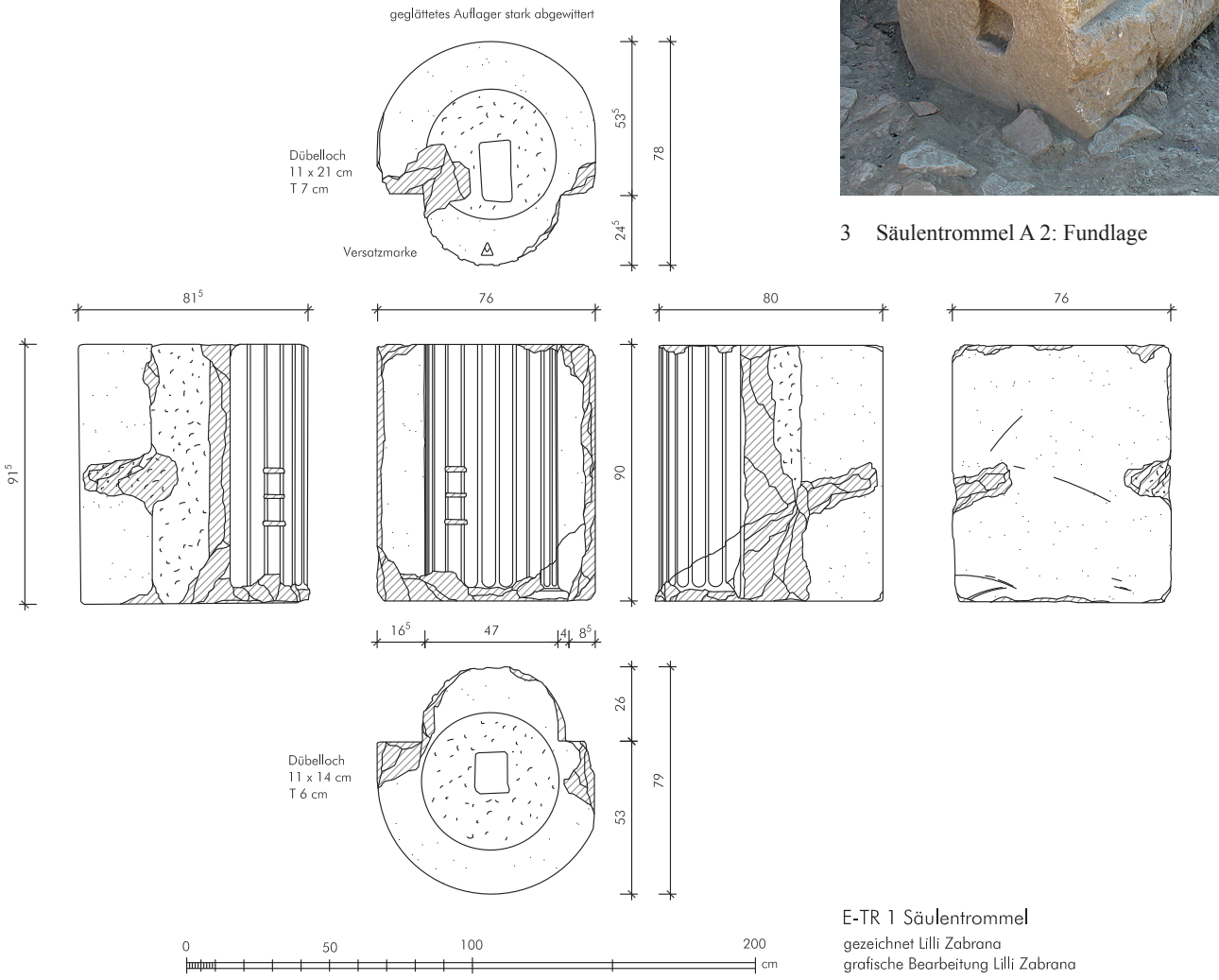


4 Säulentrommel A 2 (M. 1 : 25)

1 Blattkelchkapitell A 3: Fundlage

2 Blattkelchkapitell A 3

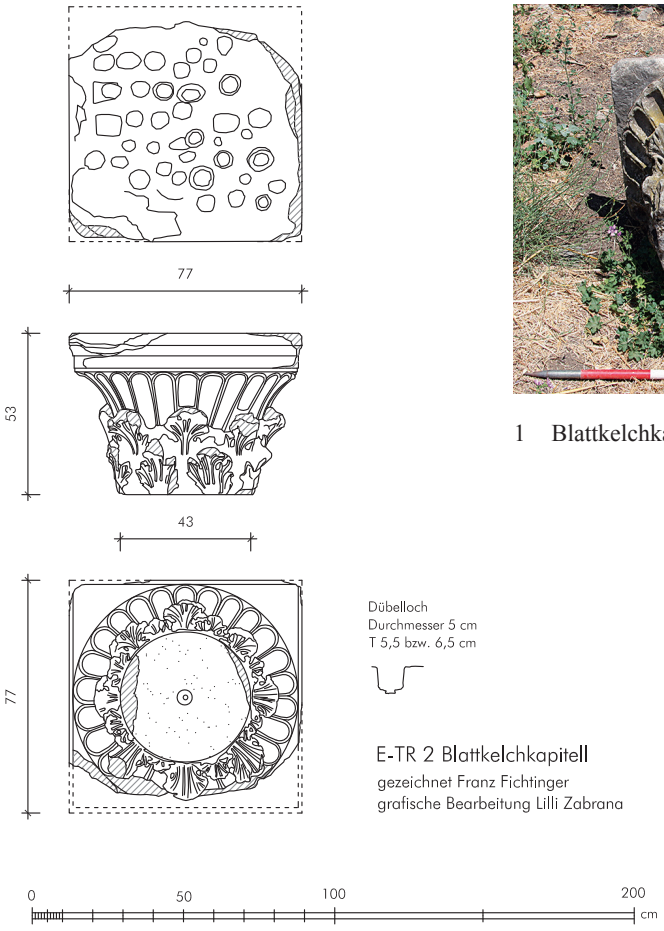


3 Blattkelchkapitell A 3 (M. 1 : 25)

4 Korinthisches Kapitell A 4

5 Korinthisches Kapitell A 4

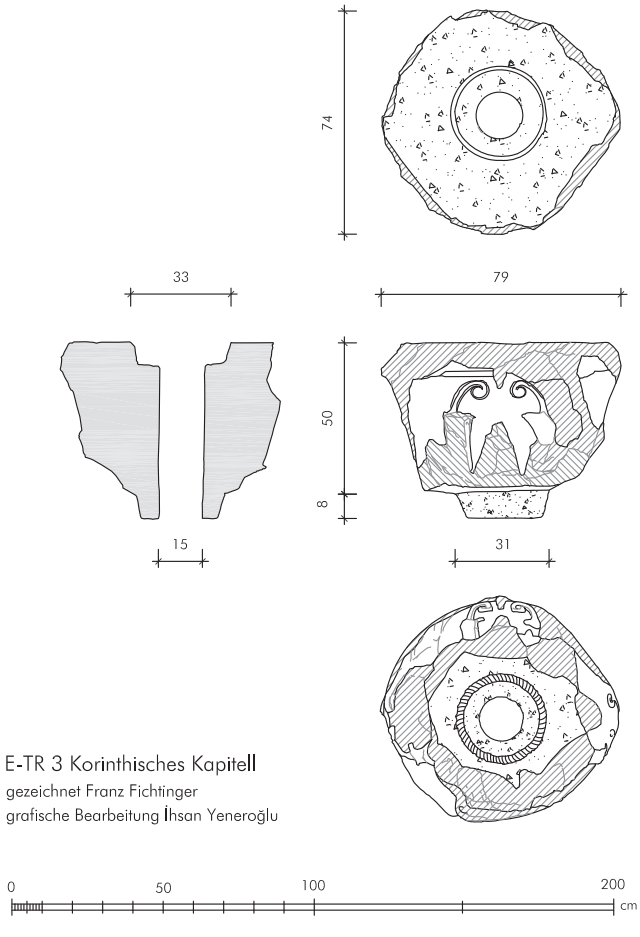


6 Korinthisches Kapitell A 4 (M. 1 : 25)

1–2 Korinthisches Kapitell A 5

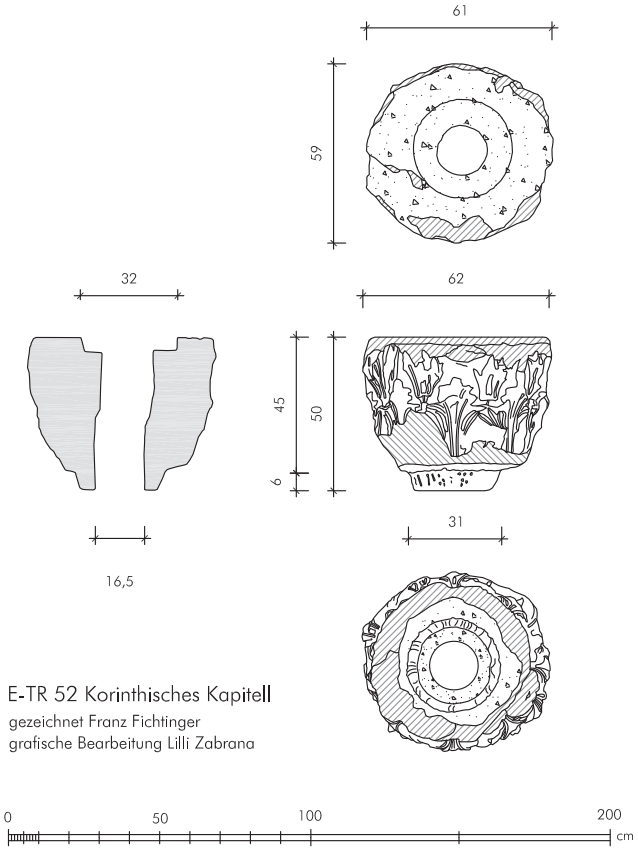


3 Korinthisches Kapitell A 5 (M. 1 : 25)

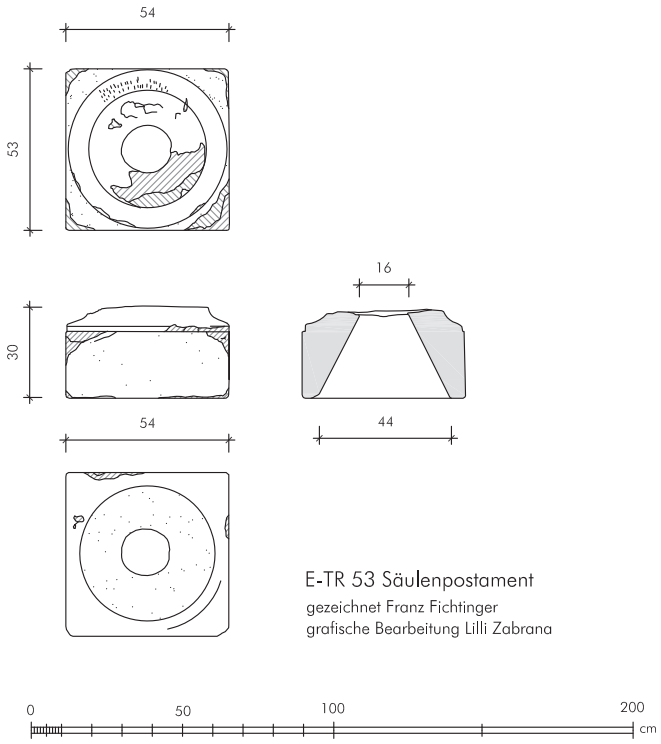


4 Säulenpostament A 6 (M. 1 : 25)

5–6 Säulenpostament A 6

E-TR 23 Säulenfragment mit Bohrung
gezeichnet Franz Fichtinger
grafische Bearbeitung Lilli Zabrana

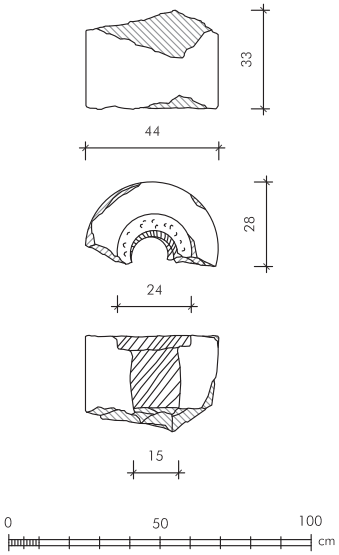


1 Säulenfragment mit Bohrung A 14 (M. 1 : 25)

2–3 Säulenfragment mit Bohrung A 14

E-TR 73 Korinthisches Kapitell
gezeichnet Lilli Zabrana
grafische Bearbeitung İhsan Yeneroğlu

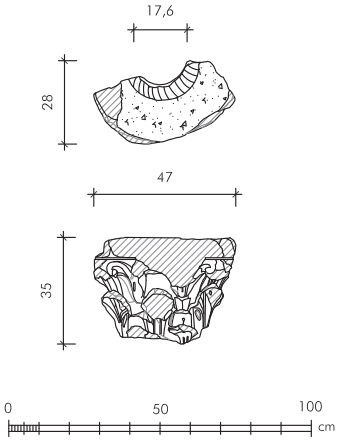


4 Korinthisches Kapitell A 13 (M. 1 : 25)

5 Korinthisches Kapitell A 13

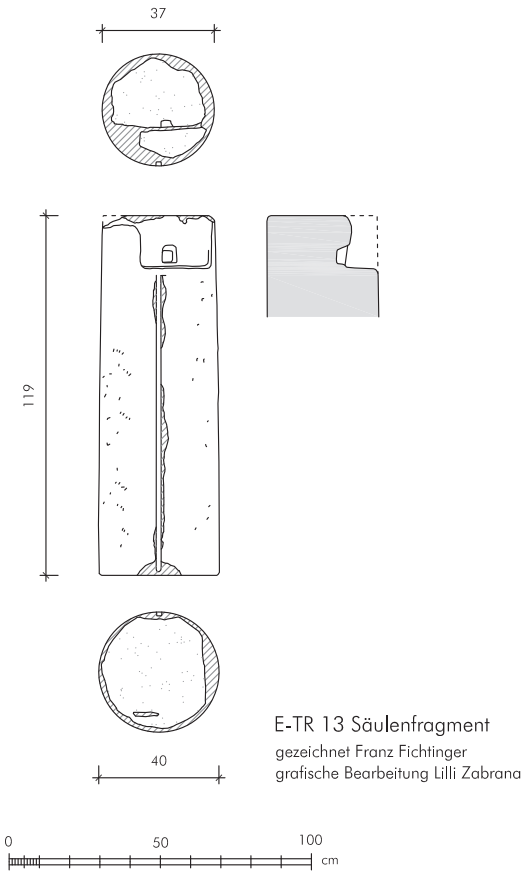


E-TR 13 Säulenfragment
gezeichnet Franz Fichtinger
grafische Bearbeitung Lilli Zabrana

6 Säule A 9 (M. 1 : 25)

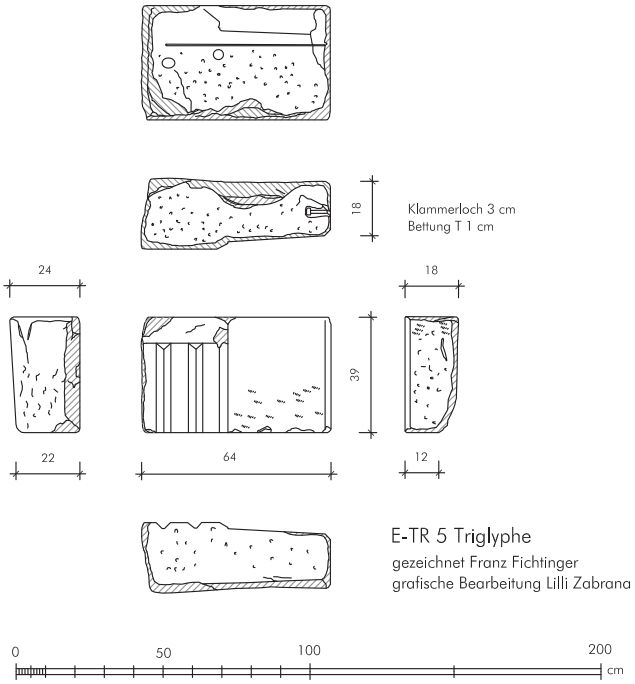


E-TR 5 Triglyphe
gezeichnet Franz Fichtinger
grafische Bearbeitung Lilli Zabrana

7 Triglyphe eines dorischen Frieses A 8 (M. 1 : 25)

1 Türsturz A 7: Fundlage

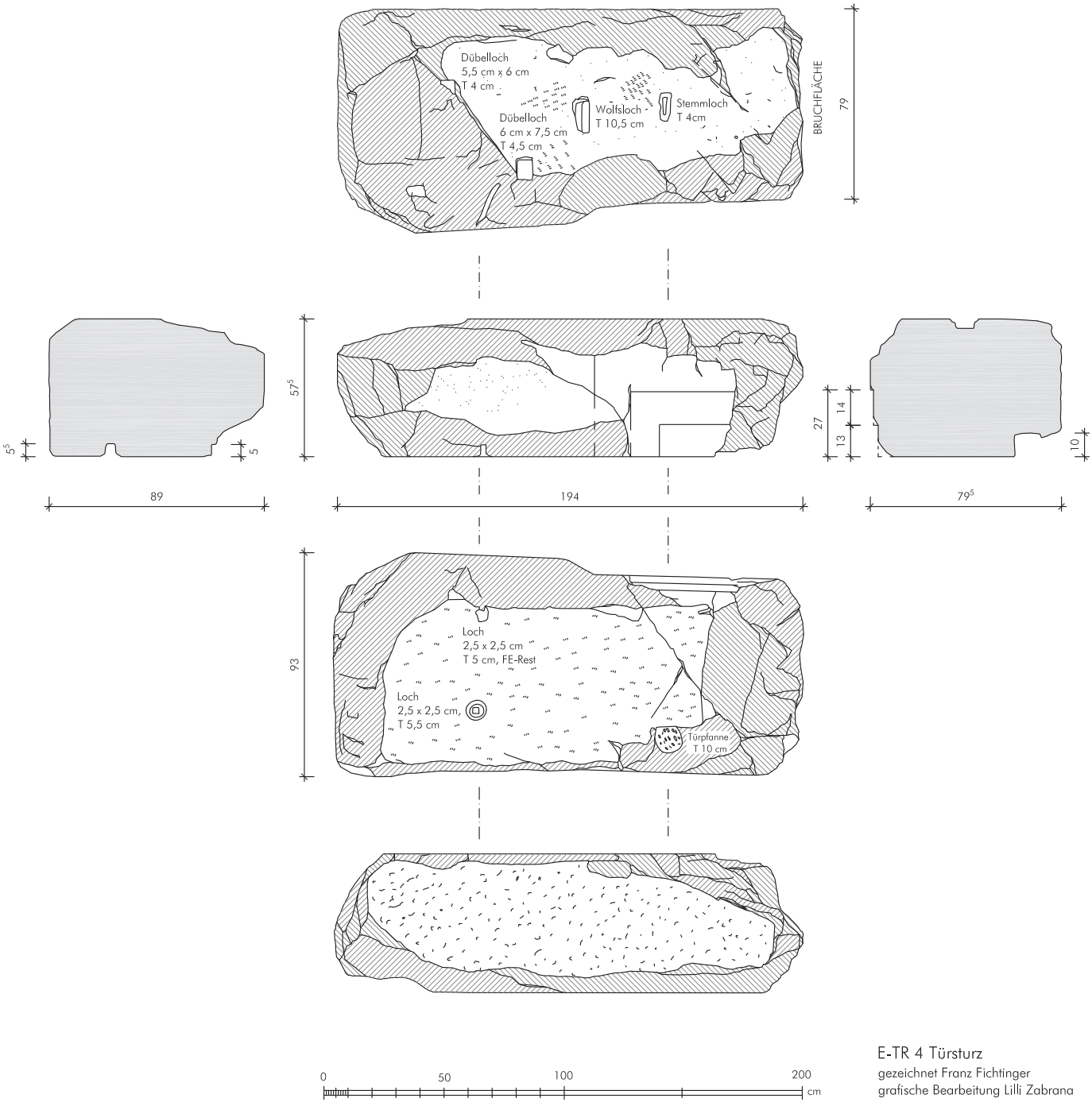


E-TR 4 Türsturz
gezeichnet Franz Fichtinger
grafische Bearbeitung Lilli Zabrana

2 Türsturz A 7 (M. 1 : 25)

1 Kalksteinblock A 11 des umlaufenden Gurtgesimses: Fundlage

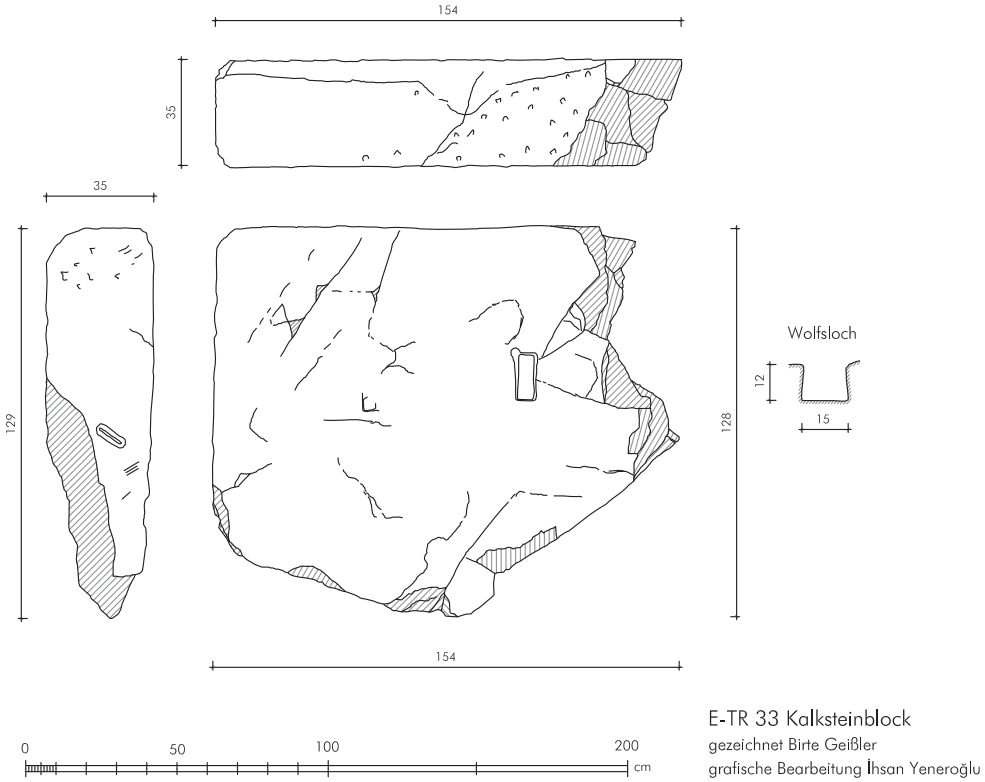


2 Kalksteinblock A 11 des umlaufenden Gurtgesimses (M. 1 : 25)

3 Kalksteinblock A 11 des umlaufenden Gurtgesimses

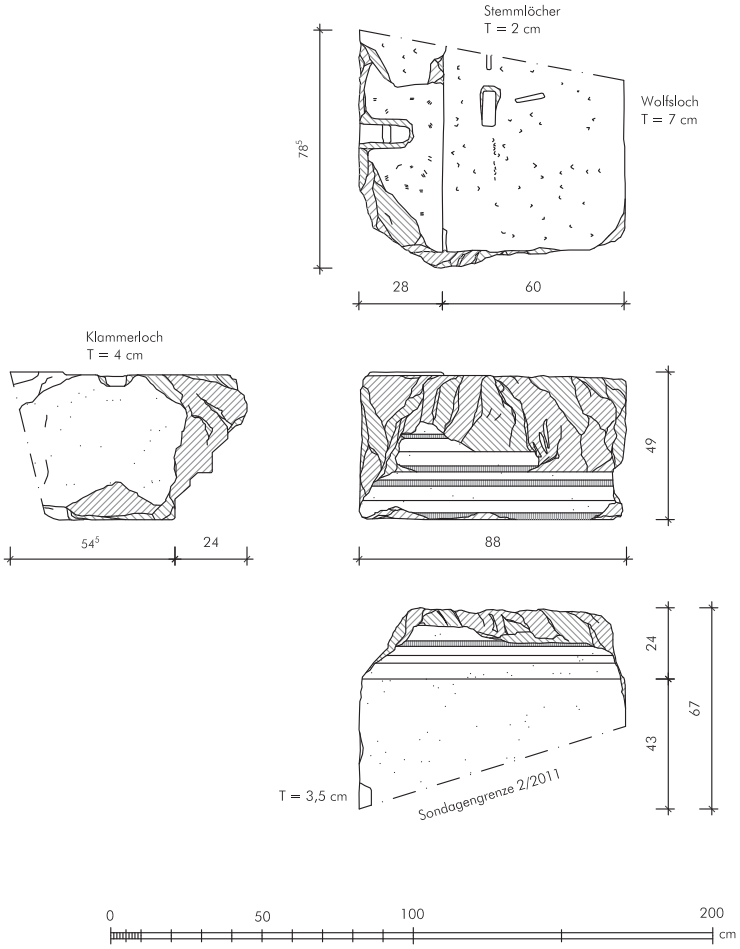


E-TR 82 Gebälkblock
gezeichnet Lilli Zabrana
grafische Bearbeitung Lilli Zabrana

1 Gebälkblock A 12 (M. 1 : 25)

2 Gebälkblock A 12

3 Gebälkblock A 12 auf der erhöhten Bühne

4 Gebälkblock A 12

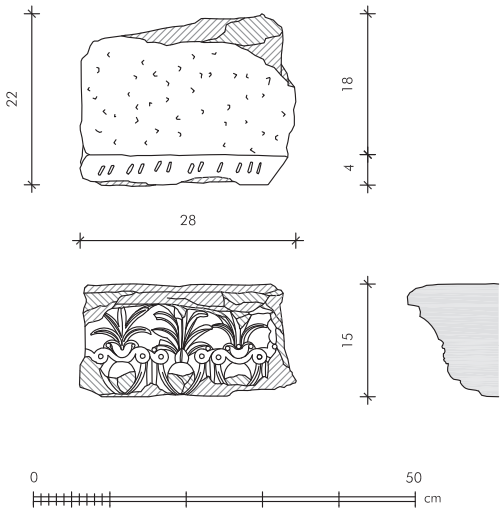


1 Palmettenfries A 15 (M. 1 : 10)

2 Palmettenfries A 15

3 Eierstabfragment A 16

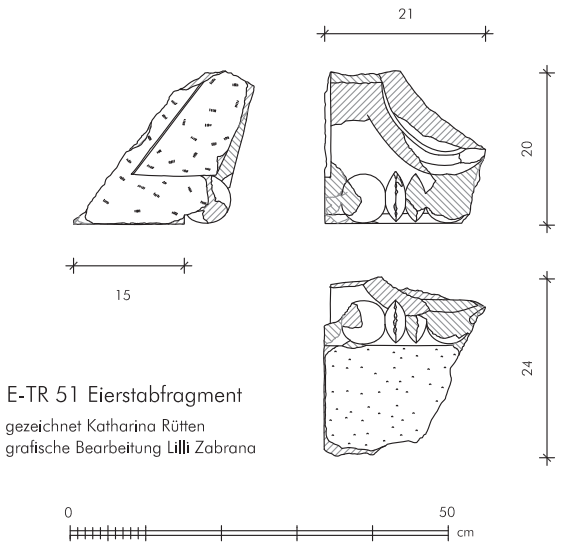


4 Eierstabfragment A 16 (M. 1 : 10)

5 Eierstabfragment A 16: Detail mit roten Farbresten

6 Eierstabfragment A 16

1 Bauornamentikfragment A 17

2 Fragment eines Eckpilasterkapitells A 18

3 Fragment eines Eckpilasterkapitells A 19

4 Eierstabfragment A 20

5 Türkonsole A 21

6 Anthemionfragment A 22

7 Anthemionfragment A 23

1 Anthemionfragment A 24

2 Anthemionfragment A 25

3 Marmorprofil A 26, Inv. E-TR 56

4 Marmorprofil A 27, Inv. E-TR 57

5 Marmorprofil A 33, Inv. E-TR 89

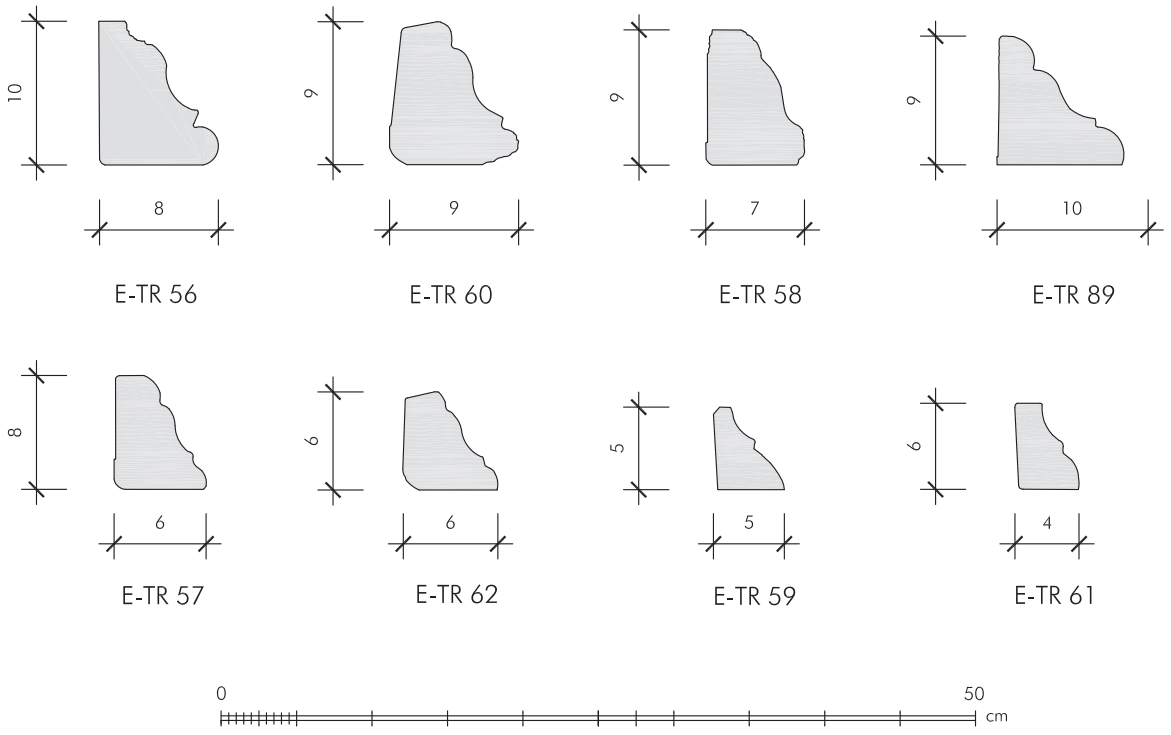


6 Auswahl an vorliegenden Marmorprofilen A 26–33 (M. 1 : 5)

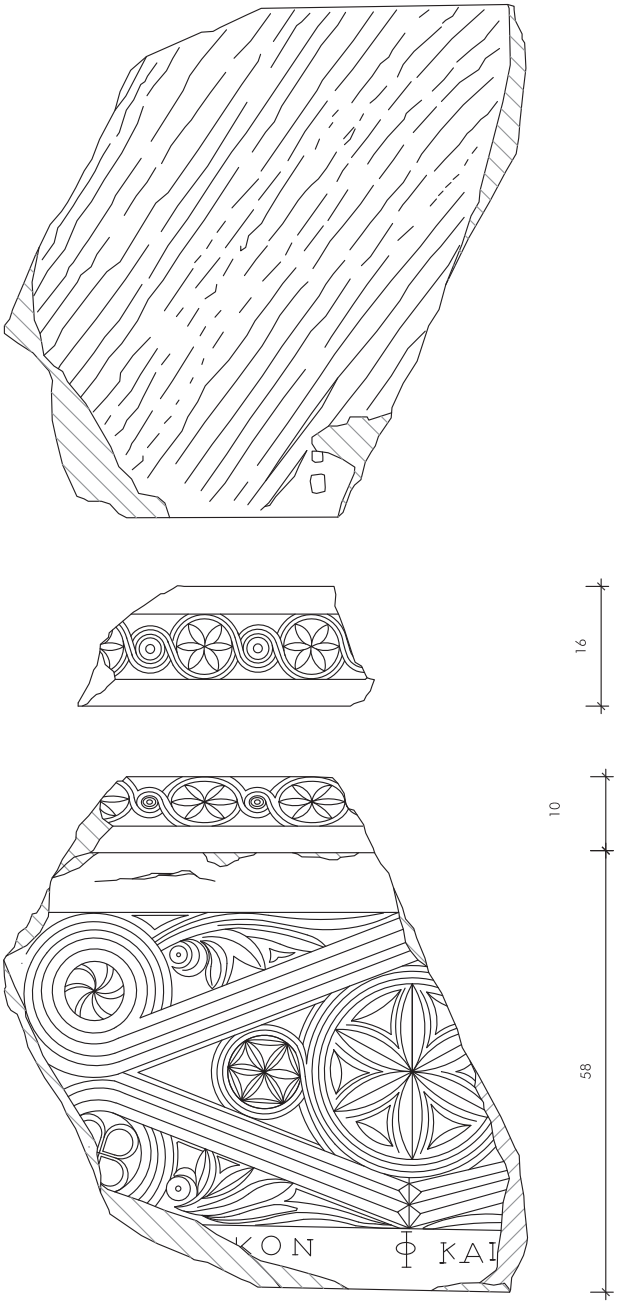


E-TR 11 Architravfragment
gezeichnet Franz Fichtinger
grafische Bearbeitung Lilli Zabrana

3 Architravfragment A 10 (M. 1 : 10)

1 Architravfragment Marienkirche A 10

2 Detail der Inschrift auf dem Architravblock A 10

4 Ornamentiertes Fragment A 34

5 Ornamentiertes Fragment A 34, Rückseite

1 Ornamentiertes Fragment A 35

2–3 Pfeilerfragment A 36

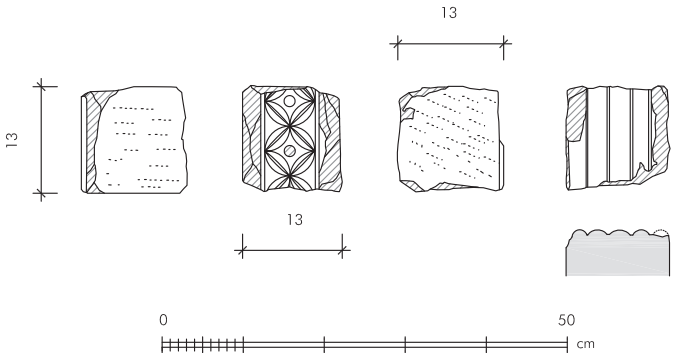


E-TR 21 Pfeilerfragment
gezeichnet Lilli Zabrana
grafische Bearbeitung Lilli Zabrana

4 Pfeilerfragment A 36 (M. 1 : 10)

5 Pilasterkapitell A 37, Vorderseite

6 Pilasterkapitell A 37, Rückseite

7 Pilasterkapitell A 37, Unterlager

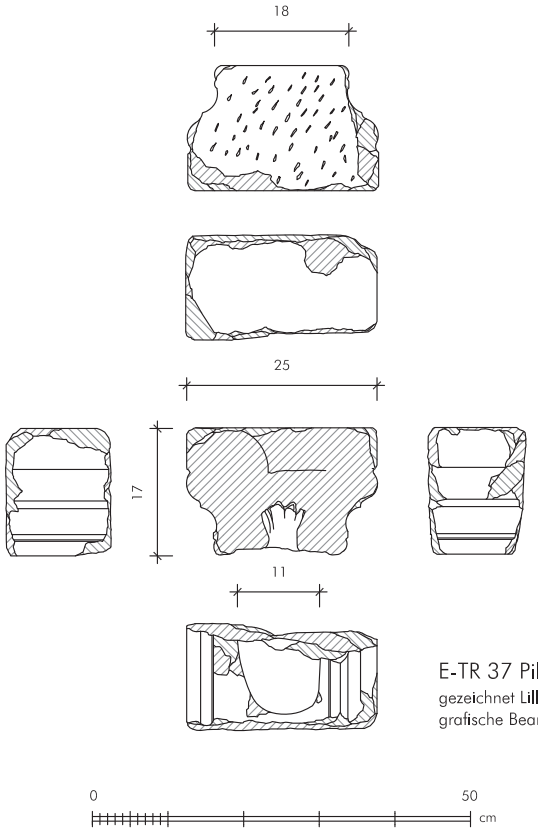


E-TR 37 Pilasterkapitell
gezeichnet Lilli Zabrana
grafische Bearbeitung Lilli Zabrana

8 Pilasterkapitell A 37 (M. 1 : 10)

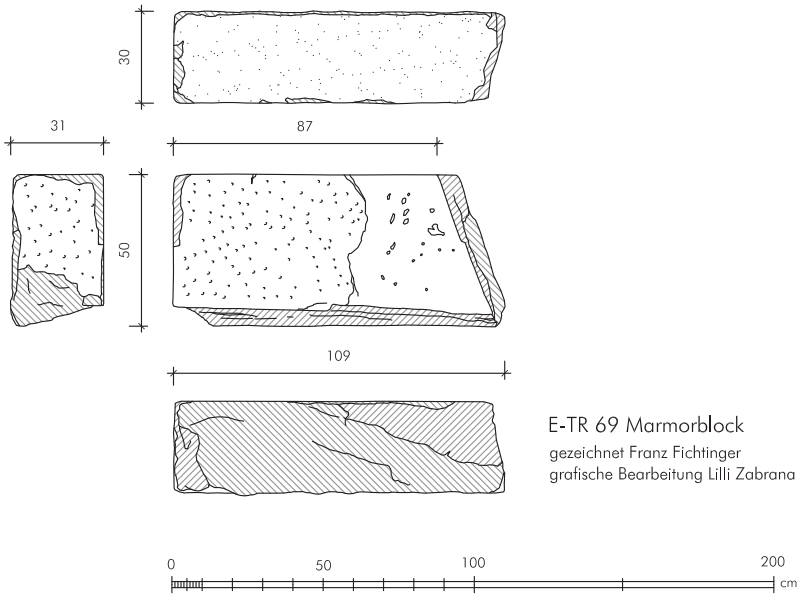


1 Marmorblock A 38 (M. 1 : 25)

2–3 Marmorblock A 38

4–5 Marmorblock A 39

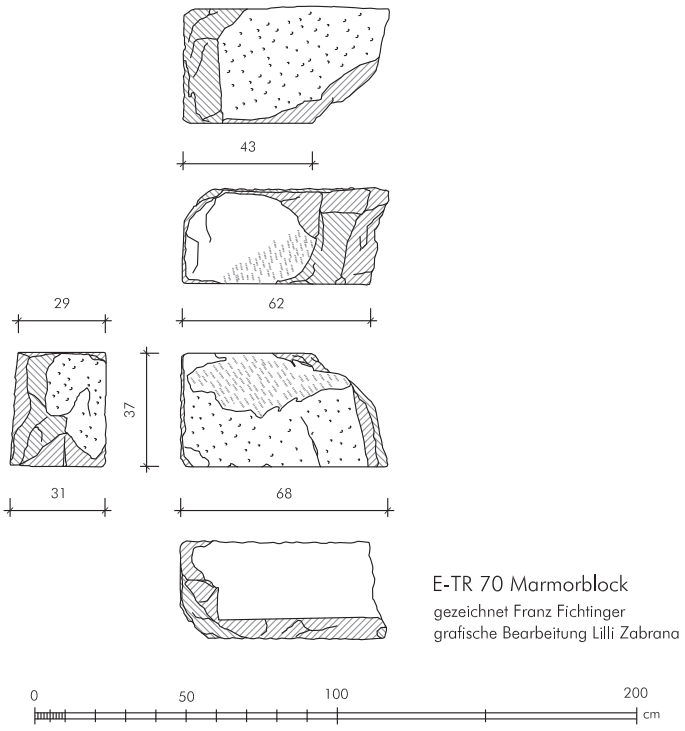


6 Marmorblock A 39 (M. 1 : 25)

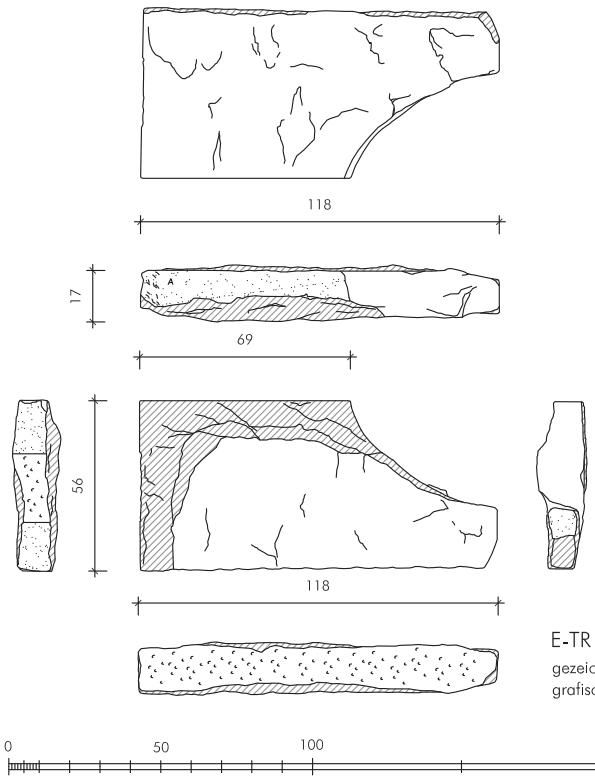


E-TR 71 Wangenstein (?)
gezeichnet Franz Fichtinger
grafische Bearbeitung Lilli Zabrana

1 Wangenstein (?) A 40 (M. 1 : 25)

2–3 Wangenstein (?) A 40

4 Marmorplatte A 41

5 Marmorplatte A 41

6 Marmorblock A 42, Sondage 4/2011: Fundsituation

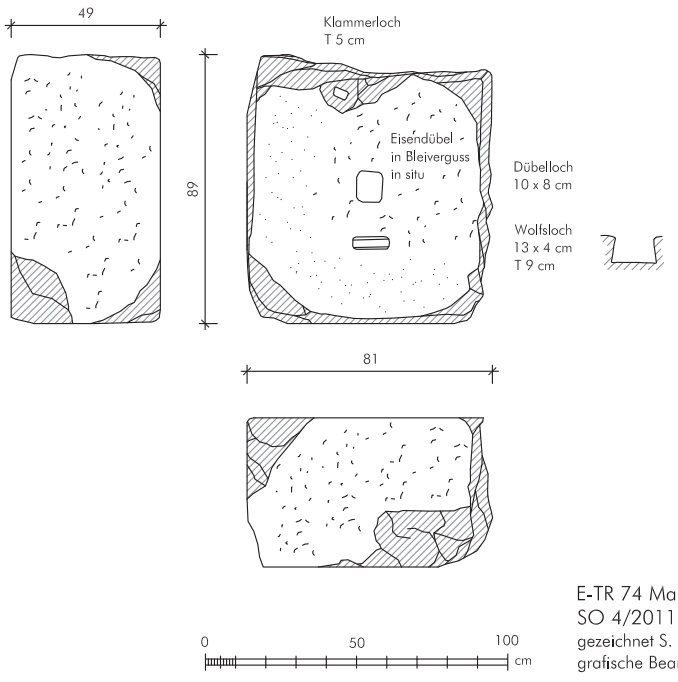


E-TR 74 Marmorblock
SO 4/2011
gezeichnet S. Wanek/J. Wurzer
grafische Bearbeitung L. Zabrana

7 Marmorblock A 42 (M. 1 : 25)

1 S 1

2 S 1

3–5 S 2

6 S 3

7 S 4

8 S 5

9 S 6

1 S 7

2 S 8

3 S 9

5 S 12

4 S 11

6 S 13

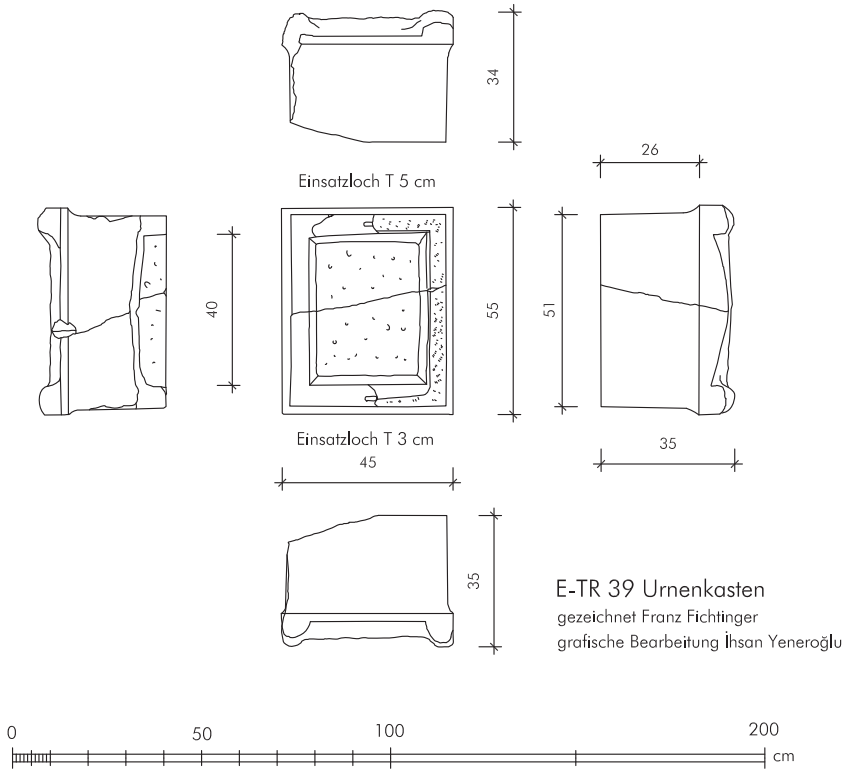


1 S 14 Ostothek (M. 1 : 10)

2–3 S 14 Ostothek

1 Sondage 1/2010: Ansicht von Norden

2 Sondage 1/2010: Ansicht von Nordosten

3 Sondage 1/2010: Schwellenblock

4 Sondage 1/2010: Schwellenblock

1 Sondage 1/2010: Ziegelplattenboden SE 249a

2 Sondage 1/2010: Ziegelplattenboden SE 249a/b, darunter SE 250, OK SE 251

3 Sondage 1/2010: Ziegelplattenboden SE 249a/b mit Estrichabdeckung SE 247

4 Sondage 1/2010: Ziegelplatten von SE 249a/b mit Ziegelmarke (78 × 78 × 5 cm)

5 Sondage 5/2010: Sohlplatte des Latrinenkanals von SE 724 (38 × 59 × 2,5 cm)

1 Sondage 5/2010: Latrinenkanal mit Wasserzuleitung. Durchgang zu Kammer 5b

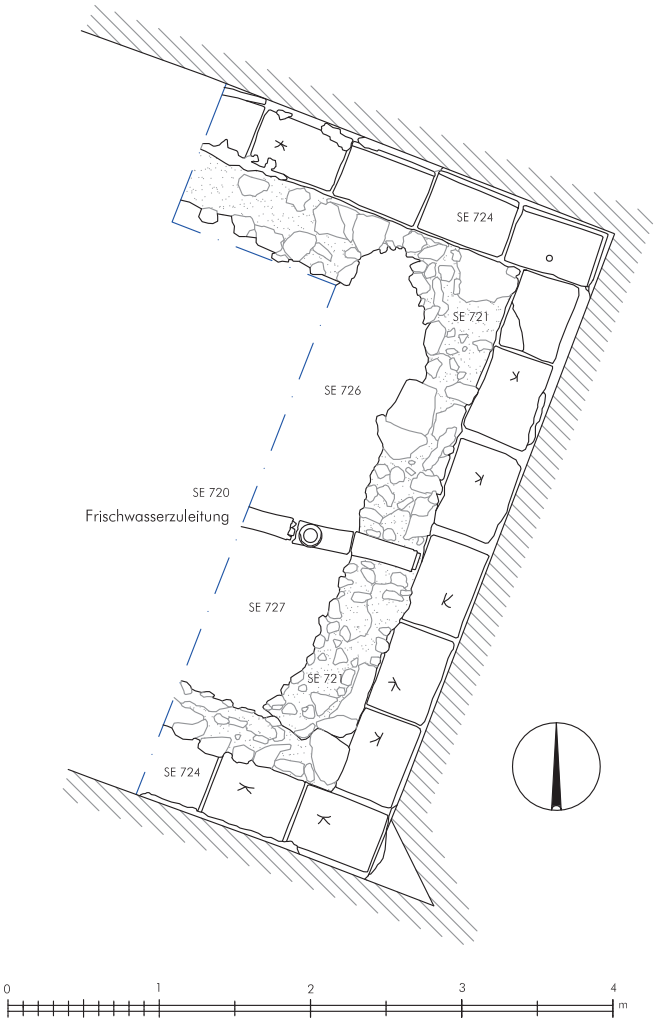


2 Sondage 5/2010: Latrinenkanal (M. 1 : 50)

3 Sondage 5/2010: umlaufender Latrinenkanal mit Fundamentsondierung vor Durchgang zu Kammer 5b

1 Sondage 2/2011: Bühne im Vordergrund

2 Sondage 2/2011: Blick nach Nordwesten

3 Sondage 4/2010: Blick nach Westen

1 Sondage 4/2010 – 4/2011: Blick nach Südosten

2 Sondage 4/2011: bauzeitliches Fußbodenniveau mit Unterbau und Fundamenthinterfüllung

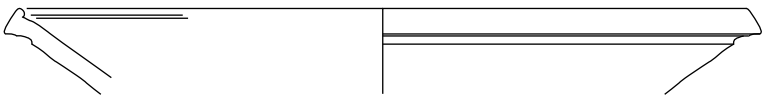

K 1

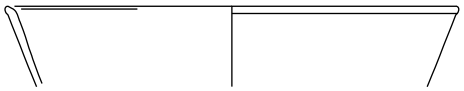

K 2

K 3

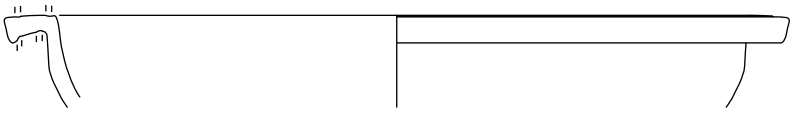

K 4

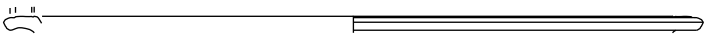

K 5

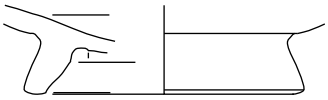

K 6

K 7

K 8

Sondage 1/2010 SE 261

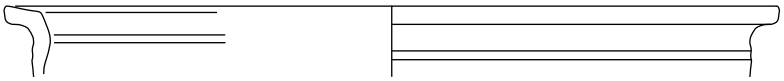

K 9

K 10

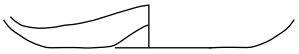

K 11

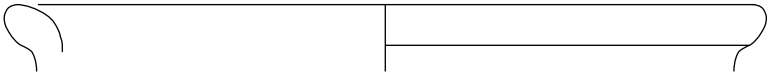

K 12

K 13

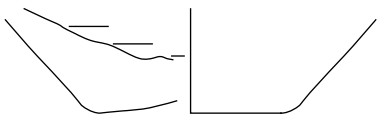

K 14

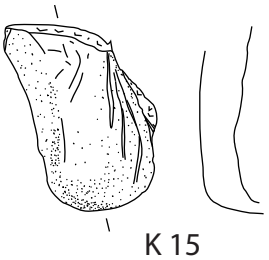

K 15

Sondage 1/2010 SE 259

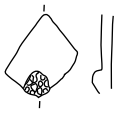

K 16

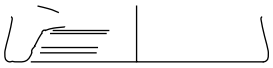

K 17

K 18

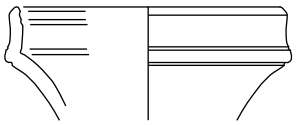

K 19

K 20

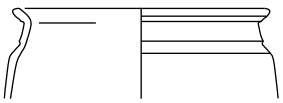

K 21

K 22

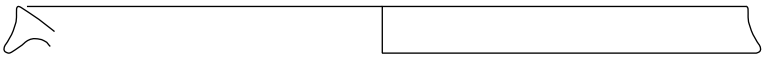

K 23

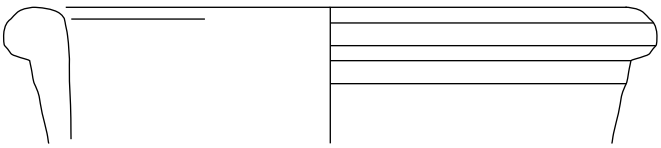

K 24

Sondage 1/2010 SE 258

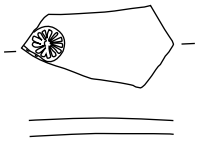

K 25

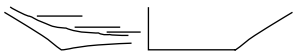

K 26

K 27

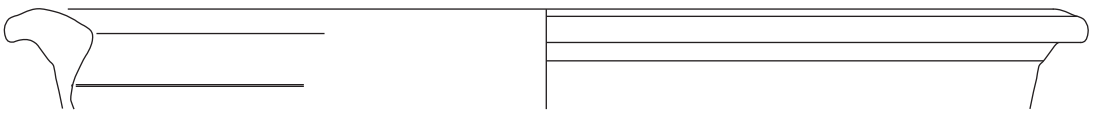

K 28

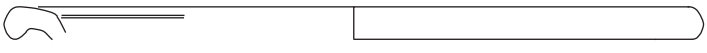

K 29

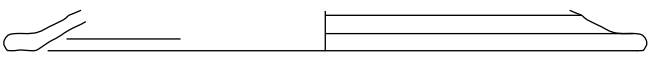

K 30

K 17–K 30

K 31

K 32

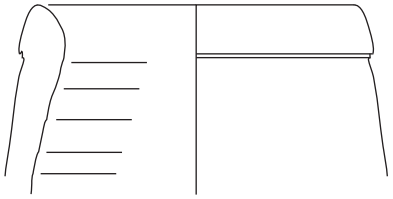

K 33

Sondage 1/2010 SE 255

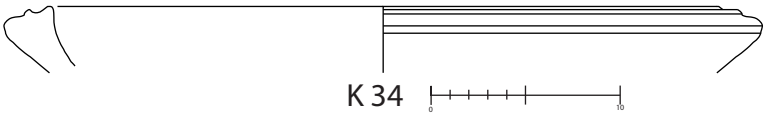

K 34

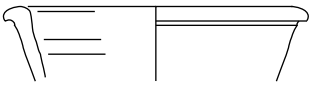

K 35

K 36

Sondage 1/2010 SE 254

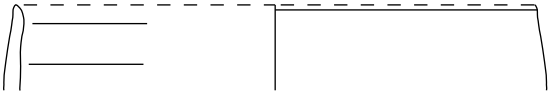

K 37

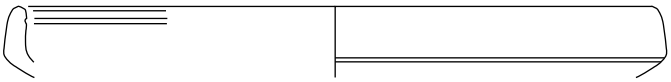

K 38

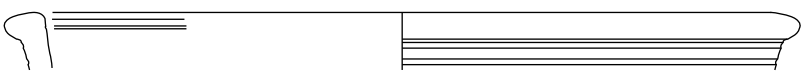

K 39

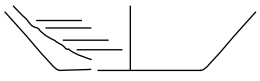

K 40

K 41

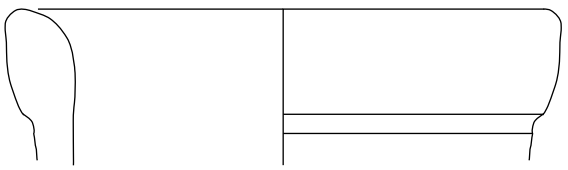

K 42

K 43

Sondage 1/2010 SE 253

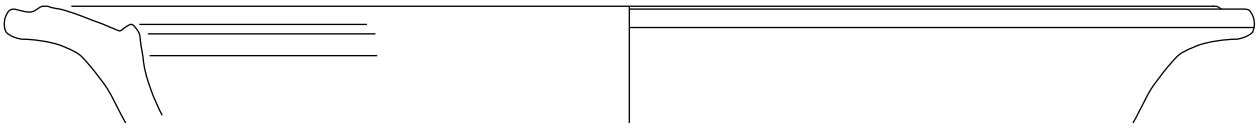

K 44

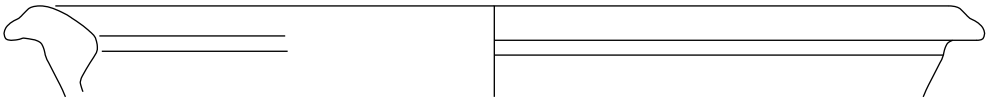

K 45

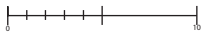

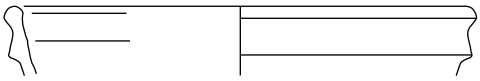

K 47

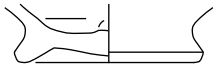

K 46

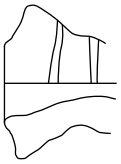

K 48

Sondage 1/2010 SE 252
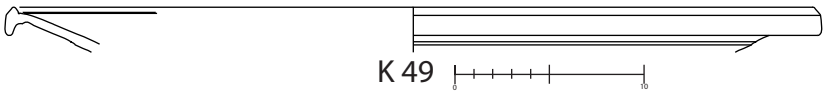
K 49



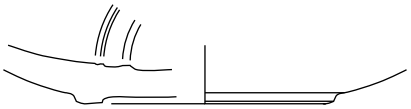

K 50

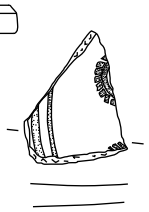

K 51

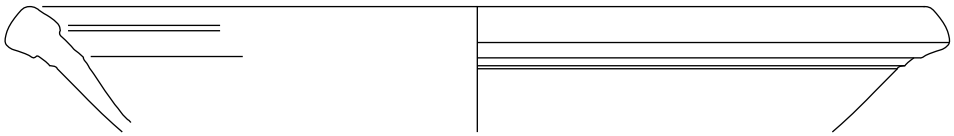

K 52

K 53

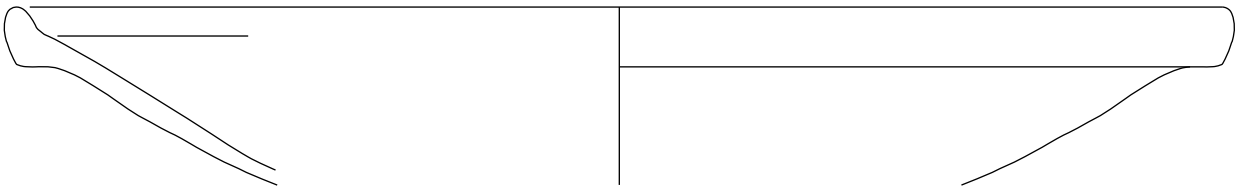

K 54

K 55

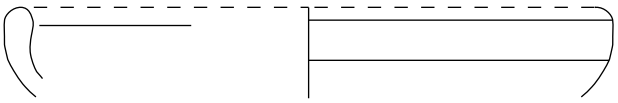

K 56

K 43–K 56

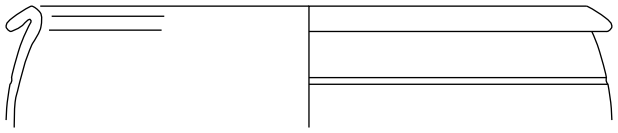

K 57

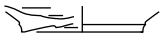

K 58

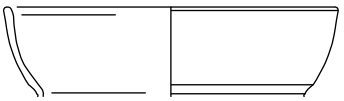

K 59

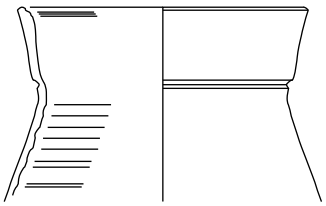

K 60

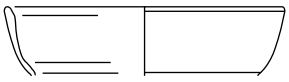

K 61

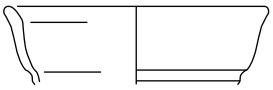

K 63

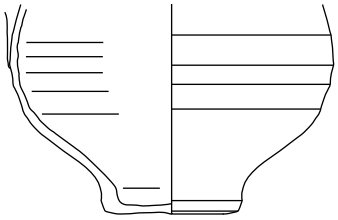

K 62

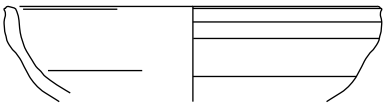

K 64

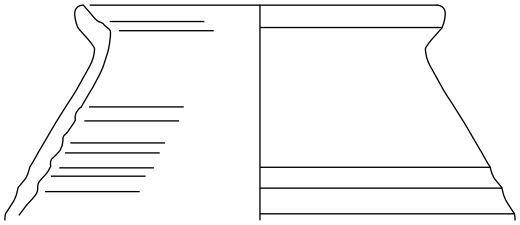

K 65

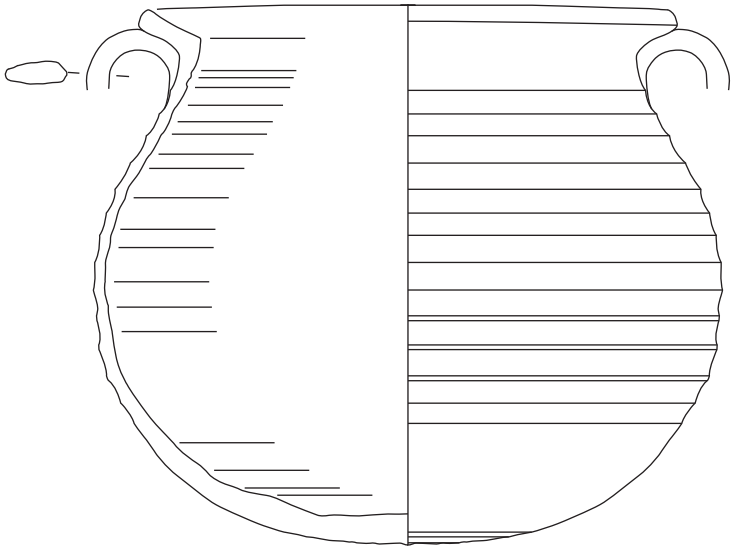

K 66

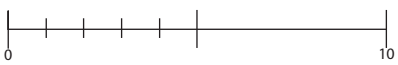


K 57–K 66

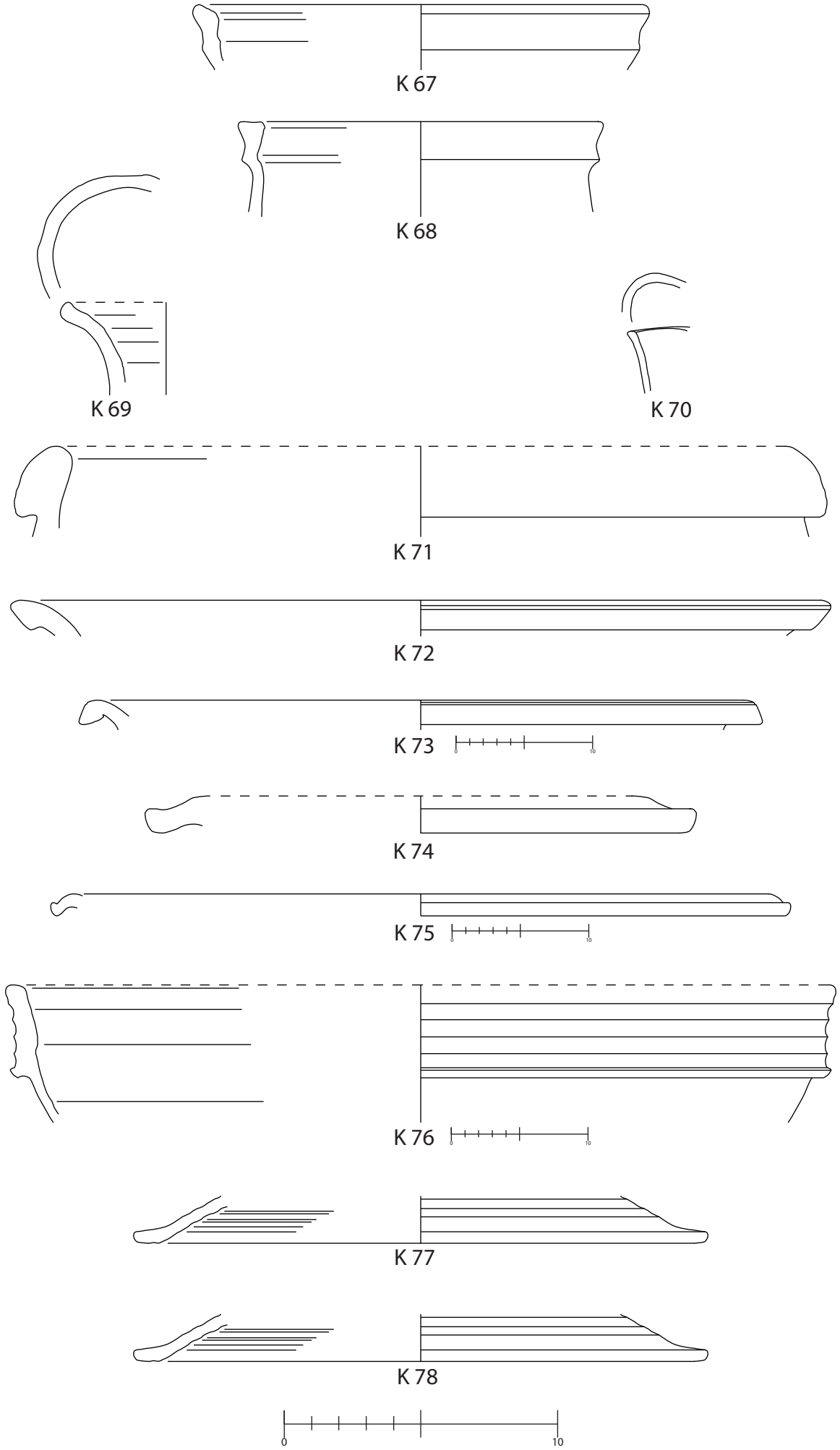


K 67–K 78

K 79

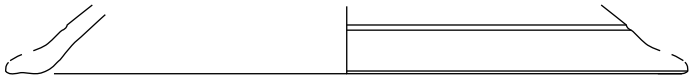

K 80

K 81

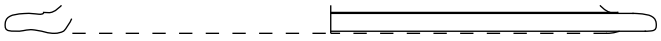

K 82

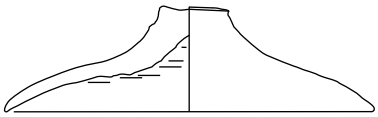

K 83

K 84

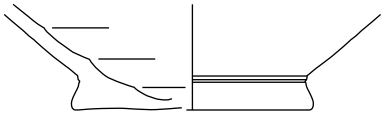

K 85

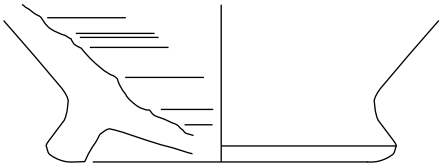

K 86

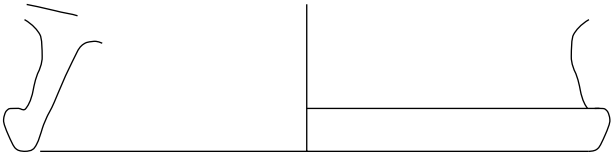

K 87

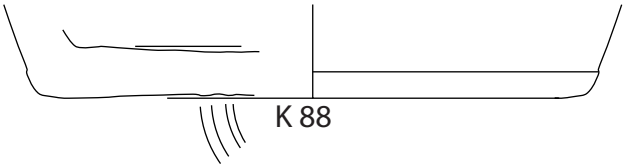

K 88

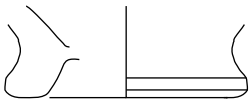

K 89

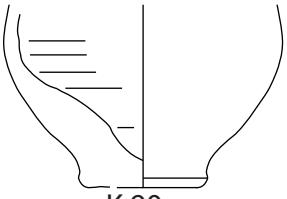

K 90

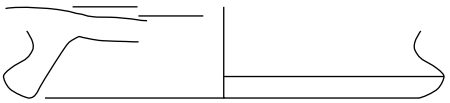

K 91

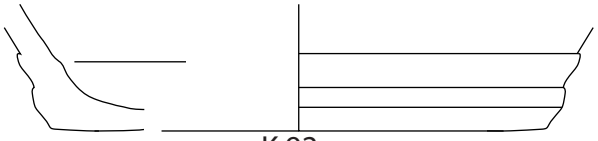

K 92

K 79–K 92

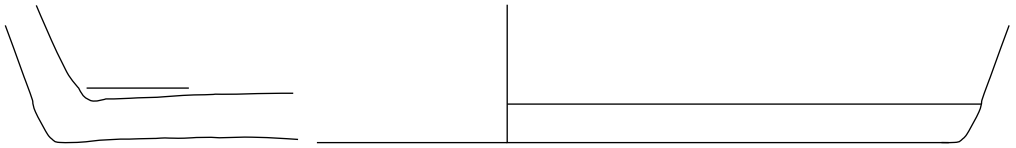

K 93

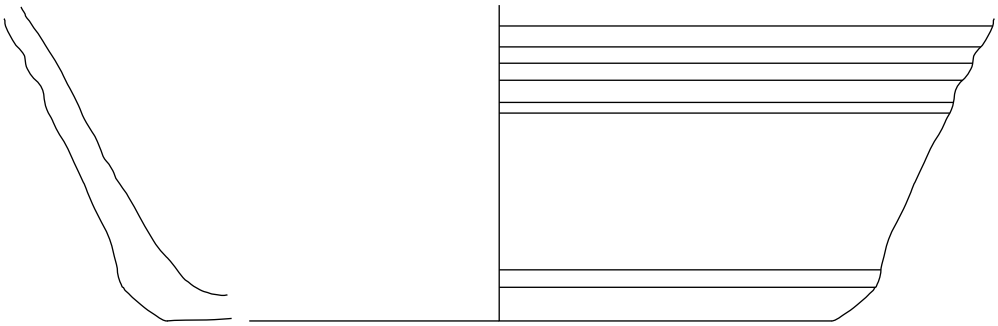

K 94

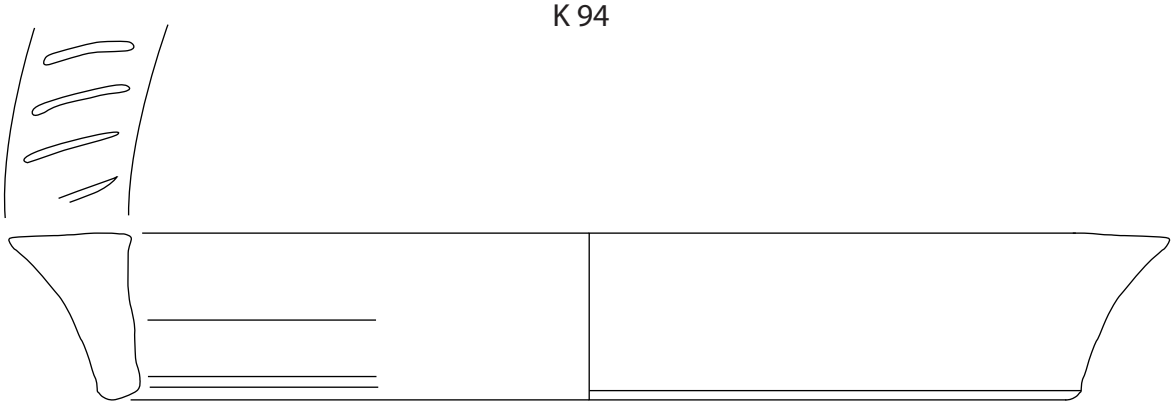

K 95

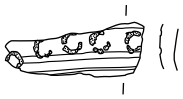

K 96

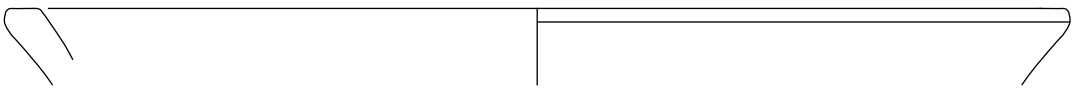

K 97

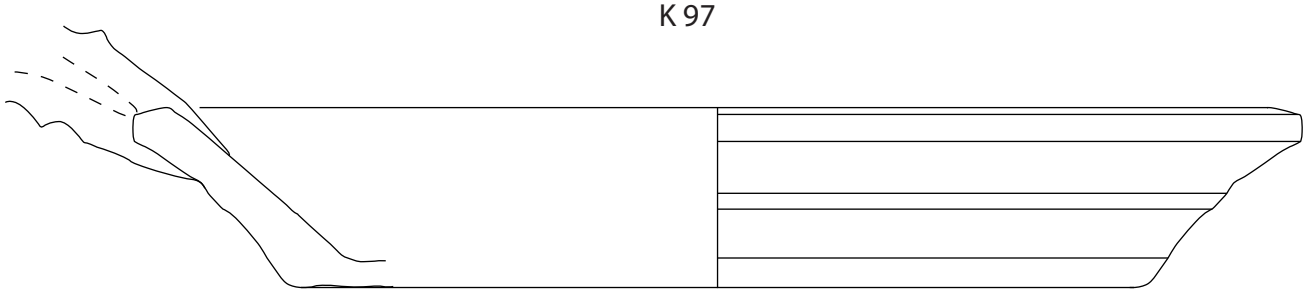

K 98

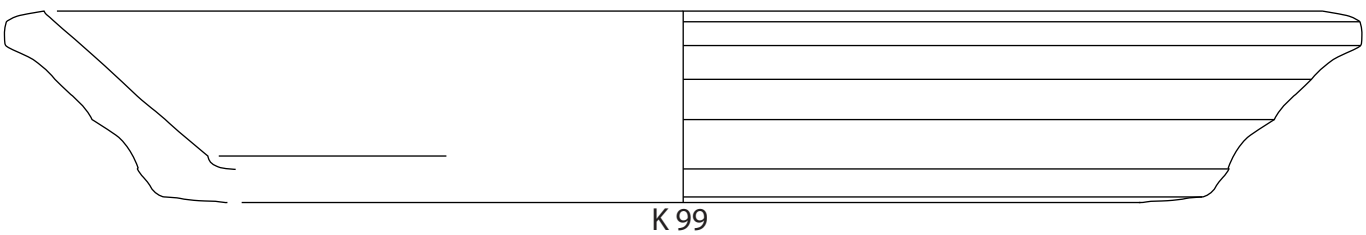

K 99

K 93–K 99

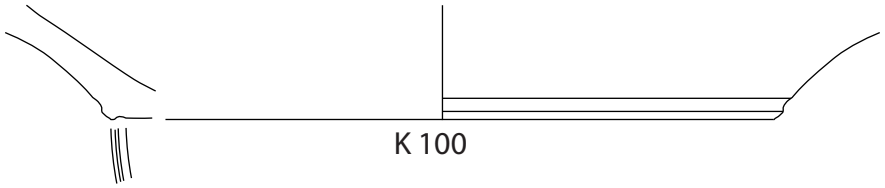

K 100

K 101

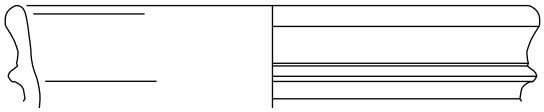

K 102

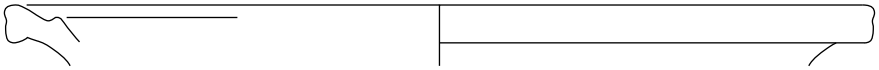

K 103

K 104

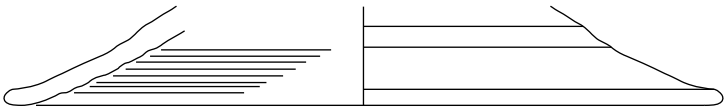

K 105

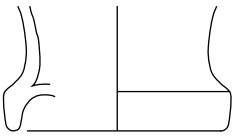

K 106

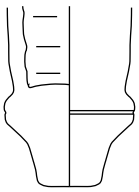

K 107

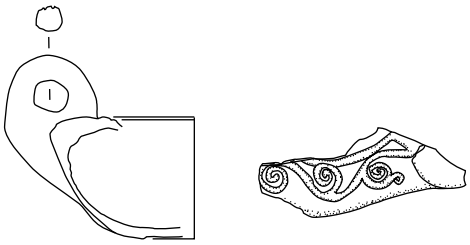

K 108

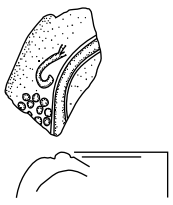

K 109

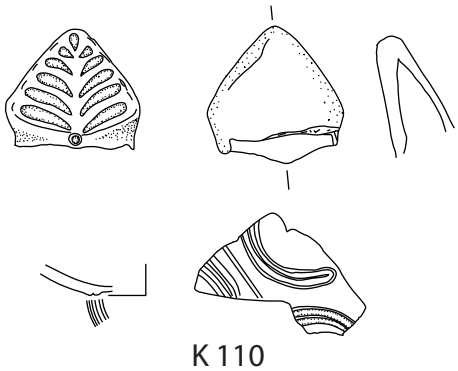

K 110

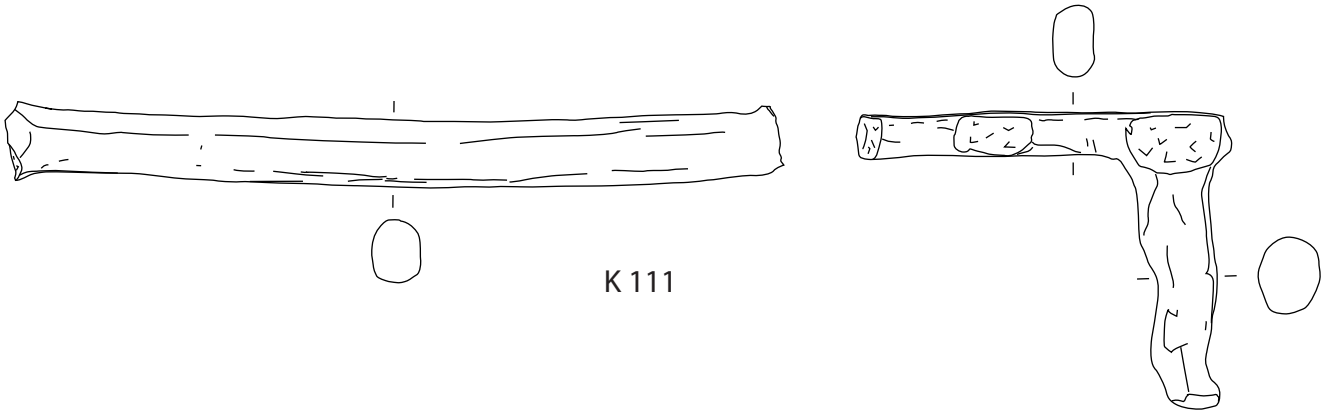

K 111

Sondage 1/2010 SE 251

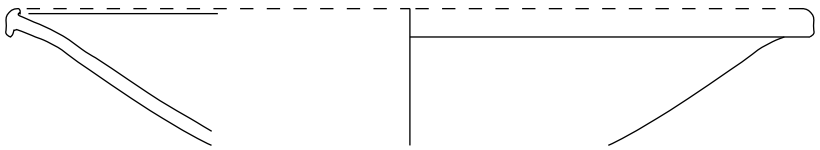

K 112

K 113

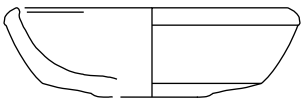

K 114

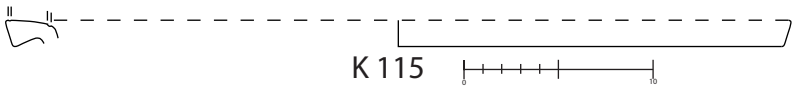

K 115

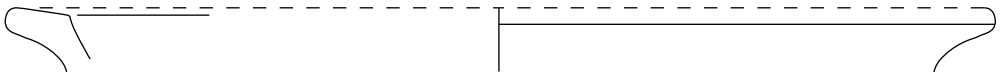

K 116

K 117

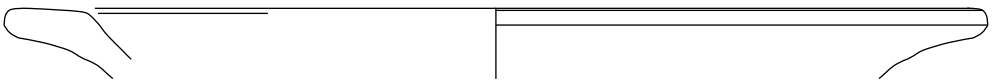

K 118

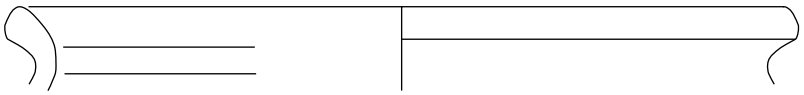

K 119

K 120

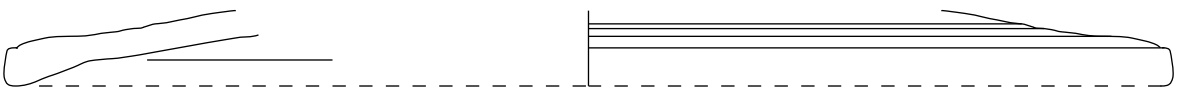

K 121

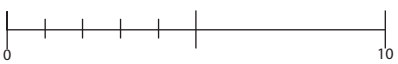



K 111–K 121

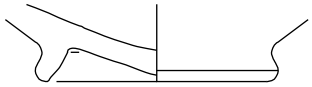

K 122

Sondage 5/2010 SE 737

K 123

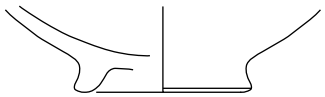

K 124

K 125

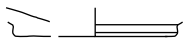

K 126

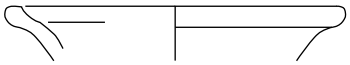

K 127

Sondage 5/2010 SE 736

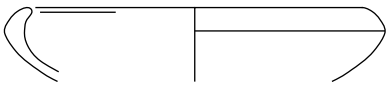

K 128

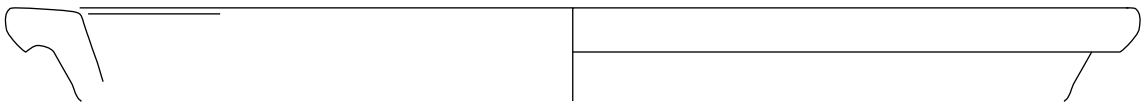

K 129

Sondage 5/2010 SE 735

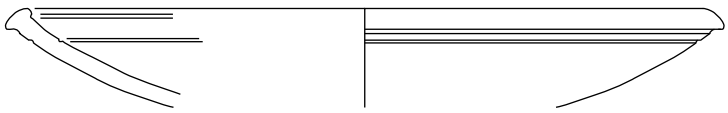

K 130

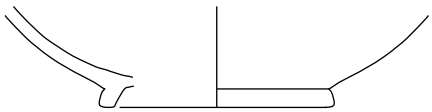

K 131

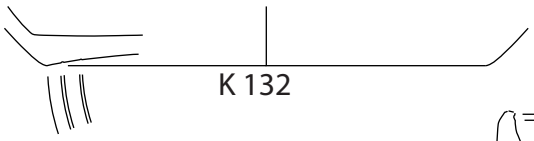

K 132

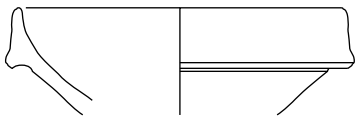

K 133

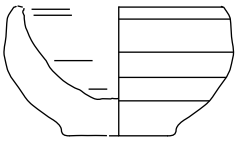

K 134

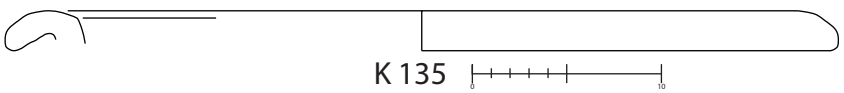

K 135

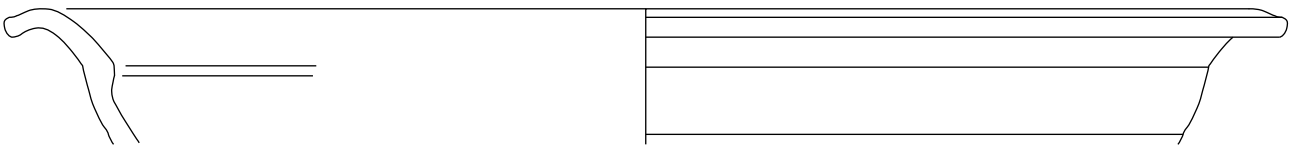

K 136

K 122–K 136

K 137

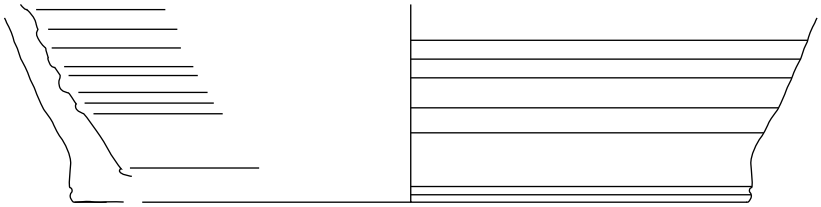

K 138

K 139

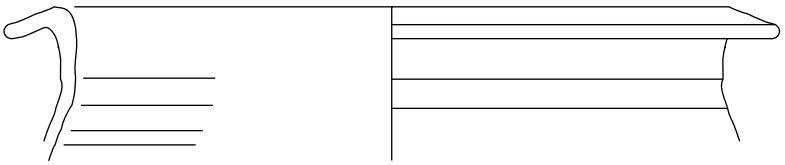

K 140

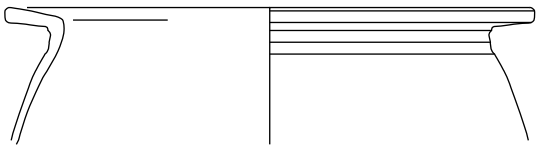

K 141

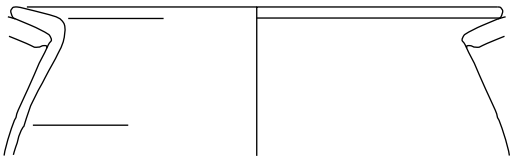

K 142

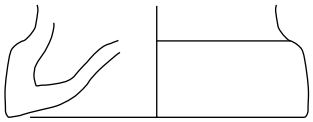

K 143

Sondage 5/2010 SE 726

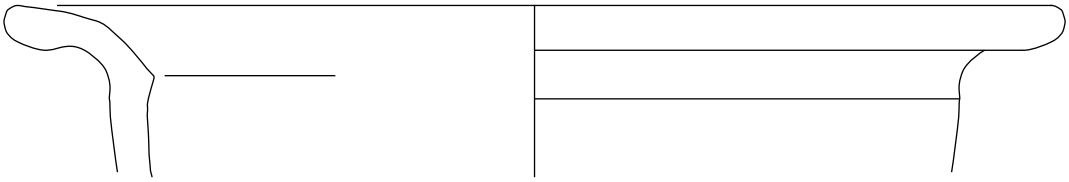

K 144

Sondage 5/2010 SE 727

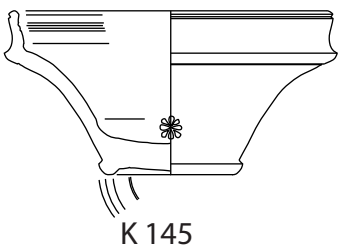

K 145

K 137–K 145

K 146

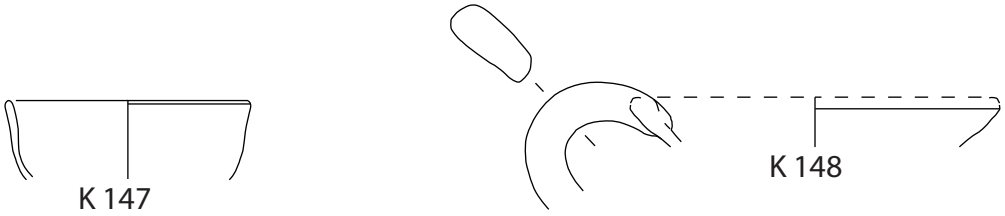

K 147

K 148

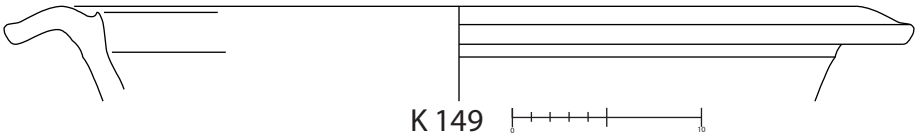

K 149

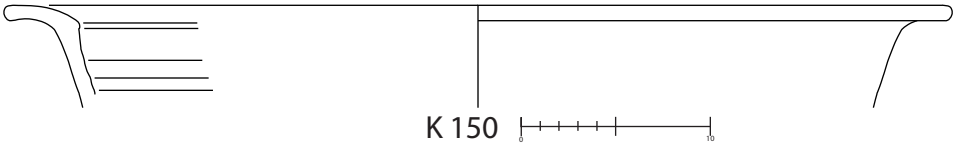

K 150

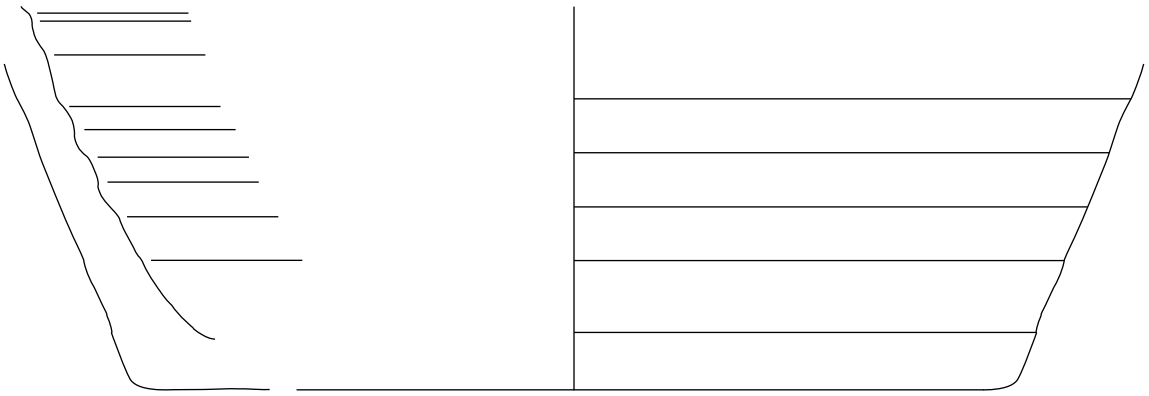

K 151

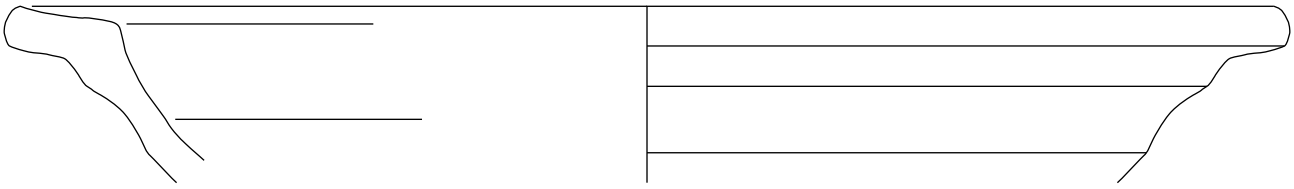

K 152

K 153

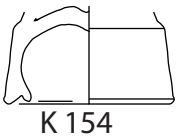

K 154

K 146–K 154

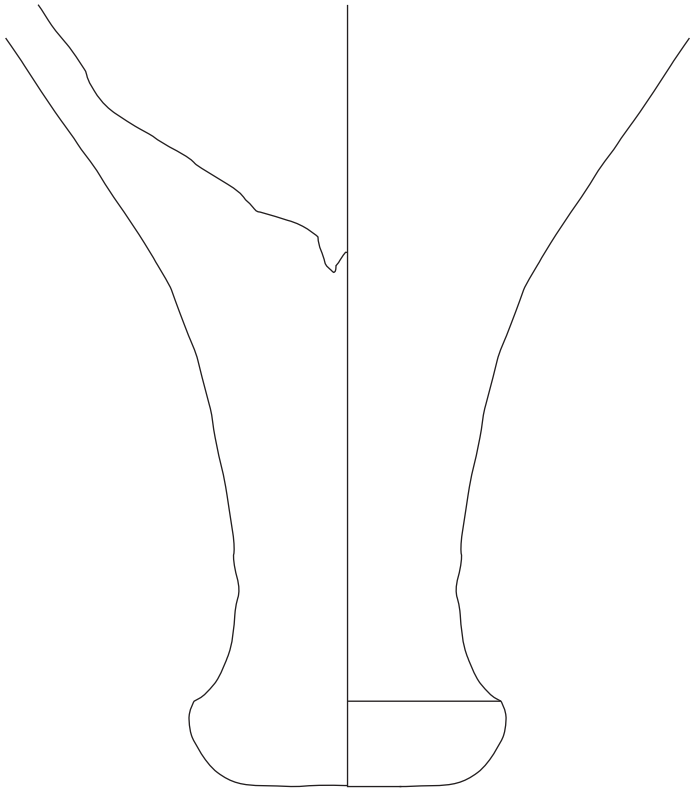

K 155

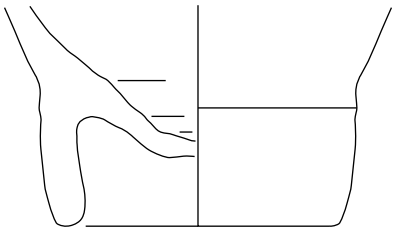

K 156

Sondage 5/2010 SE 729

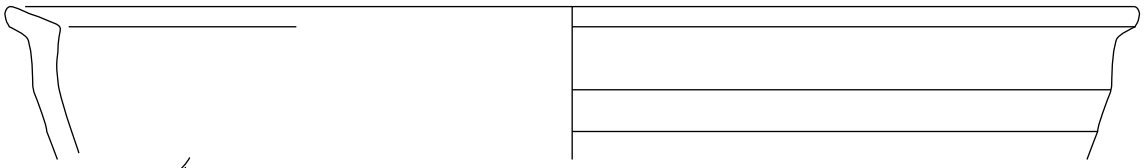

K 157

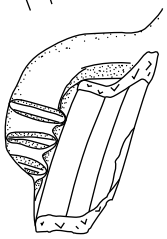

K 158

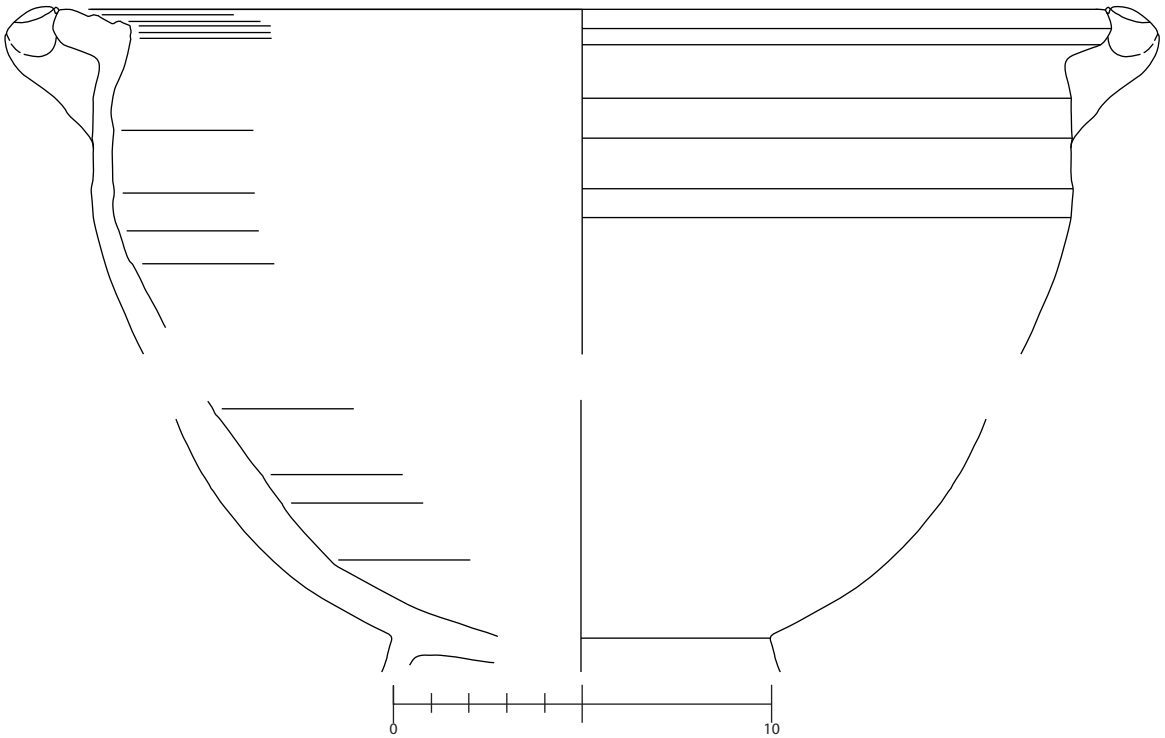


K 155–K 158

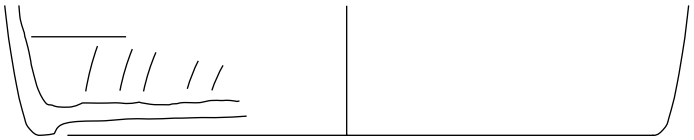

K 159

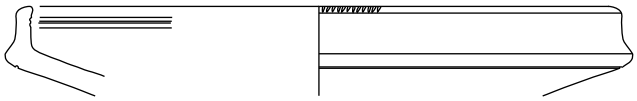

K 160

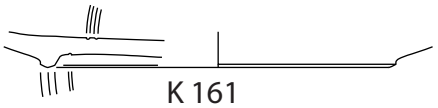

K 161

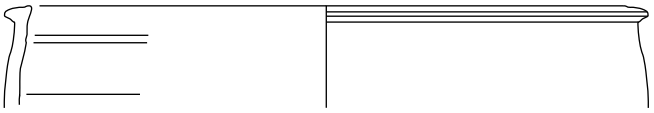

K 162

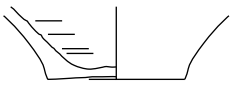

K 163

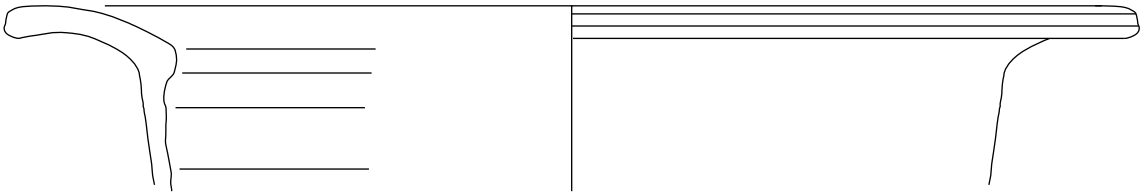

K 164

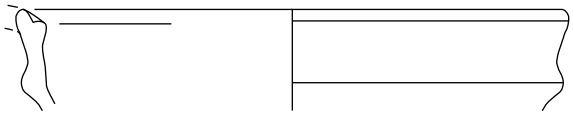

K 165

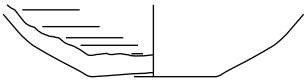

K 166

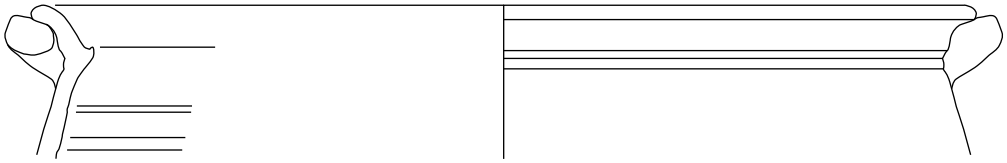

K 167

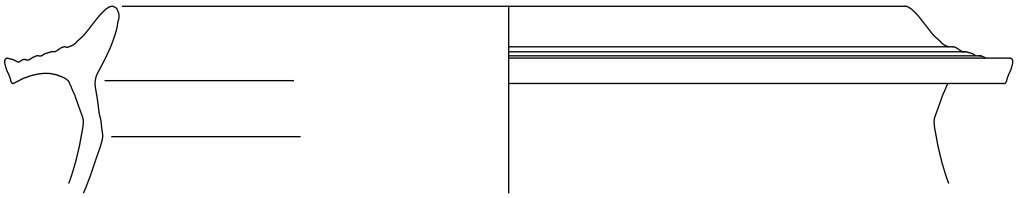

K 168

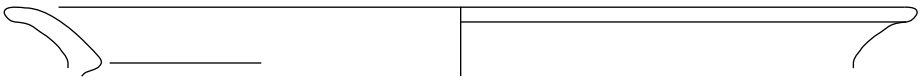

K 169

K 159–K 169

K 170

Sondage 5/2010 SE 722

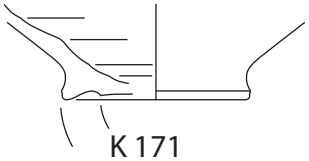

K 171

K 172

K 173

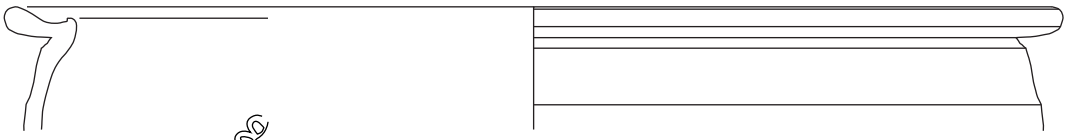

K 174

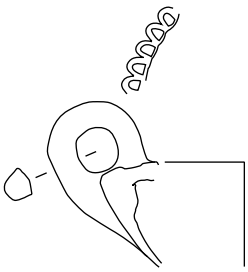

K 175

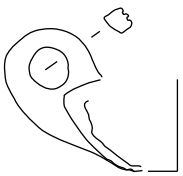

K 176

Sondage 5/2010 SE 721

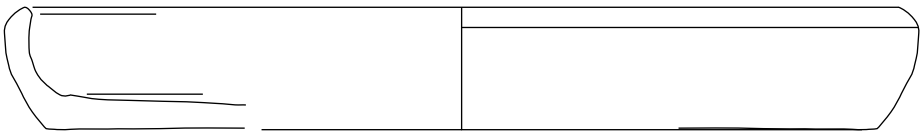

K 177

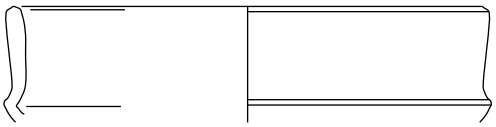

K 178

K 179

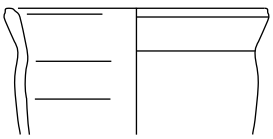

K 180

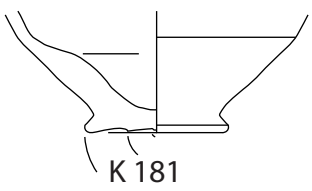

K 181

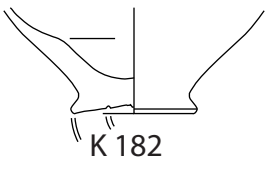

K 182

K 170–K 182

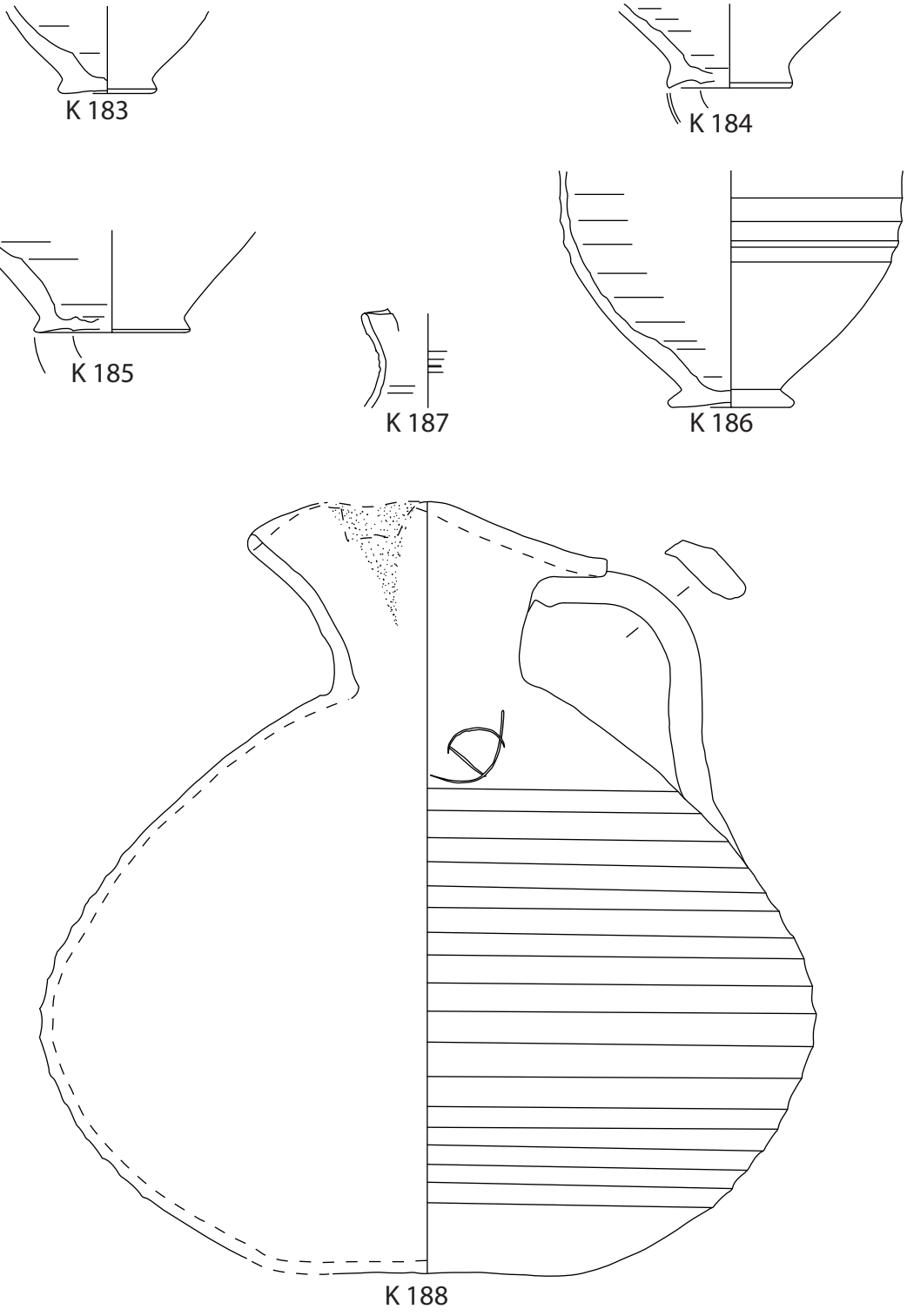


K 183–K 190

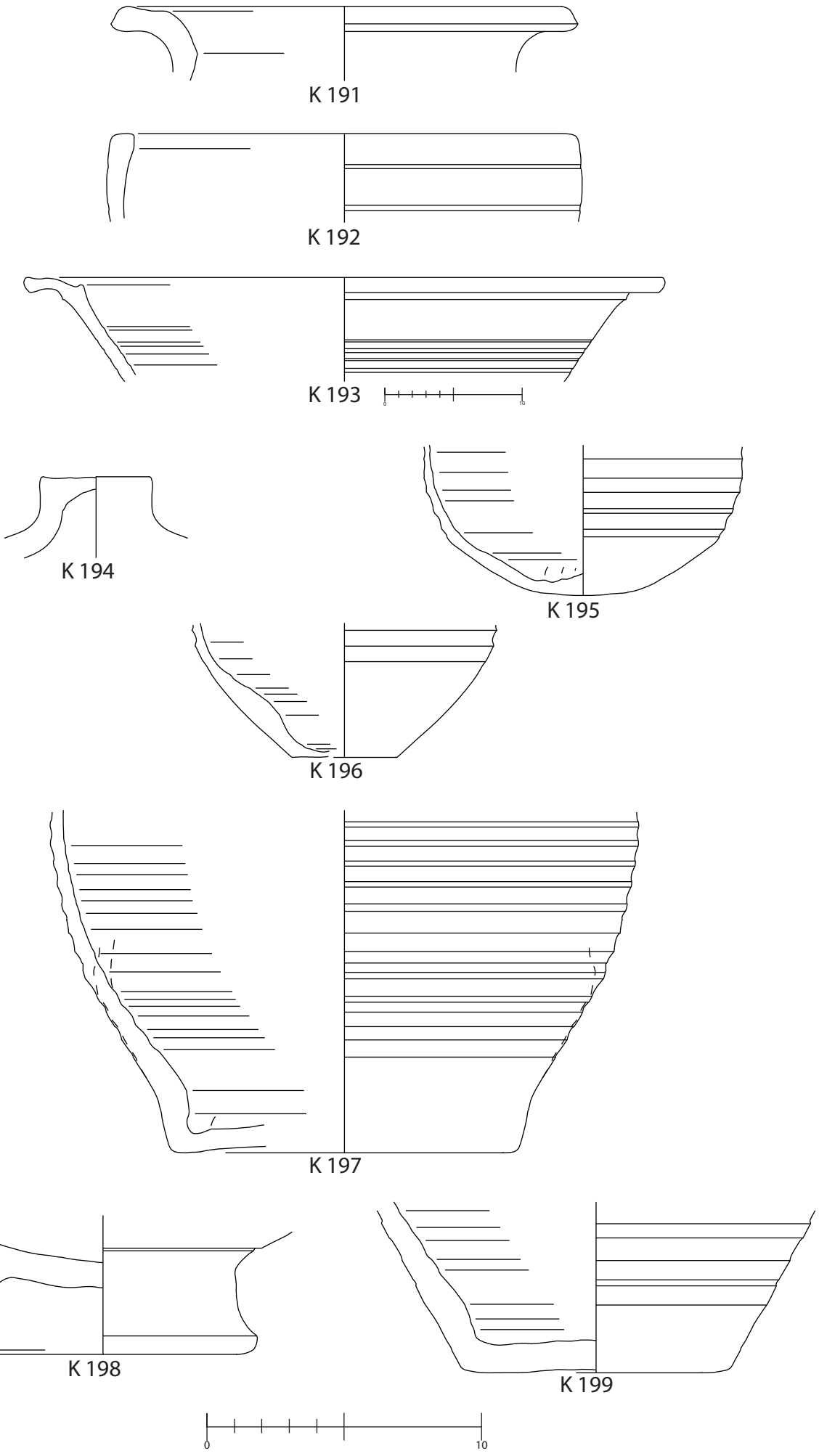


K 191–K 199

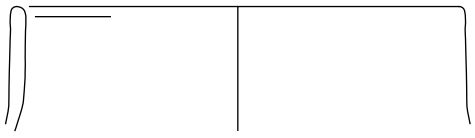

K 200

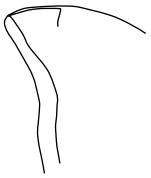

K 201

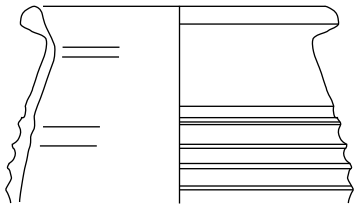

K 202

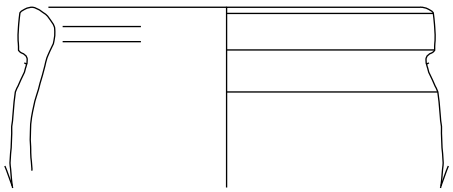

K 203

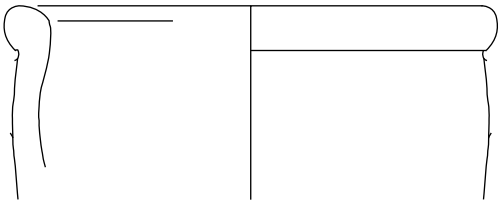

K 204

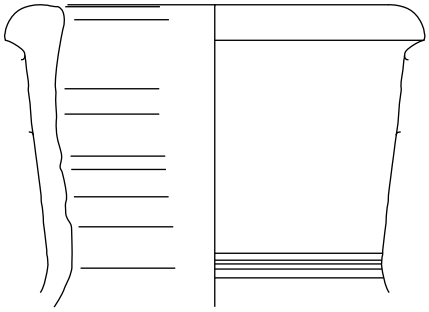

K 206

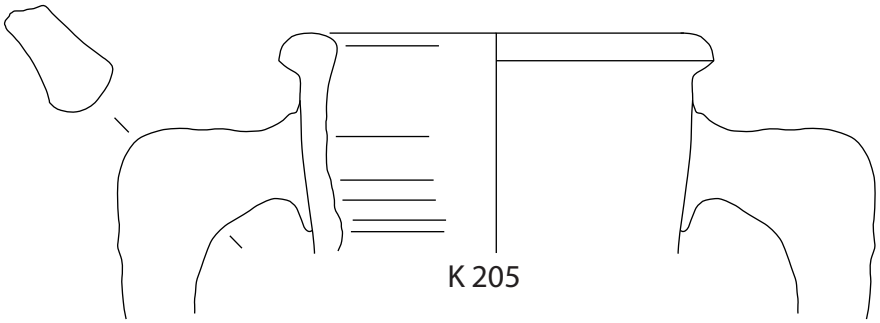

K 205

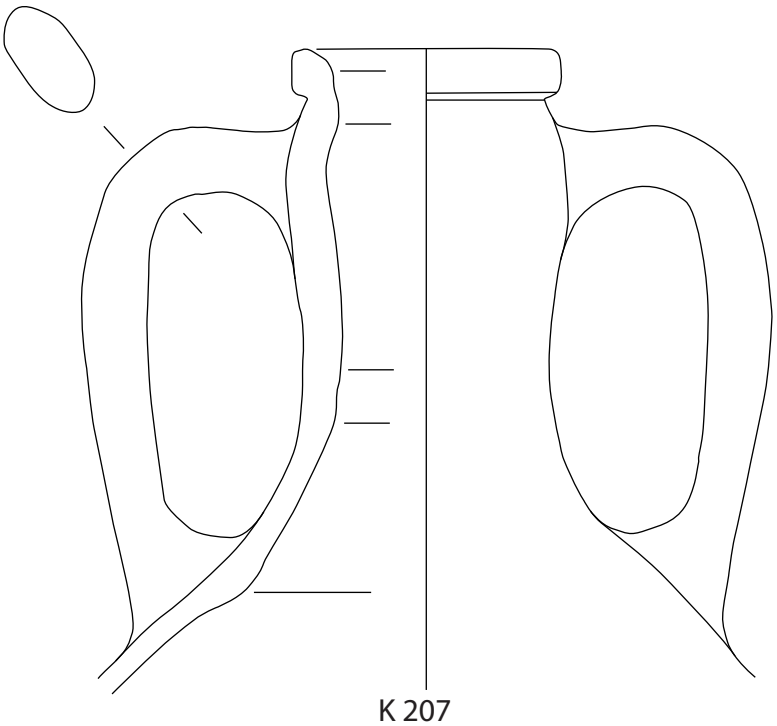

K 207

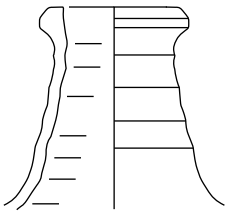

K 208

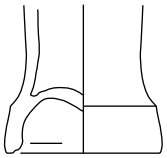

K 209

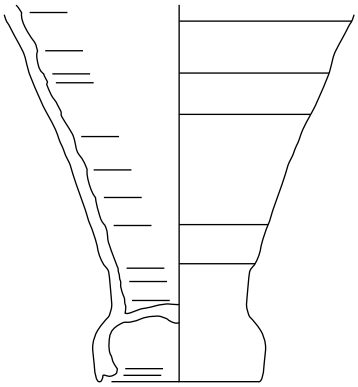

K 210

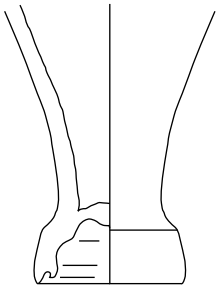

K 211

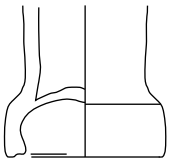

K 212

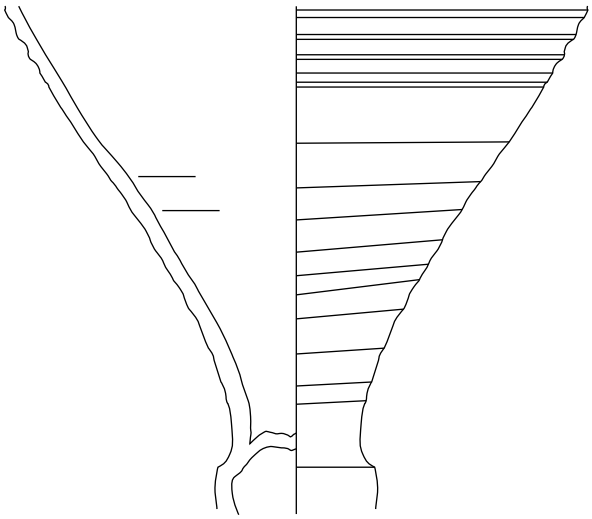

K 213

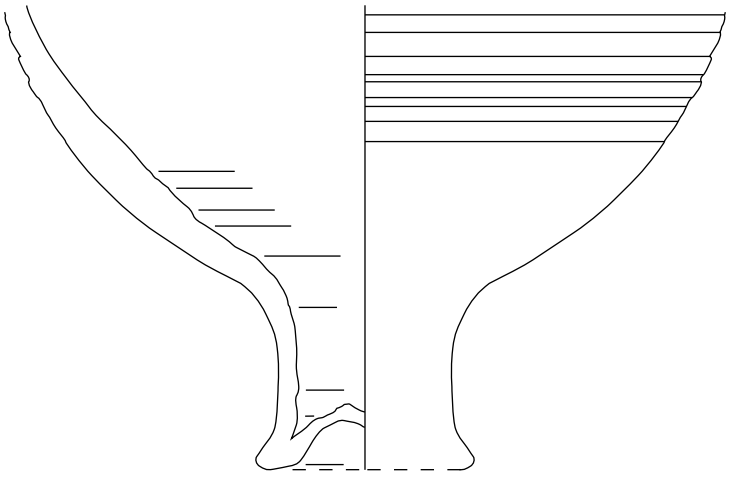

K 214

Sondage 5/2010 SE 723

K 208–K 214

K 215

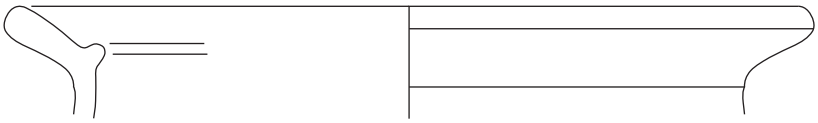

K 216

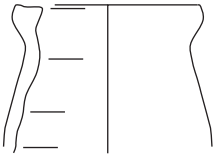

K 218

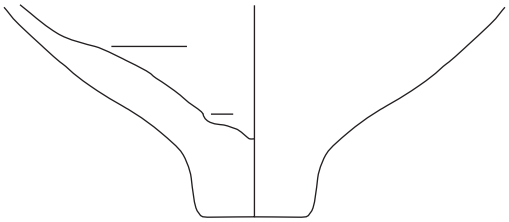

K 217

Sondage 1/2011 SE 919

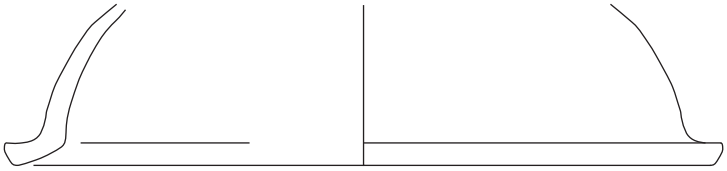

K 219

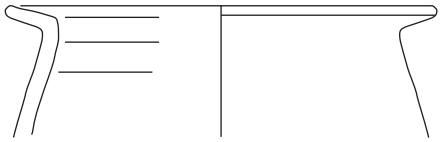

K 220

Sondage 1/2011 SE 918

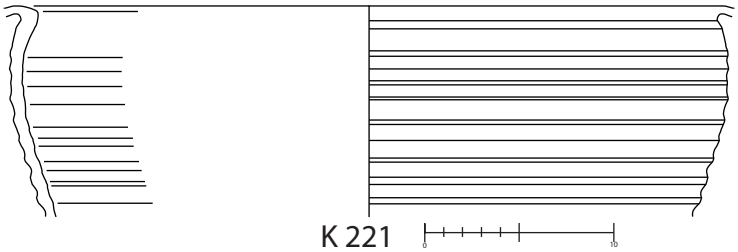

K 221

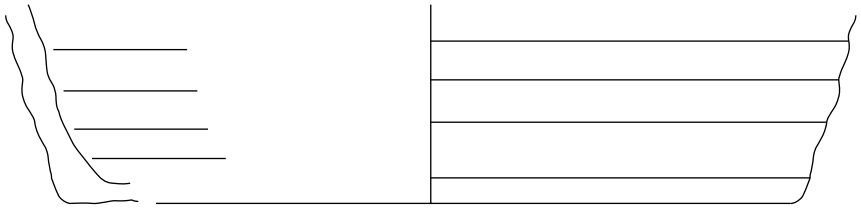

K 222

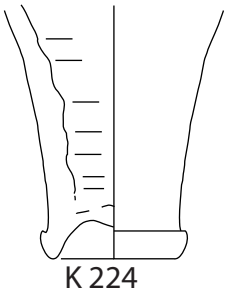

K 224

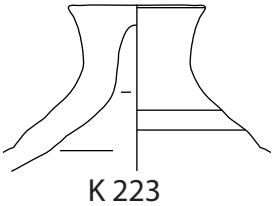

K 223

Sondage 2/2011 SE 1041

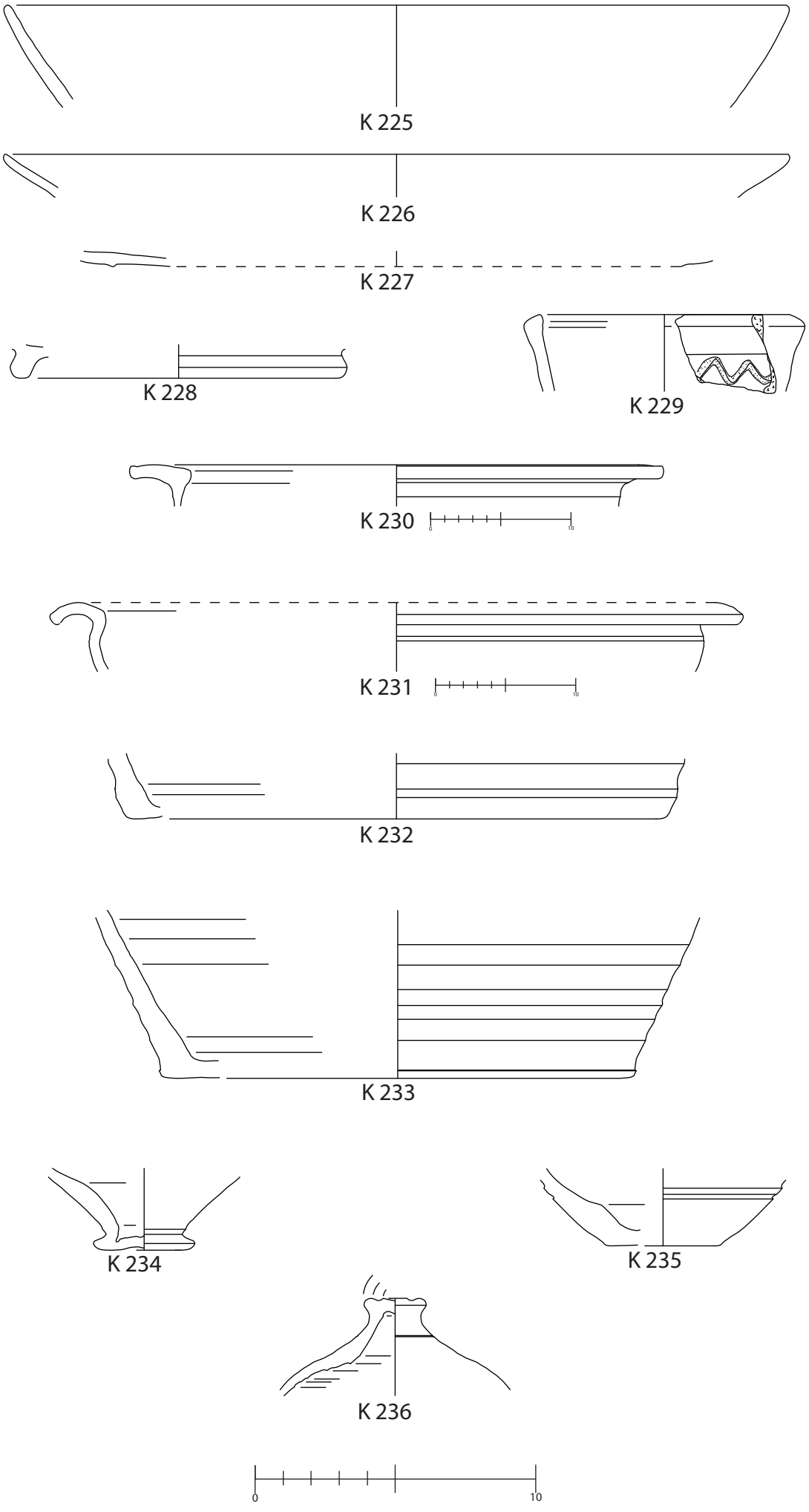
K 225
K 226
K 227
K 228
K 229
K 230
K 231
K 232
K 233
K 234
K 235
K 236
0
10

K 225–K 239

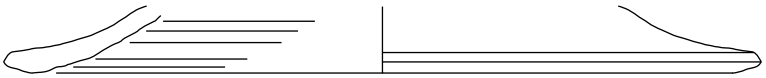
K 237

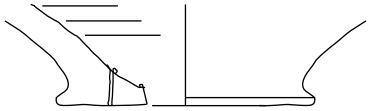
K 238

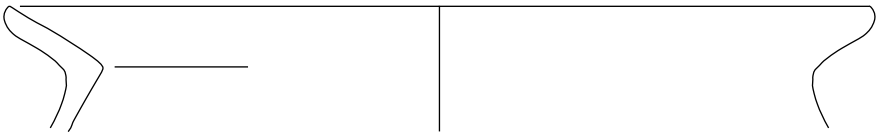
K 239

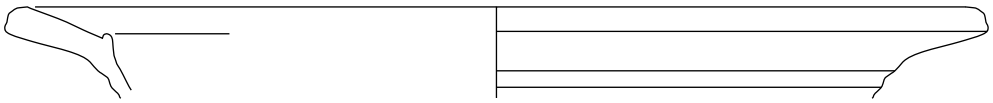
K 240

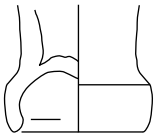
K 241

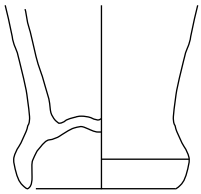
K 242

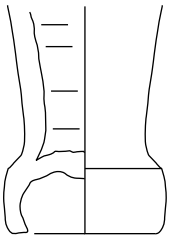
K 243

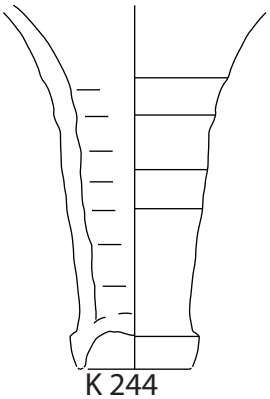
K 244

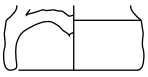
K 246

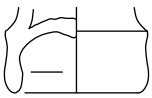
K 247

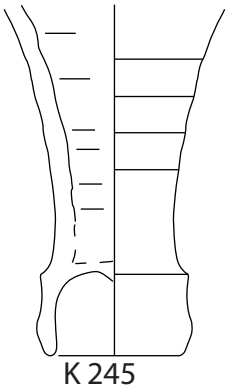
K 245

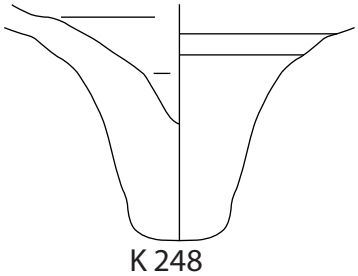
K 248

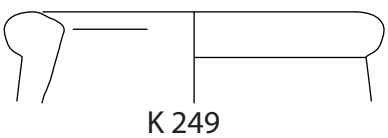
K 249

Sondage 2/2011 SE 1040

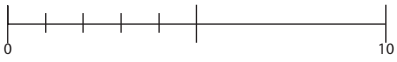

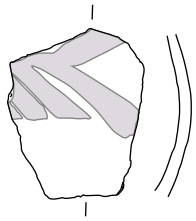

K 250

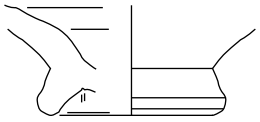

K 251

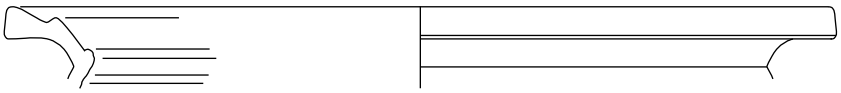

K 252

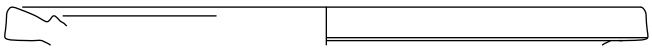

K 253

Sondage 2/2011 SE 1039

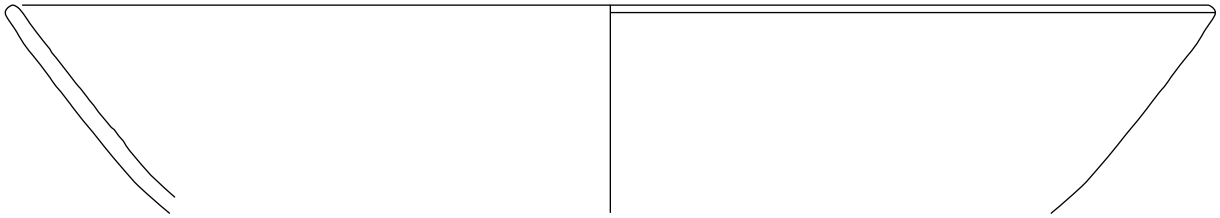

K 254

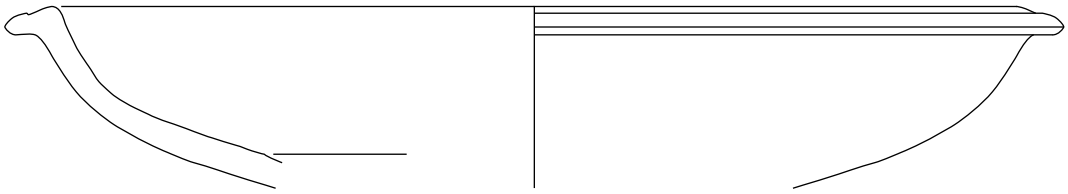

K 255

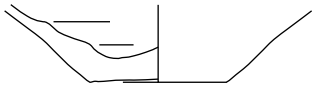

K 256

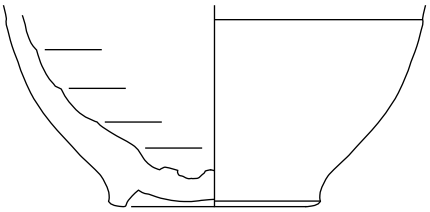

K 257

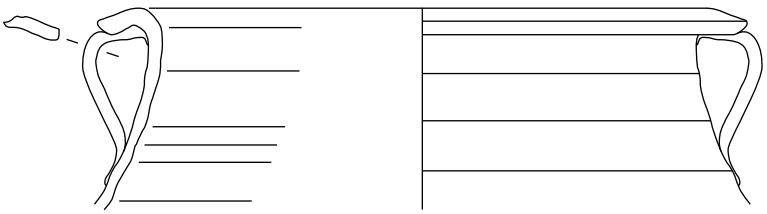

K 258

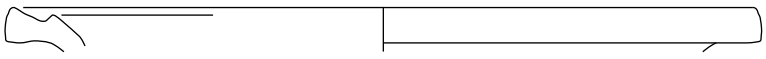

K 259

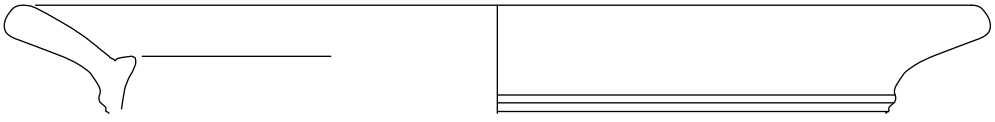

K 260

K 250–K 260

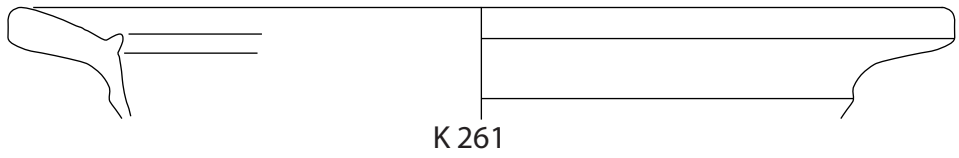

K 261

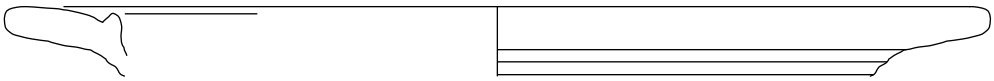

K 262

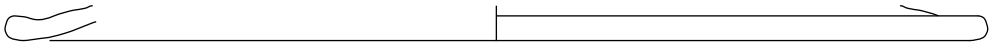

K 263

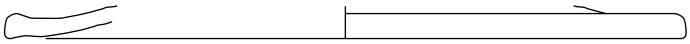

K 264

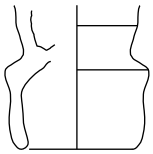

K 265

K 266

K 267

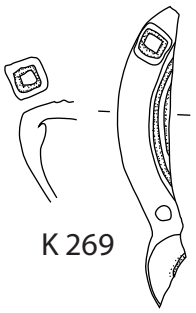

K 269

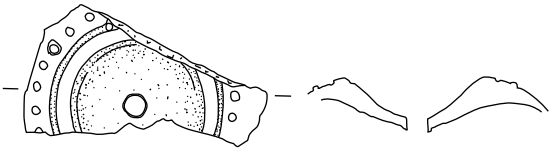

K 268

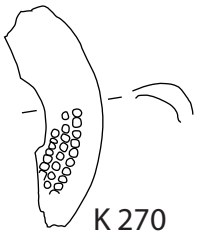

K 270

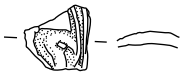

K 271

Sondage 2/2011 SE 1038

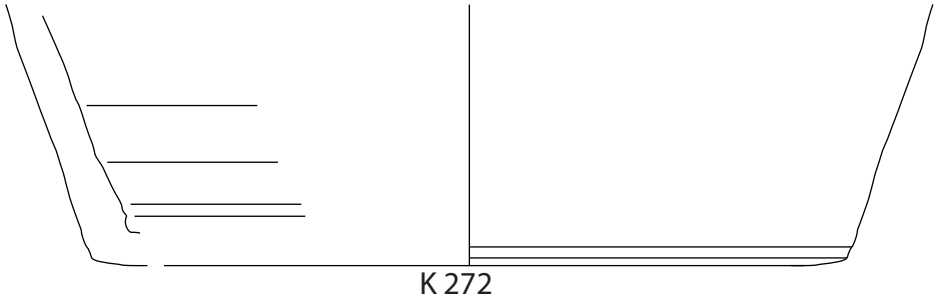

K 272

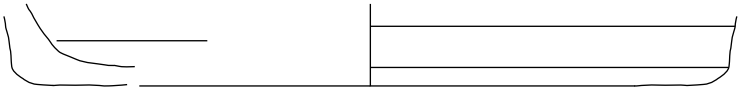

K 273

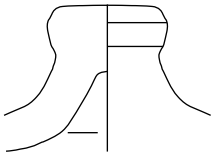

K 274

Sondage 2/2011 SE 1036

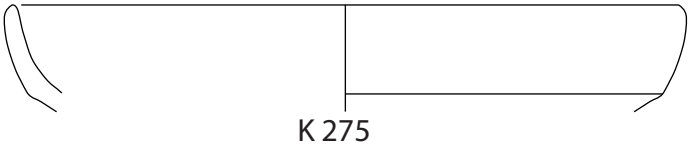

K 275

K 261–K 275

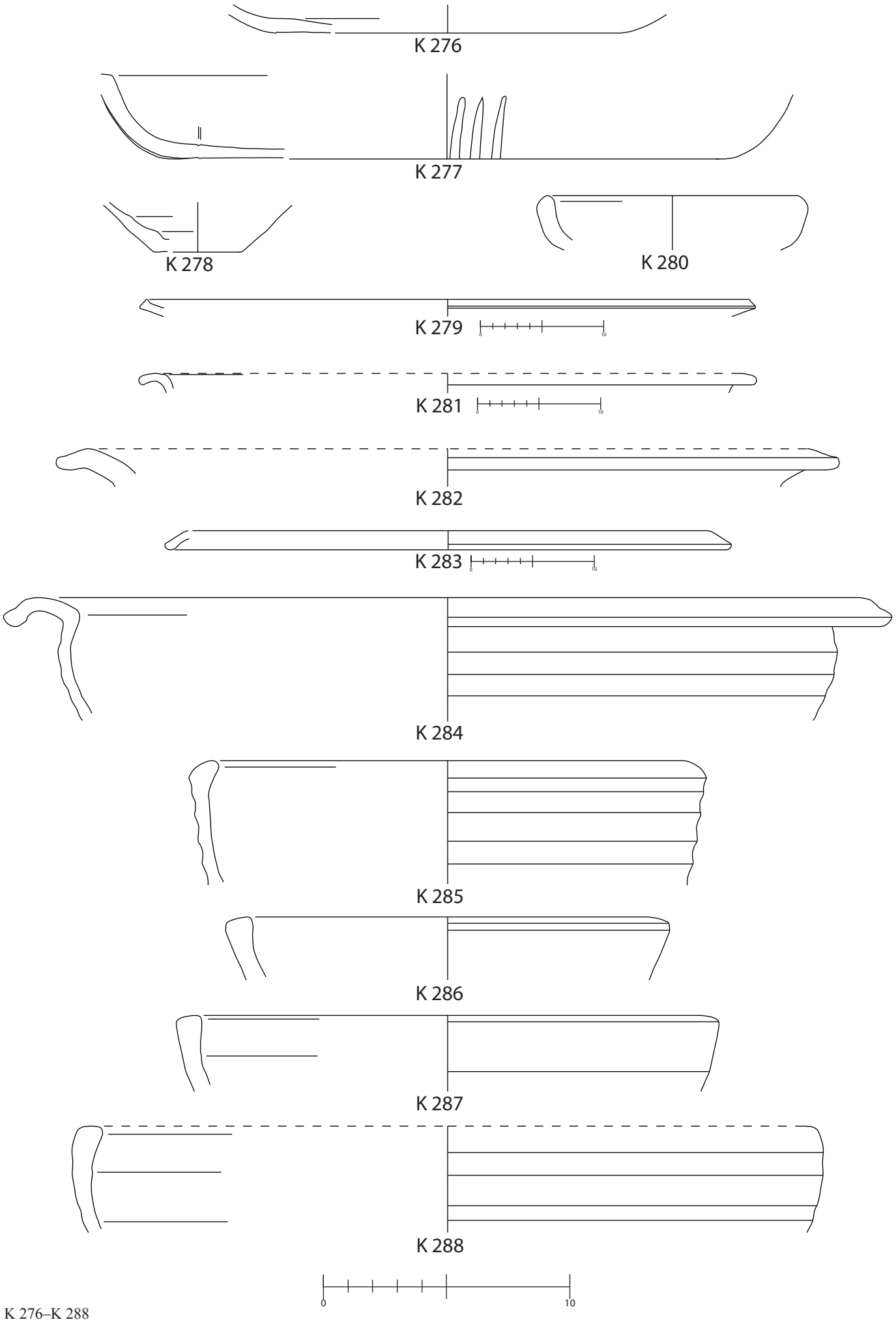
K 276
K 277
K 278
K 280
K 279
K 281
K 282
K 283
K 284
K 285
K 286
K 287
K 288
0
10

K 276–K 288

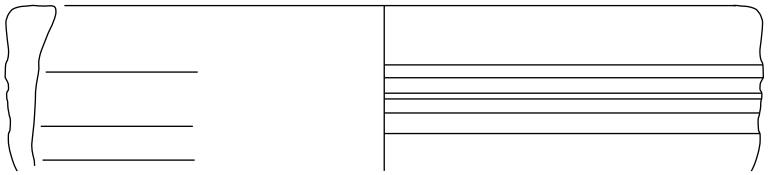

K 289

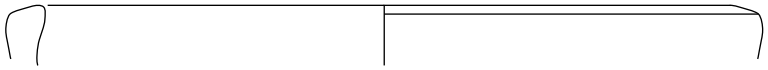

K 290

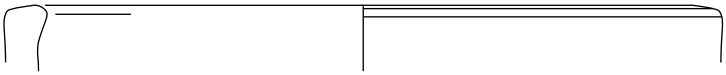

K 291

K 292

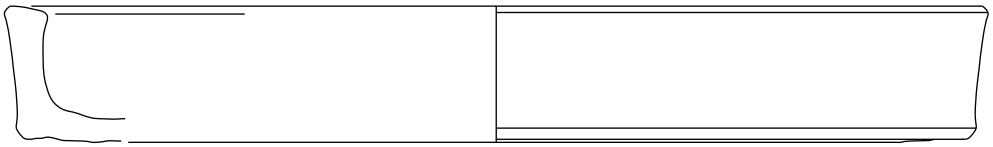

K 293

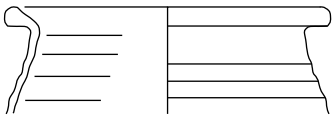

K 294

K 295

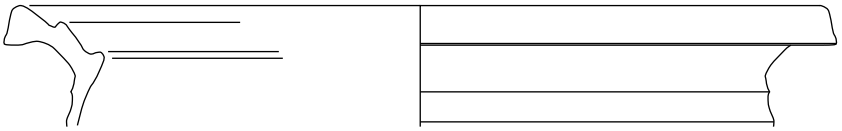

K 296

K 297

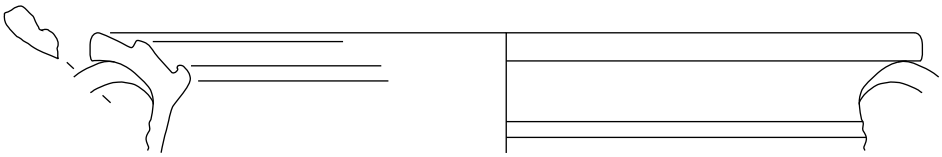

K 298

K 299

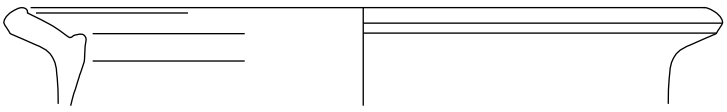

K 300

K 289–K 300

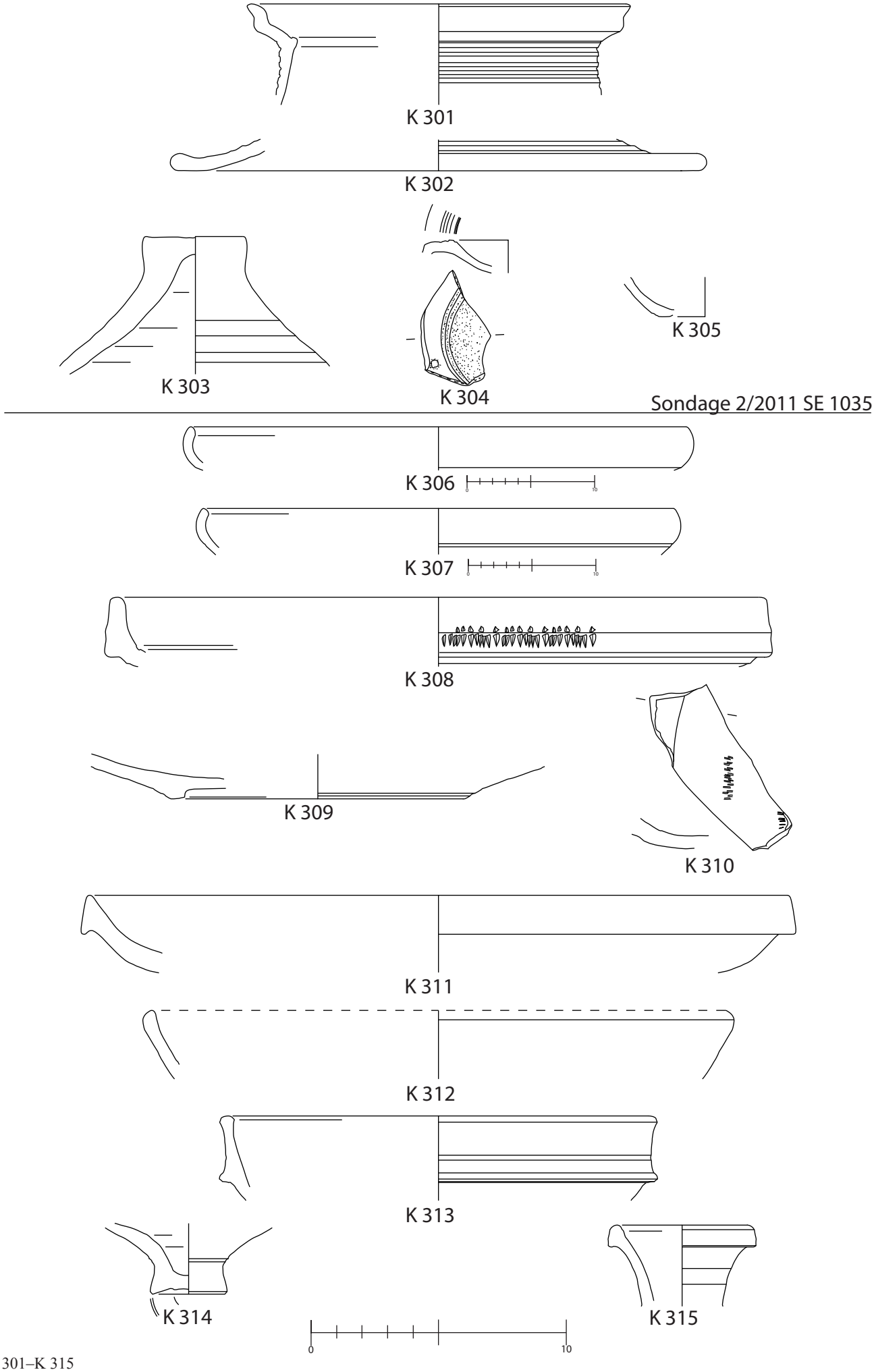
K 301
K 302
K 303
K 304
K 305
Sondage 2/2011 SE 1035
K 306
K 307
K 308
K 309
K 310
K 311
K 312
K 313
K 314
K 315
0
10

K 301–K 315

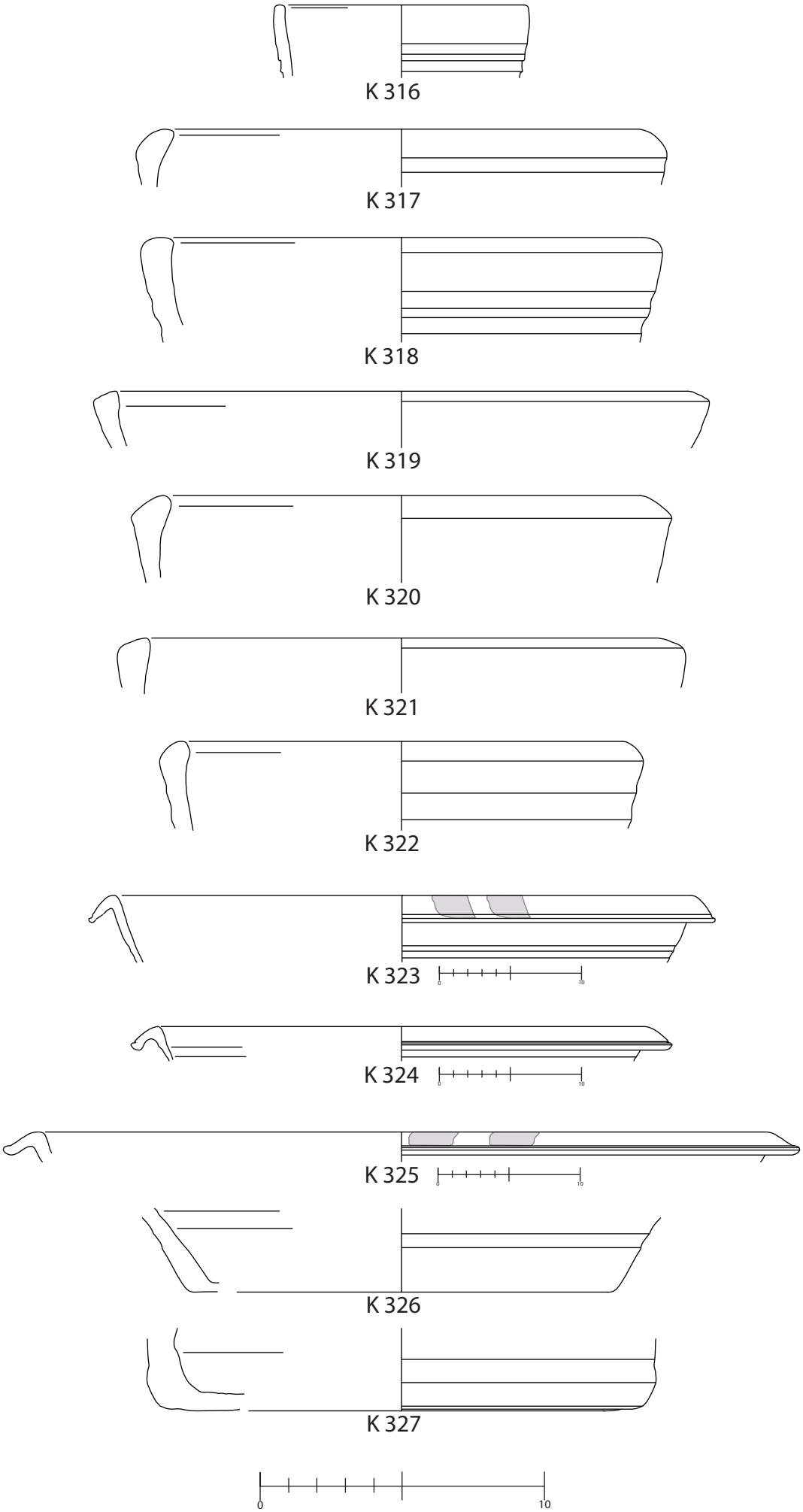
K 316
K 317
K 318
K 319
K 320
K 321
K 322
K 323
K 324
K 325
K 326
K 327
0
10

K 316–K 327

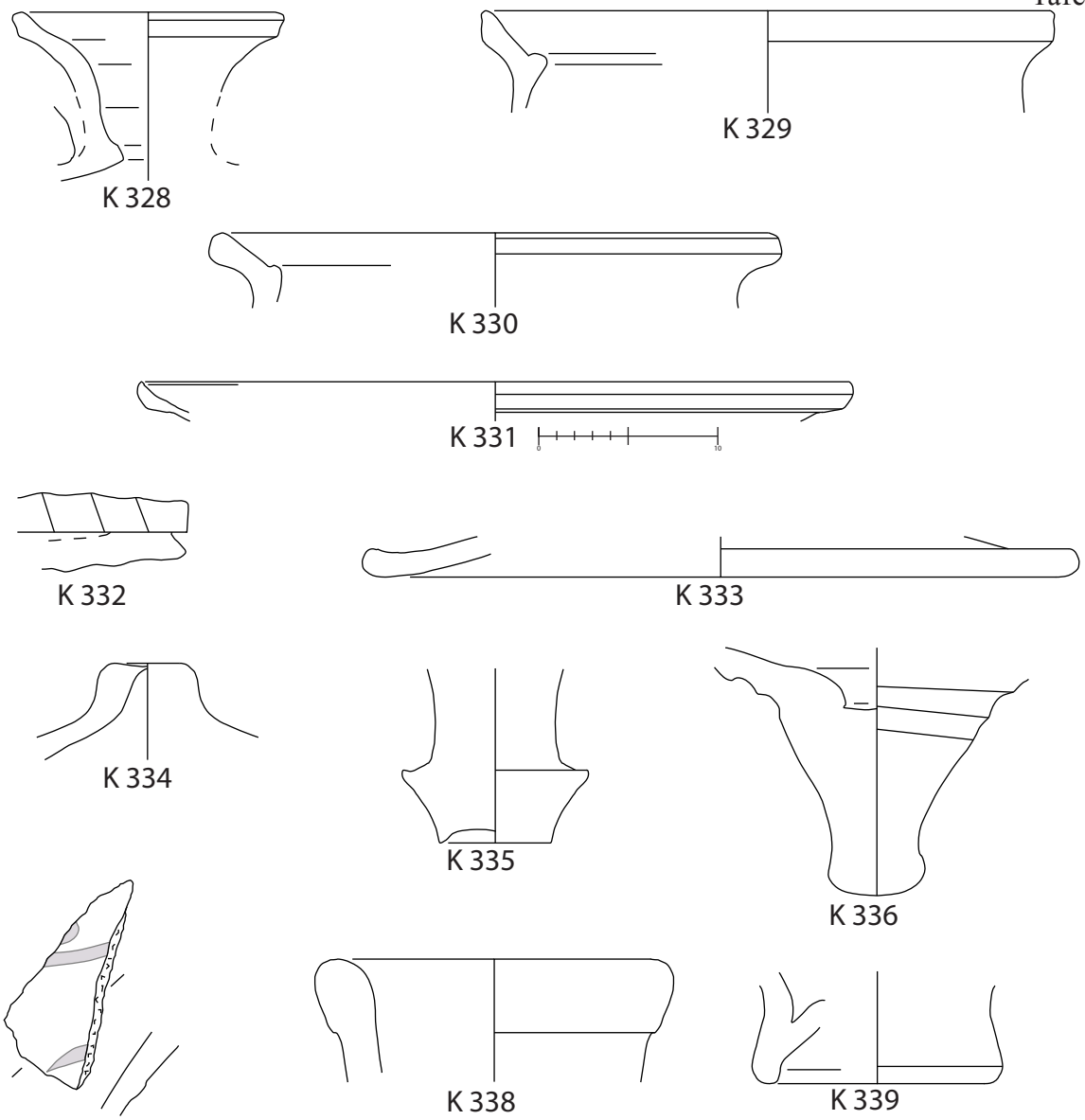


Sondage 2/2011 SE 1034

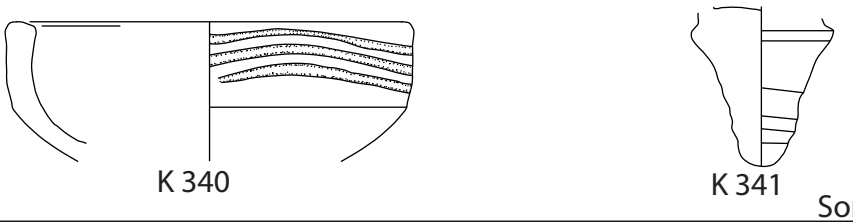


Sondage 2/2011 SE 1033

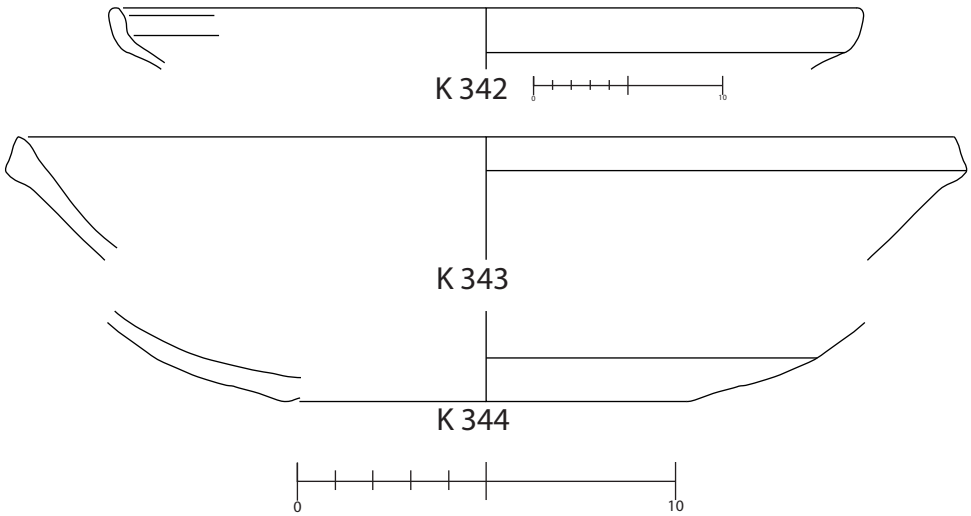


K 328–K 344

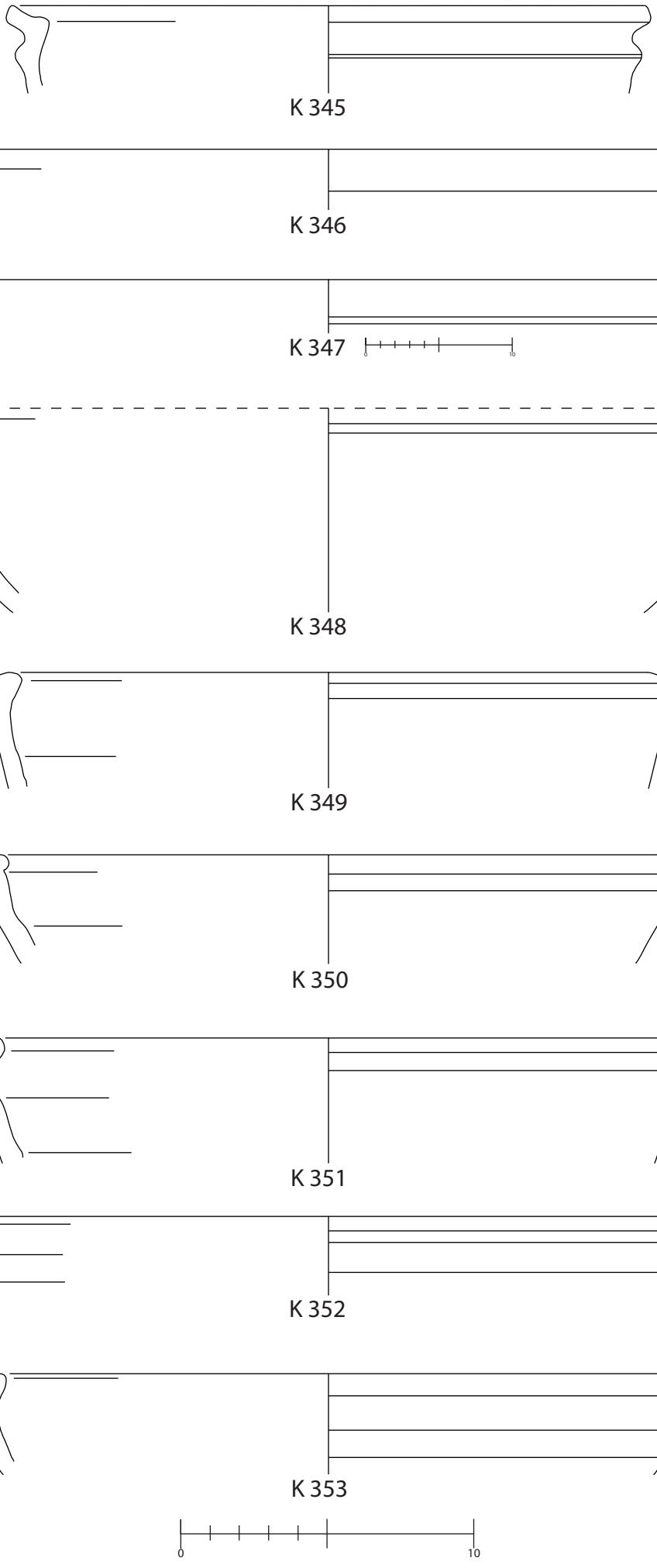


K 345–K 353

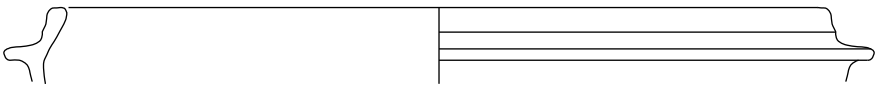

K 354

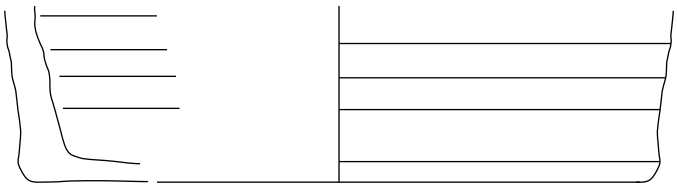

K 355

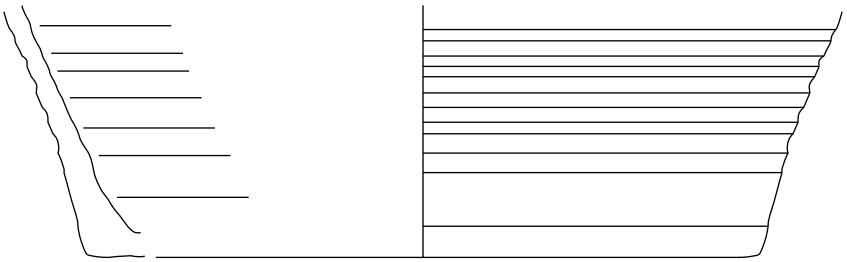

K 356

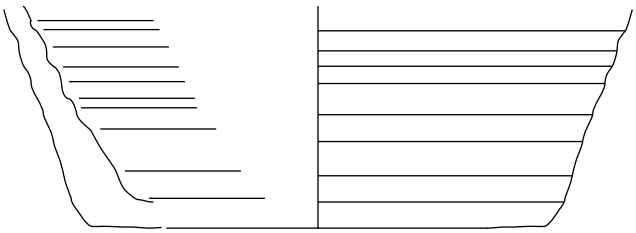

K 357

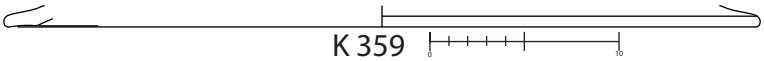

K 359

K 359

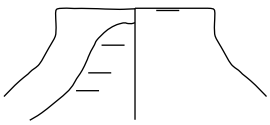

K 360

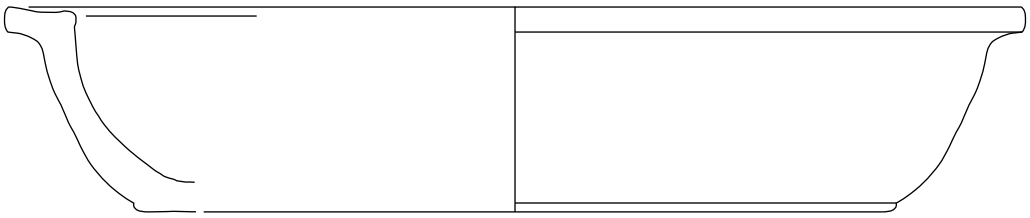

K 361

K 362

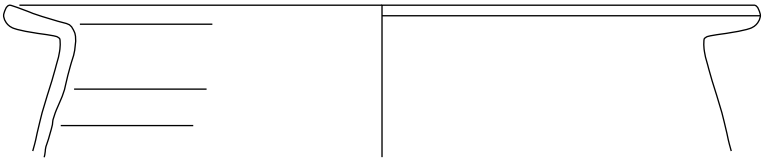

K 363

K 354–K 363

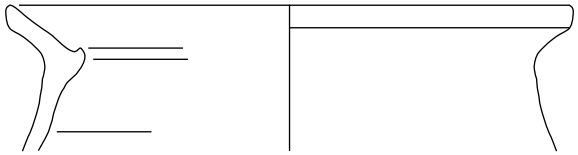

K 364

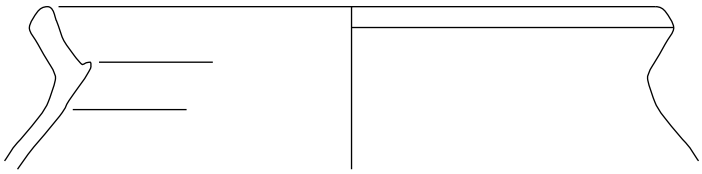

K 365

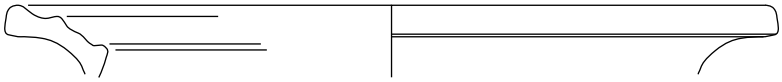

K 366

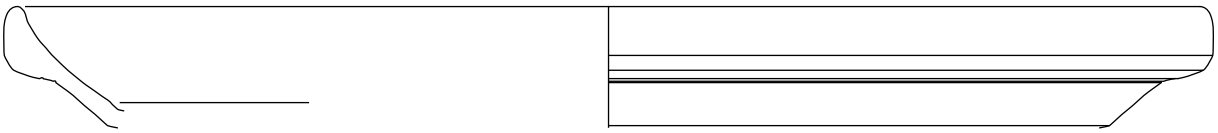

K 367

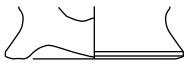

K 368

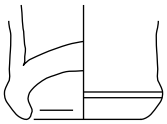

K 369

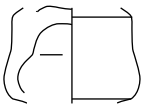

K 370

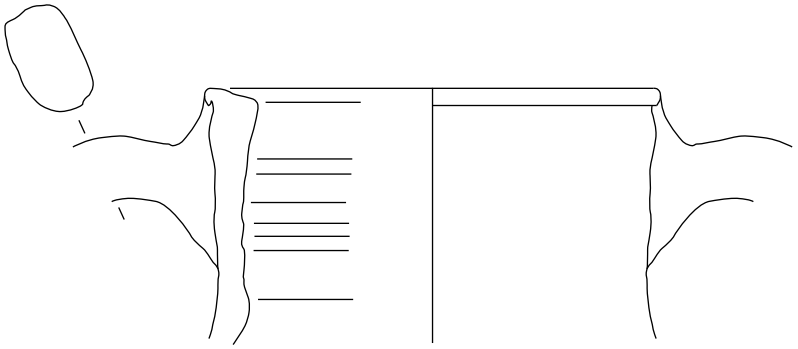

K 371

Sondage 2/2011 SE 1029

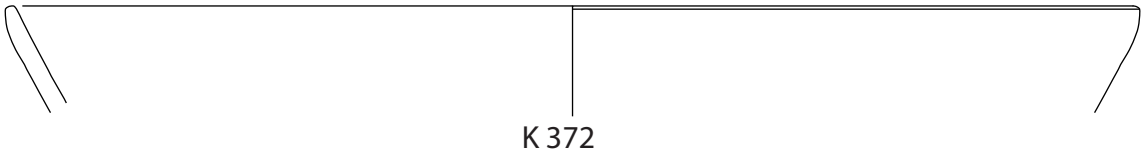

K 372

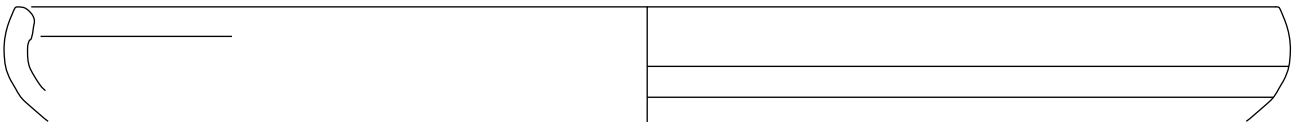

K 373

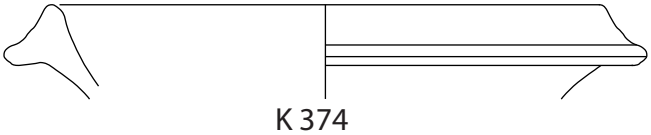

K 374

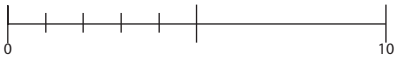


K 364–K 374

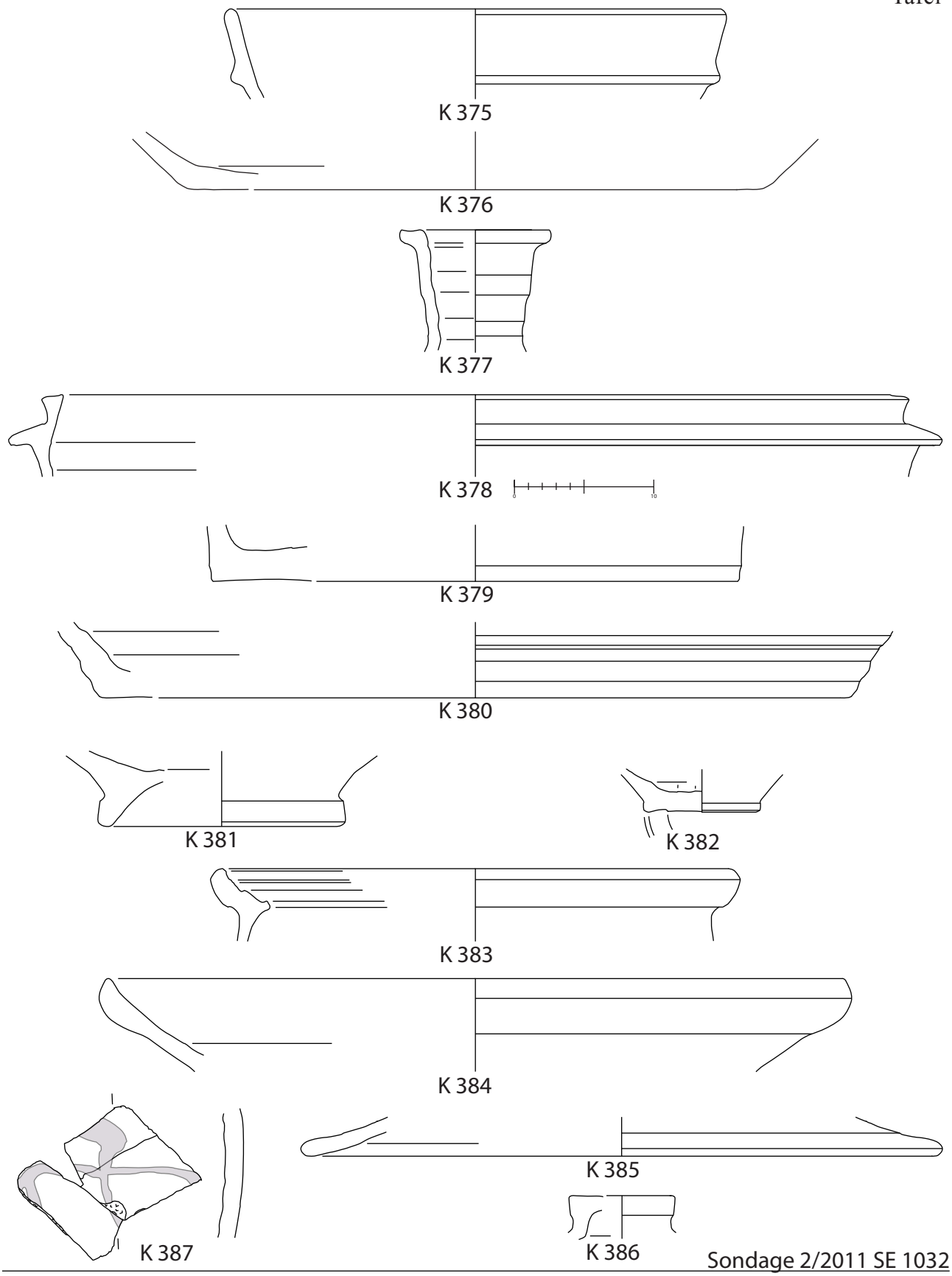
K 375
K 376
K 377
K 378
K 379
K 380
K 381
K 382
K 383
K 384
K 385
K 386
K 387
Sondage 2/2011 SE 1032
K 388
K 389
K 390
0
10

K 375–K 390

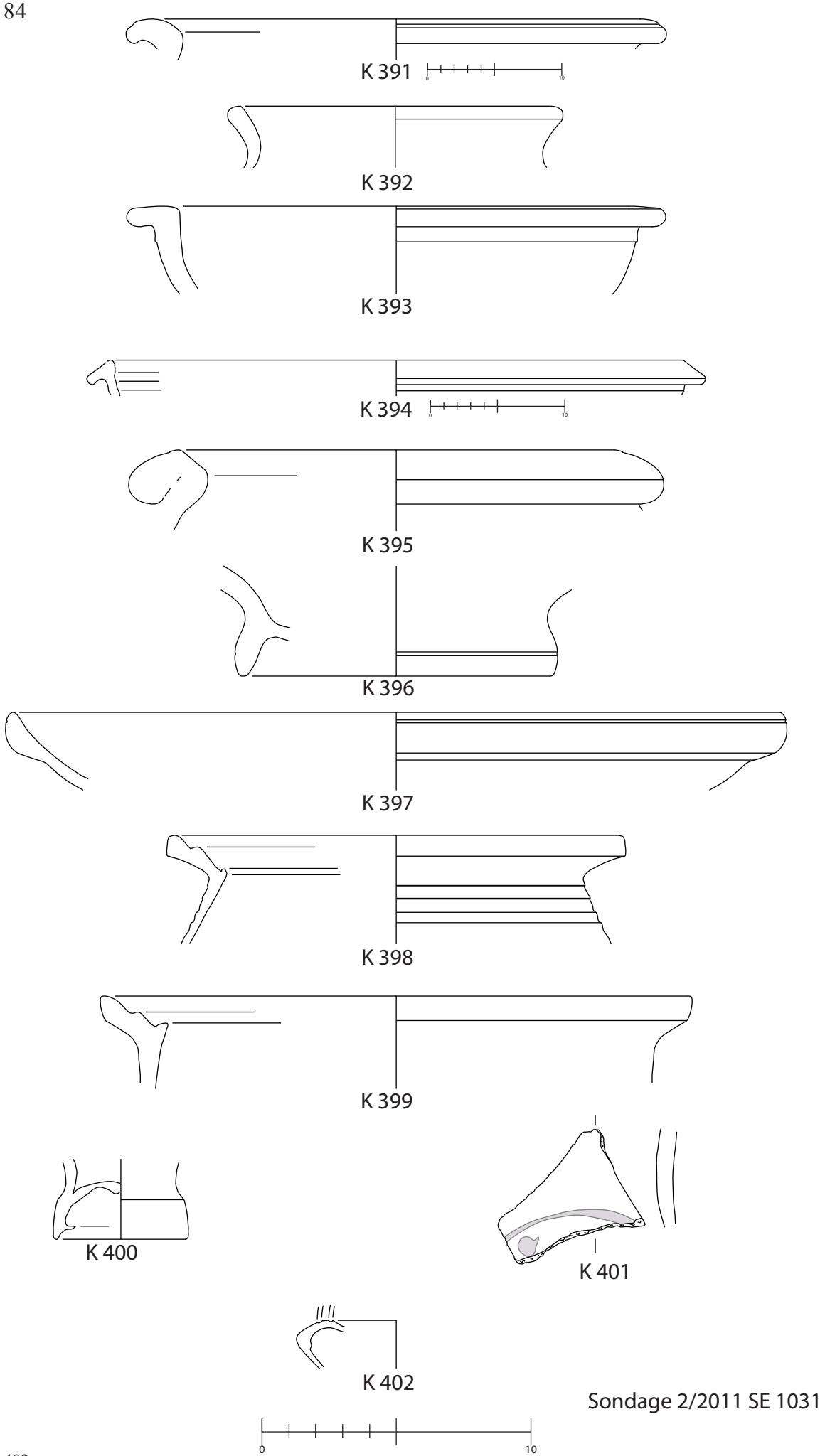


Sondage 2/2011 SE 1031

K 391–K 402

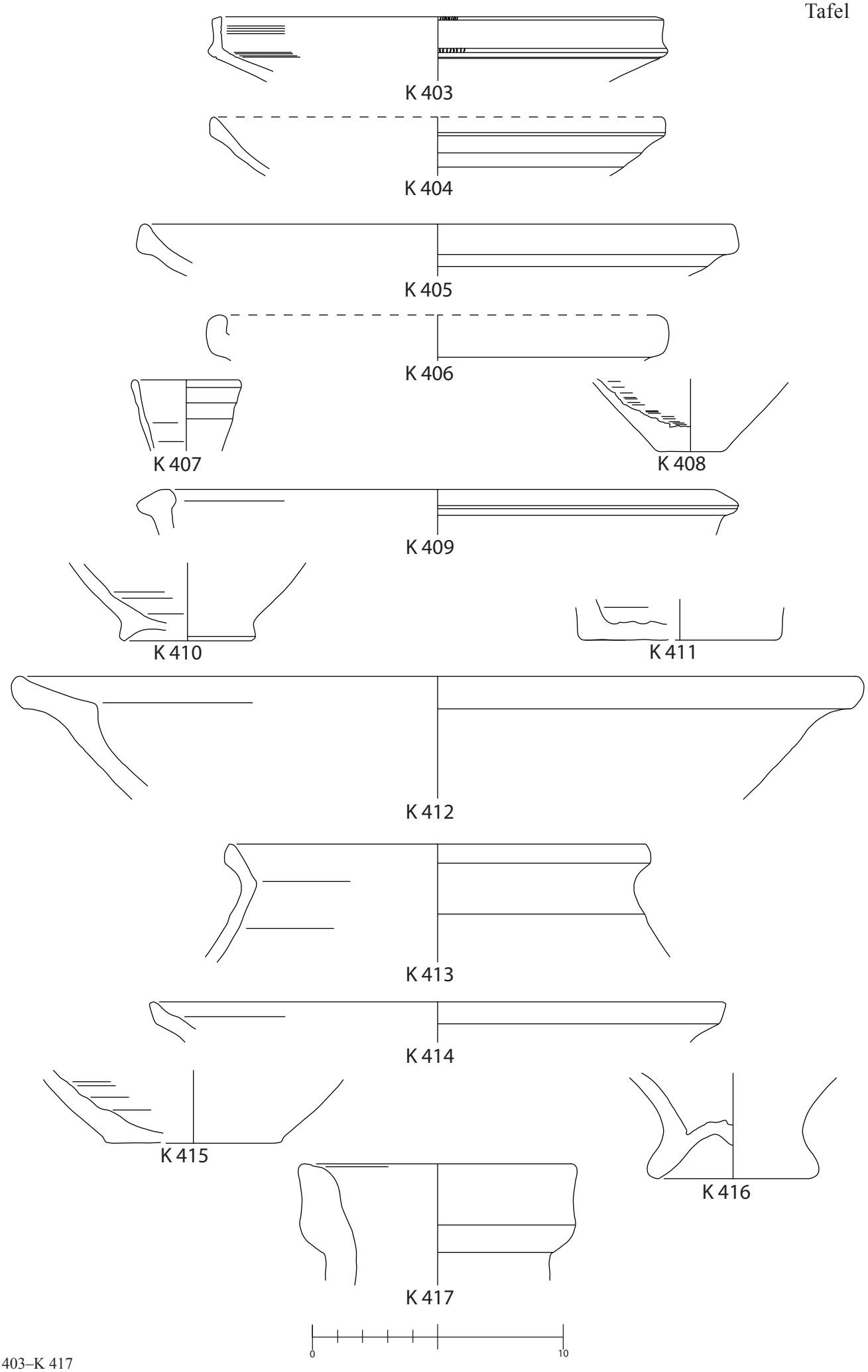
K 403
K 404
K 405
K 406
K 407
K 408
K 409
K 410
K 411
K 412
K 413
K 414
K 415
K 416
K 417
0
10

K 403–K 417

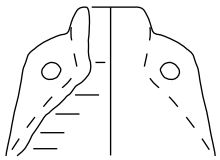

K 418

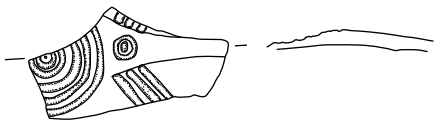

K 419

Sondage 2/2011 SE 1028

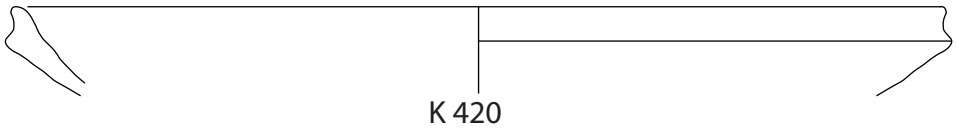

K 420

K 421

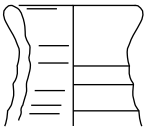

K 422

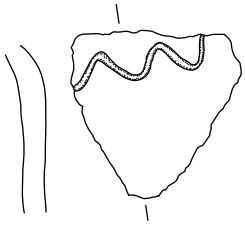

K 424

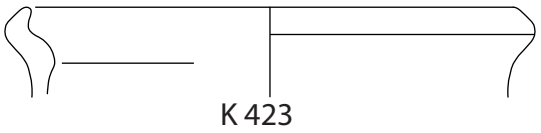

K 423

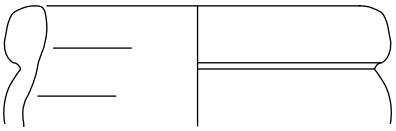

K 425

Sondage 3/2011 SE 1152

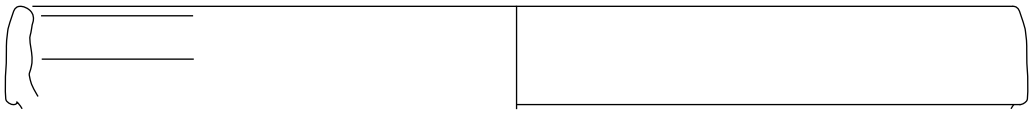

K 426

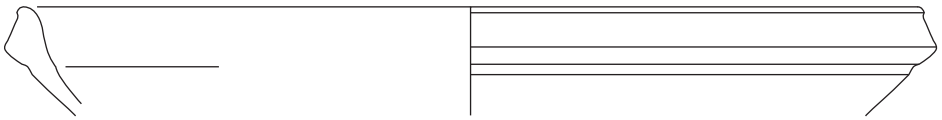

K 427

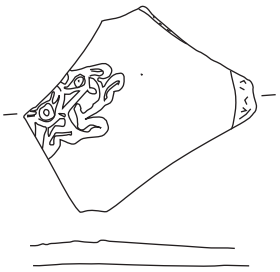

K 428

K 429

K 430

K 431

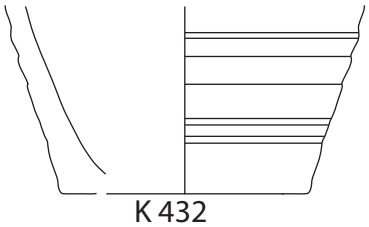

K 432

K 418–K 432

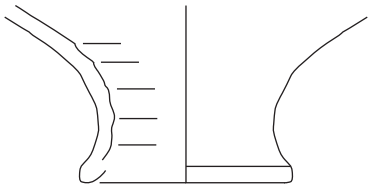

K 433

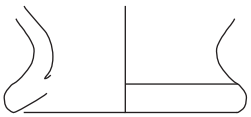

K 434

K 435

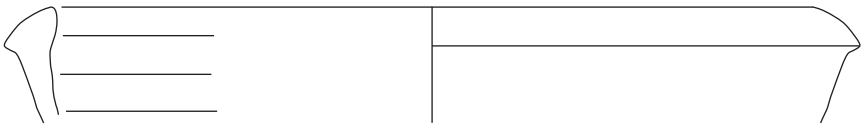

K 436

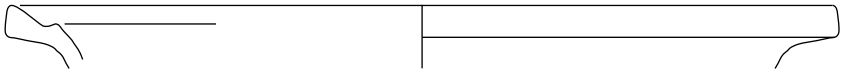

K 437

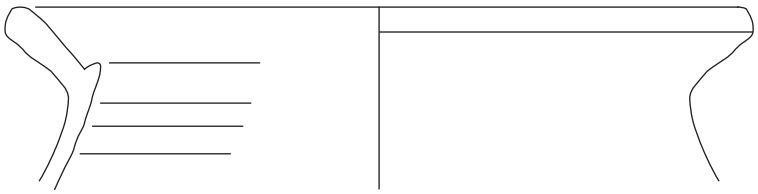

K 438

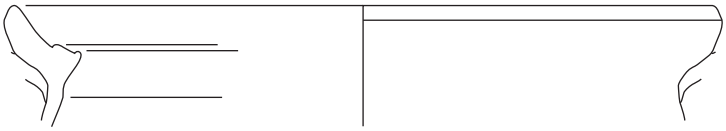

K 439

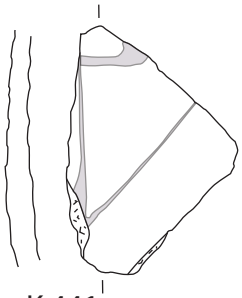

K 441

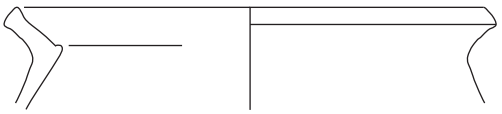

K 440

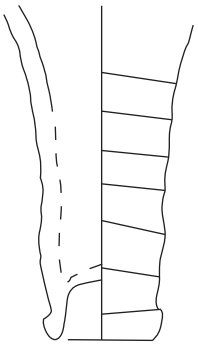

K 442

Sondage 3/2011 SE 1151 und 1148

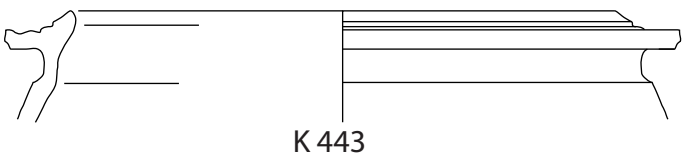

K 443

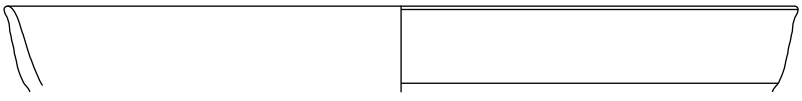

K 444

K 433–K 444

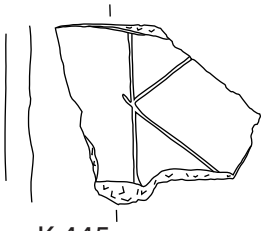

K 445

Sondage 4/2010-2011 SE 842

K 446

Sondage 4/2010-2011 SE 841

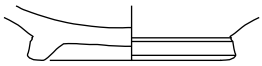

K 447

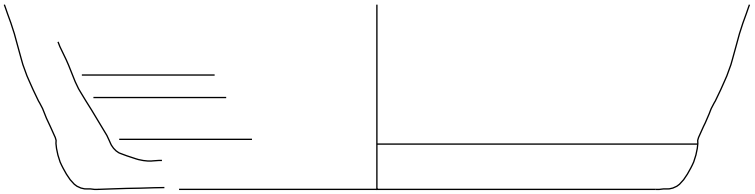

K 448

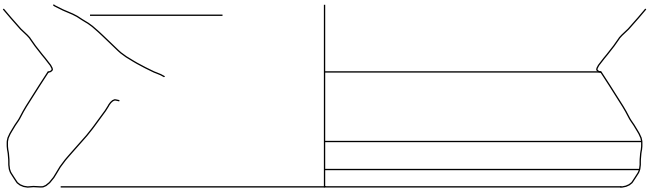

K 449

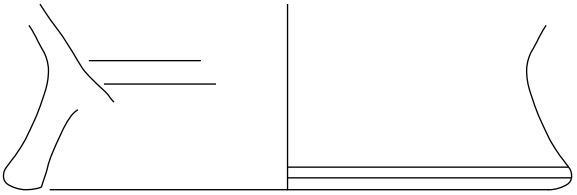

K 450

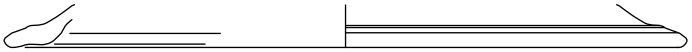

K 451

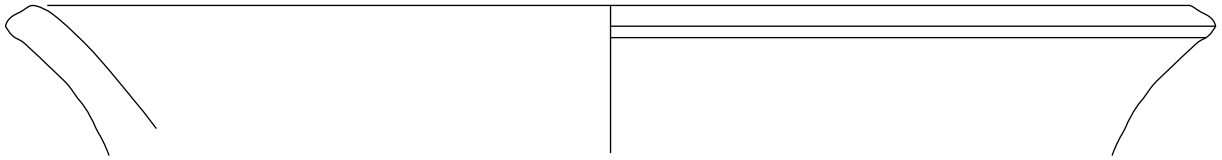

K 452

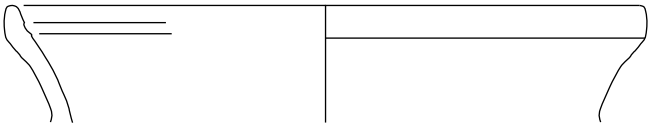

K 453

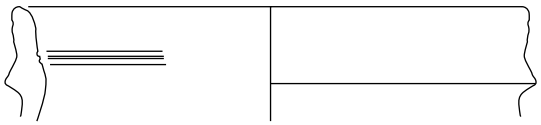

K 454

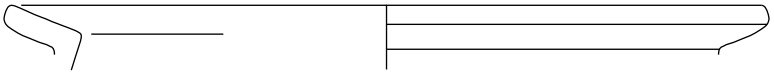

K 455

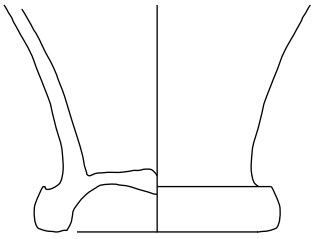

K 456

K 457

Sondage 4/2010-2011 SE 840

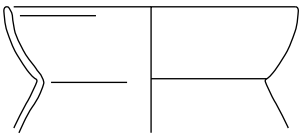

K 458

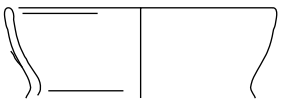

K 459

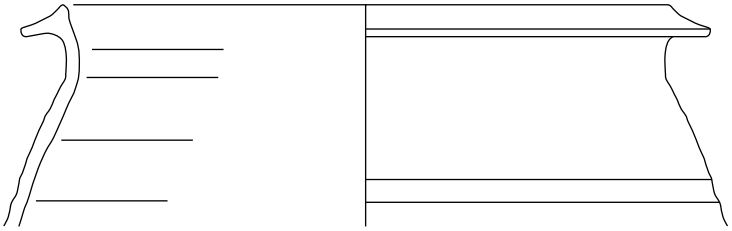

K 460

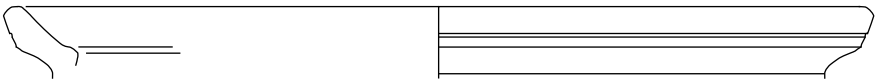

K 461

Sondage 4/2010-2011 SE 839

K 66

K 205

K 312

K 456–K 461. K 66. K 205. K 312

K 95

K 146

K 96

K 375

K 111

K 208

K 15

K 214

K. 15. K 95. K 96. K 111. K 146. K 208. K 214. K 375

K 158

K 188

K 158. K 188

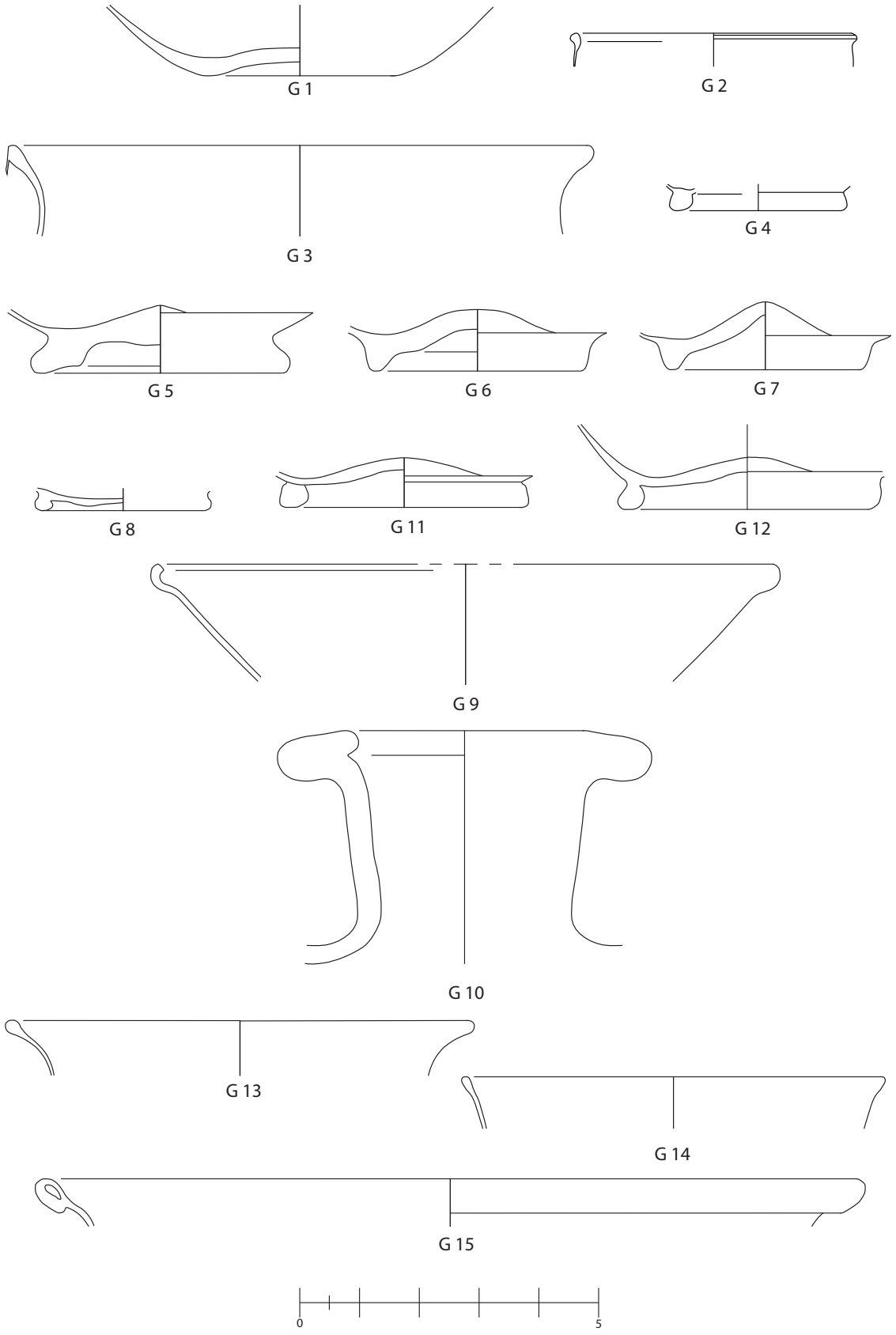


G 1–G 15

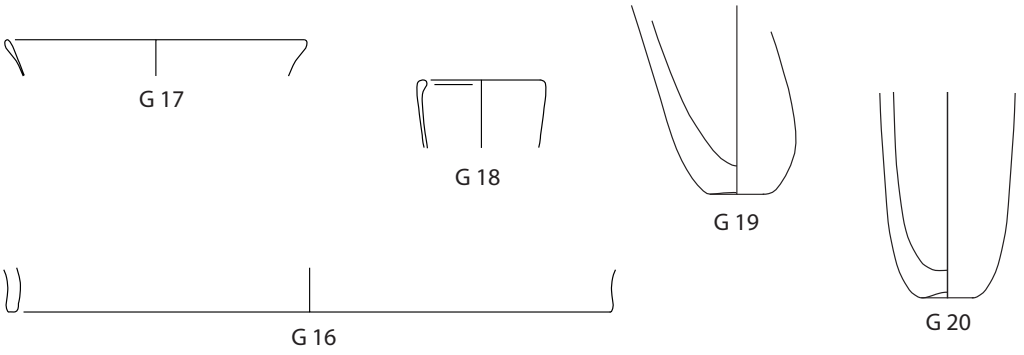


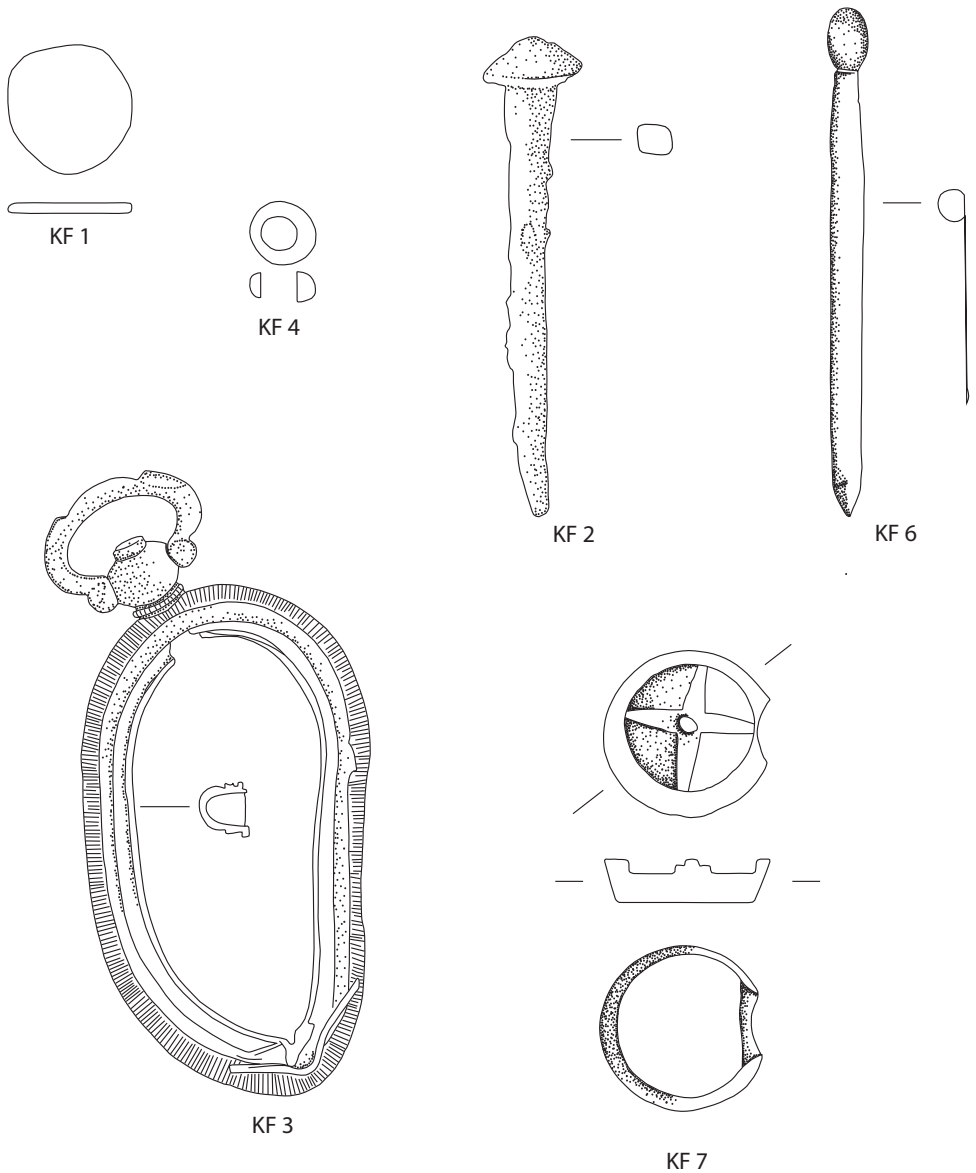


G 17–G 20. KF 1–KF 7

G 10

KF 3

KF 5

KF 7

G 10. KF 3. KF 5. KF 7

1 I 1

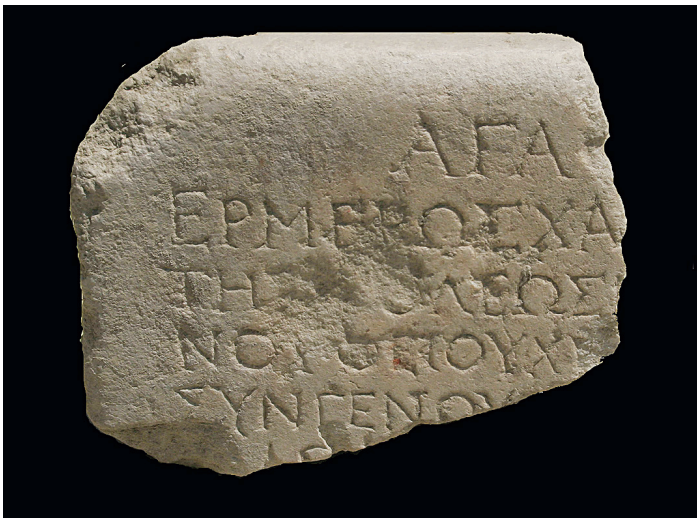

2 I 2

3 I 3

4 I 4

5 I 5

6 I 6

I 1. I 2. I 3. I 4. I 5. I 6

1 I 7

2–3 I 8

4 Sondage 5/2010: linker Ellenknochen eines Hundes mit Zerlegungsspuren

5 Sondage 2/2011: Rinderknochen mit Zerlegungsschnitten

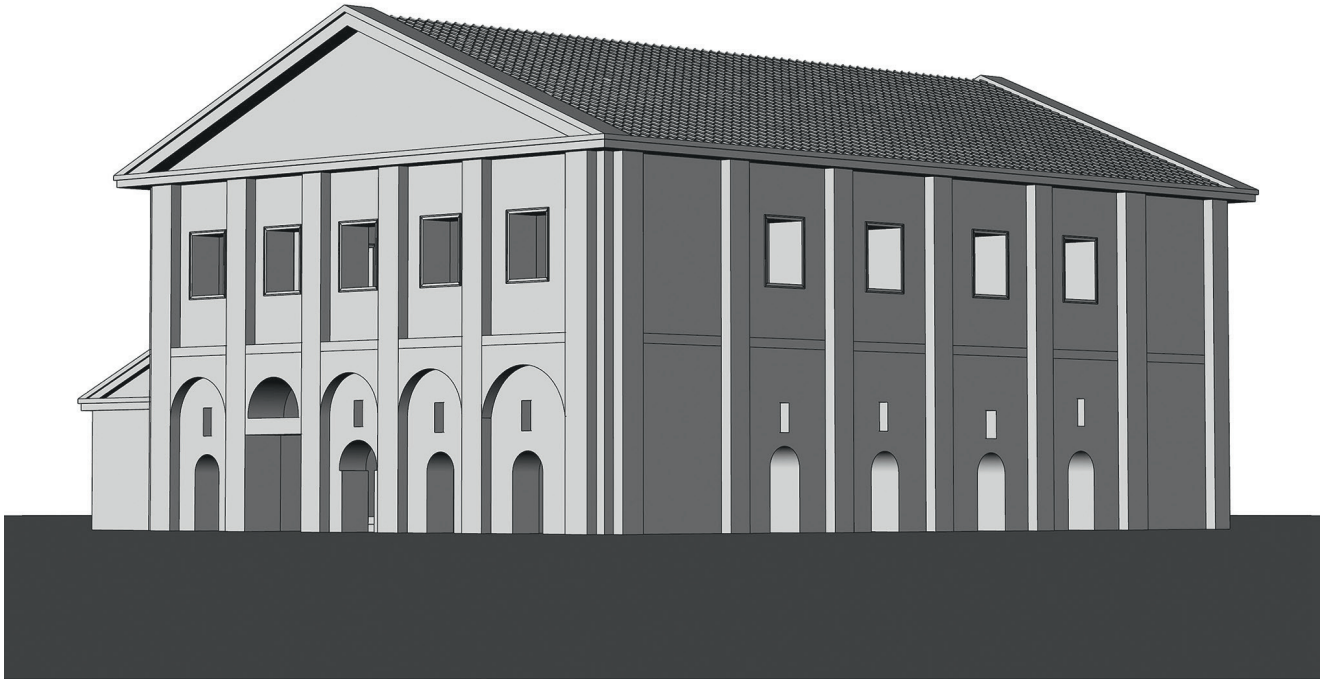

1 Odeion im Artemision, 3-D-Rekonstruktion: Nord- und Westfassade

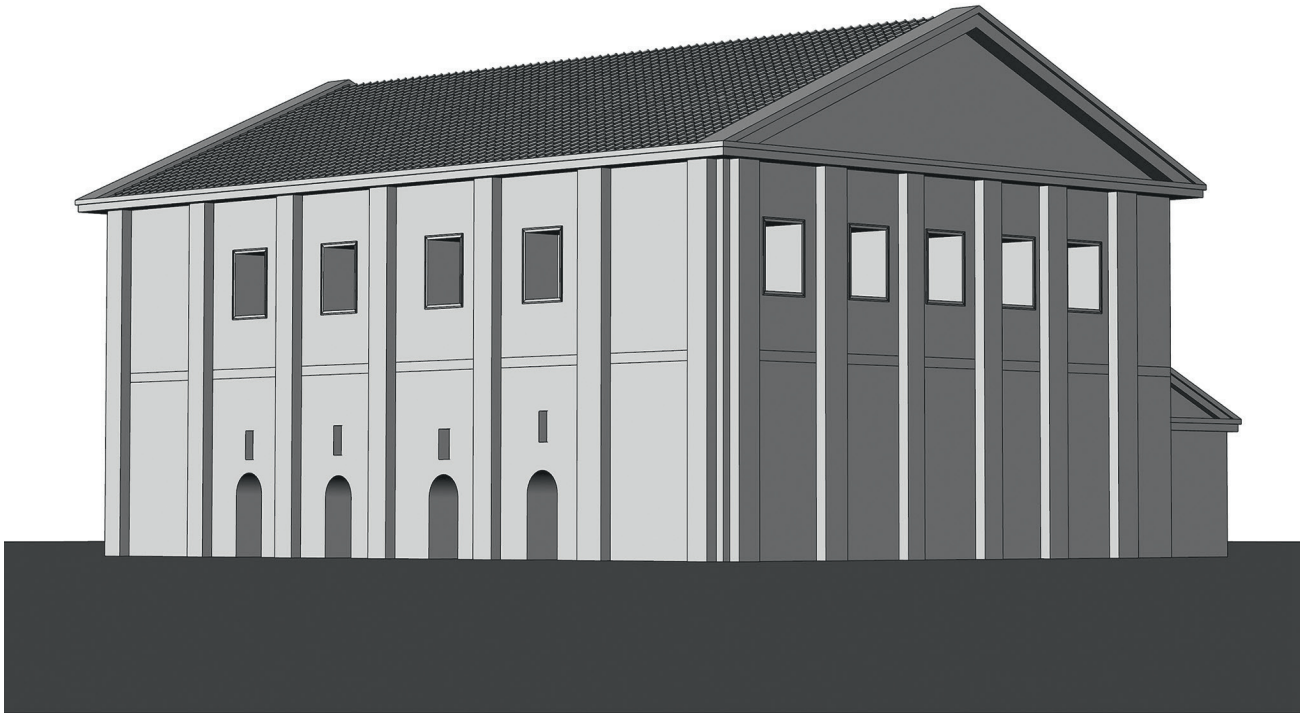

2 Odeion im Artemision, 3-D-Rekonstruktion: West- und Südfassade

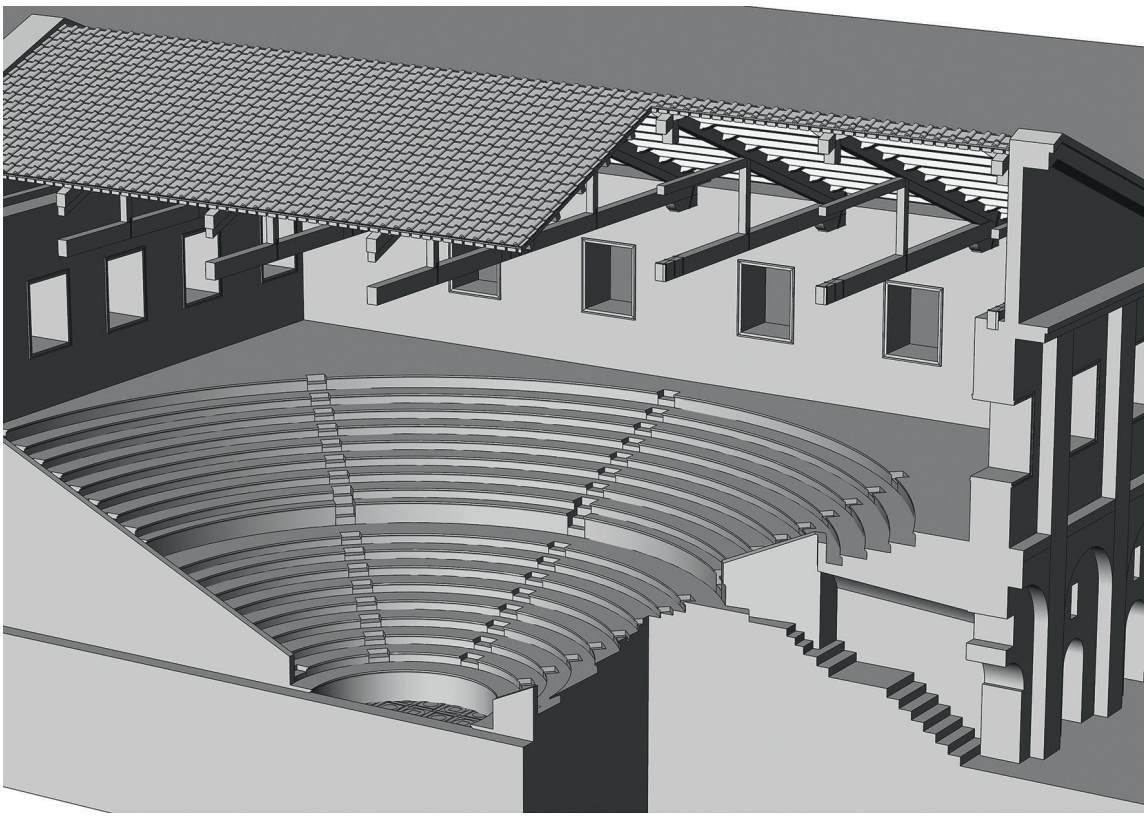

1 Odeion im Artemision, 3-D-Rekonstruktion: Innenansicht, Längsschnitt

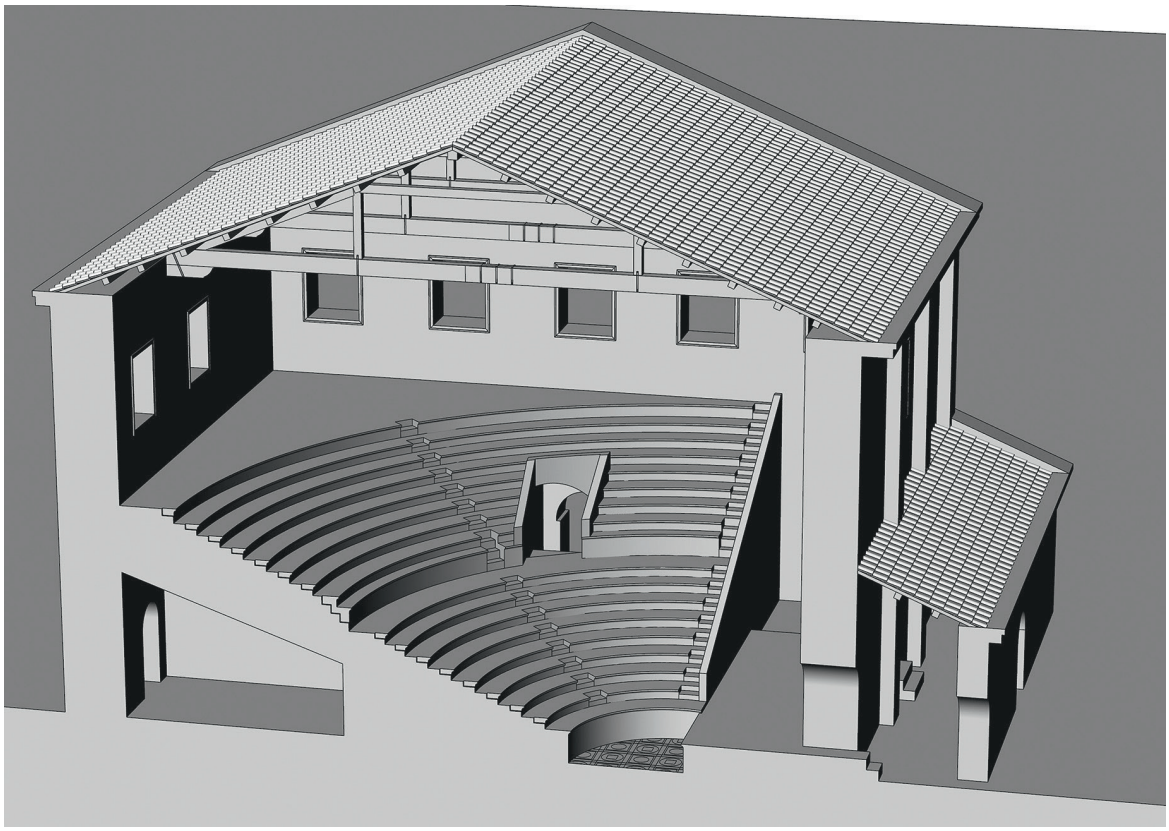

2 Odeion im Artemision, 3-D-Rekonstruktion: Innenansicht, Querschnitt

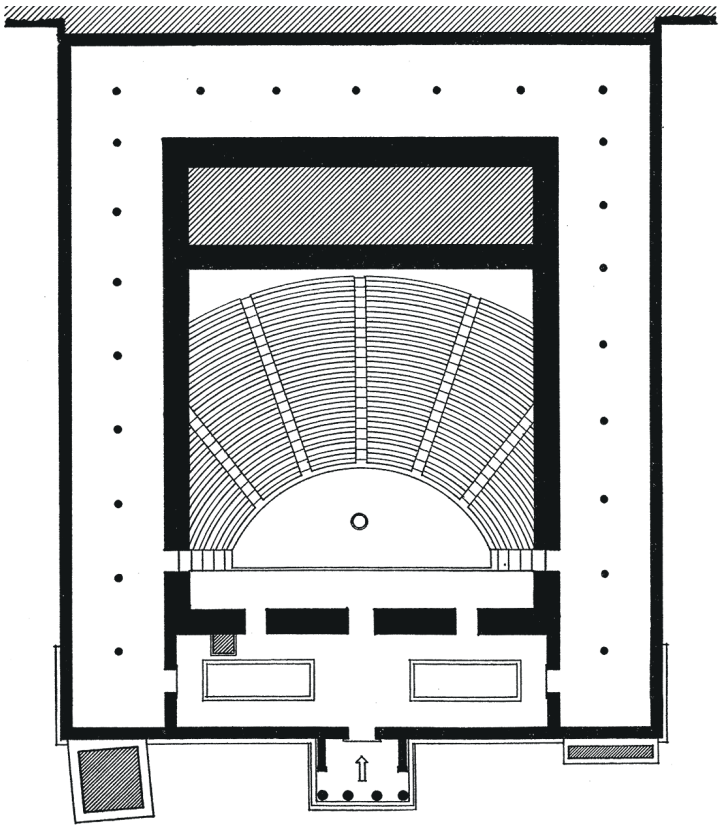

1

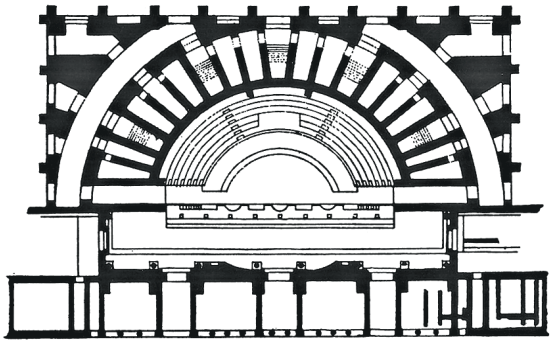

2

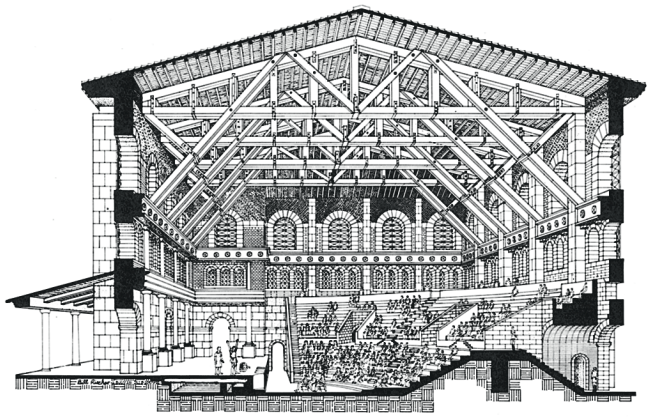

3

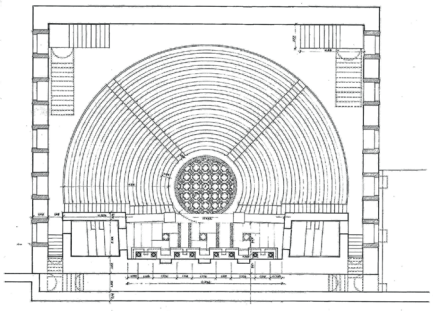

4

Grundrissübersicht: 1. Athener Agora, augusteisches Odeion des Agrippa – 2. Aosta, augusteisches Odeion. Grundriss – 3. Aosta, augusteisches Odeion. Rekonstruktion – 4. Iasos, Bouleuterion (Ende 1. Jh. n. Chr.)

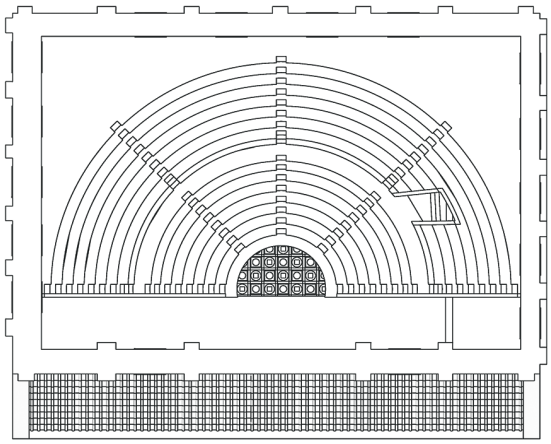

1

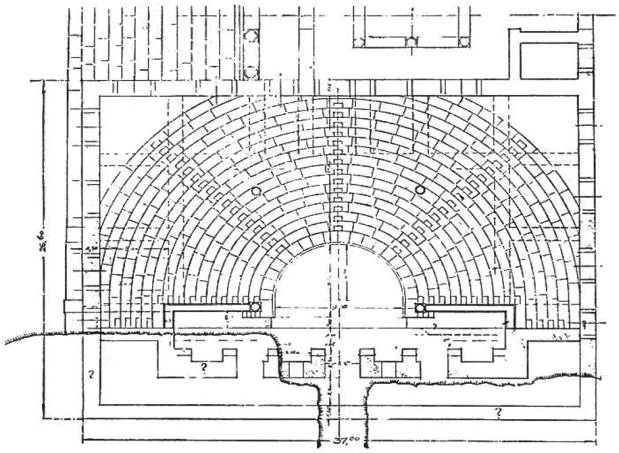

2

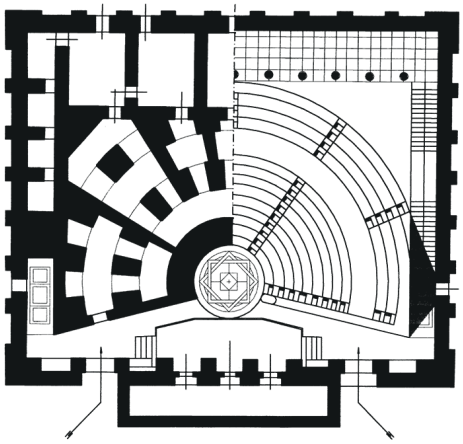

3

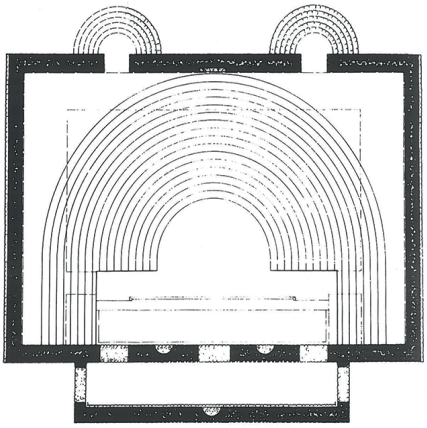

4

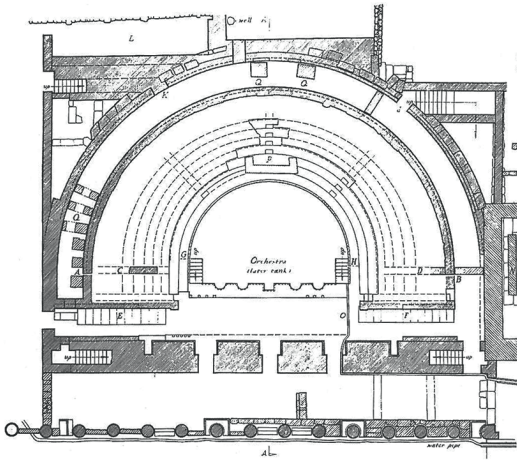

5

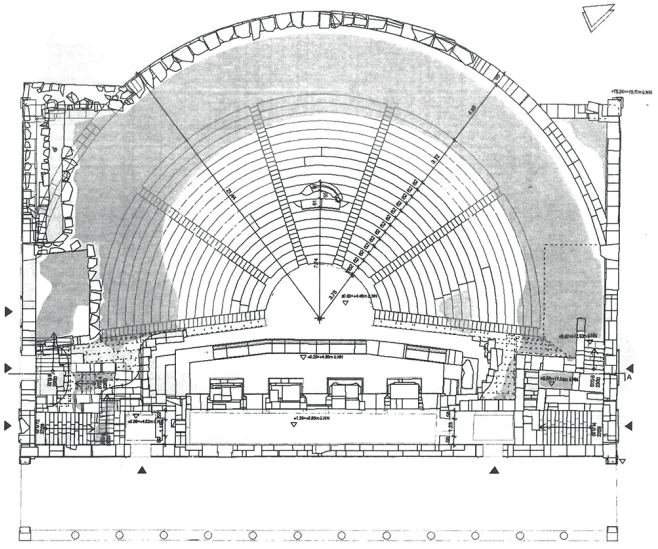

6

Grundrissübersicht: 1. Odeion im Artemision mit hypothetisch rekonstruiertem Bühnengebäude, (2. Hälfte 1. Jh. n. Chr.) – 2. Nikopolis ad Istrum, Odeion (2. Jh. n. Chr.) – 3. Kos, Odeion ( 2. Jh. n. Chr.) – 4. Anemurium, Odeion (2. Hälfte 2. Jh. n. Chr.) – 5. Ptolemaïs (Cyrenaica) (Ende 2. Jh./Anfang 3. Jh. n. Chr.) – 6. Patara, Bouleuterion (2. Jh. n. Chr.)

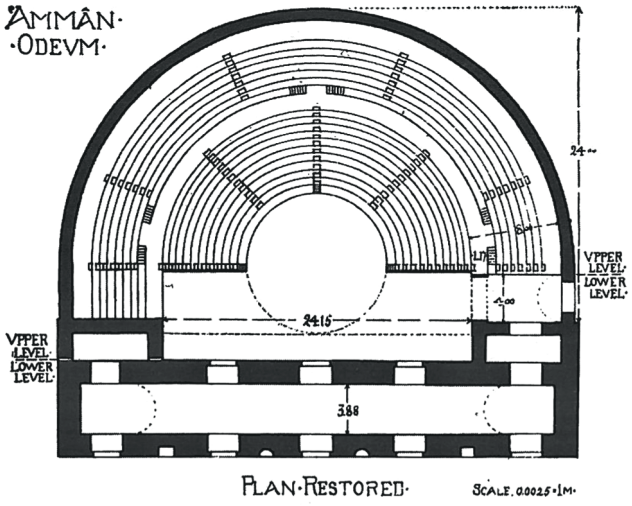


1

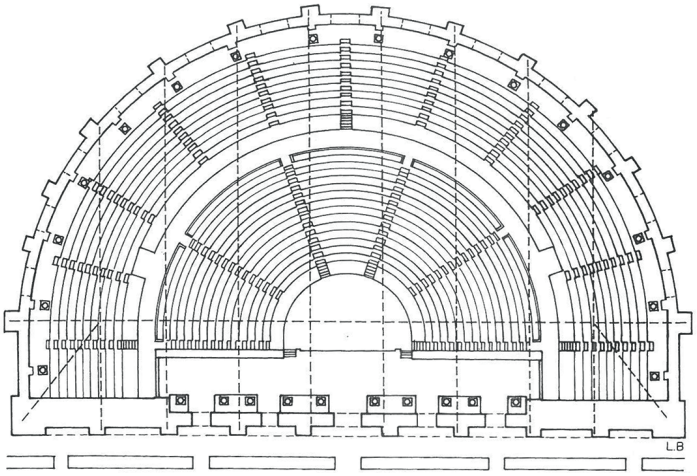


2

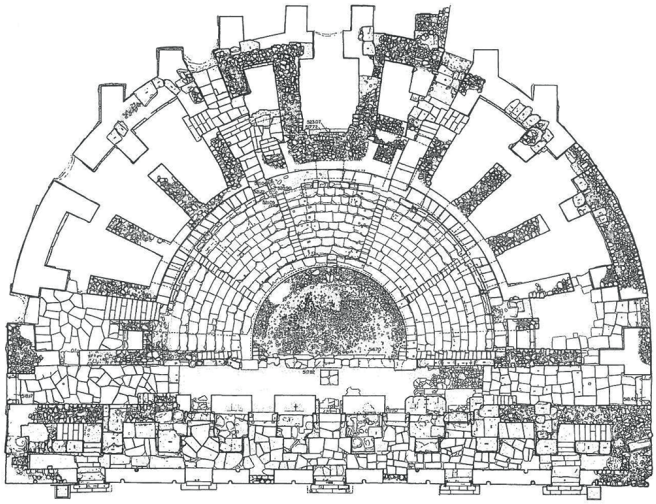

3

Grundrissübersicht: 1. Philadelphia/Amman (2. Jh. n. Chr.) – 2. Ephesos, Bouleuterion am ›Staatsmarkt‹ (2. Jh. n. Chr.) – 3. Aphrodisias, Bouleuterion (2. Jh. n. Chr.)

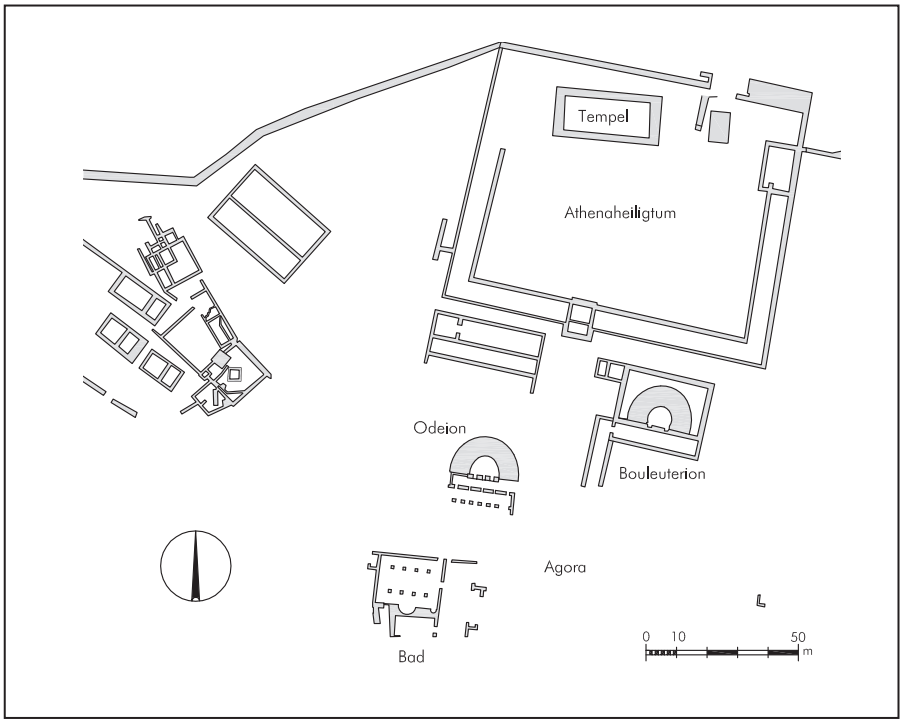


1

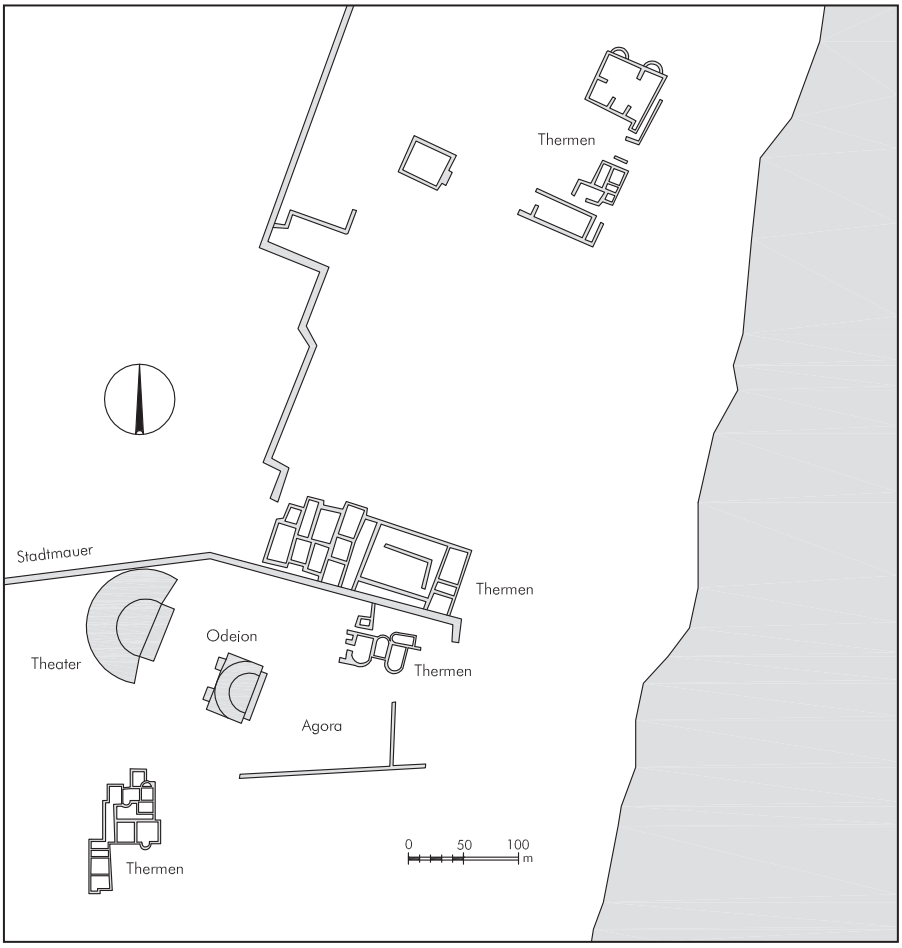


2

Lageplan der öffentlichen Gebäude in der römischen Kaiserzeit: 1. Troja – 2. Anemurium

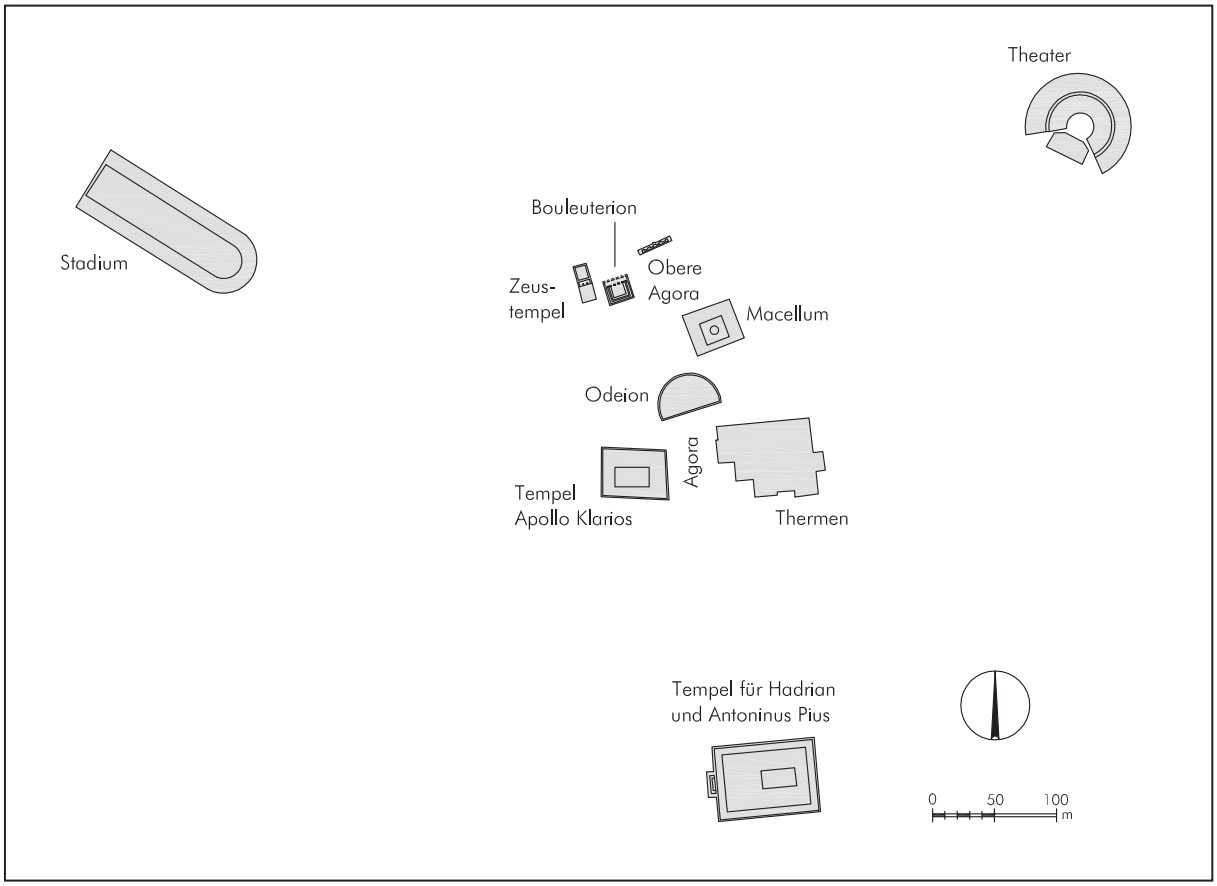


1

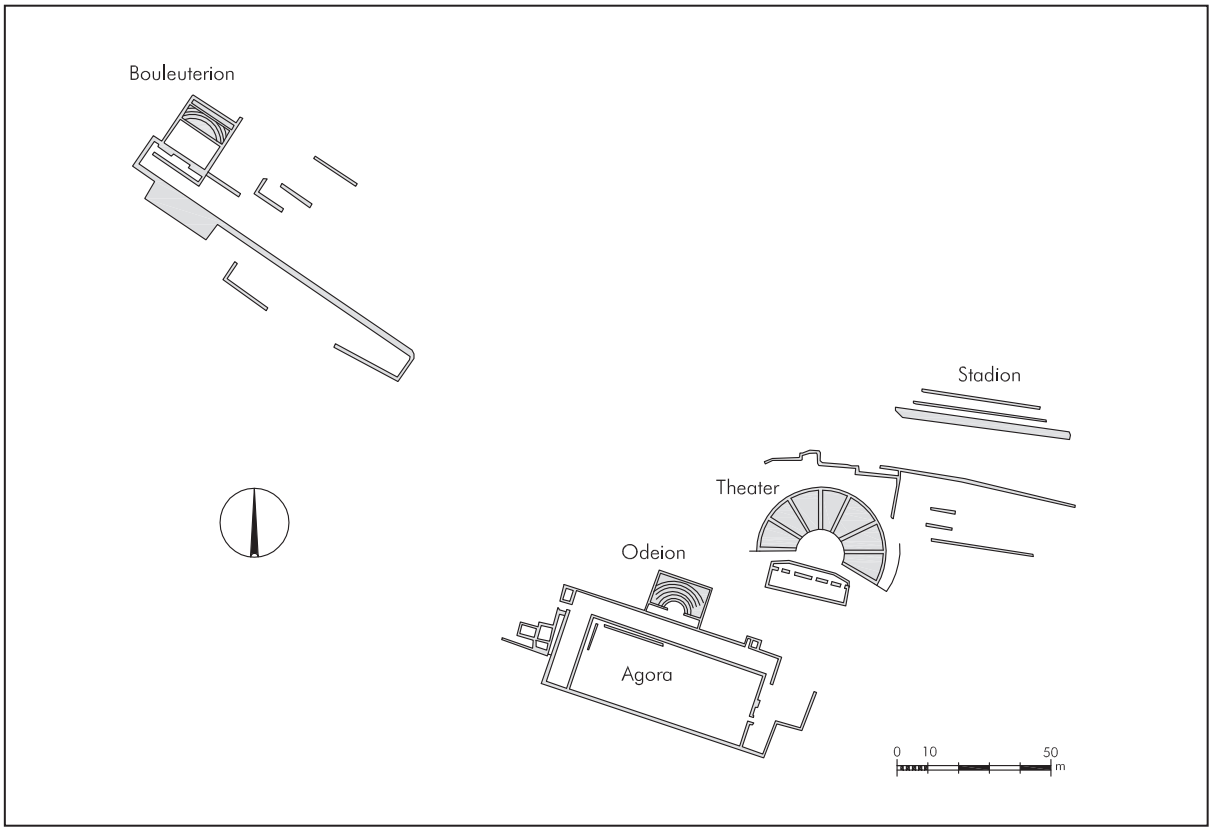


2

Lageplan der öffentlichen Gebäude in der römischen Kaiserzeit: 1. Sagallasos – 2. Arykanda

1 Kammer 1 vor partiellem Einsturz (2009), Blick nach Westen

2 Kammer 1: bestehende Schäden im Inneren (2009)

3–4 Kammer 1: provisorische Sicherung (Juni 2011)

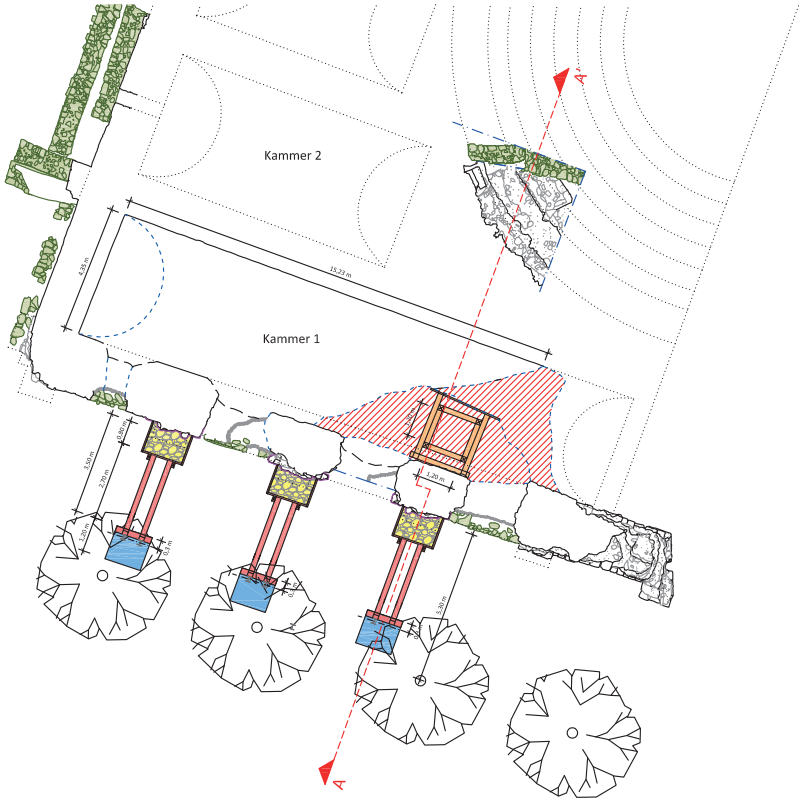


1 Durchgeführte und geplante provisorische Sicherungsmaßnahmen in Kammer 1 sowie an der Südfassade

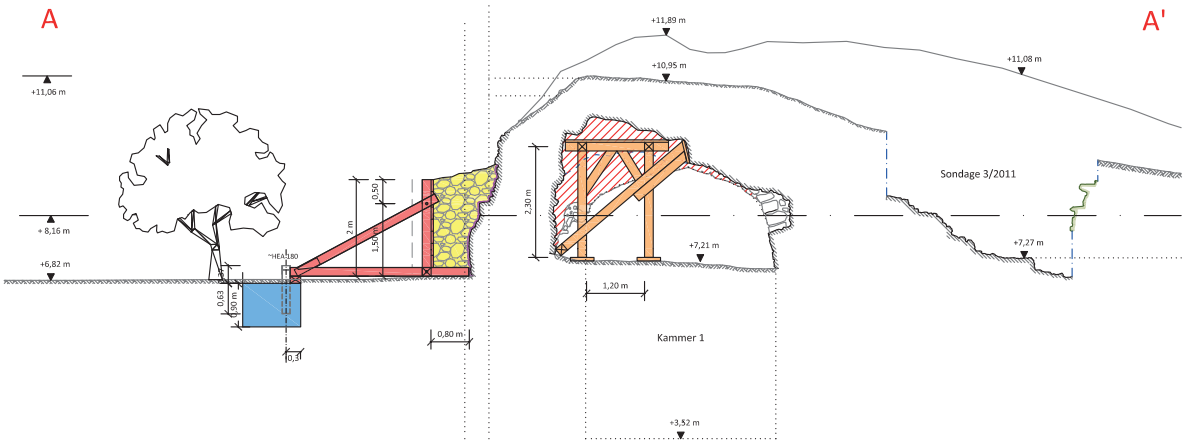


2 Schnitt A-A‘

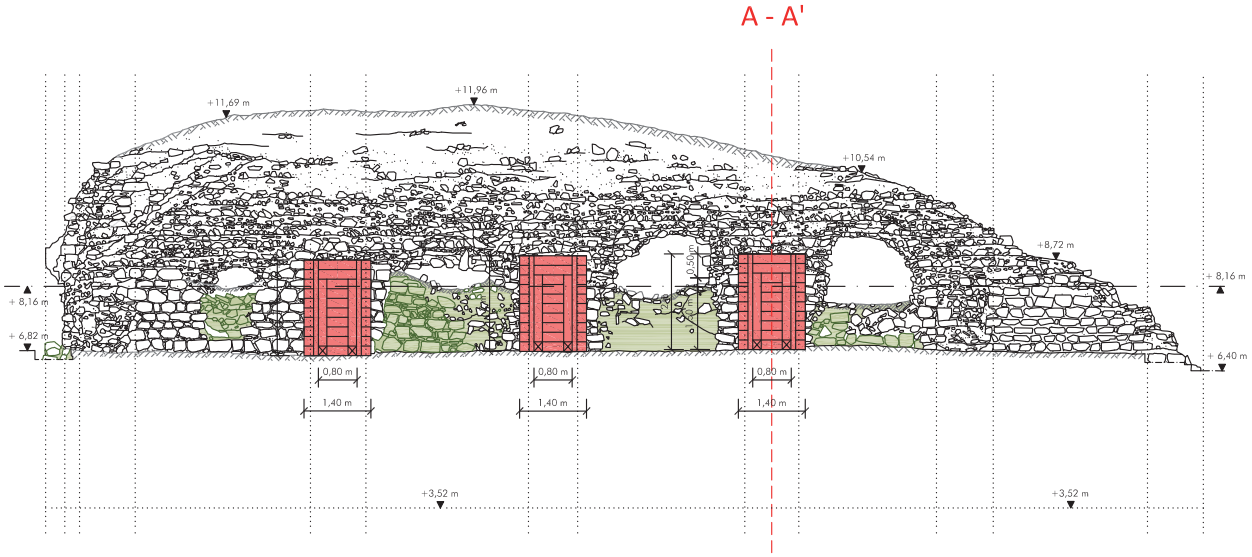


3 Südfassade

# Pläne

## PLANLEGENDE

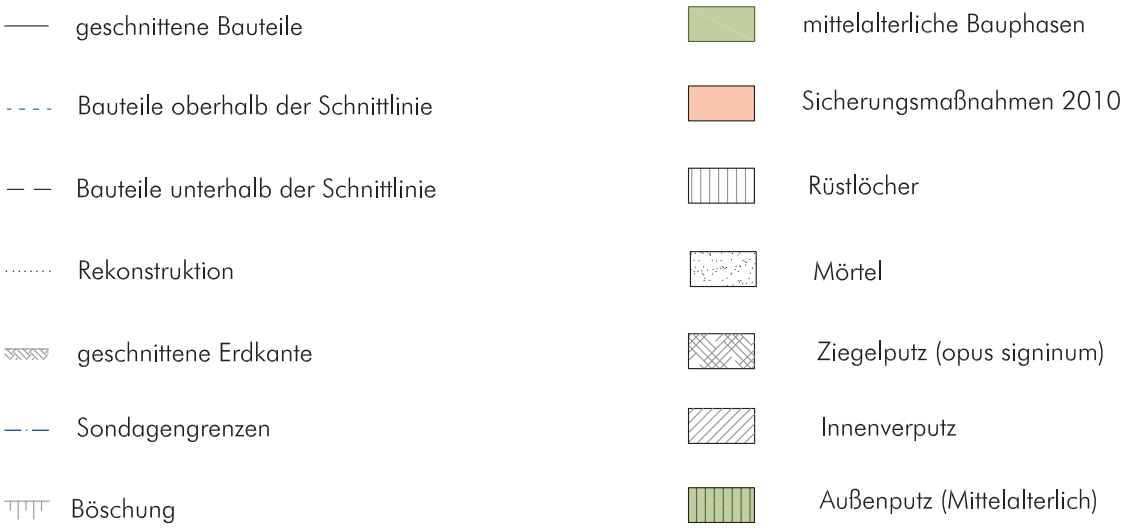

Grundriss des Odeions Bauaufnahme (M. 1 : 200)

Plan 2

Aufsicht Bauaufnahme (M. 1 : 200)

Sondagenplan Grundriss 2009–2011 (M. 1 : 200)

Plan 4

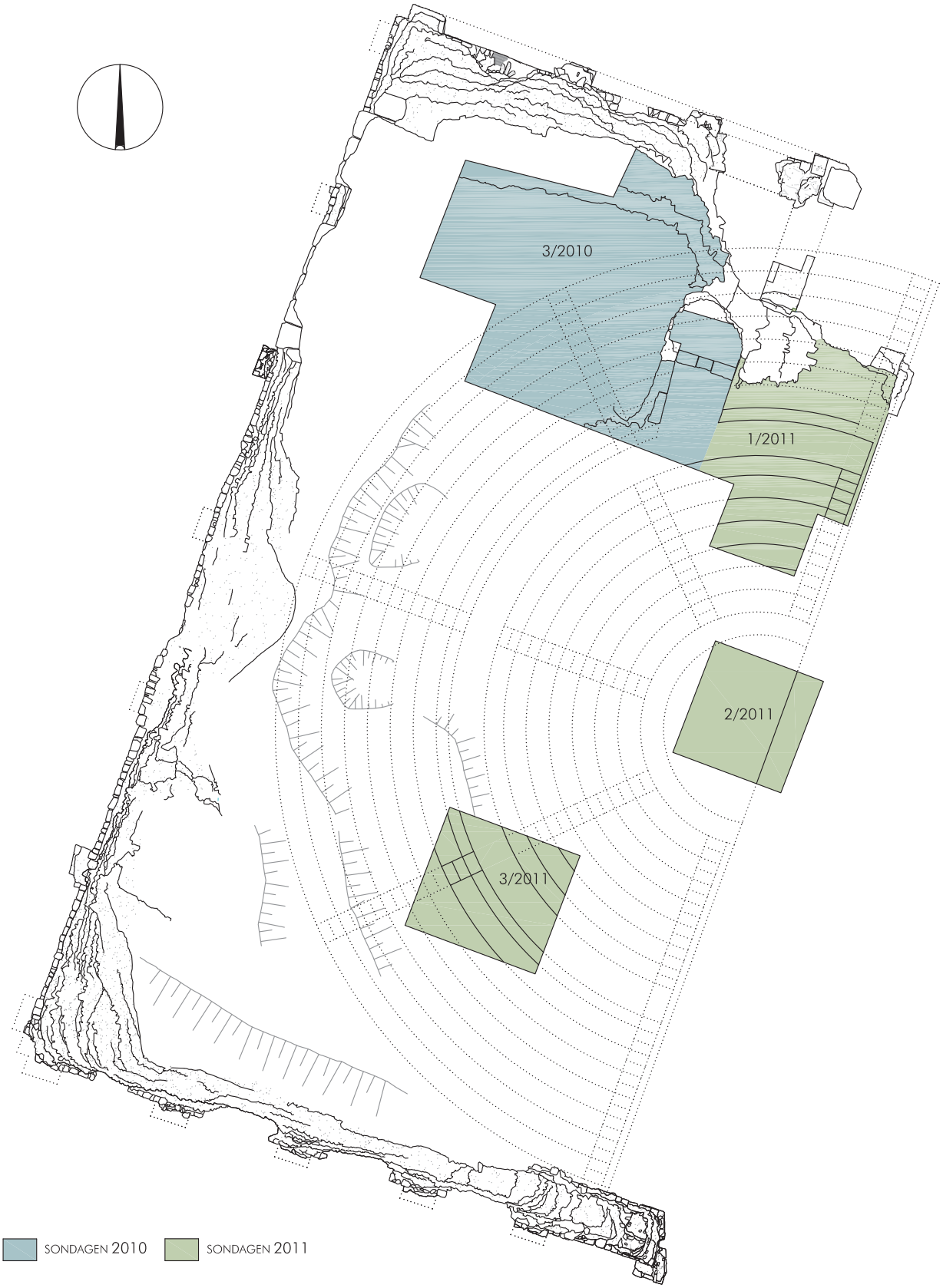


Sondagenplan Aufsicht 2009–2011 (M. 1 : 200)

Schnittlinien (M. 1 : 200)

Schnitt A‘–A nach Süden (M. 1 : 100)

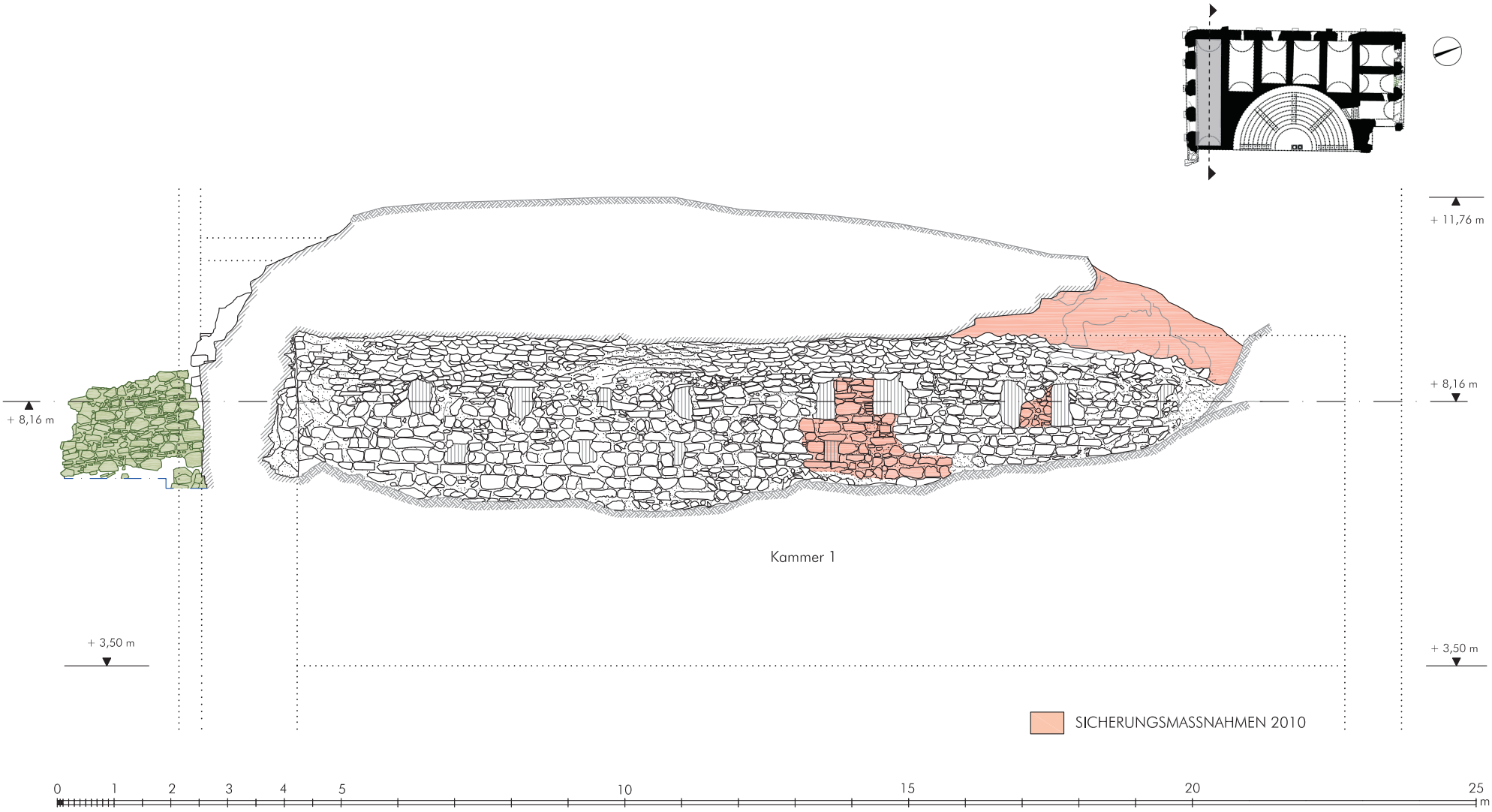


Schnitt A–A‘ nach Norden (M. 1 : 100)

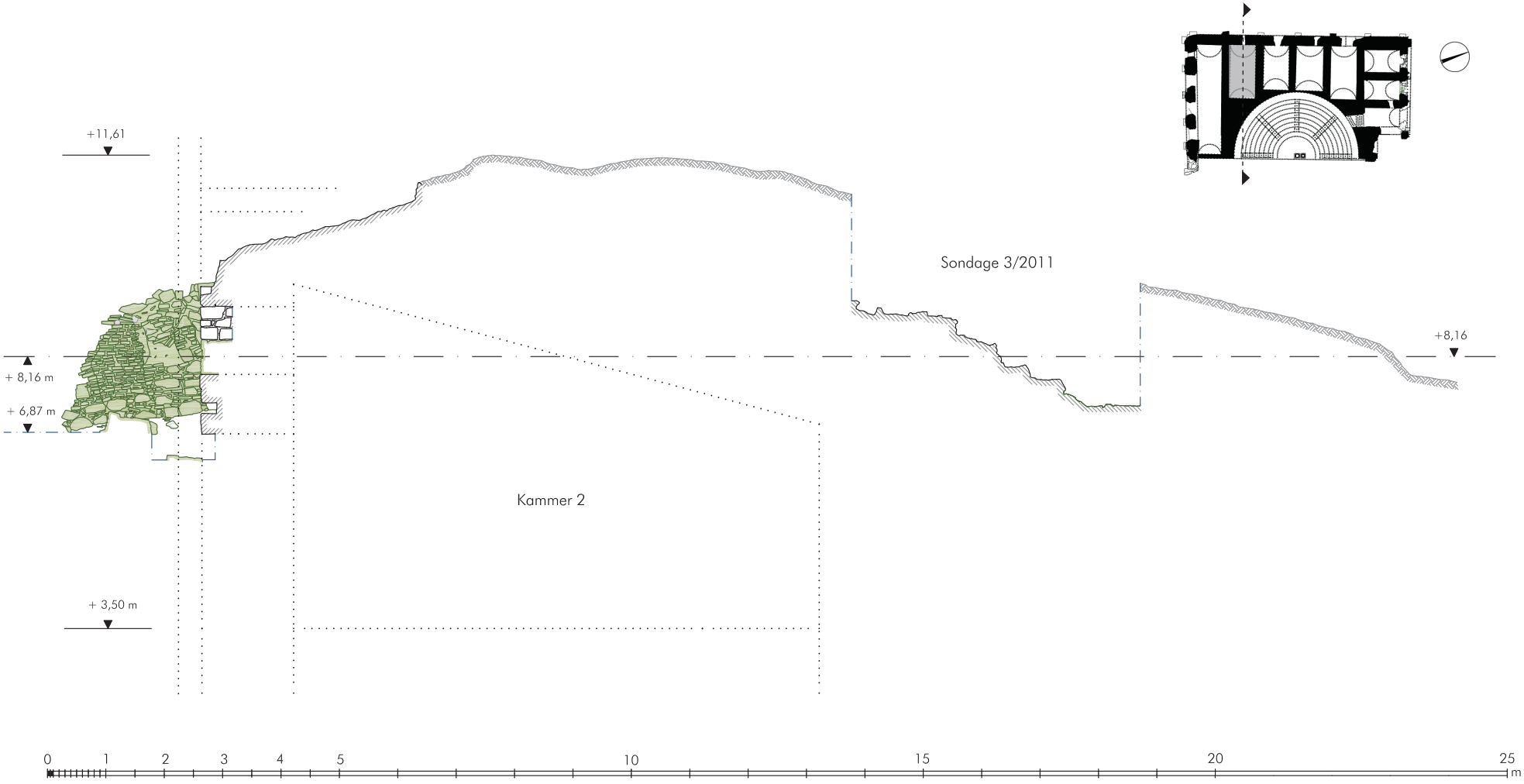


Schnitt B–B‘ nach Norden (M. 1 : 100)

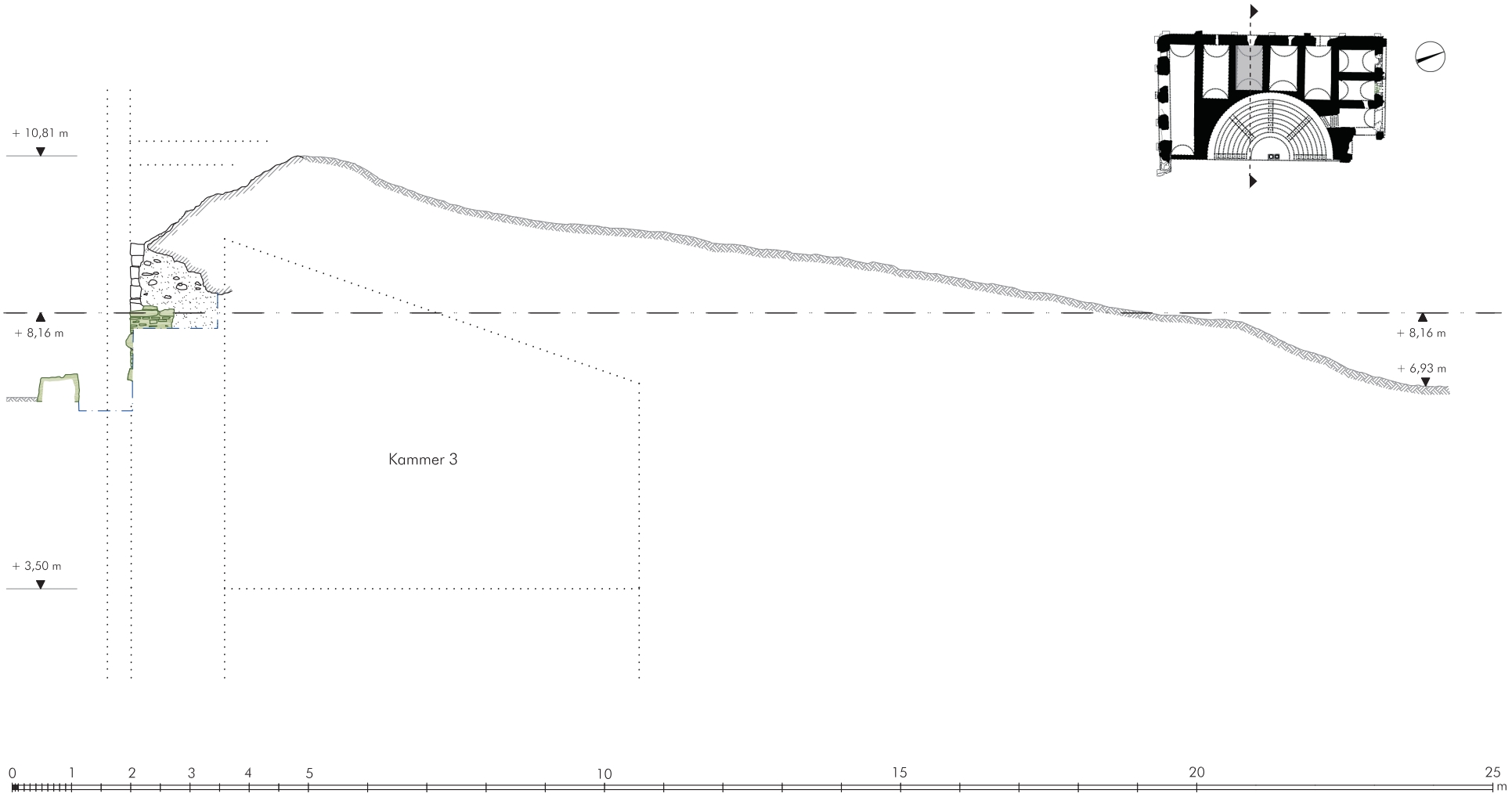


Schnitt C–C‘ nach Norden (M. 1 : 100)

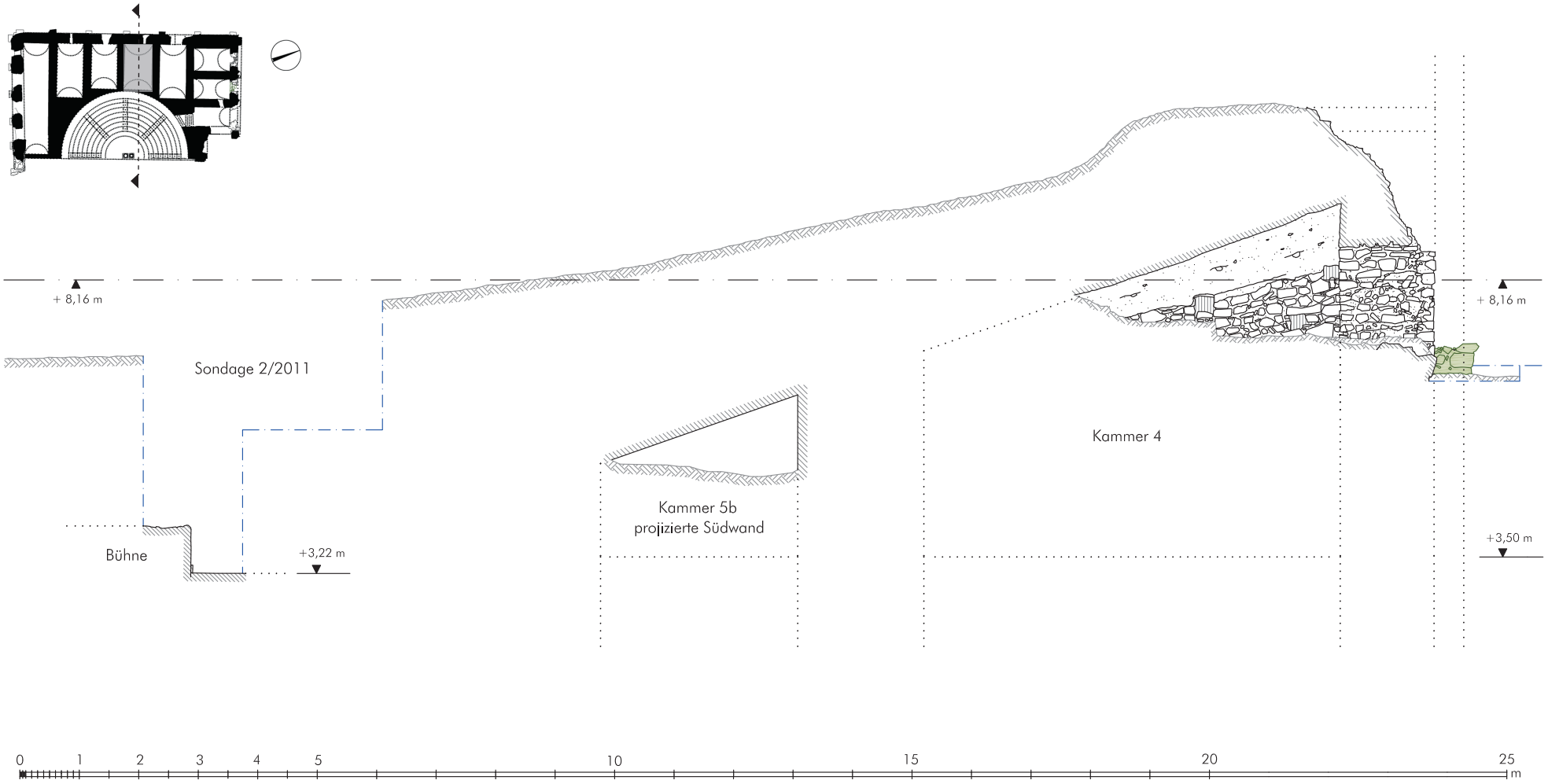


Schnitt D‘–D nach Süden (M. 1 : 100)

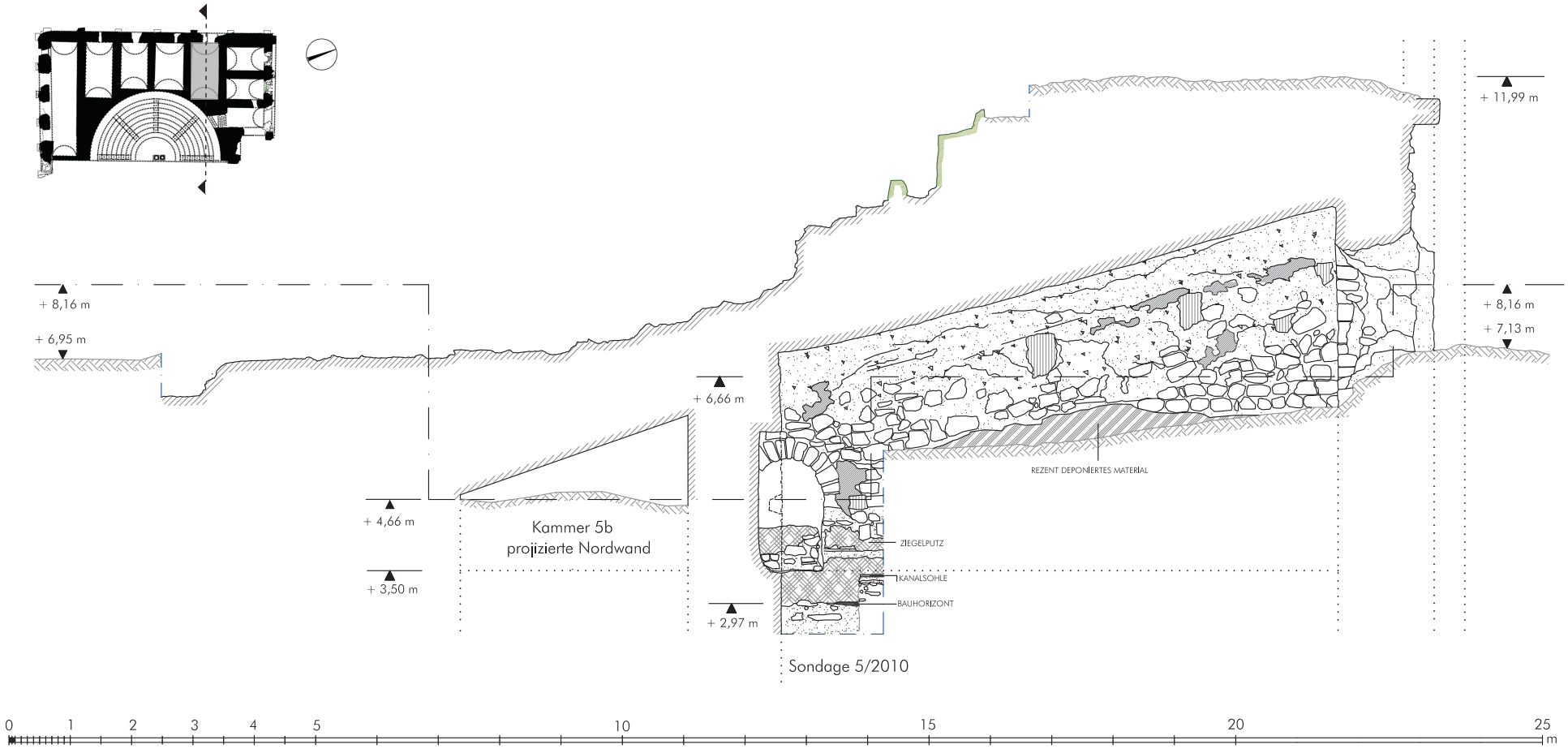


Schnitt E'–E nach Süden (M. 1 : 100)

Plan 11

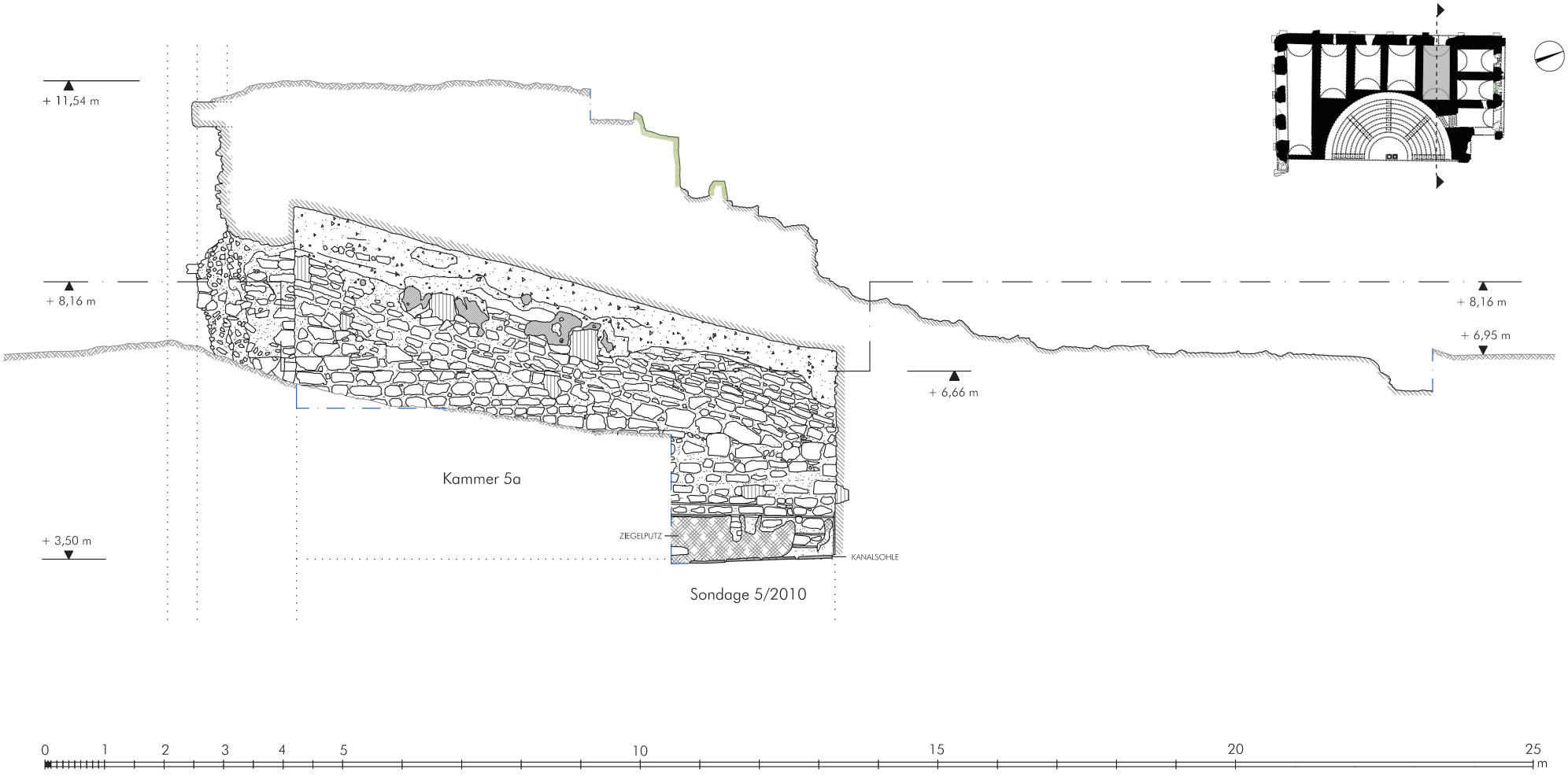


Schnitt E–E‘ nach Norden (M. 1 : 100)

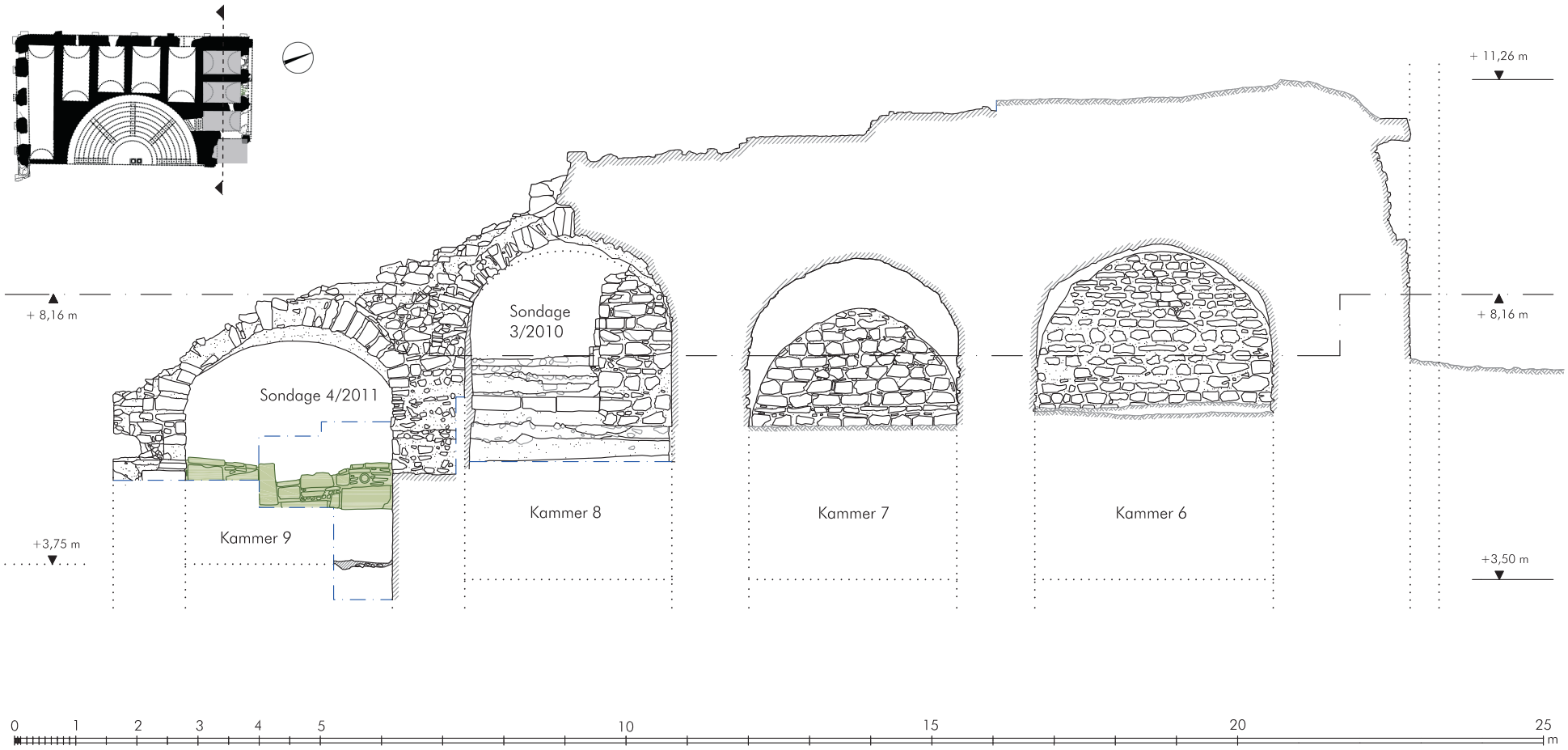


Schnitt F‘–F nach Süden (M. 1 : 100)

Plan 14

Schnitt F–F‘ nach Norden (M. 1 : 100)

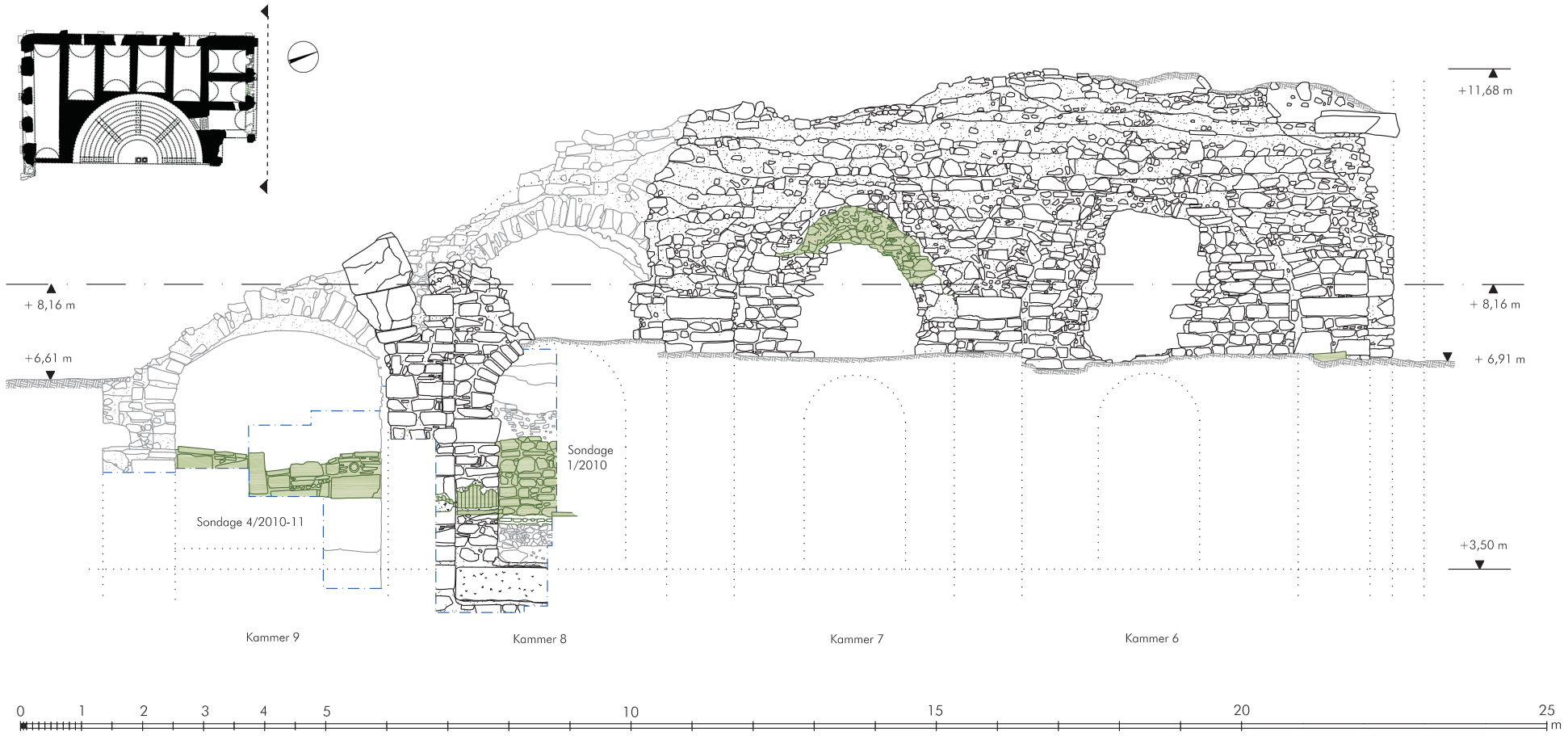


Nordfassade (M. 1 : 100)

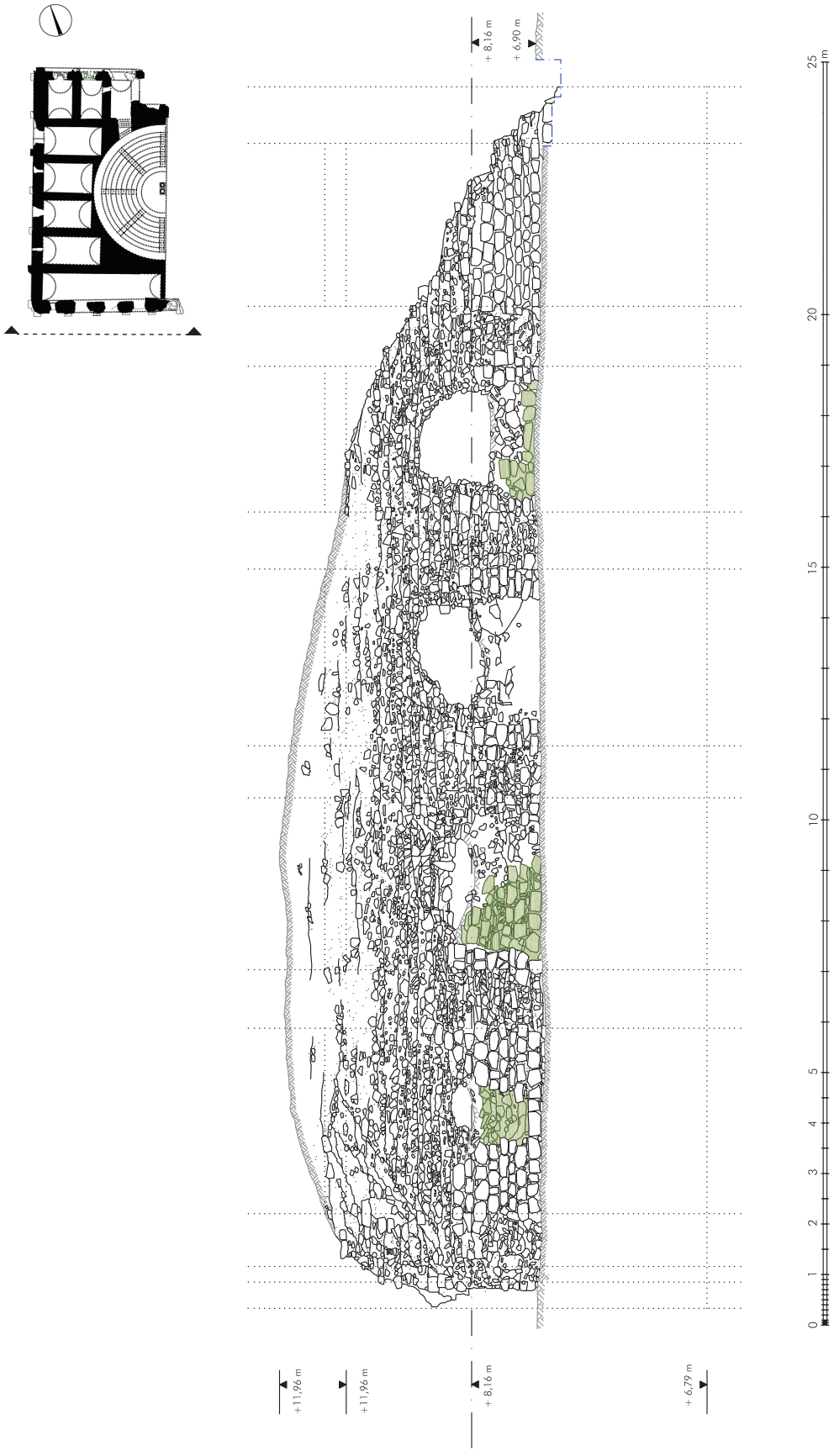


Südfassade (M. 1 : 100)

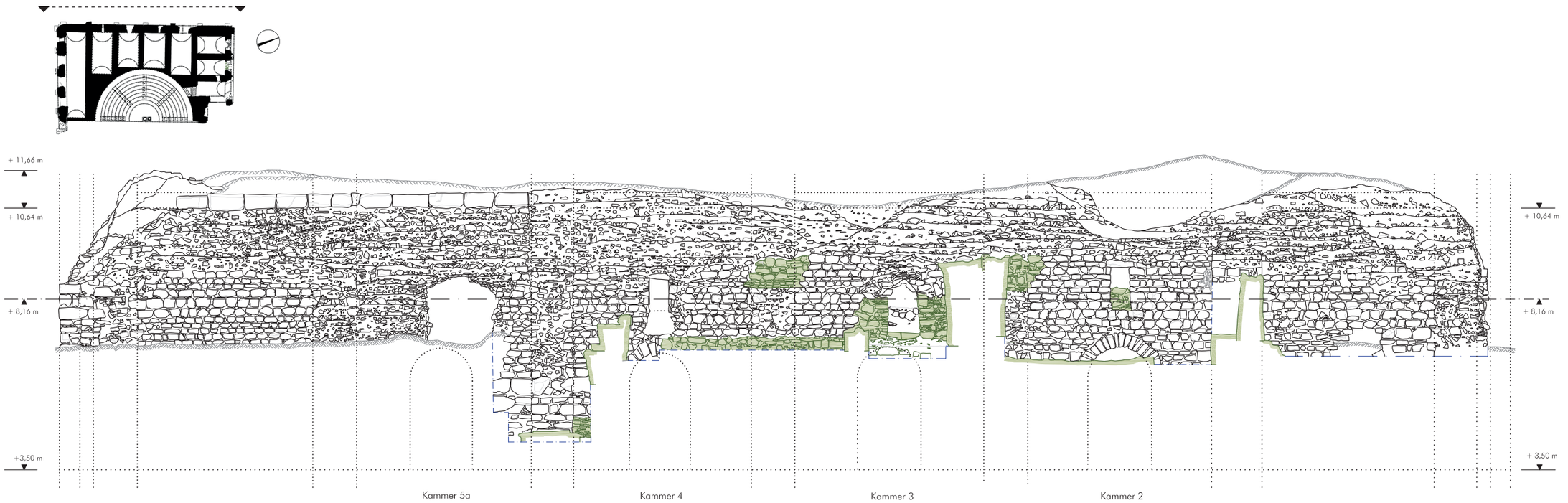


1 Westfassade (M. 1 : 125)

2 Ansicht Westfassade, Blick nach Osten

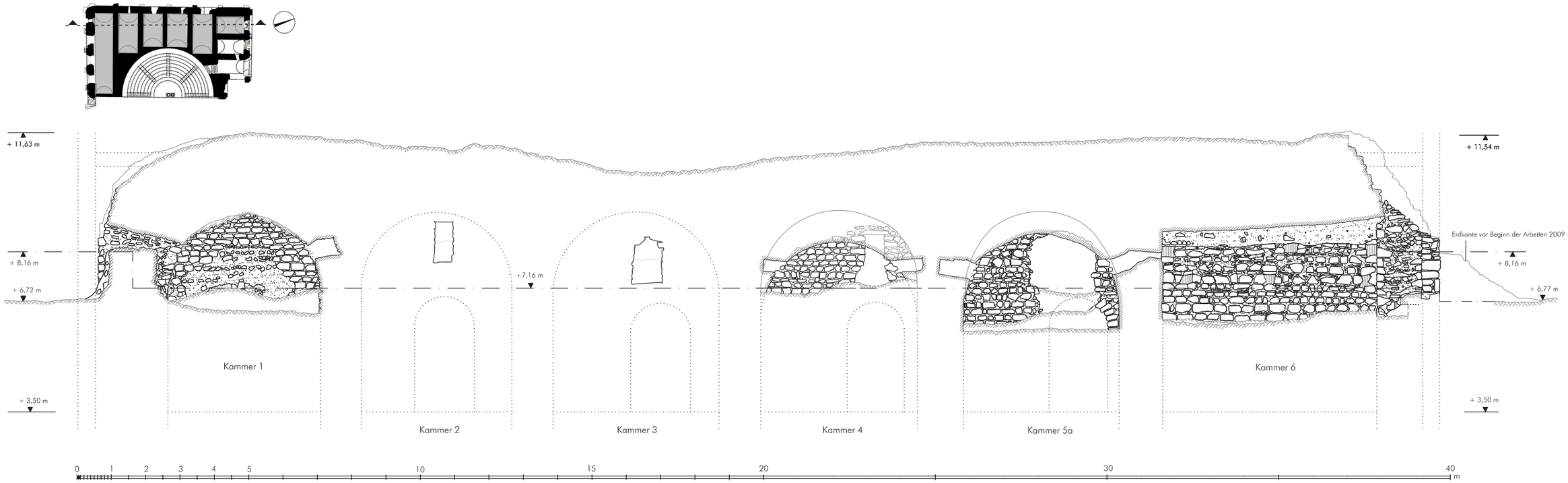


1 Schnitt G‘–G nach Westen (M. 1 : 125)

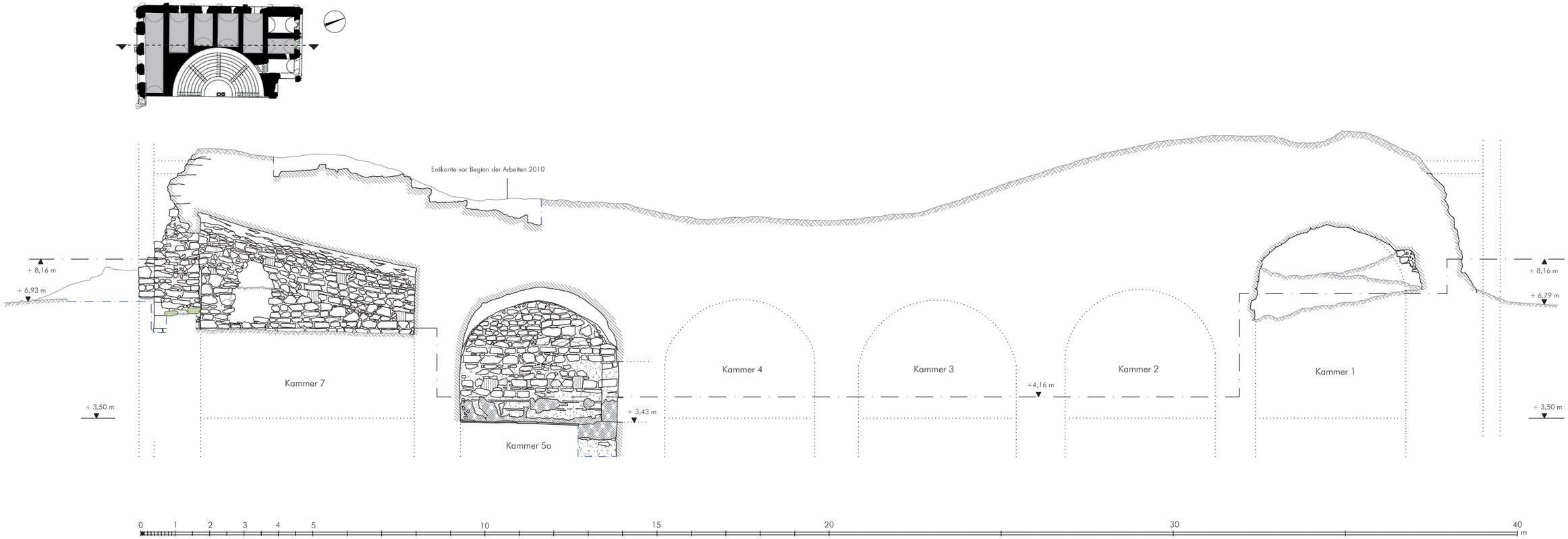


2 Schnitt H–H‘ nach Osten (M. 1 : 125)

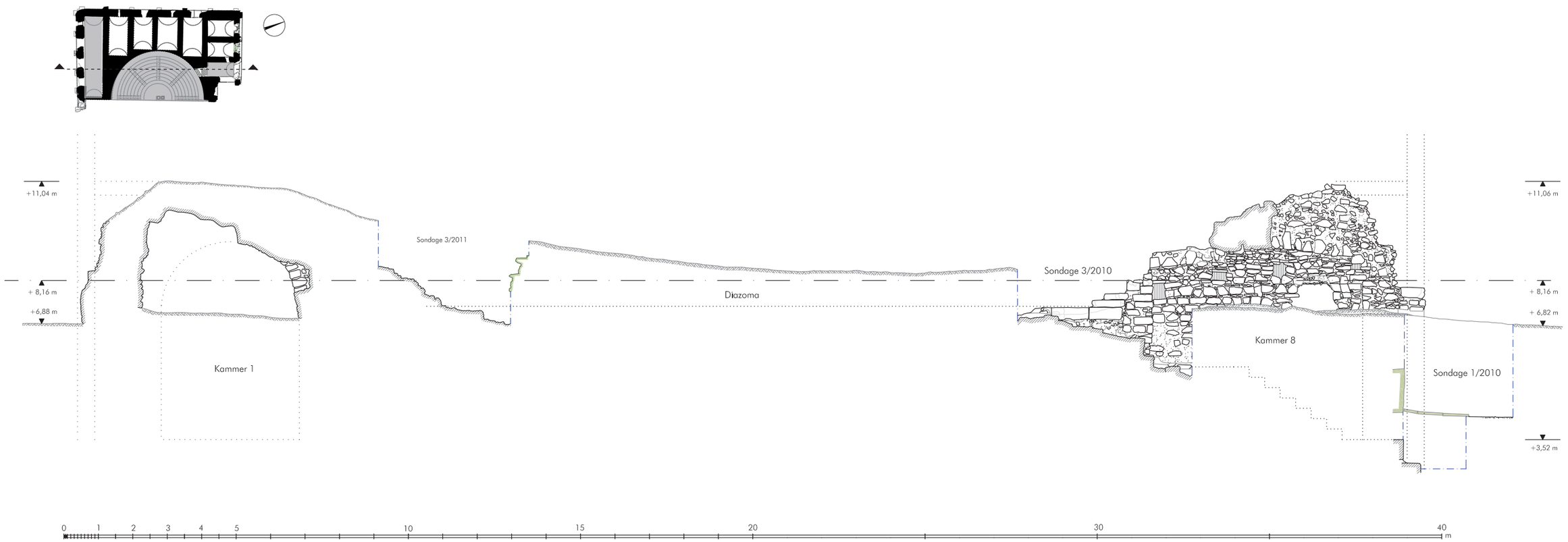


1 Schnitt I‘–I nach Westen (M. 1 : 125)

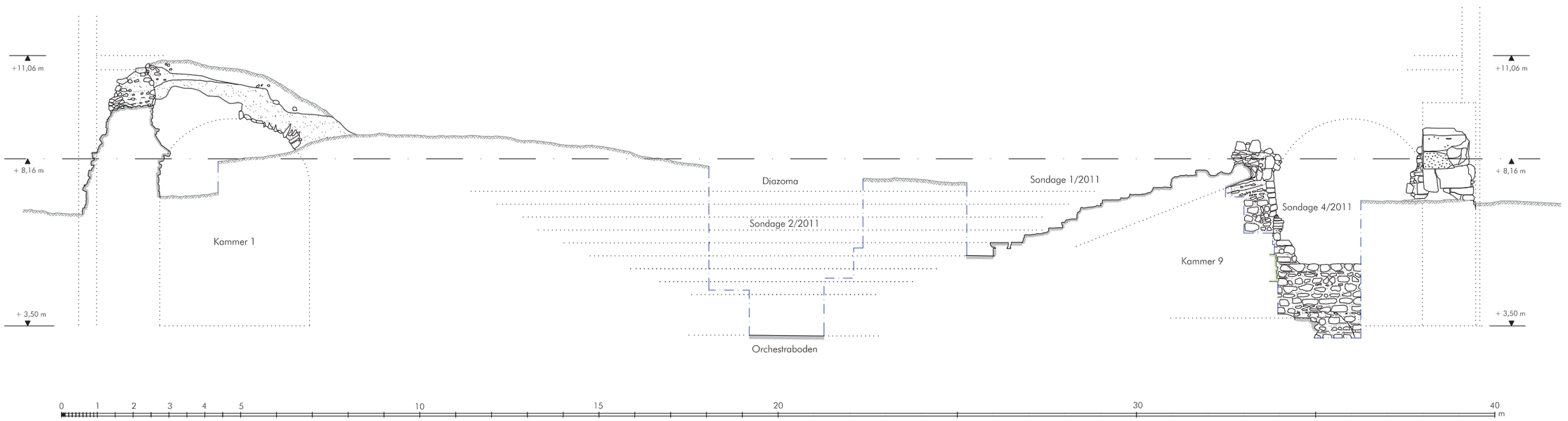


2 Schnitt J‘–J nach Westen (M. 1 : 125)

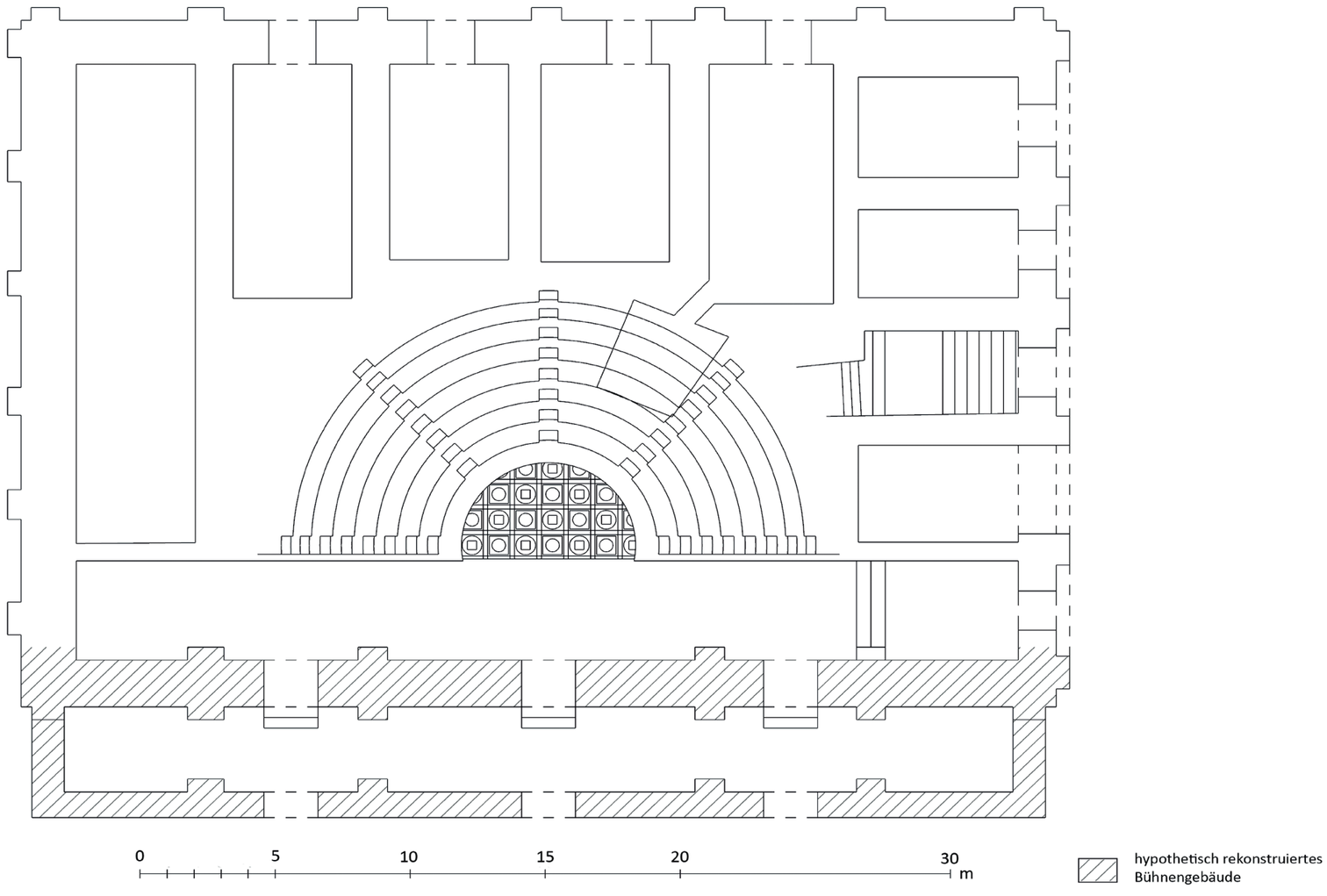


Rekonstruktion Grundriss (M. 1 : 200)

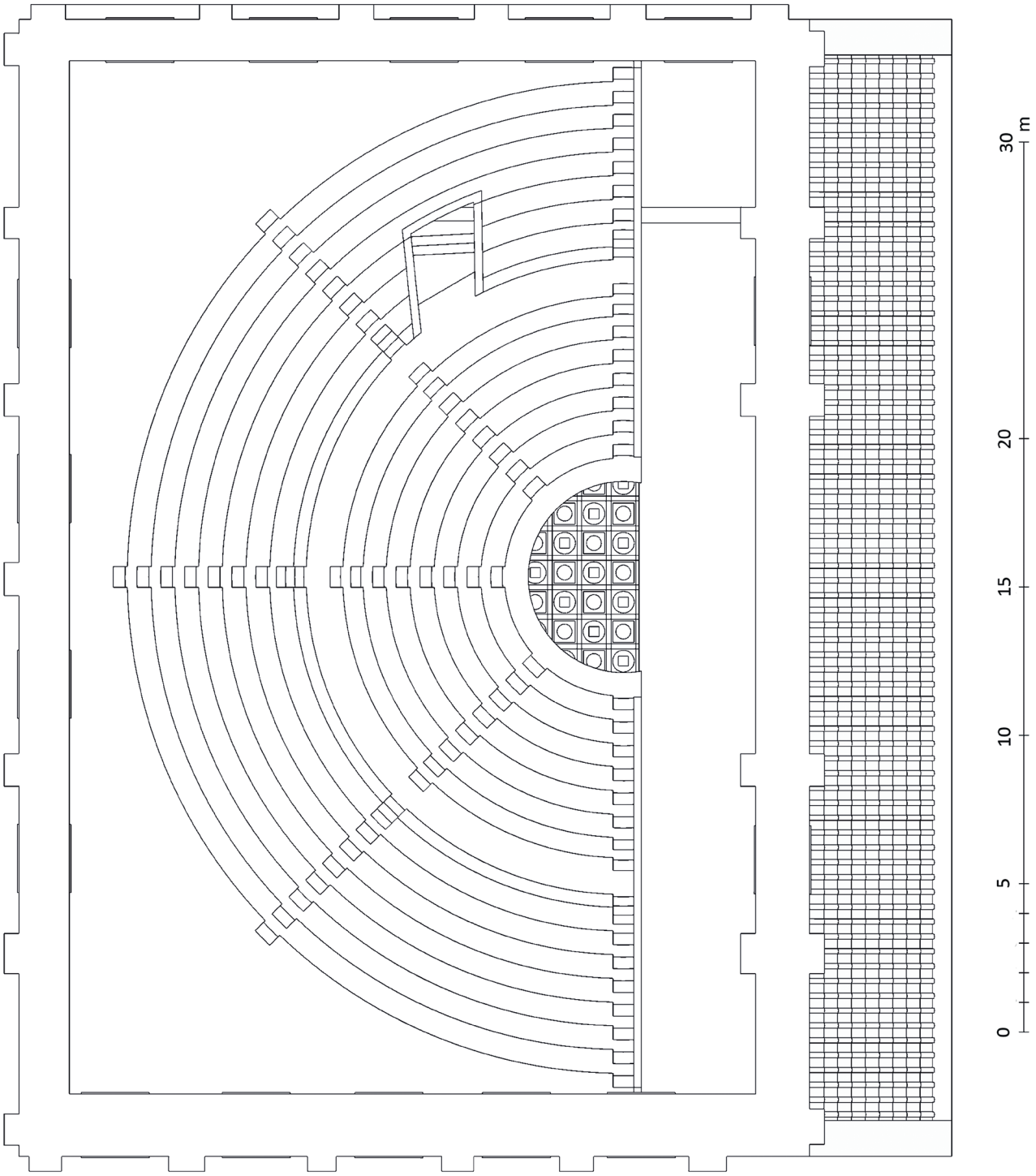


Rekonstruktion Aufsicht (M. 1 : 200)

Plan 22

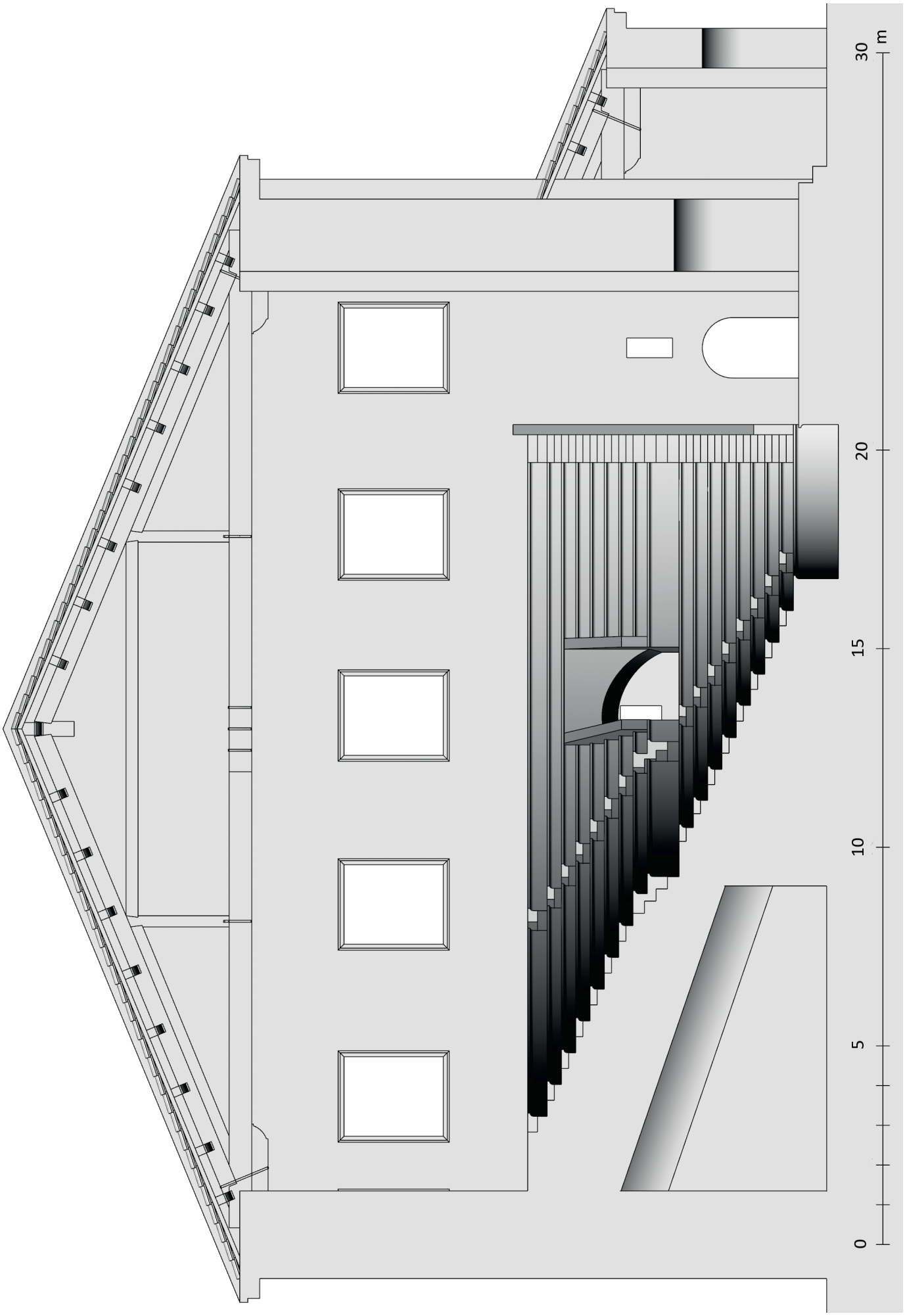


Rekonstruktion Querschnitt (M. 1 : 125)

Rekonstruktion Nordfassade (M. 1 : 125)

Rekonstruktion Südfassade (M. 1 : 125)

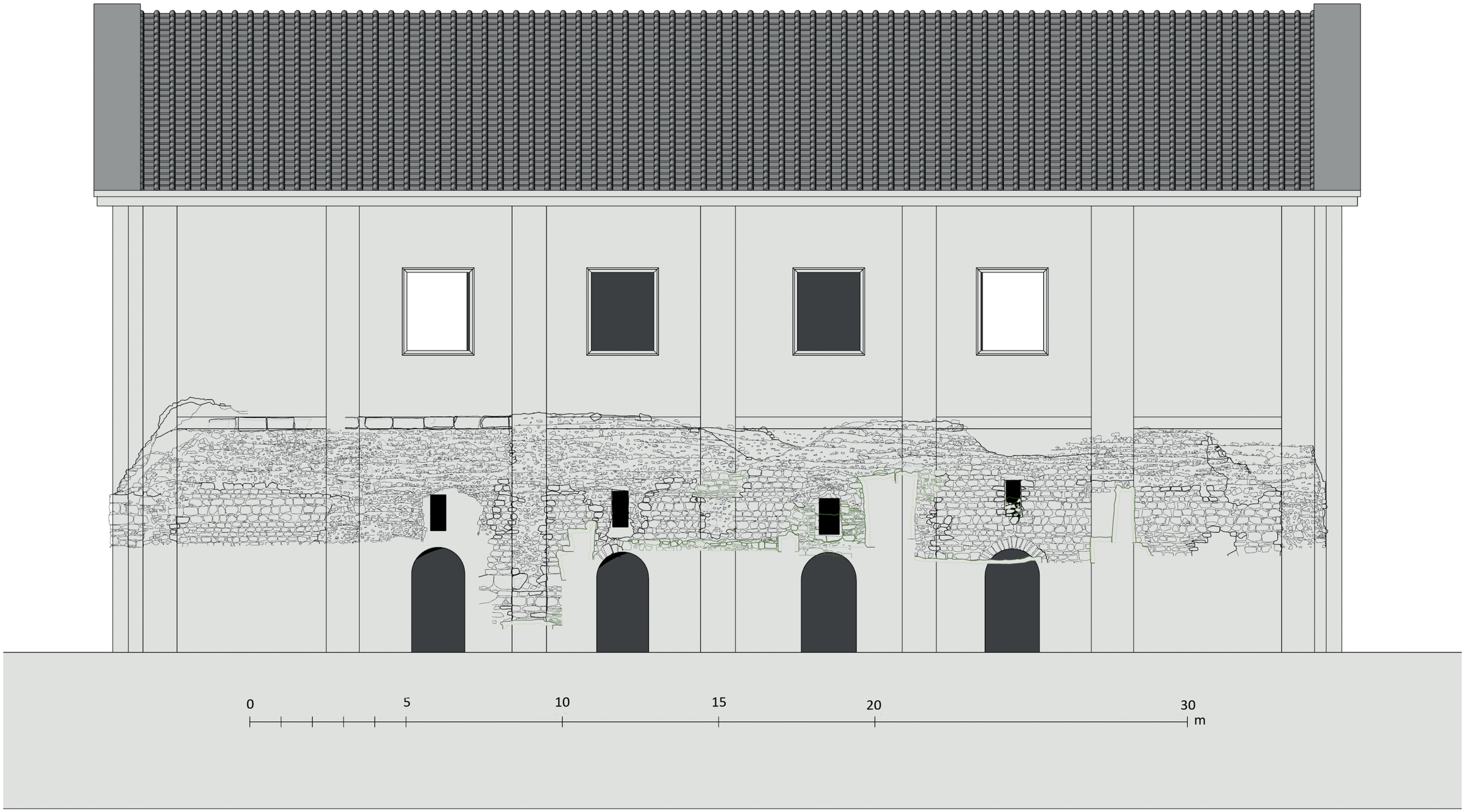


Rekonstruktion Westfassade (M. 1 : 125)

Im Laufe der 125-jährigen Forschungsgeschichte im Artemision von Ephesos stand der um 1870 wiederentdeckte Tempel der Artemis im Mittelpunkt der archäologischen Arbeiten, während der ihn umgebende, einstmals dicht bebaute heilige Bezirk unerforscht blieb. Im Jahr 2009 initiierte das Österreichische Archäologische Institut ein Projekt zu der bis heute einzig sichtbaren römischen Ruine innerhalb des Artemisions, um den Forschungsschwerpunkt ausgehend von diesem Gebäude auf die römische Nutzungsphase und den gesamten heiligen Bezirk auszudehnen. Das Bauwerk, das zuvor als »Tribüne« bezeichnet worden war, konnte aufgrund enger bautypologischer Vergleiche und spezifischen Fundmaterials als frühkaiserzeitliches Odeion identifiziert werden – ein Bautypus, der üblicherweise mit der Abhaltung von musischen Agonen in Verbindung gebracht wird. Die Existenz solcher Wettkämpfe während der heiligen Spiele für Artemis war auch für das Ephesos der Kaiserzeit durch entsprechende Siegesnennungen belegt. Nachdem das Gebäude nunmehr als typologisch beispielhaftes frühkaiserzeitliches Odeion erkannt wurde, kann der Austragungsort der überlieferten musischen Agone somit zweifelsfrei lokalisiert werden.

Lilli Zabrana studierte Klassische Archäologie, Ur- und Frühgeschichte sowie Kunstgeschichte an der Universität Wien und absolvierte ein Masterstudium der Denkmalpflege an der Technischen Universität Berlin, wo sie 2014 mit ihrer Arbeit über das Odeion im Artemision von Ephesos dissertierte. Lilli Zabrana ist langjährige wissenschaftliche Mitarbeiterin des Österreichischen Archäologischen Instituts und verfügt über umfangreiche Grabungserfahrung, vor allem in der Türkei und in Ägypten.

ISBN 978-3-7001-7868-2